

# أسس علم الرسوبيات



الدكتور محمد عبد الغني عثمان مشرف

النشر و المطابع - جامعة الملك سعود

00117154



Bibliotheca Alexandrina







﴿قُلْ أَنْظَرُوا مَاذَا فِي السَّمَوَاتِ وَالْأَرْضِ﴾

(سورة يونس: ١٠١)

﴿وَفِي الْأَرْضِ آيَاتٌ لِلْمُوقِنِينَ﴾

(سورة الذاريات: ٢٠)



# أسس علم الرسوبيات

تأليف

**الدكتور محمد عبد الغني عثمان مشرف**

أستاذ علم الرسوبيات

قسم الجيولوجيا - كلية العلوم

جامعة الملك سعود

النشر في المطابع - جامعة الملك سعود

General Organization for Scientific Publications  
مركز النشر العلمي - الرياض ١١٤٥١ - المملكة العربية السعودية  
dial Library (SOAL)



© ١٤٠٧ - ١٤١٧ هـ (١٩٨٧ - ١٩٩٦ م) جامعة الملك سعود

الطبعة الأولى: ١٤٠٧ هـ (١٩٨٧ م).

الطبعة الثانية: ١٤١٧ هـ (١٩٩٧ م).

**فهرسة مكتبة الملك فهد الوطنية**

مشرف، محمد بن عبد الغني عثمان

أسس علم الرسوبيات. - ط ٢.

٧١٠ ص، ٢٤×١٧ سم

ردمك ٥ - ٢١٢ - ٠٥ - ٩٩٦٠ (غلاف)

٣ - ٢١٢ - ٠٥ - ٩٩٦٠ (جلد)

١ - الرسوبيات - علم ١ - العنوان

١٥/٢٧٧٥

ديوي ٥٥١,٩

رقم الإيداع: ١٥/٢٧٧٥

حكمت هذا الكتاب لجنة متخصصة شكّلها المجلس العلمي بالجامعة، وقد وافق المجلس على نشره في اجتماعه التاسع عشر الذي عُقد بتاريخ ١٤٠٥/٨/٢٩ هـ الموافق ١٩٨٥/٥/١٩ م، ثم وافق المجلس على إعادة نشره في اجتماعه الرابع عشر للعام الدراسي ١٤١٥/١٤١٦ هـ الذي عُقد بتاريخ ١٤١٥/٩/١٣ هـ الموافق ١٩٩٥/٢/١٢ م.

مطابع جامعة الملك سعود ١٤١٧ هـ



## إهداء

إلى روح والدي  
فضيلة القاضي الشيخ عبد الغني عثمان مشرف  
وإلى روح والدتي  
رحمة الله عليهما جميعاً



## تقديم الطبعة الثانية

الحمد لله رب العالمين، والصلاة والسلام على أشرف المرسلين سيدنا محمد وعلى آله وصحبه أجمعين.

كتاب «أسس علم الرسوبيات» الذي صدر في عام ١٩٨٧م أنجزه واحد من علماء الرسوبيات المميزين والذي برز في خدمة التأليف بلغتنا العربية.

وقد قرأت الكتاب فوجدت فيه الجهد الكبير الذي بذله المؤلف لإخراجه كمرجع رئيسي وشامل في علم الرسوبيات كُتب بأسلوب علمي واضح مدعوماً بأشكال وصور من واقع المنطقة العربية.. وهذا انعكس بدوره على الإقبال الكبير من قبل المهتمين لاقتناء الكتاب حيث نفذت الطبعة الأولى منه في وقت قصير.

ويسرني ويشرفني أن أقدم هذا الكتاب بطبعته الثانية بناء على رغبة مؤلفه زميلي وأخي الأستاذ الدكتور محمد عبدالغني مشرف. وقد قام المؤلف بتتقيح هذه الطبعة والإضافة إليها حيث أصبح الكتاب أكثر شمولاً لموضوعات علم الرسوبيات المختلفة، كما حرص على الاستشهاد بنتائج الأبحاث الجديدة التي تحققت في السنوات الأخيرة حتى عام ١٩٩٦م، ذلك إضافة إلى وجود مراجع إضافية ذات علاقة بمواضيع الكتاب تساعد أي باحث يريد الاستزادة في الموضوع.

وأهم ما يميز الكتاب في طبعته الثانية هو إضافة دراسة «معادن أحجار الرمل تحت المجهر» والتي تتضمن على معادن المرو، الفلسبار، الكِبْسَر الصخرية والمعادن الإضافية مثل المايكا والمعادن الثقيلة والجلوكونيت. كما أحتوت هذه الطبعة على إضافة أجزاء جديدة في فصل بنيات الترسيب وفي موضوعات رواسب الحمل المذاب والنقل والترسيب الكيميائي.

وفي الحقيقة فإن الكتاب في طبعته الثانية جاء متكاملًا ومتربطًا وتحديثًا. وهذا يدل على المتابعة العلمية الجيدة للمؤلف في علم الرسوبيات. وإذ أرجو أن يجد الطالب والباحث في هذا الكتاب المتجدد خير عون ووسيلة لتسهيل دراستهم أسأل المولى القدير أن يوفق المؤلف لمزيد من المعرفة والبحث وإثراء المكتبة العلمية العربية.

فاروق عبدالستار شريف

أستاذ جيولوجيا البترول

كلية علوم الأرض - جامعة الملك عبدالعزيز



## مقدمة الطبعة الثانية

الحمد لله رب العالمين دائماً وأبداً وأصلي وأسلم على مُعَلِّم البشرية وهادي الأمة عليه أفضل الصلاة والتسليم . لقد منَّ الله عليَّ بأن وفقني في كتابة هذا المؤلف وإعادة طباعته للمرة الثانية بعد أن قمت بتنقيحه ومراجعته وإضافة ما كان ينقص الطبعة الأولى من معلومات تفيد الطالب الجيولوجي وغيره من ذوي العلاقة بهذا العلم «علم الرسوبيات» .

ولقد حاولت جهدي في الاطلاع والاستفادة من الموضوعات التي كتب عنها مؤخراً بعد ظهور الطبعة الأولى في عام ١٤٠٧/١٩٨٧م ولقد تم بفضل من الله وتوفيقه إدخال هذه المعلومات ضمن متن الكتاب وأشير إليها في مَرَّاجعة .

ومن ثم أرجو من المولى أن يكون هذا العلم خالصاً لوجهه الكريم وأن يستفيد منه الطالب العربي المتخصص . ولقد كان الهدف من إصدار هذا المؤلف باللغة العربية هو تيسير العلم للطلاب بلغتهم الأم، وكذلك سد حاجة المكتبة العربية لمثل هذا الكتاب .

وفقى الله الجميع لما يحبه ويرضاه والحمد لله رب العالمين .

المؤلف

الرياض في ١٤١٦هـ/ ١٩٩٥م



## تقديم الطبعة الأولى

الحمد لله العلي العظيم الذي دعى إلى العلم والتعلم . والذي كان أول أوامره إلى نبيه الكريم الآيات الكريمة ، ﴿ أَقْرَأْ بِاسْمِ رَبِّكَ الَّذِي خَلَقَ ۝ خَلَقَ الْإِنْسَانَ مِنْ عَلَقٍ ۝ اقْرَأْ وَرَبُّكَ الْأَكْرَمُ ۝ الَّذِي عَلَّمَ بِالْقَلَمِ ۝ عَلَّمَ الْإِنْسَانَ مَا لَمْ يَعْلَمْ ۝ ﴾ ، والصلاة والسلام على رسوله الكريم ، الذي حمل رسالة العلم والنور ممثلة في كتاب الله العظيم الذي كان حاوياً شاملاً ونوراً هادياً للبشر أجمعين . أما بعد .

فقد أحسن بي الظن زميلي وأخي الدكتور محمد عبدالغني مشرف إذ طلب إلي تقديم كتابه «أسس علم الرسوبيات» .

وقد ترددت كثيراً في قبولي لهذا الشرف ولكني ولأسباب عديدة لم أجِدْ لدي الجرأة الكافية لصده . وقد كان مبعث ترددي أن الكتاب في مجال تخصصي الدقيق ولا شك أن سعادتي بصدور هذا الكتاب هي سعادة غامرة لا تدانيها سعادة ، وخشيت أن تؤثر فرحتي بهذا الكتاب وتحمسي لصدوره على طريقة تقديمي له ، وأظهر متحيزاً له وبجاءلاً حيث ينبغي أن أكون عادلاً ومنصفاً .

ولعل مبعث سعادتي أو مما ضاعف سعادتي بهذا العمل أنه جاء محققاً لأحلام كثيرة كانت تراودني في هذا المجال . فبعد صدور كتابي «الصخور الرسوبية» ، كنت دائماً أتطلع إلى أن يوفقي الله لإصدار كتاب آخر أو عدد من الكتب الصغيرة الحجم لتغطي أوجه النقص وتبحث في المواضيع التي لم أستطع أن أبحثها في كتابي ، وخاصة موضوع السحنات والبيئات الرسوبية الذي أفرد له زميلي الدكتور محمد مشرف فصلاً كاملاً مطوّلاً هو الفصل الثامن ، فعالج الموضوع أحسن معالجة وأوفاه حقه من البحث .

أقول إن صدور هذا العمل الضخم من الزميل الكريم جاء محققاً لآمالى وأراخنى من حالة تأنيب الضمير التي كانت تقلقني دائماً كلما تذكرت أي مقصر تجاه مجال تخصصي ولم أتمكن من سد الثغرة التي شعرت بها في هذا الجانب من العلم، وليس لدي من عذر التمسه لنفسي سوى التقصير والإهمال.

لذا فقد جاء هذا الكتاب ليزيح عنى عبئاً نفسياً ثقیلاً ويطلقني حراً من آثار الشعور بالذنب والإحساس بالتقصير.

وقد احتوى كتاب «أسس علم الرسوبيات» على ثمانية فصول. خُصَّص الفصل الأول لمقدمة عن علم الرسوبيات تعطى القارئ فكرة شاملة عن هذا العلم وتطوره وعلاقته بالعلوم الأخرى. وخُصَّص الفصل الثاني للبحث في الخصائص الطبيعية للحبيبات، والمسامية، وفتناول تعريف الخصائص الطبيعية للحبيبات، ثم الخصائص التي تشمل الحجم والشكل والترتيب الداخلي للحبيبات والنسيج. كما احتوى هذا الفصل على تعريف للمسامية، وتصنيفها، وأنواعها، وقد خُصَّص الفصل الثالث لموضوع التجوية، وقد تكلم الفصل الرابع عن عمليات النقل والترسيب حيث تعرَّض لكافة عمليات النقل وأثرها في ترسيب الأشكال الرسوبية المختلفة.

كما أقررد الفصل الخامس للكلام عن البنيات الرسوبية وقد كان الزميل دقيقاً وشاملاً في وصفه وتعريفه، وحصره للبنيات الرسوبية. وقد تميز هذا الجزء وكافة أجزاء الكتاب باحتوائه على معلومات وإفية مرتبة ترتيباً منطقياً بأسلوب علمي سلس، ويعتمد على مراجع حديثة ومتعددة كما أورد المؤلف مراجع إضافية لكل موضوع من موضوعات الفصل، رتبت بدورها في نهاية الكتاب. ولاشك أن العدد الكبير من المراجع الذي أوردته المؤلف هذا الفصل والفصول الأخرى من الكتاب لتدل على اطلاع واسع وعلى الجهد العلمي الكبير الذي بذله المؤلف لإخراج هذا العمل الضخم إلى حيز الوجود.

كما بحث الفصل السادس من الكتاب في الرواسب المنقولة وتصنيفها ثم تكلم عن كلٍ من تلك الرواسب بادئاً بصخور الطين، ثم أحجار الرمل بأنواعها المختلفة، ثم صخور الحصى ومنتهاياً بصخور الفتات الناري.

أما الفصل السابع فقد خُصَّصه المؤلف للرواسب المتكونة في أحواض الترسيب والتي تعرف بالمجموعة الثانية من الرواسب أو الرواسب الكيميائية أو الرواسب ذات

النشأة المحلية بخلاف الرواسب المنقولة التي عولجت في الفصل السادس، وقد أوفى هذه المجموعة حقها، ولم يترك فيها مجالاً لمستزيد.

كما أفرد الفصل الثامن، كما ذكرنا سابقاً، للسحنات والبيئات الرسوبية، وفي هذا الفصل تناول المؤلف موضوعاته بالإسهاب، مع الالتزام بالحدود التي رسمها للكتاب وهو أن يكون في خدمة طالب المرحلة الجامعية، وكلما أحس أن الموضوع يحتاج إلى المزيد من البحث وفر المراجع الإضافية وأحال طالب الدراسات العليا إليها. وكانت النتيجة أن خرج هذا العمل متكاملًا مترابطًا يدل على جهد قيّم مخلص يستحق منا الشكر والثناء والدعاء للمؤلف بالتوفيق في مشاريعه العلمية المقبلة.

أ. د. عبدالله العقيل الحمدان

أستاذ بقسم الجيولوجيا (سابقاً)

جامعة الملك سعود



## مقدمة الطبعة الأولى

أحمد الله العليّ القدير، وأصلي وأسلم على رسوله الكريم، خير من دعى لطلب العلم من المهدي إلى اللحد والذي نوه بطلب العلم أينما كان وبعد.. .  
فإنه من فضل الله عليّ أن أعطاني الصحة والعافية طيلة مدة إعداد هذا الكتاب ووفقني إلى إنجازه على هذا النحو الذي لا يخلو من بعض الأخطاء لأن الكمال لله وحده سبحانه وتعالى، ولكنه محاولة متواضعة مني لخدمة العلم بلغة القرآن وتلبية لافتقار مكتباتنا الجامعية في عالمنا العربي من نقص في الكتب العلمية باللغة العربية، وفي ذلك سد حاجة طالب العلم في الوطن العربي لتلقي العلوم بلغته التي يفهمها ويستوعب القسط الأكبر منها. والقصد من وراء ذلك الأخذ بيد الطالب العربي الجامعي الذي يفتقد الكثير من المراجع العلمية باللغة العربية والتي هو في أمس الحاجة إليها حتى يستطيع أن يتذوق ويستوعب منهج العلم بلغته العربية وحتى يتمكن من التفكير علمياً بلغته ولكي يستطيع أن يضيف ويبذل في العلوم بما ينفع الجميع. إن في وفرة الكتب العلمية باللغة العربية ما يساعد على الإقلال من عملية التذبذب الذهني الذي يعيشه الطالب العربي عند تلقي العلوم باللغتين الانجليزية، في كثير من الأحيان، والعربية فيما ندر. وقد أدى ذلك إلى تدني المستوى بسبب ضعف في الاستيعاب وفقر في التحصيل لدى الطالب الجامعي في بلادنا خاصة وبقية بلدان العرب عامة.  
ومن فضل الله عليّ أيضاً أن وفقني في كتابة الجزء الأكبر من هذا الكتاب أثناء اجازة التفرغ العلمي التي تحصلت عليها خلال العام الدراسي ١٤٠٢/١٤٠٣ هـ لتأليف هذا الكتاب والذي بدأت في إعداده منذ خمسة أعوام تسبق هذا التاريخ.

ويعتبر هذا الكتاب حصيلة متواضعة لما استوعبته من قراءات مستفيضة لكثير من المراجع الأجنبية القديمة والحديثة والتي استعنت بها طيلة خبرتي في التدريس التي تقترب الآن من عشر سنوات. فلقد وضعت كل ما منحني الله من جهد وعلم متخصص في هذا المضمار لكي يصبح هذا الكتاب اللبنة الأساسية التي يستند إليها في استيعاب مادة علم الرسوبيات، ولكي يرجع إليه طالب علم الرسوبيات خاصة وعلم الجيولوجيا عامة حتى يجد فيه إن شاء الله المنفعة التامة، وليكون هذا الكتاب أحد مراجع علم الرسوبيات باللغة العربية والتي آمل إنتاج المزيد منها في المستقبل القريب والتي ستكون من ثمرات وعطاءات صغار علمائنا العرب القادمين في هذا المضمار. وأطلب من المولى عز وجل أن يجد طالب العلم المبتدئ في هذا الكتاب ما يلبي حاجته وييسر له فهم واستيعاب هذه المادة بأسلوب سلس وفكرة شاملة وتعبير جيد وأن يجد الباحث المتعمق في هذا الكتاب ما يبحث عنه موضوعياً وعلمياً وأن لا يكتفي بمحتويات وتفاصيل هذا الكتاب لأنه ليس لأي علم نهاية فهناك العديد من المراجع التي استخدمت في إنجاز هذا الكتاب وهي مدونة في نهايته والتي تحتوي على أفكار وتفاصيل متعمقة في هذا الحقل والأرجح أن يستنار بها وبغيرها من المصادر المتخصصة في هذا العلم والتي ستصدر بعد تاريخ هذا الكتاب.

وأخيراً فإنني أقدم ما بذلته من جهد علمي متواضع باللغة العربية إلى كل من يعتز بلغته العربية، لغة القرآن والعقيدة والعلم في الماضي والحاضر والمستقبل وإلى كل من يهيمه الاستزادة من علم الرسوبيات مع مرور الزمن، فله الحمد والشكر دائماً وأبداً، والله ولي التوفيق.

## المؤلف

الرياض في ١٤٠٥هـ/ ١٩٨٥م



## كلمة شكر

لا يسعني عند هذا الموقف إلا أن أعترف بالجميل، وأن أقدم التقدير لسعادة زميلي الكريم الأستاذ الدكتور عبدالله العقيل الحمدان لما بذله من جهد وافر مشكور في قراءة ومراجعة وتدقيق الطبعة الأولى من هذا الكتاب قبل طبعه، ولما أبداه من كثير الارشاد والاقتراحات العلمية المفيدة التي أخرجت الكتاب سليماً بإذن الله من الصعوبات ومشاكل التعقيد التي تصاحب التأليف العلمي عادة. فأنا مدين لسعادته بالشكر العميق والتقدير العظيم لما قدمه من خدمة أخوية صادقة وأداء مخلص مفيد. وأسجل تقديري وشكري لزميلي وأخي العزيز الأستاذ الدكتور فاروق عبدالستار شريف وتفضله بكتابة تقديم الطبعة الثانية لهذا الكتاب.

كما يسعدني أن أدون شكري وتقديري لجامعة الملك سعود لانتاحة الفرصة لي لإنجاز الطبعة الأولى من هذا الكتاب وذلك من خلال منحي اجازة تفرغ علمي، وتوفيرها للمساعدات، العلمية والفنية، وتبسيطها سبل تحكيم وطبع هذا الكتاب على نفقتها.

ولا يسعني أيضاً إلا أن أدون جزيل شكري للمسؤولين في قسم الجيولوجيا بجامعة كاليفورنيا - ديفز لما لقيته من ترحيب واستقبال حسن، ولقبولي كأستاذ زائر في القسم أثناء فترة إجازة تفرغي العلمي عام ١٩٨٢م، ولما قاموا به من تيسير وتلبية لجميع مستلزمات إنجاز مهمتي التي قدمت من أجلها وسد احتياجي من استعمال مستفيض لمكتبة الجامعة وغرفة التصوير الفوتوغرافي والتصوير بالسحب. وأنتهز هذه الفرصة لتقديم الشكر لبعض أعضاء قسم الجيولوجيا في ديفز لما لقيته لديهم من تشجيع ولما

قدموه من مناقشات علمية مثمرة ساهمت في إيضاح كثير من الأمور المتعلقة بموضوع الكتاب .

وأدون شكري وعرفاني إلى كافة الزملاء بقسم الجيولوجيا بجامعة الملك سعود على تعاونهم معي سواء بصورة مباشرة أو غير مباشرة والتي ساعدت على إظهار هذا الكتاب إلى حيز الوجود كما أخص بتقديري هنا لزميلي الكريم الدكتور أحمد عبدالقادر المهندس لما قدمه من مجهود يشكر عليه عن علم الجيولوجيا عند العرب والمسلمين وإلى زميلي العزيز الدكتور غالب محمد الأسعد الذي كان دائماً يحط استشارة نيرة وإبداء رأي مثمر حول كثير من الأمور ذات العلاقة بهذا الكتاب . كما أشكر السيد عبدالمنعم عرفه لقيامه بطباعة مسودات الكتاب والسيدان عباس علي محمد سعيد وأفتاب عزيز لقيامهما برسم وتجهيز جميع الأشكال التي يحتويها هذا الكتاب .

وأخيراً أقدم جزيل تقديري وشكري الخاص لزوجتي وأبنائي الذين تكبدوا معي مآلقته من عناء وجهد مضن والذين تحلوا بالصبر وشجعوني على الاستمرار في إنجاز هذا العمل الذي يعتبر خطوة على طريق التقدم العلمي باللغة العربية والذي أسأل الله أن يعود بالنفع والخير والفائدة العلمية لأبنائي الطلاب وزملائي الباحثين .  
والله الموفق لما فيه الخير.

المؤلف

## المحتويات

### صفحة

ز	تقديم الطبعة الثانية
ط	مقدمة الطبعة الثانية
ك	تقديم الطبعة الأولى
س	مقدمة الطبعة الأولى
ف	كلمة شكر

١	الفصل الأول: تعريف بعلم الرسوبيات
٣	● مقدمة
٤	● علاقة علم الرسوبيات بالعلوم الأخرى
٨	● علم الرسوبيات عند العرب
٩	- محمد بن الحسن الكرخي
٩	- أبو الریحان البيروني
١٠	- أبو علي الحسين بن سينا

١٣	الفصل الثاني: الخصائص الطبيعية للحبيبات
١٥	● مقدمة
١٦	● حجم الحبيبة

١٨	- طرق القياس الحجمي للحبيبات
٢٠	١ - القياس المباشر
٢١	٢ - استعمال المناخل
٢٣	تمثيل التحليل الحجمي الحبيبي
٣٤	٣ - سرعة الاستقرار
٣٤	٤ - استخدام المجهر الإلكتروني أو الأشعة السينية
٣٥	● شكل الحبيبة
٣٥	- الاستدارة والتكور
٤٢	● النسيج السطحي للحبيبات
٤٦	● الطراز
٤٧	● التعبئة
٤٨	● النفاذية
٥١	● المسامية
٥٥	- تشكّل المسام
٥٦	المسامية الأولية (مسامية الترسيب)
٥٧	نشأة المسامية الأولية
٥٧	تأثير حجم الحبيبات على المسامية
٥٨	تأثير التصنيف على المسامية
٥٩	تأثير شكل الحبيبة (التكور والاستدارة) على المسامية
٥٩	العلاقة بين الطراز والمسامية
٦٣	تأثير عملية الدموج (الإحكام) على المسامية الأولية
٦٤	المسامية الثانوية (مسامية بعد الترسيب)
٧٠	نشأة المسامية الثانوية
٧٣	- دموج وإحكام الطين
٧٦	- دموج وإحكام الرمل
٧٨	- ملخص عملية الدموج والإحكام

٨١	الفصل الثالث : التجوية
٨٣	● مقدمة
٨٥	● الدورة الرسوبية
٨٨	● التجوية الفيزيائية
٨٨	- نمو البلورة
٨٩	- التجوية بالصقيع
٩٠	- التجوية بالملح
٩١	- التجوية بأشعة الشمس
٩٣	● التجوية الكيميائية
٩٩	١ - اللآترت
١٠٠	٢ - البوكسيت
١٠١	٣ - طين الصين
١٠٢	● التجوية الحيوية وتكوين التربة
١٠٧	الفصل الرابع : النقل والترسيب
١٠٩	● مقدمة
١١٠	● النقل والترسيب بالماء
١١١	( أ ) النقل والترسيب الكيميائي
١١٣	( ب ) النقل والترسيب الفيزيائي
١١٦	- ميكانيكية النقل الفيزيائي
١١٦	١ - الحمل المعلق
١١٧	٢ - الحمل الطبقي
١٢١	- النقل وعلاقة سرعة التيار بحجوم الحبيبات
١٢٤	( جـ ) عمليات النقل والترسيب الفيزيائي المائية
١٢٤	١ - رواسب تيارات السحب أو الجر
١٢٨	٢ - رواسب تيارات العكر

١٣٣	٣ - رواسب الماء العالقة .....
١٣٤	● النقل والترسيب بالهواء .....
١٣٦	١ - رواسب تيارات الهواء الزاحفة .....
١٣٨	٢ - الكتيبان الرملية .....
١٣٨	( أ ) كتيان البارخان .....
١٣٩	( ب ) كتيان نجمية .....
١٤٠	( ج ) كتيان طويلة - أو كتيان السيف .....
١٤١	( د ) كتيان مستقيمة .....
١٤٣	٣ - رواسب الهواء العالقة .....
١٤٤	● النقل والترسيب بالثلاجات .....
١٤٧	● النقل والترسيب بالجاذبية الأرضية .....
١٥١	الفصل الخامس : البُنيات الرسوبية .....
١٥٣	● مقدمة .....
١٥٤	● التطبيق .....
١٥٩	● تشكيل الطبقات وأنظمة التدفق .....
١٦١	أولاً : البنيات الرسوبية الأولية (الفيزيائية) .....
١٦٤	( أ ) - المجموعة الأولى : بُنيات قبل الترسيب .....
١٦٤	١ . أسطح عدم التوافق .....
١٦٥	٢ . القنوات .....
١٦٧	٣ . الغرف - و - الملء .....
١٦٧	٤ . بُنيات علامات القاع .....
١٧٢	( ب ) المجموعة الثانية : بُنيات أثناء الترسيب .....
١٧٣	١ . التطبيق المصمت .....
١٧٤	٢ . التطبيق المستوي .....
١٧٩	٣ . التطبيق المترقق .....

١٨٢	٤ . التطبيق المتدرج .....
١٨٥	٥ . التطبيق المتقاطع .....
١٩٠	٦ . التطبيق النيمي والترقق المتقاطع .....
١٩٧	(ج) المجموعة الثالثة : بُنَيَات بعد الترسيب .....
١٩٩	١ . بُنَيَات طوابع الثقل .....
٢٠٠	٢ . الدرنات الكاذبة .....
٢٠٠	٣ . التطبيق الملفوف أو المطوي .....
٢٠٤	٤ . الترقق المطوي .....
٢٠٧	٥ . الهوابط والانزلاقات .....
٢٠٨	( د ) المجموعة الرابعة : بُنَيَات رسوبية متنوعة .....
٢٠٨	١ . بُنَيَات الشقوق المختلفة .....
٢١٢	٢ . بُنْيَة آثار المطر .....
٢١٢	٣ . بُنْيَة قواطع الرمل .....
٢١٣	٤ . بُنْيَة الملح الكاذبة .....
٢١٣	كافياً : البُنَيَات الرسوبية الحيوية .....
٢٢٠	مُلحقاً : البُنَيَات الرسوبية الثانوية (الكيميائية) .....
٢٢١	١ . الدرنات .....
٢٢٦	٢ . - غروط - في - غروط .....
٢٢٨	٣ . - الجيود .....
٢٣٠	٤ . - الدرن الشعاعي .....
٢٣٣	٥ . - الزوائد الصخرية .....
٢٣٨	● خاتمة .....

٢٣٩	الفصل السادس : الرواسب المجلوبة النشأة .....
٢٤١	● مقدمة .....
٢٤١	أولاً : مكونات الصخور الرسوبية .....

٢٤١	١ . مكونات رواسب أرضية .....
٢٤٢	٢ . مكونات كيميائية غير نقية (غير عادية) .....
٢٤٢	٣ . مكونات كيميائية نقية (عادية) .....
٢٤٤	ثانيًا: أصناف الرواسب .....
٢٤٤	١ . الرواسب الكيميائية .....
٢٤٤	٢ . الرواسب العضوية .....
٢٤٤	٣ . الرواسب الأرضية .....
٢٤٤	٤ . الرواسب الفتاتية النارية .....
٢٤٤	• . الرواسب المتخلفة .....
٢٤٨	- تصنيف الرواسب المنقولة .....
٢٥٠	● أولاً: صخور الوحل .....
٢٥٨	- أحجار الطين النقية ومعادن الطين .....
٢٥٩	● ثانيًا: أحجار الرمل .....
٢٦١	- تسمية وتصنيف الرمل .....
٢٦٦	- وصف أحجار الرمل .....
٢٦٦	الكوارتزيت .....
٢٦٨	الأركوز .....
٢٧٠	الواكي .....
٢٧٥	● دراسة أحجار الرمل تحت المجهر .....
٢٨٠	● التركيب المعدني لأحجار الرمل .....
٢٨٢	١ - المرو .....
٢٨٣	(أ) المصدر .....
٢٨٩	(ب) الثابت المتباين .....
٢٩٠	٢ - الفلسبار .....
٢٩٠	(أ) أنواع التغيرات .....
٢٩٥	(ب) المصدر .....



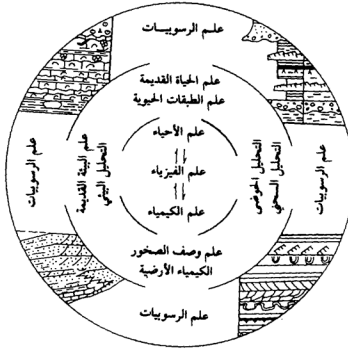
٢٩٧	٣ - الكِسَر الصخرية
٣٠١	● حركية الألواح
٣٠٢	٤ - المعادن الإضافية
٣٠٥	٥ - المعادن الثقيلة
٣٠٩	٦ - الميكا
٣١١	٧ - الجلوكونيت
٣١٢	● إعادة دورة الحبيبة
٣١٤	- تأثير عمليات النشأة المابعدية على مسامية أحجار الرمل
٣١٥	١ - رحلة التأكسد والاختزال
٣١٧	٢ - مرحلة السمته والالتحام
٣٢١	٣ - مرحلة الحد الفاصل بين النشأة المابعدية والتحول المنخفض
٣٢١	٤ - مرحلة ما بعد النشأة المابعدية
٣٢٣	● ثالثاً: صخور الحصى
٣٢٤	(أ) المذملكات
٣٢٨	(ب) البرشيات الرسوبية
٣٢٩	● رابعاً: صخور الفتات النارية
٣٣٣	الفصل السابع: الرواسب الحوضية النشأة
٣٣٥	● مقدمة
٣٤٠	● صخور الكربونات
٣٤١	- معادن الكربونات
٣٤١	معادن الكلسيت
٣٤٢	معادن الأراجونيت
٣٤٤	معادن الدولوميت
٣٤٤	معادن السدريت
٣٤٥	- مكونات صخور الكربونات

٣٤٦	١ - الحبيبات .....
٣٥٠	٢ - راسب الأرضية .....
٣٥١	٣ - اللاحم .....
٣٥١	- تصنيف وتسمية صخور الكربونات .....
٣٥٢	- تصنيف فولك لأحجار الجير .....
٣٦١	- تصنيف دنهام لأحجار الجير .....
٣٦٣	أولاً: أنواع أحجار الجير الرئيسة .....
٣٧٢	- النشأة المابعدية ونشوء المسامية في صخور الكربونات .....
٣٧٥	١ - عملية التبلور التوتحي .....
٣٧٦	٢ - عملية تجدد التبلور .....
٣٧٧	٣ - عملية الحل والذوبان .....
٣٧٧	٤ - عملية التسلكن .....
٣٧٨	ثانياً: أحجار الدولوميت .....
٣٨٠	التدللت المبكر ذو النشأة المابعدية .....
٣٨٢	التدللت المتأخر ذو النشأة المابعدية .....
٣٨٤	● الصخور الشعابية .....
٣٨٦	● حجر الفحم الطبيعي .....
٣٩٠	● صخور البحر .....
٣٩٢	- صخور ومعادن كبريتات الكالسيوم .....
٣٩٥	- صخر الملح .....
٣٩٧	● صخور سليكونية .....
٣٩٩	● صخور الفوسفوريت .....
٤٠٤	● صخور الحديد الرسوبية .....
٤١٠	● عقيديات المنجنيز .....
٤١٤	● صخر الأستروماتوليت .....

٤١٩	الفصل الثامن: السُّحُنات والبيئات الرسوبية
٤٢١	● مقدمة
٤٢٥	● معاملات السُّحْنة
٤٢٥	- الشكل الحجمي للسُّحْنة
٤٢٦	- معرفة نوعية صخر السُّحْنة
٤٢٧	- معرفة البُنيات الرسوبية السائدة في السُّحْنة
٤٢٧	- معرفة أنظمة التيارات القديمة
٤٢٨	- تعريف أحافير السُّحْنة
٤٣٠	● الدورات الترسيبية والتتابع الترسيبي
٤٣١	● تصنيف البيئات الرسوبية
٤٣٤	● وصف البيئات الرسوبية
٤٣٥	أولاً: البيئات القارية
٤٣٥	البيئات الصحراوية
٤٤٩	البيئات النهرية
٤٦٩	البيئات البحرية
٤٧٥	البيئات الثلجية
٤٧٨	ثانياً: البيئات الإنتقالية (شاطئية بحرية)
٤٧٨	بيئات الدلتا
٤٨٧	بيئات الحواجز الرملية
٤٩٥	ثالثاً: البيئات البحرية
٤٩٥	بيئات الأرصفة القارية
٥٠٥	بيئات شعابية
٥١٨	بيئات العُكر
٥٢٨	بيئات هُجَّة

٥٣٣	المراجع
٥٣٣	أولاً: المراجع العربية
٥٣٥	ثانياً: المراجع الأجنبية
٥٨٦	ثالثاً: المراجع الإضافية
٥٩٥	ثبت المصطلحات العلمية
٥٩٥	أولاً: عربي - إنجليزي
٦٤٩	ثانياً: إنجليزي - عربي
٧٠٣	كشّاف الموضوعات

# الفصل الأول



## تعريف بعلم الرسوبيات

- مقدمة ● علاقة علم الرسوبيات بالعلوم الأخرى ● علم الرسوبيات عند العرب



### مقدمة

يقصد بعلم الرسوبيات، دراسة جميع أنواع الرواسب ذات النشأة الفتاتية والكيميائية من حيث وصفها وخصائصها ومعرفة بيئات ترسيبها. وتشمل هذه الدراسة التغيرات المتأخرة التي تحدث في الصخور الرسوبية بعد ترسيبها، ومدى تأثير هذه الرواسب بخصائص البيئة المحيطة والملمة لها. ويعرف الراسب بالجسيمات الصخرية أو المعدنية التي تترسب في وسط مائي أو ما تحمله الرياح من حبيبات صخرية تستقر فيها بعد على أسطح الأرض أو تحت سطح المسطحات المائية المختلفة.

وسنحاول في هذا الفصل أن نقدم للدارس فكرة شاملة عن علم الرسوبيات وتاريخ تطوره وعلاقته بالعلوم الأخرى عامة وبعلم الأرض خاصة.

يمتد تاريخ علم الرسوبيات إلى العصر الحجري عندما استخدم الإنسان حجر الصوان لطحن الحبوب وإشعال النار، وحجر الطين في بناء سكنه الذي يقه الحر والبرد ويوفر له الأمان والاطمئنان وما إلى ذلك من أمور متعددة. ولكن تحضر ومدنية الإنسان في العصور المتأخرة جعلته يكتشف أهمية أنواع الصخور الرسوبية اقتصادياً، فمثلاً: استخدمت الرمال في صناعة الزجاج، والحجر الجيري في صناعة الأسمنت والطين في صناعة الخزف والفحم الحجري كمصدر للطاقة وتم استغلال المعادن الاقتصادية الموجودة في الصخور الرسوبية مثل الحديد والفوسفات وغيرها صناعياً واقتصادياً. كما استخرج النفط والغاز الطبيعي والماء من خزانات الصخور الرسوبية التي تحتويها لتلبية حاجات التنمية الاقتصادية والاجتماعية.

ولقد وضع، أسس الجيولوجيا الرسوبية الحديثة، علماء ذوو مكانة علمية منذ زمن بعيد ومن بين هؤلاء الرجال نذكر على سبيل المثال ليوناردو فينشي وهتن وسميث. إن ما كتبه كل من سوربي (Sorby, 1853, 1908) وشارل لايل (Lyell, 1865) في نهاية القرن التاسع عشر عن العمليات الحديثة التي تنشأ عنها تكوين الرواسب الحديثة، يمكن الاستفادة منها واستخدامها في تفسير البنيات والأنسجة الرسوبية التي تحملها الرواسب القديمة، كما يمكن التوصل إلى معرفة بيئات الرواسب القديمة إذا أدركنا خصائص ومميزات بيئات الترسيب الحديثة.

وأفاد (Selley, 1976, 1990, 1992) أن نشأة علم الرسوبيات الحديث لم يصدر من

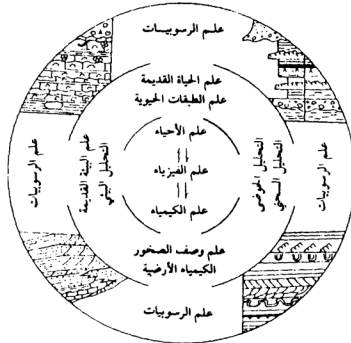
اتحاد مفهوم علم الطبقات ودراسة هذه الرواسب تحت المجهر (بتروغرافية الرواسب) ولكن يبدو أنه تطور من اتحاد بين احتياجات ومفاهيم الجيولوجيا البنائية وعلم البحار. فلقد كان ولا يزال علماء الجيولوجيا البنائية يبحثون عن خصائص ترشدهم للتمييز عما إذا كانت الطبقات الموجودة في مناطق تكتونية، هل هي مقلوبة أم في وضعها الطبيعي. ويجب معرفة ذلك عند رسم خرائط الجيولوجيا الاقليمية. والذي يساعد على تحديد ذلك هي البنيات الرسوبية مثل شقوق التقلص (شقوق الطين) وعلامات النيم والتطبق المتدرج. وقد شملت دراسة (Shrock, 1948) تفاصيل هذا الموضوع بصورة متكاملة. ومن بين علماء الجيولوجيا البنائية الذين أسهموا في إيضاح العلاقة الموجودة بين الرسوبيات والجيولوجيا البنائية، العالم (Eduard Bailey, 1930) عندما كتب ورقة بحثه بعنوان: (إضاءة جيدة على الترسيب وتشكيل الصخور (New Light on Sedimentation and Tectonics)). ولقد شاركت دراسات أخرى في تقويم وتأسيس علم الرسوبيات ومن أهم هذه الدراسات صناعة الزيت وشركات البترول والأبحاث التي قامت بها الجامعات في هذا المضمار ومعاهد علم البحار. وجميع هذه الدراسات وفرت الكثير من المعطيات والمعلومات المتعلقة بالرواسب الحديثة وبالمقارنة يمكننا معرفة وتفسير خصائص وميزات الرواسب القديمة.

### علاقة علم الرسوبيات بالعلوم الأخرى

يوضح الشكل (١أ) والجدول (١) العلاقة بين علم الرسوبيات والعلوم الأساسية الأخرى مثل علم الأحياء، وعلم الفيزياء، وعلم الكيمياء. ويجدر بنا أن نلخص ما كتبه (Selley 1976, 1992) في هذا المضمار كالتالي:

- إن تطبيق أحد هذه العلوم الأساسية في دراسة الرواسب يعطي خطوطاً عريضة للبحث في علوم الأرض بشكل عام وفي علم الرسوبيات بشكل خاص.
- يساعد هذا على تحديد مكانة علم الرسوبيات بين محتويات علم الجيولوجيا.
- يتضمن علم الأحياء دراسة الحيوانات والنباتات، وبالمقارنة يمكن تطبيق ذلك على أحافيرها الموجودة في الرواسب القديمة. وقد يهتم علم الحياة القديمة (Paleontology) بدراسة مستفيضة ومستقلة لنشأة وأشكال وبنيات وتقسيم ووصف





شكل (١. أ). علاقة علم الرسوبيات بالعلوم الأساسية الأخرى.

جدول ١. علاقة أفرع علم الرسوبيات بالعلوم الأخرى

	علم الأحياء	علم الحياة القديمة
		علم الأحياء الطبقيّة
		علم البيئة القديمة
		التحليل البيئي
		التحليل السحني
		التحليل الحوضي
دراسة خصائص المسامية النشأة المابعدية	علم الفيزياء	دراسة الصخور
		تحت المجهر
	علم الكيمياء	الكيمياء الجيولوجية

(عن : Selley, 1976)

الأحافير. ويستلزم ذلك إستبعاد الأحافير من المفهوم الرسوبي.

● إن لدراسة الأحافير في إطار رواسيها فائدتان، الأولى أن علم الطبقات (Stratigraphy) يعتمد على تعريف النطاقات الطبقة الحيوية وعلى دراسة علاقاتها بالوحدات الطبقة الصخرية. وبذلك تصبح دراسة الطبقات الحيوية (Biostratigraphy) الجيدة ضرورية للتحليل الرسوبي والتحليل الجيولوجي البنائي الإقليمي. والفائدة الثانية من دراسة الأحافير يتضمن مفهوم سلوكيات هذه الأحافير عندما كانت حية ومواطنها والعلاقة فيما بينها وخصائص أماكن وجودها. ويعني هذا معرفة بعلم البيئة القديمة (Paleoecology) التي كانت تعيش فيها هذه الأحياء. وحين يتم الاحتفاظ بهذه الأحافير في أماكن استيطانها فإن ذلك يساعد على تفهم وتحليل البيئة القديمة التي ترسبت فيها الرواسب الحاوية على هذه الأحافير، (Ager, 1963). وقد أشار (Selley, 1978) بأن التحليل البيئي (Environmental analysis) يتضمن تحديد البيئة الترسيبية للراسب.

ولكي نحدد البيئة الترسيبية لصخر رسوبي فإنه يتضح لنا أهمية تعريف وتفسير خصائص الأحافير التي يحتويها هذا الصخر، وعلى سبيل المثال: تشير الطبقة الغنية بجذور النباتات (Root bed) إلى بيئة قارية، وتدل طبقة الشُعَب المرجانية على بيئة بحرية وهكذا. ومع ذلك يعتمد علم الرسوبيات التطبيقي على دراسة الشقف الصخرية المستحصل عليها من الآبار الثقبية ولكن في مثل هذه المشاريع تحت السطحية يلعب علم الأحافير الدقيقة الدور الرئيس في معرفة الطبقات الرسوبية وبيئات ترسيبها. وتعتبر الأحافير العينية والمجهريّة عنصراً أساسياً في بناء بعض الصخور الرسوبية (مثل أحجار الجير). لذا يعتبر شقاً علم الحياة القديمة (دراسة الأحافير الكبيرة والأحافير الدقيقة) ذي أهمية عظمى بالنسبة لعلم الرسوبيات.

كما يعتمد التحليل البيئي على تفسير الخصائص الطبيعية للصخر الرسوبي. ويشتمل ذلك معرفة حجوم الحبيبات وأنسجتها والبنات الرسوبية. ويتضمن مفهوم القوى المائية دراسة حركة السائب (Fluid movement) وتختص القوى المائية بالعلاقة الموجودة بين تدفق السائب والحبيبات الصلبة. وقد أشار (Allen, 1970b) إلى إمكانية دراسة هذه الأنظمة الطبيعية باستخدام النظريات الرياضية والتجارب المختبرية أو في

الدراسة الحقلية في البيئات الرسوبية الحديثة. كما يمكن تطبيق هذه الخطوط التحليلية في المعاملات الطبيعية للرواسب القديمة وذلك لتحديد عمليات السوائل (Fluids) التي تتحكم في ترسيب هذه الرواسب.

وتستلزم دراسة التحليل البيئي تطبيق علم الكيمياء في دراسة الرواسب. حيث تدل المعادن الفتاتية للصخور القارية على مصادرها وتاريخ ترسيبها السابق. كما يمكن من دراسة المعادن ذات النشأة المحلية (Authigenic minerals) التعرف على بيئة ترسيب الصخر وتاريخ النشأة المابعدية اللاحق.

ومن هنا يمكننا القول إن التحليل البيئي لراسب ما يشتمل على تطبيق علم الأحياء والفيزياء والكيمياء على الصخور الرسوبية.

يشكل التحليل السحني (Facies analysis) فرع من أفرع علم الرسوبيات الإقليمي والذي يتضمن ثلاثة تمارين. حيث يجب تجميع رواسب منطقة ما في سحنات تعرف بصخورها وبنياتها الرسوبية وأحافيرها. ويستنبط من ذلك بيئة كل سحنة وتوضع السحنات ضمن إطار زمني مستخدمين علم الطبقات الحيوية (Biostratigraphy).

ويتشابه التحليل السحني مع التحليل البيئي في استخدام علم الأحياء والفيزياء والكيمياء للتعرف على خصائص الصخور الرسوبية. إلا أن التحليل السحني، وعلى مقياس إقليمي واسع النطاق، يشتمل على دراسة جميع أحواض الترسيب كجزء متكامل. وهنا تصبح أهمية الفيزياء الجيولوجية (Geophysics) مرتبطة ليست فقط بالغطاء الرسوبي ولكن بفهم الخصائص الطبيعية والعمليات المتعلقة بالقشرة الأرضية التي تشكلت منها الأحواض الرسوبية.

لقد استخدمت مصطلحات علم خصائص الصخور (Petrology) ودراسة الشرائح الصخرية تحت المجهر (Petrography) بشكل تطبيقي متبادل لكي تعطى دراسة الصخور تحت المجهر (Carozzi, 1960; Folk, 1974). وتشتمل هذه الدراسة الخصائص الطبيعية وهي من خصائص المسامية والنفاذية للصخر نفسه وهذه متعلقة بالدراسة المعدنية للصخور.

ويستفاد من دراسة مكونات الصخر الرسوبي في اكتشاف مصادر الصخور القارية وفي معرفة بيئات العديد من صخور الكربونات وتكشف دراسة الشرائح

الصخرية تحت المجهر عن عمليات النشأة المابعدية أو التغيرات التي يتعرض لها الراسب بعد ترسيبه وتكوينه. وتوضح دراسة نشأة المعادن المابعدية (Diagenesis) الكثير من التفاعلات الكيميائية التي تحدث بين مكونات الصخر الرسوبي والسوائب التي تتدفق بين مساماته. وتقع أهمية دراسة النشأة المابعدية لما ينتج عنها من ازدياد أو انخفاض في نسبة مسامية ونفاذية الصخر. وهذا له علاقة وطيدة بدراسة خزانات المياه (Aquifers) ومخازن الهيدروكربونات أو الفحم الهيدروجينية (Hydrocarbon reservoirs) وتساعد دراسة التغيرات المعدنية المابعدية التي تحدث في الصخر الرسوبي على تفهم عمليات النشأة المابعدية والتي تشكل عنها رواسب معدنية متعددة مثل كبريتيد الزنك والرصاص. ويستخدم مصطلح جيوكيمياء الرسوبيات (Sedimentary geochemistry) في تطبيق الدراسة الكيميائية البحتة على الصخور الرسوبية. ويتم ذلك في دراسة الرواسب الكيميائية والرواسب ذات التمدن الدقيق والتي يصعب دراستها تحت المجهر. ونذكر هنا بعض هذه الرواسب مثل معادن الطين والفوسفات وصخور البخر.

وتهتم دراسة الكيمياء الأرضية العضوية بتكوين ونضوج الفحم الحجري وخام الزيت والغاز الطبيعي.

وسوف يظهر لنا من دراسة الفصول القادمة كيف أن العلوم الأساسية مثل الأحياء والفيزياء والكيمياء تلعب دوراً كبيراً في تحديد مفهوم علم الرسوبيات وفي تحقيق الفائدة المرجوة منه. لذا يجب أن ندرك حقيقة الأمر وهي أن علم الرسوبيات يعتمد كلية على هذه العلوم الأساسية في الوصول إلى معرفة الغاية المرجوة منه.

### علم الرسوبيات عند العرب

لقد كان لعلم الرسوبيات نصيب عند علماء العرب والمسلمين ومن بين هؤلاء العلماء كل من محمد الكرخي وأبي الريحان البيروني وأبي علي ابن سينا. ونوجز فيما يلي ما ساهم به هؤلاء العلماء في حقل علم الجيولوجيا عامة وما يتعلق بعلم الرسوبيات خاصة:

### محمد بن الحسن بن الحاسب الكرخي

لا نعرف عن هذا العالم العربي إلا أنه قد عاش في القرن الخامس الهجري ولم يصلنا من كتبه غير كتابه المسمى «أنباط المياه الخفية» الذي طبع في الهند سنة ١٣٥٩هـ. وقد تحدث فيه عن كيفية استخراج المياه الجوفية والعلامات الدالة على وجود الماء والأجهزة الهندسية المستخدمة في بناء القنوات. يقول الكرخي في كتابه «أنباط المياه الخفية»:

«في الأرض حركات دائمة، منها طلب الأبنية للوقوع والانهدام والميل عن سمت الاستقامة، وكذلك الجبال والقلاع تنهار قليلا وتفتت طلبا للمركز والأرض الرخوة في تربتها حركة دائمة، وهي طلب أجزائها الصلابة باعتماد بعضها على بعض. وأعظم هذه الحركات المذكورة انتقال المياه العظيمة وجريان الأودية القوية من أرض إلى أرض في الأزمنة الطويلة، فإذا اجتمعت موادها في ناحية من نواحيها وارتفعت حتى بعد سطحها من المركز وسوى ذلك بعد الوضع المحاذي له الذي يقابله، ثم بعد المساواة زاد عليه، تحركت الأرض طلبا للمعادلة المذكورة، فتتغير لذلك عروض البلاد ومطالعها وأنصاف نهارها، ويعتبر ذلك سبب انتقال البحار وظهور عيون وغيض عيون ولا يكون ذلك دفعة واحدة في ساعة واحدة بل يكون على التدريج كانتقال العمارات من الأرض لأرض» (الكرخي، ١٣٥٩هـ).

ونلاحظ من النص السابق أن الكرخي قد بين فكرة التوازن الأرضي، كما أشار إلى الدورة التضاريسية التي تنتهي عند اكتمالها بما يعرف بشبه السهل ثم تتلوها عملية إعادة التوازن الأرضي فتبعث التضاريس من جديد لتبدأ دورة تضاريسية أخرى.

### أبو الريحان البيروني

وهو من أعظم العلماء العرب المسلمين الذين أسهموا في تطور الفكر الجيولوجي. وقد درس البيروني آراء السابقين حول فكرة تبادل اليابس والماء، وحاول أن يربط بين المعرفة النظرية والعملية، ويظهر هذا من خلال نصين من أهم النصوص المنسوبة إليه،

أو لها يتعلق ببادية العرب في شمال شبه الجزيرة العربية، ويتعلق الثاني بتفسيره لأصل سهول الهند الممتدة جنوب الهيمالايا:

١ - «يتنقل البحر إلى البر، والبر إلى البحر في أزمنة، إن كانت قبل كون الناس في العالم فغير معلومة، وإن كانت بعده فغير محفوظة لأن الأخبار تنقطع إذا طال الأمد عليها، وخاصة في الأشياء الكائنة جزءاً بعد جزء، بحيث لا تظن لها إلا الخواص. فهذه بادية العرب وقد كانت بحراً فانكس حتى أن آثار ذلك ظاهرة عند حفر الآبار والحياض بها، فإنها تبدو أطباقاً من تراب ورمال ورضراض، ثم فيها من الخزف والزجاج والعظام ما يمتنع أن يحمل على دفن قاصد إياها هناك بل تخرج منها أحجار إذا كسرت كانت مشتملة على أصداف وودع وما يسمى آذان السمك، إما باقية على حالها وإما بالية قد تلاشت وبقي مكانها خلاء متشكلاً بشكلها».

٢ - «وأرض الهند من تلك البراري، يحيط بها من جنوبها بحرهم المذكور (المحيط الهندي) ومن سائر الجهات تلك الجبال الشوامخ، وإليها مصاب مياهها بل لو تفكرت عند المشاهدة فيها وفي أحجارها المملكة الموجودة إلى حيث يبلغ الحفر، عظيمة بالقرب من الجبال وشدة جريان مياه الأنهار، وأصغر عند التباعد وفتور الجري، ورمالاً عند الركود والاقتراب من المفايض والبحر، لم تكد تصور أرضهم إلا بحراً في القديم وقد انكس بحمولات السيول».

(البيروني، ١٩٥٨م).

أبو علي الحسين بن سينا

اشتهر ابن سينا بأبحاثه الطبية والفلسفية، ولكن له بعض الأبحاث العلمية المتعلقة بالأرض والكون ذات قيمة كبيرة، كما يمكن أن نعتبر ابن سينا هو مؤسس علم الأرض عندما نستعرض أعماله وأبحاثه في مجال الجيولوجيا والجيومورفولوجيا. ونجد في كتابات ابن سينا مجموعة من النصوص التي تضيف الكثير من حيث انتقال اليابس والماء، ويؤكد في جميع كتاباته على عنصر الزمن، وأن ذلك يتم ببطء وعلى مدى فترات طويلة. ومن تلك النصوص نختار نصين في غاية الأهمية:

١ - «ويجوز أن يعرض للبحر أيضاً أن يفيض قليلاً قليلاً على بر مختلط سهل وجبل ثم ينضب عنه، فيعرض للسفح منه أن يستحيل طيناً ولا يعرض ذلك للجبل وإذا استحال طيناً كان مستعداً لأن يتحجر عند الانكشاف ويكون تحجره تحجراً سافياً قوياً، وإذا وقع الانكشاف على ما تحجر وبما كان المتحجر القديم، في حد ما، استعد للفتت، ويجوز أن يكون ذلك يعرض له عكس ما عرض للتربة من أن هذا يربط ويلين عوداً ويعود تراباً وذلك يستعد للحجرية، كما إذ نعتت أجرة وتراباً وطيناً في الماء ثم عرضت الأجرة والطين والتراب على النار عرض للأجرة أن زادها الاستنقاع استعداداً للفتت بالنار ثانياً وللتراب والطين استعداداً لاستحجار قوى».

٢ - «والجبال تكونها من أحد أسباب تكون الحجارة، والغالب أن تكونها من طين جف على طول الزمان، تحجر في مدد لا تضبط، فيشبه أن تكون هذه المعمورة قد كانت في سالف الأيام غير معمورة بل مغمورة في البحار فتحجرت، أما بعد الانكشاف قليلاً قليلاً في مدد لانفي التآريخيات بحفظ أطرافها، وأما تحت المياه لشدة الحرارة المختفية تحت البحر، والأولى أن يكون بعد الانكشاف وأن تكون طينتها تُعِينها على التحجر، إذاً تكون طينها لزجة، ولهذا ما يوجد في كثير من الأحجار إذا كسرت أجزاء الحيوانات المائية كالأصداف وغيرها».

وقد أدرك ابن سينا هنا فكرة تغيرات مابعد الترسيب وهي التغيرات اللازمة لتحويل الرسوبيات إلى صخور. (ابن سينا، ١٩٦٥م).

ولمزيد من المعلومات عن الجيولوجيا عند العرب إقرأ كتاب «أساسيات علم الجيولوجيا»، تأليف الدكتور محمد يوسف حسن وآخرين (١٩٨٣م)، ص ص ٢١ - ٢٣ وكتاب «إسهام علماء المسلمين الأوائل في تطور علوم الأرض» تأليف النجار والدفاع (١٤٠٩هـ/١٩٨٨م).





## الفصل الثاني



## الخصائص الطبيعية للحبيبات

- مقدمة ● حجم الحبيبة ● شكل الحبيبة
- النسيج السطحي للحبيبات ● الطراز
- التعبئة ● النفاذية ● المسامية ● العلاقة بين الطراز والمسامية.



## مقدمة

يقصد بدراسة الخصائص الطبيعية للحبيبات الرسوبية (Sedimentary grains) معاينة خصائص هذه الحبيبات من حيث الحجم (Size) ، والشكل (Shape) ، وترتيب الجزيئات المعدنية (Fabric) داخل أي صخر. وتطلق كلمة نسيج (Texture) بصفة عامة على دراسة هذه الخصائص للجسيمات الرسوبية. وتختلف أنسجة الرواسب (Texture of sediments) عن البنيات الرسوبية (Sedimentary structures) في أن الأولى تمثل العلاقة الموجودة بين حبيبة وحبيبة داخل الصخر الواحد، بينما الأخيرة تتعلق بالبنيات الكبيرة الشكل والحجم والتي يمكن دراستها وملاحظتها على الطبيعة في الحقل. ومن بين أمثلة البنيات الرسوبية علامات النيم (Ripple marks) التقطاع (Cross-bedding) والترقق (Lamination). وأفضل طريقة لدراسة عناصر النسيج الرسوبي هي استعمال عدسة مكبرة أو المجهر وكلاهما يستعمل في تكبير وتوضيح الجسيمات الصخرية. وتتم مثل هذه الدراسة باستعمال عينة صخرية صغيرة في حالة استعمال العدسة المكبرة أو معاينة شريحة صخرية في حالة استعمال المجهر. وعادة تتم دراسة البنيات الرسوبية على الصخور الظاهرة في الحقل وقليل من هذه البنيات يمكن دراستها باستعمال عينات صخرية. وذلك مثل الترقق التقطاع (Cross-lamination) أو التطبيق المتدرج (Graded bedding).

ويعتقد أن معظم الرواسب الحديثة التكون، يوجد بها نسبة عالية من الفراغات أو المسام (Pores) وقد تصل نسبة المسام في حجر الرمل (Sandstone) وقت الترسيب ما بين ٢٠ - ٥٥٪ من نسبة الحجم العام للصخر نفسه. بينما قد تصل إلى نسبة ٨٠٪ من نسبة الحجم العام لصخر الغرين (Silt) أو الطين (Clay) عند وقت الترسيب (Pettijohn, 1975 and Selley, 1976) وهذه الظاهرة في الصخور الرسوبية تتناقض جذريا مع حالتها في الصخور النارية والمتحولة والتي قد تحتوي على نسبة ضئيلة من المسام الفراغية عند تكوينها (Pettijohn, 1975). ومع مرور الزمن تمتلئ الفراغات في الصخور الرسوبية بمحاليل المعادن الثانوية مثل الكربونات أو السليكا أو معادن الطين. ويؤثر هذا على مسامية الصخور فتتخفص درجة المسامية ويسمى النسيج الناشئ عن هذا التغير بالنسيج المتغير (Diagenetic textures). وهذه الأنسجة الناشئة

ما هي إلا تبلورات معدنية متأخرة التكوين . ويحتمل أن تبقى هذه المتبلورات المعدنية الجديدة لدرجة أن الترتيب الداخلي الرسوبي الأصلي يصعب رؤيته تحت المجهر . أو قد ينعدم ، وفي معظم الحالات يبقى الترتيب الداخلي الأصلي على هيئة أثر باهت يمكن تقصّيه تحت المجهر .

### حجم الحبيبة Grain Size

لقد أصبح من الطبيعي جداً لعلماء الجيولوجيا وخاصة علماء الرسوبيات (Sedimentologists) الحصول على معلومات جيولوجية واسعة النطاق والاستفادة من دراسة التحليل الحجمي للجسيمات (Particles) أو حبيبات (Grains) الرمل أو حجر الرمل . لذا نجد الكثير من المراجع العلمية المتخصصة تشير إلى طرق متعددة لأخذ حجوم حبيبات الرواسب (Grain sediments) وتفسير هذه الحجم ، بينما نجد القليل منها قد توسعت في دراسة الخصائص الطبيعية الأخرى للحبيبات مثل الشكل (Shape) الاستدارة (Roundness) أو التكور (Sphericity).

وإن من أبسط الطرق المتبعة في تقسيم حبيبات الرواسب يظهر في تحديد العلاقة الحجمية بين كل من الحصباء أو الزلط (Gravels) والرمل (Sands) والوحل (Mud) ويعتبر مقياس تدرج الحبيبات (Grade scale) للعالم ونتورث (Wentworth) للحبيبات (جدول ٢) هو الأكثر استعمالاً بين علماء الجيولوجيا ، (Wentworth, 1922). أما مقياس فآي (Phi scale) الذي اقترحه كرومباين (Krumbein, 1934) فهو يحتفظ بالأساء التدرجية في مقياس ونتورث ولكنه يحوّل الحدود المتدرجة (Grade boundaries) إلى قيمة فآي ( $\Phi = 0$ ) باستعمال اللوغاريتم (لأساس ٢) للقطر فتصبح المعادلة للمقياس فآي كالتالي :

$$\Phi (\emptyset) = -\log_2 \text{diam (mm)} ; \text{ فآي} = - \text{لوم قطر (مم)}$$

وتظهر العلاقة بين كل من مقياس ونتورث ومقياس فآي المتدرجين في (الشكلين

١ب ، ٢).

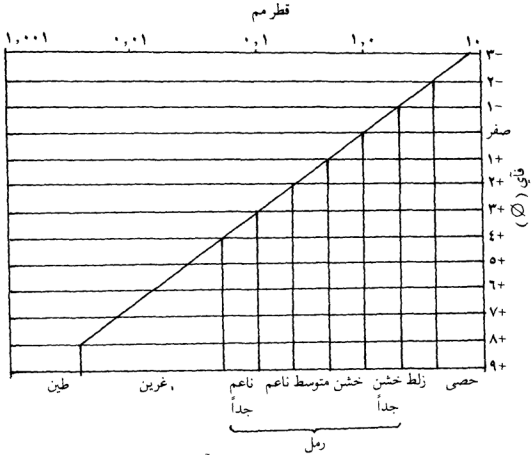
ولقد ذكر ويلي (Whalley, 1972) أن من السهل فهم محتويات حجم الحبيبة ولكن من الصعب أن نجد طرقاً صحيحة لقياس الجسيمات أو الحبيبات . فالشكل (٣)

جدول (٢). مقياس وتثورت لتصنيف الرواسب

حجم	مستدير، تحت مستدير، تحت مزواه			مزواه	
	فتات		تجمع	فتات	تجمع
زئبق (حبيبات)	جلاميد		جلاميد زلط جلاميد مُدْمَلَكَات	كتل	الدبش
	حصى كبير أو كَبَب		كَبَب زلط كَبَب مُدْمَلَكَات	-	
	حصى صغير		حصى زلط حصى مُدْمَلَكَات	-	رواهص مزواه
	حَصِيَّات		حبيبات زلط	-	
	رمل		رمل حجر رمل	-	
رمل غرين حجر طين	غرين		غرين حجر طين	-	-
	طين		طين صفحي	-	-

(عن : Wentworth, 1922)

يوضح لنا الطرق المختلفة والمتبعة حالياً في قياس حجم الحبيبات المختلفة مثل حبيبات الزلط، الرمل، الغرين (Silt) والطين (Clay). وأوضح (الحمدان، ١٩٧٥) أن معرفة حجم الحبيبة أو الجسيم تتم عن طريق معرفة طول قطرها إن كانت حبيبة دائرية

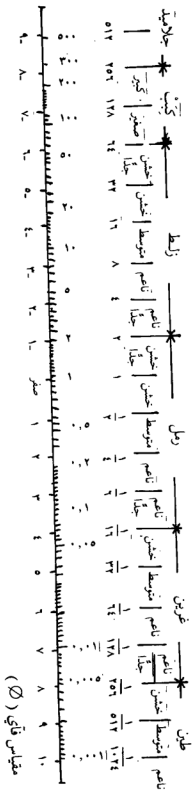


شكل (١ب). العلاقة بين مقياس ونورث ومقياس فاي، (عن: Selley, 1976)

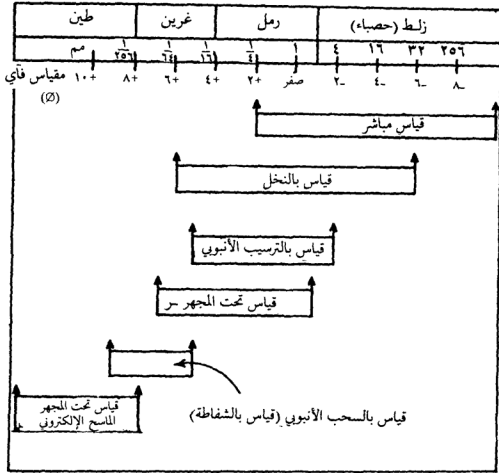
ومنتظمة الشكل بينما يتم تحديد حجم أي حبيبة غير منتظمة الشكل عن طريق أخذ المتوسط الحسابي لأقطارها المتعددة الأطوال. والطريقة الشائعة في قياس حجم الحبيبات تعتمد على التقدير البصري ومقارنتها بعينات حبيبات معروفة أحجامها. وتكتسب هذه الطريقة بالخبرة المستمرة، وفي معظم الأحيان تعطي نتائج معتمدة. ويمكن قياس حجم حبيبات كل من الرواسب الملتحمة الصلبة (Indurated sediments) أو الرواسب غير المتناسكة (Unconsolidated sediments) بإحدى الطرق التالية:

#### طرق القياس الحجمي للحبيبات Methods of grain size measurements

حيث إن الحبيبات تختلف في أحجامها فإن هناك طرقاً مختلفة تستعمل لقياس



شكل (٦). تحويل مقياس فاني إلى مقياس التدرج الحجمي بالمليترات.  
(عن: Pettijohn, 1975)



شكل (٣). الطرق المتعددة لقياس أحجام حبيبات الرواسب. (عن: Pettijohn et. al, 1972)

أحجام حبيبات وجسيمات الرواسب. وتتم عملية قياس أحجام الحبيبات كما هو موضح في الشكل (٣) وعلى النحو التالي:

#### ١ - القياس المباشر

تتم معرفة أحجام كل من الجلاميد (Boulders) والحصى الكبير (Cobbles) والحصى الصغير (Pebbles) أو الزلط (Gravels) بشكل عام بواسطة القياس المباشر وذلك بقياس أقطار حبيبات كل منهم يدوياً باستعمال مسطرة مُدرّجة أو شريط معدني مدرج. وفي حالة قياس قطر حبيبات الحصى الصغير (Pebbles) والتي يصل معدل



قطرها إلى ٢ مم يمكن استعمال المجهر والمثبت عليه مقياس خاص يسمى «Eye piece micrometer» وبه تدريج خاص (الحمدان ١٩٧٥م، ص ٤٤).

## ٢ - استعمال المناخل

يتم فرز حجوم حبيبات الرمل وأيضاً فرز الغرين (Silt) عن الطين (Clay) باستعمال المناخل المخصصة. وهذه الطريقة يُدَى في تطبيقها منذ عشرات السنين ولا تزال تعتبر من أفضل الطرق وأكثرها استعمالاً حيث تستخدم في معرفة حجوم حبيبات الرمل أو حبيبات حجر الرمل الهش أو غير المتحمح الحبيبات (Friable or uncemented) بينما تتم طريقة تحديد حجم حبيبات حجر الرمل المتناسك أو المتحمح الحبيبات (Cemented sandstone) عن طريق عمل شريحة صخرية له واستخدام المجهر في تحديد حجوم هذه الحبيبات، وتعتبر هذه الطريقة القياسية المباشرة لقياس حجوم الحبيبات على الشريحة الصخرية هي الطريقة المثلى والأكثر استعمالاً بعد أن استخدمها فريدمان (Friedman, 1958) والتي يمكن بواسطتها تحديد الحجم المتوسط (Mean size) للحبيبات وأيضاً يمكن قياس تصنيف (Sorting) حبيبات الرمل.

وتقاس حجوم الرمل غير المتناسك (Uncemented or friable sands) بالطريقة المثلى وهي الأهم استعمالاً وذلك بواسطة المناخل وهي طريقة سهلة وسريعة وذات نتائج صحيحة وكافية لمعظم الأبحاث العلمية. والقاعدة الرئيسة لهذه الطريقة هي كالتالي:

(أ) ترتب مجموعة المناخل المخصصة ترتيباً تنازلياً من حيث سعة أقطار فتحات كل منخل (وذلك بوضع المنخل ذي الفتحات الصغرى  $\frac{1}{4}$  مم = + ٢ فآي) أسفل المجموعة والمنخل ذي الفتحات الكبرى (٤ مم = - ٢ فآي) في أعلى المجموعة، مشابهاً بذلك لترتيب مقياس ونورت للـحجـوم)، (شكل ٤).

وقد تكون الفترة الحجمية بين المناخل (Size interval) كالتالي:

يمكن استعمال مناخل ذات فتحات قطرية تُفَرَّقُ فيما بينها بواحد فآي على سبيل المثال يصبح الترتيب ١، ٢، ٣، ٤، . . . فآي، أو ذات فتحات قطرية تُفَرَّقُ فيما بينها بنصف فآي حيث يصبح الترتيب  $\frac{1}{4}$ ، ١،  $\frac{1}{2}$ ، ١،  $\frac{3}{4}$ ، ٢،  $\frac{1}{2}$ ، ٣،  $\frac{3}{4}$ ، ٣، . . . فآي. ولكن كثير من الدراسات العليا والأعمال البحثية المتقدمة يستوجب الأمر استخدام

رتبة الحجم	قطر الحبيبة (فأى Ø)	التحديد (مم)
جلاميد	كبير جدا	١١ - ٢٠.٤٨
	كبير	١٠ - ١٠.٢٤
	متوسط	٩ - ٥.١٢
	صغير	٨ - ٢.٥٦
حصى كبير	كبير	٧ - ١٢.٨
	صغير	٦ - ٦.٤
	تحشن جدا	٥ - ٣.٢
	تحشن	٤ - ١.٦
حصى صغير	متوسط	٣ - ٨
	ناعم	٢ - ٤
	ناعم جدا	١ - ٢
	تحشن جدا	صفر - ١
رمل	تحشن	١ - ٥.٠٠
	متوسط	٢ - ٢.٥٠
	ناعم	٣ - ١.٢٥
	ناعم جدا	٤ - ٠.٦٢
غرين	تحشن جدا	٥ - ٠.٣١
	تحشن	٦ - ٠.١٦
	متوسط	٧ - ٠.٠٨
	ناعم	٨ - ٠.٠٤
طين	ناعم جدا	٩ - ٠.٠٢

شكل (٤). ترتيب تنازلي لسعة أقطار فتحات المناخل بمقياس كل من فأى والمليمترات.

مناخل ذات فتحات قطرية تفرق فيما بينها برقع فأى، فيصبح ترتيب المناخل  $\frac{1}{4}$ ،  $\frac{1}{2}$ ،  $\frac{3}{4}$ ،  $1$ ،  $1\frac{1}{4}$ ،  $1\frac{1}{2}$ ،  $1\frac{3}{4}$ ،  $2$ ،  $2\frac{1}{4}$ ،  $2\frac{1}{2}$ ،  $2\frac{3}{4}$ ،  $3$ ، ..... فأى، وذلك للحصول على نتائج حجمية أكثر دقة وأقرب للحقيقة.

- (ب) تؤخذ عينة رمل معروفة الوزن (وليكن ٥٠ جرام) وتمرر خلال مجموعة المناخل المعروفة سعة فتحاتها.
- (ج) تثبت مجموعة المناخل المحتوية على عينة الرمل على الجهاز المختص وتُهرز ميكانيكياً لمدة ما بين ١٥ - ٢٠ دقيقة.
- (د) تفرغ بدقة الأحجام التي تستقبل في كل منخل على صفحة من الورق ثم توزن وتحسب النسبة المئوية لكل مجموعة من الوزن الكلي للعينة.
- (هـ) تُدوّن هذه الأوزان المئوية ثم تحسب النسبة التجميعية لها كما في الجدول رقم (٣).

(و) يرسم المدرج التكراري (Histogram) والمنحنى التواتري (Frequency curve) والمنحنى التجميعي أو التراكمي (Cumulative curve) من هذه الأوزان (شكل ٥) ومن ثم تستخرج مقاييس الحجم (Size parameters) لهذه العينة الرملية (راجع الحمدان، ١٩٧٥م، ص ص ٥٤ - ٦٧ وفولك ١٩٧٤). ويتم تمثيل التحليل الحجمي الحبيبي كالتالي:

#### تمثيل التحليل الحجمي الحبيبي

لقد تطرق لهذا الموضوع بالتفصيل باحثين عدة، أمثال كل من:

Trask (1930), Krumbein (1934), Krumbein and Pettijohn (1938), Inman (1974), Folk and Ward (1957), Folk (1966 and 1974) والحمدان (١٩٧٥م).

ولقد أوضحت أبحاث البُحّاة السابقين إلى أن هناك عدة طرق لإبراز نتائج التحليل الحجمي الحبيبي ولكن يعتمد استخدام إحدى هذه الطرق على طبيعة ونوعية غرض الدراسة، لذا يستلزم الأمر من الباحث معرفة كل الطرق حتى يتمكن من اختيار الأفضل والأنسب لدراسته. وربما تعمل رسوم التحاليل الحجمية للحبيبات مباشرة باستخدام وحدة المليمترات، وفي هذه الحالة تستعمل أوراق الرسم البياني المعروفة بالورق ذي التقسيم اللوغاريتمي الحسابي المنتظم (Logarithmic-base paper) أو في حالة استخدام وحدة الفاي يستعمل ورق الرسم البياني المسمى بالورق ذي التقسيم الحسابي المنتظم (Arithmetic-base paper). وتعتبر الحالة الثانية الأريح

رقم العينة *SAMPLE NO.:* W76 التاريخ *DATE:* Dec. 2, 1994  
 الوزن الأولي *INITIAL WEIGHT:* 60.60 gm فترة النخل *SIEVING TIME:* 15 Min  
 الوزن النهائي *FINAL WEIGHT:* 60.57 gm

الخطأ *Error:* 0.03 gm

النسبة المئوية للخطأ *% Error:* 0.05

متوسط حجم الحبيبات *Mean  $M_z$ :* 1.23 Medium sand

رمل متوسط الخشونة

معامل التصنيف البياني الشامل  *$\sigma_f$ :* 0.85 Moderately sorted

تصنيف معتدل

معامل الحبيود البياني الشامل  *$Sk_f$ :* 0.01008 Fine Skewed

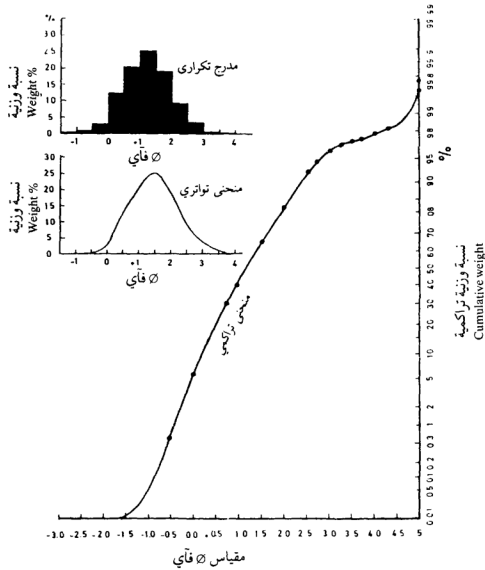
حيود ناعم

معامل التفرطح البياني  *$K_g$ :* 0.998 Mesokuric

تفرطح عادي

النخل بوحدة فأى Sieve ( $\phi$ units)	الوزن بالجرامات Weight in gms	نسبة الوزن Weight %	الوزن المتراكم Cumulative Wt.	نسبة الوزن المتراكم Cum. Wt. %	ملاحظات Remarks
-2.00					
-1.50					
-1.00	0.025	0.04	0.025	0.04	
-0.50	0.375	0.62	0.40	0.66	
0.00	2.92	4.82	3.32	5.5	
0.50	8.75	14.4	12.07	19.9	
1.00	12.6	20.8	24.67	40.7	
1.50	15.08	24.9	39.75	65.6	
2.00	11.46	18.92	51.21	84.5	
2.50	5.13	8.5	56.34	93.0	
3.00	2.12	3.5	58.46	96.5	
3.50	0.71	1.18	59.17	97.64	
4.00	0.36	0.60	59.53	98.23	
طبق الاستقبال pan	1.04	1.72	60.57		

جدول ٣. نموذج تدوين التحليل الحجمي

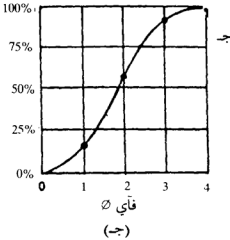
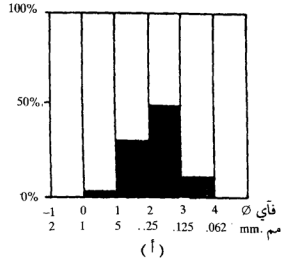
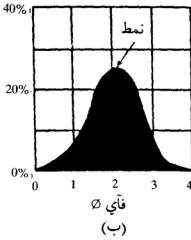


شكل (٥). تمثيل التحليل الحجمي الحبيبي.

والأدق قراءة (Folk, 1974) ويمكن إيجاز طرق إظهار نتائج التحليل الحجمي الحبيبي والتي استفاد في شرحها كل من (Folk, 1974) والحمدان (١٩٧٥م)، وهي كما يلي:

#### (أ) المدرج التكراري Histogram

يتكون من عدة أعمدة متراصة بشكل مجاور (شكل ٦ أ) ويمثل كل عمود نسبة مئوية لحجم تدريجي تحتويه العينة المفحوصة. وبالرغم من أنه يسهل إعداد رسم المدرج التكراري وأيضاً يعطي معلومات عامة عن خصائص الراسب إلا أنه لا يمكن



شكل ٦. تمثيل التحليل الحجمي الحبيبي : بيبي

(أ) مُدرّج تكراري

(ب) منحنى تواتري

(ج) منحنى تراكمي

(عن : Folk, 1974)

استخدامه في تحديد أي معاملات حجمية مثل معامل الحجم الحبيبي الوسيط أو معامل الحجم الحبيبي المتوسط أو معامل التصنيف أو ... إلخ. ويجب أن ندرك أن شكل رسم المدرّج التكراري يتأثر بنوعية اختيار الفترة الحجمية (Size interval) بين المناخل إذا كانت ربعية أو نصفية أو ... إلخ. كما أنه ربما يظهر رسم مُدرّج تكراري آخر لو حللت نفس العينة باستعمال طقم مناخل أخرى. إلا أن هذه الطريقة تعطي صورة جيدة عن التوزيع الحجمي للرواسب المدونة على خريطة أو في قطاع طبقي حيث يسهل مقارنة جميع المدرّجات التكرارية بالنظر إليها فقط وهذا لا يستدل عليه من النظر إلى رسوم المنحنيات التراكمية لنفس العينات.

**(ب) منحني التواتر Frequency curve**

يتشكل منحني التواتر عندما نلطف أو نبتر أطراف أو زوايا مضلعات المدرج التكراري (شكل ٦ ب) حيث نحصل على منحني أملس يمر فوق تلك الأعمدة التكرارية. وبالرغم من عدم إمكانية قراءة أية معاملات حسابية حجمية من منحني التواتر إلا أنه يعتبر أكثر دقة من المدرج التكراري لأن شكله لا يتأثر بالحدود غير العادية لأصناف الحجم. ويمكن تصور شكل منحني التواتر برسم إطار منحني شكل الجرس الذي يظهر بصورة مستمرة والتي تحمل محل رسم الأعمدة التكرارية المتقطعة. ويوضح الشكل (٧أ، ب، ج) أنواع المنحنيات التواترية النموذجية والتي تظهر عليها مواقع كل من النمط (Mode) والقطر الوسيط (Median) والحجم المتوسط (Mean size). ومن الشكل السابق يمكن تعريف النمط بأنه أعلى نقطة لرتبة حجمية تقع على قمة منحني التكرار.

وسيا أن شكل منحني التواتر يعمل بصورة مستقلة عن الفترات المنخلة المستخدمة لذا فإنه يعكس صورة حجمية أفضل عن العينة من الصورة التي يبرزها المدرج التكراري.

**(ج) منحني التراكم Cumulative curve**

لقد بين الحمدان (١٩٧٥م) طريقة رسم منحني التراكم حيث يتم بناؤه بطريقة تماثل بناء المدرج التكراري فيما عدا أن المضلعات العمودية توضع فوق بعضها وكل منها على الجانب الأيمن من الصنف الذي يسبقه حتى يصبح لدينا منحني خطي كما في الشكل (٦ ج). ويستلزم الأمر هنا أن يكون المقياس الرأسى ١٠٠٪ والمقياس الأفقي للحجم يكون إما بالمليمتر أو لوغاريتمي بوحدة الفاي. وعادة يأخذ منحني التراكم للعينة المحللة شكل الحرف (S) بصورة تقريبية. ويجب أن يمر خط المنحني من خلال جميع النقاط الحجمية التراكمية، والموقعة على ورقة الرسم البياني كما يجب عدم استعمال المنحني الفرنسي (المطاطي) من أجل تمليس أو تعديل خط منحني التراكم (Folk, 1974). وتعود فائدة رسم منحني التراكم لعينة راسب ما، إلى إمكانية استخراج قيم جميع المعاملات الحجمية للحبيبات منه لتلك العينة، مثل معاملات القطر الوسيط (Median) والحجم المتوسط (Mean) والتصنيف (Sorting) ومقاييس الانحراف

(Skewness) والتفرطح (Kurtosis). ويتم استخراج المعاملات الحجمية باستخدام المعادلات الحسابية التي وضعها العالمان (Folk and Ward, 1957) وهي كما يلي :

### ١ - الحجم الحبيبي الوسيط Median grain size

وهو الحد الذي يفصل منتصف العينة عن الأخرى وهو يعادل ما يُقرأ على المنحنى التراكمي عند نقطة تقاطع النسبة المئوية الخمسين (٥٠٪) مع منحنى التوزيع. (شكل ٦ جـ).

### ٢ - الحجم الحبيبي المتوسط Graphic mean

والذي يستخرج باستخدام المعادلة التالية :

$$M_z = \frac{\phi 16 + \phi 50 + \phi 84}{3}$$

### ٣ - معامل التصنيف البياني الشامل Inclusive graphic standard deviation

والذي يبين نوعية تصنيف العينة من خلال درجة تصنيف المواد المترسبة حول الحجم المتوسط والتي يمكن منها معرفة اتجاه جميع الحبيبات سواء أكانت ذات رتبة حجمية حبيبية واحدة أم أنها خليط من جميع الحجم. وتستخدم المعادلة التالية في استخراج قيمة تصنيف حبيبات العينة المدروسة :

$$\sigma_1 = \frac{\phi 84 - \phi 16}{4} + \frac{\phi 95 - \phi 5}{6.6}$$

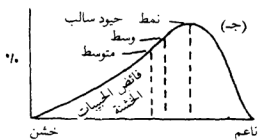
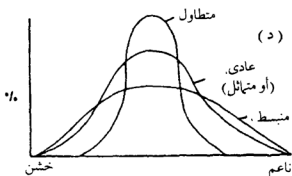
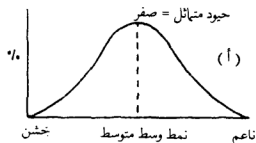
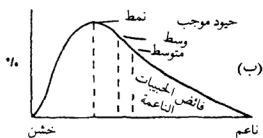
وعند استخراج قيمة التصنيف يمكن معرفة رتبة تصنيف العينة وذلك بمقارنتها بمقياس التصنيف الذي وضعه العالم (Folk, 1974).

$\sigma_1$ under 0.35 $\phi$ = very well sorted	تصنيف جيد جداً
0.35 - 0.50 $\phi$ = well sorted	تصنيف جيد
0.50 - 0.71 $\phi$ = moderately well sorted	تصنيف جيد بشكل معتدل
0.71 - 1.0 $\phi$ = moderately sorted	تصنيف معتدل
1.0 - 2.0 $\phi$ = poorly sorted	تصنيف رديء
2.0 - 4.0 $\phi$ = very poorly sorted	تصنيف رديء جداً
over 4.0 $\phi$ = extremely poorly sorted	تصنيف رديء للغاية



٤ - معامل الحيود (أو الانحراف) البياني الشامل Inclusive graphic skewness ويشير هذا المعامل إلى الجانب الذي تشغله أغلبية حبيبات العينة من حيث الخشونة والنعمة ويظهر ذلك بوضوح من الشكل (٧ أ، ب، ج). ويستخرج مقياس الحيود باستخدام المعادلة التالية :

$$SK_1 = \frac{\phi 84 + \phi 16 - 2\phi 50}{2[\phi 84 - \phi 16]} + \frac{\phi 95 + \phi 5 - 2\phi 50}{2[\phi 95 - \phi 5]}$$



شكل (٧). أ، ب، ج: منحنيات أنواع الحيود. (عن: Friedman and Sanders, 1978)

د: منحنيات أنواع التفرطح. (عن: Selley, 1976)

وعند استخراج قراءة مقياس حيود راسب ما، يمكن مقارنته بالقراءات التي وضعها العالم (Folk 1974) حتى يتم تحديد نوعية حيود تلك العينة وفي أي اتجاه :

SK<sub>1</sub> from + 1.00 to + 0.30 strongly fine-skewed

حيود شديد النعومة

+ 0.30 to 0.10 fine-skewed

حيود ناعم

+ 0.10 to - 0.10 near-symmetrical

حيود متقارب التماثل

- 0.10 to - 0.30 coarse-skewed

حيود خشن

حيود شديد الخشونة - 0.30 to - 1.00 strongly coarse-skewed

### ٥ - معامل التفرطح البياني Graphic kurtosis

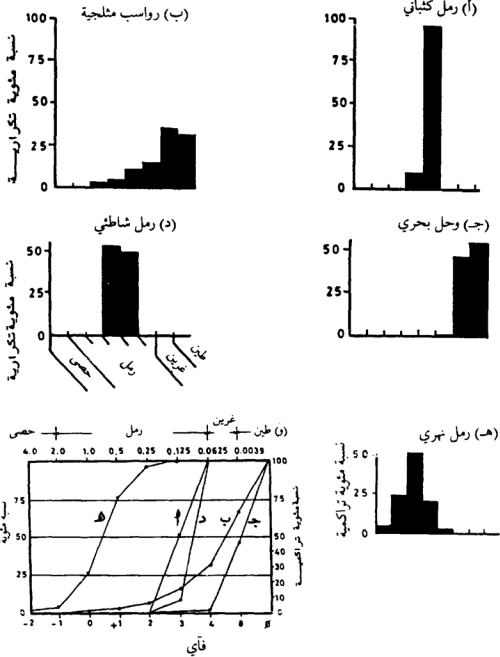
ويشير هذا المعامل إلى درجة تَقَمُّم منحنى التفرطح الناجم عن أغلبية رتب حجوم عينة الراسب. والمعادلة التي وضعها العالم فولك (Folk, 1974) لاستخراج هذا المقياس هي كالتالي:

$$K_G = \frac{\phi_{95} - \phi_{5}}{2.44 [\phi_{75} - \phi_{25}]}$$

ويوضح الشكل (٥٧) أنواع التفرطح الحجمي الحبيبي كما تظهر من المنحنيات التكرارية. وعند استخراج مقياس التفرطح من المنحنى التراكمي للعينة يمكن مقارنته بالمقاييس التي وضعها العالم (Folk, 1974) في هذا الشأن والتي تحدد لنا نوعية التوزيع التفرطحي لهذه العينة، وهو كالتالي:

تفرطح منبسط جداً	$K_G$ Under 0.67 very platykurtic
تفرطح منبسط	0.67-0.90 platykurtic
تفرطح عادي	0.90-1.11 mesokurtic
تفرطح مرتفع	1.11-1.50 leptokurtic
تفرطح مرتفع جداً	1.50-3.00 very leptokurtic
تفرطح مرتفع للغاية	Over 3.00 extremely leptokurtic

وتعتبر النماذج التي أوضحها العالم (Selley, 1976) عن رسوم المُدرَّجات التكرارية لعدة عينات مأخوذة من بيئات رسوبية مختلفة (شكل ٨ أ، ب، ج، د، هـ) يمكن إرفاقها هنا لإعطاء الطالب فكرة عامة عن العلاقة الموجودة بين المُدرَّج التكراري ونوعية البيئة الرسوبية المرتبطة به. كما يمكن إيضاح ذلك برسوم المنحنيات التراكمية (Cumulative curves) (شكل ٨ و) لنفس العينات التي استخدمها العالم سالي ودون معطياتها الحجمية الحبيبية والبيئة الرسوبية ذات العلاقة في الجدول (٤). وتعكس رسومات المنحنيات التراكمية فائدة عظيمة حيث يمكن عمل عدة منحنيات على ورقة



شكل ٨. (أ، ب، ج، د، هـ) مَدْرَجَات تَكَرَّارِيَّة تُظْهِرُ رَتَبَ حِجْمِيَّة لِرَوَاسِبِ مُخْتَلِفَةٍ مِنْ بَيْثَاتِ تَرْسِيْبٍ مُخْتَلِفَةٍ، (و) مَنَحْنِيَّاتِ تَرَكَمِيَّةٍ لِنَفْسِ عَيِّنَاتِ الْمَدْرَجَاتِ التَكَرَّارِيَّةِ.

(عن : Selley, 1976)

جدول (٤) : مؤلفيات جمعية جيئية لرواسب حديثة يُقَدَّرُ أنَّه حسب النسبة الوزنية والنسبة التراكمية

حجم العينة			عينة أ: رمل ريفي		عينة ب: رمل ريفي		عينة ج: رمل ريفي		عينة د: رمل ريفي		عينة هـ: رمل ريفي	
المقياس	م	م	من كيان	عينة أ: رمل ريفي	عينة ب: رمل ريفي	عينة ج: رمل ريفي	عينة د: رمل ريفي	عينة هـ: رمل ريفي	عينة د: رمل ريفي	عينة د: رمل ريفي	عينة هـ: رمل ريفي	عينة هـ: رمل ريفي
خضيات	٤	٢ -	٢ -	١٠٠٠	١٠٠٠	١٠٠٠	١٠٠٠	١٠٠٠	١٠٠٠	١٠٠٠	١٠٠٠	١٠٠٠
خشن جدًا	٢	١ -	١ -	١٠٠٠	١٠٠٠	١٠٠٠	١٠٠٠	١٠٠٠	١٠٠٠	١٠٠٠	١٠٠٠	١٠٠٠
خشن	١	٠	٠	١٠٠٢	١٠٠٢	١٠٠٢	١٠٠٢	١٠٠٢	١٠٠٢	١٠٠٢	١٠٠٢	١٠٠٢
متوسط	١	٠	٠	٩٠٠٢	٩٠٠٢	٩٠٠٢	٩٠٠٢	٩٠٠٢	٩٠٠٢	٩٠٠٢	٩٠٠٢	٩٠٠٢
ناعم	٢	٠	٠	٩٠٠٢	٩٠٠٢	٩٠٠٢	٩٠٠٢	٩٠٠٢	٩٠٠٢	٩٠٠٢	٩٠٠٢	٩٠٠٢
ناعم جدًا	٣	٠	٠	٩٠٠٢	٩٠٠٢	٩٠٠٢	٩٠٠٢	٩٠٠٢	٩٠٠٢	٩٠٠٢	٩٠٠٢	٩٠٠٢
غسرين	٤	٠	٠	٩٠٠٢	٩٠٠٢	٩٠٠٢	٩٠٠٢	٩٠٠٢	٩٠٠٢	٩٠٠٢	٩٠٠٢	٩٠٠٢
طين	٨	٠	٠	٩٠٠٢	٩٠٠٢	٩٠٠٢	٩٠٠٢	٩٠٠٢	٩٠٠٢	٩٠٠٢	٩٠٠٢	٩٠٠٢
المجموع	٣٩	٨	٨	٩٩٠٩٨	٩٩٠٩٨	٩٩٠٩٨	٩٩٠٩٨	٩٩٠٩٨	٩٩٠٩٨	٩٩٠٩٨	٩٩٠٩٨	٩٩٠٩٨

(صن: Selley, 1976)

بيانية واحدة، وفي نفس الوقت تظهر اختلافات التصنيف لهذه العينات يسر ووضوح. وكلما اقترب المنحنى من الشكل الرأسي كلما عاد ذلك إلى تحسين التصنيف في هذه العينة، حيث تكون النسبة الرئيسة لهذا الراسب واقعة ضمن رتبة حجمية واحدة. أما النسب الخشنة والناعمة للعينة فإنها تشغل نهايتي المنحنى كما هو واضح من الشكل (٨ و).

وقد استفاد الباحثون :

Mason and Folk (1958); Stewart (1958); Friedman (1961, 1967); Hails (1967); Passega (1957, 1964); Moiola and Weiser (1968) يثبت رسوبية عديدة وذلك بواسطة التحليل الحجمي للحبيبات المأخوذة من رواسب حديثة وإظهار علاقة التغيرات الثنائية (Bivariant grain-size parameters) بين كل معاملين حجميين وذلك عندما توقع قيم نقاط كل معامل مقابل المعامل الآخر على ورقه رسم بياني؛ فمثلاً ترسم قيم معامل الحجم المتوسط مقابل قيم معامل التصنيف أو قيم معامل التصنيف مقابل قيم مقياس الانحراف، أو قيم مقياس الانحراف مقابل قيم الحجم المتوسط... وهكذا. (انظر نماذج الأشكال في كل من: Stewart (1958); Mason and Folk (1958); Friedman (1961, 1967); Moiola and Weiser (1968); Amaral and Pryor (1977); Moshrif (1980).

كما استطاع العالم فيشر (Visher 1965, 1972) تحليل نتائج التوزيعات الحجمية كما تظهر من منحنيات تراكمية لعينات فتاتية حديثة وربطها بطرق النقل الثلاث الرئيسة، وهي التعلق والقفز والزحف أو التدحرج ويمكن مراجعة ذلك في الفصل الرابع.

ولقد تمكن بعض الباحثين أمثال: Amaral and Pryor (1977) and Moshrif, (1980; 1989) من تطبيق هذه التحاليل الحجمية الحبيبية ولكن على رواسب قديمة واستطاعوا تمييز بيئات الترسيب للرواسب ذات العلاقة.

وحيث إن الوضع هنا لا يتسع للشرح المفصل عن التحليل الحجمي الحبيبي وغيرها من التارين العملية في هذا المقرر فإن المؤلف يقوم حالياً بإعداد كتاب عملي لدراسة الرواسب والصخور الرسوبية وذلك لاستخدامه في تدريس عملي هذه المادة

وتدريس عملي آخر لمادة الصخور الرسوبية، وإن شاء الله سيكون في متناول طالب العلم قريباً.

### ٣ - سرعة الاستقرار Settling velocity

تستخدم هذه الطريقة لفصل حجومات جسيمات حبيبات الرواسب الناعمة مثل الرمل الناعم، الغرين، الطين إذا اجتمعت سوياً في عينة واحدة. توضع العينة المراد تحليل حجومات حبيباتها في أنبوب زجاجي (مخبر زجاجي) مليء بسائل (مثل الماء). فنجد أن رواسب العينة تستقر في قاع الأنبوب متدرجة من حيث حجومات حبيباتها تنازلياً إلى الأعلى، أي أن الحجوم الرملية الكبيرة تستقر أولاً في قاع الأنبوب ثم تليها الحجوم الأصغر فالأصغر حتى تنتهي أخيراً بالطين في أعلى الأنبوب. وهناك طرق متعددة لقياس زمن وصول الحجوم المختلفة إلى نقطة الاستقرار وكمياتها. ولا يستلزم الأمر هنا شرحها ولكن باختصار يمكن القول إن هذه الطريقة تعتمد في إيضاحها على قانون ستوك (Stokes law) القائل بأن :

$$W = \frac{(P_1 - P)g}{18\mu} / d^2$$

حيث  $W$  = سرعة الاستقرار (Settling velocity)

$(P_1 - P)$  = الفرق بين ثقل (Density difference) الحبيبة والسائل .

$g$  = ازدياد سرعة الهبوط نتيجة للجاذبية .

$\mu$  = لزوجة السائل .

$d$  = قطر الحبيبة أو الجسيم (Particle).

وحيث إن هذه الطريقة سريعة وصحيحة النتائج فقد أصبحت شائعة الاستعمال حالياً. ويمكن استعمالها أيضاً لقياس حجومات حبيبات الرواسب المحتوية على حبيبات من حجومات الرمل الخشن إلى الطين. ويستلزم الأمر هنا معرفة مدى تأثير شكل الحبيبة (Roundness and sphericity) بالإضافة إلى تأثير الاحتكاك السطحي للحبيبة على سرعة الاستقرار.

### ٤ - استخدام المجهر الإلكتروني أو الأشعة السينية

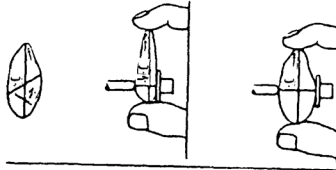
يقصر استخدام هذه الطريقة في معرفة حجومات الجسيمات الدقيقة (Particles)

مثل حجر الغرين (Siltstone) أو حجر الطين (Claystone) والتي يتعذر معرفة أحجام جسيمات كل منها عن طريق استخدام طريقة المناخل. وهذه الطريقة ذات مستوى متقدم أعلى من مستوى هذا المقرر لذا لا يلزم شرحها هنا.

### شكل الحبيبة

#### الاستدارة والتكور

أجريت عدة محاولات للتعرف على شكل الحصى الصغير أو حبيبات الرواسب. ولتحديد شكل حبيبة صخرية ما، يجب معرفة استدارة (Roundness) وتكور (Sphericity) هذه الحبيبة. وقد وصفت أشكال الحبيبات أو الحصى الصغير (Pebbles) طبقاً لمنهاج وضعه العالم زنج (Zingg 1935) شكل (٩). ويعتمد هذا المنهاج على استخراج النسب فيما بين علاقة قياس كل من طول (Length) وعرض (Breadth) وسمك (Thickness) الحبيبة أو الحصى الصغير. ويمكن وصف هذه المقاييس بالمحاور أو الأقطار الثلاثة للحبيبة وهي كالتالي:



شكل ٩. المحاور أو الأقطار الثلاثة للحبيبة.

أ = القطر الأكبر (Long diameter =  $d_L$ ) انظر شكل (٩).

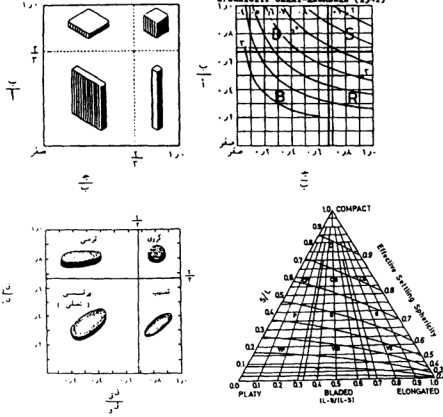
ب = القطر الأوسط (Intermediate diameter =  $d_I$ )

ج = القطر الأصغر (Short diameter =  $d_S$ )

ويمكن إيضاح منهاج التصنيف الذي وضعه العالم زنج (١٩٣٥) لدراسة أشكال

الحبيبات أو الحصى الصغير عن طريق إيجاد العلاقة بين أقطار الحبيبة،  $\frac{d_I}{d_L} = \frac{b}{l}$

و  $\frac{d_s}{d_l} = \frac{C}{B}$  . وقد تمكن زنج باستخدام العلاقة بين أقطار الحبيبة من إيجاد أربع رتب (Classes) رئيسة لأشكال الحبيبات أو الحصى الصغير في الرواسب وهي كالتالي :  
 كروية (Equant, Spherical) ، قرصية (Oblate, Disc و Tabular) ؛ ورقية - نصلية (Blade) أو قضيبية الشكل (Prolate, Rod, Roller) انظر الشكل (١٠) والجدول (٥) .



شكل ١٠. منهاج تصنيف شكل الحبيبة برتبتها الأربعة الذي وضعه زنج (١٩٣٥) .

ويتحكم في شكل الحصى الصغير أو الحبيبة كل من نوعية الصخر الأب للحبيبة والأحداث المتعاقبة تاريخياً التي تعرضت لها هذه الحبيبة . فمثلاً حبيبات صخور الشست (Schist) والاردواز (Slate) سوف تبدأ حياتها (بعد انفصالها من الصخر الأم) بأشكال رتب القرص (Disc, Tabular) أو الورق (Blade) ، بينما حبيبات الصخور ذات المعدن الواحد من الكوارتزيت (Quartzite) أكثر احتمالاً بأن تبدأ حياتها على شكل كرة



جدول (٥). يوضح العلاقة بين أقطار حبيبة ما وتحديد الرتب الأربعة للحبيبة.

(عن : Zingg, 1935)

الرتبة	$\frac{d_s}{d_L} = \frac{ب}{أ}$	$\frac{d_s}{d_L} = \frac{ج}{ب}$
كروية	أكبر من $\frac{2}{3}$	أكبر من $\frac{2}{3}$
قرصية	أكبر من $\frac{2}{3}$	أصغر من $\frac{2}{3}$
ورقية	أصغر من $\frac{2}{3}$	أصغر من $\frac{2}{3}$
قضيبية	أصغر من $\frac{2}{3}$	أكبر من $\frac{2}{3}$

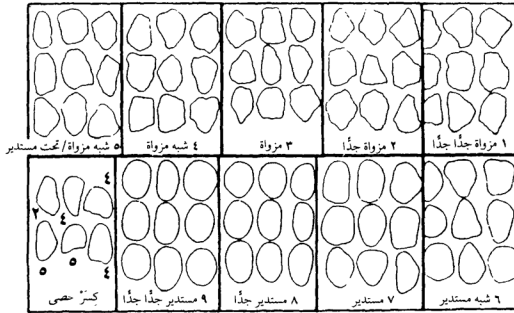
(Sphere) أو تحت كروي (Subspherical) وكلما ابتعدت الحبيبات (أو الحصىات الصغرى) عن مصدرها صغرت أحجامها وأجدر بأن تصبح كروية أو ورقية الشكل حسب ما توصل إليه العالم ميال (Miall, 1970). وقد أجريت عدة محاولات لربط أشكال الحبيبات ببيئات الترسيب (Cailleux and Tricart 1959). وقد اقترح سامز (Sames, 1966) عدة خصائص للتمييز بين حبيبات البيئات النهرية (Fluvial environment) والشاطئية القليلة العمق (Littoral zone) مستخدماً مزيج من خاصية الاستدارة والتكور لهذه الحبيبات. وقد خصصت هذه الدراسة على العينات الصخرية ذات المعدن الواحد من الظّر (Chert) والكوارتزيت.

وحيث يصعب قياس المحاور الثلاثة (Long, Medium and Short) للحبيبات ذات الحجم الرملي، لذا فإن أشكالها تحدد بقياس معامل التكور (Coefficient of sphericity) وهو مقياس الدرجة التي تقترب منها الحبيبة إلى الشكل الكروي. وقد اقترح كل من (Sneed and Folk 1958; Wadell 1935) معاملات تكور متنوعة.

وكان اقتراح سنيد وفولك (١٩٥٨) يتضمن ربط العلاقتين للمحاور  $\frac{d_s}{d_L} = \frac{ق - أ}{ق - ب}$  و  $\frac{d_s}{d_L} = \frac{ق - ب}{ق - ج}$  على شكل مثلث (انظر الشكل ١٠) مقسم إلى عدة مساحات شكلية ومخطط بأقصى حد للتكور. ومن الملاحظ أن معظم محاور الشكل معتمدة على اندماج الأقطار الثلاثة الرئيسة للحبيبة. وقد تستعمل هذه العلاقة بين

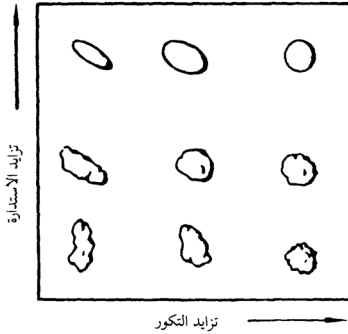
المحاور لإيجاد خصائص أشكال حبيبات موجودة في بيئات ترسيبية مختلفة. وقد يعزى اختلاف أشكال الحبيبات إلى عامل المسافة الممتدة على طول النهر وفي اتجاه المصب. يتضح لنا من الشرح السابق أن التكور (Sphericity) عبارة عن مقياس الدرجة التي تقترب بها الحبيبة من الشكل الكروي. ولتحديد هذه الخاصية يجب إيجاد العلاقة النسبية بين المحاور الثلاثة الرئيسة للحبيبة.

ولا يمكن استخدام طريقة قياس العلاقة النسبية بين أطوال المحاور الثلاثة للحبيبات الرملية لإيجاد شكل هذه الحبيبات. ولكن يمكن تحديد أشكال حبيبات الرمل بالإشارة البصرية ومقارنة معامل التكور كما هو موضح في شكل (١١). ويؤدي هذا المقياس البصري إلى تحديد مدى اقتراب الحبيبة من شكل الاستدارة. وقد اقترحت عدة معاملات للتكور في (Sneed and Folk 1958; Wadell 1935).

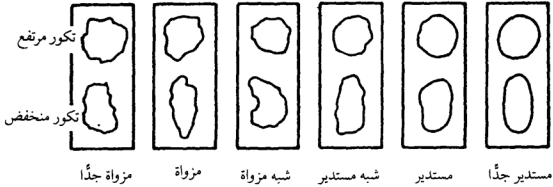


شكل (١١). مقياس بصري يحدد مدى اقتراب الحبيبة من شكل الاستدارة.

الخاصية الثانية لشكل الحبيبات هي استدارة الحبيبات وهي عبارة عن درجة انحناء أركان الحبيبة (شكل ١١، ١٤) وهذه مستقلة تماماً عن خاصية تكور الحبيبة (شكل ١٢). ولقد عُرِفَ مقياس الاستدارة (شكل ١٣) بواسطة (Russel and Taylor, 1937) وأيضاً بواسطة (Powers, 1953). وقد أشارت عدة دراسات إلى أن تكور

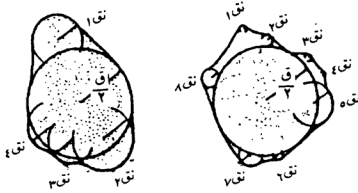


شكل (١٢) استقلالية استدارة الحبيبة عن تكورها  
(عن : Selley 1976)



شكل (١٣). مقياس استدارة الحبيبات . (عن : Powers, 1953)

واستدارة الرواسب تزداد كلما ابتعدت عن منطقة مصدرها (Laming, 1966). وقد أجرى الباحث كونن عدة تجارب على تحت (أو سحق) الحصى والرمل بواسطة طرق ربحية ومائية متعددة (Kuenen 1956 a, b, 1959; 1960) وأشارت هذه الدراسات



شكل (١٤). طريقة تحديد استدارة الحبيبة عن طريق قياس معدل أنصاف أقطار منحنيات أركان الحبيبة مقسومة على نصف قطر دائرة الحبيبة. (عن : Pettijohn, 1975)

التجريبية إلى أن التغير في درجة تحت (أو سحق) شكل الحبيبات على طول مجرى الأنهار والسواحل يعود إلى التصنيف في الشكل كما هو الحال في الاستمرارية في التحت. وقد أكدت هذه التجارب إلى أن النشاط الهوائي (أو الريحي) أكثر تكاملاً في تحقيق الاستدارة الميكانيكية للحبيبة من النقل المائي عبر نفس المسافة. ولكن هناك بعض المؤشرات المؤكدة بأن المحاليل الكيميائية تعمل بأهمية كعامل استدارة. وهذا مرئي من تزوي (Angularity) حبيبات الرمل الناعم جداً أو الغرين. وقد أكد ذلك الباحثان (Margolis and Krinsley, 1971) باستنتاجهما أن الاستدارة الجيدة والمرئية عامة في حبيبات الرمل الريحي عائدة إلى تضافر أثر التحت (السحق) في نفس الوقت مع ترسيب مادة السليكا على سطح الحبيبات.

وقد عرفت الاستدارة كمعدل أنصاف أقطار منعطفات (منحنيات) أركان الحبيبة مقسمة على نصف قطر أكبر دائرة للحبيبة (شكل ١٤). وقد استخدم مقياس الاستدارة على النحو التالي: مزواة، تحت مزواة، تحت مستدير، مستدير وكامل الاستدارة (شكل ١٣). وذلك حسب الصيغة التالية:

$$\text{استدارة الحبيبة} = \frac{\text{نق} ١ + \text{نق} ٢ + \text{نق} ٣ + \dots + \text{نق} \frac{1}{2}}{\frac{1}{2} \text{ ق}}$$

حيث نق = أنصاف أقطار المنعطفات الفردية .

ق = قطر أكبر دائرة للحبيبة .

ن = عدد منعطفات أو أركان الحبيبة .

ومن المعروف أن معظم الاستدارة تتحقق أثناء انتقال الحبيبة عبر الكيلومترات القليلة الأولى ، لذا نلاحظ أن الزلط المزوي أو تحت المزوي لا يمكن نقله عبر أكثر من كيلومترين ولا يزيد على ٢٤ كيلومتراً بواسطة النهر (Pettijohn 1975) هذا بالإضافة إلى أن رواسب الزلط الموجودة في الأماكن البعيدة من المصدر لا تظهر استدارتها مما ينجم عن هذا محدودية الاستفادة منها كمؤشر أو كدليل على تدفق التيار القديم .

كما أظهرت جميع التحاليل الحقلية والمخبرية أن استدارة الرمل تحدث من خلال عمليات بطيئة جداً ولا تشبه عمليات استدارة الزلط . كما أثبت بالتجربة (Kuenen, 1960) أن نشاط النقل الريحي (الهوائي) أكثر العوامل تأثيراً على استدارة الرمل من النقل المائي عبر نفس المسافة . لذا نجد أن استنتاج كونين ينص على أن النقل النهري عديم التأثير على استدارة الكوارتز أو الفلسبار . وربما كان نشاط نقل الشاطئ أكثر تأثيراً في الاستدارة ولكن عموماً لا يعتقد بأنه شديد الفعالية على معدل الاستدارة في الرمال . ويعتبر النشاط الهوائي عبارة عن تحت ميكانيكي محكم للرمل حتى حجم ٠,١ مم قطري ، وهذا النشاط يصبح صفرًا عندما تصل حبة الرمل إلى أقل من ٠,٠٥ مم . لذا تعتبر في معظم الأوقات استدارة رمل الكوارتز مؤشر واضح للنقل الهوائي في تاريخ الحبيبة . ولقد أشار كل من (Russell and Taylor, 1937) إلى أن الأنهار لا تقوم باستدارة الرمل ولكن التناقص الملحوظ في حجم الحبيبات ناتج عن التكسر المتتابع للحبيبات أثناء سير الانتقال . ويجب أن نتذكر أن استدارة رمل الكوارتز عندما تكتسب لا تفقد . هذا بالإضافة إلى أن رمل الكوارتز عامة معرض لأكثر من دورة ترسيب . لذا فإن الاستدارة الملحوظة لأي من الرواسب ربما تكون موروثه من فترات النقل المبكرة . وبالمثل ينطبق هذا على حصى الكوارتزيت وعروق الكوارتز .

### النسيج السطحي للحبيبات Surface Textures

تشير الأنسجة السطحية للحبيبات إلى ما يظهر على سطح حبيبة الرمل من علامات دقيقة وهذه تكون مستقلة في تكوينها عن حجم وشكل (أو تكور) واستدارة الحبيبة. وعامة تشتمل هذه العلامات على خاصية كل من التثليج (التصقع) والخطوط والحدوش والتضاريس وما أشبه ذلك.

ويمكن رؤية بعض هذه العلامات بالعين المباشرة والبعض يحتاج إلى مجهر وفي كثير من الأحيان تحتاج إلى مجهر ماسح إلكتروني لرؤيتها وفحصها بوضوح. ويعتقد أن كثيراً من هذه العلامات تمثل أهمية تكوينية (Krinsley *et al.*, 1973). فمثلاً ظهور خاصية التثليج على سطح حبيبة رمل عائد إلى نشاط هوائي (أو ريحي)، كذلك ظهور خطوط مستقيمة ومنظمة على سطح حبيبة رمل أو جلاميد أو حصى تدل على تعرض هذه الحبيبات إلى زحف جليدي أو بيئة جليدية.

كما أن حبة الرمل أو الحصى قد تترث شكلها (أو تكورها) واستدارتها من رواسب سابقة (أو مبكرة) ومن أصول مختلفة كذلك الحال بالنسبة للفتات أو الحبيبة فقد تترث علامات الأنسجة السطحية التي تحملها. ولكن يتطلب قليل من عمليات التحت أو النقل لكي تعمل على تغيير هذه التفاصيل السطحية إذا ما قورنت بالحاجة الكبيرة لهذه العوامل لتقوم بتغيير استدارة أو تكور أو حجم الحبيبة. لذا نجد أنه من السهل محي أو إزالة العلامات السطحية لحبيبة أو فتاتة ما.

إن الأنسجة السطحية للحبيبات متنوعة ولكن يمكن إجمالها في مجموعتين: تظهر حبيبات المجموعة الأولى بشكل معتم أو مظفية أو ثلجية السطح. هذه الخواص تشير إلى البريق السطحي للحبيبة، والتي تدل على انتظام في انعكاس الضوء من على سطح الحبيبة. إن تناثر أو تبعثر الضوء من على سطح الحبيبة ينتج عنه بريق معتم أو مظفي. كما أن انطفاء أو عتمة سطح الحبيبة ربما يحدث نتيجة للعمليات الميكانيكية التي تسبب في برؤ أو تآكل سطح الحبيبة وخاصة إذا كان عامل التحت حبيبات ناعمة. وهذا يتمثل في إظهار سطح الحبيبات بالعتمة أو الانطفاء إذا تعرضت لحت هوائي (أو ريحي) مثل حبيبات منكشفات الكوارتزيت وفتات الوجهريجات (Ventifacts) ومن المحتمل

أيضاً أن عتمة أو انطفاء الحبيبة يكون نتيجة تغلف (تَكْسُّ) سطحها بالدهن الصحراوي (Desert varnish).

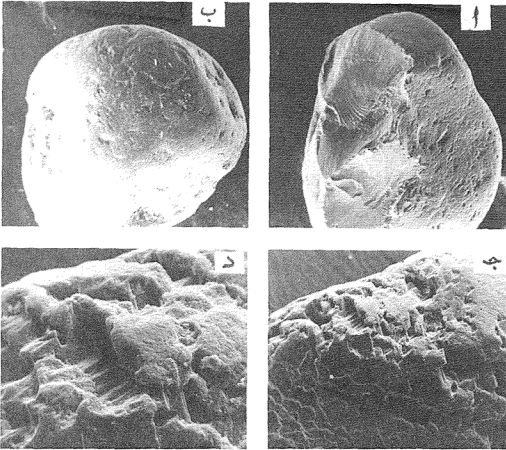
إن تعرض الحبيبة لعمليات الاختزال والأكسدة في البيئة الصحراوية وتحت شمس الصحراء ينتج عنه تصاعد محلول السليكا من داخل الحبيبة وترسب هذه المحاليل على سطح الحبيبة مما يعطي الحبيبة بريقاً مطفئاً أو مثلاًجاً.

تشتمل المجموعة الثانية على علامات تحتويها أسطح حبيبات الحصى والجلاميد وهذه العلامات عبارة عن خطوط منتظمة، وخدوش، وحُفَر، وغيرها من علامات التضاريس. وتتكون الخطوط المستقيمة والمنتظمة والموجودة على سطح حبيبات الحصى نتيجة نشاط الزحف الجليدي، وربما تدل الخدوش الهلالية على سطح حبيبات الحصى والكوارتزيت على تعرض هذه الحبيبات لتيارات نهريّة ذات سرعة عالية.

يحتوي كثير من الحبيبات على حفر سطحية وهذه ربما تكونت نتيجة تآكل أجزاء من أسطح الحبيبات بسبب تنوع في محلول تكوين الصخر غير المتجانس. إن خشونة حبيبات الصخر الناري تختص بإظهار حُفَر وعلامات سطحية بينما في الصخور الناعمة مثل الكوارتزيت، الشَّيْرَت (الْقَرْ) وأحجار الجير، تكون علامات التآكل أكثر نعومة حتى ولو كانت هذه الأحجار ذات حبيبات خشنة ويعود هذا إلى نوعية وتجانس مكونات الصخر.

تساعد دراسة أسطح الحبيبات تحت المجهر الماسح الإلكتروني على رؤية أنواع كثيرة من تآكل النسيج السطحي لهذه الحبيبات. من بين هذه العلامات الحُفَر التي تأخذ شكل الرقم (٧). ويزداد وجود هذا النوع من الحُفَر طردياً بزيادة اضطراب في الأمواج البحرية وأن الاضطراب المتزايد في تيار العكر يساعد على كثرة وجود هذه العلامات على أسطح حبيبات الرمل من رواسب العكر، كذلك تكسر الحبيبات الرملية إذا تعرضت إلى ضغط الزحف الجليدي ويكون مكسرها غير منتظم أو محاري الشكل. بينما أسطح حبيبات الكثبان الرملية تكون محتوية على حُفَر هبئة أطباق مقلوبة إلى أعلى، وحادة ومنتظمة إلى حد ما ومرتبّة بشكل موازٍ بعضها البعض وتظهر بمظهر مُتَلَجِّج ومعتم. إن هذه الأسطح تناقض الأسطح اللامعة لحبيبات رواسب الأنهار والشواطئ. إن كثيراً من الحُفَر الموجودة على كثير من أسطح حبيبات الرمل والرملية تحت المجهر الماسح الإلكتروني تكونت نتيجة تأثير المحاليل على أسطح حبيبات

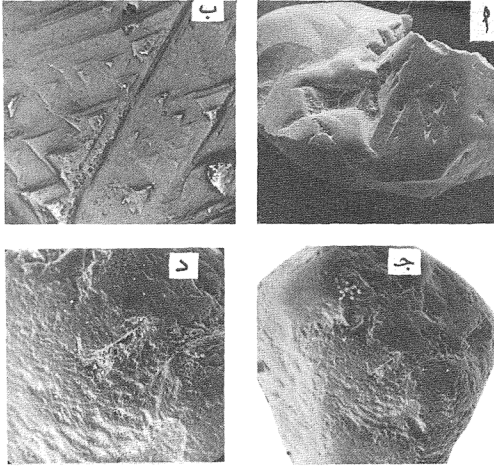
الكوارتز مثلاً ويشار إليها بحُفَر المحاليل أو شقوق المحاليل والتي تكونت بسبب التآكل الكيميائي على امتداد مستويات المكسر المعدني لهذه الحبيبات. (انظر نماذج النسيج السطحي لبعض حبات رمل البياض والوسيع، شكلاً ١٥، ١٦).



شكل (١٥). نسيج سطحي لحبات رمل من متكوني البياض والوسيع كما تظهر تحت المجهر الماسح الإلكتروني. لاحظ في (أ) سطح معتم أو مطفي مع كثير من الحُفَر والخدوش وحواف حادة ومكسر معاري ولكن سطح ناعم حول الأطراف (مكبرة ٩٥ مرة)، (ب) سطح صقيعي أو ثلجي مع عدة خدوش ونعومة عند حافة الحبيبة. كلا السطحين (أ، ب) يعكس تأثير الرياح في حبات الرمل المترسب في بيئة صحراوية (مكبرة ٩٥ مرة)، (ج) تضاريس غير منتظمة مع حُفَر بشكل رقم (٧) وسلام في أعلى اليسار (مكبرة ١٣٠ مرة)، (د) إيضاح لمنطقة السلام مأخوذة من (ج)؛ (مكبرة ٢٣٥ مرة) وهذا النوع من النسيج ينتج من تأثير تيارات نهريّة مرسبة هذه الحبيبات.

(عن: Moshrif, 1978)





شكل (١٦). نسيج سطحي لحبات رمل من متكوني البياض والوسيع كما تظهر تحت المجهر الماسح الالكتروني. لاحظ في (أ) علامات الرقم (٧) بشكل متعمق (مكبرة ١٣٠ مرة)، (ب) علامات الرقم (٧) بشكل بارز تظهر بشكل مثلث (مكبرة ١٧٠٠ مرة) وتدل كلا الحالتين على ترسيب نهري لهذه الرواسب ومدى تأثير عملية النشأة المابعدية في هذه الرواسب، (ج) سطح ثلجي مع كثير من الحفر والتآكلات السطحية (مكبرة ٧ مرة) كما هي موضحة في (د)، (مكبرة ٦٧٠ مرة) تنتج هذه الحفر من تأثير عملية النشأة المابعدية مشكلة نسيج ناعم منتظم حيث تشير هذه العلامات إلى بيئة صحراوية أو ريجية. (عن : Moshrif, 1978)

لاشك أن دراسة علامات النسيج السطحي للكثير من الحبيبات تعكس أصل وتاريخ هذه الحبيبات ولكن انتقال الحبيبات من الشاطيء إلى الكثبان وبالعكس أو

تعرض هذه الحبيبات إلى أكثر من دورة ترسيب وتصخر، لذا فإن دراسة أسطح مثل هذه الحبيبات تحت المجهر الماسح الإلكتروني ربما تعطي صورة معقدة تاريخياً لهذه الحبيبات أثناء عمليات التصخر والتي تتخللها أنواع متعددة من التغيرات الكيميائية، وأن العلامات السطحية القديمة (أو السابقة) ربما تُمَحَى (تُبْرَى) وتحل محلها علامات سطحية جديدة. لذا فإن إعادة تكوين تاريخ حبيبة ما من دراسة علاماتها السطحية يعطى فكرة ظاهرية فقط. ولا يعتمد عليها بمفردها في معرفة بيئة الترسيب (Moshrif, 1978).

لقد عرف الباحثون (Kransley and Doornskamp (1973); Kransley and Cavallero (1970); Funnell (1965) كثيراً من علامات التآكل السطحي للحبيبة والتي تكونت نتيجة تعرض الحبيبة لعمليات بيئية متنوعة مثل البيئات المائية (نهرية، بحرية) ثلجية، وريحية (هوائية) أو صحراوية. وحيث إن الحبيبات في المنكشفات والتحت سطحية في المناطق المدارية (Tropics) تكون علامات التآكل السطحية فيها عرضة للتغير بواسطة المحاليل أو بواسطة اللحام الثانوي الكوارتزي فإن أنسجة السطح لحبيبات كوارتز قديم العمر تعطي أو تكشف بشكل قليل عن تاريخ ترسيبها أو قد لا تدل أبداً على هذا التاريخ (Selley, 1976, 1994).

### الطراز Fabric

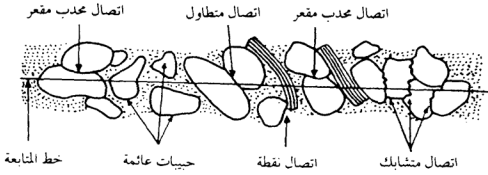
إن الهدف الرئيس لدراسة طراز الرواسب الفتاتية هو إعادة بناء اتجاه التيار السائد أثناء فترة ترسيب الرواسب، هذا بالإضافة إلى أن الطراز يلعب دوراً مهماً في الخصائص الطبيعية للصخور مثل انتقال وتوصيل كل من الحرارة، والتيار الكهربائي والسوائل والذبذبات الصوتية بين أجزاء الصخر، ويقصد بطراز الصخر طبيعة ترتيب وضع الفراغات الداخلية للصخر وكيفية توجيه مكونات الصخر. إن عناصر الطراز لأي صخر رسوبي قد تكون بلورة مفردة أو حصى أو حبة رمل أو أحفورة صدفية أو أي من المكونات الجزئية الأخرى.

من حيث النشأة يوجد نوعان من الطراز. طراز التشوه وطراز بناء الإضافة. يتكون طراز التشوه (Deformational fabric) نتيجة الضغط الخارجي على الصخر

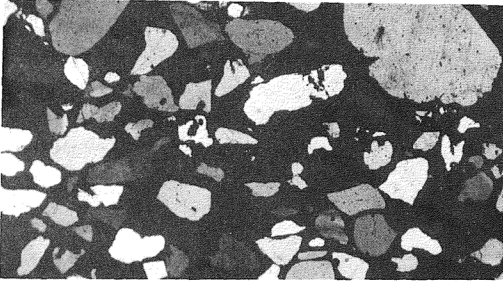
والذي ينتج عنه إدارة أو تحريك عناصر مكونات الصخر تحت الضغط وربما تنمو عناصر جديدة موجهة بواسطة هذا الضغط. هذا النوع من الطراز يتمثل بصورة جيدة في الصخور المتحولة. أما طراز بناء الإضافة (Apposition fabric) فيتكون أثناء فترة ترسيب مكونات الصخر ويشار إليه بالطراز الأولي (Primary fabric) وهذا النوع من الطراز هو ما تحتويه الصخور الرسوبية بالرغم من أن خاصية تراص أو تماسك الصخور الرسوبية مصحوبة بانخفاض في المسامية حيث تشكل ظاهرة تشوه، وهذه تغير الطراز الأولي. هذا التشوه ربما حدث نتيجة خاصية الالتحام أو السمته المبكرة. والمراحل المتعددة لهذه العملية ربما سجلت في بعض الدرنات (Concretions) الصخرية (Oertal & Curtis, 1972). وقد سجل طراز بناء الإضافة أو الطراز الأولي اتجاهياً أو رد فعل (كالمحاور الطويلة للحبيبات) مع نطاق القوة، مثل القوة المغناطيسية الأرضية أو النطاق المغناطيسي. وتقبل معظم القطع غير الكروية إلى أن تستقر أو (تنبسط) على وضعها الأكثر ثباتاً بحيث تكون أبعادها الطويلة موازية لسطح الترسيب وهذا نتيجة ردود فعلها مع قوى الجاذبية. ولكن قد تتغير أوضاع هذه العناصر تحت تأثير تدفق السوائل وربما تعيد ترتيبها أو توجيهها استجابة لهذه الحركة.

### التعبئة Packing

تتم عملية التعبئة عن طريق كيفية ترتيب عناصر أو مكونات الصخر والتي يكون فيها كل عنصر مُسنّداً ومُثبتاً في مكانه داخل نطاق الجاذبية الأرضية بواسطة تماس (Tangential) أو نقطة اتصال مع العناصر المجاورة (Graton and Fraser, 1935). وتبرز أهمية دراسة التعبئة لعدة أسباب؛ منها أن التعبئة المتقاربة تؤدي إلى انخفاض في كل من حجم الفراغ وأبعاد الفراغات ومن ثم تشكل أهمية في تغيير كل من مسامية ونفاذية الصخر. كما أن التعبئة المفككة لها تأثير عكسي. وبالرغم من أن الاتصال المبدئي بين الحبيبات يكون بمثابة تماس (أو اتصال نقطة : Tangential contact) لكن هذه الاتصالات سرعان ما تتغير بواسطة حركة السوائل الجوفية، مما يؤدي إلى تقارب نقاط الاتصال بين الحبيبات وبما ينتج عنه اتصالات متعددة بين الحبيبات مثل اتصال متطاول (Long contact)، اتصال مقعر - محدب (Concavo-convex contact) واتصال متشابك (Sutured contact)، (شكل ١٧ أ، ب، ج).



شكل (١٧ أ). أنواع الاتصالات المختلفة بين الحبيبات. (عن : Pettijohn, 1975)

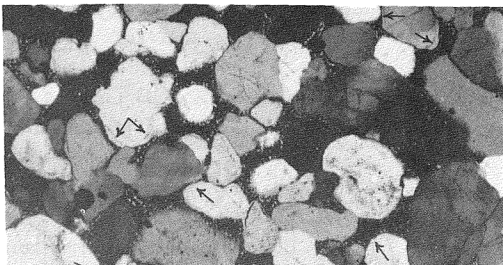


شكل (١٧ ب). اتصال نقطة بين حبات الرمل كما تظهر تحت المجهر في حجر رمل متكون الواسع / خشم الحلال شرق مدينة الرياض. (عن : Moshrif, 1980)

### النفاذية Permeability

تعرف نفاذية الصخر بمقدرة السائل أو الغاز على الحركة أو التدفق داخل الصخر المسامي. ويتحكم في النفاذية عدة متغيرات (أو عوامل). وهذه المتغيرات تشمل على:

- ١ - المسامية المؤثرة للصخر.
- ٢ - مقاسات أبعاد الفراغات (من حيث سعتها).



شكل (١٧ ج). اتصال متطاوول (أو مستقيم) واتصال محدب مقعر كما يظهر تحت المجهر في حجر رمل البياض/ جبل المياه شرق مدينة الرياض. يشير السهم إلى الحد الفاصل بين السليكا الأولية والسليكا الثانوية. (عن : Moshrif, 1980)

٣ - أبعاد الممرات بين الفراغات .

٤ - قوة الجاذبية الشعرية بين الصخر والسائل المتدفق .

٥ - لزوجة السائب ومعدل الضغط .

ويتم الحصول على نفاذية صخر ما باستخدام قانون دارسي (Darcy's Law) الذي ينص على أن نفاذية صخر مسامي يمكن التعبير عنها بمعرفة كمية السائل  $Q$  سم<sup>٣</sup>/ثانية، المتدفق خلال مساحة قطاع عرضي معطى  $C$  (سم<sup>٢</sup>) وعبر طول القطاع  $L$  (بوحدة السنتيمتر). وتنسب كمية الفرق في الضغط بين الغلافين الجوي والأرضي (ويرمز له بالحرف  $P$ ) إلى التناسب العكسي مع لزوجة السائل (Fluid viscosity =  $V$ ) مستخدمين وحدة سنتيوبوز (Centipoises). ويعبر عن قانون دارسي بالمعادلة التالية :

$$Q = K \frac{CP}{VL}$$

حيث  $K$  هي النفاذية المراد استخراجها. ولقد دلت نتائج بحث (Krumbein and Monk, 1942) على أن النفاذية تتناسب طردياً مع حجم الحبيبات لنفس الصخر أي

تزداد النفاذية بزيادة حجم الحبيبات . كما دلَّ البحث نفسه على أن النفاذية تختلف باختلاف مربع الحجم المتوسط (Mean size) وبشكل عكسي مع لوغاريتم معامل التصنيف .

كما أن شكل الحبيبات (تكوورها) يؤثر على النفاذية بحيث إن حبيبات الرمل المنخفضة التكوور تميل إلى أن تكون مساميتها مرتفعة وتعبئتها مفككة ومن ثم تزداد نفاذيتها .

وتعتمد أيضاً نفاذية صخر ما على تعبئة أو ترتيب وترابط حبيبات الصخر . لأن أي تغيير في التعبئة لكي تزيد من المسامية سوف يصحبها زيادة في النفاذية (Von Engelhardt and Pitter, 1951) .

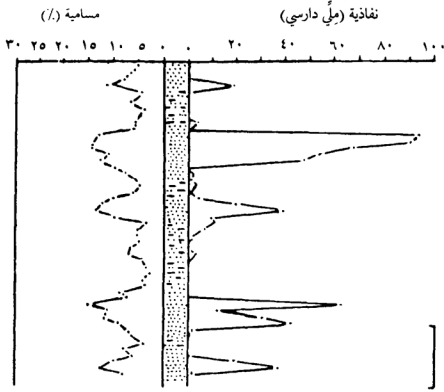
نظرياً، النفاذية مستقلة عن المسامية بالرغم من أن الصخر المصمت (عديم المسامية Nonporous) أيضاً يكون غير منفذ (Nonpermeable) إلا أنه إذا كان الصخر عالي المسامية ليس من الضروري أن يكون منفذاً . فمثلاً الصخور ذات الحبيبات الناعمة فهي عالية المسامية إلا أنها منخفضة النفاذية (جدول ٦ وشكل ١٨) . ولقد درست العلاقة بين كل من المسامية والنفاذية وحجم الحبيبة من قِبَل العديد من العلماء .

جدول (٦) . مقياس النفاذية في أنواع مختلفة من الرواسب غير الملتهمة النفاذية (مقاسة بالدارسي) .

٥١٠ ٤١٠ ٣١٠ ٢١٠ ١١٠ ١٠٠ ٩٠ ٨٠ ٧٠ ٦٠ ٥٠ ٤٠ ٣٠ ٢٠ ١٠ ٠

مواد	زلط نظيف	رمل نظيف، خليط من الرمل والزلط .	رمل ناعم جداً، غرين، خليط من الرمل، الغرين والطين، رواسب التلججات، طين طبقي إلخ . . .	طين عديم التجوية .
خصائص الجريان (الانسياب) .	مخازن جيدة النفاذية .	مخازن رديئة النفاذية .	عديم النفاذية (مصمت) .	

وبعد اكتشاف العالم دارسي (H. d'Arcy) هذه العلاقة في عام ١٨٥٦م أصبح يعبر عن معامل النفاذية بوحدة دارسي . فمثلاً لو قلنا إن رملأ ما له واحد دارسي من النفاذية فهذا يعني أن هذا الرمل يعطي ١ سم<sup>٣</sup> من تدفق السائل المحتوي عليه



شكل (١٨). مدى العلاقة بين النفاذية والمسامية في حجر الرمل والطين. (عن: Selley, 1976)

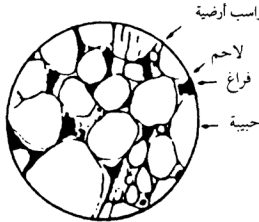
وبلزوجة ١ سنتيپويز (1 Centipoise) في الثانية خلال ١ سم لقطاع عرضي وتحت ضغط جوي (1 atmosphere) لكل ١ سم طول، والرمل الحديثة تحتوي ما بين ١٠ - ١٠٠ دارسي. وإذا كانت نفاذية صخر أقل من واحد دارسي فإنه يعبر عنه بالمليدارسي (One Darcy = 1000 millidarcy).

### المسامية Porosity

بينما يظهر الجيولوجيون اهتمامهم بدراسة الصخور فإن الجيولوجي التطبيقي يعطي كل اهتمامه لدراسة ومعاينة الثغور والفراغات داخل الصخور. ويطلق على دراسة الفراغات الصخرية معرفة طبيعة الصخر (Archie 1950) من خلال دراسة الخصائص الطبيعية للمسامات. وتتلخص هذه الخصائص في الوصف التفصيلي لكل من حجم الفراغات وأبعادها ونوعيتها وأصل نشأتها. وتكون دراسة الفراغات الموجودة

داخل الصخور مهمة جداً إذا أردنا البحث عن الزيت والغاز الطبيعي والمياه الجوفية وأيضاً في التوصل لمعرفة أماكن حواجز النفاذية القطرية والتي تتحكم في مكان وتوزيع معادن الخامات منخفضة الحرارة. كما أن هذه الدراسة ضرورية إذا أردنا تخزين الغاز في أعماق الأرض أو أردنا تصريف السوائل عديمة الفائدة في جوف الأرض.

وكما هو معروف لدينا أن الصخر الرسوبي يتكون من حبيبات (Grains) وراسب أرضية (Matrix) ومادة لائحة (Cement) وفراغات (Pores) (شكل ١٩). والحبيبات عبارة عن جسيمات فتاتية والتي تشكل الجزء الأكبر من إطار الرواسب. وراسب الأرضية عبارة عن فتات أو فتات الصخور التي ترسبت مع الحبيبات، فمثلاً عامة تكون مادة راسب أرضية صخور المذملكات من الرمل وربما تكون مادة راسب أرضية أحجار الرمل من الغرين والطين. واللحام (أو المادة اللاصقة) عبارة عن نمو معدن ما بعد انتهاء عملية الترسيب ويتم ذلك في فراغات الرواسب. لذا تُعرف الفراغات بالثقوب الفارغة والتي لم تشغل بالحبيبات أو مادة راسب الأرضية أو اللحام ولكن يمكن لهذه الفراغات أن تكون مليئة بالغازات كالنيتروجين وثنائي أكسيد الكربون أو غازات الكاربوهيدرون مثل الميثان. وأيضاً يمكن للفراغات أن تكون مشغولة بالسوائل (مثل النفط والمياه). وربما تحتوي الفراغات على كلا الاثنين معاً (الغاز والسائل) وذلك في حالات متائلة من الحرارة والضغط.



شكل (١٩). مقطع في صخر رسوبي يحتوي على حبيبات، راسب أرضية، مادة لائحة وفراغات.

(عن : Selley, 1976, 1994)



إن طبيعة الرواسب الفتاتية واحتوائها على نسبة متوسطة إلى عالية من الفراغات تجعلها تختلف عن الصخور المتبلورة والتي تعتبر عديمة الفراغات. ويعزى وجود الفراغات في الرواسب الفتاتية إلى أن اتصال عناصر المكونات الفتاتية ببعضها البعض عبارة عن اتصال نقطة تماس (Tangential contact) وليس اتصال متقارب ومتكامل. هذا النظام من الفراغات يشكل ممرات قنوية لتمرير السوائل خلال الصخور وأيضاً يساعد على تخزين السوائل والغاز.

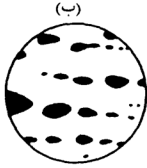
إن طرق قياس حجم الفراغات ومقدرة الصخر على التخزين درست ووصفت في أبحاث كل من: (Müller (1967), Curtis (1971), Von Engelhardt (1960). وتعرف مسامية صخر ما بالمعادلة التالية:

$$\text{المسامية} = \frac{\text{الحجم الكلي للفراغات}}{\text{حجم عينة الصخر}} \times 100$$

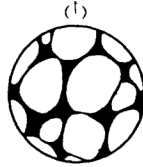
أي أن المسامية تحسب بأخذ النسبة الموجودة بين المجموع الكلي للفراغات إلى مجموع حجم عينة الصخر مضروبة في مائة لكي تعطي النسبة المئوية للمسامية. وتكون نسبة المسامية صغراً في عينة الشيرت (حجر الصوان أو الطر) غير المشقق بينما تكون ١٠٠٪ إذا أخذت العينة من مغارة أو كهف. وبشكل مثالي تتراوح كمية المسامية في الرواسب بين ٥ - ٢٥ ٪، ولكن عندما تصل نسبة المسامية في الصخر بين ٢٥ - ٣٥ ٪ فهذه نسبة ممتازة إذا وجدت في مستودع المياه وفي خزان النفط.

هناك تمييز مهم يجب أن ندرسه بين المسامية الكلية لصخر ما وبين مساميته الفعالة أو المؤثرة. إن المسامية المؤثرة أو الفعالة (Effective porosity) عبارة عن كمية الفراغات المتصلة ببعضها البعض والمتوفرة في الصخر. ومن حيث الأهمية الاقتصادية فإن المسامية المؤثرة هي التي تؤخذ في الحسبان من حيث قياس كمية المسامية في الصخر. كذلك فإن المسامية الفعالة هي التي تعطي الصخر خاصية النفاذية (Permeability). انظر (Blatt et al. 1980) لمعلومات أكثر عن المسامية والنفاذية. كما تعطي المراجع التالية طرق قياس كل من المسامية والنفاذية: (Curtis (1971), pp. 335-364, Müller (1967a), Selley (1982).

إن كُلاً من حجم الحبيبة وشكلها (تكورها) وتصنيفها وتعبئتها (ترابطها)، يؤثر على معامل النفاذية للرمال غير المتماسك (Pettijohn 1975). شكل (٢٠) يوضح مفهوم العلاقة بين كل من المسامية المؤثرة والنفاذية في أنواع مختلفة من الصخور.



لابة حويصلية ذات فجوات متناثرة ومتباعدة تعكس مسامية عالية، ولكن ذات مسامية فعالة منخفضة، ونفاذية منخفضة.



رمل غير مسمنت وخالي من راسب الأرضية أدى ذلك إلى ارتفاع في نسبة المسامية والنفاذية مثال أنموذجي: كمستودع مياه أو خزان هيدروكربون.



حجر جير مشقق ذو مسامية ونفاذية معتدلة عند مستوى واحد.



حجر طين يظهر مسامية متوسطة ولكن بسبب انخفاض الجاذبية الشعرية لضيق الممرات بين الفراغات أدى ذلك إلى انخفاض في نفاذية الصخر.

شكل (٢٠). العلاقة بين كل من المسامية المؤثرة والنفاذية في أنواع مختلفة من الصخور.

(عن: Selley, 1976)

## تشكل المسام

تتطلب دراسة صخر المكمن معرفة الخصائص الطبيعية للمسامات الموجودة في الصخر من حيث الكمية والنوعية وأصل نشأة مساماته .

إن طرق دراسة المسامات متعددة ويمكن فحصها ووصفها مباشرة من سطح الصخر المصقول مستخدمين عدسة مكبرة أو مجهر ستيريويسكوبي ، أو من خلال دراسة القطاعات الصخرية مستخدمين مجهر بتروجرافي، أو باستخدام المجهر الماسح الإلكتروني، (Selley, 1982) . ومن خلال دراسة المسامات بالطرق السابقة اتضح أنه توجد أنواع مختلفة ومتعددة من المسامات، ولقد تمكن الباحث (Levorsen, 1967) من وصف المسامية بشكل تفصيلي، كما قام الباحثان (Choquette and Pray, 1970) بربط وصف المسامية مع عناصر أصل نشأتها، أما الباحث (Robinson, 1966) فقد وضع العلاقة القائمة بين نوعية المسامية وبتروجرافية الصخر الحامل لهذه المسامية . ولقد أدرك الباحث (Murray, 1960) أن المسامية تنقسم إلى صنفين رئيسين، الصنف الأول المسامية الأولية وهي التي وجدت مع ترسيب الصخر أو بعد ترسيب الصخر مباشرة، والصنف الثاني المسامية الثانوية وهي التي تكونت بعد انتهاء الترسيب نتيجة أسباب متنوعة . وجدول (٧) يوضح تصنيف أنواع المسامية .

جدول (٧) . تصنيف أنواع المسامية .

زمن التكوين	النوع	أصل النشأة
١ - أولي أو أثناء الترسيب	<ul style="list-style-type: none"> <li>أ - بين الجسيمات أو بين الحبيبات</li> <li>ب - داخل الجسيمات</li> </ul>	نتيجة عملية الترسيب
٢ - ثانوي أو بعد الترسيب	<ul style="list-style-type: none"> <li>أ - بين البلورات</li> <li>ب - ثغرية أو تحديدية</li> <li>ج - قلبية</li> <li>د - ثقبية</li> <li>هـ - مكسرية</li> </ul>	<ul style="list-style-type: none"> <li>نتيجة عملية السمنتة</li> <li>نتيجة المحاليل</li> <li>نتيجة حركة تكتونية، الدموج والإحكام أو طرد الماء</li> </ul>

(عن : Selley, 1976)

### ١ - المسامية الأولية «أصلية» (مسامية الترسيب)

يقصد بمسامية الترسيب أو المسامية الأولية تلك المسامية التي وجدت أثناء استقرار الرواسب في حوض الترسيب. وتشتمل المسامية الأولية على أنموذجين أساسيين، الأول، مسامية بين الحبيبات أو بين الجسيمات (شكل ٢١ أ، جدول ٧). وهذا الأنموذج عبارة عن فراغات تحدث بين حبيبات الصخر وتقع أهمية هذه المسامية بأنها توجد مبدئياً في أغلبية جميع الصخور الرسوبية. وبشكل عام تتناقص نسبة هذا الأنموذج (مسامية بين الحبيبات) نتيجة تغيرات النشأة المابعدية (Diagenesis) في كثير من صخور الجير ولكن تظل هي المسامية الشائعة في أحجار الرمل.

Intraparticle Porosity



(ب) مسامية داخل الحبيبات

Interparticle Porosity



(أ) مسامية بين الحبيبات

شكل (٢١). أنواع المسامية الأولية في الصخور الرسوبية. (عن : Selley, 1976, 1994)

والأنموذج الثاني، مسامية داخل الحبيبات ويكثر هذا النوع من المسامية في صخور الرمل الجيري وخاصة إذا كانت أغلبية حبيباته مكونة من بقايا هيكل حيوانية، فتصبح هذه الحبيبات أو بعضها محتوية على مسامات فراغية. فمثلاً الثقوب أو الحُفَر الموجودة داخل أحافير الأمونيتات والرخويات والمرجانيات والحزازيات وغيرها من الأحافير الدقيقة هي عبارة عن مسامات تنتسب في تصنيفها إلى هذا الأنموذج (شكل ٢١ ب، جدول ٧).

إن هذا الصنف من المسامية غالباً ما يندعم أو يتناقص نسبياً بعد انتهاء عملية الترسيب عن طريق تخلخل وملء هذه الفراغات بالجير الناعم والذي يشكل جزءاً من مادة أرضية الصخر الحاوي. ويضاف إلى ذلك أيضاً أن عدم ثبات محتويات حبيبات

الجبر من الناحية الكيميائية قد يؤدي إلى تغير أو دمار هذا النوع من المسامية عن طريق التغيرات المابعدية والتي يتعرض لها الصخر بعد الترسيب، (Selley, 1982).

### (أ) نشأة المسامية الأولية (أو الأصلية)

بما أن المسامية الأولية تتأثر بتأثر كل من حجم الحبيبات، وشكل تكرور واستدارة الحبيبات، وتصنيف الحبيبات، وطريقة ترسيب وترابط الرواسب، وأيضا كيفية إحكام ودمج الرواسب أثناء وبعد عملية الترسيب لذا فإنه يمكننا القول إن المسامية الأولية هي دالة طراز الرواسب عند وقت الترسيب، وتتغير نتيجة كل من عملية الأحكام أو الدمج (Compaction) والتغيرات المابعدية والتي تحدث بعد الترسيب.

### (ب) تأثير حجم الحبيبات على المسامية

لقد أشار كل من (Rogers and Head, 1961) في بحثهما أن حجم الحبيبات سواء كان متقارباً أم غير متقارب له أهمية عظمى من حيث مدى تأثيره على نسبة مسامية الصخر. وأن نسبة المسامية ترتفع كلما أخذت أحجام الحبيبات نفس المقاس (أي مقاس واحد) فلو كان لدينا صخر يتكون من حبيبات متقاربة الحجم وأصغنا له حبيبات رمل أخرى ذات مقاس أكبر أو أصغر فإن مسامية الصخر الأصلية سوف تنخفض داخل حدود معينة تتناسب مباشرة مع كمية الرمل المضافة (انظر: Gaither, 1953; Fig. 2) ثم تثبت عندما يصبح الخليط يتكون من حبيبات متقاربة الحجم. واستنتج الباحثان (Füchtbauer and Reineck 1963, Fig. 4) أن إضافة الطين إلى الصخر المعنى يزيد من نسبة مساميته. ومهم جداً أن نتذكر أنه لا توجد علاقة بين توزيع حجم الحبيبات ومسامية الصخر. فقد نوه (Fraser, 1935) وغيره من العلماء أن مخاليط متعددة يكون لها نفس المسامية.

وقد أوضح (Selley, 1976) أن مسامية صخر ما تبدو نظرياً بأنها مستقلة عن حجم حبيباته ولكن إذا اعتبرنا أن الصخر يتكون من كتلة حبيبات كروية (متكورة) ولها تصنيف وترابط (Packing) متشابه فإن مساميته ستكون متماثلة مع عدم الإشارة إلى حجم الحبيبات. فقد استنتج (Fraser, 1935) أن حجم الفراغ في الصخر يختلف مباشرة باختلاف حجم تكرور حبيباته. ومن التجربة التي أجراها كل من (Rogers &

(Head, 1961) فقد تبين أن المسامية مستقلة عن حجم الحبيبات وذلك فقط بالنسبة للرمال جيد التصنيف. كما أظهر (Pryor, 1973) من تحليله لألف عينة رمل حديثة، أن المسامية تتناقص كلما ازداد حجم الحبيبات في صخر ما. ولكن العكس صحيح بالنسبة لرمال النهر وقد يعزى ذلك إلى اختلاف ترابط حبيبات رمل الأنهار عنها وعن ترابط رمل بيئات أخرى. لأن العالم (Lee, 1919) أوضح بأنه بالنسبة لرواسب الصخور القديمة فإن الحقيقة هي نفسها بأن المسامية تزداد بتناقص حجم الحبيبات في الصخر. وهذا الاتجاه ربما يعود إلى عدد من العوامل ترتبط بصورة غير مباشرة مع حجم الحبيبة. لذا نجد أن الرمل الناعم تميل حبيباته بأن تكون مزواة بصورة أكبر وفي مقدورها تعضيد طراز صخر ذو ترابط مفكك ومن ثم تكون مسامية الرمل الناعم أعلى من مسامية الرمل الخشن (Selley, 1976) وبما أن المسامية تزداد بتناقص حجم الحبيبات فإن العكس صحيح بالنسبة للنفاذية التي تزداد كلما ازداد حجم الحبيبات (Fraser, 1935; Krumbein and Monk, 1942; Pryor, 1973). فقد يكون السبب في ذلك أن الممرات القنوية بين المسامات في الرواسب الناعمة تكون أصغر ومن ثم ترتفع جاذبية الخاصية الشعرية للحواظ المتاخمة مما يحد أو يخفض من سرعة تدفق السائل.

#### (ج) تأثير التصنيف على المسامية

لقد أوضحت دراسات عدة بأن مسامية صخر ما تزداد بازدياد تصنيف الصخر، أي كلما تحسن تصنيف الصخر ارتفعت نسبة مساميته، (Pryor, 1973); Beard and Weyl, (1973); Rogers and Head, (1961); and Fraser, 1935. كما تبين من دراسات الباحث (Krumbein and Monk, 1942); Beard and Weyl, (1973) أن تحسن أو ازدياد التصنيف يرافقه ازدياد في النفاذية. ويفسر ذلك بأن رمالاً جيد التصنيف يكون فيه نسبة الحبيبات الفتاتية أكبر من المادة الأرضية والعكس صحيح فإن رمالاً رديء التصنيف تكون فيه نسبة الحبيبات الفتاتية أقل من المادة الأرضية. لأن الحبيبات الأكثر نعومة والتابعة لأرضية الصخر تسد كلاً من المسامات والممرات القنوية داخل نطاق الصخر ومن ثم تنخفض أو تنعدم المسامية والنفاذية على التوالي.

ومن دراسة (Pryor, 1973) للرمال الحديثة من بيئات مختلفة فقد أكدت هذه العلاقة بالنسبة لرمال الأنهار ولكن أظهرت بأن الوضع يختلف بالنسبة لرمال الشواطئ

والكتبان التي تزداد فيها النفاذية كلما تردى أو انخفض التصنيف (Selley, 1976, 1994).

#### (د) تأثير شكل الحبيبة (التكور والاستدارة) على المسامية

ترتبط أو تتقارب الحبيبات العالية التكور والمستديرة مع بعضها تاركة أقل المسامات فيما بينها والعكس صحيح بالنسبة للحبيبات المزواة أو المنخفضة التكور. فقد لاحظ (Fraser, 1935) أن الرواسب المكونة من حبيبات متكوراة تكون مساميتها منخفضة من تلك الرواسب ذات الحبيبات الأقل تكوراً، وذلك بسبب أن النوع الأول من الرواسب تكون حبيباتها أشد ترابطاً وتقارباً من رمل النوع الثاني ذي التكور المنخفض انظر أيضاً: (Beard and Weyl, 1973). ومن دراسة (Fraser, 1935) فقد اتضح أن شكل الحبيبة يكون ذا تأثير كبير على المسامية في حالة الحصى المستوى (أو المفلطح). لذا نجد أنه في حالة نوع معين من أحجار الجير مثل الكوكينا تكون نسبة المسامية مرتفعة معطية طراز ترابط «قشور البطاطس» (Pettijohn, 1975) ومثل هذه الرواسب تكون نسبة المسامية فيها حوالي ٨٠٪ (Dunham, 1962). وبالمثل فإن رواسب الطين الطازجة (عند وقت الترسيب) تكون نسبة مساميتها عالية جداً قد تصل إلى ٨٥٪.

#### (هـ) العلاقة بين الطراز والمسامية

يعرف طراز الرواسب بالطريقة التي ترتب بها جسيمات الرواسب وهناك عنصران أساسيان يتحكمان في الطراز:

(١) توجيه الحبيبة (Grain orientation).

(٢) تعبئة الحبيبة (Grain packing).

وحيث إن كلا العنصرين يتعلق بالمسامية الأصلية، فنشرح كلا منهما بالتفصيل:

#### ١ - توجيه الحبيبة

يقصد بتوجيه حبيبات الرواسب بالعلاقة الموجودة بين كيفية وضع الحبيبات بالإشارة إلى كل من محور نقل الرواسب (اتجاه التدفق) والمستوى الأفقي. إن توجيه طراز حبات الحصى يمكن الحصول عليه لأن أحجامها الكبيرة تيسر عملية قياسها. بينما معرفة حبيبات الرمل كانت إلى وقت قريب صعبة المفهوم لأنها أكثر تعقيداً ويصعب قياسها.

إن واحدًا من العلامات الشائعة لطراز الزلّط هي ارتكاز حبيباته فوق بعضها البعض بحيث ترقد الحصىات ومجورها الطويل موازًا لاتجاه التدفق ويميل في اتجاه أعلى التيار (شكل ٢٢). وغالبًا ما تكون الحبيبات المنفردة في أرضية أو قاع القناة مرتكزة أيضًا. وتستعمل هذه الظاهرة كإشارة مفيدة لمعرفة التيار القديم للرواسب المعنية.

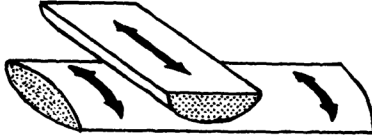


شكل (٢٢). تراكب طراز حصىات دُمْلوك الطين الصفحي في قاع القناة. تميل الحصىات في اتجاه أعلى التيار، بشكل معاكس لاتجاه ميل أسفل التيار لمجموعة الواجهة.

(عن : Selley, 1976)

ولقد اتضح من أبحاث : Shelton and Mack, (1970); Martini, (1971); and Von Rad, (1971) أن توجيه حبيبات كل من رمل الطبقات المستوية المنقول في وسط مائي ورواسب تيار العكس ورمل الحواجز البحرية تكون موازية لاتجاه التدفق. كما تكون حبيبات رمل القنوات النهرية موجهة بشكل مواز لمحور الجسم الرملي. وهذه تتطابق مع النفاذية المتوافرة أو المفضلة (Buch, 1971). ولكن حبيبات رمل الحواجز الطولية (بالقرب من الشاطئ) تكون حبيباتها مرصوفة بشكل متعامد على محور الحواجز ونشاط الأمواج العائدة وفي هذه الحالة ربما يكون الاتجاه المفضل للنفاذية القصوى متعامدًا مع اتجاه الجسم الرملي (شكل ٢٣). وقد أكدت دراسة الباحث (Pryor, 1973) على اتجاهات النفاذية لرمال الأنهار الحديثة والشواطئ البحرية هذه الخاصية.

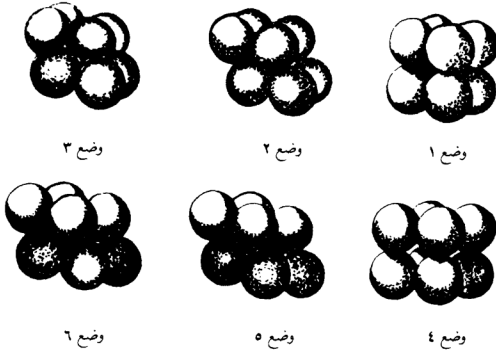




شكل (٢٣). توجيه الحبيبة والحد الأقصى لاتجاهات النفاذية (الأسهل) في رواسب القناة (الجسم العلوي) وأجسام رمل الحاجز (الجسم السفلي). يتوازي نطاق النفاذية مع الجسم الرملي في حالة القنوات، بينما تتعامد على محور الجسم الرملي في حالة الحواجز الرملية. (عن : Pryor, 1973, Figs. 3 and 9)

## ٢ - طراز ترابط (أو تعبئة) الحبيبات

يُنْ كلاً من (Graton and Fraser, 1935) أن مسامية الرواسب تختلف طبقاً للطريقة التي تُعبأ أو ترتبط فيها المكونات الحبيبية. كان ذلك واضحاً من الأوضاع الستة التي تطرّقوا لها في (شكل ٢٤) والتي توضح نظام الترابط والتعبئة الهندسية للحبيبات المتكورة والتي تتشابه في أحجامها. ولقد أشار الباحثان أن قياس المسامية يتسع بين هذه الأنظمة الستة والتي من خلالها تبين أن نظام الترابط المكعبي (الحالة الأولى) هو الأكثر تفككاً ومن ثم قد تصل فيه نسبة المسامات تقريباً إلى ٤٨٪. وإذا قورن هذا النظام بنظام الترابط المعيني (الحالة السادسة) نجد أن تعبئة الحبيبات في نظام الترابط المعيني أكثر تقارباً والتحاماً، ومن ثم تنخفض فيه نسبة المسامية إلى حوالي ٢٦٪، وطبعاً مثل هذا الأنموذج لا يمكن حدوثه في الطبيعة. ولكن بما أن نظام الترابط المعيني الأكثر ثباتاً، فإن معظم الجسيمات والحبيبات في الرواسب تميل بأن يكون ترابطها فيها بينها أو تعبئتها على نهج هذا النظام (Pettijohn, 1975). هذا بالإضافة إلى أن معظم الرواسب تكون مصحوبة بعدم التقيد بنظام معين في تعبئتها إلا أنه في راسب ما ربما توجد بعض المستعمرات أو التجمعات المحلية والتي تكون فيها التعبئة الأكثر ترابطاً هي السائدة فوق الجميع. لإيضاح بعض التفاصيل في هذا المضمار راجع (Pettijohn, 1975). ولقد أوضح (Allen, 1970a) أنموذجاً للتعبئة الحقيقية مبنياً ليس على تحليل ترابط الحبيبات



شكل (٢٤). إمكانية تعبئة الحبيبات الكروية في ستة أوضاع. الوضع (١) أكثر الأوضاع تفككاً وفتحاته واسعة ويعرف بالتعبئة المكعبية. الوضع (٦) أكثر الأوضاع تزاماً وفتحاته ضيقة ويعرف بالتعبئة المعينية. (عن : Graton and Fraser, 1935).

المتكورة وإنما على الحبيبات ذات الشكل القضبي (أو المتطاوّل) والتي تبيّن من خلالها الحقيقة التقريبية لترابط حبيبات الرمل.

لاشك أن ترابط أو تعبئة الحبيبات في الرواسب تلعب دوراً مهماً في التحكم في نسبة المسامية الأصلية (الأولية) لهذه الرواسب، وهذا العامل هو أحد العوامل التي يصعب دراسته وتحليله من خلال الصخور المتهاكّة. ويرجع السبب في ذلك إلى ثلاث خصائص:

- (١) صعوبة قياس التعبئة.
- (٢) افتقار معرفة تحكّم البيئة وطرق الترسيب على التعبئة.
- (٣) مدى تأثير عملية الدموج والإحكام التي تحدث بعد الترسيب على التعبئة (انظر : Selley, 1976; 1994).

لقد اقترح كثير من الباحثين طرقاً متعددة لقياس التعبئة وتحليلها، ومن بين هؤلاء الدارسين (Emery and Griffiths, (1954); Kahn, (1956a,b); Mellon, (1964). ولقد

أشار (Morrow, 1971) إلى أن طراز تعبئة وترابط الراسب يختلف من نوع إلى نوع داخل وبين الرقائق المتجاورة.

ونتيجة لهذه المشكلات الموجودة بين المسامية والتعبئة فإن المعروف عن العلاقة التي تربط بين التعبئة والمسامية الترسيبية الأولية أو الأصلية قليل. وربما يتوقع المرء ببساطة أن رواسب كل من الطين البحري (متوسط العمق) وتيارات العكر ترسبت بتعبئة مفككة (أو ترابط حبيبي مفكك) أكثر من رواسب الزحف (أو القربية من القاع). ومن المحتمل أن يكون رمل الطبقات المتقاطعة مفكك الترابط بدرجة أكبر من رمل الطبقات المستوية (أو المسطحة)، وهناك قليل من المعلومات التي تؤيد هذه الاحتمالات، ولكن أظهر الباحث (Pryor, 1973) أن رمل الأنهار الحديثة يكون الترابط أو التعبئة فيه أكثر تفككاً من رمل كل من الشواطئ والكثبان الرملية. وبما أن الحقيقة تقول بأن أهداف عملية الدمج أو الإحكام التي تحدث بعد الترسيب هي إعادة توجيه حبيبات الرمل فإن التعبئة أو طراز الترابط بمقدوره أن يكون له تأثير قليل على مسامية الراسب المتصلب (انظر: Selley, 1976; 1994).

### تأثير عملية الدمج (الإحكام) على المسامية الأولية

إن نشاط عملية دمج وإحكام الحبيبات فيما بينها لرواسب ما، يتم منذ الترسيب وتزداد بعد الترسيب عن طريق إعادة اتصال توجيه وضع الحبيبات مع بعضها داخل هذا الراسب لكي يعطي طراز ترابط أو تعبئة جديدة مختلفة عما كانت عليه في السابق. لذا فإننا نجد أن نسبة مسامية الطين عند وقت أو أثناء الترسيب تكون مرتفعة جداً (حوالي ٨٥٪)، وبعد دفن هذا الراسب ومع مرور الزمن تنخفض مساميته الأصلية بشكل كبير وذلك بسبب عملية الدمج أو الإحكام.

يوضح شكل (٢٧) مدى اتساع نسبة المسامية الأولية لرواسب الرمل والطين عند وقت الترسيب وانخفاض هذه النسبة بعد دفن هذه الرواسب وأيضاً يشير الشكل إلى مدى التدرج في انخفاض المسامية مع اختلاف مستويات الدفن. فقد شرح (Selley, 1976; 1994). إن المسامية الأولية للرواسب تنخفض مباشرة بعد الدفن وذلك بسبب تصلب الرواسب ودمج وإحكام حبيباتها ومع مرور الزمن وتعمق دفن هذه الرواسب

فإن عملية النشأة المابعدية (Diagenesis) التي تتعرض لها هذه الرواسب تحل محل عملية الدمج والإحكام لتصبح السبب الرئيسي في تدمير المسامية الأولية لهذه الرواسب.

## ٢ - المسامية الثانوية (مسامية بعد الترسيب)

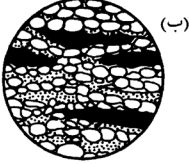
تعرف المسامية الثانوية بأنها تنشأ بعد ترسيب الرواسب وانتهاء عملية الترسيب. وينتمي إلى هذا النوع من المسامية خمسة أصناف، وهذه الأصناف أكثر تعقيداً في تكوينها ونشأتها من المسامية الأولية، (جدول ٧).

**الصنف الأول .** مسامية بين البلورات (Intercrystalline porosity)، حيث تتواجد المسامات بين بلورات الصخر المتبلور (شكل ٢٥) مثل الصخور النارية والمتحولة (عالية الحرارة) وفي بعض صخور المتبخرات، وتكون موجودة أيضاً في صخر الجير الذي تعرض لعملية التبلور وتصبح ذات أهمية إذا وجدت في صخر الدولوميت المعاد تبلوره. لأن هذه الصخور تصبح مهمة لاحتلال إحتوائها على مكامن النفط. ويكون وضع المسامات هنا بشكل فراغات مستوية. ويرافق ذلك تقاطع متعارض فيما بينها وتكون عديمة الممرات الثقبية بين مسام ومسام.

**الصنف الثاني .** مسامية ثغرية (Fenestral porosity)، وهي تشبه في شكلها بنية أو تحذب عين العصفور. يوجد هذا الصنف من المسامية في صخر الجير وخاصة في الرمل الجيري الذي يحتوي أيضاً على مسامات أولية ولكنها تكثر في أو تصبح من مميزات الطين الجيري العقدي والطين الجيري المتجانس والذي ينشأ ويتكون في البرك الشاطئية ودخل مناطق المد والجزر المصاحبة. إن ما يحدث للرواسب من عمليات اختزال مياه وسمتة (أو لحام) وتطابير للغاز الموجود داخل الرواسب قد يتسبب في ترسيب طبقات طين صفحي تحتوي على مسامات عدسية فيما بينها وبشكل تحت متوازي (شكل ٢٥ ب). ويعتقد أن هذا الصنف من المسامية تكوّن مع أو أثناء ترسيب بقية رواسب المحتوى (انظر Selley, 1976).

وطبقاً لما أشار إليه (Selley, 1994) أن هناك أنواعاً مختلفة من طراز الفتحات الثغرية (Fenestral fabric) والتي عُرِفَتْ منذ فترة طويلة «بعين العصفور». ويقصد بذلك، تلك الأعين المفردة ذات المقاس الطولي ١ سم والتي تتشكل في بعض أحجار الوحل الجيرية (Illing, 1954). وترتبط هذه الفتحات (Apertures) بكل من المسالك

Fenestral Porosity



Intercrystalline Porosity

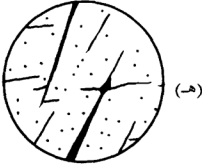


فراغات مستوية بين البلورات

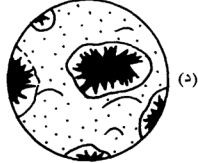
Moldic Porosity



Fracture Porosity



Vuggy Porosity

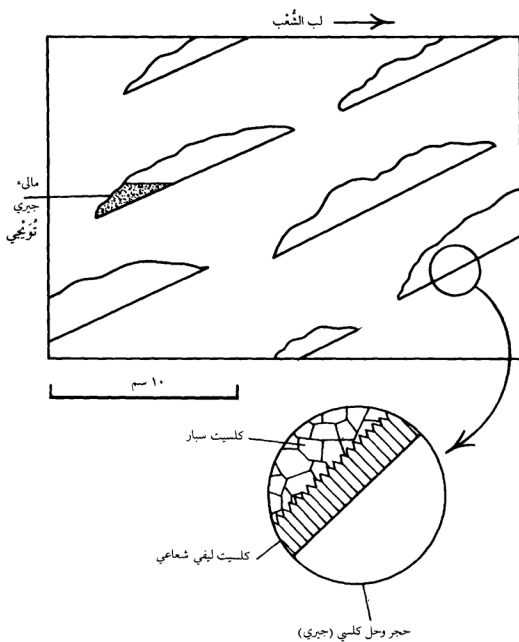


جير لامع يشكل حافة الثقب

شكل (٢٥). أنواع المسامية الثانوية في الصخور الرسوبية  
 (أ) مسامات بين البلورات، (ب) مسامات ثغرية، (ج) مسامات قلبية  
 (د) مسامات ثقبية، (هـ) مسامات مكسرية.  
 (عن: Selley, 1976; 1994)

العضوية (Organic burrows) وقنوات هروب الغازات. وفيما بعد تمتلئ هذه الثغرات بمعدن الكلسيت المتبلور. وعامة، ربما يعزى تشكيل فتحات «عين العصفور» المستديرة إلى نشأة الغازات العضوية. بينما الفتحات الثغرية المتطاولة قد تكون مرتبطة في تشكيلها بالمواد العضوية المتعفنة أو الفاسدة من الأستروماتوليت الطحلبي أو أنها تعزى إلى انبعاج أو انثناء الوحل المترقق أثناء الانكشافات بين المدية (Intertidal exposure)، (Shinn, 1983).

وأشار (Selley, 1994) إلى أن ظاهرة بنية الأستروماتاكسس (Stromatactis) ترتبط بأنظمة الفتحات الثغرية. ويشير الاسم إلى أوصال (أو قطع) غير منتظمة من الكلسيت المتبلور والتي يشيع ظهورها على جوانب الروابي الوحلية (Mudmounds) من عصر الحياة القديمة حول العالم. وعادة يبلغ طول بنية الأستروماتاكسس عشرة سنتيمترات وارتفاعها ما بين ١ - ٣ سم. وتكون قاعدتها مستوية (أو مسطحة) ويتقرب السطح العلوي بشكل غير منتظم (شكل ٢٦) وعامة تنحدر هذه البنيات بشكل إشعاعي من وسط (أو مركز) هضبة الوحل. ويعزى تشكيل بنيات الأستروماتاكسس إلى عدة أسباب مختلفة منها: الحيوانات ذات الأجسام الطرية غير المعروف أصلها، الاضطراب الحيوي، الطحالب، وأخيراً تعزى إلى إعادة تبلور الطين الجيري (Micrite). وقد أظهرت الدراسة المتأنية أن بعض من بنيات الأستروماتاكسس تكون مليئة جزئياً بالطين وسطحها العلوي يكون أفقياً، في حين أن كامل البنية تميل في اتجاه أسفل خاضعة الشُعْب. وتدعى هذه بالطراز التُوَيْجِي (Geopetal fabric)، وتشير إلى أن الأستروماتاكسس تشكلت كفراغ (أو كفجوة) متزامن مباشرة تحت أرضية البحر. وعلاوة على ذلك فإن الكلسيت المائل لهذه البنيات يكون غالباً مرئياً لأن يتشكل على مرحلتين. فأحياناً تكون حافة الكلسيت الليفي أو التليف الإشعاعي (Radial fabric) (fabrous rim) متبوعة بسبار الكلسيت (Calcite spar)، (شكل ٢٦). ومن ثم تبدو أن الأستروماتاكسس قد تشكلت بسبب الهبوط المنحدر إلى أسفل قشرة الوحل الجيري المتصخرة. ولذلك فهي تشكيلة أو نوع من المسامية الثانوية. فأحياناً تمتلئ الفراغات جزئياً بالوحل ثم تحاط بلاحم خلال الدفن الضحل وفي النهاية بلاحم من الاسبار عندما تتعمق في الدفن (Bathurst, 1982).



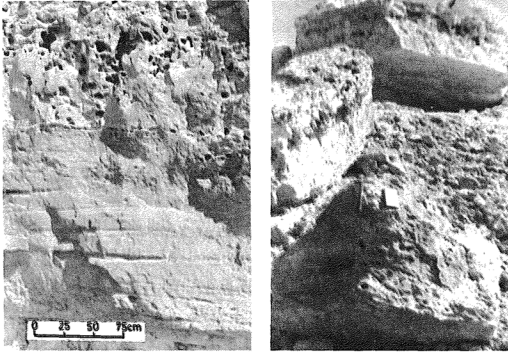
شكل (٢٦). رسمه السَّتْرُومَانَاكْتَسْ موضحة الخواص المشيرة إلى النشأة (الأصل) كمسام تشكلت بواسطة الهبوط المنحدر والمتزامن مع الوحل الجيري المتصخر. (عن : Selley, 1994).

لمزيد من المعلومات عن بُنية الأستروماتاكسس اقرأ: Wallace (1987); Scoffin (1987); Blatt (1992); Raymond (1995) and Boggs (1995).

**الصف الثالث . مسامية القالب (Moldic porosity)** وهي عبارة عن مسامات تكونت نتيجة تحلل أو ذوبان حبيبات ترسيب أولي، وتعرّض هذه الحبيبات لبعض عمليات اللحام (أو السمتة). إن تحلل بعض الحبيبات (أي القابلة للذوبان) لا يمتد تأثير قطعها عبر مكونات الصخر الأخرى والسابقة النشأة مثل الحبيبات (غير القابلة للذوبان) ومادة الأرضية ومادة اللحام. أي أن عملية الذوبان أو التحلل في الصخر نفسه تخص حبيبات معينة من نوع واحد. فمثلاً يمكن الإشارة إلى مسامية قالب سرثيات أو مسامية قالب عقديات أو مسامية قالب بقايا أحافير، بمعنى أنه تمت عملية تحلل اختيارية (مختارة) للسرثيات أو العقد الجيرية أو بقايا الهياكل الحيوانية التي كانت في الصخر (شكل ٢٥ ج). إن هذا الصف من المسامية الثانوية إذا وجد في الصخر فإنه يختلف من حيث الأبعاد الهندسية أو من حيث المسامية المؤثرة أو من حيث النفاذية وذلك طبقاً لنوعية الحبيبات المتحللة أو الذائبة (انظر Selley, 1976, 1994).

**الصف الرابع . مسامية الثقب (Vuggy porosity)** وتنشأ هذه المسامية عن طريق ذوبان أو تحلل أجزاء من مكونات الصخر الجيري وهي تشبه إلى حد ما في نشأتها مسامية القالب، ولكن تختلف عنها في أنها تُقَطَّع عبر طراز أو مكونات الصخر التي ترسبت أولاً (شكل ٢٥ د) وتكون دائماً أكبر حجماً من مسامية القالب وتمتاز بثقوب هذه المسامية بأنها محاطة بنفس حواف بلورات الحائظ ويحتوي أسفل متكون العُرمَة في المملكة العربية السعودية (Moshrif, 1980) على هذا الصف من المسامية (شكل ٢٧ أ، ب). وبازدياد اتساع حجم مسامية الثقب عندئذ يطلق عليها المسامية المغاربية (أو الكهفية) وتكون كذلك إذا بلغ اتساعها ما يسمح بدخال رَجُل بداخلها (Choquette and Pray, 1970) أي ما يعادل أكثر من  $\frac{1}{4}$  م<sup>٣</sup>. مثل هذه المسامية الكهفية أو المغاربية موجودة في متكون العرب (الجوراوي العلوي) في حقل زيت أبيق في المملكة العربية السعودية (McDonnell, 1951) وكثير من هذه المغارات (الكهوف) متوافرة في حقول بترولية أخرى في العالم (انظر Selley, 1976; 1994).





شكل (٢٧). مسامية الثقب في حجر جير متدلت «أسفل متكون العرمة»:

(أ) خشم رِضيّ جنوب شرق مدينة الرياض. (عن : Moshrif, 1980)

(ب) منطقة خشوم الحناصر شمال غرب مدينة الرياض.

(عن : El-Asa'ad, 1985)

**الصف الخامس . مسامية المكسر (Fracture porosity) ،** هذا الصف من المسامية عبارة عن المسامات التي تصاحب مكاسر الصخور بأنواعها وليست تخص الصخور الرسوبية وحدها . وهي تنتج عن كسر الترققات الصخرية المترسبة وقد تحدث مصاحبة أو أثناء عمليات الترسيب . وتأخذ مسامية المكسر صفة الصدوع الدقيقة الناتجة عن حركة الهبوط والانزلاق وقوة الإحكام أو الدمج . وتفقد الرواسب البلاستيكية مكاسرها عند الحدوث وذلك لالتحام المكسر مباشرة في وقتها ، بينما الصخور الهشة أو القابلة للكسر ، فإن مكاسرها تبقى مفتوحة بعد تكوينها محدثة بذلك مسامية المكسر (شكل ٢٥ هـ) . وهذا الصف من المسامية يخص الصخور الشديدة التصخر ، تنشأ في فترة زمنية متأخرة من تلك الأصناف الأخرى من المسامية . وتحدث مسامية المكسر في كل من أحجار الرمل المسمتة جداً وفي صخور الجير وربما تحدث في

الطين الصفحي، وفي الصخور النارية والمتحولة. وتأخذ مسامية المكسر أحجاماً مختلفة مما يجعلها صعبة الملاحظة والتحليل، فقد تكون دقيقة وتحتاج إلى مجهر لملاحظتها ودراستها وقد تصل في مقاسها إلى حجم الكهف أو المغارة. وتتكون مسامية المكسر بطرق مختلفة فقد تكون نتيجة الحركات التشكيلية أو التكتونية أو تكون مصاحبة لحركة الصدع أو نتيجة عمليات التجوية السطحية، فغالباً نجدها تحت سطح عدم التوافق أو التوافق مباشرة، وفي هذه الحالة قد تتسع وتكبر بتأثير السوائل أو المحاليل وخاصة في أحجار الجير (Selley, 1976).

### ٣ - نشأة المسامية الثانوية

#### ( أ ) المسامية الثانوية في أحجار الجير

تتكون المسامات الثانوية نتيجة التغيرات المتأخرة التي تتعرض لها معظم الرواسب ويتم ذلك بواسطة المحلول، والتفاعلات الكيميائية أو التكرسات الميكانيكية. ويطلق على هذه المسامية «مسامية بعد الترسيب» (Murray, 1960) وأهمية هذه المسامية الثانوية مثل أهمية المسامية الأولية من حيث تراكم الزيت والغاز الطبيعي في هذه المسامات ومن ثم فإن معرفة نشأتها أمر مهم للغاية.

تتكون مسامات المحلول في كثير من برك البترول متصلة أو مصاحبة لسطح عدم التوافق أو التوافق (Murray, (1930); Hohlt, (1948); and Levorsen, (1967). بما أن أسطح التخالف أو عدم التوافق تنهي أو توقف التعرية الحادثة فوق سطح الأرض وفي نفس الوقت تنفذ المياه الجوفية المشبعة بغاز ثاني أكسيد الكربون خلال الطبقات النافذة للمتكشفات الطبقة وتذيب هذه المياه الجير، ومن ثم تزداد المسامية إذا كانت الطبقات تنكشف أسفل الميل وتحدث هجرة المياه الجوفية خلال الصخور وتندفع على فترات مع تجمع الزيت والغاز.

إن تفاوت ذوبان مكونات الرواسب المختلفة قد يساعد على تكوين المسامية الثانوية ولكن لا يكون ذلك حتمياً. على سبيل المثال ذوبان الجير في الزوائد الصخرية (Stylolites) لا ينتج عنه مسامية، بل على العكس فإن الجير المذاب يترسب في مسامات مجاورة محدثاً انخفاضاً في نسبة المسامية السابقة.

هناك حالتان ربما تُميّز بها نشأة المسامية الثانوية :

١ - الراسب المتكون بشكل أساسي من معادن ذات إذابات مختلفة ، هذا ينطبق على راسب يتكون من معدني الكلسيت والأراجونيت والتي يذاب منها الأراجونيت فقط واستخدم هذا كتفسير لارتفاع نسبة مسامية صخر الطباشير (Bøggild 1930). وبطريقة مماثلة تتكون مسامية الثقوب عن طريق إذابة محتويات (مكتنفات) الأنهدريت أو الجبس في صخور الجير. وبالتالي فإن الجير المذاب من الحبيبات الهيكلية أو غير الهيكلية يستخدم في تكوين لحام الكلسيت مشكلاً أرضية مقاومة بين الحبيبات ومن ثم تاركاً مسامية القوالب مثل مسامية قوالب السرثيات (Friedman, 1964 and Robinson, 1967) .

٢ - يكون الراسب متجانساً معدنيًا عند وقت الإذابة وليس نسيجيًا (أي أن حبيباته غير متجانسة من ناحية الحجم والتصنيف) فينتج عن ذلك إذابة أرضية البلورات الكاذبة (Lucia, 1962; Lucia and Murray, 1967) . فمثلاً دراسة أحجار الجير الزنيقية في غرب ولاية تكساس تُظهر لنا أن مناطق الصخر الخالية من الأرضية يكون الالتحام فيه محكماً بينما المناطق الشاملة على مادة الأرضية الأولية تكون محتوية على مسامية ثقبية ومسامية بين الحبيبات .

تحتوي جسيمات أحجار الجير والدلوميت عامة على توزيع متناسب من ذوائب مختلفة أو أحجام بلورات يفوق ذلك، ولذا تكون فيها نسبة المسامية الثانوية كبيرة (Choquette and Traut, 1963) . وبمجرد تكوين تلك المسامات تتسع وتكبر بسبب نفاذيتهم العالية التي تساعد على هجرة الماء المضغوط (المحكم) فيما بينها .

ويتج عن ذلك أن المسامية الثانوية تكون ذات علاقة ببنيات القمم، مثل الصخور الحيوية (Bioherms) كما شرحها (Hohlt, 1948) من خلال تراكم الشقوق التكتونية في هذه القمم . وربما يكون أهم من ذلك هو أن الماء المضغوط (أو المحكم) يتجه بقوة داخل هذه البنيات (Von Engelhardt, 1967) . ومن المحتمل أن المكاسر تبتلع الماء ومن ثم تمنع الصخر المجاور من التحلل أو الإذابة الثانوية .

تمثل الفوالق المتقاطعة (أو الشقوق) أنواعاً من المسامات الثانوية وهذه مبدئياً لا علاقة لها بعمليات التحلل أو الإذابة . ويندر أن تنشأ من هذه المكاسر أهمية كصخور مكمنية ولكن تكون مهمة كأنظمة للصرف . إن برك الزيت الإيرانية الكبيرة الموجودة

في حجر جير الأسمرى (ثلاثي) تكون ذات علاقة بمناطق التكسر بسبب الطي خارج أو حول هذه المناطق، وتكون فيها المسامية أقل من ٥٠ . . مِلِيدَارسي (Millidarcy)، وتكون المسامية بين ٢ - ١٥٪ (Levorsen, 1967). وتلعب المكاسر أيضاً دوراً مهماً في برك الزيت العراقي، كركوك (ثلاثي) وعين زحلة (طباشيري) (Daniel, 1954). وربما تتغير الشقوق أو المكاسر المتقاطعة أو حتى مستويات التطبيق بواسطة طرق الإذابة (أو التحلل) وتصبح قنوات كبيرة أو حتى كهوف (Levorsen, 1967). ويتناقص متوسط نسبة المسامية عادة بسبب طرق السمنتة، واتساع نمو البلورة. ويزداد هذا الانخفاض في نسبة المسامية مع زيادة العمر الجيولوجي (Von Engelhardt, et al., 1974).

#### (ب) المسامية الثانوية في الدولوميت

إن تكوين ونشأة مسامية بين التبلر (بين البلورات) أثناء تغيرات النشأة المتأخرة لعملية الدلتة أو التذلت (Dolomitization) هي واحدة من أهم أمثلة المسامية الثانوية. حيث تزداد المسامية في صخور الجير بشكل لاحق مع زيادة عملية الدلتة. على سبيل المثال، في جنوب غرب إيران وجدت المسامية بنسبة (٠ - ٤٪) في صخور جيرية تحتوي على (٠ - ٢٠٪) دولوميت، وبنسبة (٤ - ٨٪) مسامية في صخور جيرية تحتوي على (١٠ - ٣٥٪) دولوميت، وبنسبة (٨ - ١٢٪) مسامية في صخور جيرية تحتوي على (٢٠ - ٦٠٪) دولوميت، وبنسبة مسامية أكبر من ١٢٪ في صخور جيرية تحتوي على (٣٠ - ٧٥٪) دولوميت.

لقد أوضح كل من (Von Engelhardt et al., 1974) تغيرات النشأة المتأخرة التي تحدث في فترة متأخرة جداً ويتم بشكل تذلت جزئيء بعجزىء للكلسيت باستطاعتها نظرياً أن تعطي مسامية بنسبة ١٣٪. ولكن في كثير من الحالات تكون مسامية هذا النوع من الدولوميت أكبر من ١٣٪ وهي أعلى من مسامية أحجار الجير المجاورة أو أحجار الجير المتذلتة.

ونذكر هنا بعض الأمثلة كما استنتجها بعض الباحثين:

تكون نسبة المسامية ٣٠٪ في الدولوميت و ١٠٪ في أحجار الجير (Murray, 1960)\*

تكون نسبة المسامية ٢٠٪ في الدولوميت و ٥٪ في أحجار الجير (Powers, 1962)

تكون نسبة المسامية ٢٧٪ في الدولوميت و ٧٪ في أحجار الجير (Lucia & Murray, 1967)

تكون نسبة المسامية ١٠ - ٣٠٪ في الدولوميت وأقل من ١٠٪ في أحجار الجير

(Schmidt 1961, 1965)

وقد علل كل من (Von Engelhardt *et al.*, 1974) السبب المحتمل في هذه الاختلافات الكبيرة ذات العلاقة بهذه الحالة كالتالي:

(١) نسبة الكلست المذاب أكبر من نسبة الدولوميت الناشئ أو المتكون.

(٢) اختيار عملية التذلل للمناطق المنفذة والأكثر مسامية.

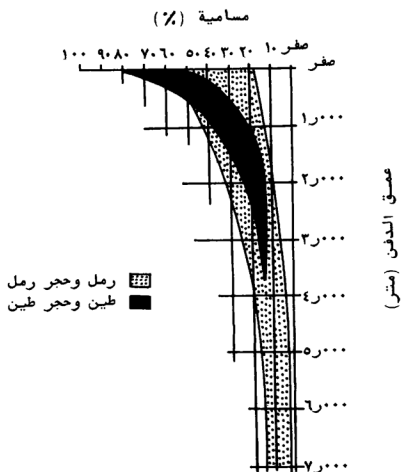
(٣) يصبح الدولوميت أقل التحاماً من أحجار الجير المجاورة، وربما يعود ذلك إلى تراكم الهيدروكربونات المبكرة والتي تمنع حدوث عملية نشأة مابعدية جديدة وربما تكون عملية تذلل جزئيء جزئيء مسؤولة عن اختيار الدولوميت ليكون كمادة لإحلال بدلاً من أن يكون لاحقاً. ومن ثم ربما يحتفظ الصخر السري بمساميته بين الجسيمات أثناء عملية التذلل (Murray, 1960). وعامة تبدأ عملية الذللة في جسم أرضية أحجار الجير. وأحياناً يحتفظ الدولوميت المتعرض لعملية النشأة المبكرة من التغيرات المابعدية بنسبة عالية من المسامية (Spencer, 1964) بشرط ألا يحدث اتساع في حجم البلورة (أو التبلر) وقد لوحظ مثل هذا الاحتفاظ بحجم البلورة الأصلي في تغيير منتظم التكرار لحجم بلورة في دورات تذلتية مثل تلك الموجودة في دولوميت الباليوسين في ليبيا والتي تحتفظ بمسامية (١٧ - ٣٨٪) (Füchtbauer and Goldschmidt, 1965). وربما يمنع في بعض الأوقات تراكم الزيت المبكر من تضخم البلورة (أو اتساع رقعة التبلر) وعامة يكون دولوميت الطين (Lutite) والذي تعرض إلى عملية مبكرة من التغيرات المابعدية فقيراً في المسامية إذا ما قورن بكثير من الدولوميت المتعرض لنشأة مابعدية من التغيرات المابعدية. وربما يعود ذلك إلى تضخم أو اتساع التبلور بالإضافة إلى عملية الدمج والإحكام أو إلى عملية السمته على حساب ضغط سائل الزوائد الصخرية (Stylolite) أو الحبيبات غير الثابتة (انظر: Von Engelhardt *et al.*, 1974).

#### دمج وإحكام الطين Compaction of clays

أشار كثير من الباحثين إلى أن المسامية الأولية للطين الطازج عالية جداً وهي أعلى بكثير من مسامية الطين الصفحي (انظر: Trask, 1932; and Hedberg, 1936) وأن هذا الانخفاض في المسامية ومصاحبه تغير الطين إلى طين صفحي هو بمثابة نتائج دمج

وإحكام في جسيمات أو حبيبات الراسب عما كانت عليه في السابق . ويكون ذلك نتيجة الضغط الناتج من ثقل الطبقات العلوية (Pettijohn, 1975) . إن العلاقة الموجودة بين مسامية الرواسب وعمق هذه الرواسب تحت سطح الأرض (بعد الدفن) علاقة معقدة ويرجع تعقيدها إلى عاملين هما حجم الحبيبات وتشوه ترتيبها . ولكن بشكل عام فإن الصخور ذات الحبيبات الناعمة تميل إلى أن تُحْكَم أو تُدْمَج حبيباتها بصورة أفضل من تلك الصخور ذات الحبيبات الخشنة وذلك إذا كان كل شيء آخر من العوامل متساوية ، وأن هذه الصخور تظهر انخفاضاً كبيراً في المسامية مع مقياس التعمق أو الدفن (Pettijohn, 1975) .

من الملاحظ أن شكل (٢٨) يشير إلى أن وحل الطين المترسب عند مستوى صفر من الدفن تتراوح مساميته بين ٥٠ إلى ٨٥٪ ولكن بعد الترسيب مباشرة يبدأ الطين بفقدان المياه عن طريق عملية التصلب أو التماسك ومن خلال هذه العملية يتغير الطين إلى حجر الطين . ويشمل ذلك عملية كل من اختزال الماء والسمنتة (أو الالتحام) وكذلك عملية الدمج أو الإحكام نتيجة الضغط المنبعث من أعلى . ومن المهم جداً أن نذكر أن عملية اختزال الماء من الطين عند العمق السطحي (بالقرب من السطح) لا يعود كلية إلى الضغط المبذول من أعلى وإنما يعود أيضاً إلى عملية استخراج الماء من الطين بطريقة مصاحبة نتيجة تواجد جسم مائي تحت راسب الطين ، ويطلق على هذه العملية (Syneresis) ، (White, 1961) مسببة في ذلك تكوين تقاطعات شقوق الوحل عند التقاء وجهي الماء والوحل (Selley, 1976; 1990) . إن معرفة الخصائص الطبيعية للطين وكذلك عملية الإحكام والدمج للطين عند مستوى قليل من الدفن (أي بالقرب من سطح القشرة الأرضية) لازالت محور دراسات كبيرة بواسطة المهندسين الجيولوجيين وذلك لأهميتها القصوى بالنسبة إذا كانت القاعدة الأساسية للكثير من المشروعات الهندسية المدنية مثل بناء العبارات العالية وطرق السيارات ومناطق إنشاء السدود وغيرها . وليس المهم فقط معرفة الخصائص الطبيعية للطين عند المرحلة الأولى من دراسة هذه المواقع ولكن المهم أيضاً بأن يكون في مقدور المهندس الجيولوجي التنبؤ بدرجة الدمج والإحكام للطين في المنطقة إذا تعرض الموقع لعملية تشبع مائي (أو تسرب مائي) .



شكل (٢٨). مدى علاقة اتساع المسامية الأولية لرواسب كل من الرمل والطين عند وقت الترسيب وبعد دفن هذه الرواسب. (عن : Selley, 1976)

وكما يظهر من (شكل ٢٨) أن سرعة طرد الماء وفقدان أو تناقص مسامية الطين تنخفض مع زيادة عمق الدفن. لزيادة معرفة تفاصيل أهمية دمج الطين بالنسبة لمكامن البترول، أو تغيير المعادن الطينية المصاحبة (Selley, 1976).

ويتلخص حديثنا عن مدى تأثير عملية الدموج أو الإحكام على المسامية الأصلية للطين بأن نقول إن مسامية الطين الأولية تفقد بسرعة أثناء الدفن المبكر، وبشكل رئيسٍ بسبب العملية الطبيعية للإحكام الناتج عن الجاذبية تحت عمق ٢٠٠٠ متر وتنخفض ببطء شديد نتيجة العمق وتنعدم بشكل كبير بواسطة عمليات الكيمياء المرافقة لاعادة التبلور المعدني.

وكما أن عملية الدموغ (أو الإحكام) وتصلب الطين عند عمق بسيط من سطح الأرض مهم بالنسبة للمهندسين الجيولوجيين فإن التغيرات التي تحدث للطين لكي تصبح أحجار وحل في أعماق بعيدة من سطح الأرض تشكل اهتمام واسع النطاق بالنسبة لمهندس البترول لأن في ذلك احتمالاً يتعلق بنظريات هجرة ونشأة البترول. وبشكل مماثل فقد اعتبر علماء جيولوجيا التعدين أن أجسام خامات المعادن منخفضة الحرارة ربما سيقت بواسطة السوائل المتبقية من دمج أو إحكام الطين وبمساعدة مياه البحار العاملة كوسط ناقل، (Davidson, (1965); Amstutz and Bubnicek, (1967) and Selley, (1976, 1994). ويجدر الإشارة هنا إلى أن دمج الوحل الجيري يشبه إلى حد كبير دمج الوحل العادي (غير الجيري) إلا أن كثيراً من الباحثين مثل (Bathurst, (1971; Pray, (1960) and Zankle, (1969) يعتقد أن الوحل الجيري قليل الدموغ أو الإحكام وذلك بسبب تعرضه لعملية السمنتة (الالتحام) المبكرة. وبالرغم من أن الوحل الجيري حديث الترسيب يفقد ماؤه بشكل مبكر إلا أنه يحتفظ بمسامية عالية (Pettijohn, 1975).

#### دموغ وإحكام الرمل Compaction of sands

يتضح أيضاً من (شكل ٢٨) أن الرمل يترسب بمسامية أولية تقل بكثير من مسامية الطين، وكذلك يتبين أن مسامية الرمل تنخفض بنسبة أقل بكثير من مسامية الطين عبر نفس زيادة عمق الدفن المصاحب، والسبب في ذلك أنه في حالة الرمل يصبح فقدان المسامية منخفضاً نتيجة الدموغ أو الإحكام الطبيعي بينما في حالة الطين تكون مرتفعة، كما أن معظم فقدان المسامية في الرمل هو بسبب عملية السمنتة (الالتحام) السائدة. وشرح (Selley, 1976) إنه اتضح من دراسة بتروغرافية الرمل أن عملية الدموغ والإحكام تحدث في الرمل عبر ثلاث صور:

١ - نرى في كثير من القطاعات الصخرية المتعامدة لأحجار الرمل الميكانيكي أن جسيمات الميكا منطوية ومشوهة بسبب ضغط حبيبات الكوارتز من أعلى ومن أسفل. ومن هذا نستنتج أن عملية الدموغ قد حدثت.

٢ - تحتوي كثير من أحجار الرمل على حبيبات فتاتية من الطين في حجم حبة الرمل. وهذه الفتاتات الطينية تظهر غالباً مغلفة ومغموسة بين حبيبات الكوارتز الأكثر مقاومة ويدل هذا على أن عملية الدموغ والإحكام قد حدثت.



٣ - تظهر كثير من القطاعات الصخرية للرمل حبيبات فتاتية منكسرة، فإذا ظهرت هذه الفتاتات تحت ضوء المجهر العادي غير مشوهة فإنها في الحقيقة تكسرت وأعيدت عملية سميتها أو التحامها (Sipple, 1968) ويؤكد هذا أن الدموذج الطبيعي قد أخذ مكانه .

وقد تبين من دراسات عديدة أجريت على رمال متنوعة أن عدد اتصالات الحبيبة لكل حبة يزداد مع زيادة العمق في الدفن . وبشكل مماثل أن طبيعة أو نوعية اتصالات الحبيبة يتغير من نقطة تماس إلى اتصال مقعر - محدب وإلى اتصال تشابك (شكل ١٧ أ، ب، ج) مع ازدياد العمق . تدل هذه الدراسات على أن المسامية تتناقص مع العمق . ولكن تقترح دراسة (Sipple, 1968) أن هذا التناقص في المسامية حدث بسبب عملية السمته أو اللحام التي يتعرض لها الرمل في الأعماق وليس بسبب الدموذج أو الإحكام . ومن المحتمل أن يفقد الرمل بعض من مساميته الأولية مع ازدياد عمق الدفن وذلك بسبب ضغط السائل الناتج بين حبيبات الكوارتز، إلا أن السبب الرئيس في تناقص مسامية الرمل في الأعماق يرجع إلى اتساع نطاق ونمو سمته الكوارتز الثانوي (Sipple, 1968) .

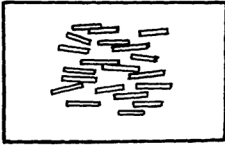
ونختتم حديثنا عن دموذج أو إحكام الرمل بالقول إن هناك عملية دمج للرمل وهذه العملية تؤثر بنسبة بسيطة في خفض مسامية الرمل الأولية (أي الموجودة بين الحبيبات) . ويوضح لنا (شكل ٢٨) أن أثناء فترة الدفن المبكرة للرمل يكون الانخفاض في المسامية قليلاً جداً مع أن عملية دموذج الرمل في هذا المستوى تكون عالية وهذا يعاكس بشدة ما يحدث بالنسبة للطين عند نفس المستوى . كما يبين (شكل ٢٨) أن بمقدور الرمل الاحتفاظ بمعدل مساميته إلى أعماق كبيرة بينما العكس صحيح بالنسبة للطين .

وتبين لنا من الشرح السابق أن باستطاعة الرمل، الدموذج والإحكام خاصة تحت عمق قليل (أو سطحي) وخاصة إذا كان ترابط الرمل ضعيفاً ويحتوي على نسبة عالية من الجسيمات الناعمة في أرضيته . أخيراً يتحتم علينا أن نتذكر أن عملية الدموذج والإحكام ليست العامل الرئيس في تخريب أو انخفاض مسامية الرمل وإنما التناقص المستمر للمسامية مع ازدياد العمق يحدث بسبب عملية السمته المصاحبة .

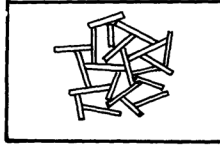
## ملخص عملية الدموج أو الإحكام

تتعرض جميع الرواسب سواء كانت الرواسب مسمتة أم غير مسمتة، لعملية الإحكام أو دمج الحبيبات. ويتسبب في عملية الدموج الضغط الصادر من ثقل الرواسب العلوية أو من حدوث تشوه بنائي لهذه الرواسب وينتج عن كلتا الحالتين انخفاض في المسامات الفراغية داخل جسم هذه الرواسب. ويصاحب انخفاض المسامات الفراغية طرد المياه المتخللة لهذه المسامات ومن ثم انخفاض في حجم الرواسب. وتؤثر عملية الدموج في جميع الرواسب ولكن تأثيرها يكون أكثر وضوحاً في الرواسب ذات الحبيبات الناعمة مثل الغرين والطين. وتكون معادن الطين قبل تعرضها لعملية الدموج أو الإحكام مفككة وذات ترابط مفتوح.

ويتحكم في هذا الترابط سرعة الترسب ودرجة تركيز حجم جسيمات الطين في الماء. وتعتمد عملية دمج الرواسب الناعمة على سرعة طرد الماء من المسامات. وتكون جسيمات الطين قبل الدموج أو الإحكام غير منتظمة التوجيه. وبعد عملية ميكانيكية الدموج يصبح توجيهها على نسق مواز بعضها البعض (شكل ٢٩). ولكن يبدو أن نمو هذا الاختيار من التوجيه المتوازي والذي تعكسه جسيمات معادن الطين يبدأ في المرحلة المبكرة جداً لعملية الدموج وعند ضغط تقريبي ١ كجم لكل ١ سم<sup>٢</sup> (Friedman and Sanders, 1978). كما يبدو أن فقدان المسامية مع ازدياد العمق في الدفن يحدث حتى بالنسبة للطين الصفحي، ويكون السبب في ذلك كبيراً نتيجة



(أ)



(ب)

شكل (٢٩). صفائح من معدن الطين، (عن: Meade, 1966)

(أ) قبل اتمام عملية الدموج أو الإحكام

(ب) بعد اتمام عملية الدموج أو الإحكام

العملية الكيميائية المشاركة في ترسيب المواد اللاصقة عوضاً عن التضاضط الميكانيكي لهذه الرواسب.

إن رواسب الجير تكون أقل عرضة لعملية الدموغ والإحكام من الرواسب الفتاتية (مثل الطين، الغرين، الرمل والطين الصفحي)، ويرجع تجاوب انخفاض مسامية رواسب الجير مع الدفن بشكل كبير إلى ميكانيكية ترسيب السائل وليس إلى إعادة ترتيب طبيعة وضع الجسيمات أو تفتيت هذه الجسيمات. أشارت نتائج كثير من الدراسات التي أجريت على أحجار جير قديمة إلى أن معظم جسيمات هذه الرواسب غير مشوهة. ولأن حجم حبيبات الجير تكون في معظم الأحيان ناعمة، لذلك ربما نتوقع أن يظهر الطين الجيري مقداراً كبيراً من التأثير بعملية الدموغ والإحكام وتكون مشابهة لما يطرأ في الطين. ولكن الوحل الجيري لا يأخذ المتهاج نفسه الذي أخذته رواسب معادن الطين. ويصبح كثير من الأوحال الجيرية في البيئة الترسبية عقدية نتيجة نشاط الحيوانات الموجودة. ويندر أن يظهر الوحل الجيري القديم مقومات تثبت تشوه العقد الطينية.

إن العوامل التي تؤثر على عملية الدموغ والإحكام (Compaction) في الرمل هي شكل وتصنيف الجسيمات وعمق الدفن. ويكون تجاوب حبيبات الرمل أثناء عملية الدموغ والإحكام بأن تتزحزح وتعيد ترتيب ترابطها بشكل أكثر كثافة ومن ثم تنخفض المسامية. ويكون الرمل الرديء التصنيف وذو الحبيبات المزواة أكثر تضاضطاً (متقاربة حبيباته) من الرمل الجيد التصنيف وذو الحبيبات المستديرة.

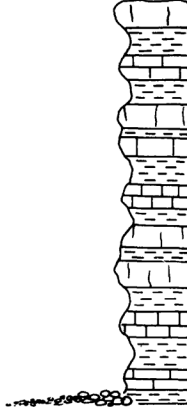
تدل نتائج كثير من الجيولوجيين على أن الحمل (الثقل) وعملية الدموغ المشوهة، وخاصة التي تحدث في الأوحال، تقود إلى انخفاض كبير في حجم المسامات وطرد السوائل بما فيها الهيدروكربون (النفط). وربما تهاجر هذه السوائل المطرودة إلى طبقات رملية عديمة أو قليلة التضاضط. وإذا وجد النفط فمن المحتمل أن يصطاد في مكان من أحجار الرمل أو الجير.

ويمكن حدوث عملية الإحكام أو الدموغ في صخر حجر الجير أو صخر ملح الطعام إذا كانت ملتصقة مع أو مجاورة لجسم مائي، فإنها تذاب بسبب ازدياد الإذابة من خلال ازدياد الضغط. وتعرف هذه العملية بضغط السائل ويكون مضمون تأثيرها

مختلفاً عن الإعادة الميكانيكية لترتيب الحبيبات المتجاوبة للضغط الصادر من ثقل الرواسب العلوية.

لمزيد من التفاصيل عن الخصائص الطبيعية للحبيبات راجع: Selley, (1994) . and Boggo (1995)

## الفصل الثالث



### التجوية

- مقدمة ● الدورة الرسوبية ● التجوية
- الفيزيائية ● التجوية الكيميائية ● التجوية
- الحيوية وتكوين التربة.



## مقدمة

التجوية (Weathering) هي تفتت الصخر نتيجة لعوامل التعرية المختلفة (أثر الرياح والأمطار إلى آخره). وينتج عن التجوية تكسر أو تفتت الصخر عند سطح الأرض مكوناً جسيمات صخرية مفككة تعرف بالتربة. ويُعرف الحث (Erosion) بالعمليات التي تزيح نواتج التجوية أو الرواسب المتكونة حديثاً من طبقة الصخر المعرض لعمليات التجوية.

وتعتبر التجوية بمثابة عمليات تكسير وتغيير للمواد الصخرية بالقرب من سطح الأرض لتنتج ما هو أكثر توازناً مع الحالات الفيزيائية أو الكيميائية الحديثة التأثير في المنطقة.

وبشكل عام فإن التجوية تُظهر تجاوب الصخر لما يتعرض له من حرارة منخفضة وضغط منخفض ومع ضرورة توافر الماء والهواء. وليست التجوية مقصورة على تخفيض معادن الصخر إلى جسيمات أساسية ولكن تكوين معادن جديدة في قطاع التجوية ويكون مقبولاً إذا اعتبر ذلك جزءاً من عملية التجوية نفسها. وهذا يغاير عمليات النشأة المابعدية (Diagenesis) والمتعرضة لها بعض الصخور والتي تحدث تغييراً في هذه الرواسب مكونة معادن جديدة. ويتم ذلك عندما تتعمق الرواسب نتيجة دفنها وزيادة الضغط المحيط بها تدمج وتحكم حبيبات المعادن أكثر مما كانت عليه مع عدم ضرورة توافر الهواء والماء لإتمام هذه العملية كما هو الوضع في التجوية. كما أن عملية النشأة المابعدية مقصورة ومتوقفة على نوعية بيئات الترسيب وهذا يغاير الوضع بالنسبة للتجوية.

وتصبح التجوية المكان المناسب لبدء الدورة الجيولوجية أو بالأخص الدورة الترسيبية. وربما تنقل نواتج التجوية أو مجويات الصخر بطرق ميكانيكية أو كذائب سائلة (أو محمولة) أي على هيئة محاليل. والصخور المبرية أو المسحوحة يطلق عليها مصطلح الحث (أو تحتات الصخر). وحركة هذه المواد الصخرية تسمى انتقالاً. وتشكل التجوية والحث معاً ما يعرف بعملية التعرية (Denudation).

ويمكننا القول إن الصخور تتغير بمجرد تعرضها للأحوال الجوية عند سطح الأرض. ويعتبر هذا التغير بشكل أساسي عملية كيميائية تتأثر من خلالها معادن

السليكا الأصلية بواسطة محاليل عضوية وغير عضوية منخفضة الحرارة. وتُحكم التفاعلات التي تحدث بين معادن السليكا والمحاليل بقوانين كيمياء السائل، والتوازن وعوامل الأكسدة والاختزال. ويحكم نتائج مجموع التفاعلات الكيميائية عدد من العوامل التي تنتج من حالة ثابتة لبيئة كيميائية في أي نطاق معين من سطح الأرض (Carroll, 1970). ويظهر تأثير العوامل المختلفة وعمليات التجوية المتفاعلة مع الصخور بتغير في كل من معادن وكيمياء وحجوم الحبيبات للمادة المحواة إذا ما قورنت بصخر غير مجوي. ويمكن وصف التغيرات المؤثرة في صخر طازج كنتيجة للتجوية بتحليل جزئي أو كلي لبعض المعادن وثبات معادن أخرى وأكسدة أيونات الحديد من  $(Fe_2)$  إلى  $(Fe_3)$  وتنشيط جزئي أو كلي لكل من العناصر الكيميائية الأساسية أو الضئيلة (Carroll, 1970). وتضيف (Carroll, 1970) أن هذه التفاعلات حدثت بسبب إذابة المكونات المعدنية ومسامية الصخر التي إما أن تزيد أو تقلل من التحلل أو الإذابة بالماء. إن تشبع الصخر بالماء الجوفي يكون ضرورياً لأنه في الحالات الأقل تشبعاً تكون المعادن مبللة وتذاب في محاليل الماء ومن ثم تزداد التفاعلات التي ينتج عنها إزاحة محاليل المواد (مثل الكالسيت). وتحدث تفاعلات بين معدن جديد وسائل، وتفاعلات بين مواد متجوية (مثل الطين) ومعادن. وتختلف مكونات الصخر المعدنية في تفاعلاتها مع الماء النقي وتظهر مثل هذه التفاعلات بشكل عام بواسطة درجة حموضة (pH) السائل. ويختلف تفاعل الحموض المخففة والقلويات (Alkalies) المخففة باختلاف المعادن.

وفي المراحل الأولى من التجوية الكيميائية للصخور ينتج سائل قلوي بتغير الفلspar. وتكون معظم التفاعلات التي تلي ذلك حامضية، وفي هذه الحالة تذاب السليكا تدريجياً من الصخر تاركة ألومينا (Alumina) مركزة. وبنهاية التخلص من السليكا يتكون مواد مشبعة بالألومينا غير النقية، وغالباً ما تكون مواد حديدية مشكلة بذلك تربة اللاتريت (التربة الحمراء) وإذا تواجد قليل من الحديد في الصخر الأصلي ينتج في هذه الحالة صخر البوكسيت (Carroll, 1970).

وقد لخصت (Carroll, 1970) العمليات الأساسية للتجوية\* في المعادلة التالية والتي تظهر التفاعل الكيميائي الذي يحدث أثناء التجوية وما ينتج عنه:

(غلاف جوي + غلاف حيوي + غلاف مائي) + غلاف صخري ←



غلاف جوي مجوي + مواد رسوبية متبقية + عناصر كيميائية ذائبة .  
وتختلف شدة تفتت الصخور فيزيائياً (أو ميكانيكياً) المرافقة لعملية التجوية الكيميائية طبقاً لظروف المناخ السائد . وتزاح بشكل كبير العناصر الكيميائية نتيجة التغير المعدني عن طريق التجوية الكيميائية .

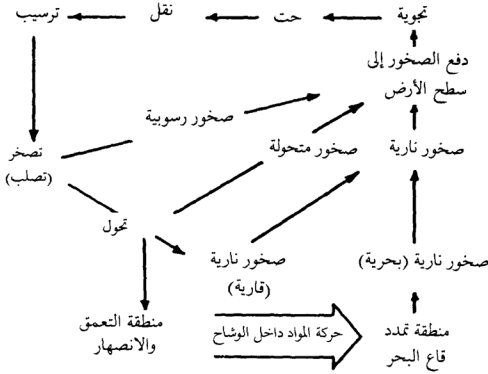
وتشكل عملية الإذابة (الغسل) بالماء عملية أساسية لبيئة التجوية ويكون معظم إمداد الماء من المطر . وفي هذه الحالة إذا تعرض الصخر للغلاف الجوي تبدأ عملية الأكسدة تفاعلاتها . وبالإضافة إلى الأكسجين فإن أهم العناصر الكيميائية الموجودة في الغلاف الصخري هي عنصري السليكا والألمنيوم وبغض النظر عن الكوارتز فإن أكثر العناصر شيوعاً في الغلاف الصخري هي أنواع متعددة من سليكات الألمنيوم (Aluminosilicates) . لذا تختص التجوية الكيميائية بشكل أساسي بكمياء سليكات الألمينا . وكذلك الأمر فإن نواتج تجوية معادن سليكات الألمنيوم تكون ممثلة في رواسب الطين على سطح الصخر المجوي .

يجدر بنا قبل البدء في الحديث مفصلاً عن طرق التجوية المختلفة وتكوين التربة أن نورد شرحاً موجزاً عن الدورة الرسوبية .

### الدورة الرسوبية

تتألف الدورة الرسوبية (Sedimentary cycle) بشكل عام من مراحل التجوية، الحث، الانتقال، الترسيب، التصخر، ارتفاع الصخور أو دفعها إلى أعلى (أي فوق سطح الأرض) ثم التجوية مرة ثانية (شكل ٣٠) . ويختص الجزء العلوي من (الشكل ٣٠) بالدورة الرسوبية . أما الجزء السفلي فلا علاقة له بهذه الدورة وإنما أضيف لإيضاح العلاقة الموجودة بين الصخور الرسوبية والصخور الأخرى داخل نطاق الدورة الجيولوجية الشاملة .

وتبدأ الدورة الرسوبية بتجوية منكشفات الصخور أو صخور القشرة الأرضية تحت حرارة عادية وضغط طبيعي ولكن مع توفر عنصري الماء والهواء . وتتم عملية التجوية إما فيزيائياً عن طريق تكسير وتفتت الصخر ميكانيكياً (وهذه تسمى تجوية فيزيائية)، أو كيميائياً عن طريق أكسدة وإذابة مكونات معادن الصخر (وهذه تسمى



شكل (٣٠). الدورة الرسوبية وعلاقتها بنشأة الصخور الأخرى. (عن : Selley, 1976: 1994)

تجوية كيميائية)، أو حيويًا عن طريق العمليات العضوية المؤثرة فيزيائيًا وكيميائيًا على الصخر (وهذه تسمى تجوية حيوية). وتتبع عملية التجوية مباشرة عمليات الحت والتي من خلالها تزاوح أو تعرى نواتج التجوية (أي الرواسب حديثة التكوين) من على سطح طبقة الصخر المجوي. ويتم ذلك عن طريق عوامل التحات الأربعة وهي الجاذبية، حركة الجليد، الماء الجاري، والرياح (أو الهواء).

وتتضمن عملية الجاذبية الزحف المتدرج لجسيبات الرواسب وشق أو قطع الصخر إلى أسفل منحدرات الجبل، وأحيانًا يكون تدحرج هذه المواد إلى أسفل الجبل بشكل شديد أو على هيئة سقوط أو انهيارات خطيرة (Avalanches). ويحدث الحت الجليدي عن طريق بري وحفر (أو كحت) أسطح صخور القشرة الأرضية بواسطة زحف أو حركة التلاجات وصفائح الثلج كلما انسابت أو تدفقت ببطء عبر منحدر الجبل تحت تأثير الجاذبية. ويعتبر الماء المتحرك من أقوى عوامل الحت ويتضح تأثيره بشكل كبير من دراسة جيومورفولوجية الأرض. ويتم حت الصخور تحت تأثير الماء

الجاري بعدة طرق منها هطول الأمطار الموسمية في المناطق الصحراوية وأحياناً فيضاً بعض الوديان فيها ومن ثم تفتت وإذابة معادن صخور هذه الوديان وما يتبع ذلك من اتساع مساحة هذه الوديان. إن كحت وتعري صخور ضفتي النهر هو من تأثير استمرارية تدفق الماء في قناة النهر. كذلك الحال بالنسبة لتعري واجهات الجبال المواجهة والقريبة من الشاطئ بسبب تأثير قوة اندفاع واصطدام أمواج البحر المتتالية والمستمرة على هذه الجبال.

وقد يعتبر نشاط حت الرياح عديم النهاية. ويظهر نطاق نشاط حت الرياح كبيراً في المناطق الصحراوية حيث تهب الرياح عبر الصحراء الجافة ملتقطة بسرعة سحباً من الرمال ومسببة بذلك كسح الرمال لكل شيء في طريقها وارتفاع حوالي متر من سطح الأرض (Selley, 1976). إن شدة كسح الرمال المحمولة بالرياح يسبب خدش وبري أوجه الصخور المارة عليها وأيضاً يكحت أشكالاً غريبة من أسفل سفوح الجبال مشكلة بذلك حمل الصخور الأكثر مقاومة للتعرية فوق الجزء المعري ومع مرور الزمن واستمرار عملية التعرية هذه تهار الصخور الأكثر مقاومة تحت تأثير الجاذبية مما ينتج عنه تكسر وتفتت الصخر المقاوم إلى قطع أصغر حجماً وبذا يسهل لعواصف الأمطار في المنطقة نقل هذا الفتات الناشيء من مكانه، وما هو صغير جداً ينقل بواسطة الهواء أيضاً.

ويلاحظ أن عوامل الحت الأربعة المذكورة آنفاً هي أيضاً عوامل نقل الرواسب اللاحقة. وتكون نواتج التجوية على هيئة رواسب متبقية (Residua) وذوائب (Solutes). الرواسب المتبقية هي نواتج التجوية غير القابلة للذوبان مثل الزلط والرمل والغرين والطين. أما الذوائب فهي أجزاء الصخر الذائبة (أو المتحللة) نتيجة التجوية. وبهنا معرفة مقدرة عوامل النقل على حل وتمييز أو اختيار حملها من نواتج التجوية.

إن نشاط الرياح من أعظم عوامل النقل اختياريًا لنوعية حملها من الرواسب المجاورة. لأنه يندر أن تكون سرعة الرياح ذات قوة كافية لنقل حبيبات راسب ذات أقطار حجمها أكبر من ٣٥, ٠ مم. هناك نوعان من رواسب الرياح فهي إما رمال ذات حبيبات متوسطة إلى ناعمة المقياس وهذه تنقل على ارتفاع قريب من سطح الأرض عن طريق عملية النقل بالقفز وإما طين غريني وهذه تنقل معلقة في الهواء. فإن نشاط أما خاصية النقل بواسطة عاملي النقل بالجاذبية وحركة التلّاجات، فإن نشاط

هذين العاملين يكون أكثر وضوحاً من خلال الانهيارات الصخرية التي تحدث في أماكن كثيرة. وقدرة هذين العاملين على نقل نواتج التجوية غير محدودة، فهما قادران على حمل جميع نواتج التجوية من ذوائب ورواسب متبقية وبغض النظر عن أحجام حبيباتها. لذا فهما عاملان غير قادرين على فرز رواسب التجوية وليس لديها القدرة على اختيار نوعية حملها كما هو الحال بالنسبة لنشاط الريح كعامل نقل.

وبالعكس فإن الماء الجاري أكثر عوامل النقل نشاطاً وقدرة على نقل الذوائب من نواتج التجوية. ويكون الماء أقل كفاءة في نقل أجزاء من الرواسب المتبقية من نواتج التجوية. لأنه يندر أن تكون قوة سرعة التيارات المائية قادرة على نقل الكعب والزلط عبر مسافة كبيرة. لذا فإن عامل النقل المائي له القدرة على فرز الرمل من الزلط وفتات الطين من الرمل ونقلها إلى مسافات متفاوتة ومن ثم يمكن القول إن لدى الماء الجاري القدرة الكافية على اختيار نوعية حمله كعامل نقل من بين عوامل انتقال الرواسب الأخرى.

ومن الشرح السابق لعوامل نقل الرواسب تجدر الإشارة هنا والتذكّر دائماً بأن فرز (أو تقسيم) الرواسب إلى أصنافها الأساسية من مُدْمَلَكات ورمل وطين صفحي (غرين وطين) وأحجار جبر يتم بواسطة طرق طبيعية بحتة.

### التجوية الفيزيائية

تتم التجوية الفيزيائية (Physical weathering) للصخور بطرق ميكانيكية بحتة وذلك عندما تتكسر أو تتفتت الصخور الصلبة إلى كسر مع عدم حدوث تغيير كيميائي لهذه الصخور. ويظهر نشاط التجوية الفيزيائية كبيراً في مناطق ذات مناخ بارد وجاف جداً أو حار وجاف جداً (مناخ صحراوي). كما يحدث هذا النوع من التجوية بشكل قليل في مناطق مناخية أخرى مثل المناطق القطبية وتحدث التجوية الفيزيائية نتيجة أحداث متعددة تتعرض لها الصخور الصلبة. ومن بين هذه الأحداث نذكر ما يلي:

### نمو البلورة

يتغير حجم الصخر نتيجة نمو (بعض أو جميع بلوراته والتي تحدث ضغطاً في داخل الصخر. مما يؤدي إلى تكسر أو تفتت الصخر محدثة بذلك تجوية فيزيائية. ويتم

تغيير حجم الصخر بشكل عام إما من خلال تجمد الماء داخل الصخور لتكون ثلجاً أو لنمو البلورات من السائل (مثل تجوية نمو بلورات الملح) أو من التغير الكيميائي للمعادن السابقة التواجد (Ollier 1975) .

### التجوية بالصقيع

يتمدد حجم الماء إلى حوالي ٩٪ من أضعاف حجمه عند درجة التجمد أي عند درجة صفر سنتيغراد . ويكون لهذا التغير الكبير في حجم الماء عندما يتجمد، مقدرة واسعة التأثير في تكسير الصخر الحاوي له . ويمكن اعتبار ظاهرة تفتت الصقيع الظاهرة الميكانيكية العظمى من بين ظواهر التجوية الفيزيائية . فإذا تجمد الماء الموجود في فراغات الصخر فإنه ينتج عن ذلك ضغطاً عالياً على الصخر المحيط، ومع استمرار التمدد والزيادة الطبيعية في حجم الثلج (الماء المتجمد) يرتفع الضغط الواقع على جدار الصخر من الداخل فينتج عنه تكسر وتقلق الصخر ومن ثم تفتته . ويحدث نشاط عملية الصقيع بصورة مباشرة أو غير مباشرة على الصخر المحيط بها . إن مجرد إتمام عملية تكون الثلج داخل الصخر يكون مردوده تكسير الصخر إلى كسر متباعدة ومفككة . ويتم مثل هذا العمل بسهولة على طول مستويات تصفح (Planes of fissility) الصخور مكوناً ركاماً من القطع الصخرية المزواة . ومن أنشطة الثلج المباشرة داخل مساحات الصخر دفع أجزاء الصخر بشدة إلى أعلى وكذلك الفصل بين أجزاء الصخر عن طريق كسرها ويتم ذلك بسبب استمرارية نمو الكتل الثلجية .

وتحدث عملية دفع الصقيع بشدة داخل الرواسب غير المتماسكة والتي تسبب خلط المواد الصخرية ولكن لا تكسر الجسيمات أو الحبيبات الصغيرة . ويحدث تأثير مثل هذه العملية في الصخور النافذة وفي كلتا الحالتين يلعب عامل دفع الصقيع بشدة دوراً كبيراً في كسر الصخر ميكانيكياً . وترجع عملية دفع الصقيع بشدة داخل الرواسب عن طريق حركة الماء من خلال الخواص الشعرية بين نواة ثلجية وأرضية غير متجمدة مسببة تجمد الماء ليكون ثلجاً أكثر فأكثر . ويحدث سحب مستمر للماء حول النواة الثلجية وتجمده، وهكذا تستمر العملية حتى يزداد حجم الكتلة الثلجية ويضيق بها الفراغ المحيط، ومن ثم تخلق فراغاً أكبر ليتناسب مع كثافة حجمها المتزايد مما ينتج عن ذلك

ضغط قوى على جدار الصخر من داخل الفراغ ينتج عنه كسر وفلق الصخر المحيط إلى كسر متعددة. وبعد ذوبان الثلج ربما تستقر هذه الكسر في أماكن جديدة وتتساقط بشكل مبعر، وربما تسقط الجسيمات الصغيرة في الشقوق المحيطة مانعة بذلك الكسر الكبيرة من العودة إلى أماكنها الأصلية. ويتوقع من خلال تكرار عملية التجمد وذوبان الجليد أن تكون هناك فرصة أكبر لانشطار وتفتت الصخر إذا ما قورن بصخر آخر معرض بصورة مستمرة لحرارة منخفضة (Ollier, 1975).

ويمكن تأثر الإجراف أو الحوائط الصخرية الجبلية في المناطق الباردة والمواجهة للشواطئ البحرية بتجوية الصقيع ولكن يكون التأثير أشد بسبب كتلة قدم الثلج التي تتكون والممتدة داخل طبقات الجبل وبارتفاع أقل من نصف متر عن مستوى المد والجزر، ولاتبعد هذه الكتلة الثلجية من المنطقة أثناء فترة الجزر. وتقارب قوة هذا الثلج، قوة ثلج المياه العذبة ويزداد حجمها من الثلج المتساقط أحيانا في هذه المنطقة ومن المياه المتسربة داخل هذه الصخور. وتحدث عدة دورات متكررة من التجمد والذوبان لهذه الكتلة الثلجية نتيجة تغير درجة حرارة المنطقة وأيضا بسبب قذف الماء المالح عليها تحت تأثير الأمواج. وينتج عن هذا كله تكسر وسحق الصخر الموجود فوق مستوى المد والجزر مباشرة ومن ثم إزاحة التراكمات الصخرية في هذه المنطقة بواسطة عواصف الموج (Ollier, 1975).

### التجوية بالملح

تحدث تجوية الملح عن طريق نمو بلورات الملح من محلول يحتوي على أيونات عناصر الملح وينتج عن ذلك تفتت الصخور المحيطة. وشبه تأثير التفلق هنا عملية تجوية الصقيع إلى حد كبير إلا أن التبلور من محلول يختلف تماما عن تصلب أو تجمد السائل. ويتم تكوين الملح بسبب حدوث عملية البخر وتركيز عناصر الملح في المحلول المتبقي ومن ثم تحدث عملية التبلور ونمو بلورات الملح محدثة ضغطاً على الصخر المحيط بها بشكل مستمر وكلما ازداد حجم نمو البلورات كلما ازدادت قوى الضغط المصاحبة، وحتى يصبح بمقدور هذه القوة كسر الصخر وتباعده حبيباته عن بعضها. وبهذا تشكل تجوية الملح تجوية ميكانيكية بحتة للصخور عن طريق تفتيتها وسحقها (Wellman and Wilson, 1965).

ويتحرك المحاليل نحو مناطق التبلور داخل التربة والصخور المسامية يتكون الملح وحتى يصبح هناك كمية من الملح ، تتشكل طبقات رقيقة أو قشور من الملح عند سطح الأرض وهذه بدورها قد تحدث تجوية بسيطة للفتاتات المعدنية . ويسبب تبلور الأملاح داخل مسامات الصخور المسامية وبالقرب من سطح الصخر تفريق وفصل في حبيبات الصخر ، ومن المحتمل أحياناً حدوث تفسخ أو تقشر في منكشف سطح الصخر (Exfoliation). ويظهر تأثير تجوية الملح في طبقات أحجار الجير المحتوية على كلوريد الصوديوم محدثة تفتت كبير أو أيضاً مكونة قشور على أوجه حائط الجبل مما يصعب تسلقه (Ollier, 1975) .

وقد سجلت ملاحظات عدة لتأثير تجوية الملح في المباني الأسمنتية (المسلحة) ومواد البناء . وقد ذكر (Fox, 1935) أن طبقة ملحية رقيقة (أو قشرة ملحية) تتكون على واجهات بعض المباني الأسمنتية نتيجة تواجد عنصري الكلور والصوديوم في مادة البناء الأصلية . وفي حالة حوائط المباني الاسمنتية المدهونة بدهان مادة البلاستر، فإننا نجد تكون رقيقة نغية من كلوريد الصوديوم (أي القشرة الملحية) بين الحائط ومادة البلاستر من الحائط . وينتج عن ذلك إبعاد وفصل مادة البلاستر من الحائط . وكما تحدث التجوية الملحية بشدة في المناطق الحارة الجافة فقد لوحظ حدوثها في منطقة القطب الجنوبي (Antarctica) كما شرحها كل من (Wellman and Wilson, 1965) ، ولكن لا يعرف سبب ذوبان الملح في مثل هذه المناطق الجافة الباردة . كما تصبح تجوية الملح مهمة في المناطق الساحلية وذلك بسبب حدوث الفيضان المتكرر في هذه المناطق نتيجة ارتفاع مسطحات المد المالحة وما تحدثه من تكسير وتفتت للصخور والزلط المتاخم تاركة خلفها فتاتات مزواة (Coleman et al., 1966) . ويحدث التفتت والفصل بين مكونات الصخر المعدنية نتيجة دفع من نمو بلورات الملح في فراغات الصخر وأيضاً يصحبه تجوية كيميائية .

### التجوية بأشعة الشمس

تسبب التغيرات في درجة الحرارة تقلصاً وتضخماً (تمدداً) في الصخور . فيتضخم حجم الصخر نتيجة ارتفاع في درجة حرارته ويتقلص حجمه إذا انخفضت درجة

حرارته. وينتج عن تكرار التغير في درجة الحرارة تكسر الصخر وتفتته. ويستخدم مصطلح التجوية بأشعة الشمس (Insolation weathering) إذا كان عامل التسخين هو أشعة الشمس. وبما أن الصخر موصل ضعيف للحرارة فإن منحدر القوة الحرارية يحدث بين السطح وداخل الصخر عندما يسخن الصخر. لذا يتسع أو يتمدد سطح الصخر أكبر من داخله محدثاً ضغطاً حول الصخر وربما يقود ذلك إلى تشقق أو تقلق الصخر. وتتكون معظم الصخور من معادن مختلفة، وكل معدن من هذه المعادن يختلف من حيث درجة تسخينه وعامل تمدده عن المعدن الآخر. وينتج عن ذلك اختلاف في تمدد هذه المعادن بدرجات متباينة. ومن المعروف أن المعادن القائمة تتمص الحرارة بصورة أسرع من المعادن الباهتة أو ربما يساعد هذا على وجود اختلاف في تمدد أجزاء الصخر مما يقود إلى تكوين ضغوطات صغيرة داخل الصخر ومن ثم تحدث كسور دقيقة في الصخر ومن المحتمل أن يصاحب ذلك تفتت حبيبي (Ollier, 1975).

وتبلغ تجوية أشعة الشمس ذروتها في مناطق ذات تفاوت كبير بين درجة حرارة النهار والليل، والشتاء والصيف مثل المناطق الصحراوية. فالصخور الموجودة في هذه المناطق تتمدد وتنكمش تبعاً للتفاوت الشاسع في درجات الحرارة والبرودة والتي تتعرض لها الصخور أثناء فترة زمنية قصيرة. فتتغير أحجام معادن الصخر المختلفة نتيجة التفاوت الكامن في درجة تمددها وانكماشها وذلك طبقاً لخواص المعادن الطبيعية، هذا بالإضافة إلى خشونة سطح الصخر المعرض لأشعة الشمس وعلاقة اتجاه الرياح مع سطح الصخر وغيرها من العوامل الأخرى.

وقد تطرق (Gray, 1965) بالتفصيل لتأثير التسخين ميكانيكياً على أسطح الصخور المعرضة لذلك. كما ذكر (Ollier, 1975) بناءً على ما أشارته تقارير عديدة بأن تجوية أشعة الشمس تحدث في أنواع مختلفة من الصخور والتي تكون في معظم الأحيان خاملة كيميائياً مثل الصّوان (Flint) والكوارتزيت (المرو النقي) وفي صخور أخرى باهتة وذات حبيبات خشنة وليست بركانية.

ومن بين عوامل التجوية الفيزيائية الأخرى، تعرض الصخور للتسخين عن طريق اشتعال النيران في بعض الغابات، مسببة إرتفاعاً في درجة أسطح الصخور المتواجدة ضمن هذه الغابات أو حتى على مقربة منها. فاختلاف درجة الحرارة بين



سطح الصخر ودخله بسبب تغلق أو تقشر الصخر ومن ثم تفتته .  
 كذلك يحدث تغيير في حجم الصخر إذا امتص كمية كبيرة من الرطوبة أو الماء .  
 فيتمدد الصخر إذا تخلله الماء وينكمش إذا جف الصخر وذلك إما نتيجة لتبخر الماء أو  
 خروجه بطرق متعددة . وتحدث مثل هذه التجوية (تجوية الرطوبة) في المناطق ذات  
 الرطوبة العالية ، بين (٩٠ - ١٠٠٪) .  
 وتحدث التجوية الفيزيائية أيضاً نتيجة عملية البري أو المسح والتي تتعرض لها  
 الصخور أثناء انزلاقها فوق بعضها البعض أو أثناء انتقال الحبيبات فوق سطح طبقة  
 صخرية .

راجع (Ollier, 1975) لكثير من تفاصيل التجوية الفيزيائية .

### التجوية الكيميائية

يتجوى كل نوع من الصخور حسب تكوينه المعدني ، نسيجه الحبيبي (حجم  
 حبيباته ، شكل واستدارة حبيباته ، تصنيف حبيباته) والبيئة الكيميائية السائدة حوله ،  
 وتكون داخل نطاق ظروف الحموضة (pH) والأكسدة (Eh) التي يتعرض لها الصخر .  
 فمن المعروف أن حموضة السائل (pH) تشير إلى تركيز في أيونات الهيدروجين وبدون  
 العلامة السالبة (أو علامة ناقص) . فمثلاً حموضة الماء النقي هي (٧) وتقارن حموضة  
 السوائل الأخرى بدرجة حموضة الماء . فيطلق على السوائل التي حموضتها أقل من (٧)  
 حموض (Acids) . ويطلق على السوائل التي درجة حموضتها أكبر من (٧) قلويات  
 (Alkaline) انظر جدول رقم (٨) .

وتؤثر درجة الحموضة (pH) في ذوبان (Solubility) أو سيولة عدد كبير من المواد .  
 نذكر على سبيل المثال يصبح الحديد محلولاً أو ذائباً بمقدار ١٠٠,٠٠٠ مرة (أو أكثر)  
 عند درجة حموضة (٦) وتقل بنفس المقدار عند درجة حموضة (٥, ٨) . كذلك الأمر فإن  
 درجة الحموضة تؤثر بشدة على ذوبان الألومينا والسليكا . فمثلاً تصبح الألومينا أكثر  
 إذابة من السليكا عند درجة حموضة أقل من (٤) ولأنه يندر وجود بيئات بهذه الدرجة  
 من الحموضة لذا لا يحدث إذاحة الألومينا لكي تترك السليكا كمادة متبقية بعد التجوية .  
 ولكن بين درجة حموضة (٥) إلى (٩) تكون الألومينا غير قابلة مطلقاً للذوبان أو التحلل

جدول رقم (٨). مقاييس الحموضة والقَلْوِيَّة في السوائل .

بيئة طبيعية	pH
تربات قَلْوِيَّة	١٠
ماء البحر	٩
تربة كلْسِيَّة	٨
ماء المطر	٧
ماء الأنهار	٦
تربة حمْضِيَّة	٥
ماء الدبال (المستنقع)	٤
ماء المناجم	٣
ينابيع حمْضِيَّة حارة	٢
	١

(عن : Ollier, 1975)

بينما تصبح السليكا أكثر إذابة . وتقود مثل هذه الظروف إلى إذاحة مختلفة للسليكا (عن طريق إذابة متفاوتة في السليكا) وتكوين تربة اللاتريت أو البوكسيت . ويمكن وجود بعض العناصر بعدة حالات من الأكسدة ، مثل الحديد (يوجد على هيئة  $Fe_2O_3$ ,  $FeO$ ) وتعتمد ثبات حالة أكسدة العناصر على التغير في الطاقة والتي تشمل على إضافة أو إذاحة الكترولونات (من نطاق حلقة ربط عنصر الأكسجين بالعنصر المؤكسد) . ويمكن قياس ذلك عددياً ويمثل عن طريق علاقة أكسدة الهيدروجين إلى أيونات الهيدروجين . ويرمز لعامل الأكسدة بالمصطلح (Eh) . ويختلف عامل إمكانية (أو جهد) الأكسدة (Eh) مع تركيز المواد المتفاعلة ، فإذا اشترك أيون الهيدروجين أو أكسيد الهيدروجين فإنه يختلف عامل جهد الأكسدة (Eh) مع درجة حموضة (pH) السائل ، فيقل عامل جهد الأكسدة (Eh) كلما ازدادت درجة حموضة (pH) السائل . ومن ثم تستمر عملية الأكسدة بثبات وتزداد قلوية السائل (Ollier, 1975) . يتسبب استمرار هطول الأمطار في تجوية الصخور كيميائياً وبشكل الماء عامل الإذابة لمادة السليكا داخل نطاق معادن سليكات الألومنيوم . وهذه تشكل كتلة الصخور على سطح الأرض . وبدون الماء يبقى تفتيت الصخور فيزيائياً هو الأكثر

شيوعاً مع كمية محدودة من الأكسدة. ويمكن اعتبار التجوية الكيميائية بوجود هيجوم حمضي عندما يحدث اتصالاً بين الغلاف الصخري والغلاف الجوي (Garrels, 1957). ويحتوي ماء المطر على ثاني أكسيد الكربون ( $CO_2$ ) ويكون أكثر حيادية (Neutralized) كلما تخلخل إلى أسفل. وتأخذ معادن الصخور الماء وأيونات الهيدروجين وتترك الكتيونات (Cations) أو الأيونات الموجبة في الماء المتحرك. وعندما تتكون التربة بسبب تجوية الصخور كيميائياً فإنه يضاف لهذه التربة غازات منها ثاني أكسيد الكربون، وهوض عضوية آتية من تحلل المواد العضوية وتحول الكائنات العضوية الحية (وتشمل الكائنات الحية الدقيقة والغطاء النباتي). ثم تنقل نواتج التغيير المعدني كمحلول إلى أسفل وبصورة راسب دقيقة جداً ومن خلال طريقة حركة الفرز الطبيعية للحبيبات أو الجسيمات المقاومة الناعمة والخشنة. وهذه الطريقة يمكن تشكيل طبقات من أفاق التربة تكون محتوية نسبياً على قليل من المعادن، والحبيبات المقاومة (الرمل) ومتبقيات نواتج التحلل الكيميائي (طين، لثريت وبوكسيت) ويتركز ذلك في الطبقات العلوية. تعتمد كمية أو درجة التجوية الكيميائية على كل من كمية الماء المتوفرة، لكي تذيب أو تحلل الصخور، وعلى درجة التصريف والتي تحدد بمسامية الصخور وموقع مستوى خزان الماء. وعندما يتحلل أو يذاب الصخر بالماء فإنها تذاب أيونات معينة من معادن الصخور الموجودة في ماء الصرف المار من خلال الصخر. ويتحكم في حركة الماء في منطقة التجوية عدة عوامل، هي الجاذبية، الخاصية الشعرية، الرطوبة والحرارة. وهناك أربعة أنواع من الماء تكون كامنة في منطقة التجوية، كما ذكرتها (Carroll, 1970):

#### ١ - ماء الجاذبية Gravitational water

وهو الماء الذي يتخلل إلى أسفل بين مسامات الصخر، ويعمل على تصريف الأيونات الذائبة.

#### ٢ - ماء الخاصية الشعرية Capillary water

وهو الماء المجذب عن طريق نشاط الخاصية الشعرية داخل المسامات وفي الفراغات الصغيرة.

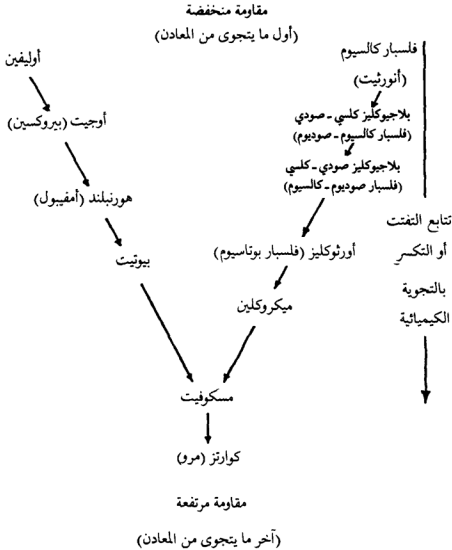
#### ٣ - ماء التبلل Hygroscopic water

وهو الماء الموجود على شكل غلاف رقيق يحيط بالحبيبات وخاصة الجسيمات الدقيقة.

## ٤ - ماء مشترك Combined water

وهو الماء المترابط كيميائياً والذي يفصل بالحرارة القوية فقط، أو تغير شكل المعدن مثل الجيبسيت ( $\text{Gibbsite Al}_2\text{O}_3 \cdot 3\text{H}_2\text{O}$ ) إلى بوهميت ( $\text{Boehmite Al}_2\text{O}_3 \cdot 2\text{H}_2\text{O}$ ). ويعمل ماء الخاصية الشعرية كمذيب ويشكل كلاً من هذا الماء وماء التبلل الوسط الذي يتم فيه تبادل الأيونات. ويكوّن الماء في تجوية التحلل الكيميائي الوسيط الذي يتسبب في التفاعلات الكيميائية المنتجة لمقطع التربة (Soil profile). والتركيب البدائي لماء التربة هو تركيب ماء المطر المتساقط عليها ولكن يتغير هذا التركيب عن طريق العناصر الكيميائية في ماء التبلل والموجود في التربة مسبقاً. ويحكم مقياس حموضة (pH) الماء الطبيعي كل من التفاعلات الكيميائية والتوازن بين الأيونات في محلول الماء والتي تحدث بين عناصر مكونات الصخر عندما يتعرض الصخر للماء، ومن ثم تتم عملية التجوية الكيميائية كما شرحت آنفاً.

وباستثناء رواسب التبخير (المتبخرات) فإنه يتفاعل عدد قليل من مكونات الصخر المعدنية مع الماء النقي ولكن عامة تكون المياه الجوفية حمضية ويعود ذلك إلى وفرة ذائب ثاني أكسيد الكربون في الغلاف الجوي (الهوائي) مكوناً مخفف حمض الكربون. ويرتفع مقياس حموضة (pH) الماء بتوافر أحماض دبالية تكونت نتيجة العمليات الحيوية في التربة. وتشكل عمليات الأكسدة والتشبع بالماء (الإمالة) تفاعلات كيميائية أساسية في تجوية الصخر. وقد تمت دراسات عديدة على تفاوت التجوية الكيميائية لمكونات الصخر المعدنية المختلفة (مثل دراسة كل من: Ruxton 1970 & Parker, 1968). واتضح من نتائج هذه الدراسات أن معدل الحركة النسبية لأكاسيد عناصر مكونات الصخر الأساسية ينخفض من كالسيوم وصوديوم إلى مغنسيوم وبوتاس وسليكون وحديد وألمنيوم. لذا تقل أو تنخفض أولاً هذه العناصر في الصخور المتعرضة للتجوية الكيميائية ثم تظهر تزايداً نسبياً في كميات أكسيد الحديد والألومينا والسليكا (Selley, 1976). فتتحكم الإحداثيات الكيميائية تتابع تجوية مكونات الصخر المعدنية. وهذا التابع هو معكوس نسق أو سلسلة تفاعل بوين لتبلور المعادن النارية (شكل ٣١).



شكل (٣١). سلسلة مقاومة المعادن للتجوية. (عن : Goldich, 1938)

وبعني هذا أن المعدن الذي يتكون أو يتبلور أولاً في سلسلة تفاعل بوين يتجوى أولاً وهكذا.

وتعرف هذه السلسلة بسلسلة مقاومة التجوية التي شكلها الباحث (Goldich, 1938). وأصبحت هذه السلسلة قاعدة تفكيرنا بخصوص مقاومة المعادن في بيئة التجوية. وتميل المعادن إلى تكوين أو إعطاء عناصر معينة عندما تتغير تحت تأثير عمليات التجوية وبمعدلات مختلفة، ويرجع ذلك إلى كل من بنية وتركيب المعادن وإلى

بشرة التجوية. وغالباً ما تكون كمية المعادن المتخلفة (أو المتبقية) كبيرة وتختلف هذه الكمية طبقاً لسلسلة مقاومة التجوية ولكن يرجع بقاء هذه المعادن بعد التجوية إلى نوعية الصخر الأم (أو صخر المصدر الأصلي). وهناك عوامل أخرى تسبب اختلاف وجود المعادن المتخلفة مثل الظروف المناخية والظروف الطبوغرافية والتي تسود عندما يشكل الصخر التربة (Carroll, 1970).

وتُحدِث التجوية الكيميائية تَكْسُراً في الصخر معطية مكونين أساسيين، هما المحاليل والمتخلفات (أو المتبقيات أو الفضلات). ويشتمل المحلول على عناصر مثل الفلزات القلوية بشكل أساسي الصوديوم والبوتاسيوم وندرة من المغنسيوم والكالسيوم والأسترنتيوم. وتطرّد أو تخرج هذه العناصر بقوة من منطقة التجوية حيث تجد طريقها إلى البحر لكي تترسب فيه مكونة أحجار الجير والدلوميت والمتبخرات (أو أحجار البخر). وتشكل متخلفات أو فضلات التجوية الكيميائية كسر أو فتاتات صخرية غير قابلة للذوبان بالمياه الجوفية أثناء تعرضها للتجوية. ويلاحظ من (الشكل ٣١) أن هذه المتبقيات يمكن استنتاجها وهي عبارة عن كمية كبيرة من الكوارتز (أو السليكا) ونسب مختلفة من الفلسبار والميكا بناءً على درجة التجوية اللاحقة بهما.

وأهم تفاعلات التجوية الكيميائية هو تكوين معادن الطين. ومن المعروف أن هذه المعادن تشكل مجموعة معقدة من سليكات الألومنيوم المائية. وتصنف معادن الطين طبقاً للطريقة التي ترتبط بها سليكات الألومنيوم المائية بكل من الكالسيوم والبوتاسيوم والمغنسيوم والحديد. وتتكسر أو تفتت المعادن المافية (أوليفين وبيروكسين) أثناء مراحل التجوية المبكرة مكونة طين الكلور الغني بالحديد والمغنسيوم. وفي الفترة نفسها تشكل تجوية الفلسبارات معادن أطيان مايكات السيريست والأليت والكالونيت.

وكلما تطورت أو تقدمت التجوية يطرّد أو يبعد جزء من الأطيان بصور جسيمات طين دقيقة جداً ولكن يمكن أو يبقى في مكانه مكوناً راسباً طينياً متخلفاً. وإذا استمرت التجوية أكثر فأكثر فإن جميع الكالسيوم والمغنسيوم يصبح محلولاً ويُبعد نهائياً. وتتكون متخلفات (أو متبقيات) تجوية الصخر الناضج الشاهية من كوارتز (إذا توافر في الصخر الأم) وكاولين (أنقى معادن الطين ويتكون فقط من سليكات الألومنيوم المائية) وبوكسيت (ألومينا مائية) وليمونيت (أوكسيد حديد مائي). ولكي يتكون هذا

النوع من المتخلفات بالتجوية الكيميائية المركزة فإنه يتطلب مناخاً دافئاً ورطباً بالإضافة إلى درجات منخفضة من الحت (Selley, 1976, 1994). ويوضح (شكل ٣٢) التركيب المعدني لثلاثة رواسب متخلفة من التجوية الكيميائية الشديدة. وهذه الرواسب هي صخور اللاتريت، والبوكسيت وطين الصين.

نوع الصخر	المعادن			
	ألومينا مائية	كاولين	أكاسيد حديد	سليكا
لاتريت (تربة متبقية حراء)				
طين صيني				
بوكسيت				

شكل (٣٢). التكوين المعدني للرواسب المتخلفة الناتجة عن التجوية الكيميائية المركزة.

(عن: Selley, 1976, 1994)

#### ١ - اللّاتريت Laterite

يعتبر صخر اللّاتريت من رواسب التجوية الكيميائية المتخلفة والموجودة في بيئة التجوية نفسها. وصخر اللّاتريت غني بأكاسيد الألومنيوم والحديد المائية وهو أحد صخور نواتج التجوية مثل البوكسيت والقشرة السليكونية أو الصّوانية. وتنخفض فيه مواد مثل الدُّبال (تربة نباتية سوداء) والسليكا، والجير وطين السليكات. ولون راسب

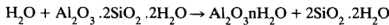
اللاتريت الطبيعي أحمر بني، ترابي المظهر وغالبًا ما يتواجد مفكك ضعيف التلاحم ولكن سرعان ما يتصلب عند تعرضه للهواء، وهذه الخاصية مفيدة في صناعة الطوب من تربة اللاتريت. ويظهر اللاتريت بنيات مُحَصَّية ودودية الشكل. وتكون بنية اللاتريت الحمصية مستديرة على شكل دوائر متحدة المركز ومتزايدة التدرن أو التضخم وقد يصل قطرها إلى واحد سنتيمتر أو أكثر. ويتكون اللاتريت الدودي البنية من عدة أنابيب لا تريتية صلبة مغموسة بصورة تحت رأسية في أرضية (Matrix) هشة أو غير متماسكة.

وحيث إن الرواسب المتخلفة مثل اللاتريت تتطلب فترة طويلة من التجوية الكيميائية المركزة حتى يصبح الصخر ناضجًا لذا يوجد اللاتريت في مناطق ذات تضاريس منخفضة وهذه بدورها ذات معدل تحات منخفض. ومناطق يمثل هذه الظروف تتيح لعمليات التجوية الكيميائية أن تتم بالطريقة المطلوبة لتكوين تربة اللاتريت. وتأتي المادة الحديدية في صخر اللاتريت من وجودها الضروري والأصلي في الصخر الأم والذي يشكل عاملاً مهمًا ومصدرًا لتربة اللاتريت. لذا نجد أن اللاتريت يتكون بصورة جيدة فوق هضاب البازلت وصخور متداخلة قاعدية (Selley, 1976). وتربة اللاتريت منتشرة بكميات كبيرة في معظم أقاليم العالم ذات المناخ المداري الرطب. كما لوحظ وجود تربة اللاتريت في منطقة عسير على بعض أجزاء طريق ظهران الجنوب بالملكة العربية السعودية.

## ٢ - البوكسيت Baurite

يتبع صخر البوكسيت لمجموعة رواسب التجوية الكيميائية المتبقية أو المتخلفة. ويتكون البوكسيت من كميات مختلفة من أكاسيد الألومنيوم المائية (مثل معادن الجبسيت (Gibbsite)، والداسيبور (Diaspore)، والكليكيت (Chlchachite)، والبوهميت (Boehmite)). وتشكل معادن البوكسيت عن طريق تشبع معادن الطين بالماء، وخاصة معدن الكاولين.

ماء + كاولين ← أكسيد الألومنيوم مائي (بوكسيت) + حمض سليسي





لذا يتطلب لتكوين البوكسيت وجود ذوبان أو تحلل معادن الطين النقي . وغالباً يوجد البوكسيت فوق مكونات أحجار الجير المجوأة . حيث يتم نتيجة التجوية الكيميائية إذابة وتحلل كربونات الكالسسيوم كليةً ومن ثم تبعد من المنطقة بالنقل تاركة خلفها المتخلفات الطينية غير القابلة للذوبان . وبعد إبعاد مادة السليكا منها بالماء تتكون مجموعة معادن البوكسيت في المنطقة نفسها . والطريقة الثانية التي تتم بها تكوين البوكسيت هي عن طريق تجوية رواسب الكاولين إذا تعرض للماء (Valeton 1972, 1973) . ويشكل البوكسيت أهمية اقتصادية كبيرة كمصدر وحيد للألومنيوم .

### ٣ - طين الصين China clay

يشار إلى معدن الكاولين بطين الصين وهو عبارة عن معدن طيني يتكون من سليكات الألومينا المائية  $(\text{Al}_2\text{O}_3 \cdot 2\text{SiO}_2 \cdot 2\text{H}_2\text{O})$  . ويعتبر طين الصين أحد متخلفات التجوية الكيميائية . ويتكون طين الصين عن طريق التجوية المركزة لأصناف مختلفة من الصخور ولكن بشكل خاص الصخور الغنية بسليكات الألومنيوم مثل الأطين الصفحية والصخور المتحولة والنارية الحمضية . وقد أوضح (Bristow, 1969) أن طين الصين يتكون نتيجة إذابة وتغيير معدن الفلسبار في صخر الجرانيت بالمياه الجوفية الساخنة . كما أشار (Selley, 1976) بأنه يمكن انتقال طين الصين عبر مسافات قصيرة من منطقة الماء الساخن وترسيب الرواسب المتخلفة في بيئات بحيرية . وفي هذه الحالة نجد أن طبقات الكاولين محتوية على رمل وفحم حجري أو lignite) .

وتختلف مكونات معدن الكاولين المتبقية أو المتخلفة . فيصبح الكاولين صخر لاتريت إذا ازدادت محتويات الحديد فيه وباستخراج السليكا من الكاولين يتشكل صخر البوكسيت . وإذا تشكل الكاولين كمتخلف على سطح صخور الجرانيت فإنه من الطبيعي أن توجد فيه كميات كبيرة من الكوارتز مما يحتم استخلاصها قبل استعمال الكاولين .

وتظهر أهمية طين الصين (أو الكاولين) الاقتصادية في استخدامه في صناعة الورق والخزف .

### التجوية الحيوية وتكوين التربة

تؤثر النباتات التي تنمو تحت ظروف مناطق مناخية مختلفة في الصخور المجاورة الموجودة في تلك المناطق. وينتج عن نمو وتحلل النباتات مادة عضوية متحللة. والتي يتكون منها دُبال التربة عن طريق نشاط كل من النباتات الدقيقة والعمليات الكيميائية. كما أن تأثير تفاعل النباتات ونواتجها مع الجسيمات المعدنية للصخور المجاورة يسبب تغير التجوية الكيميائية إلى تغيرات جذرية ينتج عنه تكون التربة في المنطقة. وتحدث هذه التغيرات من خلال الأنشطة الحيوية والتي تتفاعل فيها نواتج التجوية الكيميائية للصخر مع ما يضاف إليه من مواد عضوية ودُبال. ويطلق على هذه التجوية تجوية حيوية.

وتنتج النباتات القسط الأكبر من المادة العضوية في التربة. فتتغير رُباله الأوراق النباتية والتي تتكون خامه الدُبال إلى دُبال حقيقي. ولا يقتصر دور النباتات على إنتاج مادة الخامات العضوية في التربة بل بالإضافة إلى ذلك تلعب دوراً مهماً في التجوية، ولأسباب عديدة. وتقع أهمية كل من النباتات الدقيقة (أغلبيتها بكتيريا) والنباتات الكبيرة (أشجار شجيرات، حشائش وغيرها) في تغيير مواد الصخر المجوي. وحيث إن النباتات الكبيرة تنتج بشكل كبير المادة العضوية إلا أنه ليس بمقدور هذه المواد العضوية أن تتغير إلى دُبال بدون مجهود النباتات الدقيقة. وتعرف النباتات والحيوانات الحية المادة المجاورة بفصائل الأحياء. وقد لخصت (Carroll, 1970) تأثير النباتات الكبيرة في الصخور كما يلي:

١ - تتم إدارة وتحريك الماء بشكل دائري بين طبقات التربة العميقة والصخر المجوي عند سطح الأرض عن طريق استعمال النباتات للماء المحتوي على عناصر كيميائية.

٢ - تمد النباتات الكبيرة رُباله الورق والتي تكون العنصر الأساسي للدبال.

٣ - يوجد تركيز لبعض العناصر في الأوراق والأجزاء الخشبية النباتية وتضاف هذه العناصر إلى تربة السطح مع الأوراق.

٤ - عند تحلل وذوبان المواد العضوية للأوراق وسيقان النباتات بالماء، تعطي أمحاضاً ومركبات أخرى تذيب العناصر الكيميائية للمعادن في الصخور.

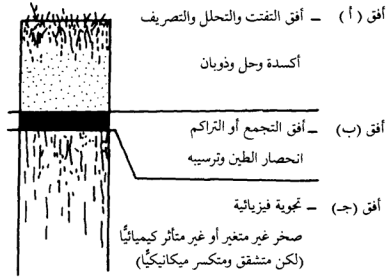
- ٥ - تمتلك جذور النباتات تفاعلاً حمضياً والذي يتسبب في تنشيط تحلل الصخر.
- ٦ - تشكل جذور النباتات قنوات داخل الصخور المجاورة تساعد على وجود الحركة الدائرية للماء والهواء داخل الصخر.
- ٧ - تصيف جذور النباتات غاز ثاني أكسيد الكربون إلى ماء وهواء التربة ومن ثم يزداد إنتاج حمض الكربون والذي يخفف حموضة الماء المتحرك داخل الصخر مما يزيد قوته في إذابة المعادن.
- ٨ - تدخل خلايا الجذور النباتية في تفاعلات متبادلة مع الكتيونات (Cations) الفلزية الموجودة إما في ماء التربة أو من خلال التبادل المتصل.
- ٩ - تتخلل الجذور النباتية الكبيرة الشقوق والفجوات الموجودة في الصخور الصلبة مسببة تجزئتها إلى قطع صغيرة.
- وتوجد الكائنات الحيوانية الدقيقة بشكل واسع في الجزء المجوى العلوي للتربة. كما تستطيع الكائنات الحيوانية الكبيرة من الحفر داخل الصخر المجوى وتعمل كوسيط ميكانيكي. وتتكون حيوانات التربة أو القشرة الأرضية المجاورة من ثلاث مجموعات حيوانية:
- (أ) الحيوانات الدقيقة وهي الكائنات الحية وتكون صغيرة جداً ولا تستطيع التأثير في حجم مسامات التربة، وتعيش بشكل رئيسي في أطراف ماء التربة (Protozoa, rotifers, & nematodes) و (Mites and Springtails) التي تعيش في فراغات الهواء.
- (ب) الحيوانات الكبيرة مثل دود الأرض slugs ، والنمل termites ، والقواقع snails ، وغيرهم.
- (ج) حيوانات طليقة الحركة مثل الحيوانات القادرة على الحفر مثل القثران والأرانب وغيرها والتي لها تأثير قليل في تنمية التربة.
- وليس لدى المجموعة الأولى تأثير على توزيع حجم حبيبات الصخر المجوى ولا على تفتيت بنية مواد التربة. وتخفض أو تقلل المجموعة الثانية من المادة العضوية الموجودة في التربة المجاورة وتخلطها مع مكونات التربة غير العضوية. وتعمل كثير من ديدان هذه المجموعة قنوات أو ممرات داخل التربة مما يساعد على زيادة حركة الماء والهواء في التربة. وتقوم حيوانات المجموعة الثالثة بنطاق واسع من العمل على تحريك كميات

كبيرة من المادة المجوأة كخلط الأفقين (أ) و(ب) من التربة. وكذلك تزيد هذه الحيوانات من حركة الماء والهواء داخل التربة وتسبب في إزاحة المواد عن طريق المياه الجارية. ويتلخص مشاركة عمل الحيوانات الرئيسي للتجوية في إعادة أو تكرار خلط مواد التربة ومن ثم تعريض مادة طازجة إلى عوامل التجوية. وكذلك السباح للهواء والماء من الوصول بيسر إلى الجسيمات المعدنية. وربما تنتقل المادة العضوية إلى أسفل طبقات الصخر المجوي مما يساعد على تجوية الصخر في أعماق القشرة الأرضية. ويشبه تنفس حيوانات التربة بتنفس النباتات وذلك بزيادة غاز ثاني أكسيد الكربون في محتوى هواء التربة والذي يشكل عاملاً مهماً في التجوية الكيميائية المصاحبة.

وحيث إن التربة هي نواتج التجوية الحيوية لذا فإنها تشكل جانب التجوية التي تختص بها العمليات الحيوية. وتتكون التربة من ركام فتات صخري وذُبال يتحلل إلى مادة عضوية ذات أصل نباتي واسع. ويتراوح تركيب أو بنية الدُّبال من ركام عضوي واضح التعريف مثل أوراق النبات وجذور النبات إلى فتاتات عضوية معقدة وحموض دبالية (Selley, 1976).

ويهتم الجيولوجيون بدراسة علم التربة (Pedology) لما لها من مؤثرات في تجوية الصخر وتكوين الراسب. وقد صنف علماء التربة جانب التربة الرأسى إلى ثلاث مناطق أو آفاق. واستخدم العالم الروسي دكوتشف (Dokuchaiev) الحروف أ، ب، ج ليشير موضحاً إلى آفاق التربة الثلاث (شكل ٣٣).

فسميت المنطقة العلوية والغنية بالمادة العضوية أفق (أ). وسمى صخر الأم للتربة والعميق جداً والذي يتكون من معادن المادة الطفالية بأفق (ج). وسميت المنطقة الوسطى بأفق (ب) والتي هي خليط من أفق (أ)، وأفق (ج). ويشار إلى أفق (أ) بأفق التحات أو التفتت (Eluvial). حيث يكون هذا الأفق أغنى الآفاق بالمواد العضوية وعامة تكون التجوية الكيميائية فيه ذات نشاط أوسع وتحمل المحاليل وتبعد بالمياه الجوفية. وتنتقل إلى أسفل جسيمات الطين متخللة طراز الجسيمات الخشنة من هذا الأفق ومرتبة (أو متجمعة) في أفق التجميع أو التراكم (Illuvial) والذي يعرف بأفق (ب). ويقع تحت أفق التراكم (ب) طبقات الصخر الأم ويشار إليها بأفق (ج) الذي تسود فيه التجوية الفيزيائية على كل من عمليات التجوية الكيميائية والتجوية الحيوية.



شكل (٣٣). جانب لمقطع التربة وأفاقها الثلاثة الرئيسية. (عن : Selley, 1976, 1994).

ويتدرج أفق (ج) إلى أسفل حتى يصل طبقة صخرية عديمة التجوية. ويختلف سمك قطاع جانب التربة من مكان لآخر وليس دائماً توجد الآفاق الثلاثة، ويرجع ذلك إلى معدل سرعة الحت، ونوعية المناخ السائد وبنية طبقة الصخر المعدنية. وكما شرحنا سلفاً أنه في مناطق التضاريس المرتفعة، بمقدور عملية الحت أن تتم بسرعة خاطفة حتى لا يمكن نمو أو حدوث كل من التجوية وتشكيل التربة في هذه المناطق. وبالعكس حيث يمكن تجوية صخور الجرانيت حتى عمق ١٠٠ متر في مناطق ذات مناخ مداري رطب وتعرف هذه التشكيلات بالجرانيت المجروف والذي فيه تنتقل من أفق «أ» (رمل الأركون) إلى أفق «ج» (جرانيت طازج أو غير مجوي) وعدم وجود أفق «ب» بينهما، (Selley, 1976) وأحياناً بشكل انجراف صخر الجرانيت القديم نتيجة التجوية تكوين خزانات جيدة من الهيدروكربونات لأنه ربما يحتوي على مسامية عالية في أجزائه العلوية ومثال ذلك حقول زيت عقيلة في ليبيا (Williams, 1968).

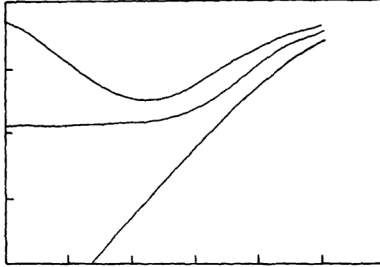
وللحصول على مزيد من التفاصيل عن موضوع التربة يمكن الرجوع إلى:

Buckman and Brady (1970); Ollier (1975); Selley (1976, 1982, 1990, 1994) and

. Boggs (1995).



## الفصل الرابع



### النقل والترسيب

- مقدمة ● النقل والترسيب بالماء ● النقل
- والترسيب بالهواء ● النقل والترسيب بالتلاجات
- النقل والترسيب بالجاذبية الأرضية.





## مقدمة

يصبح الجسم راسباً بعد انتهاء حركته من مكانه الأصلي وترسيبه، وتبدأ حركة فتات الرواسب منذ لحظة انفصالها من الصخر الأم وربما تستمر في الحركة إلى ما لا نهاية وفي كثير من الأحيان تستقر في مكان ما. ومن المحتمل جداً أن تكون هناك رواسب موجودة كمحاليل في البحار منذ بداية نشأة هذه البحار. ولا نستبعد أن تكون هناك حبيبات رمل من بعض الشواطئ تحركت مع هذه المحاليل ولا زالت معها عبر ملايين السنين (Twenhofel, 1950).

وتتعرض الرواسب إلى تغيرات فيزيائية وكيميائية أثناء النقل، وتكتسب كثير من الجسيمات بنيات أو أشكال ترسيبية ذات علاقة وطيدة بطريقة النقل. وتنقل الرواسب بواسطة خمسة عوامل: الماء، الهواء، زحف الجليد، الجاذبية وحركة الحيوانات. وقد دمج (Twenhofel, 1950) وعوامل النقل كالتالي:

## ١ - النقل بالهواء والماء

يتم نقل الرواسب بالهواء والماء بطريقة الزحف والتعلق بواسطة تيارات التعكير أو الاضطراب ذات اللزوجة المنخفضة وفي حالة الماء تنقل بعض الرواسب كمحلول أو كأيونات مذابة (Dissolved ions).

## ٢ - النقل بالجاذبية وزحف الجليد

تُنقل مواد الترسيب بهاتين الطريقتين على شكل كتل أو على هيئة رواسب مجمعة وبحركة تشبه تدفق رقائق الرواسب في المواع أو السوائب ذات اللزوجة العالية.

## ٣ - النقل العضوي

تُنقل الرواسب بصورة مباشرة أو غير مباشرة مع حركة الحيوانات. ويرتبط النقل بالماء وزحف الجليد بالجاذبية بصورة غير مباشرة ولكن يختلف النقل بهذين الناقلين عن النقل بالجاذبية مباشرة. ويعتبر الماء والهواء عاملين رئيسيين لنقل الرواسب. وقد أشرنا باختصار في الفصل الثالث إلى مدى مقدرة عوامل النقل

(مثل الجاذبية، الماء، زحف الجليد والهواء) في اختيار نوعية الحمل من الرواسب لنقلها وأيضاً عن مدى مقدرتهم في تفرقة أو فرز الرواسب أثناء النقل.

وتعتمد نتائج النقل بالماء على بيئة النقل، هل هي بيئة في الأنهار أو البحيرات أو البحار. لأن عوامل النقل هي نفسها في هذه الأوساط ولكن الاختلاف في شدة سرعة النقل. ويتم عملية النقل في كلتا الحالتين بإحدى الطرق الثلاث وهي التدحرج والقفز والتعلق (أو معلقة في الوسط الناقل). وبالمثل فإن عوامل الترسيب تكون أيضاً متشابهة ولكنها تختلف من حيث شدة سرعة الترسيب. لذا تكون الرواسب الناتجة مختلفة جداً.

ويعتبر الزحف والتعلق من طرق النقل الطبيعية (الفيزيائية) والتي تعتمد على سرعة التيار وحركة التعكير حتى تكون قادرة على نقل جميع الجسيمات التي حجمها من حجم ذرات الطين الناعمة جداً فأكثر. وتسمى الرواسب المنقولة بالزحف، بحمل الطبقة أو حمولة القاع. ويتغير سرعة التيار الناقل تتغير طريقة النقل طبقاً لذلك. فمثلاً تنقل بعض الرواسب بالزحف أو التدحرج، فإذا ازدادت سرعة التيار الناقل تتغير طريقة نقل هذه الرواسب وتصبح معلقة في الوسط الناقل والعكس صحيح، أي تتغير من طريقة النقل بالتعلق إلى النقل بالزحف إذا انخفضت سرعة التيار الناقل.

وتحكم قوانين الفيزياء طرق نقل وترسيب الرواسب. وقد أوضح بالتفصيل كل من (Allen, (1970b); Bagnold, (1966) العمليات أو الطرق الفيزيائية للترسيب من وجهة النظر الجيولوجية. ف يعني الترسيب، استقرار الجسيمات الصلبة في سائب أو مائع، ويقصد الجيولوجي بالعمليات الترسيبية تلك الطرق التي تنقل وترسب الراسب. وتشير هذه إلى نشاط الماء، الهواء، الجليد والجاذبية في هذه المهمة (Selley, 1976, 1994).

### النقل والترسيب بالماء

لقد تحدث العالمان (Ludman and Coch, 1982) عن النقل والترسيب ويمكننا أن ندون ذلك كالتالي :

بإمكانية كل من العواصف الرملية الصحراوية والأنهار والجداول وكذلك الأمواج والتيارات المائية الأخرى في البحار والثلاجات البطيئة الحركة أن تنقل كميات

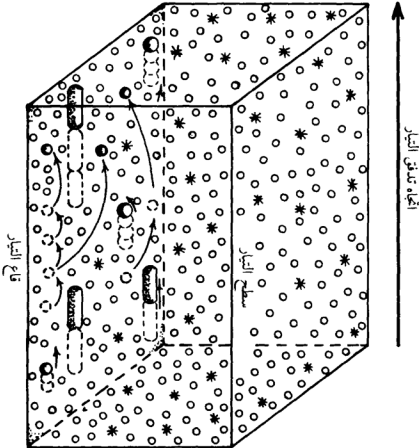
كبيرة من الرواسب . علمًا بأن لكل من الهواء والماء والثلج ، كعوامل نقل ، لزوجته وكثافته مختلفة ، لذلك فإن كل منهم يحمل جسيمات رسوبية بطريقة مختلفة (شكل ٣٤) . ويشار إلى المواد الرسوبية المحمولة بأي من هذه الطرق بالحمل (Load). فيحمل بعضًا من الحمل في الماء بشكل طبيعي كجسيمات ، ويسمى الحمل الطبيعي (Physical load) ، ويحمل البعض الآخر بشكل كيميائي كأيونات في محلول ، ويسمى الحِمل الكيميائي (Chemical load) (شكل ٣٤) . بينما تحمل جميع المواد في الهواء بشكل طبيعي كجسيمات . ومع ذلك فإنه من المحتمل أن تقفز أو تنط الجسيمات الرسوبية على طول القاع عندما تنتقل بواسطة تيار مائي وفي الوقت نفسه فإن الأيونات المذابة تتحرك في جزء الماء العلوي (شكل ٣٤) .

#### ( أ ) النقل والترسيب الكيميائي

لا تقل أهمية الأيونات المذابة في جميع الأجسام المائية الناقلة عن أي من أنواع التشكيلات الصخرية الرسوبية الأخرى إلا أن الأجسام المائية تختلف في كل من المجموع الكمي من الأيونات المذابة والمحمولة فيها والتركيز الكمي أو كمية الأيونات المذابة في كل وحدة حجمية . وتحدد كمية ونوعية الأيونات في الجسم المائي بناءً على ذوبانية المعادن فيه . فيمكن أن يترسب الحمل المذاب عندما تجعل التغيرات الكيميائية أيونات معينة أقل ذوبانية أو حيث يؤدي للتغير الفيزيائي ، كالتبخر مثلاً ، إلى زيادة في تركيز أيونات محددة مذابة بحيث لا يسمح بتركيزها بواسطة درجة الحرارة وذوبانية هذه الأيونات في الماء . وعندما ينخفض تركيز الأيونات فإن جزيئات الماء تفصل بين هذه الأيونات وتنعيمهم من الاتصال فيما بينها . ولكن إذا زاد تبخر الماء فإن تركيز الأيونات يزداد ، ومن ثم تزداد فرصة لقاء الأيونات مع بعضها . حيث تصطدم الأيونات في هذه المحاليل المركزة فلها ربما ترتبط معاً وترسب كبلورات تتراكم مشكلة طبقة من راسب كيميائي . وسيستمر الترسيب حتى يصل تركيز الأيونات المتبقية إلى حد منخفض يكفي لبقاء هذه الأيونات في حالة ذوبانية .

ولذا نجد أن الرواسب الكيميائية تترسب من محاليل عالية التركيز ، وتدعى عندئذ بالتبخرات (Evaporites). وتشكل المحاليل الأيونية العالية التركيز في أماكن مناخية حارة وقاحلة من المناطق الجغرافية العديدة في العالم . ومن بين المناطق الرئيسة

- وأيونات مذابة محمولة في محلول  
ضمن الماء.<sup>٤٥</sup>
- (\*) حل مذاب
- وجسيمات معلقة / عالقة محمولة  
حل معلق خلال الماء مع تركيز أكثر قرب  
القاع.<sup>٤٦</sup>
- (○)
- وجسيمات فائقة نبط على  
طول القاع.<sup>٤٧</sup>
- (●)
- وجسيمات متدرجة تندرجح  
على طول القاع.<sup>٤٨</sup>
- وجسيمات منزلفة تنزل  
على طول القاع.<sup>٤٩</sup>
- حل طبقي
- (معمولة)



شكل (٣٤) . طرق نقل الرسوب في السواقي مثل الأنهار والبحر .  
(عقن : Ludman and Cooh, 1982)

التي تتراكم فيها المتبخرات في وقتنا الحاضر الأحواض الصحراوية المعزولة والمناطق الساحلية، وبشكل متفرق في المنحدرات وقيعان الأحواض البحرية المعزولة مثل البحر الميت والبحر الأحمر والبحر الأبيض المتوسط. وعلى سبيل المثال، تحمل الأنهار الأيونات المذابة حتى توصلها إلى أحواض في مناطق حارة وقاحلة مثل واد الموت (Death valley) في أمريكا، حيث يتبخر الماء وترسب الأيونات المذابة كمتبخرات. كما تتشكل المتبخرات على امتداد سواحل الخليج العربي القاحلة وساحل Trucial coast في الشرق الأوسط. كما يتعرض الماء المصطاد في فراغات أو مسام الرواسب إلى عملية تبخر واسعة النطاق مما ينتج عنه إرساب بلورات الجبس ( $\text{CaSO}_4 \cdot 2\text{H}_2\text{O}$ ) والأنهيدريت ( $\text{CaSO}_4$ ) في داخل هذه الرواسب. ونلاحظ تآثلاً في خواص بلورات الجبس والأنهيدريت المترسبة حديثاً مع صخور البخر القديمة، مقترحة بأن جزءاً على الأقل من هذه المتبخرات القديمة ربما يكون له أصل النشأة نفسه.

وحينما يصل تشبع الحوض بالأيونات المذابة، فربما يستقر ماء الأجاج الكثيف على أرضية الحوض. وفي لحظات أخرى تتشكل بلورات البخر عند نقاط اتصال أسطح الماء بالهواء في المياه المشبعة. ومن ثم تنزل هذه البلورات إلى أسفل وتتراكم على أرضية الحوض. كما أنه في لحظات أخرى، ربما في الواقع يتبخر ماء الأحواض العميقة كلية، ومن ثم يمكن أن ترسب رواسب البخر في المياه الضحلة والساحلية وتتراكم على أرضيات حوضية عميقة سابقة (Ludman and Coch, 1982).

#### (ب) النقل والترسيب الفيزيائي

تُحْت (أو تعرى) المياه الجارية من على سطح الأرض الرواسب المتشكلة والمتكونة حديثاً فوق طبقة صخرية، والناجمة من التجوية القارية الهوائية ثم تحمل هذه الرواسب في الأنهار. فكلما أزدحت نواتج التجوية من فوق سطح الطبقة المجاورة فإن تأثير التجوية يستمر حتى يصل إلى قاعدة الطبقة المجاورة أو أبعد من ذلك داخل الصخور البدائية. إن مدى اتساع إزاحة المواد المجاورة يعتمد على ظروف المنطقة مثل معدل هطول الأمطار خلال السنة والرطوبة وحالة سطح منحدر الطبقات وظروف صخر الطبقة وغيرها من العوامل.

ولكي نعرف تصرف جسيمات راسب ما أثناء حركته أو انتقاله في سائب ما نطبق

معادلة رينولدز (Reynolds) المستخدمة في وصف فيزياء الحبيبات الصلبة في السوائل . ويعطى القانون الفيزيائي التالي عدد رينولدز:

$$R = \frac{U dp}{\mu}$$

حيث  $R$  = عدد رينولدز،  $U$  = سرعة الجسيم،  $d$  = قطر الجسيم،  $p$  = كثافة الجسيم و  $\mu$  = لزوجة السائل .

ولأي حالة معطاة، يمكن لعدد رينولدز أن يستخدم للترقية بين نوعين مختلفين من تصرف حركة السائب أو المائع داخل محيط صلب، وليكن كروي أو سطح شبه مستدير مثل أسطوانة أو حائط قناة (شكل ٣٥) . فإذا كان عدد رينولدز عاليًا فيكون تدفق السائب مضطرب أو عكر مكوناً دوّامات (Eddies) ذات حركة غير منتظمة أما إذا كان عدد رينولدز منخفضاً فيكون تدفق السائب سلساً ومتّرفقاً (Laminar) ، وتنساب حركة خطوط التدفق موازية لسطح حد المحيط (شكل ٣٥) . وباعتبار تدفق السائب في أسطوانة يكون الحد الفاصل من عدد رينولدز والذي يفصل بين التدفق المضطرب (Turbulent flow) والتدفق المترقّق الهاديء (Laminar flow) هو ٢٠٠٠ (Selley, 1976) .

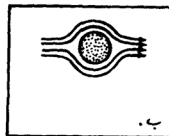
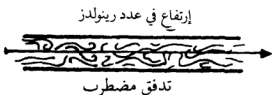
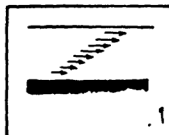
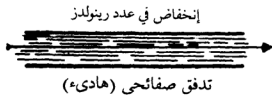
وبالنسبة لجسيم في سائب فإن العدد الحرج (أو الحد الفاصل) هو تقريباً واحد . والمعامل الثاني لديناميكية السائب أو المائع هو عدد فرويد (Froude) ويمثل هذا العدد النسبة الموجودة بين القوة المطلوبة لايقاف حركة جسيم في سائب وقوة الجاذبية، والتي تتمثل في نسبة القوة البادئة (الدافعة) وقوة زيادة سرعة الحركة بسبب الجاذبية . وعدد فرويد يتمثل في القانون التالي :

$$F = \frac{U}{\sqrt{gL}}$$

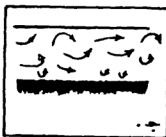
حيث  $F$  = عدد فرويد،  $U$  = سرعة الجسيم،  $L$  = القوة البادئة (الدافعة)، وهذه عبارة عن طول المسافة التي قطعها الجسيم قبل أن يستقر (يقف)، و  $g$  = قوة تزايد الحركة بسبب الجاذبية .

ولتدفق سائب في قنوات مفتوحة فإن عدد فرويد يصبح كالآتي :

$$F = \frac{U}{\sqrt{gD}}$$



مرور تدفق مترقق عبر  
كرة أو اسطوانة



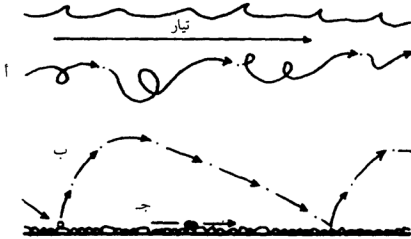
شكل (٣٥). الاختلاف بين التدفق الهاديء والتدفق المضطرب

(عن: Selley, 1976; Friedman and Sanders, 1978)

حيث  $D$  = عمق القناة و  $U$  = معدل سرعة التيار.

ويميز أو يفصل بين النوعين من تدفق المائع أو السائب في قنوات مفتوحة، (Laminar or turbulent)، هو العدد واحد لفرويد. أي أن أقل من واحد يعكس تدفقاً هادئاً وأكبر من واحد يشير إلى تدفق مضطرب. ويعطي كل تدفق نوعية خاصة من تكوينات أو تشكيلات طبقية وأيضاً بنيات رسوبية معينة.

وقد اعتبر علماء الفيزياء الغازات (Gases) والسوائل (Liquids) سوياً كسوائل أو موائع (Fluids) وذلك لأنهم لا يُشبهون المواد الصلبة، وليس لدى الاثنين قوة التمزق المتوافرة في المواد الصلبة. لذا نجد أن حركة تصرف الحبيبات الصلبة تكون في الأوساط السائلة والغازية متقاربة ومتشابهة ومن ثم يخلو من تشابه التشكيلة الطباقية والبنىات الرسوبية المتكونة في رواسب هبوب الرياح والرواسب المستقرة في الماء وهذه مشكلة رئيسة في التفرقة بينهما في الصخور الرسوبية. لأن بمقدور الحبيبة أن تتحرك في السوائل أو الموائع (الهواء والسائل) بالطرق الثلاث المختلفة وهي الدرجة والقفز أو التعلق، (شكل (٣٦)).



شكل (٣٦). ميكانيكية حركة الحبيبة. (عن: Selley, 1976)  
أ - عالقة، ب - قافزة، ج - مندرجة.

#### (أ) ميكانيكية (حركات) النقل الفيزيائي

تنقل تيارات الماء أو الهواء الرواسب غير الذوابة بطريقتين حركيتين متضابرتين وبهما نعرف نوعين من الحمل:

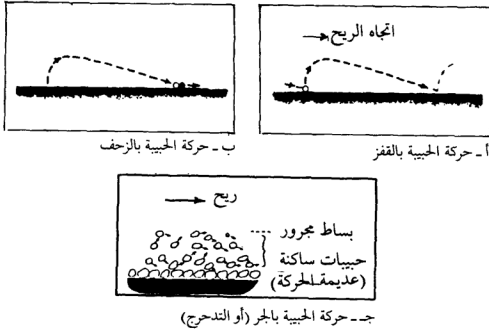
##### ١ - الحمل المعلق (Suspended load)

وفيه تفصل التيارات الرواسب الناعمة، (حجوم حبيبات الغرين وحجوم حبيبات الطين بنسب مختلفة وحجوم حبيبات الرمل الناعمة جداً) ومن ثم تنقلها معلقة داخل جسم (محيط) التدفق الرئيس. وتكون تيارات التدفق المضطرب (Turbulent flow) العامل الرئيس في نقل هذه الرواسب بهذه الطريقة.



## ٢ - الحمل الطبقي Bed load

وفيه تنقل تيارات التدفق، الرواسب الكبيرة الحجم (مثل الرمل والحصى الصغير وغيره من أحجام الجسيمات الأخرى) على مقربة من سطح الطبقة أو على سطح الطبقة التي يسير عبرها التيار مباشرة (تيار الماء أو الهواء). وعندما تنخفض سرعة التيار الناقل تستقر هذه الجسيمات على سطح الطبقة. وأحيانا يشار إلى هذا النوع من النقل بالنقل المسحوب أو المجرور (Transport by traction) ويكون نتيجة التيارات المسحوبة (Traction currents) على مقربة من سطح الطبقة أو محيط تدفق الوسط الناقل. ويطلق على هذه الرواسب اسم رواسب الحمل المجرور أو المسحوب (Traction load) deposits وتشمل هذه الرواسب، الرواسب المنقولة بالزحف (Creeping) أو التدرج (Rolling) أو القفز (Saltation) (شكل ٣٧).



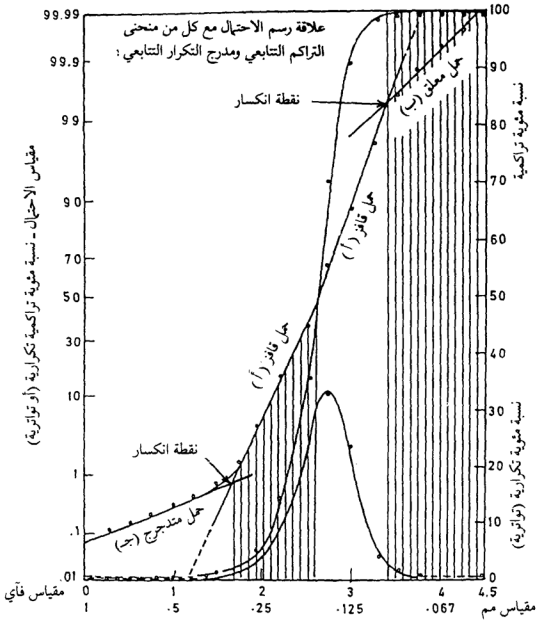
شكل (٣٧). حركات انتقال الجسيمات. (عن: Imbrie and Buchanan, 1965)

ولقد درس العالم فيشر (Visher, 1965b, 1969) بالتفصيل العلاقة الموجودة بين أنماط نقل الراسب (المعلق والقافز والزاحف أو المتدرج فوق سطح القاع) (Suspension, saltation and surface creep) والتوزيعات الحجمية للجسيمات كما

تُستنبط من منحنيات احتمالات التوزيع الحجمي للحبيبة (شكل ٣٨). ويوضح هذا الشكل فرضيات فيشر<sup>١</sup> في عمليات النقل الثلاث وعلاقتها مع الحجم الحبيبي ومواقع نقاط الانكسار التي تفصل بين كل نمطي نقل. ولقد لوحظ عدم ظهور الرسومات البيانية لمنحنيات الاحتمالات الحجمية للحبيبات بشكل خط مستقيم واحد مستمر وإنما ظهرت بصورة خطين أو ثلاثة أو حتى أكثر من ذلك أحياناً، ولكل واحد من هذه الخطوط ميل يختلف عن الآخر ويفصل كل خط عن الذي فوقه أو تحته بنقطة انكسار (شكل ٣٨). وتدلل هذه المنحنيات الخطية المتجزئة على عدم تكون كل العينة المفحوصة من مجموعة مكونات واحدة ولكنها ذات توزيع حجمي حبيبي عادي مفرد، حيث يشير كل ميل من ميول كل خط مستقيم منفصل بالإضافة إلى مواقع نقاط انكسارات هذه الخطوط إلى ميكانيكية الترسيب (Friedman and Sanders 1978).

- ويمكن تفسير نقل الرمل الذي يظهر منحناه التوزيعي الحجمي على ثلاثة أو أربعة خطوط قطعية مستقيمة كما في (الشكل ٣٨) بما يلي:
- يمثل الخط الموجود في الجزء العلوي من التوزيع الحجمي والذي يشغل الجزء الناعم من العينة ترسيب الجسيمات المحمولة بالتعلق.
- يمثل الخط المتوسط (أو الخطين الأوسطين كما في الشكل نفسه) والأكبر طولاً ذلك الجزء من الراسب المنقول بالقفز.
- يمثل الجزء الخشن - الموجود في أسفل المنحنى والذي يظهر بشكل خط قصير - ترسيب الحبيبات المنقولة بالتدحرج أو المسحوبة على سطح القاع (Visher 1965b; Friedman and Sanders, 1978).

وتبين من تطبيقات العالم فيشر<sup>٢</sup> (Visher 1965b, 1972) على الرواسب الحديثة لبيئات مختلفة أن رواسب البيئة النهرية تُظهر أنموذج توزيعي حجمي حبيبي في صورة خطين يمثل أحدهما الحمل العالق ويمثل الآخر الحمل القافز ويكون خط الحمل القافز هو الأطول. وفي كثير من الأحيان لا يعكس منحنى التوزيع الحجمي لراسب البيئة النهرية وجود الخط الثالث القصير والذي يمثل الحمل المتدحرج. وطُبق (Moshrif, 1980) التحليل نفسه على متكوني البياض والوسيع واستنبط من ذلك بيئات



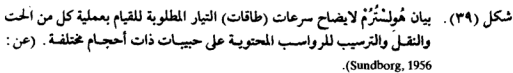
شكل (٣٨). يوضح المقارنة بين منحنيات التوزيع الحجمي الجيبي وفرضيات العالم فيشر (Visher, 1969) في طرق النقل.

نهرية ترسيبية هذين المتكونين. وبالمثل أيضاً بالنسبة لمتكون الوجيد (Moshrif, 1989). وقد أعطى العالم فيشر في أبحاثه (Visser 1965b, 1972) عدة نماذج للنقل والترسيب في بيئات رسوبية حديثة مختلفة وعلى طالب الدراسات المتقدمة الرجوع إليها والاستعانة بها عند الحاجة.

وتتم عملية نقل الرواسب تحت تأثير تدفق التيارات الناقلة وبالطرق المذكورة آنفاً (Selley, 1976, 1994) كالآتي :

لا ترفع أبداً الجسيمات الثقيلة من على سطح الأرض (الطبقة) حيث يقوم التيار الناقل بدحرجتها فوق سطح الأرض مباشرة وتكون هذه الحبيبات متصلة بالحبيبات الأخرى المجاورة. وتقوم نفس سرعة تدفق التيار بنقل الحبيبات الخفيفة بطريقة دفع الحبيبة إلى أعلى (أي رفعها من فوق سطح الطبقة) ونقلها على مقربة من سطح الأرض ثم اسقاطها عندما يفقد التيار سرعته البدائية. ويطلق على هذه الطريقة النقل بالقفز (Saltation) أو النط (Bouncing).

وبنفس سرعة التيار تنقل الجسيمات الأخف وزناً معلقة في الوسط الناقل ولكن في اتجاه أسفل التدفق ولا تلمس سطح الأرض. (شكل ٣٧). وعلى سبيل المثال في حالة النقل داخل قناة النهر، ينقل الزلط بالتدحرج على سطح قاع القناة وينقل الرمل بالقفز وينقل الغرين والطين معلقاً في وسط انسياب تيار النهر. ويشار إلى حمل الرمل والزلط بالسطح المسحوب أو المجرور (Traction carpet) أو حمل طبقة القناة. ويطلق على الغرين والطين تعبير الحمل العالق. ولصعوبة ملاحظة طريقة النقل في نهر طبيعي وذلك لكون كمية ونوعية المواد المنقولة وعلاقتها بالتيار المتدفق في حركة مستمرة وبشكل شائع ولأن أية قياسات تؤخذ فإنها تسبب إعاقة وارتباك للعمليات نفسها. لذا قام بعض الباحثين بعمل دراسات تجريبية مصطنعة في المختبر ولكنها أقرب ما تكون لما يتم في حقيقة الأمر، ومن بين هؤلاء الباحثين، (Gilbert, 1914); (Bagnold, 1954a, 1957); (Liu, 1957) and (1966) وقد استدل بنتائج هذه التجارب كثير من الباحثين الجيولوجيين في تفسيراتهم لطرق نقل الرواسب.



يحتاج إلى تيار جارف ليحرك الحبيبات الكبيرة بينما الجسيمات الصغيرة فإنها تتحرك تحت تأثير تيار ضعيف، ولكن أكثر الرواسب حركة هي الرمال الناعمة. وما يعاكس بداهة توقعات الشخص هو أنه يصعب تعرية أو حت حبيبات أصغر من الرمل الناعم. وذلك بسبب خاصية اللزوجة أو التجاذب الموجودة بين هذه الحبيبات الناعمة جداً. أي أن هذه الجسيمات الناعمة تصر على التصاقها مع بعضها البعض وبشكل مستمر. ومن هذا تبين لنا أنه لكي نُزيح أو نُحَت هذه الجسيمات من مكانها فإن التيار المطلوب يجب أن يكون جارفاً وقوياً مثل ذلك التيار الذي يستطيع نقل الحصى الصغير (شكل ٣٩). ويعرف هذا الشكل الذي يوضح العلاقة بين سرعة التيار الناقل وحجوم الحبيبات المنقولة برسم هُولسْتِرْم (Hjulstrom 1935, 1939). وفي هذه الحالة ليس من الضروري أن تزداد سرعة تدفق السائل كلما زاد حجم الحبيبات وكما هو ظاهر من أن خاصية اللزوجة التي يتميز بها الطين عن غيره من الرواسب ذات الحبيبات الأكبر حجماً مثل الغرين والرمل الناعم جداً، تعطيه مقاومة أكبر ضد الحث والتعري بسهولة، ولذلك نجد أن طبقات الطين اللزجة والموجودة في قيعان الأنهار تحتاج إلى تيار ذي سرعة عالية جداً لحت وتعرية هذه الطبقات وحتى تبدأ جسيمات الطين بالتفكك وفصلها عن بعضها ومن ثم تحريكها من أماكنها. وتعرف هذه الخاصية بعلاقة سرعة التيار المتدفق بحجم الحبيبات المزاحة. ويطلق عليها مصطلح تأثير هولسترم. وتكون هذه الخاصية مسؤولة عن بقاء أو الاحتفاظ برفائق الطين الرقيقة في رواسب مسطحات المد والجزر، مع أن هذه المناطق يسودها نشاط الأمواج.

وأشار العالم سالي (Selley, 1976, 1994) موضعاً أنواع الرواسب الناتجة من أنواع مختلفة من تدفق تيارات الماء والهواء (Fluids). فهناك ثلاثة أنواع من الرواسب صنف حسب نوعية التيار الناقل لها، وهي كالتالي: رواسب الجر أو السحب (الرواسب المجرورة ورواسب التيار الكثيف) «كثيف العكارة» والرواسب المعلقة. ويكون النقل في التيار المجرور (المسحوب) بشكل رئيسي بتدحرج (الدحرجة) وقفز رواسب حمل الطبقة. وهذا ما يعكسه طراز الحبيبات والبنيات الأولية الرسوبية للرواسب المستقرة أو المترسبة من نقل التيار المسحوب أو على هيئة بساط مجرور (Traction carpet). وعامة تحتوي هذه الرواسب على تقاطعات طبقية رملية. وتعمل تيارات السحب تحت تأثير

الجازبية (كما هو الحال في الأنهار)، أو تحت تأثير الرياح وقوى المد والجزر في البحار. وتعتبر كثبان رمال الصحراء من الرواسب المجرورة أو المسحوبة (Traction deposits). وترجع نشأة رواسب التيارات الكثيفة إلى اختلاط التيارات العالقة والمجرورة وذلك واضح من طراز حبيبات هذه الرواسب وأيضاً من البنيات الأولية المصاحبة وكلتا الخاصيتين تختلف في الوضع بالنسبة للرواسب المسحوبة. وتتكون رواسب التيارات الكثيفة من خليط من الرمل والغرين والطين وتفتقد التقاطعات الطبقة ولكن تظهر بشكل جيد تدرجاً حبيبياً طبقياً (Graded bedding). وتحدث التيارات الكثيفة نتيجة اختلافات في كثافة السوائل (Fluids) أي في كل من الماء والهواء. وهذا بدوره يصدر عبر التيار لمناطق ذات حرارة طبقية أو ملوحة مختلفة أو سوائيل عكرة. وتكون النتيجة أن يتدفق السائب الكثيف بتأثير الجاذبية تحت السائب الأقل كثافة، فتقلب بذلك رواسب طبقات القاع. ويعتبر الجيولوجيون تيار العكر (Turbidity current) من أهم أنواع التدفق الكثيف، وهي ظاهرة أكثر شيوعاً تحت الماء. وتشمل التدفقات العكرة الهوائية نوعيات معينة من انهيارات الصخور (Avalanches) ذات السرعة العالية وتدفقات الطين. وهذه نادرة وأحجامها لا تشكل أهمية ترسيبية ميكانيكية. وكان (Bailey, 1930) أول من ميز بين كثير من الرواسب المختلفة مثل رواسب التقاطعات الطبقة المنقولة بالتيار المجرور أو المسحوب ورواسب العكر المتدرجة (Graded turbidites) والمنقولة بتيارات كثيفة الحمل.

وتستقر الرواسب المعلقة في القاع بعد أن تكون عالقة في وسط التيار الناقل ويتم ذلك عندما تنعدم سرعة التيار كليةً. وتتكون هذه الرواسب من غرين ناعم وطين وتشمل أيضاً تربة اللوس (Loess) المنقولة بالهواء وكذلك فتاتات الوحل اللجي (Pelagic mud) المتواجدة في أعماق قيعان البحار.

وقد لاحظ (Flint et al. 1960) أن هناك نوعاً رابعاً من الرواسب تلك المنقولة بالجليد أو الجاذبية وتعرف باسم رواسب الثلاثجات أو الرواهص الوحلية (Diamictite). وتمتاز هذه الرواسب بتصنيف رديء جداً حيث تشتمل على جميع أحجام الحبيبات من الجلاميد والحصى الكبير إلى جسيات الطين. ويتم تشكيل هذه الرواسب تحت تأثير عمليات تحرك الجليد وتدفق أو انهيارات الطين وغيرها والتي تحدث

فوق سطح الأرض وتحت سطح الماء بسبب عمليات قوة الجاذبية. وسنناقش بالتفصيل في الجزء المتبقي من هذا الفصل العمليات الترسيبية الأساسية.

### (ج) عمليات النقل والترسيب الفيزيائي المائية

ترتبط عمليات ترسيب الماء بين ثلاث طرق ترسبية، وهي ترسيب تيارات السحب (الجر) وترسيب تيارات العكر وترسيب العوالق.

#### ١ - رواسب تيارات السحب (الجر)

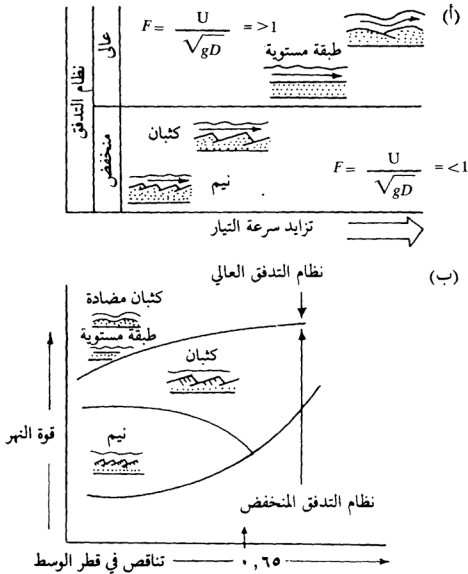
يشتمل ترسيب تيارات السحب على جميع العمليات التي بها تنتقل وتتحرك الرواسب على هيئة حمل طبقة وبصورة زحف البساط على الأرض. ويطلق على هذه الرواسب حمل الطبقة لأنها تكون قريبة من القاع أو الأرضية التي تتحرك عليها. ويتم نقل هذه الرواسب بالدرجة على سطح الطبقة وبطريقة القفز (شكلا ٣٦، ٣٧). وينتج زحف الرواسب من انتظام في حركة الجسيمات والتي تقع معظمها تحت تأثير اصطدام الحبيبات ببعضها. ويتم التتابع في الحركة عن طريق دفع الحبيبات المتحركة واصطدامها بحبيبات ساكنة مسببة حركة الأخيرة. فتصبح الأخيرة في حركة حتى تصطدم بحبيبات أخرى ساكنة في مقدمة تيار الحركة فتدفعها وترسلها في حركة وهكذا تتكرر العملية على طول مجرى التيار. وواضح أن الذي يتحكم في حركة هذه الرواسب هو مدى سرعة التيار. وتشكل حركة الرواسب في القاع غطاءً رملياً متحركاً (سمكه أقل من ١٠ سم)، (Friedman and Sanders, 1978). وتتحرك بشدة داخل هذا الغطاء الرملي (ما يسمى بالبساط الزاحف، أو المجرور Traction carpet) الجسيمات مسببة النط والقفز فيها وبينها ومعطية ما يسمى بالنقل بالقفز (Saltation). وباستمرارية إعادة الترسيب وإزاحة (إبعاد) حبيبات الغرين وجسيمات الطين والتي تُحمَل معلقة في وسط التيار، يصبح نقل حبيبات الرمل الناعمة والحبيبات الخفيفة أسرع من نقل الحبيبات الثقيلة. وينتج عن انتقال الرواسب بتيار وحيد الاتجاه «تدرج حجمي» يتناقص فيه حجم الحبيبات في اتجاه أسفل التيار. أي أنه كلما ابتعدنا عن المصدر كلما أصبحت الحبيبات أقل حجماً (أنعم). ويحدث مثل هذا الانتقال بالتيارات المجرورة



(المسحوبة) ذات الاتجاه الواحد، في قنوات الأنهار. أما في مصبات الأنهار (Estuaries) وفي البحار المفتوحة، فربما تتعرض الرواسب إلى نشاط تيارات ذات اتجاهات متضاربة مثل حركة المد والجزر أو أنظمة أكثر تعقيداً من ذلك.

ولكي نفهم عملية الترسيب بالتيار المجرور ندرس تجربة (Simons et al. 1965) التي أجراها في قنوات محصورة وتحت تأثير تدفق تيار وحيد الاتجاه، والتي تشبه بنسبة عالية ما يحدث في قنوات الأنهار. وتبدأ التجربة بطبقة ثابتة ومسطحة من الرمل في أرضية حوض مستطيل يشبه قناة نهر ما، وتكون حركة التيار في هذه الآونة صفراً. ثم يسمح بمرور الماء منحدراً داخل هذا الحوض مع زيادة تدريجية في سرعة اندفاع تيار الماء. وتحت هذا التأثير تبدأ حبيبات الرمل بالتدحرج والقفز متجهة إلى الأمام وينتج عن ذلك تشكيل طبقة نيم رملية تواجه فيها المنحدرات الشديدة للنيم اتجاه أسفل التيار وتكون منحدرات ظهر النيم البسيطة في اتجاه أعلى التيار (شكل ٤٠). وتحت أو تُعزى حبيبات الرمل من ظهر المنحدر وترسب في منحدر أسفل المجرى (التيار). ومن ثم تتحرك أو تنتقل ببطء علامات النيم مرسية رقائق متقاطعة رملية في اتجاه أسفل المجرى وبازدياد سرعة التيار يتغير بناء الطبقة من طبقة نيم إلى تشكيل طبقة كتبان رملية. وتشبه هذه الكتبان علامات النيم من حيث الشكل والبنية الداخلية ونمط الهجرة أو الانتقال ولكن تختلف عنها في المقياس إذ تقاس بالسنتيمترات عوضاً عن الديسيمترات التي تقاس به علامات النيم. (Selley, 1976; 1994).

وفي هذه المراحل من تكوين النيم والكتبان يكون عدد فرويد (Froude number) «والذي شرحناه سابقاً» أقل من واحد. ويقترب هذا العدد من واحد مع زيادة سرعة التيار. وتفصل هذه القيمة بين مستويين من التدفق (العالي والمنخفض). في مستوى التدفق المنخفض، وبعدد فرويد أقل من واحد، يتم تشكيل أو بناء الرقائق المتقاطعة، التقاطعات الطبقيّة الرملية من هجرة علامات النيم والكتبان الرملية على التوالي. وبزيادة سرعة تدفق التيار تصبح قيمة عدد فرويد واحد. والتي عندها تُنحسّر تدريجياً قمم الكتبان ويصبح بناء الطبقة ذات سطح مستو أو مسطح، (شكل ٤٠). ويستمر نقل وترسيب الرمل ولكن في هذه الحالة تستقر الحبيبات في طبقات مستوية ومتوازية وتُصَفّ فيها الحبيبات موازية لاتجاه التيار. ويطلق على هذه المرحلة «تدفق السهم أو الطلقة».



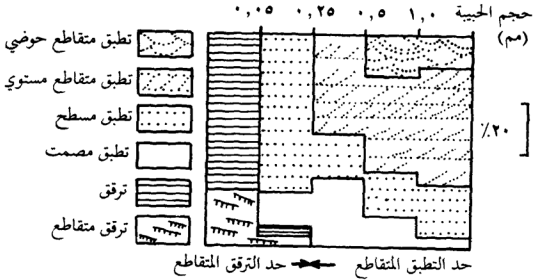
شكل (٤٠). العلاقة بين تشكيل الطبقات والبنات الرسوبية وأنظمة التدفق المختلفة لتيار مجرور وحيد الاتجاه. (عن : Harms and Fahnestock 1965; Simons *et al.* 1965).

وبزيادة سرعة التيار أكثر من ذلك يرتفع عدد فرويد إلى أكبر من واحد ومن ثم يتغير بناء الطبقة المستوية إلى طبقة ذات تحدبات مستديرة يطلق عليها «كتبان مضادة Antidunes» (شكل ٤٠). ويعكس الكتبان، تميل هذه التحدمات الرملية بأن تكون قطاعاتها العرضية متماثلة. وربما تشكل أجساماً ثابتة أو من المحتمل أن تتحرك في اتجاه

أعلى التيار مرسية مجموعات الواجهة المنحدرة في اتجاه أعلى التيار. ويشار إلى هذا الجزء من التدفق الذي يصبح فيه عدد فرويد أكبر من واحد والتي تتكون فيه كل من الطبقات المستوية والحدبات المستديرة الرملية بمستوى التدفق العالي (شكل ٤٠). ويجدر بنا أن نتذكر أنه بانخفاض سرعة التيار المتدفق فإن تتابع بنّيات الطبقة السابقة سوف ينعكس، بمعنى أنه تزاوح أو تنعدم الحدبات المستديرة وتعطي طبقة مستوية، ثم تتكون طبقة الكثبان، ثم طبقة النيم ونرجع مرة أخرى إلى طبقة الرمل المستوية الأصلية وتعود سرعة التيار إلى صفر كما كانت عليه في البداية (شكل ٤٠).

وتوضح هذه التجربة العلاقة الموجودة بين كل من سرعة التيار وتشكيل الطبقة والبنّيات الرسوبية الأولية المصاحبة لذلك. كما أشار (Selley, 1976) أن تجارب أخرى أظهرت أنه إذا بقيت إحداثيات التدفق (مثل السرعة واللزوجة) فإن بداية بناء طبقة وتغيرها إلى أخرى يختلف باختلاف حجم الحبيبات. وقد أعطت هذه التجربة ملاحظة مهمة وهي عدم تكوين النيم عندما تكون الرواسب ذات حبيبات يزيد متوسط أقطارها الساقطة عن ٠,٦٥ مم تقريبا (شكلا ٤٠ أ، ب). ويكون قطر الساقط دالة قطر الحبيبة ولزوجة الوسط الناقل. ويقل قطر الحبيبة الساقط مع زيادة اللزوجة. ومن الملاحظة الحقلية البحتة وجد أنه يتوقف تكوين ترسبات النيم في رواسب ذات حبيبات أقطارها أكبر من ٠,٥ مم تقريبا. وأضاف كل من (Harms and Fahnestock, 1965) أن العامل الرئيس والذي يؤثر في بنية أو تشكيل البنى الرسوبية الأولية في الطبقات هو درجة حرارة السائب الناقل. وهذا بدوره يتحكم في لزوجة الوسط الناقل ومن ثم في متوسط الأقطار الساقطة من الراسب. وقد بين (الشكل ٤١) العلاقة بين قوة سرعة تيار التدفق في النهر وأحجام أقطار الحبيبات الساقطة وتشكيل الطبقة والبنّيات الرسوبية المتكونة عن ذلك. ومن دراسة (Selley, 1969) و(شكل ٤١) اتضحت العلاقة القائمة بين حجم الحبيبات والبنّيات الرسوبية الأولية المتشكلة والمصاحبة والتي استنتجت من فحص رواسب نهريّة قديمة ومترسبة عن تيارات مجرورة ووحيدة الاتجاه.

وحيث تختلف تيارات البحار المسحوبة (المجرورة) في سرعتها واتجاهاتها فإن إحداثيات التدفق تكون معقدة وغير واضحة. ولكن بالنسبة لتشكيل الطبقات



شكل (٤١). العلاقة بين حجم الحبيبات والبنيات الرسوبية في الرواسب النهرية.

(عن : Selley, 1969, 1976, 1994)

والبنيات الرسوبية المصاحبة فإنها تشبه تلك المتكونة في قنوات ذات تيارات وحيدة الاتجاه.

## ٢- رواسب تيارات العكر Turbidites

يتم ترسيب تيارات العكر عن طريق نقل وحركة أجسام مائية عكرة (مُعَكَّرَة) ومحملة بأحمال كبيرة من الرواسب المعلقة. وتتحرك هذه الأجسام المائية العكرة تحت جسم ماء صافي ويطلق عليها التدفق الكثيف. وقد عَرَفْنَا سابقاً تدفق التيار الكثيف بذلك التيار الذي ينتج عند خلط تيارى جسمين من السوائل، (السوائب) فالسائل الأكثر كثافة يتحرك أسفل السائل الأقل كثافة والعكس صحيح. وقد تحدث تدفقات المياه الكثيفة من اختلافات في درجات الحرارة والملوحة والراسب العالق.

على سبيل المثال تتدفق مياه الأنهار لمسافة كبيرة من الشاطئ، فوق مياه البحر الأكثر ملوحة والأعلى كثافة. كذلك تتدفق مياه الأنهار الدائبة من الجليد أيضاً مياه تيارات مائية قطبية معينة بتأثير الجاذبية، تحت أجسام مائية أقل برودة (أدفاً) وأقل كثافة. هذا التنوع المعين في التيار الكثيف نطلق عليه مصطلح «التيار العكرو». ويعتقد أن تيارات العكر تشكل عملية رئيسة لنقل وترسيب نسبة عالية من الغطاء الرسوبي

الأرضي. وكان (Bell, 1942) أول من عرّف الجيولوجيين على مفهوم تدفق التيار العكر. وكانت الفكرة الأصلية عن عملية تدفق التيار العكر بأنها عملية حث وتعرية تأخذ محلها في قاع الوديان البحرية المنحدرة عن حافات منحدرات القارات والدلتا. ولكن هذه الفكرة تغيرت بعد نتائج (Kuenen and Migliorini, 1950) والتي تنص على أن تيارات العكر هي تيارات ترسب أيضاً والتي ينتج عنها ترسب رواسب الفليش (Flysch). وتمثل هذه السحن رواسب أحواض القعائر العظمى أو «الترسب الهابطة أو السريعة» (Geosynclinal troughs). وهي عبارة عن تتابعات طبقية سميكة من الرمل المتبادلة والمتعاقبة مع الطين الصفحي. وتشكل قواعد الطبقات الرملية تغيراً مفاجئاً بين السحنتين، ويظهر انتقال تدريجي في أعلى طبقات الرمل. وتميل طبقات الرمل أن تكون داخلياً متدرجة الحبيبات ويشير الباحثون الجيولوجيون في دراساتهم إلى هذه الرواسب الرملية ذات الكثافة العالية برواسب العكر أو «صخور العكر» (Turbidites). وفي معظم الأحيان يستعمل مصطلح رواسب الفليش (Flysch deposits) أو «فليش» فقط كناية عن راسب العكر (Turbidite). ويدل هذا المصطلح على أن هذه الرواسب ترسبت من تيارات العكر التي كانت تسود منطقة الترسيب. وكما توجد هذه الرواسب في مناطق أحزمة الحركات القارية أو في الأحواض البحرية المحاطة بأنشطة الصدوع. وأيضاً تحتوي هذه الرواسب على بنيات رسوبية أولية مشوهة وبنيات حث وتعرية مثل القنوات (Channels) وعلامات التخطط (Groove marks)، علامات الأبواق (Flute marks) وغيرها من علامات الحث والتعرية. وتنشأ هذه العلامات بالتيارات العابرة فوق طبقات الوحل الطرية مسببة تآكل وحت وطبع هذه العلامات فوق سطح هذه الطبقة (انظر أشكال هذه البنيات في الفصل الخامس). وعندما ترسب طبقة الرمل التي تعلو طبقة الوحل المعراة يملأ الرمل هذه العلامات. وبعد إزاحة الطبقة الوحلية بالحت والتعرية المتأخرة تترك قوالب هذه البنيات مطبوعة في أسفل سطح الطبقة الرملية. وتعطى هذه العلامات عند دراستها الإحساس بوجود التيارات في المنطقة وأيضاً بعضها يشير إلى اتجاه مجرى هذه التيارات منوهة بذلك عن منطقة مصدر (Provenance) هذه الرواسب، أين نشأت ومن أين أتت. وغالباً تظهر طبقات الوحل بنيات تشبه نتجت عن حركة رواسب الرمل المتغيرة فوق هذه الطبقات. ومن بين هذه

البنيات الهبوط والانزلاق والدرنات الكاذبة وبنيات الثقل أو الحمل ، (انظر الفصل الخامس عن نماذج هذه البنيات) .

وقد أشرنا سالفًا إلى أن طبقات رمل رواسب العكر تظهر في معظم الأوقات تدرجًا حبيبيًا وهذا التدرج الحبيبي لا يظهر على أوجه طبقات الرمل وإنما يكون موجودًا داخل الطبقات . ويختص طبقات رمل رواسب العكر بأن يكون تدرجها الحبيبي تنازليًا، بمعنى آخر (تنعم) أو تقل حجوم الحبيبات كلما اتجهنا إلى أعلى الطبقات (An upward-fining of grain size) . وهناك خمسة أنواع من التدرج الحبيبي الطبقي (شكل ٤٢) .

١ - تدرج موزع . ويظهر هذا التدرج تدرجًا عموديًا ، (أو رأسيًا) ، تتناقص معه حجوم الحبيبات ولكن يحتفظ بنفس التوزيع مثل تصنيف الراسب (شكل ٤٢ أ) .

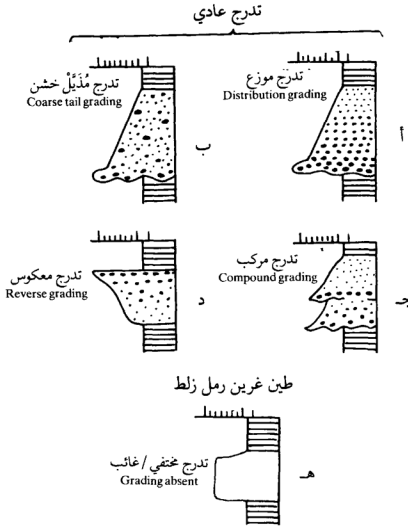
٢ - تدرج مُدْبِلٌ خشن . ويحتوي هذا التدرج على تدرج رأسي تتناقص فيه حجوم الحبيبات الكبيرة جدًا كلما اتجهنا إلى أعلى (شكل ٤٢ ب) ومن ثم يتحسن تصنيف الراسب في الاتجاه الرأسي . وقد أوضح (Allen, 1970b) أن هذه الاختلافات في حجوم الحبيبات ربما يعود إلى أنواع مختلفة من التدفق الكثيف والتي سادت المنطقة .

٣ - تدرج مركب . ويتكون من أكثر من تدرج يوجد في طبقة رملية واحدة . أي أنه يتكرر التدرج نفسه أكثر من مرة داخل طبقة واحدة من الرمل ، (شكل ٤٢ ج) .

٤ - تدرج معكوس . ويظهر هذا التدرج ازديادًا في حجوم الحبيبات كلما اتجهنا إلى أعلى الطبقة وهو عكس تدرج الانتشار . (شكل ٤٢ د) .

٥ - تدرج مخفي . أي أن الطبقة تحتوي على حبيبات متجانسة الحجم وتفقد الطبقة سطح التعرية السفلى (شكل ٤٢ هـ) كما هو الحال في التدرجات الطبقيّة الأخرى . وربما يشير غيب التدرج في سحن العكر إلى أن مصدر هذه الرواسب تتقارب أو تتساوى فيه حجوم الحبيبات المنقولة منه والمرتسبة في حوض الترسيب ، (Selley, 1976, 1994) .

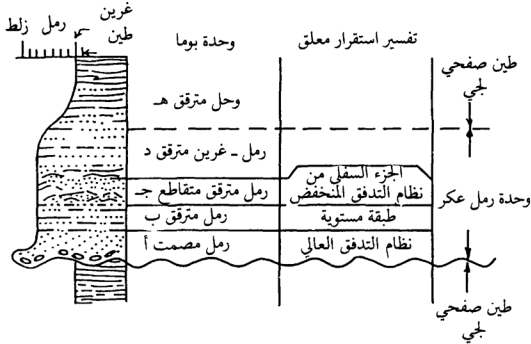
وقد وضّح (Bouma, 1962) بالتفصيل البنيات الرسوبية الداخلية في طبقات رواسب العكر والتي ربما تظهر قليلة العدد ولكنها تميل بأن تكون منتظمة الترتيب وأطلق



شكل (٤٢). أنواع التطبيق المتدرج. (عن : Selley, 1976, 1994)

عليها «تابع بوما» (شكل ٤٣). ويتكون هذا التابع من خمسة مناطق أو وحدات مترتبة من (أ) إلى (هـ). ولقد فسر هذه الوحدات بالنسبة لانسباب التدفق كل من (Walker, 1965) و (Harms and Fahnestock, 1965) و (Hubert, 1967). ويمكن فحص هذا التابع كالتالي:

يوجد فوق سطح التآكل أو سطح التعرية عند قاعدة التابع راحص من الحصى الصغير وفتاتات وحل مجلوبة محلياً من تفتت أو تعرية طبقات الوحل السفلية.



شكل (٣). وحدة من راسب العكر تبين تتابع بوما الكامل وتفسيرها ضمن نظام التدفقات التيارية. (عن : Selley, 1976, 1994)

ويدل هذا على بداية مرحلة التآكل أو الحث القوية للتيار السائد في المنطقة. ويعلو هذا الراهص وحدة الرمل (أ) المتناسكة وعديمة البنيات الرسوبية. وتشير هذه الوحدة إلى أن الترسيب هنا تم من كتبان مضادة وفي الجزء العلوي لتدفق التيار. وقد اكتشف كل من (Walker, 1967a,b) و (Skipper, 1971) مجموعات الواجهة المنحدرة في اتجاه أعلى التيار لهذه الكتبان المضادة. وبلي وحدة (أ)، وحدة (ب) المترققة والتي يعود ترسيبها إلى تدفق الطلقة أو «تدفق الرمية» من التيار، والمترسبة من تشكيل طبقة مستوية. ويتبع هذه الوحدة وحدة (ج) ذات الترقق المتقاطع. وغالبا تظهر هذه الوحدة بنيات ملفوفة أو مطوية (Convolute) مشوهة والتي يرجع في تكوينها مزمنة (أو حدوث) استخراج الماء باندفاع أثناء فترة الترسيب. وتعكس هذه الترققات المتقاطعة ترسيباً من الجزء السفلي لتدفق التيار. ثم يلي الوحدة (ج) في التتابع وحدة (د) المترققة والمتكونة من حبيبات رملية ناعمة وغرين. وتأخذ هذه الوحدة في التدرج إلى أعلى حتى تدخل في الوحدة التي تعلوها وهي وحدة (هـ). ووحدة (هـ) عبارة عن وحدة وحل مترققة ومترسبة من



جسيمات الوحل العالقة في وسط التيار، ويطلق عليها الوحل اللّجّي (Pelagic mud). وقد تعجّب أكثر جيولوجيّ الحقل ومن بينهم (Bailey, 1930) من الاختلاف الكبير المتواجد بين رواسب الجر أو السحب (Traction deposits) ورواسب العكر. حيث تتشكل رواسب الجر من تقاطعات طبقية رملية نظيفة وتكون محدودة الاتساع أفقيًا، أي أنها لا تغطي مساحات كبيرة. بينما تكون رواسب العكر ذات طبقات رملية مستوية، وتظهر هذه الطبقات تدرجًا حجميًا حبيبيًا. ورمل هذه الطبقات غير نظيف ويحتوي على نسبة عالية من جسيمات طينية (Argillaceous). وغالبًا ما تكون هذه الطبقات ذات اتساع أفقي شاسع، أي أنها تغطي مساحات واسعة من رواسب القارات.

### ٣ - رواسب الماء العالقة

تنقل الجسيمات المعدنية معلقة في الماء لأن جاذبيتها النوعية أكبر من الجاذبية النوعية للماء. ونتيجة لثقل هذه الجسيمات تمر بتجربة الاندفاع الموجه إلى أسفل. ولكن حركة الجسيمات في الماء تعمل بطريقة مضادة لقوة الاحتكاك والتي تزداد مع زيادة سرعة تيار الماء واندفاع الجسيمات إلى الأمام. وهذا النشاط المتعارض لكلا القوتين يعطي سرعة ثابتة يستقر بها الجسيم في القاع ولكن هذه السرعة تعتمد بشكل كبير على حجم وشكل (تكور) الجسيم (Von Engelhardt et al., 1977). ومن بين هذه الجسيمات التي تنقل معلقة في الماء الحبيبات الناعمة من الغرين والطين والتي يندرها ما ترسب من تيارات الجر وذلك لأنها تميل بأن تنقل معلقة بدلاً من أن تكون ضمن حمل الطبقة أو كجزء من البساط الرملي الزاحف، كما أشرنا عنه في السابق. وقد تحمل كميات معينة من الرمل الناعم والغرين معلقة وترسب في نهاية مشوار الانتقال ويقل ظهورها باختفافها أو اختلاطها مع رواسب العكر. وتنقل كتل الغرين والطين تحت سطح الماء بميكانيكية التعلق. وبإستطاعة رواسب صخور الطين المعلقة أن ترسب في تبادل طبقي أو تبادل ترققي مع رواسب العكر (Turbidites) أو رواسب السحب (Traction deposits).

وهناك ثلاثة أنواع من الرواسب المعلقة:

- ١ - الرواسب الناعمة المعلقة والتي تتواجد مع رواسب العكر في أبعد مطاف مسافة الانتقال. ولو أن هذه الرواسب تتواجد في الأحواض الترسيبية البحرية العميقة إلا أنها تكون أكثر اختصاصًا بالبيئات البحرية.

وتظهر هذه الطبقات هبيئة ترققات رفيعة متبادلة من الغرين والطين. وهذه الرقائق متسعة أفقياً بشكل كبير. ويكثر تواجد هذه الرواسب من الرقائق في رواسب بحيرات الجليد. (انظر: Smith, 1959). وتسمى هذه الرقائق القليلة السمك رقائق حولية (Varves). وتتكون كل رقيقة من غرين متبادلة مع رقيقة من الطين. وقد اعتبر هذا التركيب من الترسيب نتيجة ترسيب سنة واحدة. وكما شرحه (Selley, 1976) بأن رقيقة الغرين تمثل الحُمْل المعلق والذي استقر أو ترسب نتيجة ذوبان المياه أثناء فصل الصيف. وتكون رقيقة الطين غنية بالجير أو الكربونات والمواد العضوية. وترسب هذه العوالق في فصل الشتاء عندما تكون البحيرة والمناطق المجاورة متجمدة ولا توجد فتحات أو حبيبات أرضية تنقل إلى البحيرة. وقد وجدت مثل هذه الرقائق ضمن رواسب بحيرية قديمة كما أثبت ذلك الأحافير الموجودة معها (Bradley, 1931).

٢ - النوع الثاني من الرواسب العالقة ما يسمى بطبقات النفيلويد (Nepheloid layers) وهي عبارة عن ماء معكر تختلف كثافته عن السائل الناقل (أو المحيط به) ومن ثم لا تكفي هذه الكثافة بأن تسمح لهذا الحمل أن يستقر في القاع كتدفق تيار العكر المتفق عليه ولكن هذه الكثافة تتيح له أن يشكل طبقة عكرة لزجة ومعلقة داخل السائل الناقل أو المحيط به، (Ewing and Thorndike, 1965) ومثل رواسب هذه الطبقات المعلقة موجودة في بعض المحيطات حيث تستقر فيها بعد على طبقة قاع البحر.

٣ - يتكون النوع الثالث من الرواسب العالقة عندما يتدفق ماء عكر في أجسام مائية تشابه معه في الكثافة (Bates, 1953). وينتج عن ذلك اختلاط كتلي الماء وما تحمل من رواسب. ثم يستقر خليط المواد الناعمة والمعلقة مكوناً هذا النوع من الرواسب المعلقة. وتزداد سرعة مثل هذا الترسيب عندما يختلط ماء وحلي عذب مع ماء البحر. ويتسبب الملح في الإسراع بترسيب أو استقرار جسيمات الطين إذا ما قورن باستقرار هذه الجسيمات في وسط الماء العذب قبل اندماجه مع ماء البحر (Selley, 1976, 1994).

#### النقل والترسيب بالهواء

يختلف النقل والترسيب بالهواء عن إنجاز عوامل الانتقال الأخرى، لأن الرواسب التي تنقل بالهواء ربما ترسب على ارتفاعات أعلى من مصادرها. والنقل في

الهواء يشبه النقل في البحار لأن الرواسب تتحرك في اتجاهات مختلفة. والرواسب المنقولة في البحر معروف نهاية مشوارها، لأنها في أغلب الأحيان تترسب في الأحواض العميقة، بينما الرواسب المنقولة في الهواء لا يعرف أين يستقر بها المقام، وبذلك ليس لها هدف مصيري من حيث أين سترسب. وحمل الهواء من الرواسب مرتبط مباشرة بسرعة الهواء. وسرعة الهواء بالقرب من سطح الأرض أقل بكثير من سرعته فوق أعالي الأرض. أي أن سرعة الهواء تزداد كلما ابتعدنا عن سطح الأرض. ويدخل ضمن حمل الهواء من الرواسب رمال وغبار البراكين، غبار مداخن المصانع، الغبار المنبعث من نشاط وحركة الحيوانات في الأراضي الجافة، نشاط الإنسان في الطرق والمناطق الزراعية. وتصبح تيارات الهواء أكثر تعقيداً خاصة بالقرب من سطح الأرض، وذلك لكونها غير منتظمة الحركة عند هذا المستوى. وتكون حركة التيارات في اتجاهات متفرقة، إلى أعلى وإلى أسفل وفي اتجاهات أفقية وأحياناً تكون في حركة حلزونية (Vortices). وينتج عن ذلك كله اضطراب في نشاط تيارات الهواء بالقرب من سطح الأرض وتختلف سرعتها من لحظة لأخرى. ويعطى هذا الاضطراب في حركة الهواء المقدرة في رفع جسيمات الرواسب من سطح الأرض ونقلها من أماكنها. ومقدرة الهواء في رفع الرواسب من سطح الأرض ربما تكون في أعلى تأثيرها عندما تحدث عدة رياح حلزونية في المناطق الجافة.

وينقل الهواء الرواسب بالزحف والتعلق. حيث تنتقل حبيبات الرمل وأحياناً الحصى الصغير بالزحف بينما تنتقل جسيمات الطين والغرين وغيره من جسيمات الغبار عالقة في الهواء. وقد يحدث في حالات معينة عندما تكون سرعة الرياح عالية فإنها تنقل حبيبات الرمل وحبيبات أخرى أكبر حجماً عالقة في الهواء.

وتُظهر عمليات النقل والترسيب بالهواء والماء كثيراً من التشابه المشترك وذلك لأن هذه العمليات مرتبطة بتصرف الحبيبات الصلبة في الوسط السائب (Fluid) وهو الوسط الناقل. وكما ذكرنا أن السوائل والغازات كلاهما يفتقد خاصية قوة التمزق (Shear strength) ويشاركان في عدة خواص فيزيائية أخرى. وتوجد رواسب الرياح (الكثبان الرملية) في مناطق متعددة من العالم مثل المناطق الصحراوية أو الجافة، على امتداد معظم الشواطئ، على قمم الجزر المعزولة داخل منطقة الشاطئ، وكذلك في بعض

الناطق القطبية . وكما ذكرنا أن عمليات النقل بالهواء تشتمل على نقل الرواسب الناعمة عالقة في أعالي الجو ونقل الرواسب الخشنة زاحفة أو مجرورة على سطح الأرض، فإنه يجدر بنا أن نوضح بالتفصيل هاتين الخاصيتين كما يلي:

#### ١ - رواسب تيارات الهواء الزاحفة

ربما يكون نقل الرواسب بالزحف متفرقة أو مجتمعة . فيتم نقل الرواسب بالزحف متفرقة عندما تنقل حبات الرمل من أماكنها على انفراد وترسب في مكان آخر، بينما لا تنزل في نفس الوقت بقية الحبيبات الأخرى في حركة مستمرة أو ساكنة في أماكنها الأصلية . وتحدث حركة نقل الرواسب بالزحف مجتمعة وذلك عندما تزحف بنايات الكثبان الرملية أو علامات نيم الهواء من أماكنها وبصورة جماعية مهاجرة، ثم تستقر مكونة نفس البنايات الرسوبية الأولية في أماكن أخرى . ويتم عملية زحف الكثبان الرملية كما يلي:

تحت تأثير دفع الهواء تندرج حبيبات الرمل إلى أعلى فوق أوجه منحدرات الكثبان المواجهة لاتجاه الريح (Windward sides) حتى تصل إلى قمة المنحدرات ثم تحت تأثير الجاذبية تندرج إلى أسفل عبر المنحدرات الشديدة في الاتجاه المعاكس لاتجاه تيار الهواء (Leeward sides) . وبشكل التدحرج الأخير بنايات الترقق المتقاطع فوق جوانب ميل المنحدرات الشديدة وفي نفس الاتجاه . ويرجع تكوين كل رقيقة أو وحدة طبقية إلى سرعة هواء معينة . وتختلف حبيبات الرمل من رقيقة لأخرى مجاورة (سواء العلوية أو السفلية) من حيث حجم الجسيمات وليس من حيث التركيب المعدني . ويتكرر هذه العملية نتيجة لهبوب الرياح المستمرة عبر المنطقة يزحف جسم الكثب الرمي من مكانه الأصلي مكوناً شبيهه في مكان آخر وفي اتجاه مقدمة تيار الهواء .

وتختلف حجم الجسيمات المنقولة بالهواء باختلاف سرعة الهواء . فقد سجل (Udden 1894, 1896, 1898) ملاحظاته عبر مسافات النقل بالهواء ووجد أن جسيمات الغرين والطين تنقل عالقة في الهواء عبر مئات أو آلاف الكيلومترات قبل أن تترسب بينما حبيبات الرمل أو جسيمات أخرى أكبر حجماً تنقل ولا تلبث أن تستقر بسرعة فوق سطح الأرض عبر مسافة بسيطة . وفُسر ذلك بأن حبيبات الرمل تحتاج إلى هواء قوي وبسرعة تتجاوز عشرات أضعاف المرات مما تحتاجه جسيمات الغرين والطين حتى تعلق منقولة في الهواء .

وتُحدث تضاريس سطح الأرض اضطراباً كبيراً في شدة سرعة تيار الهواء وهذا الاضطراب يتسبب في تحريك أو زحف حبيبات الرمل فوق سطح الأرض. ويندر نقل جسيمات أكبر من حبيبات الرمل بالزحف ولكن إذا حدثت عواصف رجيحة معينة فإن بمقدورها أن تحرك جسيمات صخرية ذات أقطار تقرب من ٥ سم (Pumpelly, 1908) وتقل مقدرة تيار الهواء في النقل عن تيارات الماء لأن كثافة الهواء أقل من كثافة الماء، (تقل كثافة الهواء بمقدار  $\frac{1}{813}$  من كثافة الماء). ويتمثل معظم حمل الهواء من الرواسب العالقة أو الغبار. يحدث ذلك حتى لو بدى مظهر الجو صافي فإنه لا يخلو من جسيمات سُحب الغبار بأي حال من الأحوال.

وقد أعطت دراسات (Bagnold, 1954b) اللبنة الأساسية لدراسة الكتيان الرملية ثم تبعها دراسات أخرى في الموضوع نفسه ولن نتركز حول فيزياء نقل الرمل بالهواء، وقد تطرق لها كل من (Williams, 1964; Owen, 1964; Wilson, 1972; Glennie, 1970, 1987; Greeley and Iverson, 1985). وقد أوضحت هذه الدراسات كيف تنقل الرواسب بالرياح. فتتزلق حبات الرمل فوق بعضها البعض أو تقفز فوق سطح الأرض تحت دفع الهواء لها أو عندما تصطدم حبة رمل بأخرى في المقدمة فتقفز الأخيرة وتستقر الأولى وهكذا. وتشبه هذه العملية في مضمونها عملية نقل تيار الماء لحبيبات الرمل بالزحف (Creep) أو القفز (Saltation). وباستمرار هبوب الهواء عبر الرواسب غير المتناسكة والزاحفة فوق سطح الأرض تُزاح جسيمات الغرين والطين وتُحمل معلقة في الهواء مكونة سُحباً غبارية ترتفع في أعالي الجو. وكما ذكرنا أن سرعة الهواء الدافعة أو الحاملة للجسيمات تزداد بازدياد حجم الحبيبات. فسرعة الهواء التي تسبب في بدء حركة الحبيبة من مكانها تشبه إلى حد كبير تلك التي دُكرت تحت رواسب النقل المائية. على سبيل المثال إن أول ما يتحرك عند هبوب الهواء هي جسيمات الرمل الناعمة جداً. وتحتاج جسيمات كل من الغرين والطين إلى سرعة تيار هواء قوية تشبه تلك السرعة التي تحتاجها جسيمات الرمل الناعمة والمتوسطة الحجم لكي تبدأ الحركة من أماكنها (راجع رسم العالم هولسترم Hjulstrom وما كُتِبَ عنه في بداية هذا الفصل).

وتتشكل الكتيان والطبقات المستوية وعلامات النيم كُنيات رسوبية طبقية رملية هوائية معطية أهم رواسب النقل بالهواء فوق القشرة الأرضية. وقد تركزت دراسات

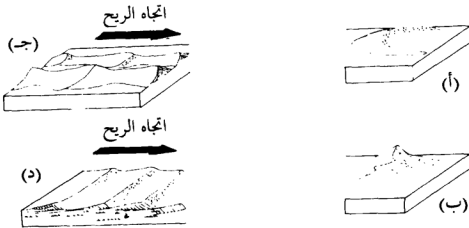
عدة حول أحجام وأصل نشأة الكثبان الرملية لما لها من تأثير كبير في البيئة المحيطة بها، كمشكلة زحف الرمال عبر المناطق الزراعية والقرى والمدن وغيرها من الانشاءات المدنية وما ينتج عن ذلك من دمار وتهديد من الطبيعة للإنسان.

## ٢ - الكثبان الرملية

تصنف الكثبان الرملية من حيث نوعية أشكائها إلى أربعة أنواع (شكل ٤٤).

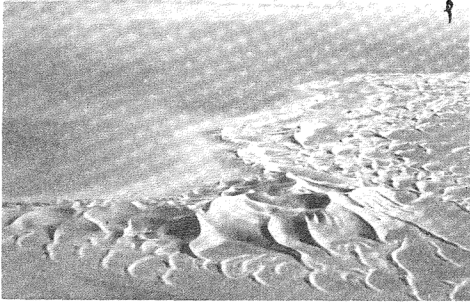
### (أ) كثبان البارخان (كثبان هلالية) Barchan dunes

عبارة عن كثبان رملية تأخذ شكل الهلال أو حدوة الفرس وتمتد قرنيها في اتجاه الريح. ويعرف أحياناً بقوز أو أقواز الرمل وأحياناً بكثبان الرمل الهلالية (شكلاً ٤٤ أ، ٤٤ ب). ويكون جسم هذا النوع من الكثبان محدب في اتجاه أعلى تيار الهواء ومقعر في اتجاه أسفل تيار الريح. وتكون الأوجه المقعرة أشد انحداراً (انزلاقاً) من الأوجه المحدبة. وتتواجد كثبان البارخان متفرقة في معظم الأحيان ولكنها أيضاً تتأخّم أطراف البحار الرملية في المناطق الصحراوية، مثل مناطق الربع الخالي في الجزيرة العربية. وتشكل طبقات هذه الكثبان أجسام رواسب انتقالية وليست رواسب ترسيب ولذلك لا يتوقع الاحتفاظ بها في السجل الجيولوجي لأنها ما تلبث أن تستقر حتى تبدأ الزحف والانتقال إلى أماكن جديدة في مقدمة اتجاه الريح.



شكل (٤٤). الأشكال الرئيسة للكثبان الرملية: (أ) كثب هلالى، (ب) كثب نجمى (شعاعى)،

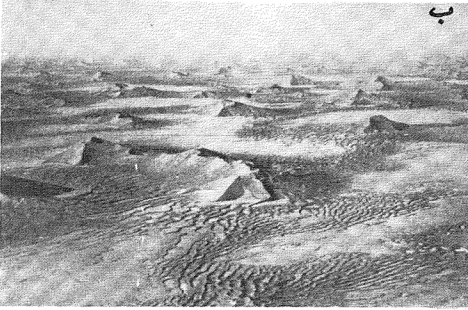
(ج) كثب طولى، (د) كثب مستعرض. (عن: Selley, 1976, 1994)



شكل (٤٥). كثبان هلالية مع كثبان نجمية (Barchan dunes with stellate dunes) في منطقة الربع الخالي بالقرب من أم السميم - عُمان. (عن: Glennie, 1970)

#### (ب) كثبان نجمية Stellate dunes

وهي كثبان رملية ذات بنية نجمية او بنية شعاعية وأحياناً تشبه بنيتها بنية الأهرام (الأشكال ٤٤ ب، ٤٥، ٤٦). ويتكون هذا النوع من الكثبان من نسق أو سلسلة تلال رملية ملتوية وذات قمم حادة مجتمعة مع بعضها مكونة قمة واحدة شاذة في الفضاء تشبه رأس الهرم. وتتطاير حبيبات الرمل من فوق هذه القمة تحت تأثير الرياح مشكلة بذلك ما يشبه دفع الدخان من فوهة المدخنة. وقد يصل ارتفاع هذه الكثبان عشرات الأمتار. وتتكون هذه الكثبان النجمية الرملية عند أطراف أجسام الرمل الكبيرة والثابتة أو الجبال الرملية مثل جبال رمال الربع الخالي وغيرها في مناطق صحراوية أخرى. وربما يشير ذلك إلى نشأة هذا النوع من الكثبان، ويرجع ذلك إلى مقاطعة الجبال الرملية المقاومة لمسيرة مجرى تيار الهواء وبناء الكثبان النجمية عند منطقة اصطدام الهواء بالأجسام الرملية المقاومة. ومن المحتمل أن توجد الكثبان النجمية مختلطة في أوساط كثبان رملية من نوع آخر (Selley, 1976, 1994).



شكل (٤٦). كثبان مستعرضة صغيرة مع كثبان نجمية أكبر (Small transverse dunes with larger stellate dunes) في منطقة الربع الخالي - جنوب أم السميم - عُمان.

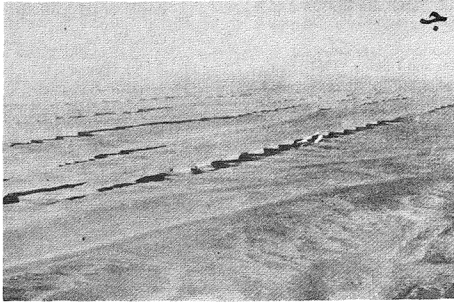
(عن : Glennie, 1970)

#### (ج) كثبان طولية (كثبان السيف) Seif dunes

يتكون هذا النوع من الكثبان الرملية من فُرْشَة لعدة كثبان متصلة مع بعضها ورقيقة وطولية الشكل وذات قمم حادة ولكن متوسطة الارتفاع (شكلا ٤٤ ج، ٤٧). وغالباً تغطي هذه الكثبان مساحات شاسعة تصل إلى ٢٠٠ كم<sup>٢</sup>. وقد يكون جسم هذا النوع من الكثبان منعزلاً أو مرتبطاً بأجسام كثبانية رملية أخرى من نفس النوع وفي اتجاه أسفل تيار الرياح.

ويصل ارتفاع قمم الكثبان المكونة لهذه الكثبان الطولية حوالي ٥٠ م وتكون متباعدة عن بعضها مسافة قد تزيد على ١ كم. وأوضح (Selley, 1976) بأنه أحياناً تكون الكثبان الطولية عبارة عن قمم كثبان نجمية منتظمة التوزيع والتباعد ومتصلة ببعضها بأسراج رملية مستطيلة أقل ارتفاعاً ومعتدلة الانحدار على كلا الجانبين، وتكون موازية لاتجاه مجرى الرياح. وتحدث هذه الكثبان على فرشاة رملية وعلى أسطح هابطة من الزلط. وقد ناقش كل من (Bognold 1953; Hanna 1969; Folk 1971 and Glennie





شكل (٤٧). كثبان طولية (كثبان السيف) (Self dunes or longitudinal dunes) في منطقة الربع الخالي  
وسط رمال وهيبا - عُمان . (عن : Glennie, 1970)

(1970, 1978) أصل نشأة الكثبان الطولية (أو كثبان السيف) وأجمعوا على أنها تتشكل من خلايا تدفقية حلزونية صادرة من أنظمة تيار هواء وحيد الاتجاه .

#### ( د ) كثبان مستقيمة Longitudinal dunes

تأخذ هذه الكثبان الرملية طابع الاستقامة في قممها أو خفة الالتواء وتكون ذات توجيه متعامد مع اتجاه الرياح (شكلا ٤٤، ٤٧). وتكون أوجهها الشديدة الانحدار موجهة في اتجاه أسفل التيار. وهي تشبه إلى حد كبير عتبات السلم المتراكبة فوق بعضها. فتتسلق واجهة (مقدمة) كُثيب ظهر أو مؤخرة كُثيب آخر أمامه وهكذا حتى تصبح مركبة فوق بعضها البعض (انظر شكلي ٤٤، ٤٧). ويندر وجود هذا النوع من الكثبان فوق مستويات الأرض الهابطة كما هو الحال بالنسبة للكثبان الطولية. وتعتبر الكثبان المستقيمة كثبان أبنية طبقات ترسيبية هوائية أي أنها كثبان ترسيب، وهذا يغير خاصية الأنواع الثلاثة الأخرى من الكثبان والتي تمتاز بأنها كثبان انتقال أو كثبان أبنية طبقية انتقالية (Selley, 1976, 1994) .

وقد ناقش كثير من الباحثين في دراساتهم البنيات الداخلية لهذه الكشبان بأنواعها الأربعة، ومن بين هذه الأبحاث أبحاث كل من:

McKee and Tibbitts, (1964); McKee, (1966, 1971, 1979); Glennie, (1970, 1978); Bigarella, (1972); Ahlbrandt and Fryberger, (1982)

وتتكون الرمال المنقولة بالزحف بشكل رئيسي من حبيبات المرو (الكوارتز) وحبيبات أخرى معدنية ولكن بنسبة أقل، وهذه تشمل كل من الكلسيت والظفر (الشيرت) والفلسبار والجبس وحبيبات طين وفتات حجر الجير وبعض حبيبات المعادن الثقيلة والقطع الصدفية وبعض الأحافير في حجم حبات الرمل (مثل Protozoa).

ويتسبب النقل بالزحف في بري الحبيبات عندما تنساب فوق بعضها. ونتيجة لاحتكاك الجسيمات مع بعضها البعض تحدث عملية البري أو المسح والتي تؤدي بدورها إلى استدارة عالية للحبيبات حتى الأكثر مقاومة، ومن المحتمل جداً أن الحبيبات الأقل مقاومة سوف تؤثر فيها عملية البري حتى تصبح صغيرة الحجم، وأقل بكثير مما تقوم به عملية البري تحت الماء والتي تحدث أثناء نقل الرواسب تحت الماء بالزحف، لأن الماء يمتص حدة الاصطدام المباشر بين الحبيبات، ومن ثم يقل تأثير الاحتكاك بين الحبيبات عنه بين الحبيبات المنقولة بالريح. وتكون الجسيمات المنقولة بالزحف، وفي وسط ناقل هوائي، متصلة مباشرة ببعضها البعض وبالأرضية الزاحفة عليها ومن ثم الحبيبات الكبيرة تتحسن استدارتها وربما تصبح عالية التكور. فقد أشار (Zeiglar, 1911) إنه إذا وجدت حبيبات مستديرة وبأقطار أقل من ٠,٧٥ مم فإن الهواء يجب أن يعتبر العامل الرئيسي في استدارة هذه الحبيبات. وقد جاءت تجربة (Galloway, 1922) بأن الماء ربما يتسبب في استدارة جسيمات ذات أقطار تصل إلى ٠,٠٥ مم ولكن ربما يصل الهواء بتأثيره إلى أبعد من ذلك، أي أنه يتسبب في استدارة جسيمات ذات أقطار تصل إلى ٠,٠٣ مم. واختتم (Twenhofel, 1950) إنه عامة إذا كانت الحبيبات مستديرة وأحجام أقطارها أقل من ١,٠ مم، وكمية هذه الرواسب كبيرة فإن الاستدارة تتكون من عوامل ريحية. وإذا كانت كمية الرواسب قليلة فإن عوامل أخرى يحتمل أن تكون متسببة في استدارة هذه الجسيمات. وبالمثل إذا وجدت رواسب ذات حبيبات مزروعة وهي ريحية الترسيب فذلك لأنها لم تنقل مسافة طويلة.

أما سطح الأرض الذي يسحب عليه الحبيبات تحت عامل النقل الهوائي فإنه

يتأثر بتلك الحركة . فإذا كان السطح صلباً فإن حبيبات الرمل سوف تحدشه وتظهر عليه خطوط على طول مناطق الضعف أو التي تقل مقاومتها لعملية البري . أما إذا كان السحب أو الجر فوق سطح طيني أو غريني فإنها تشكل خطوطاً وعلامات يطلق عليها حزوز الريح (Yardangs). وإذا كانت عملية الزحف الرمي حدثت عند قواعد الحوائط الصخرية للجبال المواجهة للشاطئ فربما تشكل كهوفاً نتيجة البري الهوائي وليس بسبب عامل الحل بمياه أمواج البحر . وإذا وُجد الحصى الصغير (Pebbles) والحصى الكبير (Cobbles) ، والجلاميد (Boulders) في مسارات الرمال المساقة بالهواء ، وكانت هذه الرواسب لها تكوين معدني متجانس ، فإن عمليتي بري الرمال تترك سطحيات (أو وُجيهات) مقطوعة فوق أوجه هذه الجسيمات وتعرف هذه العلامات بوجهريحيات (Ventifacts) وتكون مواجهة لاتجاه الريح .

### ٣- رواسب الهواء العالقة

تقل الرواسب الناعمة مثل جسيمات الطين والغرين والرمل الناعم عالقة في الهواء ولا يعرف أين سيستقر بها المقام . ويعتمد ترسيبها على ، متى ستصبح سرعة الريح صفر ، أو فوق الصفر بقليل ، وبمعنى آخر متى تنخفض سرعة الهواء عما كانت عليه في بداية المشوار . ويتكون حمل الرواسب العالقة في الهواء عامة من مواد عضوية وغير عضوية . فالجسيمات العضوية تشمل أنسجة نباتية وطحالب دياتومية وصدف الأوليات (Shells of protozoa) والأحافير ذات الخلايا البوغية (Spores). أما الفتاتات غير العضوية عبارة عن أنواع متعددة من المعادن مثل معادن الطين ومعادن الجير والمرو الدقيق الحبيبات والفلسبار وغيرها من الجسيمات الناعمة . وتستمر الجسيمات الغروانية (Colloidal particles) عالقة في الهواء إلى ما لا نهاية ما لم تغسل بمياه الأمطار والثلوج الساقطة . وقد ينقل الهواء الجسيمات عالقة عبر أقطار الأرض . ويأخذ الجولون ما يحمله من غبار . ويرجع لون الغبار إلى لون المصادر التي سبقت منها الأغبرة وذرات المواد العالقة في الفضاء . ومعدل ما يترسب من الرواسب المحمولة بالتعلق في الهواء قليل جداً إذا ما قورن برواسب الهواء الزاحفة المترسبة ككتبان رملية فوق القشرة الأرضية . وتنشأ معظم الرواسب العالقة في الهواء من هب الرياح عبر رواسب نهري (طمي Alluvium) مفككة ، فيعلق الغرين والطين في الهواء تاركاً خلفه الزلط والرمل . ولا

يشك في مقدرة الهواء على رفع وحمل أطنان من الغبار أو الرواسب الناعمة ونقلها عالقة في الجو وربما يرسبها عبر آلاف الكيلومترات من مصدر نشأتها. فقط أشار كل من (Prospero and Carlson, 1972) إن بين ٢٥ و ٣٧ مليون طن من الغبار تنقل سنوياً من صحاري إفريقيا على امتداد خط عرض الباربادوز وهذه الكمية من الغبار تكفي لأن تحفظ المعدل الحالي للترسيب البحري العميق في كل مناطق شمال المحيط الأطلسي. وينقل الغبار من الصحاري بالرياح ولكن في الحقيقة قليل يترسب من هذه العوالق بنفس طريقة استقرار الوحل في أرضية قاع البحار. ويترسب معظم الغرين والطين في (Playas) بعد هطول الأمطار وتدفق الفيضانات. وتمنع كل من خاصية التماسك والجفاف لهذه الرواسب من أن تعيد ترسيبها أكثر من مرة.

وأوضح (Selley, 1976) بأن عوالق الغبار الصادرة من الصحاري القريبة من المناطق الجليدية أو المحيطية بها تختلف من عوالق غبار صحاري المناطق المدارية وذلك لأن الأولى خالية تقريباً من الطين وغنية بجسيمات السليكا المكونة نتيجة أنشطة التلجارات. وهذه الرواسب تعرف بالتربة الطفالية أو ما يطلق عليها مصطلح رواسب اللوس (Loess (Berg, 1964). وتوجد تربة اللوس في مناطق متفرقة من العالم وتكون طبقاتها سمكية ومتسعة أفقياً، جيرية، مصمتة (أي عديمة البنيات الرسوبية الأولية) وتتجوى مشكلة شقوق تقلصية متعددة الأضلاع. ولو أن معظم الباحثين متفقين على أن تربة الطفالات نقلت كسحب غبارية عالقة في الهواء إلا أن هناك بعض المناقشات الدائرة حول استقرارها، هل استقرت من الهواء الطلق أو في الحقيقة ترسبت من نشاط نهري (Smalley, 1972; Tsoar and Pyre 1987).

### النقل والترسيب بالتلجارات

تحدد كل من اللزوجة والتدفق ميكانيكية النقل الثلجي وهي تختلف عن النقل بالماء والهواء. ويشكل تدفق الجليد عملية معقدة لأنها تعتمد على ترجمة مقدرة الجليد في نقل الرواسب أو على خاصية المرونة (Plasticity) بلورات الثلج وكذلك على تفكك وانفصال كتل ثلجية كبيرة وانزلاقها من فوق مستويات الانزلاق. وأيضاً يلعب ذوبان أجزاء من الثلج تحت عامل الضغط دوراً آخر في عملية ميكانيكية النقل الثلجي.

وليس بوسعنا هنا أن ندخل في التفاصيل الفيزيائية لحركة النقل بالجليد . ولكن ما يهمنا الآن هو معرفة مكونات رواسب التلاجات .

توجد جميع الرواسب المنقولة بالتلاجات إما عند قاعدة الجليد الزاحف ويدعى الركام الجليدي السفلي (Ground moraine) أو على سطح الجليد المتحرك وتسمى الركام الجليدي السطحي (Superficial moraine) . وتمتاز المثالج القارية (أو المنبسطة) بنقل معظم حمل رواسبها عند القاعدة ولذا يطلق على هذه الرواسب بالحمّل الجليدي المعروف على الأرض أو الركام الجليدي السفلي (Ground moraine) . بينما تمتاز مثالج الوديان بجمع معظم حمل رواسبها من الانهيارات الصخرية وغيرها من فئات الرواسب والتي تسقط من أعالي الجبال المحيطة وتستقر فوق الأسطح الثلجية لتقلها وهي على السطح . وأيضاً تجمع مثالج الوديان رواسبها من جوانب ضفتي الوادي وتنقلها فوق السطح ويطلق على هذه الرواسب المنقولة على سطح التلاجات ، الركام الجليدي السطحي (Superficial moraine) . ويؤثر تدفق الجليد في الجسيمات المنقولة كما يتسبب في صقل (Polish) وتخطط (Groove) وخدش (Scratch) أسطح الطبقة الصخرية التي يزحف عليها وربما يشوه الطبقات السفلية . وتسمى رواسب التلاجات بالركام المجروف أو الحريث (Till or tillite) .

ويشكل حمل الجليد المجروف على الأرض كتلة من حطام الرواسب . وتكون رواسب الحطام من حبيبات من جميع الأحجام ، مشتملة على جسيمات الطين الناعمة وكذلك حبيبات الجلاميد الكبيرة أو بأكبر من ذلك . ولكن حبيبات الجلاميد العملاقة والمتواجدة في حمل الجليد المنقول على السطح تصبح تقريباً مفقودة الوجود بين الرواسب الجليدية المجروفة . وتكون الرواسب المجروفة بالتلاجات غنية بالمواد الناعمة وذلك بسبب تكوينها المستمر من حركة الجليد البطيئة . وينتج عن حركة الجليد أن تكون خاصية قوى التمزق نشطة مسببة سحق الرواسب الضعيفة المقاومة إلى طين أو رمل ناعم جداً . بينما القطع الصخرية المقاومة تصبح مستديرة ومصقولة أو مخدوشة بسبب بري واحتكاك المواد الناعمة بها . كما تظهر على أسطح الجلاميد والحصى خطوط وخدوش نتيجة لعملية البري والمسح . ويترك الجليد الزاحف آثاره على سطح الطبقة الصخرية . ونتيجة لعملية البري والمسح المصاحبة يصبح السطح ناعماً ومصقولاً وبه

عدة خطوط مستقيمة ومتوازنة وأيضاً خطوط متعمقة إذا كانت عملية البري حدثت عبر مناطق ضعيفة المقاومة. وجميع هذه العلامات تشير إلى حت أو تعرية الجليد لهذه الطبقة.

ويتكون حمل الرواسب المجروفة على سطح الثلاجة من الحطام الساقط على الثلاجة من انزلاق أرضي وانزلاق صخري وتدفق الوحل وتساقط صخري أو انهيارات صخرية متنوعة وأحياناً من رواسب نهريّة تتدفق من أعالي الجبال المحيطة وتصب فوق سطح الثلاجة تاركة حملها مع بقية الرواسب الأخرى. وحيث إن جميع هذه الرواسب لا تستطيع أن تنغمس أو تغرق داخل الثلج لذا تزداد كمية الحطام المنقول على سطح الجليد في أسفل المجرى عندما تتجمع إمدادات جميع منحدرات الانزلاق. وحيث إن جميع مكونات الرواسب المنقولة على سطح الجليد لا تمر بتجربة ميكانيكية إعادة الترسيب ولا البري ولا التصنيف (هذا إذا ما تعرضت صدقة لماء ذائب) فإنها تتكون من خليط رواسب تضم الجلاميد الكبيرة جداً (أو الجلاميد العملاقة) مع مواد ناعمة وجميع أحجام الفتات الصخرية الأخرى. وتكون جميع الحبيبات محتفظة بأشكالها (من الاستدارة والتكور) الأصلية والتي كانت عليها عندما أُلقيت أول مرة فوق الثلاجة. كما أنه لا توجد آثار الصقل أو الخدوش أو الاستدارة لهذه الحبيبات مثلما لاحظناه في حالة رواسب الحمل المجروف بالثلاجة.

ويظهر لنا في الحقيقة أن هناك عدة أنواع من الرواسب الرسوبية تكون مشتركة أو مجتمعة مع رواسب الثلجات. وهي باختصار الزلط والرمل والطين أو تربة الطُّفَال (تربة اللوس Loess) والتي تحدثنا عنها سابقاً. ولو أن هذه الرواسب تعتبر الآن مشاركة مع رواسب النقل الجليدي إلا أنها في الحقيقة هي رواسب هوائية ومائية سواء كانت عالقة أو مجرورة بتيارات الجر أو السحب، التي تحدثنا عنها في بداية هذا الفصل. ويستوجب علينا أن نتذكر دائماً أن ما ينقله ويرسبه الثلج نفسه هو نوع واحد من الصخور يطلق عليه الرواهص الوحلية (Diamictites) (راجع Flint et al., 1960).

ويتكون صخر راهص الوحل (Diamictite) من رواسب رديء التصنيف ويشتمل على حبيبات بجميع أحجامها من الجلمود إلى الطين. ويتشكل الطين من معادن متنوعة ولكن تكون نسبة معدن السليكا مرتفعة وذلك بسبب تكوينها عن طريق

سحج الجليد لكثير من المواد. وتكون معادن الطين ضئيلة جداً. وتظهر الجلاميد بأحجام كبيرة ومقاسات مختلفة وغالباً تكون مزواة، ونادراً ما تحمل بعض الخطوط وذلك بسبب حركة الثلج وما ينتج عنه من حرك ركني حاد لجلمود عبر واجهة جلمود مجاور له. وتقل هذه الصخور المجروفة بالجليد (Glacial diamictites) بأن ترسب بشكل صفحات متسعة أفقياً وقليلة السمك (أقل من ٥ أمتار). وتغطي هذه الرواسب أسطح الطبقات المخططة بزحف الجليد وتكون أسطح هذه الرواسب العلوية محدبة. ومن المحتمل جداً أن توجد رواسب الثلجات متداخلة مع طبقات رواسب مجاورة لمناطق الجليد. مثل رواسب بيشات نهريّة أو بحيريّة وغيرها من البيشات الترسيبيّة الأخرى والقريبة من منطقة ترسيب الثلجة.

ولمزيد من التفاصيل عن النقل والترسيب بالثلجات، راجع:

Reading and Walker, (1966); Crowell, (1957); Frakes and Crowell, (1967); Spencer, (1971); Selley, (1994) and Boggs, (1995).

### النقل والترسيب بالجاذبية الأرضية

تنقل الجاذبية رواسب متنوعة فوق سطح الأرض، وتحت سطح الماء وهذه الرواسب تشتمل على مياه مشبعة بمحاليل رواسب معدنية، تتدفق من أعالي الجبال حتى تصل إلى منبسط السهل، وأجسام صخرية أو جسيمات رسوبية والتي تنقل بالجاذبية إلى مسافات بعيدة وبسرعة عالية. ومثال ذلك تساقط الصخور وغيرها من حطام الرواسب المتساقطة تحت تأثير الجاذبية والتي تسقط من القمم العالية حتى يستقر بها المقام في أسفل الوادي. وتُمثّل عملية تساقط الصخور من أعالي الجبال إلى قيعان الوديان بالترسيب الجانبي الرأسي والتي لا تحتوي على نقل أفقي. ويتكون ركام رواسب الجاذبية من حصى كبير وصغير مُزوَّي وريء التصنيف وبه مسامية أولية عالية. وتعمل التجوية اللاحقة على تحسين استدارة جُبات الحصى في مكانها وينقل الهواء جسيمات رواسب دقيقة مُملأ بها الفراغات الأولية. وتحدث عملية تساقط الصخر فوق الأرض وتحت أسطح البحار. وقد يكون الزلزال هو السبب الباديء لحدوثها. وقد تحدث نتيجة هطول أمطار غزيرة على اليابسة أو نتيجة نشاط التجمد والذوبان في المناطق المناخية الباردة. وتتطلب عملية تساقط الصخور تواجد جبال ذات انحدار شديد أو انحدار

رأسي مثال ذلك حوائط الجبال (Cliffs) المواجهة لبعض شواطئ البحار. ويتم تساقط الصخور (Rock falls or avalanches) من أعلى إلى أسفل بصورة تدفق أو قذف ويدون انزلاق أو ترحلق الصخور على قُرَشَات هوائية، وقد أطلق عليها (Sturzstorms) كما ذكره (Friedman and Sanders, 1978) وهي بمثابة الكوارث الطبيعية المفاجئة.

وتحدث عملية انزلاق وانهيار الرواسب الصخرية تحت تأثير الجاذبية. ويتم ذلك على سفوح جبلية معتدلة الانحدار بخلاف ما هو مطلوب لعملية تساقط الصخور. وقد يحدث انهيار وانزلاق الرواسب في أماكنها فوق الأرض أو تحت سطح الماء. وتشتمل عمليات الترسيب الناجمة عن الانزلاق على نقل الرواسب في اتجاه عرضي وعلى امتداد مستويات ممزقة وتحت أفقية. وتتطلب هذه العملية عامة الماء كعامل تشحيم (Lubricant) من أجل تخفيض الاحتكاك ولكي يسهل حركة الانزلاق على أسطح المنزلق. بينما تحدث عملية الانهيار بتحريك رواسب الممرات الجانبية إلى أسفل المنحدر وبطريقة ينجم عنها تشويه ومقاطعة انتظام التطبيق الأصلي وأحياناً تُحَرَّب هذا التطبيق كلية (Selley, 1976, 1994).

ونضيف إلى ذلك أن كل من انزلاق وانهيار الرواسب يصبح أكثر تطوراً كعوامل انتقال مؤثرة كلما ارتفعت كمية المياه الموجودة في هذه الرواسب. وتكون الرواسب القابلة للانهيار مترسبة على المنحدرات وبحبيبات مفككة الترابط. وعندما تبدأ حركة الانهيار أو الانزلاق يتأثر على غرارها ترابط حبيبات الرواسب ويصبح أكثر تقارباً واحكاماً مما ينجم عنه انخفاض في مسامية الرواسب الأصلية وازدياد في ضغط المسامات. وهذا له تأثير في انخفاض احتكاك الحبيبات فيما بين بعضها البعض مما يسمح بتدفق الرواسب بطلاقة أو بتحرر أكبر. وقد أشار (Fisher, 1971) إنه بزيادة كمية الماء في هذه الرواسب ومن ثم انخفاض قوة التمزق بين مكوناتها، تتطور عملية الانهيار إلى ميكانيكية ثالثة وهي تدفق الكتلة أو تدفق الحبيبات وهذه تشمل تدفقات رواسب واسعة النطاق، مثل تدفق الرمل وتدفق الوحل وتدفق الحطام وتكون رواسبها على التوالي: Pebbly mudstones, diamictites, fluxoturbidites. وقد ناقش (Bagnold, 1966) النظرية العامة لتدفق الحبيبات. ولقد أوضح (Blackwelder, 1928) وأيضاً نوه عنه (Selley, 1976) أن تدفق الوحل يحدث بشكل أكثر وضوحاً في البيئات



الصحراوية . وهذا يتمثل في كتلة من الزلط والرمل والوحل ، تشبعت وأسيلت بهاء المطر الغزير ومن ثم تتحرك في اتجاه أسفل جوانب أو منحدرات الجبل . وربما تبدأ الحركة ببطء ولكن بازدياد كمية محتوى الماء تزداد هذه السرعة إلى تدفق فيضان سريع من حطام الرواسب المحمولة في المقدمة . وتعتبر تدفقات الوحل (Mud flows) الواسعة النطاق بمثابة كوارث حقيقة والتي تقضي على المنازل والمزارع والحيوانات وغيرها مما يأتي في طريقها (Scott, 1971) . وقد أوضح (Blackwelder, 1928) أربعة متطلبات ضرورية لحدوث تدفق الوحل وهي : وفرة فتاتات الرواسب غير المتماسكة ، ومنحدرات ، وقلة الغطاء النباتي ، وسقوط أمطار غزيرة .

وتتكون رواسب تدفقات الوحل من حصى كبير إلى زلط ورمل وغرين وطين . وإذا كان مصدر تدفق هذه الرواسب من صنف واحد فإن الراسب الناتج سيكون من ذلك الصنف ويكون جيد التصنيف . إلا أنه عامة يكون تدفق الوحل رديء التصنيف . وقد أشير إليها بأسماء مختلفة مثل أحجار حصى الوحل (Crowell 1957-Pebbly mudstones) وأحجار أو رواسب أجراف الثلاثيات (Flint *et al.*, 1960-Diamictites) ورواسب العكر المختلفة (Kuenen 1958 a-Fluxoturbidites) .

وتحدث تدفقات الوحل على اليابسة وتحت سطح الماء (Selley, 1976) . ويتطور تدفق الوحل على اليابسة بزيادة محتوى الماء إلى فيضانات صفحية وهي تكون فيما بين تدفقات حبيبية وتيارات زاحفة . وتُرسَّب الفيضانات الصفحية طبقات تحت أفقية من الرمل الخشن والزلط وبها قنوات متقطعة (Hooke 1967; Ives 1936) . وتتواجد مثل هذه الفيضانات على المراوح النهرية وسفوح الصحاري . وتحدث تدفقات الوحل تحت سطح البحر كتلك التي تُحدث عنها (Stanley and Unrug, 1972) والمتواجدة في قيعان الوديان البحرية العميقة .

ولكن أشار (Friedman and Sanders, 1978) أن باستطاعة الجاذبية (أو ما يدعى بتمزق الجاذبية) نقل الجسيمات وغيرها من الرواسب حتى في أوساط عديمة السوائل أو الموائع . ويتضح ذلك من أن الجاذبية وحدها قامت بنقل أحمال من الجسيمات (الصخرية أو الترية) غير المتماسكة على سطح القمر الفائق لكل من الغلاف الجوي والمائي .







## مقدمة

عادة تُدرس وتُحلل مكونات الصخور المعدنية وأنسجتها في المختبر ولكن من الأحسن أن تُدرس البُنيات الرسوبية في الحقل وعلى منكشفات الصخور الحاملة لها. وتصبح هذه البُنيات مرئية في الصخور الرسوبية بسبب الاختلافات الموضعية في المكونات المعدنية أو من طريقة وضع وترتيب الحبيبات في صخر الطبقة أو ما يسمى بالطراز أو النسيج الحبيبي. وتأخذ أشكال البُنيات الرسوبية في كتلة الصخر أو طبقة الصخر مقياساً أكبر بكثير من مقياس المكونات الحبيبية للصخر نفسه. كما يمكن دراسة البُنيات الرسوبية على عينات لبّ الصخر المأخوذة من طبقات الصخر تحت سطحية والتي استخرجت باستخدام المثقاب الميكانيكي.

وتشتمل البُنيات الرسوبية على أشكال مثل التطبق أو الطبقة، وعدم التطابق أو عدم التوافق، والتطبق المتقاطع، والترقق، والترقق المتقاطع، وعلامات النيم، وعلامات الموج، والتطبق المتدرج، وشقوق الوحل، وعلامات التشوه، والعُقيدات، والهوابط، وآثار الحيوانات على الصخور مثل المسالك والمسارب والحُفر الأنبوبية، وغيرها من البُنيات الأخرى. وقد شرح (Bouma, 1969) بالتفصيل طرق جمع العينات وفحص البُنيات الرسوبية في الحقل وفي المختبر.

وتُصنف البُنيات الرسوبية بشكل عام إلى صنفين رئيسين، بُنيات رسوبية أولية وبُنيات رسوبية ثانوية. وتشكل أو تتكون البُنيات الرسوبية الأولية أثناء الترسيب وتكون نتيجة العمليات الفيزيائية. ومن أمثلتها التطبق والتطبق المتقاطع والترقق المتقاطع وعلامات النيم والتطبق المطوي والهوابط وماشابه ذلك. وتنقسم البُنيات الرسوبية الأولية من حيث النشأة إلى بُنيات غير عضوية، وهذه تشمل الأمثلة التي سلف ذكرها، وبُنيات عضوية أو حيوية مثل الجُرأت والمسالك والمسارب الدودية والحفر أو الأنفاق أو الآثار التي تركتها الحيوانات على الصخور. وتشكل البُنيات الرسوبية الثانوية بعد الترسيب وتكون نتيجة العمليات الكيميائية المأبِغِدِيَّة النشأة (Diagenetic) ومن أمثلتها الدرنات والعُقيدات وغرُوط في غرُوط والجيد والدرنات الشعاعية والزوائد الصخرية وغيرها.

وتكون البُنيات الرسوبية الأولية ذات أهمية عظمى بالأخص عند علماء

الرسوبيات لأن من دراستها يمكن التعرف على الظروف السائدة أثناء فترات الترسيب ومن ثم استنتاج بيئة أو بيئات الترسيب والتي تشكل جزءاً مهماً بالنسبة لوصف سحنات الوحدات الرسوبية. وتدلل بعض البُنيّات الرسوبية الأولية على اتجاه التيار الذي شكّلها. وبمقدورنا إذا أخذنا قياس توجيه هذه البُنيّات الموجهة أن نقرر معدل اتجاه التيار القديم، وهذا بحد ذاته جزء مهم في أي عمل حقلي. فمثلاً تستخدم البُنيّات الأولية مثل التدرج الحبيبي في الطبقة (التطبق المتدرج) والتطبق المتقاطع للتأكد من تواجد التتابع الطبقي (أو الاستراتيجرافي) في الطبقات الرأسية (أو العمودية) أو في الطبقات الملتوية (أو المقلوبة)، (Shrock, 1948a). كذلك استخدم كل من (Pettijohn 1962; Potter and Pettijohn, 1977) البُنيّات الموجهة في عمل خرائط التيارات القديمة ومنها قرروا المنحدرات القديمة واتجاهات الصخور الرسوبية.

ويمكن دراسة البُنيّات الرسوبية في منكشفات الصخور وتكون أكثر وضوحاً في طبقات مقطع ضفتي النهر وفي طبقات حوايط الجبال المواجهة لبعض الشواطئ أو في طبقات جانبي المحجر. وتُعرف البُنيّات الرسوبية بالأشكال ذات المقاس الصغير والتي تحملها معظم الصخور الرسوبية مثل علامات النيم والتطبق المتقاطع والموايط. ولا تحدث هذه البُنيّات في عزلة. فمثلاً نلاحظ أن علامات النيم تشكل جزءاً من أجزاء الطبقة والتطبيقات المتقاطعة عبارة عن مجموعة من وحدات كبيرة. وتتكون البنية الهابطة من طبقات مشوهة ومحتوية على أنواع مختلفة من البُنيّات الرسوبية. وتعتبر البُنيّات الرسوبية أعظم منفعة من أية أشكال رسوبية أخرى حيث تستخدم في التفسير البيئي لأنها لا تشبه الأحافير والخصائص الصخرية والنسيج الصخري، وذلك لأن البُنيّات الرسوبية ليس بمقدورها إعادة دورة ترسيبها (Recycle).

### التطبق

نعني بالتطبق (Bedding) أو الطبقة ترتيب الطبقات وبها تميز الصخور الرسوبية عن غيرها من الصخور الأخرى (Barrell, 1917). حتى أصبح استخدام التعبير «الصخور المتطبقة أو الطبقة» شائع الاستعمال كمرادف للتسمية «الصخور الرسوبية» وتعني نفس الشيء، على الرغم من أن بعض الرواسب أو الصخور الرسوبية تفتقد

خاصية التطبيق الداخلي مثل راسب أو صخر الجُرَافَة الجليدي (Tillite) وأحجار الرمل المصمتة، والرواهص والمُذْمَلَكات، وأحجار الجير الشُعْبِيَّة العُضْوِيَّة وبعض أحجار الطين، وكما تُظْهَر بعض الصخور النارية المتدفقة على السطح خاصة التطبيق. وقد أشار (Hamblin, 1965) إلى أنه باستخدام الأشعة السينية يمكن استقصاء تواجد الترفقات في بعض أحجار الرمل المصمتة. كما يصبح التطبيق واضح في أحجار الطين المجوأة.

وتشير المصطلحات (Stratum, bed, layer) إلى طبقة الصخر الرسوبي وتستخدم هذه التسميات بطريقة متبادلة وتعطي تقريباً نفس المقصود وهو تمييز طبقة ما من الطبقات التي تعلوها أو من الطبقات التي تقع تحتها وذلك بناء على ما تحتويه هذه الطبقة من مميزات خاصة مثل النسيج والبنىات الداخلية واختلاف نوعية صخرها عن بقية الطبقات الأخرى. وفي معظم الأحيان نستخدم المصطلح (Strata) كتسمية عامة عندما نريد الإشارة إلى جميع الطبقات بسماكتها وأنواعها بدون تمييز مُعَيَّن. ونستخدم المصطلح (Bed) عندما تكون الطبقات (Layers) ذات سماكة أكبر من ١ سم. وعندما تكون سماكة الطبقات أقل من ١ سم يطلق عليها رقائ (Laminae). وقد ظهرت عدة محاولات لوضع مقياس للتطبيق مستخدمين عامل السماكة في التقسيم أو التمييز بين طبقة وأخرى. ومن بين هذه الدراسات أبحاث كل من (Payne 1942; McKee and Weir, 1953).

فقد أوضح (Pettijohn, 1975) أنه إذا كانت الطبقات (Beds) قابلة للانفصال إلى وحدات متساوية في السماكة فإنها عندئذٍ يطلق عليها المصطلحات التالية:

- طبقة لوحية (Flaggy) من ١ - ٥ سم.
- طبقة صفائحية (Slabby) من ٥ - ٦٠ سم.
- طبقة كتلية (Blocky) من ٦٠ - ١٢٠ سم.
- طبقة مصمتة (Massive) أكبر من ١٢٠ سم.

ولكن المقياس الذي وضعه (Ingram, 1954) هو أكثر المقاييس قبولاً واستخداماً حتى الآن.

وينص هذا المقياس على ما يلي :

#### مقياس سماكة التطبيق

الاسم أو المصطلح	السماكة
١ - طبقة سمكية جدًا	أكبر من ١ متر
٢ - طبقة سمكية	٣٠ - ١٠٠ سم
٣ - طبقة متوسطة السمك	١٠ - ٣٠ سم
٤ - طبقة نحيلة السمك	٣ - ١٠ سم
٥ - طبقة نحيلة جدًا	٣ - ١ سم
٦ - رقيقة سمكية	٣, ٠ - ١ سم
٧ - رقيقة نحيلة السمك	أقل من ٣, ٠ سم

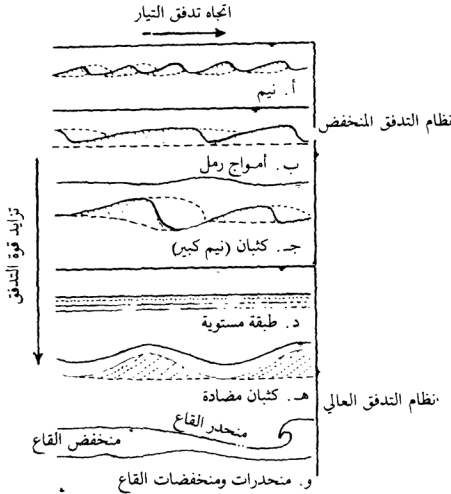
(عن : Ingram, 1954)

وحاول (Otto, 1938) تعريف وحدتين ذات أهمية تكوينية (نشوئية) ويطلق على هاتين الوحدتين الوحدة الرسوبية (Sedimentary unit) والترق (Lamination). وعرفت الوحدة الرسوبية «بسماكة» الراسب الذي ترسب تحت ظروف طبيعية ثابتة أو غير متغيرة، بمعنى آخر أن الوحدة الرسوبية ترسبت وتكونت أثناء فترة زمنية، عندما كان متوسط تدفق سرعة التيار السائد ثابتة ومن ثم رسب بعض متوسط أحجام حبيبات سائدة ولفترة زمنية معينة. وتتكون وحدة رسوبية جديدة عندما يتغير التيار السائد نتيجة تغير الظروف الطبيعية أثناء فترة زمنية أخرى. وحيث تتواجد لحظات تذبذب تتغير فيها سرعة التيار السائد مما ينتج عنها تكوين الرقائق أو الترق (Lamination) أو ما يدعى بالمرحل أو الأطوار (Phases) كما عرفها (Apfel, 1938) والتي تختلف فيها رقيقة عن رقيقة أو طور عن طور آخر. ونوضح هنا الفرق بين الوحدة الرسوبية والترق، كما شرحه (Pettijohn, 1975) بأن طبقة الرمل الحاملة لتطبق متقاطع هي وحدة رسوبية ترسبت تحت ظروف واحدة أو متشابهة بمعنى أن التيار المرسب كان يحتفظ تقريباً بنفس الاتجاه والسرعة أثناء فترة الترسيب. بينما يسجل الترق المتقاطع تذبذبات محلية في سرعة التيار المرسب كانت سائدة لفترة قصيرة.



وإذا وجدت وحدة طبقية متقاطعة ثانية فوق الوحدة الأولى حتى ولو لم تأخذ فيها الترققات المتقاطعة نفس التوجيه فإنها تعتبر وحدة رسوبية مميزة ومنفصلة عن الأولى ومسجلة لمرحلة ترسيب جديدة ولها ظروف طبيعية مختلفة عن تلك التي كانت سائدة أثناء ترسيب الوحدة الرسوبية الأولى. وهنا نستنتج أن خاصية السمك تفقد قيمتها التقسيمية أو التمييزية والتي بها نفصل أو نميز بين الوحدة الرسوبية والترقق. لأن الطبقات الحولية (أو السنوية الترسيب) أو ما يسمى بالرقائق الحولية (Varves) قد تأخذ عامة سماكة واحد ستتمتر ولكن في بعض الأجزاء قد تكون سماكتها أقل من واحد ستتمتر. لذا يمكن الإشارة إلى كل من الطبقات والترققات على أن جميعها تمثل وحدات رسوبية ضئيلة السمك. لأنه كما ذكر (Pettijohn, 1975) من أن الأجزاء الرملية والغرينية لبعض الرقائق الحولية (Varves) السمكية تكون عامة مترقة ولذا يبدو من الضروري التفريق بين الترققات (Laminations) والرقائق الحولية (Varves) وكذلك بين الطبقات (Beds) والترققات (Laminations) مستخدمين خاصية أخرى غير السماكة المقررة مسبقاً وبشكل عرفي. ولكن نقض (Blatt et al., 1980) هذه الخاتمة يزعمهم أن طبقات (Beds) عديدة لا تمثل وحدات رسوبية حقيقية لأن هذه الطبقات تحمل بنيات رسوبية داخلية مثل الترقق الداخلي (وتشمل طبقات أو رقائق Beds or laminae) تميل بزوايا مع حدود الطبقة مشكلة بذلك ما يسمى بالطبقات المتقاطعة أو الرقائق المتقاطعة وربما نجد أن مستويات مختلفة في الطبقة الواحدة تحمل أنواعاً مختلفة من البنيات الرسوبية الداخلية. ومن هنا يجب القول أن بعض هذه البنيات الداخلية ترسبت نتيجة عدة أحداث رسوبية وربما تفصلها عن بعضها فترات زمنية طويلة (Blatt et al., 1980) ربما تكون حدود الطبقة العلوية والسفلية حادة وواضحة أو تكون متدرجة حتى تختفي في الطبقة المتاخمة لها. وتتكون الحدود الحادة أو المميزة بتغير مفاجيء في ظروف الترسيب نتيجة حدوث حدث مفاجيء أو نتيجة تغيرات مابعدية كيميائية النشأة (Diagenesis) مؤكدة التغير في الحد المتدرج الأصلي أو الأولي. ويدعى الحد السفلي للطبقة بالقاع أو القاعدة (Sole) وربما تحتوي على بنيات رسوبية تسمى علامات القاعدة (Sole marks) أو القوالب (Molds) أو الطوابع (Casts). وتكون العلامة (Mark) بنية أصلية تشكلت على سطح الطبقة. وعند دفن جسيم ما

يرمز له بالعلامة ويشكل طابع على سطح قاعدة الطبقة العلوية ونرى مثل هذه الطوابع بشكل متكرر على قواعد طبقات الرمل التي تعلو طبقات الطين الصفحي المزاحة بالحت. ويتشكل الطابع في الحقيقة نتيجة إزاحة أو تفريغ القالب من على سطح الطبقة المدموغ فيها. فمثلاً انطباع الأحفورة يشكل القالب في طبقة ما، فإذا أُذِيَّتْ مادة الأحفورة الأصلية وأُزِيحت وامتلاً مكان القالب براسب أو بمواد لاحمة أدخلت إلى هذا الفراغ فإنَّ البنية المتشكلة هي الطابع (شكل ٤٨).



شكل (٤٨). أنواع تشكيل الطبقات وعلاقتها بأنظمة التدفق التياراتي ذو الاتجاه الواحد. (عن:

(Blatt et al., 1980)

وأشار (Blatt *et al.*, 1980) موضوعاً أن أجزاء مختلفة من الطبقة (Bed) يمكن فصلها أو تمييزها عن بعضها بناءً على خواص صغيرة ولكنها أكثر تمييزاً من حيث إن هناك تغييراً واضحاً في مكونات هذه الأجزاء المعدنية وكذلك يختلف النسيج الحبيبي من جزء إلى جزء وقد أسماها الباحث طبقات (Layers). وهذا يعني أن الطبقة (Bed) ربما تحتوي على عدة طبقات (Layers) والعكس غير صحيح .

وتستخدم المصطلحات عدسة (Lens) وشريط أو سير (Band) في التقسيم المصغر أو التحقي (Subdivision) لطبقة ما، ويكون ذلك بناءً على اختلافات في اللون والتكوين المعدني والنسيج واللحام أو السمته . وعامة يظهر الشريط بصورة عرضية مستمرة على مقياس المنكشف بينما تكون العدسة متقطعة وغير منتظمة وليس من الضروري أن تظهر على امتداد مقياس المنكشف .

لمزيد من المعلومات راجع :

Collinson and Thompson, (1989); Selley, (1976, 1982, 1990, 1994) and Boggs (1995).

### تشكيل الطبقات وأنظمة التدفق

عند نقل الرواسب في قناة تتشكل مادة الطبقة إلى أشكال أو تشكيلات طبقية متعددة . وربما تصنف هذه الأشكال الطبقية إلى طبقات تحمل بنيات رسوبية كالنيم وأمواج الرمل والكثبان (أو النيم الكبير) والكثبان المضادة هذه بالإضافة إلى رواسب طبقة قاع القناة المكونة من طبقة أرضية الحوض ومنحدر الحوض (أو ما يعرف بطبقة سطح التحات أو أرضية القناة المعرأة) ، (شكل ٤٨) . ويعتمد تفسير قوى الموائع أو السوائل (Hydrodynamic) لتشكيل الطبقة أو التطبيق على مفهوم نظام التدفق . ويتكون نظام تدفق التيار من قسمين أو مستويين وهما: نظام التدفق العالي (Upperflow regime) (وهو الجزء السفلي من التيار والأقرب إلى القاع) ، أو تدفق الجزء المضطرب والسريع من التيار، ونظام التدفق المنخفض (Lower flow regime) (وهو الجزء العلوي من التيار - والأبعد من القاع) أو تدفق الجزء الهادي والبطيء من التيار (شكل ٤٨) . وتكون سرعة نقل الرواسب في الجزء السفلي للتيار أو في نظام التدفق العالي مرتفعة نسبياً وذلك لأن الحبيبات تتحرك تقريباً بدون توقف بدلاً من التقطع

الذي يحدث في الجزء العلوي من التيار والذي يشكل طبقات النيم أو الكثبان. وتكون نسبة الرواسب المنقولة في هذا الجزء كبيرة إذا ما قورنت برواسب الجزء العلوي للتيار أو نظام التدفق المنخفض. كذلك تكون أرضية القاع هنا ذات ميل أو شديدة الانحدار (Steep-gradient) وهذه تتمثل في الأنهار ذات القنوات المتشعبة (Braided rivers) وهي الأقرب إلى سفوح الجبال. وتكون سرعة نقل الرواسب في الجزء العلوي للتيار أو في نظام التدفق المنخفض متدنية ويأخذ التدفق في هذا الجزء طابع الهدوء والسكون ويكون خالياً من أي اضطراب أو إثارة. وتكون نسبة الرواسب المنقولة صغيرة وتأخذ أرضية القاع ميلاً أو انحداراً منخفضاً (Low-gradient) وهو ما تختص به الأنهار ذات القناة المفردة والمتوتية (Meandering rivers).

وتسمح التدفقات الثابتة السرعة والمتساوية الاتزان (Quasi-equilibrium flows) والمستمرة لفترة طويلة بأن تأخذ الطبقة أو الطبقات أماكنها بما يتلاءم مع نوعية أجزاء تدفق التيار وينتج عن هذا تكوين تشكيلات طبقية ذات طابع جماعي، مثل مجموعة طبقات النيم ومجموعة طبقات الكثبان ومجموعة الطبقات المستوية وغيرها. ويظهر تكوين أو تشكيل الطبقة مشاركاً مع كل مجموعة تدفق ويحتفظ بخصائص رسوبية معينة. ولكن يحتمل وجود اتحاد أو تركيب تشكيلات طبقية مختلفة مع بعضها على سبيل المثال، ربما تتشكل علامات النيم فوق ظهر الكثبان (Blatt *et al.*, 1980).

وتتغير مع مضي الوقت تشكيلات الطبقة ولكنها تعود إلى الاحتفاظ بنفس الاختصاص العام عبر مدى أو نسق التدفق وظروف الراسب. ويؤدي التغير المتزايد في قوة التدفق أو في عمق الماء المتدفق أو في حجوم الحبيبات إلى انتقالات مفاجئة نسبياً من نوع واحد من التشكيل الطبقي (مرحلة طبقية أو طور طبقي) إلى آخر. على سبيل المثال تتغير رواسب الرمل الناعم إلى متوسط الحجم وأيضاً مع زيادة سرعة التدفق وبنات العمق، وتحت ظروف نظام التدفق المنخفض فإن تتابع الأحداث بالنسبة لمراحل التشكيلات الطبكية يكون علامات نيم وأمواج رملية وكثبان. وبعد مرحلة الانتقال يبدأ نظام التدفق العالي بطبقات مستوية (Planar or flat beds) وتُتبع بكثبان مضادة ثم برواسب من منحدرات القاع (Chutes) ومنخفضات القاع (Pools) (انظر شكل ٤٨). وتعرف أو تُميز أنظمة تدفق التيار بناء على طبيعة التشكيلات الطبكية وتفاعلاتها مع

سطح الماء الناقل ، فمثلاً يمكن أن يميز نظام تدفق تيار الأنهار من مظهر سطح التدفق حتى في الحالات التي يكون فيها الماء أكثر توحلاً (فوق مشبع بالوحل) حتى تُظهر تشكيل الطبقة بسهولة . كذلك يمكن تمييز الكثبان بالاضطراب الخفيف الذي يسببه سطح الماء والحركات الدائرية أو الملقوفة المرتفعة إلى سطح الطبقة . وبطريقة مشابهة يمكن تمييز التدفق السريع والصفحي المظهر والمختص بنظام التدفق العالي والذي يشكل طبقات مستوية وأسطح متائلة الالتواءات المتموجة والتي تصاحب الكثبان المضادة (Blatt *et al.*, 1980) .

### أولاً: البنيات الرسوبية الأولية (الفيزيائية)

#### Primary (Physical) Sedimentary Structures

لقد بذل كثير من الباحثين الجهد الأكبر في تصنيف البنيات الرسوبية الأولية الفيزيائية وذلك لما لها من أهمية عظمى في معرفة بيئات الترسيب . وقد شملت دراساتهم إيضاحات بالصورة والوصف الدقيق وكذلك تفسيرات أكثر منطقية حتى لا تدع للقياريء فرصة التخمين والارتجال في حسم القرار المتضمن معرفة ظروف البيئة الترسيبية ومدلولاتها . ومن بين هؤلاء الباحثين : Gubler (1964); Pettjohn and Potter (1964); Harms *et al.*, (1982); Collinson and *et al.*, (1966); Conybeare and Crook, (1968); Thompson, (1989) and Boggs (1995) وغيرهم ممن ذكروا في القسم السابق . وقد صنفت البنيات الرسوبية الأولية الفيزيائية إلى ثلاث مجموعات رئيسة (Selley, 1976, 1994) بناءً على أشكالها وأوقات تشكيلها (جدول ٩).

#### ١ - المجموعة الأولى : بنيات قبل الترسيب

وهي التي تشكلت قبل الترسيب (Pre-depositional structures) مشيراً بذلك إلى الطبقات الواقعة مباشرة فوق الطبقة الحاملة لهذه البنيات . وتحدث هذه البنيات بين أسطح الطبقات ولذا يطلق عليها بنيات بين الطبقات (Interbed). بمعنى أنها تكونت أو تشكلت قبل ترسيب الطبقة العلوية (أو التي تغطيها). وتتكون هذه المجموعة من البنيات بشكل شامل من أشكال حت أو تعرية مثل قنوات الأنهار (Channels) والحت - والملء (Scour and fill) والحطوط أو التخبط (Grooves) والأبواق (Flutes) وعلامات

## جدول (٩) . ملخص تصنيف البُنيات الرسوبية الأولية الفيزيائية

مجموعة	أمثلة	أصل النشأة
أ - بُنيات قبل الترسيب (بين الطبقات)	١ - عدم التوافق ٢ - القنوات ٣ - الغرف - و - الملء ٤ - علامات القاع أ - علامات التخطط ب - علامات الأبواق ج - علامات الأداة	بُنيات حت بشكل عام
ب - بُنيات أثناء الترسيب (داخل الطبقات)	١ - التطبيق المصمت ٢ - التطبيق المستو (يشمل بُنيات التمرق) ٣ - التطبيق المترقق (أو الترقق) ٤ - التطبيق المتدرج ٥ - التطبيق المتقاطع ٦ - التطبيق النيمي والترقق المتقاطع	بُنيات بناء بشكل عام
ج - بُنيات بعد الترسيب (بُنيات تشويه داخل وبين الطبقات)	١ - بُنيات طوابيع الثقل ٢ - الدرنات الكاذبة ٣ - التطبيق الملفوف أو المطوي ٤ - الترقق المطوي ٥ - الهوابط والانزلاقات	بُنيات تشويه بشكل عام
د - بُنيات متنوعة	١ - بُنيات الشقوق المختلفة أ - بُنيات شقوق التقلص ب - بُنيات شقوق طرد الماء ٢ - بُنيات آثار المطر ٣ - بُنية قواطع الرمل ٤ - بُنية الملح الكاذبة ٥ - البُنيات الرسوبية الحيوية	٥

الأداة (Tool marks) . وأحياناً يشار إليها جميعاً بعلامات القاع (Sole marks) أو بِنِيَات القاع . لذا من حيث النشأة فهي بِنِيَات حَت (Erosional bed forms).

## ٢ - المجموعة الثانية : بِنِيَات أثناء الترسيب

تتشكل بِنِيَات هذه المجموعة أثناء الترسيب (Syndepositional structures). وتتكون هذه البِنِيَات من أشكال طبقية ترسيبية مثل التطبق المستو (Flat-bedding) والتطبق المتقاطع (Cross-bedding) ، والتطبق المصمت (Massive bedding) والتطبق المدرج (Graded bedding) ، والتطبق النيمي (Ripple-bedding) والترقق (Lamination) والترقق المتقاطع (Cross-lamination) . ويشار إليها جميعاً بمعالم الترسيب (Depositional features) لأنها تتكون داخل الطبقة (Intrabed). لذا من حيث النشأة فهي بِنِيَات بناء (Structural bed forms).

## ٣ - المجموعة الثالثة : بِنِيَات بعد الترسيب

تتشكل بِنِيَات هذه المجموعة بعد الترسيب (Post-depositional structures) . وتعتبر هذه البِنِيَات بِنِيَات تشويه حيث تسبب اضطراباً وتمزقاً في كل من بِنِيَات الحَت (أو بِنِيَات قبل الترسيب) وبِنِيَات الترسيب (أو بِنِيَات أثناء الترسيب) والمتشكلة بين وداخل الطبقات على التوالي . وتشمل هذه البِنِيَات الهوابط (Slumps) والانزلاقات (Slides) والتصفح الملفوف أو المطوي (Convolute lamination) والتطبق المطوي أو الملفوف (Convolute bedding) ومجموعة الواجهة المضطجعة (Recumbent foresets) ، وبِنِيَات الثقل أو الحمل (Load structures) . لذا من حيث النشأة فهي بِنِيَات تشويه (Deformational bed forms) .

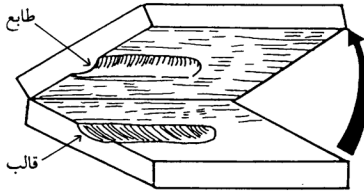
ويتضح من هذا التصنيف المبدئي أن هناك مجموعة أخرى من البِنِيَات والتي لا تنسجم ولا يمكن إدخالها ضمن المجموعات الثلاث السابقة وذلك لاختلاف أنواعها و لاختلاف نشأة كل نوع منها أيضاً . ولذا يطلق على هذه المجموعة ، مجموعة البِنِيَات المتنوعة (Miscellaneous structures) مشيرين بذلك إلى الاختلاف في أصل نشأة كل نوع من أنواعها . وسوف نتطرق لهذه البِنِيَات بشكل واسع فيما بعد .

والآن سنعرض بالتفصيل أشكال ونشأة الأنواع المختلفة من البُنيات الرسوبية الأولية الفيزيائية.

#### ( أ ) المجموعة الأولى : بُنيات قبل الترسيب Pre-depositional structures

تنشأ بُنيات قبل الترسيب نتيجة عمليات الحت التي تحدث في طبقة ما، قبل ترسيب الطبقة الواقعة فوق طبقة البنية ومن ثم يكون تواجد هذه البُنيات بين أسطح الطبقات.

فإذا حدث أن فصلنا الطبقتين عن بعضهما فإننا نجد أن الطبقة العلوية تحتوي على طابع (Cast) البنية بينما الطبقة السفلية تكون حاملة ل قالب (Mold) البنية، كما هو موضح في (شكل ٤٩).



شكل (٤٩). تسمية وتكوين الطابع والقالب من البُنيات المشكّلة بين أوجه الطبقة.

(عن : Selley, 1976, 1994)

#### ١ - عدم التوافق Unconformity

تشكل أسطح عدم التوافق بُنيات حت أو عدم ترسيب تفصل بين مجموعتين من الطبقات. وتحدث عملية الحت (أو التعرية) والتآكل في أسطح مجموعة الطبقات الأقدم عمراً. وتأخذ عملية الحت مكانها قبل ترسيب مجموعة الطبقات الأحدث عمراً ومن ثم تتواجد بنية أسطح عدم التوافق بين هاتين المجموعتين من الطبقات مما يجعلها تتبع من حيث التصنيف بُنيات قبل الترسيب. وهناك أنواع عديدة من بنية أسطح عدم التوافق،

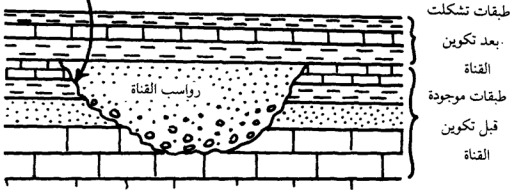


تُحدَّث عنها بالتفصيل الحمدان (١٣٩٥هـ) ولا داعي هنا للتكرار. وتقع أهمية أسطح عدم التوافق في كونها مصاحبة لمكامن الهيدروكربونات (النفط والغاز الطبيعي) التي تتواجد مجاورة لهذه الأسطح.

## ٢ - القنوات Channels

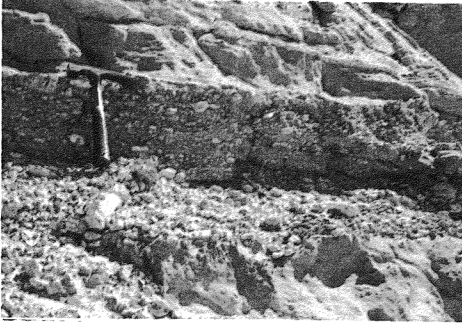
تتبع بنية القنوات النهرية لمجموعة بنيات قبل الترسيب وذلك لكونها تتشكل نتيجة عملية الحت التي يحدثها النهر في الطبقات التي يقطعها وقبل ترسيب الطبقات المغطاة لها كما يظهر من (شكلي ٥٠، ٥١) أو المائلة عليها.

سطح تحات القناة



شكل (٥٠). تشكيل الطبقات الرسوبية المكتنفة لبنية القناة.

وتعتبر بنية القنوات أكبر البنيات حجماً قبل الترسيب، حيث يصل مقياس عرضها عشرات الأمتار وربما عدة كيلومترات وقد يصل عمقها مئات الأمتار وبطبيعة الحال تأخذ أطوالها أطوال الأنهار المشكلة لها. وتتشكل القنوات تحت ظروف بيئية مختلفة، فكما تتكون فوق سطح الأرض عبر السهول، فإنها أيضاً تتشكل تحت سطح البحر قاطعة الحواف القارية. وتبدأ تشكيل القناة نتيجة عملية الحت الموضعية والتي تحدث على امتداد مجرى تدفق السائب وبمساعدة عملية التآكل والبري التي يحدثها حمل الطبقة الزاحفة. وبمجرد تكوين القناة تبدأ عوامل الحت بدورها في توسيع رقعة القناة عن طريق تآكل الطبقات السفلية لضفتي القناة ومن ثم سقوط الطبقات المعلقة في أعلى ضفتي القناة.



شكل (٥١). راهص ملء القناة في حجر رمل البياض خشم البويبيات - شمال غرب مدينة الرياض. (عن : Moshrif, 1976)

ويشكل وجود القنوات أهمية اقتصادية عظيمة إذ أنها في معظم الأحيان تكون مناطق شبه مؤكدة لمستودعات الهيدروكربونات (النفط والغاز الطبيعي Hydrocarbon reservoir) وخزانات المياه (Aquifers). كذلك يمكن وجود أجسام الخامات المعدنية أو طبقات الفحم الحجري مصاحبة لمناطق القنوات، Shannon and Dahl (1971), Busch, (1971), Martin (1963), Selley (1976, 1994).

وتعطي القناة الإحساس بوجود التيار القديم في المنطقة ولكن يمكن معرفة اتجاه التيار من الرواسب التي تملأ القناة حيث تحتوي على تقاطعات طبقية موجهة تحت تأثير التيار المرسب لها. ويأخذ اتجاهات التقاطعات الطبقيّة حيث يمكن تعيين اتجاه التيار ومن ثم تحديد مصدر هذه الرواسب.

وأحسن الدراسات التي أجريت على القنوات، تلك التي تمت على أنظمة القنوات القديمة (Bennacef et al., 1971; Selley, 1972 and Al-Laboun 1986)، وبالأخص تلك العناية التي أعطيت لأصل نشأة القناة المتعرجة والعلاقات الرياضية

بين التعرج (الالتواء) وعرض القناة وعمقها وتدرج ميلها ومقياس الصرف فيها (Selley, 1994; Rust, 1978 and Schumm, 1969).

### ٣ - الغرف والملء Scour and fill

وهي بنّيات تتشكل نتيجة عملية الحت والتعرية لسطح الطبقة ثم تملأ مناطق التآكل عند ترسيب طبقة الغطاء (الطبقة العلوية) أي أنها تحدث قبل ترسيب الطبقة الملقاة فوقها. ومن ثم تتواجد بين هاتين الطبقتين. وهذه البنّيات بمثابة قنوات صغيرة المقاس، أي أنّ أبعادها تقاس بالديسمتر بدلاً من الأمتار التي تستخدم في قياس أبعاد القنوات العادية. وبالمثل فإن هذه البنّيات تتشكل تحت ظروف بيئية متنوعة. وليس لهذه البنّيات أية قيمة اقتصادية كالقنوات ولكنها تعطي الإحساس بتواجد تأثير التيار في هذه الرواسب.

### ٤ - بنّيات علامات القاع Sole marks

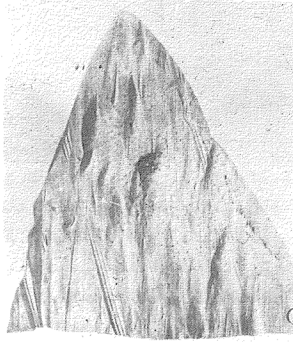
تتكون علامات القاع (Sole marks) من تشكيلات بنائية رسومية تتشكل على مستوى أسطح الطبقات السفلية لبعض أحجار الرمل وتكون أقل انتشاراً في بعض طبقات أحجار الجير الرائدة فوق طبقات الطين الصفحي. وتظهر هذه التشكيلات بصورة بنّيات نتوءية تكونت نتيجة ملء منخفضات في سطح وحلي ثم ترسب عليه الرمل. وتنشأ علامات القاع من نشاط التيار ومن التشوهات التي يحدثها حمل التيار و نتيجة نشاط الأحياء الموجودة في المنطقة أيضاً (Pettijohn, 1975). وقد عرفت بنّيات القاع منذ سنوات عديدة (Hall, 1843) ولكن لم يتضح أصل نشأتها إلا حديثاً.

وتشمل بنّيات القاع كل من علامات التخطيط (Groove marks) وعلامات الأبواق (Flute marks) وعلامات الأداة (Tool marks).

### أ - علامات التخطيط Groove marks

وهي عبارة عن قالب تخطيطات حث مستقيمة البنية وطويلة ورفيعة وتكون موازية لاتجاه التيار. وتشكلت هذه التخطيطات نتيجة قطع طبقة القاع الوحلية (وهي طرية) بأداة يحملها التيار (مثل قطعة خشبية أو نباتية أو قطعة عظم من بعض هياكل السمك أو صدفة أخفورة أو قطع حصوية أو ما شابه ذلك) بالقرب من القاع. وتعمل

هذه الأداة عند ملاستها للطبقة الوحلية على حفرها بحفر مستقيمة موازية للتيار، ثم بعدئذ تُمَلَأُ خطوط هذه الحفر بالرمل أو برواسب الطبقة الرملية التي تقع فوق هذه الطبقة الوحلية. وعند فصل طبقة الرمل من الطبقة الوحلية تظهر طوابع التخطط (Groove casts) على السطح السفلي للطبقة الرملية (شكل ٥٢). ولقد كان (Shrock, 1948a) أول من أطلق هذا المصطلح على هذه البُنيات.



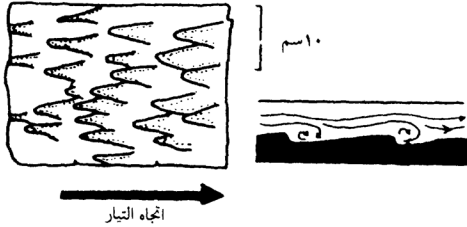
شكل (٥٢). بُنية طابع الأبواق والتخطط. (عن: Pettijohn and Potter, 1964)

ويصل طول بُنيات تخطيطات الحث إلى حوالي متر، ولكن لا تزيد أبعاد العمق والعرض عن مليمترات. وتدل استقامة هذه التخطيطات على أن التيار السائد كان عبارة عن تدفق صفائحي (Laminar flow) هادئ وليس تدفق مضطرب (Turbulent flow). كما تشير طبيعة استمرارية الخطوط إلى أن الأدوات المحمولة في التيار كانت تنقل على ارتفاع ثابت من رواسب القاع وأيضاً موجهة بثبات في اتجاه أسفل التيار أيضاً ولم تقفز أو تلف حول نفسها أثناء النقل (Selley, 1976, 1994). ويندر

تواجد علامات التخطط مصاحبة مع علامات الأبواق (Flute marks) لأنها تتشكل بشكل جيد في مناطق أسفل التيار. بينما تتواجد علامات الأبواق في مناطق أعلى التيار. وتتكون علامات التخطط في بيئات متنوعة إلا أنها من المميزات الرئيسية لرواسب العكر الرملية أو صخور العكر (Turbidites).

#### ب - علامات الأبواق Flute marks

وهي عبارة عن قالب لِحُفَرٍ مخروطية الشكل، ويكون رأس المخروط موجه في اتجاه أعلى التيار، وتكون فوهة المخروط موجهة في اتجاه أسفل التيار (شكل ٥٣). وتشبه بنية علامات الأبواق شكل طبع مؤخرة الكعب عندما يغمس في أرضية قاع



شكل (٥٣). تكوين علامات الأبواق وتحديد اتجاه مجرى التيار. لاحظ كيفية حركة التيار. (عن: Selley, 1976)

وحلي. وتختلف أطوال علامات الأبواق بين أقل من ١ سم إلى ١ م، ولكن غالباً ما تكون بين ٥ - ٨ سم. ويتراوح عمقها بين ١ م إلى ٣٠ سم (Potter and Pettijohn, 1977). وتنشأ علامات الأبواق من حث سطح طبقة وحلية أو طينية طرية بواسطة تيارات محلية حلزونية (Vortices) أو دائرية الحركة (دوامة ماء أو هواء) وتكون محاورها أفقية أو مائلة إلى رأسية (Von Engelhardt et al., 1974) وتزداد الحركة الحلزونية بزيادة سرعة التيار. ويزداد حجم بنية قالب البوق مع زيادة حجم حبيبات الرمل المترسب فيها. وتظهر بنيات طوابع الأبواق (Flute casts) على السطح السفلي

للطبقة الرملية المترسبة فوق الطبقة الوحلية القاعية . وربما تختلف أحجام وأشكال قوالب وطوايع الأبواق من طبقة إلى طبقة أخرى ولكنها تكون متشابهة في الطبقة الواحدة .

وقد شرح (Selley, 1976, 1994) بناءً على ما كتبه العالم أَلْن في هذا المضممار كيفية حدوث أو تكوين علامات الأبواق (Allen 1968b, 1969, 1970b, 1971b) ، فالتجارب التي أجراها العالم أَلْن أثبتت ما يلي:

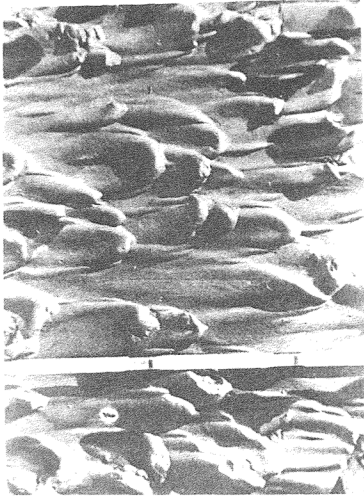
تشكل طبقة سطحها من مادة الجبس تعمل حفر صغيرة وتوزع بانتظام على سطح هذه الطبقة . وتوضع الطبقة داخل حوض وندع تيار من الماء يمر عليها . نلاحظ أن الحفر تصبح متطاولة في اتجاه أسفل التيار . وتُظْهِر استطالة الحُفَرُ كيفية تدفق التيار مباشرة عند سطح الطبقة . يصطدم الماء مع سطح الطبقة ثم يتبعثر (ينتشر) من وسط اتجاه التدفق . ويأخذ هذا التدفق عند هذه النقاط حركات دائرية تلف حول نفسها في اتجاه أسفل الحُفَرَة إلى أعلاها ثم تنبسط في اتجاه أسفل التيار (الأشكال ٥٣ ، ٥٤ ، ٥٥) . وتوجد علامات البوق في بيئات ترسيبية مختلفة إلا أنها أيضاً من مميزات رواسب العكر .

#### جـ - علامات الأداة Tool marks

تشكل بِنِيَات علامات الأداة نتيجة نقل التيار لأنواع مختلفة من القطع الصلبة مثل حصى الرمل الصغيرة والصدف وقطع الوحل وقطع خشبية أو نباتية صغيرة وبقايا هياكل السمك وما شابه ذلك . وتنقل هذه القطع عبر طبقة القاع الوحلية إما بالتدحرج أو بالسحب المتقطع (القفز) فتحدث حفر في سطح الطبقة الوحلية الطرية . لذا تعتبر علامات الأداة بِنِيَات حث تحدث في قيعان طبقات الوحل الطرية مثلها مثل علامات التخطيطات وعلامات الأبواق . إلا أن بِنِيَات علامات الأداة تكون غير منتظمة الشكل سواء في المستوى الأفقي أو في القطاع الرأسي ولكنها غالباً ما تكون موجهة في اتجاه مواز للتيار .

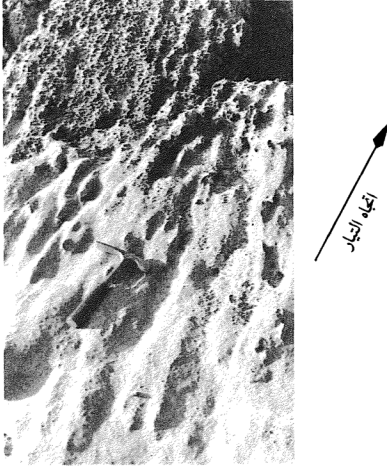
توجد جميع علامات القاع كَبِنِيَات رسوبية تحدث في بيئات متنوعة إلا أنها أكثر تمييزاً لطبقات صخور رواسب العكر . وكلها عبارة عن بِنِيَات حث تحدث على

## اتجاه التيار



شكل (٥٤). بنية طابع الأبواق. (عن : Blatt et al., 1980)

سطح طبقة القاع الوحلية وهي رطبة، ثم تملأ برواسب الطبقة الرملية التي تترسب فوقها. وعند فصل الطبقتين عن بعضهما نجد طابع هذه البنيات مجسماً على السطح السفلي للطبقة الرملية. وجميع هذه البنيات تعطي الإحساس بالتيار القديم ولكن يمكن استنتاج اتجاه التيار القديم من علامات البوق فقط. ومن ثم معرفة مصدر هذه الرواسب.



شكل (٥٥). بُنية طابع الأبواق على سطح طبقة من متكون رمل الوسيع بالقرب من خشوم الخناصر شمال غرب مدينة الرياض. (تصوير: مشرف).

ولقد تمت مراجعة هذا الموضوع ونوقشت تفاصيله في أبحاث كل من:

Potter and Pettijohn, (1977); Dzulinski and Walton, (1965); Dzulinski and Sanders, (1962); Collinson and Thompson, (1989) and Boggs, (1995).

#### (ب) المجموعة الثانية: بُنيات أثناء الترسيب Syndepositional structures

تشكل هذه البُنِيَات أثناء ترسيب الطبقات الرسوبية ولذا فهي بُنِيَات بناء وليست بُنِيَات حت، كما لاحظنا من بُنِيَات قبل الترسيب. وتتواجد هذه البُنِيَات داخل الطبقات الرسوبية. ويطلق عليها بُنِيَات بين الطبقات (Interbed structures) وهذا



يخالف بُنَيَات قبل الترسيب المتشكلة بين الطبقات والتي يطلق عليها بُنَيَات داخل الطبقات (Intrabed structures). وتشمل بُنَيَات أثناء الترسيب على كل من التطبيق المصمت والتطبيق المستوي (المسطح) والتطبيق المتقاطع... إلخ.

#### ١ - التطبيق المصمت Massive bedding

يتكون التطبيق المصمت من طبقات أو وحدات ترسيب عديمة البُنَيَات الرسوبية. وكما أوضح (Selley, 1976, 1982, 1994) أن هناك عدة عوامل تؤدي إلى وجود صخور الطبقة بشكل مصمت وبمعنى آخر، أن هذه العوامل تساعد على عدم تشكيل أي نوع من البُنَيَات الرسوبية في صخور وحدة ترسيبية ما. ومن بين هذه العوامل:

أ - عملية النشأة المابعدية (Diagenesis) أو التغير، والتي تتعرض لها صخور الطبقة أثناء أو بعد الترسيب حيث تسبب في انعدام رؤية بُنَيَات رسوبية في هذه الطبقة، ومن ثم ظهور صخورها مصمتة أي عديمة البُنَيَات الرسوبية. وتوجد هذه الظاهرة بكثرة في معظم أحجار الجير والدلوميت وخاصة المعاد تبلر حبيباتها.

ب - يساعد نشاط الكائنات الحية الموجودة في بيئة الترسيب أثناء فترة الترسيب والتي تقوم بعمليات الحفر (Burrowing) الكثيفة على هدم واضمحلال أي بُنية رسوبية تنشأ في طبقة ما.

ج - طبيعة بعض الرواسب لا تساعد على تشكيل أي بُنية رسوبية فيها عندما ترسب، ومثال ذلك الرواسب ذات الحبيبات الناعمة والتي ترسب في بيئات منخفضة الطاقة أو الهادئة كبعض أحجار الطين (Claystones) والمرلات (Marls) والطباشير وأحجار وحل الجير الدقيقة (Calcilutites). كذلك الصخور المتكونة في أماكنها (in Situ) مثل صخر المرجان (Reef rock) المعروف بصخر الكائنات الحية (Biolithite) يكون مصمتاً أو عديم البُنَيَة الرسوبية.

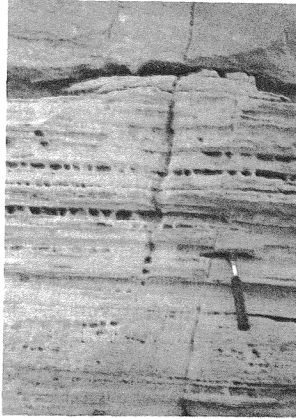
ويندر وجود أحجار رمل ذات طبقات مصمتة أو عديمة البُنَيَات الرسوبية ولكن تظهر أحياناً طبقات أحجار الرمل ذات التصنيف الجيد جداً بدون بُنية رسوبية وذلك لعدم إمكانية البُنَيَات الرسوبية من التشكل بسبب عدم ظهور اختلافات في النسيج الحبيبي في هذه الطبقة. وقد أشار العالم (Hamblin, 1962) إلى أنه حتى لو بدت

بعض أحجار الرمل عديمة البنية الرسوبية، عندما نفحصها بالعين المجردة، فإنها في الحقيقة تظهر بعض البنيات الرسوبية مثل التطبق أو التطبق المتقاطع تحت الأشعة السينية.

وأضاف (Selley, 1976, 1994) إن عدم توفر البنيات الرسوبية في طبقات الرمل ربما تخص رواسب كل من تدفقات الوحل وتدفقات الحبيبات والوحدة الرسوبية السفلية من رواسب صخور العكر (Turbidites).

## ٢ - التطبق المستوي Flat-bedding

يتشكل التطبق المستوي أو التطبق المسطح الأفقي (Horizontal bedding)، (شكل ٥٦) في بيئات مختلفة ويقاس سمك طبقاته بالمليمتر. وهو من أبسط أنواع بنيات أثناء الترسيب حيث تكون فيه الطبقات متوازية وموازية لسطح التطبق الرئيس



شكل (٥٦). تطبق أفقي (أو مستوي) مع تطبق مترقق في حجر رمل الوجيد - منطقة الختام بالقرب من ظهران الجنوب في إقليم عسير. (تصوير: مشرف).

وترسب بشكل أفقي . ويمكن للتطبيق الأفقي أن يتشكل في مياه ساكنة أو قليلة الحركة ولكن يمكن أيضا أن يتكون التطبيق المستوي في بيئات الأنهار السريعة التدفق أو الشديدة الاضطرابات .

ويتدرج التطبيق المستوي من تطبيق تحت أفقي إلى تطبيق متقاطع ، وقد يحدث في قنوات الأنهار أو البيئات الشاطئية أو في مناطق مقدمة الدلتا . ويظهر التطبيق المستوي في رواسب ذات حجم رملي سواء كانت رواسب فتاتية رملية أو رواسب جيرية . ويعزى هذا التطبيق إلى ترسيب من تشكيل طبقة مستوية . ويحدث هذا تحت ظروف تدفق الطلقة أو عند مرحلة الانتقال بين مستوى نظامي التدفق (والذي شرح في الفصل الرابع) أي عندما يصل عدد فرويد للعدد واحد (انظر شكل ٤٠) .

ونذكر هنا بعض أمثلة البيئات المختلفة التي يتشكل فيها التطبيق المستوي أو

الأفقي :

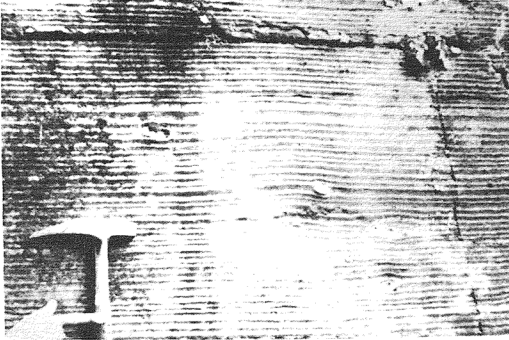
( أ ) يتشكل التطبيق الأفقي في الرمل ، في الأنهار وفي المناطق الشاطئية (أو في مناطق انكسار الأمواج) وفي المناطق البحرية القليلة العمق (الضحلة) سواء في المناطق التي تحتفظ الأمواج بالرمال في الماء (Reineck, 1963) أو في مستوى نظام التدفق العالي عامة (Upper flow regime) والذي ينقل فيه الرمل بالقفز (Simon *et al.* 1965; Harms and Fahnestock, 1965) .

(ب) يوجد التطبيق المستوي في رواسب تيارات العكر المعروفة برواسب أو صخور العكر (رواسب أفلش Flysch) حيث تكون الرواسب فيها متدرجة من طبقات خشنة في القاع إلى طبقات ناعمة في أعلى القطاع (Fining upward) .

(ج) يحدث التطبيق الأفقي أو المستوي في الرواسب المتدرجة أيضاً والتي تنعدم فيها مادة راسب الأرضية (Matrix) ، أي يبدأ التدرج من راسب خشن الحبيبات فقط ، أو لا يوجد به مادة راسب الأرضية الناعمة (Fine matrix) عند القاعدة ثم يتدرج إلى راسب ناعم أو دقيق الحبيبات عند أعلى القطاع . وتعزى نشأة هذه الرواسب إلى بيئات مختلفة ، ومثال ذلك رواهص الأنهار والتي تحدث عنها كل من (Allen 1962 and Klein 1964, 1965) .

( د ) يظهر التطبيق الأفقي عندما يوجد تبادل ترسيبي بين طبقات من الطين والغرين .

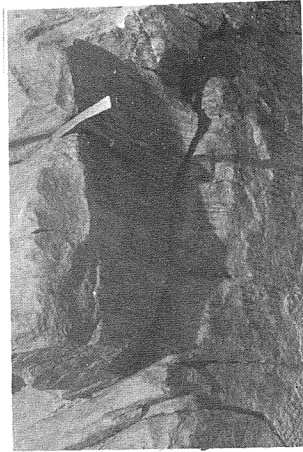
- (هـ) تعطي رقائق الطين الحولي (Varved clays) انطباع بنيات التطبق المستوي أو الترقق الأفقي (Horizontal lamination) ، (شكلا ٥٧ ، ٥٨) .
- (و) كما تُشكّل تبادل طبقات أحجار الجير مع طبقات أحجار الرمل (Marlstones) بنيات التطبق المستوي .
- (ز) تتشكل بنيات التطبق الأفقي أيضا (Horizontal bedding) بين الرواسب الكيميائية النشأة مثل تبادل طبقات الدولوميت مع طبقات الأنهيدريت .



شكل (٥٧) . رقائق الطين الحولي . (عن : Pettijohn, 1975)

ونستنتج من هذا، أن أحجام حبيبات رواسب التطبق الأفقي تتراوح من حبيبات الطين والغرين إلى حبيبات الرمل والزلط (Von Engelhardt *et al.*, 1974) كما أشار (Selley, 1976, 1994) أن حبيبات الرمل المترسبة تحت هذه الظروف البيئية تُرص بطريقة تكون فيها المحاور الطويلة للحبيبات موازية لاتجاه تدفق التيار.

وفي معظم الأحيان يصاحب بنيات التطبق الأفقي أو المستوي بنيات أخرى تظهر على أسطح مستويات التطبق ويطلق عليها تخطيط أو خطوط التيار (Current lineation)



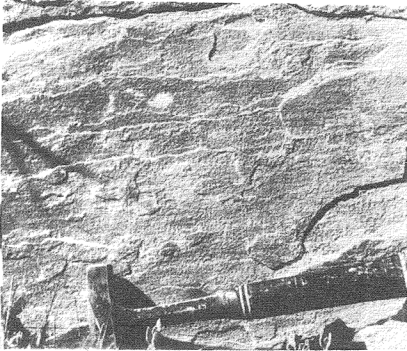
شكل (٥٨). ترقق أفقي في حجر رمل البياض - جبل المياه منطقة الدغم بالقرب من مدينة الرياض. (عن : Moshrif and Kelling, 1984; Moshrif, 1976)

(Stockes, 1947) أو تسمى أحياناً بالتمزق الخطي السطحي (Parting lineation) لأنها تحدث على أسطح الانقسام أو التشقق (Cleavage), (Crowell, 1955) (انظر شكلاً ٥٩، ٦٠).

وتظهر هذه الحبيبات عندما تفصل طبقات أحجار الرمل عن بعضها (Sorby 1865, Potter and Pettijohn, 1977) وتكون واضحة على امتداد أسطح التطبيق الأفقي لطبقات أحجار الرمل المعتدلة التماسك. ولا تظهر هذه البنيات في الرمل عديم التماسك (أو المفروط) ولا في الرواسب منخفضة التحول ويكون مثلها مثل بنيات علامات القاع (Sole marks) التي شُرحت سابقاً. وتعطي بنيات تخطط التيار،



شكل (٥٩). شكل بنية التمزق السطحي لطبقة رسوبية. (عن : Selley, 1976)



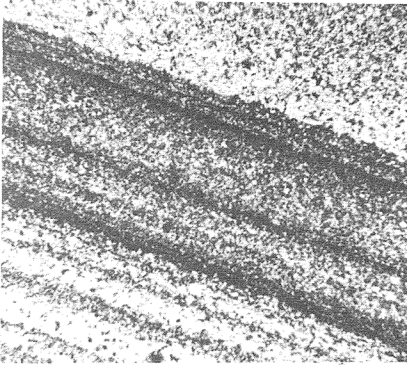
شكل (٦٠). بنية التمزق الخطي في حجر الرمل. (عن : Pettijohn and Potter, 1964)

الإحساس باتجاه التيار لأنها تكون موازية له. وقد أوضح كل من (McBride and Yeakel 1963, Allen 1964a-b, 1968a) أن احتمال تكوين بنيات تخطط التيار يرجع إلى استطالة توجيه الحبيبات. وهي من مميزات مستوى نظام التدفق العالي (بالتيارات ذات السرعة العالية) والتي يُشيع فيه نقل الحبيبات بالقفز ولكن لا تتكون فيه علامات النيم.

وأحياناً تتكون بُنَيَات تخطيط التيار بسبب توفر حبيبات الميكا في الاتجاه المتطاوِل (Grumbt, 1966) . وأشار (Conybeare and Crook, 1968) إلى أن هناك نوع آخر من بُنَيَات تخطيط التيار يسمى «التخطيط النهري» . وهو عبادة عن منخفضات ومرتفعات ضيقة تتشكل على أسطح الطبقات العلوية . وتكون قطاعاتها العرضية مستديرة ومحاورها الطويلة في اتجاه التيار . اقرأ أيضاً: Collinson and Thompson, (1989) and Boggs, (1995) .

### ٣ - التطبّق المترقّق Laminated bedding

يُعرّف التطبّق المترقّق (الترقّق = Lamination ، انظر الترقّق الأفقي شكل ٥٨ ، كذلك التطبّق الأفقي شكل ٥٦) بتتابع الطبقات الرقيقة والتي يقل فيها سمك الرقيقة عن واحد سنتيمتر، وفي معظم الأحيان يكون سمك الرقيقة بين ١ - ٢ ملليمتر. وغالباً ما يكون الترقّق موازياً لأسطح الطبقة المحيطة به إلا أنه في بعض الأحيان يكون الترقّق مائلاً على أسطح الطبقة المحيطة . وقد تصل زاوية ميل الترقّق مع الطبقة المحيطة إلى ١٠ درجات إلا أنه إذا تراوحت زاوية ميل الترقّق بين ١٠ - ٣٥ درجة فإنه يطلق عليه «التطبّق المتقاطع» (Pettijohn, 1975) وهذا يختص بطبقات الرمل . ويحدث الترقّق في الرواسب الناعمة الحبيبات مثل أحجار الغرين والطين الصفيحي ، ويظهر الترقّق (التصفّح) كميزة بارزة في اختلاف المادة المترسبة من طبقة إلى طبقة أخرى ، ويكون هذا الاختلاف إما في حجم الحبيبات أو في التكوين المعدني . وقد يكون الترقّق مستمر ومتقطع وغير واضح . وقد يكون تبادل رقائق الترقّق بين جسيمات ناعمة وخشنة مثل الغرين والرمل الناعم والطين (شكل ٦١) . ويأخذ هذا الترقّق خاصية التدرج في الحبيبات أي أن الحبيبات الخشنة عند قاعدة الرقيقة والحبيبات الناعمة عند أعلى الرقيقة ، أو تأخذ خاصية التدرج المعكوس وهو عكس التدرج الطبيعي للحبيبات ، أو يكون التبادل بين رقائق غرينية قائمة اللون وأخرى فاتحة (شكل ٦٢) وهذا ناتج من اختلاف في محتويات المواد العضوية ، وهي التي تعطي اللون القاتم . ويطلق على هذا النوع من الترقّق برفائق الوحل الجليدي (Glacial varves) لأنه يحدث بسبب الإمداد السنوي أو الموسمي لراسب البحيرات الجليدية . وقد يكون التبادل بين رقائق جبر الكلسيت ورفائق الغرين . أو قد يكون تبادل الرقائق بين رقائق غنية بالمعادن الثقيلة

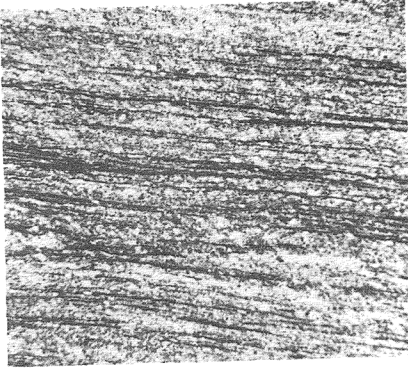


شكل (٦١). بنية الترقق في حجر الطين وتوضح فيها رقائق الغرين متداخلة مع طبقات فتاتات ناعمة من الكوارتز والفلسبار. (عن: Pettijohn, 1975)

وأخرى لا تحتوي على تلك الكمية من المعادن نفسها. اقرأ أيضاً: Selley, (1976, (1994); Collinson and Thompson, (1989) and Boggs, (1995).

وشرح (Blatt *et al.*, 1980) أصل نشأة الترقق موضحاً أنه ربما تتشكل الرقائق (Laminae) في الوحل نتيجة التغيرات الدورية (أو الموسمية) التي تحدث في ظروف الترسيب الطبيعية أو الكيميائية. ويعتمد هذا النوع من الترقق في تكوينه على خصائص بيئية معينة، فمثلاً في كثير من المناطق تهدم الحيوانات الحافرة أي ترقق يشكل نتيجة عمليات أخرى، ويطلق على هذه الظاهرة «اضطرابات الأحياء» (Bioturbation) وتعني إعادة ترسيب الراسب بالأحياء (نتيجة نشاط الأحياء في بيئة الترسيب). فقد يتشكل الترقق أو الرقائق في البيئات البحرية القليلة العمق إما بسبب التذبذبات الموسمية في إمداد الراسب أو نتيجة التقلبات (التحريكات) الدورية في رواسب القاع بواسطة نشاط الأمواج. ويظهر الوحل المترسب في مياه البحيرات العذبة، ترقق جيد





شكل (٦٢). بنية الترقق في حجر الطين الصفحي. (عن : Pettijohn, 1975)

لقلة حدوث تكتل راسب الطين وأيضا لقلة تواجد الحيوانات الحافرة في هذه البيئة الترسيبية إذا ما قورنت ببيئات ترسيبية أخرى.

وقد تتشكل بنيات الترقق في رواسب الوحل والرمل المترسب في المناطق البحرية الواقعة تحت مسطحات المد والجزر، وقد فسر (McCave, 1970) أن ترقق الوحل في هذه المناطق يحدث نتيجة تراكم الطين ببطء عبر عدة دورات مد وجزر. وشرح (Reineck and Singh, 1973) أن ترقق الرمل في هذه المناطق كانت نتيجة العوصف السائدة في المنطقة.

وأضاف (Blatt *et al.* 1980) أن ترقق الوحل يحدث ببطء وتحت ظروف بيئية هادئة. أما ترقق الرمل فيحدث بسرعة وتحت ظروف بيئية أكثر نشاطا واضطرابا. وتشمل المناطق التي يحدث فيها ترقق الرمل، مناطق تقدم وارتداد الأمواج على الشواطئ ومناطق زحف الراسب بتدفق التيارات الثابتة والمنظمة مثل مناطق مستوى

نظام التدفق العالي وظروف الطبقات المستوية (وقد سبقت مناقشة وشرح هذا الجزء). كذلك يحدث ترقق الرمل من انهياره عبر أوجه الكثبان والنيم الشديدة الانحدار (Leefaces). وقد يحدث ترقق الرمل نتيجة هجرة علامات النيم أو هجرة الكثبان المضادة في اتجاه أعلى التيار أو نتيجة استقرار أو ترسب الراسب بعد انكسار الأمواج المصاحبة للكثبان المضادة. وتنتج بعض أنواع الترقق من تراكم رواسب أسطح الحت، والمكونة من طبقة راحص ضئيل السمك ويطلق عليها «الراسب المتخلف أو المتبقي» (Lag deposit)، وتكون مصاحبة لعمليات الحت أو التعرية والتي تزيح الرواسب التي يسهل ازاحتها (مثل الرواسب الناعمة). وغالبًا ما تكون هذه الطبقة الخشنة المتبقية على سطح الحت غنية بالمعادن الثقيلة. كما يُظهر الترقق المتشكل نتيجة نشاط الأمواج المتقدمة والمتردة في الشواطئ، تركيز قوي في المعادن الثقيلة وانعكاسًا في تدرج الحبيبات أيضًا.

وقد لخص (Pettijohn, 1975) أسباب حدوث الترقق بأنها اختلافات في معدل الإمداد أو الترسيب لمواد مختلفة. ويرجع السبب في هذه الاختلافات لعدة عوامل منها:

(أ) التغيير المفاجيء في التيار المرسب.

(ب) أسباب مناخية (خاصة التغيرات الدورية المتعلقة بالنسق أو الانتظام السنوي).

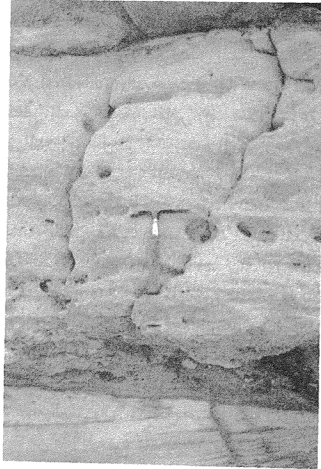
(ج) العواصف أو الفياضانات الدورية.

ويتضح مما سبق شرحه عن الترقق أن التمييز والاحتفاظ ببنيات الترقق في بعض الطبقات ليس من الضروري أن يكون مقياسًا مؤكدًا لهدوء بيئة الترسيب التي ترسبت فيها الرواسب المترققة. لأنه كما عرفنا أن بعض هذه البنيات تحدث تحت ظروف بيئة هادئة وبعضها تحدث في بيئات أكثر اضطرابًا. وقد يتسبب نشاط الحيوانات الحفורה أو حتى بعض التيارات القاعية البسيطة في هدم أو فقسدان بنيات الترقق السابقة التكوين. . . ولكن شيئًا واحدًا يجب أن نتذكره وهو أن الترقق غالبًا يسجل الترسيب تحت قاعدة الأمواج.

#### ٤ - التطبق المتدرج Graded bedding

يستخدم مصطلح التطبق المتدرج عند الإشارة إلى طبقات أو طبقة تكون فيها

الرواسب متدرجة أي أن أحجام الحبيبات في هذه الطبقة تتغير طبقاً لمنحدر نظامي الترسيب في الاتجاه الرأسي أو في الاتجاه العرضي أو الجانبي . وهناك نوعان من التدرج : ( أ ) . التدرج الطبيعي ، والذي يشير إلى رواسب الطبقة عندما تكون متدرجة من أحجام حبيبات كبيرة أو خشنة في أسفل الطبقة ثم تقل أحجام الحبيبات بانتظام حتى تصبح دقيقة أو ناعمة في أعلى الطبقة . ويعرف بنظام يطلق عليه «أنعم في الاتجاه العلوي» (Finer upward) ، (شكل ٦٣) .



شكل (٦٣) . بنية التطبق المتدرج في طبقة رمل الوجيد - منطقة الختام بالقرب من ظهران الجنوب في إقليم عسير . (تصوير: مشرف) .

(ب) التدرج المعكوس، ويكون عكس وضع التدرج الطبيعي أي أن الحبيبات الناعمة تتواجد في أسفل الطبقة، والحبيبات الخشنة في أعلى الطبقة، ويطلق عليه «أخشن في الاتجاه العلوي» (Coarser upward)، (شكل ٤٢ ج).

وقد تظهر محتويات الطبقة (Bed) المتدرجة الحبيبات داخلياً بهيئة عدة طبقات (Layers) أرفع سماكة من الطبقة (Bed) الرئيسة وتكون هذه الطبقات موازية لأسطح الطبقة الحاوية. وفي هذه الحالة تشكل هذه الطبقات ما يسمى بالرقائق (Laminae) والتي تحدثنا عنها بالتفصيل تحت عنوان التطبيق المترقق.

وبشكل التطبيق المتدرج بنية ترسيبية شائعة التواجد في معظم الطبقات الرسوبية. ويساعد التطبيق المتدرج في معرفة وتحديد نظام التابع الترسيبي للطبقات أحادية الالتواء، والطبقات المقلوبة. ويعتبر التطبيق المتدرج من البنيات أو العلامات المميزة لرواسب العكر (Turbidites) والتي تحدث في المياه البحرية العميقة.

ويتكون التطبيق المتدرج نتيجة انخفاض (اضمحلال) سرعة التيار. ويتراوح سمك طبقة التطبيق المتدرج من أقل من واحد سنتيمتر إلى متر أو عدة أمتار. وربما تكون المواد أو الرواسب المتدرجة رمل وغرين. ويندر تواجدهم الزلط بشكل متدرج. وتتواجد معظم الطبقات المتدرجة الحبيبات في أحجار الرمل، وبشكل شائع في صخور رمل العكر (Graywackes) القديمة. ويزداد سمك طبقة التطبيق المتدرج بزيادة خشونة الحبيبات عند قاعدة الطبقة (Potter and Scheidegger, 1966) وأيضاً يضيف كل من (Scheidegger and Potter, 1971) أنه يقل كل من سمك الطبقة المتدرجة الحبيبات وأحجام الحبيبات في اتجاه أسفل التيار وذلك في التطبيق المتدرج النموذجي. وقد يحدث التطبيق المتدرج في بعض أحجار الجير والتي ترسبت أصلاً كرمل أثناء فترة تشكيلها. وأحياناً يظهر التطبيق المتدرج في بعض أحجار الكوارتزيت ورمال أخرى قديمة وحديثة والمترسبة تحت مياه قليلة العمق والتي لها نفس خواص دورة بوما (Bouma, 1962)، (راجع ما شُرح سابقاً عن هذا الموضوع تحت عنوان رواسب تيارات العكر).

لمزيد من التفاصيل راجع كل من: Selley, (1976, 1982, 1994); Collinson and

. Thompson, (1989) and Boggs, (1995)

### ٥ - التطبق المتقاطع Cross-bedding

يتكون التطبق المتقاطع من طبقات (Beds) ذات طبقات (Layers) مائلة على أو متماسمة مع الطبقات السفلية الأفقية بينما تتقابل بزوايا مع الطبقات العلوية. وغالبًا يميل التطبق المتقاطع في اتجاهين متعاكسين. ولهذا السبب يستبدل أحيانًا مصطلح «التطبق المتقاطع بالتطبق المائل (Oblique bedding)».

وقد كان (McKee and Weir, 1953) أول من أعطوا تسمية خاصة للطبقات ذات التطبق المتقاطع (Cross-stratification). فتسمى المجموعة المفردة من التطبق المتقاطع (Cross-strata) والمحصورة بين مستويات التطبق «بالطقم» (Set). ويشار إلى المجموعة المتكونة من عدة أطقم متشابهة وليست منفصلة عن بعضها بأي فاصل رئيسي «بالأطقم» (Cosets) (انظر الشكل ٦٤). ويصنف التطبق المتقاطع بناءً على عدة مميزات. وتشمل مميزات التصنيف الآتي:

١ - مقياس سمك الأطقم (Sets).

٢ - شكل ووضع (Attitude) التطبق المتقاطع.

٣ - شكل وطبيعة الأسطح السفلية والعلوية المحصورة بينها الأطقم.

وعلى هذا الأساس وجد أن هناك ثلاثة أنواع من التطبق المتقاطع (الأشكال

٦٤، ٦٥، ب)، وهي كالآتي:

١ - التطبق المتقاطع المستوي (Planar or tabular cross-bedding) وفيه تكون

مجموعة الأطقم محاطة بأسطح سفلية وعلوية مستوية ومتوازية.

٢ - التطبق المتقاطع السفيني (Wedge cross-bedding) وفيه تكون مجموعة

الأطقم محاطة بأسطح سفلية وعلوية مستوية ولكن غير متوازية.

٣ - التطبق المتقاطع الحوضي (Trough cross-bedding) وفيه تكون مجموعة

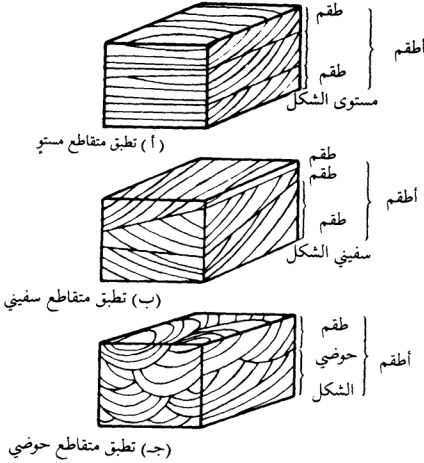
الأطقم والسطح السفلي المحيط بها بشكل الحوض (أو الجوف، أو الجُمُعة).

ويتشكل التطبق المتقاطع نتيجة هجرة كل من النيم الكبير (Megaripple) أو موج

الرمل (Sand wave) أو الكشبان الرملية. أما هجرة علامات النيم (Ripples) فنعطي

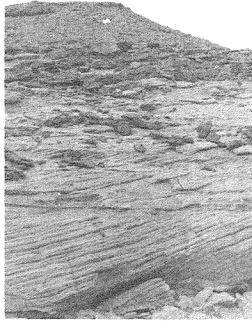
تطبقًا متقاطعًا صغير المقاس أو ما يسمى (Cross-lamination) أو الترقق المتقاطع والذي

يظهر على سطحه العلوي علامات النيم. ويشكل التطبق المتقاطع بنية داخلية للطبقة



شكل (٦٤). الأنواع الرئيسة للتطبيق المتقاطع :  
 (أ) - تطبيق متقاطع مستوي، (ب) - تطبيق متقاطع سفيني، (ج) - تطبيق متقاطع حوضي . (عن : McKee and Weir, 1953)

والتي تحدث أثناء الترسيب . ويختلف سمك طبقات (Layers) التطبيق المتقاطع من ٣ مليمترات إلى ٣٠ متراً أو أكثر (Pettijohn, 1975) . وعامة تتراوح زاوية ميل الأطقم المتقاطعة بين ١٥ - ٢٠ درجة وقد تكون أقل من ذلك ولكن لا تزيد على ٣٥ درجة (Potter and Pettijohn, 1977) . وقد شرح (Allen 1963a, 1963b) نماذج عديدة ومختلفة لأنواع التطبيق المتقاطع بالتفصيل ولا يسع مستوى هذا الكتاب أن ندخل في مثل هذه التفاصيل .

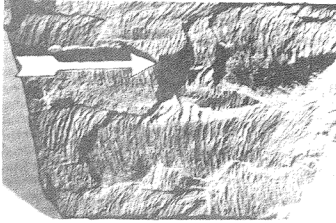


ب

شكل (٦٥). تطبق متقاطع مستوي في حجر رمل البياض، خشم أبورخيم شمال غرب مدينة الرياض: أ - مقاس صغير، ب - مقاس متوسط. (عن: Moshrif, 1976)

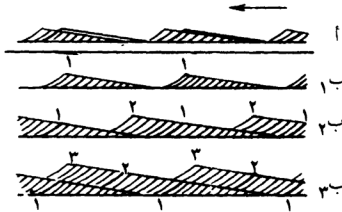
ويكون ميل الأطقم المتقاطعة في اتجاه أسفل التيار كذلك يكون تقعر (Concave) هذه الأطقم في حالة التطبق المتقاطع الحوضي مشبكاً إلى أسفل التيار (شكل

٦٤). وأطلق (Stockes, 1953) على ظاهرة العلامات أو التشكيلات التي تظهر على سطح مستوي التطبق المتقاطع الحوضي الصغير الحجم بعلامات التمزق والتجعد (Rib and furrow) (انظر الشكل ٦٦) أو كما سماها (Hamblin, 1961) بالترقق المتقاطع الدقيق (Micro-cross lamination).



شكل (٦٦). بنية التمزق والتجعد مع إيضاح حركة اتجاه التيار. (عن : Pettijohn, 1975)

ويوضح شكل (٦٧) أصل نشأة التطبق المتقاطع. حيث تأخذ وحدة الطبقات المتقاطعة ميلاً بدائياً في اتجاه أعلى التيار وتميل أطقم الواجهة (Foresets) في اتجاه أسفل

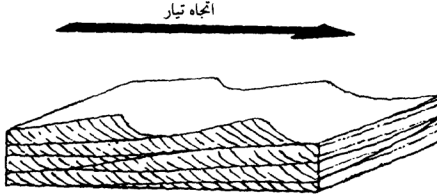


طريقة تكوين التطبق المتقاطع

شكل (٦٧). أصل نشأة التطبق المتقاطع. (عن : Shotton, 1937)



التيار. ويكون الميل البدائي صغيراً في المرحلة الأولى، بين درجة إلى درجتين. ويحدد ارتفاع الكُتَب سمك التطبيق المقاطع. وأشار (Allen 1963a, 1963b) إلى أن شكل بنية التطبيق المقاطع تقررهما تشكل أو شكل بيئة النيم إذا كان تطبيقاً متقاطعاً صغير الحجم وإذا كان كبير الحجم فيحدده شكل الكُتَب أو موج الرمل. فمثلاً تعطي هجرة كل من علامات النيم المنتظمة والممتدة على خط واحد (Transverse dune) التطبيق المقاطع المستوي البسيط (شكل ٦٨). بينما يتشكل التطبيق الحوضي نتيجة هجرة رمال أشكال الكُتَب اللسانية أو الكُتَب المعقدة الأنظمة. وتعكس زاوية ميل أطقم الواجهة أو المقدمة (Foreset) زاوية الاستقرار الحرجة لحبيبات الرمل عندما ترسبت، وهذه تعتمد على كل من حجم وتصنيف وأشكال (استدارة وتكور) حبيبات الراسب وأيضاً على لزوجة السائب المحيط (Ambient fluid), (Fluid = gas or liquid). وفي معظم



شكل (٦٨). تكوين التطبيق المقاطع البسيط حيث تحدث هجرة الكُتَب الرملية في اتجاه أسفل التيار. (عن: Selley, 1976)

الأحيان تأخذ الرمال الهوائية (المنقولة والترسبة بالهواء على سطح الأرض) زاوية استقرار أعلى من زاوية استقرار الرمال المائية (المنقولة والترسبة تحت سطح الماء). وقد أشار كل من (Bigarella 1972 and McBride and Hayes, 1962) إلى أنهم سجلوا زوايا ميل لتطبيق مقاطع متشكل من كُتَب رملية حديثة بين ٣٠ - ٣٥ درجة، بينما اختتم كل من (Harms and Fahnestock 1965; Imbrie and Buchanan, 1965) أنه يندر أن تزيد زاوية ميل تطبيق مقاطع عن ٣٠ درجة لرمال مائية، وذلك بناءً على نتائج دراستهم لرمال

حديثة مائية. وبشكل مماثل أفاد (Mckee, 1957) أن ميل الرقائق المتقاطعة في الرمال الهوائية تتراوح بين ٣٠ - ٣٥ درجة وفي الرمال المائية تكون بين ٢٥ - ٣٠ درجة.

وتوجد بنيات التطبق المتقاطع في كثير من البيئات الترسيبية إلا أنها تحدث بشكل كبير في البيئات النهرية، وأينما تواجدت ظروف مستوى نظام التدفق العالي (Upper flow-regime). ويعتبر التطبق المتقاطع كمجموعة بنيات ذات أشكال مختلفة ونشأة مختلفة.

ويمكن استنتاج اتجاه تدفق التيارات المرسبة عن طريق أخذ قياسات ميل التطبق المتقاطع، ومن ثم معرفة البيئة الترسيبية وكذلك معرفة الجغرافية القديمة التي شملتها توزيع الرواسب فوقها ويمكن أيضا معرفة وضع بنية الطبقات في المنطقة.

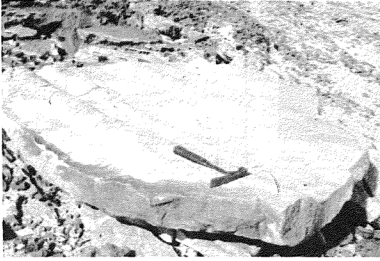
لمزيد من التفاصيل عن التطبق المتقاطع اقرأ: Selley, (1982, 1994); Collinson and Thompson, (1989) and Boggs, (1995).

#### ٦ - التطبق النيمي والترقق المتقاطع Ripple-bedding and cross-lamination

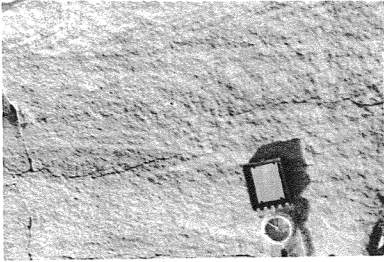
يُعرف التطبق النيمي (Ripple-bedding) بالطبقات التي تتشكل على أسطحها العلوية علامات النيم (Ripple marks) ويظهر على جوانبها المتعامدة مع قمم النيم بنيات داخلية رسوبية تسمى الترقق المتقاطع (Cross-lamination). والترقق المتقاطع عبارة عن رقائق مائلة على مستوى الأسطح المحصورة بينها هذه الرقائق وتكون أيضًا هذه الرقائق المتقاطعة متوافقة مع أوجه النيم الشديدة الانحدار (Lee face) (الأشكال ٦٩، ٧٠، ٧١). وعلامات النيم عبارة عن بنية طبقة عليها ما يشبه الأمواج وهي تتكون في الرمال الناعمة المعرضة لتيارات زحف رقيقة الحركة. ويتشكل (يترسب) الترقق المتقاطع من هجرة علامات النيم في اتجاه تدفق التيار.

ومن أهم الأبحاث التي كتبت عن النيم ذلك العمل البحثي المفصل الذي أنجزه (Allen, 1968c)، وتوضح الأشكال (٧٢، ٧٣) التسميات التي اقترحها ألن لأجزاء وتشكيلات النيم المتنوعة. ويسمى جانب النيم المعتدل الانحدار وفي اتجاه أعلى التيار بالجانب المواجه (Stoss side) ويسمى جانب النيم الشديد الانحدار وفي اتجاه أسفل التيار بالجانب المعاكس للتيار (Lee side). وتسمى النقطة الأكثر انخفاضًا على النيم بنقطة الحوض (Troughpoint)، بينما تسمى أعلى نقطة عليه بنقطة القمة



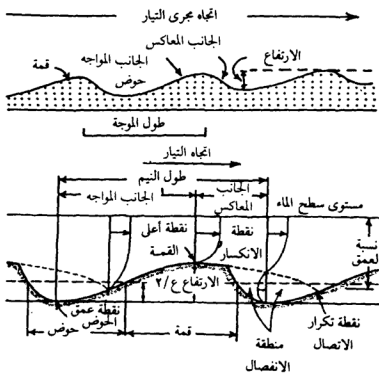


شكل (٧٠). نيم متماثل على سطح صخرة من حجر رمل البياض بالقرب من جبل بومة - شمال غرب مدينة الرياض. (عن : Moshrif and Kelling, 1984)



شكل (٧١). ترقق متقاطع وترقق أفقي بين أطعم الترقق المتقاطع في حجر رمل البياض بالقرب من خشم الخناصر - شمال غرب مدينة الرياض. (عن : Moshrif and Kelling, 1984)

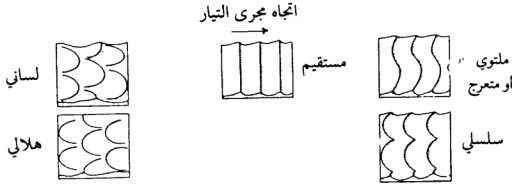
نقطة القمة ونقطة الحوض بارتفاع النيم (Ripple height). ويطلق على المسافة الأفقية الموصلة بين قمتي النيم بطول الموجة (Wave length) (شكل ٧٢).



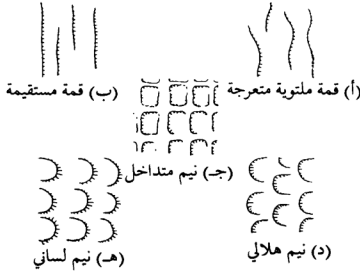
شكل (٧٢). قطاع عرضي لبنية نيم مع تسمية أجزائه. (عن : Allen, 1968c)

وقد ميز آلن خمسة أشكال هندسية للنيم في الوضع المستوي أو المسطح الأفقي ، وأطلق عليها «النيم المستقيم» (Straight ripple) ، والنيم الملتوي (Sinuous ripple) ، والنيم المتسلسل (Catenary ripple) ، والنيم اللساني (Linguoid ripple) ، والنيم الهلالي (Lunate ripple) ، (شكلا ٧٣ ، ٧٤) .

وعُرِّفت أنواع مختلفة للتطبيق النيمي بواسطة الربط بين أشكال النيم الخارجية أو تشكيل الطبقة (Bed form) وبنياتها الداخلية (شكل ٦٩) . وقد وُجد من قطاع النيم العرضي (Ripples cross-section) أن هناك نوعين من النيم وهما نيم متماثل (Symmetric ripples) ونيم غير متماثل (Asymmetric ripples) . وأحياناً يطلق على النيم المتماثل معنى النيم المتأرجح (Oscillation ripples) أو النيم الموجي (Wave ripples) . ويظهر هذا النوع من النيم نوعان من التفرق الداخلي (Internal lamination) . تكون الرقائق (Laminae) في النوع الأول متوافقة (Conformable) مع سطح شكل أو بنية النيم ، ويظهر النوع الثاني رقائق متقاطعة (Cross-laminae) والتي ليس لها علاقة بسطح شكل أو بنية النيم .



شكل (٧٣). الوصف الإسمي لأشكال النيم المختلفة. (عن: Allen, 1968c)

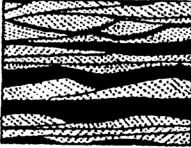


شكل (٧٤). تسمية أشكال طبقة النيم كما تظهر من خلال المستوى السطحي. (عن: Allen, 1968a)

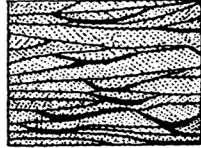
ويقترح النوع الأول أن نيم التماثل قد تشكل أو تكون نتيجة لتأرجح السائب (Oscillation of the fluid) وبدون تجزيء أفقي للراسب المنقول في السائب. بينما يتضح أن النوع الثاني للنيم المتماثل نتج من تغيرات جزئية لنيم التيار غير المتماثل عن طريق حركة التأرجح (Oscillatory movement).

يُظهر النيم غير المتماثل فروقات واضحة بين الجانب المواجه للتيار بزاويته المنخفضة والجانب المعاكس للتيار ذي الزاوية الشديدة الانحدار (شكلا ٦٩، ٧٢).

وتكون بنيتها الداخلية ذات ترقق متقاطع، وتتوافق الرقائق المتقاطعة مع الواجهة أو الجانب المعاكس للتيار (Lee face). ويتشكل النيم غير المتماثل نتيجة تيارات جر أحادية الاتجاه، وغالبًا ما يشار إلى هذا النوع من النيم بنيم التيار (Current ripples). ويعطى التراكم القليل الانتظام للتطبيق النيمي ترققًا داخليًا غامضًا (شكل ٧٥). فالبنية الداخلية واضحة أنها نتجت من النيم ولكن ليس هناك انتظام جيد أو طريقة ثابتة في نموذج التراكم. وقد أطلق التطبيق الموجي (Wavy bedding) على مثل هذه الطبقات من أحجار الرمل أو أحجار الغرين (Pettijohn, 1975). ولكن في هذه الحالة إذا تواجد الطين فان بنية أو تشكيلة وحدة التطبيق النيمي تصبح أكثر وضوحًا. وربما ينحصر الطين بين طبقات الرمل أو الغرين وبشكل عدسات (Lenticles) في



(ب) تطبيق متموج



(أ) تطبيق متتابع



(د) تطبيق نيم ميت



(ج) تطبيق عدسي

شكل (٧٥). بنيات التطبيق المتموج والتطبيق المتتابع. (عن : Reineck and Wunderlich, 1968)

أحواض النيم أو طبقات طينية هلالية الشكل ومتتابعة تسمى (Flasers) ، (شكل ١٧٥). ويمكن أن يتشكل كل من النيم المتأثر والنيم غير المتأثر على هيئة عدسات منفردة (أو منفصلة) من الرمل أو الغرين الخشن في أحجار الطين (العكس صحيح) فعندئذ يطلق عليها التطبق المتتابع (Flaser bedding) . وإذا كانت العدسات الطينية متحدة ومتصلة ببعضها فإنه يشار إلى هذا التطبق بالتطبق الموجي أو المتموج (Wavy bedding) (شكل ٧٥ ب). وإذا كان الطين هو الشائع وتكون وحدات التطبق النيمي منفصلة ومحصورة في أرضية طينية ففي هذه الحالة يطلق عليها التطبق العدسي (Lenticular bedding) أو النيم الميت (Starved ripples) ، (شكل ٧٥ ج، د)، (Reineck and Wunderlich 1968, Terwindt and Breusers, 1972) .

وقد أشار (Pettijohn 1975) إلى أن هناك بنية داخلية أخرى يعتقد بأنها ذات علاقة بالتطبق النيمي وقد سماها (Stokes 1953) بنية التمزق والتجعد (Rip and furrow) ، (شكل ٦٦). وتظهر هذه البنية على سطح مستوى التطبق . وتتكون من علامات هلالية صغيرة متعارضة أو متقاطعة وتأخذ شكل أطقم محصورة في تجعدات طويلة وضيقة ومفصلة عن بعضها بأضلع متقطعة أو قنوات ضيقة جدًا (شكل ٦٦). وتشكل بنية التمزق والتجعد من هجرة سلاسل نيم معقدة أو ما يعرف بالترقق المتقاطع الحوضي .

وتشبه علامات النيم التطبق المتقاطع من حيث الاستفادة منها في تحديد النظام الطبقي أو (الاستراتيجرافي)، وفي معرفة اتجاه تدفق التيار وتشير أيضًا إلى ظروف التدفق، ولكنها أقل فائدة في تعريف أو تحديد بيئة الترسيب لأنها تتشكل تحت ظروف متعددة وتحت سطح ماء مختلف العمق، وعندما يتحرك التيار عبر سطح رملي . ويختلف النيم المتشكل بالموج عن النيم المتكون من تيار أحادي الاتجاه، وكذلك يختلف تيم الرياح أو الهواء (المتشكل فوق سطح الأرض - مثل نيم الكثبان) بشكل واضح عن نيم الماء (المتشكل تحت سطح الماء). ولسوء الحظ أنه يندر رؤية نيم الهواء في السجل الجيولوجي . بالإضافة إلى إثبات الاستفادة من النيم في تحليل الجغرافيا الإقليمية القديمة (Pettijohn, 1975).

ويتكون النيم في الوقت الحاضر في عدة بيئات مختلفة تمتد من الكثبات الرملية



إلى الأنهار والدلتا وحتى إلى طبقة البحار. ومن إحساس الملاحظة فقط نجد أن النيم لا يتكون أو يتشكل في رواسب الطين ولا في الرمال الحشنة أو الزلط. ويكون تكوين النيم محصوراً في الغرين الحشن وفي الرمل الذي يكون حجم أقطار حبيباته أقل من ٠,٦ ملمتر. كما يتشكل النيم في الجزء السفلي من نظام التدفق المنخفض وعندما يكون عدد فرويد منخفض (راجع ما سبق شرحه في هذا الموضوع، شكل ٤٠).

وبالزيادة التدريجية في محتوى الرمل فإنه يمكن للتطبيق النيمي المتتابع (Flaser bedding) أن يتدرج إلى طبقات تتكون كلية من ترقق متقاطع رملي والتي يكون فيها سطح النيم خفي، ولو أنه أحياناً تكون باقية في الطبقة العلوية. وهناك مصطلحات متنوعة أعطيت لهذه البنيات الرسوبية، منها الترقق المتقاطع والنيم المتسلق (Climbing ripples) وتطبق النيم الطافي (Jopling and Walker, 1968) (Ripple-drift bedding) (شكل ٦٩). وقد شرح كلاً من (Jopling and Walker, 1968) أنواعاً متعددة ومتنوعة من النيم وكيفية تكوين كل منها. ومن ذلك الشرح يمكن تلخيص ما يلي:

ترسب تيارات الجر العادية الرمل فقط على جانب النيم المعاكس للتيار. وبازدياد حمل الرواسب العالقة، تتم عملية الترسيب أيضاً على جانب النيم المواجه للتيار. وينتج عن هذا، سلسلة من أسطح قطاعات النيم الجانبية (Profiles) وتهاجر قممها بشكل مائل إلى أعلى وفي اتجاه أسفل التيار. ومع تزايد حمل الرواسب العالقة، ينمو ترقق النيم المتلوي من النيم المتماثل. ويتشكل الترقق المتقاطع نتيجة هجرة نيم التيار (Current ripples) وترسيب طبقة رمل على الأوجه أو الجوانب المعاكسة للتيار. كما يتشكل تطبيق النيم الطافي نتيجة عملية الترسيب التي تحدث على كلا وجهي أو جانبي (Lee and stoss sides) النيم، (شكل ٦٩).

لمزيد من التفاصيل اقرأ:

Selley, (1976, 1982, 1994); Collinson and Thompson, (1989) and Boggs, (1995).

#### (ج) المجموعة الثالثة: بُنَيَات بعد الترسيب Post-depositional structures

وهي البُنَيَات التي تتشكل بعد استقرار الراسب وانتهاء عملية الترسيب. وتعتبر بُنَيَات بعد الترسيب بُنَيَات تشويه، حيث ينتج عنها اضطراب وتكسير وتغيير، وضع كل

من بُنَيَات قبل وأثناء الترسيب التشكيلة بين الطبقات وداخل الطبقات على التوالي . وهناك أنواع عديدة من بُنَيَات التشوه . إلا أنه عرْفياً يمكن حصرها في مجموعتين رئيسيتين طبقاً لإحساس حركة التشوه ، بمعنى ، هل كانت رأسية أم أفقية الانتشار ، وكذلك هل تم تشوه الراسب بشكل مرن بلاستيكي وفي الحالة غير المتصلبة (Unconsolidated state) ، أو إذا كان الراسب تام التصلب وتمزق (Shear) على امتداد مستويات الإنزلاق (Selley, 1976, 1994) ويوضح جدول (١٠) ملخصاً لتصنيف البُنَيَات الرسوبية المشوهة والمتشكلة بعد الترسيب .

جدول (١٠) . ملخص تصنيف البُنَيَات الرسوبية المشوهة .

طبقة التشوه	البنية	إحساس الحركة
مرنة (تفتقد الرواسب قوة التمزق) .	طوايع الثقل والدرنات الكاذبة ، التطبيق الملفوف ، مجموعات الواجهة المضطجة (الراقدة) ، الترقق الملفوف	رأسية الانتشار
قُصْفِيَّة / تَكَسَّرِيَّة (تمتلك الرواسب قوة التمزق) .	الهوابط الانزلاقات	أفقية الانتشار

(عن : Selley, 1976, 1994)

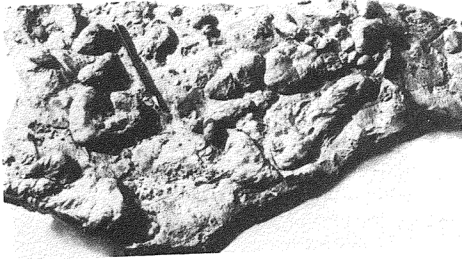
وفي بعض الحالات تشير الرواسب المشوهة نفسها إلى أن التشوه حدث حتمياً بشكل مبكر جداً ، إما أثناء عملية الترسيب نفسها أو بعد الترسيب مباشرة ، وهذا يكون قبل تغطية الراسب بعدة أمتار من راسب آخر . ويطلق على التشوه المصاحب لعملية الترسيب بالتشوه المتزامن (Penecontemporaneous deformation) ، (Blatt et al., 1980) . ويتسبب في تشوه الراسب أربعة عوامل ميكانيكية :

- ١ - قوة الجاذبية المتمثلة في طبقات متتابعة تُظْهِرُ انحدار كثافة معكوس ، وذلك عندما ترقد طبقات راسب كثيف فوق طبقات راسب أقل كثافة .
- ٢ - إسالة الراسب (أي عندما يصبح الراسب سائلاً أو مائعاً) .
- ٣ - حركة الجاذبية للراسب المترسب على منحدر (هابط) .

٤ - قوة تمزق الراسب المترسب حديثاً والصادرة منه نتيجة حركة تدفق تسير فوقه . وفي معظم الأحيان يحدث التشوه في الراسب نتيجة عاملين أو أكثر من هذه العوامل الميكانيكية تحدث سوياً (Artyushkov, 1960a, 1960b; Anketell et al., 1970).  
والآن سوف نستعرض وصف بنّيات التشوه الرسوبية بالتفصيل .

#### ١ - بنّيات طوابع الثقل Load casts

تتشكل بنّيات طوابع الثقل (أو الحِمل)، من انغماس راسب ثقيل (مثل الرمل) في راسب أخف (مثل الوحل) مُشكلة ما يشبه الجيوب (المخالي)، وفي كثير من الأحيان يشار إليها ببنّيات الحِمل (Load structures) أو جيوب الحِمل (Load pockets) . وتنشأ بنّيات الثقل أو الحِمل نتيجة توزيع أحمال غير متساوية أو تطبق غير ثابت من طبقات وحل طرية تقع تحت طبقات رملية (أكثر كثافة وأقل مسامية) فيحدث تشكيل علامات ثديية غير منتظمة الانخفاضات ومتشوهة على سطح قاع طبقة الرمل (شكل ٧٦) . ولذا



شكل (٧٦) . بنية طابع الثقل على السطح السفلي لحجر رمل . (عن : Pettijohn and Potter, 1964)

تعتبر بنّيات الثقل من بنّيات القاع ولكنها ذات أصل نشأة مختلفة عن تلك التي وصفناها سابقاً تحت عنوان بنّيات القاع . وهي تشبه قوالب بنّيات الأبواق من حيث الحجم والانحدار ولكنها تختلف عنها في عدم انتظامها وليس لها تماثل في أشكالها ولا في توجيهها أيضاً (Orientation). كما أنها ليست كالطوابع (Casts) الأخرى التي تشكلت عن طريق

ملء منخفضات الحت، بل إن انغراس الرمل حدث بسبب تشوه رقائق الوحل الموجودة في الطبقة السفلية. فتتجث هذه البُنيات من أحمال غير متساوية في طبقة الوحل السفلية والتي تكون طرية أو ذات لدونة مائية (Hydroplastic). ويرجع أصل نشأة هذه البُنيات إلى الحركة الرأسية في إعادة وضع الرواسب، فيصحب ذلك حركة الرمل إلى أسفل واتجاه الوحل إلى أعلى كحركة بديلة (Pettijohn, 1975). وقد تكون بُنيات الثقل منتشرة بشكل منفصل مكونة أنابيب أحجار رمل كبيرة، يصل قطرها إلى ٥٠ مترًا وارتفاعها أكثر من ٨٠ مترًا (Schlee, 1963). أو تأخذ شكل الكور (Pettijohn and Potter, 1964) أو شكل الدرنات الكاذبة (Kuenen, 1965).

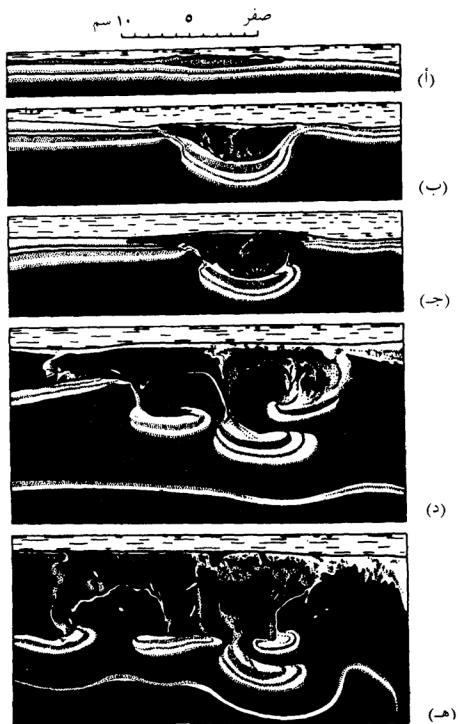
وقد تتشكل بُنيات الثقل في أي بيئة عندما يترسب الرمل فوق وحل مشبع بالماء وله مرونة مائية. وتكثر هذه البُنيات في رواسب العكر إلا أنها تحدث في رواسب الدلتا والأنهار. اقرأ أيضًا: (Selley, 1976, 1982, 1994); Collinson and Thompson, (1989) and Boggs, (1995).

## ٢ - الدرنات الكاذبة Pseudonodules

تتكون الدرنات الكاذبة عندما تنفصل طبقات رقيقة (أو نحيلة) من الرمل أو الغرين على طول استطالاتها لتشكل قطعًا منفردة ومشوهة من الرمل أو الغرين ويتحدب سطحي سفلي مغموس في طبقة الوحل السفلية. وقد تمكن (Kuenen, 1958b) من تكوين هذه البُنيات من تجربة أجراها في المختبر بعد أن رسب طبقة من الرمل فوق طبقة من الطين المشبع بالماء. وعندما قام بهز أوج الحوض الحاوي على الطبقتين بقوة سال الطين وامتد مما سمح لقطع من الرمل أن تنفصل من الطبقة الرملية العلوية وتنغمس داخل طبقة الطين المرنة (شكل ٧٧) مشكّلة ما يشبه الدرنات الكاذبة في الطبيعة. وقد سميت هذه البُنيات بالدرنات الكاذبة لتمييزها عن الدرنات العادية والمتشكلة نتيجة التغيرات المايعدية (Diagenetic)، (Macar 1948, Macar and Antun, 1949). اقرأ أيضًا: Selley, (1976, 1982, 1994); Collinson and Thompson, (1989).

## ٣ - التطبق الملفوف أو المطوي Convolute bedding

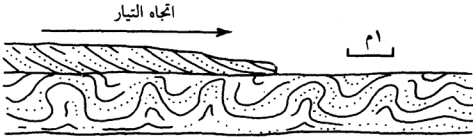
يعتبر التطبق الملفوف من البُنيات الرسوبية المشوهة والتي تتشكل في أحجار الرمل



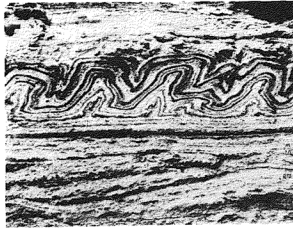
شكل (٧٧). طريقة تكوين الدرنات الكاذبة. (عن : Kuenen, 1958b)

نتيجة اندفاع الراسب في حركة بلاستيكية إلى أعلى . وغالباً ما يصاحب التطبيق الملقوف (المطوي) تشوه في رمل التطبيق المتقاطع (Cross-bedding) . ويظهر التطبيق الملقوف كسلسلة من الطيات البلاستيكية مكونة من طيات مقعرة واسعة ومسطحة (تأخذ شكل الحرف "U") مفصولة عن بعضها بطيئات محدبة ضيقة ذات قمم حادة (أو ناتئة) .

وفي معظم الأحيان تكون الطيات المحدبة مائلة أو ملفوفة أو مطوية في اتجاه أسفل التيار (شكلا ٧٨، ٧٩)، وهذا يكون واضحاً من التطبيق المتقاطع المصاحب في



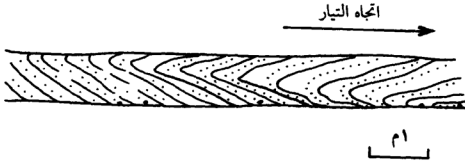
شكل (٧٨) . شكل التطبيق المطوي والذي تشكل نتيجة اندفاع ماء المسام خلال رمل مفكك الترابط . (عن : Selley, 1976, 1994)



شكل (٧٩) . بنية تشوه طبقي تشكلت بين طبقتين غير متأثرين بعملية التشوه . (عن : Pettijohn and Potter, 1964)

طبقة الرمل العلوية. ويشار إلى التطبق المطوي ببنية الرمل السريع وهو يشمل تشوهاً لكل مكونات طبقات الرمل التي يصل سمكها إلى متر أو أكثر (Selley, 1976). ويتواجد التطبق المطوي في أنواع متعددة من رواسب أحجار الرمل المجزور (Traction deposited sands)، إلا أنه من المميزات الخاصة للرمال النهرية (Selley et al., 1963; Mckee et al., 1967) وأطلق (Rich, 1950) مصطلح «تشوهات داخل الطبقات» (Intrastratal contortions) على التطبق الملتف. وربما تكون هذه التسمية أنسب وصف يمكن أن توصف به هذه الظاهرة لأن التشوه في التطبق المطوي يحدث للرواسب الموجودة داخل الطبقة وليست للطبقة نفسها والتي يرافقها ترققات في داخل الطبقة.

ويحدث هذا التطبق المطوي أو التطيؤ المشوه (Convolute folding) في طبقات الرمل الناعم أو الغرين الخشن. وعندما تصبح مجموعة المقدمة (الواجهة) مطوية (راقدة) في اتجاه أسفل التيار وبشكل يشبه الطيات المضطجعة (Recumbent folds) فإنها تسمى بهذا الاسم. وعامة يكون محور مستوى الطيات مائلاً في اتجاه أسفل التيار لأي مجموعة واحدة (شكل ٨٠). وتشبه مجموعة الواجهة المضطجعة التطبق المطوي من حيث إنها تتواجد في الرمال المترسبة بالجر أو السحب (Traction deposited sands) إلا أن بنيات الطيات المضطجعة تتكون عامة وبشكل خاص في الرمال الخشنة لرواسب الأنهار المتشعبة (Braided alluvium)، (Selley, 1976, 1994).



شكل (٨٠). شكل التطبق المضطجع المشوه في حجر رمل نهرى. (عن Selley, 1976, 1994)

ونال كل من بنيات التطبق المطوي ومجموعة الواجهة المضطجعة اهتمام الباحثين للنظر في أصل نشأة كل منها ومن بين هؤلاء الباحثين (Potter and Pettijohn, 1977);

. Allen and Banks, (1972); Mills, (1983); Van Loon and Brodzikowski, (1987) وقد تبين أن هذه البنيات تكونت من مرور أو اندفاع الماء رأسياً خلال رمل مفكك التعبئة (Loosely-packed sand). وربما يكون هذا الماء عائداً إلى (A hydrostatic head of water) ، (Williams, 1970). وبشكل متبادل فربما يكون الماء مجلوب من الراسب نفسه. وفي هذه الحالة سيكون الرمل عديم الإحكام (أو الدمج) عند السطح ولكن ربما تسقط حبيباته داخل تعبئة أكثر تقارباً (A tighter packing). وينتج عن ذلك إنخفاض في مسامية الصخر (Selley, 1976, 1994).

وقد يتشكل التطبق المطوي نتيجة الزلازل أو بدونها كما لاحظ ذلك كل من (Barratt 1966, McKee et al., 1967) في الرواسب الحديثة. وبشكل عام يصاحب التطبق المطوي تطبق النيم من الغرين والرمل.

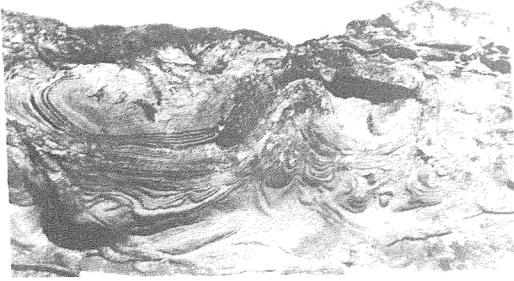
ولقد أوجد العالم آلن (Allen, 1986a) العلاقة العملية بين تكرار حدوث الزلازل والتشوه المستحث والمسافة من مركز الزلزال السطحي (Epicentre) وقدر الزلزال (Quake magnitude) على مقياس رختر.

لمزيد من التفاصيل راجع: Selley (1976, 1994); Collinson and Thompson (1989) and Boggs (1995).

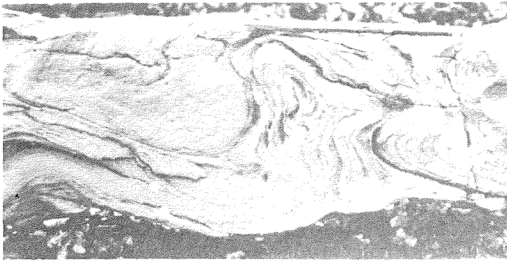
#### ٤ - الترقق المطوي Convolute lamination

يتشكل الترقق المطوي في الصخور الرملية الناعمة الحبيبات أو في صخور الغرين والتي تحتوي على رقائق أو ترقق دقيق. وتظهر طبقات الترقق المطوي بأسطح علوية وسفلية مستوية، إلا أنه أحياناً قد تظهر بعض بنيات الثقل والأبواق على السطح السفلي. ويعكس داخل طبقة الترقق المطوي نموذجاً معقداً من الطيات غير المنتظمة وذات القمم الحادة والأحواض العريضة الواسعة (الأشكال ٨١، ٨٢، ٨٣) والتي تتلاشى في أسفل الطبقة، (Kuenen 1953, Davies 1965, Potter and Pettijohn, 1977). وفي حالات كثيرة تكون هذه الطيات مائلة في أجزائها العلوية في اتجاه أسفل التيار مما يشير إلى أصل نشأتها المبكرة. ويصل سمك طبقة الترقق المطوي إلى أقل من ٢٥ سم وتزداد تبقى ثابتة السمك لمسافة معقولة. ويشبه الترقق المطوي التطبق المطوي من حيث الشكل الهندسي، ولكن يحدث الترقق المطوي كما ذكرنا في الرواسب الدقيقة





شكل (٨١). بنية ترشق مشوهة. (عن : Pettijohn & Potter, 1964)



شكل (٨٢). بنية ترشق مشوهة في طبقة حجر رمل جيري. (عن : Blatt *et al.*, 1980)

الحبيبات وبمقياس صغير جداً. وعندما ندقق النظر في بعض نماذج الترقق المطوي نجد أن الطيات المقعرة هي عبارة عن قمم نيم مشوهة بشكل قوي، وتوجد أسطح حت داخلي لداخل الطبقة وهذه الأسطح ذاتها مشوهة. وهذا يشير بشكل واضح إلى تتابع في نمو علامات نيم وتشوه وعملية حت محلية مصاحبة لعملية الترسيب (انظر:



شكل (٨٣). بنية ترقق مشوهة في طبقة حجر رمل البياض بالقرب من خشم البُوبيئات شمال غرب مدينة الرياض. (عن : Moshrif, 1976)

يتكرر التابع عدة مرات أثناء الترسيب لطبقة واحدة. وبشكل لاحق فإنه يبدو أن الطبقات الحاملة لهذه البُنيات ترسبت من تشوه بلاستيكي حدث للطبقة أثناء ترسيب سريع للرواسب العالقة وتكوين هذه الطبقة. وتشير بُنيات التيار الأخرى المصاحبة إلى أن توجيه محاور الطيات المشوهة أو المضطجعة يكون في اتجاه أسفل التيار. وهذا يقترح بأن التشوه حدث نتيجة قوة تمزق موجهة على الطبقة من التيار نفسه، وبمعنى آخر أن الترقق المطوي ربما نشأ من استخراج الماء من الراسب تحت قوة تمزق مبدولة من تدفق تيار العكس نفسه (Davies 1965, Anketell *et al.*, 1970).

والترقق المطوي من المميزات الخاصة في رواسب رمل العكر (Turbidite sands) ويضم التشوه لكل من وحدات بوما المترققة والترقق المتقاطع (Bouma, 1962). ويعتبر تكوين كل من الترقق المطوي والتطبق المطوي ومجموعة الواجهة (المقدمة) المضطجعة، والأنواع الثلاثة الرئيسة للبُنيات الطبقيّة الداخلية والمتشوهة نتيجة لحركة اندفاع أو استخراج الماء في الاتجاه الرأسى (Hydrostatic head of water).

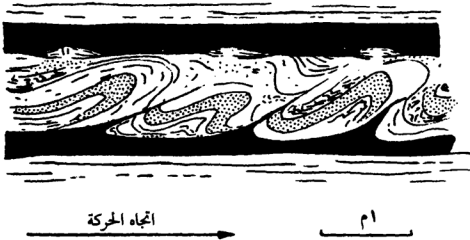
لمزيد من التفاصيل راجع :

Selley, (1976, 1990, 1994); Collinson and Thompson, (1989) and Boggs, (1995).

#### ٥ - الهوابط والانزلاقات Slump folding

يشمل الطي الهابط أكثر من طبقة واحدة وهذا يخالف البنيات المطوية (Convolute structures). ووُصِفَ هذا النوع من البنيات بالتفصيل والإيضاح في بحث (Hadding 1931). وتؤثر عملية الهبوط والانزلاق (Slumping and sliding) في عدة طبقات (Layers) بين الطبقات (Interbedded) والتي من المحتمل أن تكون نتيجة اندفاق كتلي لهذه المواد أو الرواسب والتي إذا استمرت طويلاً تقود من تشوه جزئي إلى كلي للتطبق وإلى تكوين رواهص أو مُدْمَلَكَات كاذبة (Pettijohn 1975).

وتشبه بنيات الهوابط (Slump structures) البنيات المطوية من حيث أنهم تشكلوا من عمليات تشويه بلاستيكية مصاحبة لعملية ترسيب الرمل والوحل. إلا أن الهوابط والانزلاقات (Slumps and slides) تظهر بشكل واضح ومؤكدة أن حركة التشويه حدثت بشكل جانبي (Lateral) أو أفقي وفي اتجاه ثابت. ويصاحب طيات الهبوط (Slump folds) حدوث تصدع أثناء الهبوط وتشكيل مستويات انزلاق منخفضة الزوايا (شكل ٨٤). وتزاح كتل كبيرة من الرواسب بشكل جانبي على طول أسطح الانزلاق.



شكل (٨٤). بنىة الطبقات الهابطة والطيّات المضطجعة. (عن : Selley, 1976, 1994)

ويحدث تشكيل بنيات الانزلاق والهوابط مصاحباً لترسيب الطبقات الحاملة وذلك بدليل أن وجود الطيَّات والصدوع محصورة تحت رواسب طبقات غير متأثرة بعملية التشوه. كذلك أن اتجاهات هذه الصدوع والطَّيَّات مستقلة عن اتجاه ونوعية الحركات الأرضية (Tectonics) الإقليمية مما يثبت أن بنيات الهوابط والانزلاق لم تنشأ نتيجة للحركات الأرضية. كذلك أن الطبقات المشوهة ربما تتخللها جذور نباتية غير مشوهة أو مسالك أو انفاق حيوانات (Animal burrows). وتفقد الصدوع المصاحبة للمعادن الغثة (Gangue minerals) أو المعادن غير الاقتصادية (شوائب معدنية). وأشار (Selley, 1976, 1994) بأن الهوابط والانزلاقات تتطلب لتكوينها ترسيباً سريعاً من راسب الوحل على منحدر غير ثابت. وربما تبدأ الحركة الأفقية أو الجانبية (Lateral movement) نتيجة الزلازل والعواصف أو نتيجة كِلا الإثنين معاً. وتواجد مثل هذه الظروف بشكل جيد في مقدمات الدلتا المطلة على أحواض الترسيب النشطة (Actively subsiding basins).

لمزيد من تفاصيل جوانب هذا الموضوع راجع:

Gill and Kuenen, (1958); Gill, (1979); Selley, (1982, 1994); Collinson and Thompson, (1989) and Boggs, (1995).

#### (د) المجموعة الرابعة: بُنَيَات رسوبية متنوعة Miscellaneous structures

هي عبارة عن مجموعة بُنَيَات رسوبية لا تنسجم من حيث النشأة والنوعية مع أصناف البُنَيَات الرسوبية الثلاثة التي سبق وصفها بالتفصيل. وقد سميت متنوعة (Miscellaneous) لأنها متنوعة في أصل نشأتها وأشكالها وهذه البُنَيَات تشمل الآتي:

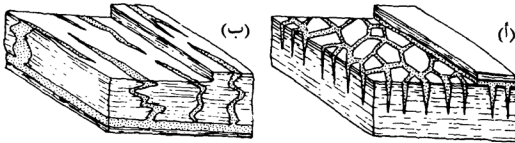
##### ١ - بُنَيَات الشقوق المختلفة Different cracks structures

وتضم هذه البُنَيَات كل من شقوق التقلص (Shrinkage cracks) وشقوق طرد الماء (Syneresis cracks). ويساعد التمييز بين بنيات الشقوق المختلفة في معرفة البيئة الرسوبية.

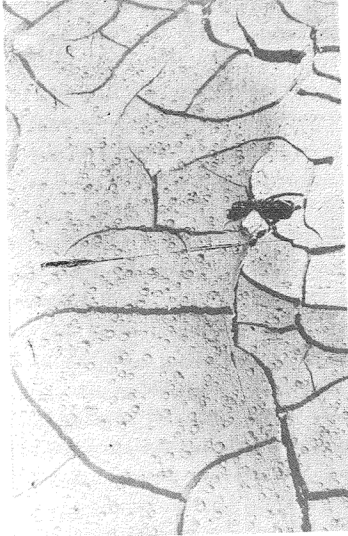
##### (أ) شقوق التقلص Shrinkage cracks

وهي عبارة عن بُنية شقوق الوحل (Mud cracks)، (شكل ٨٥) نشأت عند تعرض الوحل للهواء. ويطلق عليها شقوق الشمس (Sun cracks) وشقوق الجفاف

(Desiccation cracks) كتعريف تبادلي. وتظهر بنية شقوق الوحل على مستوى سطح الطبقة بشكل مضلع (Polygonal)، وفي القطاع المتعامد على الطبقة فهي عبارة عن مكاسر (Fractures) تمتد إلى داخل الطبقة بشكل الرقم (٧)، (شكلا ٨٥، ٨٦). وتظهر شقوق الوحل مملوءة بالرمل أو الغرين. وعامة يتكون الصخر الأصلي من الوحل المشبع بالماء وعند تعرضه للشمس يفقد جزءاً كبيراً من الماء بالجفاف ومن ثم ينمو نظام التشقق نتيجة عملية تقلص (Shrinkage) الطين مشكلاً بذلك ظاهرة التضلع الهندسية. وتختلف أحجام المضلعات (Polygons) وعرض الشقوق وكذلك عمق الإنفلاق. ولكن يتراوح عامة عرض المضلعات من ملليمترات قليلة إلى أقل من ٥٠ سنتيمتر، ويتراوح عرض الشقوق ما بين ١ ملليمتر إلى ٥ سنتيمترات. وقد تعمق الشقوق عشرات السنتيمترات ولكن في معظم الأحيان تكون ما بين ١-٢ سنتيمتر. وعادة تتلاشي الشقوق (Cracks taper) في الاتجاه إلى أسفل الطبقة حتى تنعدم، أي تكون عرضية عند سطح الطبقة وتضيق كلما اتجهنا إلى أسفل الطبقة. وتملأ الشقوق برواسب أخشن من الصخر المضيف. وتصل الشقوق في تعمقها طبقاً لدرجة الجفاف الذي يتعرض له الصخر. فقد يقتصر التشقق على الطبقة المعرضة للشمس فقط ولكن إذا كانت حدة الجفاف عالية يمكن أن يصل تخلل وتعمق الشقوق إلى الطبقة السفلية أو أعمق منها. وقد تظهر قطاعات الشقوق المملوءة بالرمل مشوهة. وربما تظهر نهاية فتحات الشقوق العريضة عند أعلى الطبقة منبعجة إلى أعلى وداخلية في الطبقة المترسبة فوقها. وينتج هذا التشوه بسبب التزاحم في عملية ملء هذه الشقوق وضيق فراغات التشقق المتاحة في الصخر المضيف مما يدل على عملية الملء غير المحكّمة والتي بها تحاول المواد الدخيلة أن توطن نفسها بشكل محكم عن طريق خفض أو تقليل سمك مواد الصخر الأصلية.



شكل (٨٥). الفرق بين بنية (أ) شقوق التقلص، و (ب) قواطع الرمل. (عن: Selley, 1976)



شكل (٨٦). بنية تقلص الوحل مع انطباعات قطرات المطر. (عن : Pettijohn and Potter, 1964)

وحيث تتشكل شقوق الوحل بالتقلص لذا فإن مثل هذه الشقوق لا تتكون في صخور الرمل النقي. لأن الرمل النقي عندما يجف لا ينخفض حجمه. ولا تُحفظ شقوق الوحل في الطبقات القديمة ولكن الذي يُحفظ هو ما يملأ هذه الشقوق أو ما يسمى بالطابع (Cast). وليس التشقق مقصوراً على الرواسب الطينية الدقيقة (Argillaceous) فحسب، بل يحدث في الرواسب الجيرية الدقيقة الحبيبات (Micritic limestones) وربما تملأ الشقوق هنا بغرين جيري (Lime silt) أو غرين دلويميتي

(Dolomitic silt) أو رمل . وفي معظم الأحيان تظهر الشقوق المشكّلة في الرواسب الوحلية كطوابيع (Casts) متبقية في الأسطح السفلية لأحجار الرمل (والتي كانت تغطي طبقة التشقق). كما تظهر الشقوق المشكّلة في الوحل الجيري على السطح العلوي للصخر المتصخر الآن (Pettijohn, 1975) ، وتدل بنيات الشقوق على تعرض رواسب الطبقة الحاملة للهواء والشمس وشدة الجفاف المصاحبة .

#### (ب) شقوق طرد الماء Syneresis cracks

تتشكل شقوق طرد الماء في الوحل عن طريق استخراج الماء المصاحب من الطين الموجود تحت جسم من الماء (Subaqueous) ، (White, 1961) . وقد أشار (Burst, 1965) إلى أن شقوق الوحل التي تحدث تحت سطح الماء تتم عندما يفقد سطح طبقة الطين الماء وذلك نتيجة الارتفاع المفاجيء في محتوى الملح في الطبقة المائية المغطاة لطبقة الوحل . وتسمى هذه الطريقة التي يطرد بها الماء (Syneresis) وتحدث فقط في الطين ذي المعادن الطينية التمدّدة (Expanded) . ويمكن أن تُملأ هذه الشقوق بالرمل السريع من أسفل أو بالترسيب العادي من أعلى (Harms 1965, Diller 1890, Laming 1964, Vitanage 1954, Van Houten, 1965) وتميز شقوق طرد الماء من شقوق التقلص أو الجفاف (Shrinkage cracks) في أن الأولى تكون مملوءة بالوحل المائل أو أخشن بقليل من وحل الصخر الأصلي (المضيف) . وعامة تكون شقوق طرد الماء أصغر من شقوق التقلص . وقد يرتفع مقياس هذا النوع من بنّيات الشقوق إلى مليمترات قليلة (انظر: Selley, 1976) . وتنشأ شقوق الوحل تحت سطح الماء (Subaqueous syneresis cracks) بينما تنشأ شقوق التقلص تحت سطح الهواء أو فوق سطح الأرض (Subaerial desiccation cracks) . وقد أشار (Selley, 1976, 1994) إلى عدم سهولة التمييز دائماً بين شقوق الوحل المشكّلة تحت سطح الماء وشقوق التقلص المشكّلة فوق سطح الأرض ، إلى أنه من المحتمل أن مزلعات الشقوق الكبيرة والمشكّلة في البحيرات الحديثة (Modern playas) تشكلت نتيجة عملية مشتركة من استخراج أو طرد الماء بالطريقتين اللتين حدثتا فوق سطح الأرض (Subaerial) ، وتحت سطح الماء (Subaqueous) مع تعقيدات تاريخية ترتبط بتغيرات مناخية متأخرة . وقد ناقش كثير من الباحثين هذا النوع من الشقوق (Syneresis) مثل :

Van Straaten, (1954); White, (1961); Kuenen, (1965); Donovan and Foster, (1972); Plummer and Gostin, (1986); Collinson and Thompson, (1989) and Boggs, (1995).

## ٢ - بنية آثار المطر Rain prints structure

تتشكل بنية آثار المطر في طبقات الطين والغرين وربما في طبقات الرمل الناعم جدًا. وتظهر آثار المطر على سطح الطبقة بشكل حلقات صغيرة أو بيضاوية إذا كانت نتيجة أمطار هبوب الريح (Wind-blown rain). وتكون على هيئة نقاط محفورة ومتزاحمة الانتشار (شكل ٨٦)، وذات حواف مرتفعة حول كل حفرة. ويتراوح اتساع كل حفرة من نقاط المطر بين ٢ - ١٠ ملليمتر. وآثار المطر مؤشر جيد لتعرض هذه الطبقات للهواء ومناخ محطر. وهي تشبه شقوق الوحل في حفظ طوابعها وبقائها في قاعدة الطبقة الرملية المغطاة لطبقة الوحل الحاملة لبنية آثار المطر. ويتواجد كل من آثار نقاط المطر وشقوق الوحل بشكل كبير على سطح طبقات الطين وأحجار المارل وأيضًا على أسطح طبقات أحجار الوحل الكلسي (Calcilutite)، (Fischer, 1965) وقد يصاحب هاتين البنيتين بنية الملح الكاذبة (Salt pseudomorph).

وتجدر الإشارة هنا إلى ضرورة الحذر في التمييز بين نقاط بنيات آثار المطر وانطباع حبات الرمل أو انطباع الفقاعات الغازية في سطح طبقة وحلية، وهذه الأخيرة لا تظهر الحواف المرتفعة، وربما تكون أكثر تقعرًا. اقرأ:

Selley, (1976, 1982, 1994) and Collinson and Thompson, (1989).

## ٣ - بنية قواطع الرمل Sand dikes structure

وهذه البنية عبارة عن صفحات رأسية من الرمل تقطع الطبقات من أسفل إلى أعلى وتمتد جذورها إلى طبقة رملية تقع تحت جميع الطبقات التي تقطعها بنية قواطع الرمل (شكل ٨٧). وعادة تكون الطبقات المقطوعة بالقواطع الرملية مكونة من الوحل. وتميز هذه البنية من بنية شقوق الوحل بأن بنية قواطع الرمل تتلاشى أو تموت كلما اتجهنا إلى أعلى الطبقات. وتنشأ بنية قواطع الرمل من دخول رمل مندفع مسال (Liquified) في وحل مشبع بالماء. وتختلف أحجام بنيات قواطع الرمل وربما يرجع السبب في أصل نشأتها إلى حركة الزلازل (Barratt, 1966). وربما يلتحم رمل القواطع الرملية مع رمل طبقات رملية موجودة فوق طبقة الوحل مشكلًا شبكة مضلعة من الرمل



على قاعدة طبقة الرمل ، ويظهر ذلك عندما يُحت الوحل ويزاح . ويندر تشكيل مثل هذه البنيات إلا أنها متوافرة في بعض الطبقات الرسوبية مثل تلك التي وصفها Selley, (1976, 1982, 1994); Collinson : أيضاً راجع : (Smyers and Peterson, 1971) . and Thompson, (1989) and Goggs, (1995)

#### ٤ - بنية الملح الكاذبة Salt pseudomorphs structure

تشكل بنية الملح الكاذبة في حالات صخرية مشابهة لتلك التي تشكلت فيها بنية انطباع المطر . وتظهر بنية الملح الكاذبة أينما تكون طبقات أحجار الطين والغرين مغطاة بطبقات أحجار الرمل الناعم جداً أو بأحجار الغرين . وبنية الملح الكاذبة عبارة عن قوالب (Moulds) تشكلت في وحل طري بواسطة بلورات الملح المعدنية (Halite) المكعبة . وغالباً تظهر هذه البلورات مقعرة الوضع (Habit) ، وبشكل يشبه القمع . وتنمو بلورات الملح في وحل مترسب تحت مياه مشبعة بالملح . ويتسبب دخول تدفق تيار ماء عكر وغير ملحي في إذابة بلورات الملح ومن ثم دفن قوالبها تحت طبقة راسب جديد (Selley, 1976) . وقد توجد بنية الملح الكاذبة مشاركة لبنيات أخرى مثل بنية شقوق الوحل وبنية انطباع قطرات المطر .

راجع كل من : Selley, (1982, 1990, 1994) و Plummer and Gostin, (1986) وذلك للاطلاع على مزيد من التفاصيل المتعلقة بالبنيات المتنوعة .

#### ثانياً: البنيات الرسوبية الحيوية Biogenic Sedimentary Structures

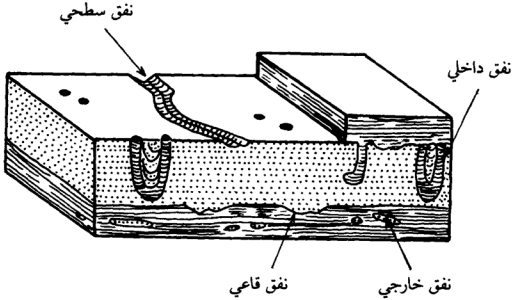
تشكل البنيات الرسوبية الحيوية المتنوعة في الصخور الرسوبية بعد ترسيبها نتيجة أنشطة الأحياء في هذه الرواسب . ويشار إليها بالبنيات الرسوبية العضوية لأنها تختلف عن البنيات الرسوبية غير العضوية والتي سبق شرحها . وتشمل البنيات الحيوية (Biogenic) كل من ثقب جذور النباتات وأثار (Tracks) طبع أقدام الحيوانات الفقارية (Vertebrates) وجُـرأت (Trails) الحيوانات اللافقارية (Invertebrates) ومسالك أو أنفاق (Burrows) الديدان في الرواسب الطرية وثقوب (Borings) الديدان في الصخور الصلبة . وتعرف جميع هذه الظواهر بآثار الأحافير (Tracefossils أو Ichnofossils) . ودراسة علم آثار الأحافير هو (Ichnology) .

ويمكن التمييز بين البُنيات الحيوية المتشكلة بالقرب من سطح الراسب التي تسمى (Exogenetic) وتلك البُنيات المتشكلة تحت سطح الراسب والتي تسمى (Endogenetic) إلا أنه في كثير من الأحيان يصعب التمييز بين هاتين البُنيتين لأن الأحياء في مقدورها أن تحدث مسالكها على امتداد سطح الطبقة بين أوجه طبقات الرمل مع الوحل. وبعد تشكيل مثل هذه المسالك فإنها تمتليء بانسياب الرمل من الطبقة العلوية، ومن ثم تشبه جُرة ما (Trail) تشكلت على سطح طبقة طينية طرية والتي ترسبت عليها طبقة رمل فيها بعد.

وقد صنف الباحث (Seilacher, 1964a) آثار بُنيات الأحافير (Ichnofossils) أو (Trace fossils) إلى خمسة أصناف طبقاً لخصائص تصرفات هذه الحيوانات، وهي كالتالي:

- (١) بُنيات مسالك تغذية الديدان (Fodichnia: feeding burrows)
  - (٢) بُنيات مسالك زحف الديدان (Repichnia: crawling burrows)
  - (٣) بُنيات مسالك الديدان الساكنة (Domichnia: dwelling burrows)
  - (٤) بُنيات جُرة الديدان المستقرة في القاع (Cubichnia: resting trails)
  - (٥) بُنيات جُرة تغذية الديدان (Pascichnia: feeding trails)
- فتتشكل بُنيات مسالك الديدان المتغذية عن طريق الديدان الثابتة في قاع البحر والتي تتغذى على ما تحمله التيارات المحيطة بها، وتظهر بنيتها عامة بشكل شعاعي (Radial pattern).
  - وتتشكل بُنيات مسالك الديدان الزاحفة نتيجة حركة الديدان عندما تزحف أو تسير ببطء فوق سطح الراسب.
  - وتتشكل بُنيات مسالك الديدان الساكنة من بُنيات سكنية أو محمية وتكون ثابتة في مكانها، وقد تتشكل هذه المسالك عن طريق الديدان المتحركة أو الديدان الشبه ممسوكة لحمايتها من الاعتداء عليها أو دفنها في القاع.
  - وتتشكل بُنيات جُرة الديدان المستقرة نتيجة الديدان المتحركة والمستقرة في القاع.
  - كما تتشكل جُرة الديدان المتغذية أو التي ترعى (Grazing trails) من مجرات ملتوية لديدان تتغذى على الوحل تحت التقاء سطحي أوجه الراسب مع الماء أو بالقرب منه (Sediment-water interface).

وبدون النظر في أصل نشأة الديدان الحيوية، تسمى البنيات الحيوية المتشكلة في قاعدة طبقة الرمل (نفق قاعي = Hypichnia) ويطلق المصطلح (نفق سطحي = Epichnia) على البنيات الحيوية المتشكلة في أعلى سطح الطبقة الرملية (شكل ٨٧). كما تسمى البنيات الحيوية المتشكلة في داخل الطبقة الرملية وبشكل متعمق (نفق داخلي = Endichnia) وتسمى البنيات المتشكلة في الطبقة الوحلية السفلية وبشكل متعارض معها ومملوءة برواسب رملية (نفق خارجي = Exichnia) (انظر شكل ٨٧، Martinsson, 1965). لذا نجد أن آثار الأحافير قد جمعت في مجموعات طبقاً للأنشطة التي شكّلهم (Seilacher, 1964a) أو طبقاً لمناطق تشكّلهم (Martinsson, 1965).



شكل (٨٧). أنواع أثر الأحافير وتسمية كل منها. (عن : Selley, 1976, 1994)

فيصف منهج مناطق التشكّل العلاقة بين الأثر والطبقات المتاخمة (شكل ٨٨). وإذا ربطنا النظامين السابقين في التسمية نجد أن جدول (١١) يلخص تسمية أثر أنواع الأحافير.

ويستفاد من أثر الأحافير في تكوين المطابقة (Correlation) الواسعة بين بيئة الترسيب (Depositional environment) ومميزات أوخصائص مجموعات الأثر الأحفوري والذي يدعى بالسحنات الأثرية (Ichnofacies).



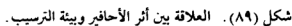
شكل (٨٨). أثر أحافير على سطح طبقة حجر جير رملي من متكون البُوب - قرية الثلثيا، بالقرب من جنوب مدينة الخرج. (عن : Moshrif, 1976)

جدول (١١). ملخص تسمية أثر أنواع الأحافير.

تسمية معتمدة على المكان (Martinsson, 1965)	تسمية معتمدة على النشاط الحيوي (Seilacher, 1964)
أنفاق داخلية وخارجية في الرواسب الطرية	١ - بنّيات آثار مسالك تغذية الديدان ٢ - بنّيات آثار مسالك زحف الديدان ٣ - بنّيات آثار مسالك الديدان الساكنة
أنفاق سطحية وقاعية في الرواسب الطرية.	٤ - بنّيات آثار جُرّة زحف الديدان المستقرة في القاع ٥ - بنّيات آثار جُرّة تغذية الديدان المحلية الحركة

(عن : Selley, 1976, 1994)

وقد لخص (Selley, 1976, 1990, 1994) أهم ما كتب عن السحنات الأثرية وعلاقتها بالبيئات الرسوبية كما هو موضح من (الشكل ٨٩) والذي يربط أهم أبحاث



(Seilacher 1964a, 1967, Rodriguez and Gutschich 1970, and Heckel, كل من  
(1972) في هذا المضمار.

ويشير (الشكل ٨٩) بوضوح أنه على اليابسة وبالقرب من الشاطئء تتشكل سحنات أثرية متكونة بشكل كبير من أثر أقدام الحيوانات الفقارية (Vertebrate tracks) وتشتمل هذه الآثار على طبع أقدام الطيور والحيوانات القارية وكذلك آثار أقدام الديناصور والتي يقل الاحتفاظ بها في السجل الجيولوجي. إلا أنها وجدت بشكل عام في طبقات البحرات الجافة وقيعان الأنهار ومسطحات المد والجزر.

ونجد في اتجاه البحر سحنات أثرية مميزة ومتشكلة في مناطق المد والجزر والتي تدعى مجموعة اسكوليثوز (Seilachar 1964a, Scotiithus assemblage) وذلك لأنها تكثر فيها المسالك الرأسية العميقة (Deep vertical burrows) لأثر جنين الأسكوليثوز (Ichnogenus scolithus) . وتأخذ هذه المسالك أشكالاً متنوعة، فتكون إما أعلى هيئة

أسطوانات عمودية بسيطة (Scolithus) أو أسطوانات عمودية ملفوفة بشكل الحرف "U" (Goldring 1964, Diplocraterion yoyo) أو شبكة ممرات معقدة مثل (Ophiomorpha). وفي هذه البيئة يكون الراسب التحت طبقي بشكل عام ومعرض لنشاط تيار الحث والذي غالباً ما يحث ويعيد ترسيب الراسب، ولذلك فإن الحيوانات غير الهيكلية والمتنوعة في منطقة المد والجزر تشتمل على ديدان (Worms) ومحاريب (Bivalves) وسرطانيات (Crabs) وما شابه ذلك. وتميل هذه الحيوانات بأن تعيش زاحفة (Crawling) وثابتة (Dwelling) ومتطفلة (Feeding burrows). وتخرج هذه الحيوانات عند سطح الراسب والتقاءه بسطح الماء. ولكن تعود إلى داخل الراسب بتعمق لكي تشكل مسكناً آمناً لصغارها أثناء فترات الحث والتعرية.

وفي بيئات مناطق تحت المد والجزر ومناطق البحر القليلة العمق تتشكل سحنات أثرية للحيوانات غير الهيكلية مثل (Cruzians and zoophycus) ويكون نشاط البحر أقل هدماً في هذه المناطق، فإن الحيوانات غير الهيكلية تزحف فوق طبقة أرضية البحر لكي تتغذى وتشكل بذلك خطوطاً قليلة العمق (To feed in shallow grooves). كما تشكل مسالك (Burrows) وهي أقل عمقا وتكون متعاضدة أو تحت أفقية مع طبقة أرضية البحر الرملية.

وتمتاز السحنات الأثرية لحيوانات الكرسيانا (Cruziana) بالجرأت المزدوجة والتي يشار إليها عامة بنشاط ثلاثيات الفصوص (الترايلوبايت - Trilobites). ومثال ذلك السحنة الأثرية التي وجدت في متكون الساق بالملكة العربية السعودية. وقد وجدت أيضاً في متكونات نهريه (Selley 1970, Bromley and Asgaard, 1972). أما أثر أحفورة حيوان زوفيكس (Zoophycus) فإنها تمتاز بشكلها الحلزوني المروحي وذلك في قطاعها المستوي، وعامة توجد عند التقاء سطح رملي مع سطح طين صفحي وفي رواسب بيئات بحرية قليلة العمق ومناطق تحت المد والجزر. (راجع Crimes and Harper, 1970) لكثير من التفاصيل التي تخص حيوان الزوفيكس (Zoophycus). ويكثر تواجد السحنات الأثرية المسماة بـ (Nereites) في المياه البحرية الهادئة والعميقة (شكل ٨٨). وتعيش الحيوانات غير الهيكلية في هذه البيئة فوق سطح الراسب وليس بداخل الراسب التحت طبقي لأرضية البحر. فتتعدم بشكل كبير مسالك الحيوانات وتكثر

الجُرُرات السطحية. وتظهر هذه الآثار بشكل متعرج وتشمل جُرُرات كل من جنس النيرتس (Nereites) ، و جنس الهملثيودا (Helminthoidea) ، و جنس الكوسمورهاف (Cosmorhaphe) أو آثار بشكل مضلع مثل جُرُرات جنس الباليودكتن (Paleodictyon). ويجب الإشارة هنا إلى أن البُنيات الرسوبية الحيوية في معظم الأحيان تشوه البُنيات الرسوبية الأولية الفيزيائية (غير العضوية) مشكلة ما يسمى بالاضطراب الحيوي (Bioturbation) ويقود هذا الاضطراب الحيوي الشديد إلى تغيير مظهر التطبيق ويترك الرمل عديم البنية. وهو من مميزات الأجسام الرملية المترسبة في مناطق الجزر Intertidal ومناطق تحت الجزر (Subtidal). وقد تزيد المسالك العمودية لطبقات الرمل المتداخلة مع طبقات الطين الصفحي النفاذية الرأسية في هذه الطبقات وخاصة إذا كانت هذه المكونات تشكل مخازن هيدروكربونات أو مستودعات مياه.

ويستفاد من البُنيات الحيوية في تقرير نظام التسابع الطبقي وذلك سواء في الطبقات العمودية أو الطبقات المطوية (Shrock, 1948a). وقد تعطي آثار الأحافير أو البُنيات الحيوية فكرة عن معدل سرعة الترسيب (Seilacher, 1962). فتقل آثار الأحافير في كل من الراسب المعاد ترسيبه أكثر من مرة نتيجة العمليات الفيزيائية مثل رمل الشواطئ وكذلك في الرواسب المترسبة بسرعة. ويدل اختفاء آثار الأحافير أو البُنيات الحيوية في راسب ما على ظروف بيئية لمياه بحرية قاعية في أحواض منعزلة أو عديمة التيار والتي يكثر فيها كبريتيد الهيدروجين (Hydrogen sulfide) ويقل الأكسجين. وتشبه ظروف هذه البيئة في الوقت الحاضر مياه قاع البحر الأسود. وربما يتطابق توافر مجموعة أثر الأحافير مع درجة ملوحة المياه المحيطة (Seilacher, 1963). كما يشير وجود التطبيق أو الترقق مع كثير من هذه المسالك أو الآثار الأحفورية إلى توفر فترات غير ترسيبية تمكنت خلالها عملية الدمج أو إحكام الراسب من أن تأخذ عملها. وقد يستخدم توجيه آثار الأحافير أو البُنيات الحيوية في معرفة التيارات القديمة المرسبة للرواسب الحاملة لهذه البُنيات. فيختلف اتجاه توجيه آثار هذه الحيوانات كل حسب نوعيته. فمثلاً في حالة ثلاثية الفصوص (Trilobite) يختلف توجيه آثارها طبقاً لحركة الحيوان، عما إذا كان قد تحرك إلى أعلى أو إلى أسفل أو عبر التيار. كذلك الوضع بالنسبة لآثار الحيوانات المستقرة في أماكنها، فربما يكون لها اتجاهات مفضلة أو معينة وذلك

لكيفية مواجهة هذه الحيوانات للتيار واختيارها أوضاعاً تتناسب مع نوعيتها. وكذلك يمكن الاستفادة من مجموعة آثار الأحافير أو البُنيّات الحيوية في الاسترشاد بهم على نوعية السحنات المختلفة والمصاحبة لهم (Seilacher, 1964a). لأنه من الواضح جداً أن أشكال آثار الأحافير تعكس تجاوب وتلائم الحيوان للظروف السائدة في بيئات الترسيب. كما أنه يُمكن عمل خرائط لآثار اللاحافير والتي بها نستطيع تحديد أحزمة واتساع السحنات الرئيسية (Farrow, 1966) وفي معرفة اختلاف تدرج تغيرات عمق الماء في البيئة المرسبة أيضاً (Seilacher, 1967).

وتجدر الإشارة هنا إلى أن كثيراً من الحيوانات تأكل راسب الوحل بشكل عام وذلك لتتغذى على المواد العضوية المحتواة في هذه الرواسب. وتنتج إلى جانب ذلك حيوانات مسلكية متطفلة (Feeding burrows) وهذه الحيوانات تهضم وتشكل الوحل بشكل العقد أو الكريات الجيرية (Faecal pellets) والتي تفرزها مع بقية الإفرازات (Exceretes) الأخرى. ومثل هذه التراكمات من رواسب كرات الوحل تشكل أهمية خاصة في مناطق ترسيب الوحل الجيري (أو كربونات الوحل)، والتي ستجري مناقشتها في الفصل السابع. ولزيد من التفاصيل في هذا الشأن راجع: Selley, (1976, 1982, 1994); Collinson and Thompson, (1989) and Boggs, (1995).

### ثالثاً: البُنيّات الرسوبية الثانوية (الكيميائية)

#### Secondary (Chemical) Sedimentary Structures

تشكل البنيات الرسوبية الكيميائية النشأة عن طريق عملية النشأة المابعدية المتأخرة (Late diagenetic process) التي تحدث في بعض الطبقات بعد تصخر رواسبها ولا تحمل أية أهمية بالنسبة لتفسيرنا لبيئات الترسيب، إلا إنه من المهم أن يميز الجيولوجي هذا الصنف من البنيات لذاتها ومن ثم عدم خلطها (تلييكها) مع البنيات الرسوبية الأولية الفيزيائية النشأة. ولهذا السبب سنوجز بعد قليل وصف هذه البنيات ذات النشأة المابعدية المتأخرة.

إن بعض المكونات المعدنية التي ربما توجد بتركيزات منخفضة جداً خلال الصخر يمكن تركيزها بسبب هجرة الأيونات والترسيب اللاحق. وربما تشكل هذه التركيزات المعدنية كل من الدرنات (Concretions) والعقيدات (Nodules) وغروط في



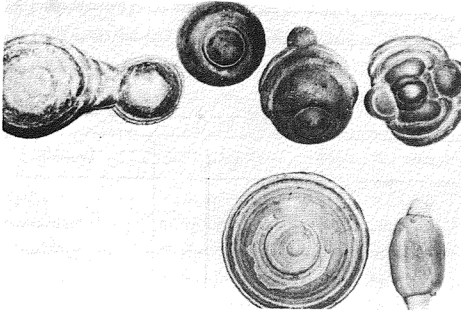
مخروط (cone-in-cone) والجوهر (Geodes) والدرن الشعاعي (Septarial). وأخيراً الزوائد (أو الأعمدة) الصخرية المحززة (Stylolites) التي تنشأ بسبب الضغط والمحلل المتعلق بذلك (جدول ١٢).

جدول (١٢). ملخص تصنيف البنيات الرسوبية الثانوية (الكيميائية).

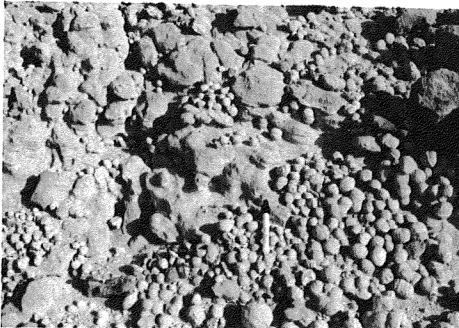
المجموعة	أمثلة	أصل النشأة
بنيات ثانوية (بنيات متنوعة) تحدث بعد التصخر	١ - الدرنات ٢ - مخروط في مخروط ٣ - الجيود ٤ - الدرن الشعاعي ٥ - الزوائد الصخرية	كيميائية، أو نشأة ما بعدية متأخرة، أو محلل الضغط

#### ١ - الدرنات Concretions

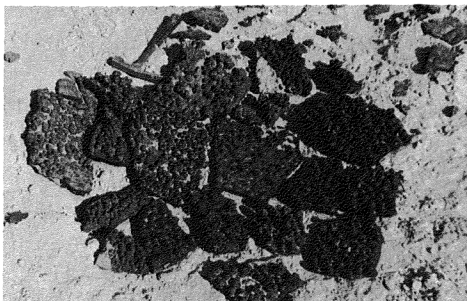
تتكون الدرنات (Concretions)، (الأشكال ٩٠، ٩١، ٩٢، ٩٣) من تجمعات (Aggregates) لمواد رسوبية غير عضوية متواجدة في رواسب أخرى تختلف عنها في التكوين المعدني. وتُظهر الدرنات بعض التشكيلات والبنيات الداخلية. وقد أطلقت أسماء خاصة على الدرنات المختلفة كل حسب بنيتها الداخلية مثل الجيود (Geodes) ومخروط في مخروط (Cone-in-cone) (شكل ٩٧)، والدرة الشعاعية (Septaria) (شكل ١٠٠). ويمكن التمييز بين الدرنات والعقيدات (Nodules) حيث أن الأخيرة لا تحتوي على بنيات داخلية وغير منتظمة الشكل ومن أمثلتها عقيدات حجر الصوان (Flint nodules) وعقيدات الطّر (Chert nodules) (الأشكال ٩٤، ٩٥، ٩٦) الموجودة في كثير من صخور الكربونات (Carbonate rocks). ولكن كلا الإثنين قد تشكل بالترسيب من محاليل مائية متأخرة (ما بعدية) في الصخر المضيف. لذا يرجع أصل نشأة الإثنين معاً إلى العمليات الكيميائية المابعدية المتأخرة (Late diagenetic origin) التي حدثت في الصخور المحتوية لهم، ومن ثم فإن بنيات الدرنات والعقيدات من البنيات الرسوبية المتشكلة بعد الترسيب (أي بعد ترسيب الصخر المضيف).



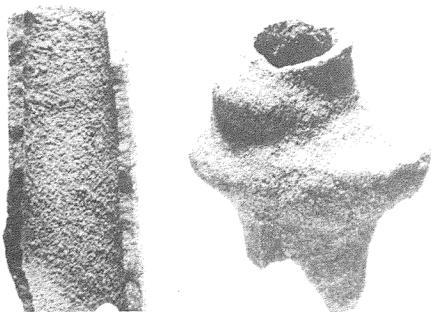
شكل (٩٠). درنات صخرية كلسية. (عن : Pettijohn, 1975)



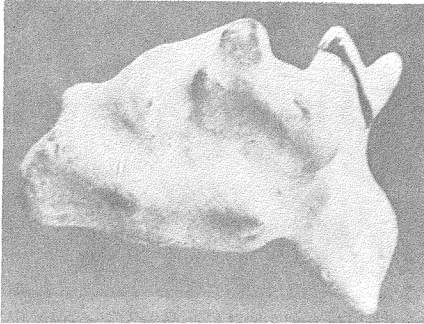
شكل (٩١). درنات صخرية سليسية في حجر رمل البياض خشم أبو رعيم - شمال غرب مدينة الرياض. (عن : Moshrif and Kelling, 1984)



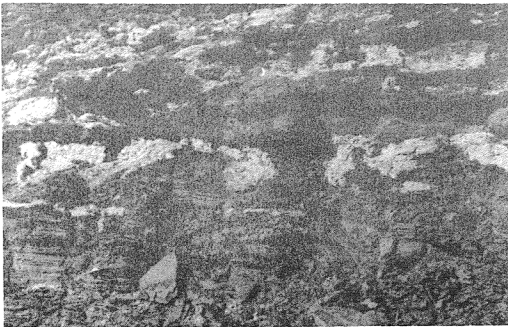
شكل (٩٢). درنات صخرية سليسية حديدية في متكون الوسيح خشم الحلال - شرق مدينة الرياض. (تصوير: مشرف).



شكل (٩٣). درنات أكسيد حديد صخرية مجوفة. (عن: Pettijohn, 1975)



شكل (٩٤). ظر عَقِيدِي. (عن : Pettijohn, 1975)



شكل (٩٥). عَقِيدَة (أو عَجِيرَة) أنهدريت نمت بشكل غير موضعي في راسب مضيّف من الكربونات. (عن : Collinson & Thompson, 1982)



شكل (٩٦). عُقَيْدَات شيرتية تلتحق بمستويات التطبق في حجر جير.

(عن : Collinson & Thompson, 1982)

وبما أن أجسام الدرنات المتنوعة تختلف من حيث الفترة الزمنية التي تشكلت فيها فربما يكون تصنيف هذه الدرنات (المفصلات) المابعدية (Diagenetic segregation) لا يقتصر على الفترة الزمنية التي تشكلت فيها هذه الأجسام بل يشمل شكل الأجسام وبنيتها الداخلية وتكوينها المعدني. لأنه قد تتشكل بعض أجسام هذه الدرنات أثناء الترسيب فيشار إليها بالمصطلح درنات متزامنة الترسيب (Syndimentary concretions) مثل عقيدات المنجنيز (Manganese nodules) وعقيدات الفوسفات (Phosphate nodules) المشككة في الوقت الحاضر في البحار العميقة. وتتشكل بعض هذه الدرنات نتيجة العمليات الكيميائية المابعدية المبكرة (Early diagenetic) ولكن قبل إحكام أو قبل تصخر راسب الصخر المضيف فيطلق عليها درنات معاصرة لها. وأخيراً قد تتشكل بعض هذه الدرنات بعد تصلب الصخر المضيف فيشار إليها بالمصطلح درنات بعد الترسيب (Epigenetic concretions). وقد تُصنّف الدرنات بناءً على أشكالها الخارجية فتكون إما عديمة الشكل

(Amorphous) أو عُقَيْدِيَّة (Nodular) أو ذات شكل أو بنية طبقية (Stratiform). وتبدأ معظم الانفصالات (الدرنات) المابعدية تشكيلها حول المركز. وغالباً تنمو حول جسم غريب مثل ورقة نبات أو صدفة. ويعمل هذا الجسم الغريب بمثابة نواة (Nucleus). ومن أمثلتها الجيود والدرنات الشعاعية. ولكن يتشكل النوع الآخر مثل مخروط في مخروط بالترسيب على طول مستوى التطبق لذا يكون متطاوِل (Tabular) الشكل. كما يمكن التمييز بين هذه الدرنات (أو الانفصالات) المابعدية بناءً على تكوينها المعدني فمنها ما يتكون من محاليل السليكا (Siliceous) مثل الظر (Chert)، والصُّوَان (Flint)، ومنها ما يتكون من الكربونات مثل الكلسيت والأراجونيت والسدرت، والبعض الآخر قد يتكون من الفوسفات أو أكاسيد الحديد أو الكبريتات (Sulphates) مثل الجبس والباريت أو الكبريتيدات (Sulphides) مثل البيرت والماركسيت. ويرجع أصل نشأة الدرنات إلى ثلاثة عوامل رئيسة:

١ - نتيجة ملء المسام الفارغة في الصخر المضيف بمحاليل راسب الدرنه أو الدرنات.

٢ - نتيجة الإحلال الميكانيكي والذي يرجع إلى نمو الضغط في الراسب الطري.

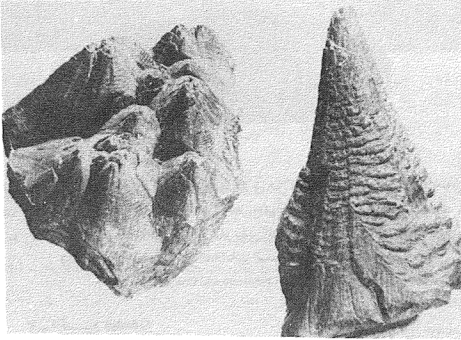
٣ - نتيجة الإحلال بالتحول المعدني الصلب (Metasomatic). وتتواجد الدرنات في جميع متكونات الصخور الرسوبية غير المتحولة (Unmetamorphosed) من الأقدم عمراً إلى الأحدث. وهي موجودة في كل أنواع الصخور الرسوبية فيما عدا معظم صخور المتبخرات (Evaporites) وطبقات الظر والصُّوَان (Twenhofel, 1950). وبما يستحق تذكُّره هو ضرورة التمييز وعدم الخلط بين أشكال الدرنات وأشكال الدرنات الكاذبة (Pseudoconcretions) مثل كرات الوحل (Mud balls) وكرات الوحل الجيري (Lime mud balls) والبنيات الطحلبية (Algal structures) أو ما يعرف بالأنكولايت (Oncolites). ولمزيد من التفاصيل اقرأ:

Selley, (1982, 1990, 1994); Collinson and Thompson, (1989) and Boggs, (1995).

## ٢ - مخروط في مخروط Cone-in-cone

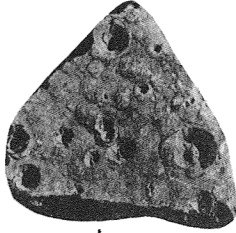
وهي عبارة عن أشكال تجمعات مخروطية (Conical aggregates) لآليات

الكربونات المعدنية غير النقية والتي تتواجد بشكل رئيس في كثير من أحجار المرل (شكلا ٩٧، ٩٨). وفي معظم الأوقات تتكون بنّيات مخروط في مخروط من الكلسيت ولكن أحياناً من الأنكريت  $(Ca(Fe, Mg, Mn)(CO)_3)_2$  أو صخر دولوميت الحديد (Ferroan dolomite) الذي ينمو بالقرب من الطبقات الغنية بالكربونات (مثل الكوكينا Coquinas) ثم يتسع في الامتداد في اتجاه طبقة الطين المحيطة به. ولهذا السبب نجد أن محاور المخاريط (Axes of cones) تكون متتابعة وموجهة بشكل متعامد على مستوى التطبق (Woodland 1964; Franks, 1969). وتعتبر بنّية مخروط في مخروط كشكل نموذجي في سمّنة أحجار المارل. وقد تتشكل بنّيات مخروط في مخروط عادة بشكل مبكر أو قبل تكوين الزوائد الصخرية (Stylolites) وبشكل متأخر عن بقية الدرنات.



شكل (٩٧). بنّية مخروط - في - مخروط، والعلامات السنوية على بنّية المخروط.

(عن: Pettijohn, 1975)



(أ)



(ب)

شكل (٩٨). (أ) بنية مخروط - في - مخروط كما يرى على السطح الخارجي لطبقة من حجر الطين

كلسية تحيط بدرجة من حجر حديد - طيني في طين صفحي بالقرب من نهر

القرن المناطق الشمالية الغربية، كندا. (عن : Conybeare and Crook, 1982)

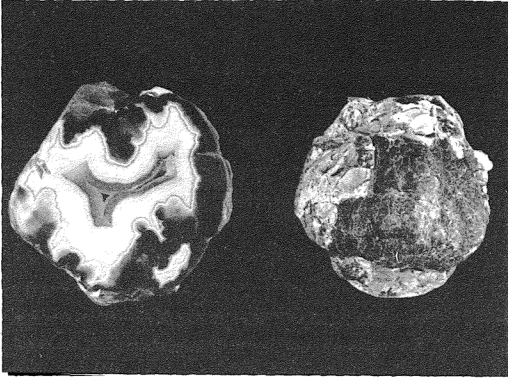
(ب) منظر مقطعي يظهر العلامات السنوية بداخل بنية المخروط .

(عن : Conybeare and Crook, 1982)

### ٣ - الجيود Geodes

وهي عبارة عن بنيت تحت كروية الشكل وذات تجويفات داخلية مركزية وتحاط بطبقة (Layer) من معدن الكالسيدوني (Chalcedony) وتنمو من داخل الجدار بلورات مصطفة وموجهة إلى الداخل (شكل ٩٩). أي أن الجيود تنمو من الخارج في اتجاه المركز (Pettijohn, 1975) عن طريق عملية إحلال للدرنات المبكرة وهي بعكس عملية تشكيل





شكل (٩٩). جيود، السطح الخارجي (يمين) ومقطع مصقول للسطح الداخلي (يسار) يبين نمطنق المرو المتبلر وإقفال الفجوة المركزية بتزايد التبلر. جنوب غرب العراق وبالقرب من حدودها مع السعودية. (تصوير: مشرف)

الدرنات الأخرى التي تبدأ نموها من المركز أو حول النواة ثم تكبر وتتضخم. وتتواجد الجيود بشكل كبير في أحجار الدولوميت وأحجار طين الجير الدقيق الحبيبات (Argillaceous limestone) وتقل في أحجار الجير النقية (Hayes, 1964). وفي معظم الأحيان تظهر أجسام الجيود الكروية بأسطح مسطحة وموازية لتطبق الطبقات الحاوية لهم. وقد يكون لتنظيم انتشارها على مستوى التطبيق أو على امتداد طبقة بين الطبقات فائدة طبقية أو مؤشر طبقي.

وتتميز الجيود بجدارها الرفيع المحيط من الخارج والمتكون من معدن الكالسيدوني الكثيف (Diller, 1898) وقد تكون هذه الطبقة كاملة أو غير كاملة أو أحيانا مفقودة في بعض الجيود نتيجة الحث الخارجي. وفي معظم الحالات تكون الجيود مملوءة. ويظهر جدار الجيود من الداخل مشبع بمواد متبلرة وعامة تكون هذه المواد من

بلورات المرو (الكوارتز) والمُوَجَّهة إلى الداخل. وفي قليل من الحالات تكون هذه البلورات من الكلسيت أو الدولوميت المعيني أو غيرها من المعادن التي ينדר تواجدها (راجع: Van Tuyle, 1916).

وربما تتشكل الجيود في أي من الصخور الرسوبية من خلال ترسيب مواد من محاليل معدنية في مياه متحركة حول جدار تجويف متآكل وله شكل كروي أو أي شكل مستدير آخر. وقد أشار (Bassler, 1908) إلى الطريقة العامة التي ينشأ عنها مثل هذا التجويف المتآكل (Cavities) في بعض المتكونات وذلك بترسيب رواسب محاليل مثل كربونات الكالسيوم وثاني أكسيد السليكون حول بُنيات وأسطح متكسرة لبعض الصدفيات. ويؤدي هذا الترسب إلى اتساع التجويفات أو الفجوات وربما في النهاية يحدّد اتساعها بمعدن متبلرة على الجدار من الداخل مشكّلة بذلك بُنية الجيود (راجع Pettijohn, 1975 لكثير من التفاصيل حول هذا الموضوع. أيضًا اقرأ: Selley, (1982, 1990, 1994) and Collinson and Thompson, (1989).

#### ٤ - الدرن الشعاعي Septaria

وهي من أنواع الدرنات التجمعية والتي تمتاز بإظهار بنيات داخلية بشكل عروق أو كسور تقلصية (Shrinkage fractures) شعاعية. وتكون هذه الكسور عريضة في اتجاه المركز وتضمحل (أي يقل اتساعها) في اتجاه الحافة الخارجية (شكل ١٠٠)، وهي مملوءة بمعدن مختلفة (Taylor 1950; Schmidt, 1965) مثل الكلسيت والسفالريت والبارايت والسلنيت والماركسيت والبيريت والجالينا والكالكوبريت وغيرها. وفي معظم الحالات تكون المعادن متبلرة وخاصة في حالة عدم امتلاء هذه العروق أو الكسور. وإذا عمل قطاع عرضي بدرجة شعاعية فإن هذه الكسور تظهر بشكل هندسي مضلع ولكن يستمر الترتيب الإشعاعي بالقرب من الحائط الخارجي (الأشكال ١٠٠، ١٠١، ١٠٢) ونادرًا ما ينفذ إلى خارج الحواف. وتتواجد الدرنات الشعاعية في طبقات الطين الصفحي. وقد تنفصل هذه الدرنات من طبقات الوحل التي هي بمثابة الأرضية المحيطة لها وربما تتأثر بعمليات التجوية والحت المصاحبة للدرجة أن نظام الكسور الداخلية يظهر من الخارج بشكل أظهر السلاحف.

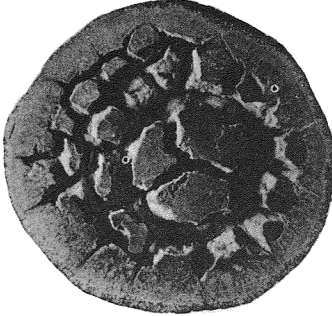


شكل (١٠٠). بنية الدرن الشعاعي. لاحظ اتساع الكسور في اتجاه المركز واطمئنانها في اتجاه الحافة الخارجية. (عن : Pettijohn, 1975)



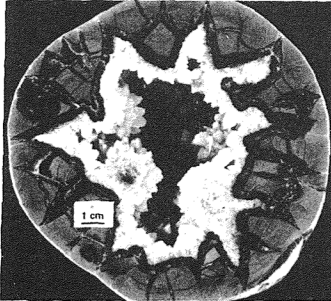
(أ)

شكل (١٠١) (أ) عُقْدَة شعاعية ذات فجوات مضلعة. (عن : Conybeare and Crook, 1982)



(ب)

شكل (١٠١) (ب) - مقطع داخلي لَمَقْبِدَة شعاعية يظهر شقوق طرد الماء.  
(Conybear and Crook, 1982 : عن)



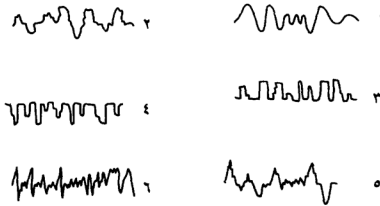
شكل (١٠٢). البنية الداخلية للدرن الشعاعي، حيث تشكلت بإرساب الكلستيت في الشقوق.  
(Davis, 1983 : عن)

وتتكون الدرنات الشعاعية وبخلاف الحشوة المعدنية المتواجدة في الكسور من أجسام كربونات الوحل غير النقي والدقيق الحبيبات المغموسة في الطين الصفحي . وأحيانا تكون الكربونات غنية بالمادة الحديدية وفي هذه الحالة تصبح الدرنه عبارة عن حجر طيني حديدي (Richardson 1919; Vanossi, 1964) .

ومن المحتمل أن يرجع أصل نشأة الدرنه الشعاعية إلى تكوين جسم درني صلب من الخارج و متمي من الداخل وتشكيل نظام انكسار تقلصي مملوء جزئياً أو كلياً بالمادة المعدنية المترسبة ومن ثم تشكيل شبكة العروق الشعاعية في الدرنه .

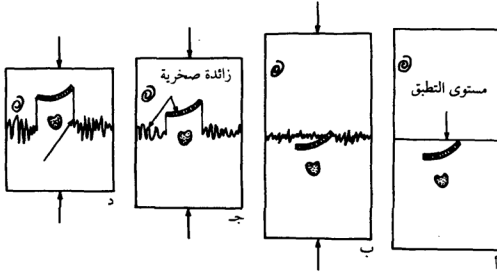
#### ٥ - الزوائد الصخرية Stylolites

تظهر مقاطع العديد من الصخور الذوابة مثل أحجار الجير والدلوميت والرخام وطبقات السدرت عن نطق من البنيات المتعرجة (Zig zag structures) والتي تعرف بالأعمدة أو الزوائد الصخرية المحززة . كما تتشكل نفس هذه البنيات ولكن بشكل محدود جداً في الصخور الأقل ذوباناً مثل أحجار الرمل والكوارتزيت والشرت والصوان والجبس والأنهيدريت وصخر الملح . ولم يعرف حتى الآن بتشكيل مثل هذه البنية السطحية في الصخور الطينية (Argillaceous rocks) . وعند فصل الأسطح المتجاورة تظهر الطبقات المتلامسة خشنة جداً . ويتطابق السطح المخدد مع ما يقابله من الجانب الآخر . والعرق العمودي الزوائد (Stylolite seam) ما هو إلا سطح زوائد معلّم بتداخلات مقفلة التعشيق من كلال الجانبي (شكل ١٠٣) . وتكثر الزوائد الصخرية



شكل (١٠٣) . مقطع عرضي لعرق زوائد في حجر جير ، موضحة ستة أنواع من المناهج الزوائد الصخرية . (عن : Pettijohn, 1975)

وتصبح أكثر إشاعة في الصخور النقية والمتجانسة التركيب. وعادةً تشكل الزوائد الصخرية المقلمة اتصالات غير منتظمة جدًا بين وحدات مجاورة لصخر ذَوَاب مكونة أعمدة ومنخفضات ذات جوانب مُحَدَّدة أو مُحَزَّزة. وتبدو أن الأعمدة الزوائد نمت موازية لاتجاه الضغط أو أنها عامة عمودية أو قريبة من عمودية مع التطبيق. وربما تظهر العروق العمودية المُحَزَّزة موازية أو متفرعة مشكلة نهج الطين أو أكاسيد كل من الحديد والمنغنيز (منجنيز) على طول العروق. وتظهر شواهد التداخلات المتعرجة في اقتراب الأحافير والحصوات غير العضوية والسريثيات. . . إلخ من بعضها والموجودة عند حواف الأعمدة والتي يجب البحث عنها (شكل ١٠٤). ويمكن تتبع امتداد العروق الزوائد



شكل (١٠٤). يوضح تطور تشكيل الزائدة الصخرية في مستوى التطبيق مع تزايد اقتراب أحفورة البسطندمية من كسرة عضدية القدم والعمود الزنبرقي. حفظت كسرة أحفورة عضدية القدم غير الذوابة نسبيًا في مقدمة حجر الجير السفلي المتقدم.

(عن : Bathurst, 1975)

ربما لمسافات مختلفة فقد تمتد لعدة سنتيمترات أو إلى عدة أمتار. وتقطع الزوائد الصخرية العروق المعدنية الصغيرة (Veinlets) أو قد تكون هي مقطوعة هذه العروق المعدنية الصغيرة، وفي كلتا الحالتين هناك علاقة قوية بينهما (شكل ١٠٥).

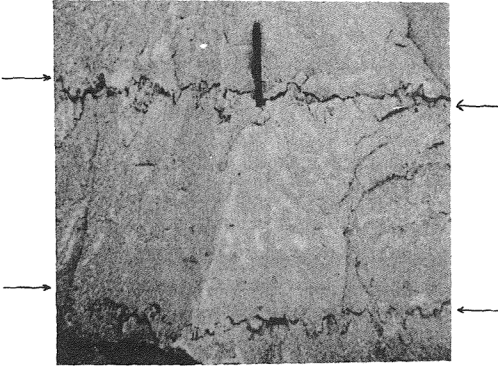


شكل (١٠٥). زحزحة ظاهرة لعرق معدني بسبب الزائدة الصخرية، حيث يمكن الاستفادة منه في تقدير سماكة الطبقة المذابة أثناء تشكيل الزوائد الصخرية.

(عن : Pettijohn, 1975)

ولقد بقيت مسألة مناقشة أصل نشأة الزوائد الصخرية المحززة موضع جدل طويل بين البحاثة وذلك منذ أمد بعيد وخاصة فيما يتعلق بشأن التيقن من أنها أولية أم أنها ثانوية النشأة؟ فمن حيث طريقة تشكيلها فهي ظاهرة متعلقة بمحلول الضغط (Pressure solution) وتنشأ في صخور متصلبة. ولقد أشار العالم بلات وزملاؤه (Blatt *et al.*, 1980) إلى أنه في البيئة تحت سطحية العميقة تؤثر عملية النشأة المابعدية (Diagenetic process) في صخور الكربونات وبشكل محلول الضغط (Pressure solution) والذي يتسبب في ذوبان والتحام (سمنتة) الحبيبات وكذلك تكوين وتشكيل الزوائد الصخرية المحززة. كما أكد العالم بيتي جان (Pettijohn, 1975) على أن العلاقات الحجمية الموجودة بين الزوائد الصخرية وكل من الأحافير والسرديات والتطبيقات والعروق المعدنية تتطلب إزاحة كم هائل من المادة الصخرية. وبما أن الزوائد الصخرية هي بنىات قطعية عرضية والتي كانت متصلة (أصداف وما شابه ذلك) ولأنها قد تكون مستعرضة للتطبيق وتقطع معالم سابقة التصدع مثل العروق المعدنية ومن ثم لا يمكن أن يكون هناك شك في أن الزوائد الصخرية المحززة تشكلت بمحلول ضغط نتج بعد الاندماج أو التصلد الصخري. إلا أن هناك اعتقاداً مغايراً لهذا، وهو أن عملية تكوين الزوائد الصخرية حدثت قبل التحام الصخر كلية وأن الصخر لازال مرناً نسبياً. وبالرغم من أن محلول الضغط وأصل التصلد المسبق يبدو أن حسنًا الانتشار إلا أن الميكنة التي بواسطتها المحاليل الخاضعة للضغط المباشر تجعل من الزوائد

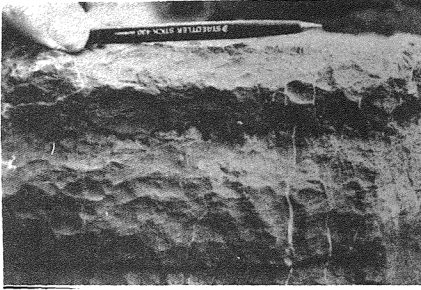
الصخرية بعيدة من أن تكون واضحة. لكن العالم ديفز (Davis, 1983) أشار إلى أن طبيعة التداخلات غير المنتظمة والتي تظهر بها جوانب بعض الطبقات الصخرية والمتمثلة في ظهور عرق نحيل داكن اللون من الطين يفصل بين الطبقتين لهو من محيزات الزوائد الصخرية الأنمذحة (شكلاً ١٠٦). فتتسب الضغط المبذول على سطح



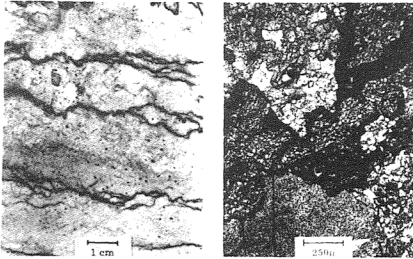
شكل (١٠٦). زوائد صخرية في قطاع كربوناتي في المسيسيبي، جنوب أنديانا، لاحظ العرق الداكن اللون والذي يفصل بين الطبقتين. (عن: Davis, 1983)

الطبقة العلوية ومسطح الطبقة السفلية في نشأة محلول الضغط الذي يتكون من حل وذوبان سطحي الطبقتين عند هذا النطاق الذي يحتوي على رواسب متخلقة غير ذوابة مركزة من الطين على امتداد السطح الزوائدي (Stylolitic surface)، (شكل ١٠٧). وتعطي التضاريس غير المنتظمة قياساً أدنى لسماكة المادة المزاحة على هيئة محلول من كلا الطبقتين، ويمثل الطين المتمزق والماليء لبعض الأسطح الزوائية هو راسب متخلف غير ذوابة آتٍ من محلول حجر الجير (شكل ١٠٨).





شكل (١٠٧) زوائد صخرية في حجر جير، تشكلت الأسطح المستنّة بسبب الجهد الضغطي الرئيسي وعادة تتّبع مستويات التطبق. (عن : Collinson & Thompson, 1989)



(ب)

(أ)

شكل (١٠٨). (أ) زوائد صخرية مزدوجة القطع الرقائقي في حجر جير من الأسباريت الحيوي، تمثل المناطق الداكنة متخلف معدني غير ذائب.

(ب) مقطع رأسي لزوائد صخرية في حجر جير. (عن : Bathurst, 1975)

ولزيد من المعلومات المتقدمة المستوى في هذا الموضوع (انظر:

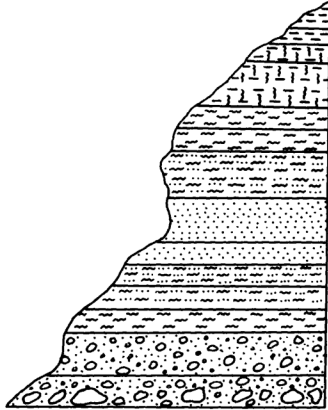
Pettijohn, (1975); Bathurst, (1975); Collinson and Thompson, (1982); Leader, (1982); Scoffin, (1987); Blatt, (1992); Selley, (1994) and Boggs, (1995).

### خاتمة

تستخدم البُنى الرسوبية في تقرير عمليات الترسيب. وحيث إن عمليات الترسيب تحدث في عدة بيئات لذا نجد أن قليلاً من هذه البنى ذات علاقة مباشرة ببيئة معينة. ولكن تدل معظم البنى الرسوبية على اتجاه تدفق التيار القديم (Paleocurrent flow) والمنحدر القديم (Paleostope) والجغرافية القديمة (Paleogeography) وأيضاً امتداد الجسم الرملي (Sandbody trend). ويمكن الاستفادة من البنى الرسوبية في تحليل التيار القديم والتي تشكل جزءاً مهماً في تحليل السحنة أو السحنات في المنكشافات الرسوبية وأيضاً في دراسة الرواسب تحت سطحية. وقد كُتِبَ الكثير في هذا الموضوع من حيث جمع قراءات التيار القديم وتمثيل هذه القراءات في أشكال بيانية وغيره من الأشكال المعبرة عن تحليل هذه القراءات ومن ثم تفسير القراءات وأشكالها البيانية وذلك من أجل تقرير نوعية واتجاه التيار القديم وأيضاً استنتاج ظروف الترسيب وتحديد بيئة الترسيب. وبما أن مثل هذه المعلومات لا يستوجب التعمق فيها عند هذا المستوى من الدراسة الجامعية، فنكتفي بذكر بعض المراجع المهمة والتي تناقش هذا الموضوع بالتفصيل:

Potter and Pettijohn, (1977); Selley, (1968, 1976, 1994); Schlumberger, (1970); Reiche, (1938); Raup and Miesch, (1957); Harbaugh and Marrian, (1968); Smith, (1972); Tanner, (1959); Allen, (1966); Klein, (1967); Conybeare and Crook, (1982); Blatt, (1992); Raymond, (1995) and Boggs, (1995).

## الفصل السادس



### الرواسب الجبلية الناشئة

- مقدمة ● مكونات الصخور الرسوبية
- أصناف الرواسب ● تصنيف الرواسب
- المنقولة ● صخور الوحيل ● أحجار الرمل
- صخور الحصى ● صخور الفتات الناري



## مقدمة

من المعروف لدى علماء الرسوبيات أن الصخور الرسوبية تغطي حوالي ٨٠٪ من القشرة الأرضية. وتعتمد دراسة علم الطبقات وعلم الجيولوجيا البنائية على الصخور الرسوبية أساساً. وتغطي الصخور الرسوبية باحتوائها على نسبة عالية جداً من الخامات ذات القيمة الاقتصادية مثل النفط والغاز الطبيعي والفحم والملح والكبريت والبتواسيوم والجبس وحجر الجير والفوسفات واليورانيوم والحديد والمنجنيز هذا بالإضافة إلى المواد المستعملة في أغراض البناء مثل الرمال وأحجار البناء وخامات الأسمنت وطين الخزف. . . إلخ. وقد نوه العالم فولك (Folk, 1974) بأن من مهام عالم الرسوبيات دراسة المكونات المعدنية وخصائص ومميزات الصخور الرسوبية ذات الأهمية القصوى في تفسير علم الطبقات ومن أعماله أيضاً تحديد أماكن وجود الصخور الرسوبية ومعرفة أنواعها وتضاريسها والمناخ السائد أثناء تكوينها والنشاط الحركي (التكتوني) لمنطقة صخور المصدر. ومن واجب عالم الرسوبيات أيضاً استنتاج خصائص بيئة الترسيب ومعرفة أسباب تغير سمك الطبقات المختلفة ومضاهاة الطبقات بالاعتدال على المعادن المتوافرة فيها.

وتظهر حيوية وأهمية دراسة الصخور الرسوبية من خلال أهميتها في التنقيب عن المخزون المعدني الاقتصادي بعد أن أصبح من الصعب تحديد أماكن تواجد رواسب اقتصادية جديدة. ولقد استمر تطور دراسة الصخور الرسوبية بشكل كبير من قبل شركات النفط وشركات التنقيب عن الفوسفات واليورانيوم والحديد وذلك بغرض تحديد مواقع جديدة لهذه الخامات وتفسير أصل تكوينها. وتتكون الصخور الرسوبية بشكل رئيس من ثلاثة مكونات أساسية، والتي ربما تتواجد مختلطة بنسب مختلفة. وهذه المكونات هي كما يلي:

## أولاً: مكونات الصخور الرسوبية

## ١ - مكونات رواسب أرضية Terrigenous components

وتشمل جميع الرواسب المجلوبة بعد حث جزء من الأرض يقع خارج حوض الترسيب، وتنقل إلى حوض الترسيب كمواد صلبة مثل المرو (أو الكوارتز) والفلسبار

والمعادن الثقيلة (كالزركون والتورملين والجارنت والميكا والروتيل والكاينيت والاشتوروليت وغيرها، انظر مناقشة المعادن الثقيلة) ومعادن الطين والظر وحصى الجير المنقولة بعد حت وتعرية منكشفات الصخور الرسوية القديمة أو السابقة التكوين .

## ٢ - مكونات كيميائية غير نقية «غير عادية» Allochemical components

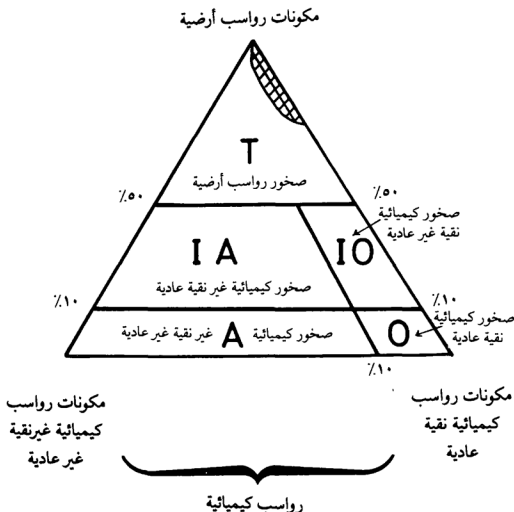
وتشمل تلك المواد المترسبة من محاليل داخل حوض الترسيب وهي كيميائية بصورة غير عادية حيث إنها انتقلت بشكل متأخر كمعادن صلبة في داخل حوض الترسيب وهي ذات درجة عالية من الترتيب الجبسي إذا ما قورنت بالترسبات العادية أو البسيطة . ومن أمثلة هذا النوع، أحجار الجير المحتوية على أصداف كاملة أو كسر صدفية وسرثيات وعقد طينية جيرية وكسّر جيرية معاد ترسيبها والتي تكسرت من مكونات حوض الترسيب السابقة ومن ثم أعيد ترسيبها بشكل حصيات جيرية .

## ٣ - مكونات كيميائية نقية «عادية» Orthochemical components

وهي عبارة عن مترسبات كيميائية عادية تشكلت من خلال العمليات الكيميائية التي تحدث داخل حوض الترسيب ولا تبدي أية دلالات نقل أو تجمع كتلي معقد . ومن أمثلة هذا النوع، الكلسيت الدقيق التبلر والرزغ الدولوميتي (Dolomite ooze) وربما بعض معادن البحر وكذلك الكلسيت والمرو (اللذان يملآن فراغات أحجار الرمل) ومعادن الإحلال .

وتقسم الصخور الرسوية حسب منهاج العالم فولك (Folk, 1974) إلى خمسة رتب رئيسة اعتماداً على نسب تواجد هذه المكونات الثلاثة الأنف ذكرها والتي تظهر عند نهاية رؤوس المثلث في (الشكل ١٠٩)، حيث تمثل (T) صخور رواسب أرضية مثل معظم صخور الوحل وأحجار الرمل والرواهص (أو المذملكات) وتشكل هذه نسبة بين ٦٥ - ٧٥٪ من المقطع الرسوبي الطبقي . وتقع معظم صخور الرواسب الأرضية في المنطقة المظللة في (الشكل ١٠٩) .

وتمثل (IO) صخور كيميائية نقية غير عادية مثل أحجار الجير الدقيقة التبلور والمحتوية على طين وتشكل هذه من ٢ - ٥٪ من المقطع الرسوبي الطبقي .



شكل (١٠٩). تقسيم الصخور الرسوبية. (عن : Folk, 1974)

كما تمثل (IA) صخور كيميائية غير نقية عادية مثل الأليان الصفحية الغنية بالأحافير وأحجار الرمل الغنية بالأحافير وأحجار الجير السريعة وتشكل هذه ما بين ١٠ - ١٥٪ من المقطع الرسوبي الطبقي.

وتمثل (O) صخور كيميائية نقية عادية مثل أحجار الجير الدقيقة التبلور أو أحجار الدولوميت والأنهيدريت والظفر، وتعاود هذه ما بين ٢ - ٨٪ من المقطع الرسوبي الطبقي.

كما تمثل (A) صخور كيميائية غير نقية غير عادية مثل أحجار دلويميت أو أحجار جير محتوية على سرثيات أو أحافير أو عقد طينية جيرية أو كِسْرَ جيرية. ومن الممكن وجود اثنين معاً أو أكثر من هذه المكونات السالفة في حجر جير واحد. وتشكل هذه ما بين ٨ - ١٥٪ من المقطع الرسوبي الطبقي.

ولقد حاول كثير من علماء الصخور الرسوبية منذ أمد بعيد تصنيف الرواسب مستخدمين عدة عوامل منها حجم الحبيبات، والتكوين المعدني وكذلك عوامل أصل النشأة (فيزيائية أم كيميائية) وأيضاً بعضهم استخدم الظروف البيئية في التصنيف.

#### ثانياً: أصناف الرواسب

استخدم الباحث هاتش وآخرين (Hatch et al., 1971) عامل أصل النشأة في تصنيف الرواسب فوجد أن الرواسب تحتوي على خمسة أصناف رئيسية هي:

(١) الرواسب الكيميائية (Chemical sediments). وهي التي تتكون بالترسيب المباشر في بيئة تحت مائية. وتتمثل هذه الرواسب في الجبس وصخر الملح والطوفة الجيرية (Tufa) وربما بعض أوحال الجير أو كربونات الوحل.

(٢) الرواسب العضوية (Organic sediments). وهي التي تتكون من مواد عضوية ذات أصل حيواني ونباتي. ومن أمثلتها الفحم الحجري وأحجار الجير الهيكلية (غنية ببقايا الأحافير مثل الكوكينا).

(٣) الرواسب الأرضية (Terrigenous sediments). وتتكون هذه الرواسب من مكونات الأرض مثل الرواهص أو المذملمكات (Conglomerates)، والبريشيا (Breccias)، الحصباء أو الزلط (Gravels)، وأحجار الرمل (أو فتات السليكا الرملية) وصخور الوحل (Mudrocks).

(٤) الرواسب الفتاتية النارية (Pyroclastic sediments). وهي تتشكل من نواتج النشاط البركاني وتشمل كل من الرماد (Ashes) وأحجار رملية بركانية (طُف (Tuffs)، وفتات الرمل البركاني (Volcaniclastic sands) والرصيص أو الأرضصة البركانية (Agglomerates).

(٥) الرواسب المتخلفة أو المتبقية (Residual sediments). وهي الرواسب التي



تبقى في أماكنها ناتجة عن التجوية الكيميائية مثل صخور اللاتريت (Laterites) والبوكسيت (Bauxites).  
ويظهر أن هذه الأصناف الخمسة من الرواسب يمكن إبرازها مجموعة في قسمين رئيسيين هما:

#### ١ - الرواسب المجلوبة المنشأة Allochthonous sediments

وهي الرواسب التي نقلت إلى البيئة التي ترسبت فيها. وتشمل كل من أصناف رواسب الأرض ورواسب الفتات الناري. ويطلق عليها المصطلح (Extrabasinal rocks) وتعني صخور من خارج حوض الترسيب، وذلك لأن هذا الصنف من الصخور الرسوبية يتكون من جسيمات مساقة من خارج أحواض الترسيب التي ترسبت فيها، مثل فتات الوحل والرمل والزلط (أرضي المنشأة) والفتات الناري (بركاني المنشأة) والتي نقلتها عوامل النقل ورسبتها في أحواض الترسيب الموجودة فيها الآن.

#### ٢ - الرواسب الحوضية المنشأة Autochthonous sediments

وهي الرواسب التي تشكلت داخل البيئة التي ترسبت فيها. وتشمل كلاً من أصناف الرواسب الكيميائية والرواسب العضوية والرواسب المتخلفة أو المتبقية. ويطلق عليها المصطلح (Intrabasinal rocks) وتعني صخور من داخل حوض الترسيب، وذلك لأن جسيمات مكونات هذا الصنف من الصخور الرسوبية مشتقة من داخل حوض الترسيب التي تشكلت فيه، ومثال ذلك صخور الكربونات (أحجار جير أو دلوميت) وصخور المتخثرات والصخور الغنية بالحديد والمنجنيز أو محاليل السليكا (مثل ألطُر Chert) وكذلك صخور الفحم (Carbonaceous rocks). كما يشمل هذا النوع من الصخور رواسب اللاتريت والبوكسيت والمتشكلة في أماكنها، وهي عبارة عن نواتج التجوية للصخور الموجودة سابقاً في هذه المنطقة.

ويلخص (الجدول ١٣) تصنيف الصخور الرسوبية وبصورة اجتهدية ومطابقة لتلك التي استخدمها (Selley, 1976, 1994). ولكن تجدر الإشارة هنا إلى أن هذا التصنيف ليس بالتصنيف المثالي لأنه مثل أي تصنيف آخر، حيث توجد فيه بعض

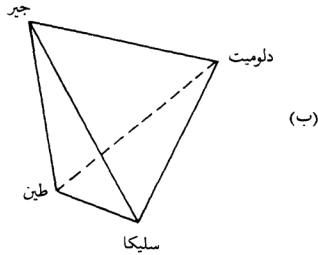
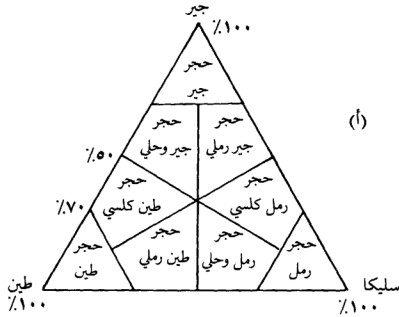
الملايسات المعنية فمثلاً كثير من أحجار الجير تعتبر عضوية النشأة إلا أنها ذات نسيج فتاتي أيضاً. كذلك أن كثير من صخور البحر ذات نشأة كيميائية مابعدية (Diagenetic) وفي نفس الوقت بعضها ذات نشأة ترسيبية كيميائية أولية بحثة .

جدول (١٣) . ملخص تصنيف الصخور الرسوبية .

المجموعة	الصف
١ - الرواسب المجلوبة (منقولة من خارج حوض الترسيب)	<ul style="list-style-type: none"> <li>* رواسب قارية (طين، فتات سليكا الرمل، مُدْمَلَكَات . .)</li> <li>* رواسب فتات ناري (رماد، طف، فتات رمل ناري، أرضصة نارية).</li> </ul>
٢ - الرواسب الحوضية (الآتية من داخل حوض الترسيب)	<ul style="list-style-type: none"> <li>* رواسب كيميائية (متبخرات : جبس، صخر المالح، انهيدريت)</li> <li>* رواسب عضوية (فحم حجري، أحجار الجير . .)</li> <li>* رواسب متخلقة أو متبقية (صخور اللاتريت والبوكسيت . .)</li> </ul>

(عن : Selley, 1976, 1994)

وأوضح (Selley, 1976) أنه بالإمكان استخدام المثلث المتساوي الأضلاع في تصنيف الصخور الرسوبية وبالصورة الموضحة في (شكل ١١٠ أ). فالرواسب المحتوية على ثلاثة مكونات رئيسة يمكن تصنيفها في شكل مثلث الذي فيه كل زاوية تمثل ١٠٠٪ لكل واحد من المكونات الثلاثة (شكل ١١٠ أ). وإذا كان الراسب يحتوي على أربعة مكونات رئيسة فبالإمكان تطبيق الأبعاد الثلاثة (Three dimensions) على رؤوس الشكل البياني رباعي الأوجه (Tetrahedron) كما في (الشكل ١١٠ ب).

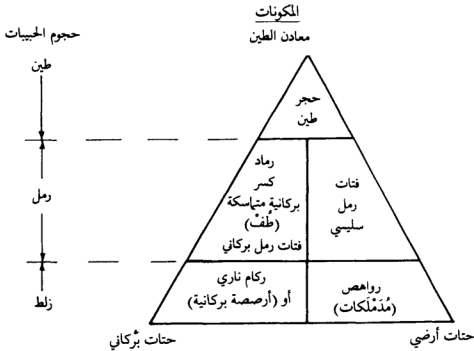


شكل (١١٠). (أ) تقسيم الصخور الرسوبية المحتوية على ثلاثة مكونات باستخدام نظام نسب رؤوس المثلث المتساوي الأضلاع. (عن : Selley, 1976, 1994).

(ب) تقسيم الصخور الرسوبية المحتوية على أربعة مكونات باستخدام نظام نسب رؤوس شكل رباعي الأوجه. (عن : Selley, 1976, 1994)

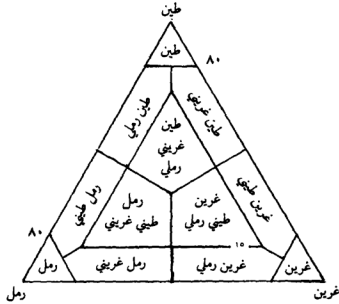
## تصنيف الرواسب المنقولة

كما هو معروف الآن أن الرواسب المنقولة تشتمل على كل من الرواسب القارية والرواسب الفتاتية النارية. ويمكن الآن تصنيف الرواسب المنقولة مستخدمين منهاج المثلث المتساوي الأضلاع (شكل ١١١). ونعتمد هنا على إحداثيات كل من حجم الحبيبات (Grains size)، والتكوين المعدني (Composition) في هذا التصنيف. وحيث إن وصف الراسب يؤكد بشكل كبير حجم الحبيبات والنسيج الحبيبي عوضاً عن التكوين المعدني، لذا نجد أن منهاج المثلث المشابه لذلك الذي وصفه (Shepard, 1954) أصبح مستخدماً بشكل عام (شكل ١١٢). وهذا التصنيف يعتمد على حجم الحبيبات فقط ويستخدم في تصنيف الرواسب غير المتماسكة (Unconsolidated sediments) وقد أشار (Selley, 1976) إلى أن هناك اختلافاً في تسمية الرواسب الحديثة والقديمة. فنجد أن دراسات الرواسب الحديثة تختص مبدئياً بقوى السوائب والموائع (Hydrodynamics) للنقل والترسيب. وهذه متعلقة بشكل واسع بحجم الحبيبات



شكل (١١١). تقسيم الرواسب المنقولة بناءً على حجم الحبيبات والتركيب المعدني.

(عن: Selley, 1976, 1994)



شكل (١١٢). تقسيم الرواسب المفككة باستخدام نسب نظام رؤوس المثلث المتساوي الأضلاع واعتماداً على أحجام الحبيبات. (عن : Shepard, 1954)

والنسيج الصخري وليس هناك اهتمام كبير بالتكوين المعدني كما رأينا من الشكل. بينما تهتم دراسة الرواسب القديمة بشكل رئيس على التكوين المعدني. وهذا واضح من كثرة أسماء الصخور والتي تشير إلى التكوين المعدني عوضاً عن النسيج الصخري، ومثال ذلك: حجر جير، أركوز، دلويميت، حجر وحل، ظر (شيرت) ... إلخ.

وتجدر الإشارة هنا إلى أن الرواسب المنقولة عبارة عن صخور أرضية (Terrigenous rocks) بشكل رئيس. وهذه الصخور سبقت كرواسب من تجوية وحت كتل الأرض (Land masses). ويشتمل حث الأرض على جسيمات بأحجام مختلفة (من حجم الميكرون أو أقل إلى حجم الحصى والكب أو أكبر من ذلك). فينقل النهر هذه الجسيمات في هيئة السحابة والرمال وحتى أكبر حجماً من ذلك، ويوصل أمهاله من الرواسب إلى مناطق مصبات الأنهار (Estuaries) والدلت وربما تنتقل الجسيمات من هناك إلى قيعان أحواض الترسيب حيث تستقر فيها نهائياً. لذا نجد أن مصادر هذه الجسيمات موجودة خارج أحواض الترسيب ومن هنا جاءت تسميتها برواسب من خارج حوض الترسيب (Extrabasinal sediments).

وتتكون الرواسب المنقولة من أربعة أنواع رئيسة من الصخور وهي :

(١) صخور الوحل (Mudrocks)

(٢) أحجار الرمل (Sandstones)

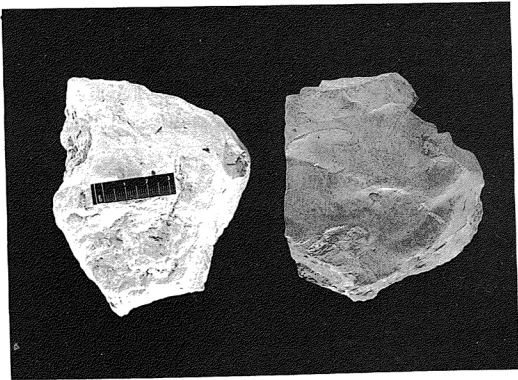
(٣) صخور الحصى (Rudaceous rocks)

(٤) صخور الفتات النارية (Pyroclastic rocks)

وسوف نصف فيما يلي هذه الصخور بالتفصيل .

### أولاً : صخور الوحل

تشكل صخور الوحل (Mudrocks) (شكل ١١٣)، من صخور كتلية  
(Blocky) مصمتة (Massive) وغير صفحية (Non-fissile) وعامة، لا تشتمل تلك  
الصخور على رقائق (Laminae).



شكل (١١٣). عيتان لحجر الوحل من الرصيف العربي . (عن : مشرف، تحت الطبع)

وتتكون صخور الوحل بشكل كبير من معادن الطين (Clay minerals) وهي حبيبات ناعمة ناتجة من تجوية صخور الأرض لذا يعتبر الوحل إذا نشأة أرضية (Terrestrial origin) وهو أحد الرواسب الأرضية (Terrigenous). وتشكل رواسب الوحل كميات حجمية كبيرة تفوق كميات الرواسب الأرضية الخشنة. وفي الوقت الحاضر يتوزع الوحل بشكل واسع في كل أنحاء العالم. كما أنه الحمل الرئيس للأنهار العظيمة في العالم (Pettijohn, 1975).

وهناك كميات كبيرة من نواتج التجوية (الوحل) لم تنقل بعد، وباقية في أماكنها. وتعرف هذه الرواسب بمخلفات التجوية (Weathered residuum) وهي تشبه رواسب صخور اللاتريت والبوكسيت التي تشكلت في الماضي.

والذي يهمن الآن هو الوحل المنقول والرواسب التي يشكلها. وعمامة يستقر الوحل في مياه هادئة إلى حد كبير، بعيدة عن أنشطة الأمواج ويكون عرضة للتيارات الضعيفة فقط. وأكبر كميات الوحل تترسب في المحيطات وخاصة في المناطق العميقة المتاخمة للقارات وعلى عمق آلاف الأمتار والتي تشكل رواسب سهول بحرية سحيقة العمق (Abyssal plains). وهذه الرواسب ذات نشأة قارية في الأصل إلا أنها سبقت من فوق الأرض بالنقل في الأنهار وترسبت في المحيطات. وقد كتب عنها الكثير من البُحاث مثل (Griffin 1962; Biscaye, 1965) وغيرهما. وتساعد في بعض الأحيان تيارات العكر في نقل رواسب الوحل إلى مناطق بحرية أعمق، أو ما يعرف بالنطق أَلَلُجِيَّة (Pelagic zones).

ويتجمع الوحل أيضًا في المياه البحرية القليلة العمق كما في مصبات الأنهار (Estuaries) والبرك الشاطئية المعزولة أو المحمية (Lagoons) وفي مسطحات المد والجزر (Tidal flats)، ولكن عادة ما يتجمع الوحل حيث يكون اضطراب الأمواج أو التيارات منخفضًا جدًا. ويشكل الوحل جزءًا كبيرًا ومهمًا بين رواسب الدَلَّت الكبيرة مثل دلتا المسيسيبي.

ويترسب الوحل في بيئات قارية متنوعة مثل رواسب سهول الفيضانات للأنهار الكبيرة وكذلك رواسب البحيرات العذبة والمالحة وغيرها من الرواسب القارية الأخرى (انظر: Pettijohn, 1975).

وأشار (Selley, 1976) إلى أن مصطلح الوحل (Mud) ضعيف التعريف ومفكك الاستعمال. لأنه يعني في الرواسب الحديثة ذلك الوحل المتكون من طين (Clay) مبلل ومعه كمية معينة من الغرين (Silt) والرمل (Sand) وعندما يكون متصلباً ويصير صخوراً يطلق عليه المصطلح (Mudstone) أي حجر الوحل. والوحل في مقياس ونتورث (Wentworthscale) الذي سبق شرحه في الفصل الثاني، يعني طيناً وغريناً معاً. فتتكون رواسب الطين من جسيمات (Particles) أقطارها أصغر من ٠,٠٠٣٩ مم. وأقطار أحجام حبيبات الغرين تتراوح بين ٠,٠٠٣٩ مم و ٠,٠٦٢٥ مم. وعندما يتصخر الطين يسمى حجر طين (Claystone) وعندما يتصخر الغرين يسمى حجر غرين (Siltstone).

إلا أن هناك صخوراً آخر من صخور الوحل أو من الرواسب الناعمة الحبيبات وهو ما يسمى بالطين الصفحي (Shales) (شكل ١١٤)، ومثله مثل الوحل في التعريف



شكل (١١٤). طين صفحي من ولاية داكوتا الشمالية بأمريكا، من العصر الكريتايوي. لاحظ رقائق الطين الصفائح وتفلقاتها الموازية لمستوى التطبيق. (عن : Stokes and Judson, 1968)



لأنه لا يفرق بين الغرين والطين من حيث تدرج مقياس حجم حبيبات الراسب. فالطين الصفحي يعني الطين المتصفّح أو المترقق والذي يمتاز بأن تنفصل رقائقه بسهولة عن بعضها وهذه خاصية تشير إلى النسيج الصخري والذي يختص به هذا الصخر وهي ما يعرف بخاصية التورق أو التصفّح (Fissility). ويعود ذلك إلى وجود كميات ضئيلة من المايكا (Mica) مصفوفة على مستويات رقائق (Laminae) الوحل.

وكما ذكرنا سابقاً في الفصل الثاني أنه عندما يترسب الطين تكون نسبة المسامية الأولية فيه عالية (ما بين ٥٠ - ٨٠٪) وتكون هذه المسامية مشبعة بالماء. إلا أنه ما يلبث الطين أن يفقد جزءاً كبيراً من مساميته عن طريق طرد الماء أو استخراجه (Dewatering) Syneresis = نتيجة دفن هذه الرواسب والضغط المبدول على الطين من الرواسب المترسبة فوقه. وثانياً يفقد الطين جزءاً آخر من مساميته الأولية بسبب عملية الدمج أو الإحكام (Compaction) وكذلك السمنتة التي يتعرض لها فيما بعد، (Magara, 1980); Gautier and Claypool, (1984); Addis and Jones, (1986); Dzevanishir *et al.*, (1986); Selley, (1990, 1994); Boggs, (1995) and Raymond, (1995).

ويتكون صخر الوحل (Mudstone) بشكل رئيس من:

#### ١ - معادن طينية Clay minerals

وهذه عبارة عن كاولين (Kaolin)، وإلليت (Illite) ومتموريلونيت (Montmorillonite) وكلوريت (Chlorite) وجلوكونيت (Glauconite) والتي سوف نتطرق لها بالتفصيل فيما بعد.

#### ٢ - حبيبات فتاتية، أو حتاتية Detrital grains

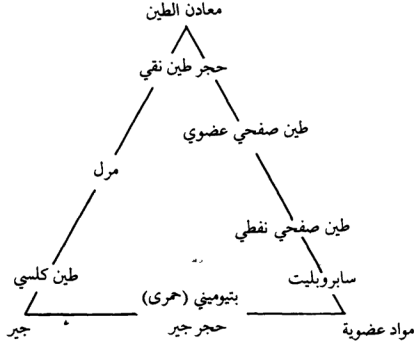
وتتكون الحبيبات الحتاتية (الرضوخية أو الشقفية) من جسيمات ناعمة مزواة من المرو (الكوارتز) والميكا (Micas)، والمعادن الثقيلة (Heavy minerals) مثل: الزركون (Zircon)، والتورملين (Tourmaline) والجارنت (Garnet) والأباتيت (Apatite) وغيرها، (انظر: مناقشة المعادن الثقيلة فيما بعد).

## ٣ - مواد عضوية Organic matter

وهذه عبارة عن بقايا أحياء (نباتية أو حيوانية) وهي معقدة جداً من الناحية الكيميائية.

## ٤ - كربونات Carbonates

وهي مادة جيرية، غالباً ما تتكون من كربونات الكالسيوم. ويمكن تطبيق منهاج المثلث المتساوي الأضلاع في تسمية وتصنيف صخور الوحل وذلك باستخدام الثلاثة مكونات المعدنية المشكلة له وهي المواد العضوية النقية والجير النقي (Pure lime) ومعادن الطين النقي، وترك المكون الرابع (الحبيبات الفتاتية) لقلته ولعدم تأثيره في هذه التسمية. ويظهر (الشكل ١١٥) أن صخور الطين تتكون بشكل كبير من خليط لمعادن طينية وربما تدعى أحجار الطين أو قد تكون هذه المعادن الطينية نقية وفي هذه الحالة يطلق عليها المصطلح (Orthoclaustones). وعندما ترتفع



شكل (١١٥). استخدام المثلث المتساوي الأضلاع في إيضاح تسمية مكونات صخور الوحل.

(عن: Selley, 1976, 1994)

نسبة الجير (Lime) في أحجار الطين فإنها تسمى مرل (Marl) أو صخر طيني جيرى . وإذا أصبحت نسبة الجير عالية جداً وقلت نسبة الطين فإنها في هذه الحالة يشار إليها بالمصطلح (Micrites) أو رزغة من كلسيت دقيق التبلور. وعندما يحتوي الصخر على نسبة أكثر من ٨٠٪ (Micrites) فعندئذ يدعى حجر وحل كلسي (Calcilutite).

وكما هو واضح من (الشكل ١١٥) أن صخور الوحل الغنية جداً بالمواد العضوية (٩٠٪ فأكثر) والتي تكون فيها نسبة معادن الطين قليلة جداً ونسبة الجير معدومة فإنها تسمى سابروبلت (Sapropelite) وتعني الصخور الوحلية العضوية النقية (Pure organic mudrocks). ويطلق على صخور الطين الصفحية والتي تكون فيها نسبة المواد العضوية مرتفعة (٧٠ - ٨٠٪) ونسبة معادن الطين (٢٠ - ٣٠٪)، ونسبة الجير معدومة فهذه تدعى الطين الصفحي النفطي (Oil shale). ويعتبر هذا النوع من الطين مصدراً من مصادر البترول حيث تكون مسامات الصخر مليئة بالنفط الخام والذي يمكن استخلاصه إذا سخن الصخر.

وتتكون المواد الهيدروكربونية العضوية في الرواسب من أربعة أنواع: كيروجين (Kerogen)، وأسفلت (Asphalt)، ونفط خام (Crude oil) وغاز طبيعي (Natural gas). وهذه عبارة عن مركبات عضوية (أو مركبات الكربون والهيدروجين) معقدة جداً (انظر التفاصيل في أي كتاب من كتب الكيمياء العضوية).

ويلخص (جدول ١٤) خواص ومكونات هذه المركبات العضوية.

جدول (١٤). خواص ومكونات المجاميع الرئيسة للمركبات العضوية.

المواد العضوية	الخواص	نسبة المكونات (٪ للوزن) C H <sub>2</sub> S <sup>+</sup> N <sup>+</sup> O <sub>2</sub> , etc
كيروجين	صلب تحت حرارة وضغط عادي، لا يذاب بالمذيبات النفطية العادية.	٧٥ ١٠ ١٥
أسفلت	صلب تحت حرارة وضغط عادي، يذاب بالمذيبات النفطية العادية.	٨٣ ١٠ ٧
نفط خام	سائل عند حرارة وضغط عادي.	٨٥ ١٣ ٢
غاز طبيعي	غاز عند حرارة وضغط عادي.	٧٠ ٢٠ ١٠

وإذا كانت صخور الوحل محتوية على كميات ضئيلة من المواد العضوية فإنها تسمى أحجار الطين العضوية (Organic claystones) وهذه عامة تكون ذات لون داكن. وباختصار فإنه بازياد محتويات المواد العضوية فإن أحجار الطين تتدرج من حجر طين عضوي إلى طين صفحي نفطي ومن ثم إلى سابروليت، راجع:

(Selley, 1976, 1982, 1994) and Raymond (1995.)

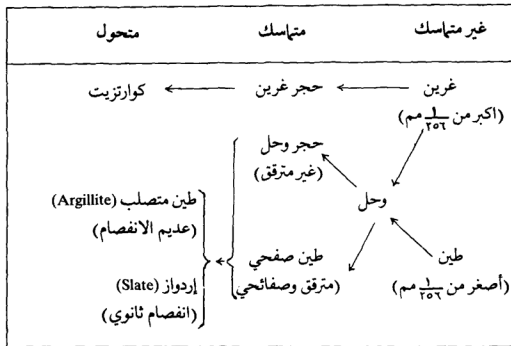
وبما يجدر ذكره هنا أن مكونات صخور الوحل من الحبيبات الناعمة قد ترسبت بمعدل ترسيب أسرع بكثير منه في حالة الطين الصفحي. لأن صخور الطين الصفحي تكون مترققة (أو متورقة) وفيها تمثل الرقائق المفردة المتوازية مراحل دورية للترسيب البطيء في بيئة منخفضة الطاقة أو النشاط (Low energy environment). ولذلك يكون صخر الطين الصفحي متورقاً (Fissile) وينفصل (Split) بسهولة على امتداد مستويات الترقق (أو التورق).

وتقع أهمية صخور الوحل الغنية بالمواد العضوية (Organic-rich mudrocks) كصخر مصدر (Source rock) ومهم لكونه يعطي سائل الهيدروكربونات وقد نوقش هذا الموضوع في كثير من الأبحاث مثل أعمال كل من: (Philippi 1957, Landes 1967, Pusey 1973). كذلك شملت أبحاث كل من (Tissot and Welt, 1978 and Hunt, 1979) موضوع صخور مصدر النفط بشكل متعمق وأكثر تفصيلاً. راجع أيضاً (Selley, 1994).

وتشتمل الرواسب الفتاتية الناعمة الحبيبات على كل من الطين والطين الصفحي وأحجار الوحل والمارل ورواسب الرياح والتي تتمثل في الغبار. ويمكن التمييز بين جميع هذه الرواسب بناءً على النسيج الحبيبي أو التكوين المعدني. فتعرف المصطلحات طين ووحل وحجر وحل وما شبه ذلك بناءً على أنسجة الحبيبة ولكن تستعمل فقط بشكل عام للإشارة إلى الرواسب المحتوية على كميات كبيرة من المعادن الطينية. ويستخدم بعض الجيولوجيين أو الباحثين المصطلح (Argillaceous) ونعني به الطين الغني بالمعادن الطينية. وكما عرفنا سابقاً أن الطين عبارة عن رواسب ناعمة، مقياس أقطار حبيباتها أقل من  $\frac{1}{250}$  مم؛ والغرين عبارة عن رواسب دقيقة، مقياس أقطار حبيباتها يتراوح بين  $\frac{1}{250}$  و  $\frac{1}{16}$  مم. والوحل كمصطلح عام يشمل الطين والغرين وخليط من الاثنين.

ويمكن التمييز بين الغرين والطين في الحقل بناءً على خاصية القرص بين الأسنان. فالطين ناعم ولزج عندما يذاق وقرص بين الأسنان والغرين خشن وحش عندما يقرص بين الأسنان.

ويوضح (الشكل ١١٦) التسمية المستخدمة في الرواسب الطينية (Argillaceous sediments) والعلاقة الموجودة بين جميع أنواع هذه الرواسب ومشتقاتها.



شكل (١١٦). تسمية الرواسب الطينية. (عن: Pettijohn, 1975)

وأشار (Picard, 1971) إلى أن الأوحال الحديثة تحتوي بشكل تقريبي على ٤٥٪ غرين، و ٤٠٪ طين، و ١٥٪ رمل. وتحتوي الأوحال المترسبة حديثاً على نسبة عالية من المسامية وتُملأ هذه المسامية نسبة كبيرة من المياه. فقد قُدِّر (Trask, 1931) أنه قد تصل نسبة المسامية الأولية في الوحل عند الترسيب بين ٧٠ - ٨٠٪ وحيث إن الطين الصفحي العادي (Average shale) يحتوي على مسامية لا تزيد على ١٣٪ (Pettijohn, 1975) لذا فإن الراسب البدائي (أو الأساسي) قد أحكم (Compacted) بشكل كبير وطرَد الماء منه

ومن ثم انخفضت مساميته الأصلية. فانخفاض المسامية هنا حدث نتيجة لعملية الدموج والإحكام (Compaction) عوضاً عن ملء المسامات بالمادة اللاصقة (كما في حالة أحجار الرمل) والذي يتضح من التعديلات المتطورة في الطراز (Fabric) والذي يميل إلى أن ترتب طبقات الطين (Clay platelets) بشكل متوازٍ مع بعضها البعض ومع التطبيق (Oertal and Curtis, 1972) وأيضاً راجع (الشكل ٢٩) تحت تعريف عملية الإحكام والدموج، في الفصل الثاني.

### أحجار الطين النقية ومعادن الطين

تشير أحجار الطين النقية (Orthoclauystones) إلى تلك الصخور ذات حبيبات في حجم الطين وتتكون تقريباً كلية من مجموعة معادن الطين (Clay minerals). ومعادن الطين من المجاميع المعدنية المعقدة والواسعة النطاق والتي تتكون بشكل كبير عن طريق التفكك الكيميائي (Chemical degradation) للمعادن السابقة الوجود أثناء عملية التجوية. وتوجد خمسة مجموعات من معادن الطين وهي:

١ - إلليت (Illite)

٢ - مونتوريلونيت (Montmorillonite) أو سمكتيت (Smectite)

٣ - كاولين (Kaolin)

٤ - كلوريت (Chlorite)

٥ - جلوكونيت (Glauconite).

ومختلف النوعان الأخيران (٤، ٥) عن المعادن الطينية الأخرى في نمط التشكيل (Mode of formation) ولكنها تظهر تشابهاً في كل من البنية الذرية (Atomic structure) والتكوين المعدني (Composition).

وتتكون جميع هذه المعادن الطينية من سليكات الألومنيوم المائية (Hydrous aluminosilicates). وتختلف خاصية التبلور في جميع هذه المعادن فيها عدا الكاولين والكلوريت. وحيث تظهر فهي ذات نظام أحادي (Monoclinic system) فيها عدا معدن الجلوكونيت الذي يكون دائماً عديم التبلور (Amorphous). لمزيد من التفاصيل انظر (Selley, 1976, 1990, 1994).

ويوضح جدول (١٥) ملخص خواص مجاميع معادن الطين وما يتعلق بها.

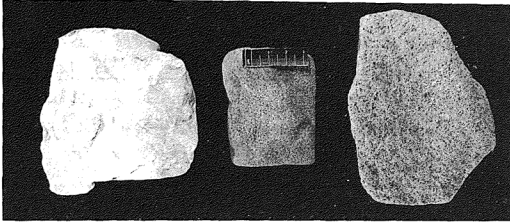
جدول (١٥). ملخص خواص مجاميع معادن الطين.

المعدن	التكوين المعدني (بالإضافة إلى سليكات الألومنيوم المائية)				بنية الشبكة (الحلقة) الذرية	المصدر	اسم الصخر
	K Fe Mg Ca						
١ - مونتوريلونيت					ثلاث طبقات	بركاني	بنتونيت
٢ - كلوريت					خليط من الطبقات	معادن المغنسيوم والحديد	
٣ - جلوكونيت					خليط من الطبقات	عمليات ما بعدية تحت البحر	
٤ - إليليت					ثلاث طبقات	فلسبارات	
٥ - كاولين					طبقتين	فلسبارات	طين الصين طين النار تُسْتِثْن

(عن: Selley, 1976, 1994)

### ثانيًا: أحجار الرمل

يقصد بأحجار الرمل (Sandstones) تلك الرواسب الرملية (Arenaceous deposits) ذات النسيج الرملي (Sandy texture)، (شكل ١١٧)، والتي تختص بحبيبات ذات أحجام ثابتة ويمكن تعيينها على مقياس الحجم للعالم ونتورث (Wentworth scale) بين  $\frac{1}{16}$  و ٢ مم. وأحيانًا يشار إلى أحجار الرمل بالمصطلح (Siliclastic sediments) أو ما يعنى برواسب فتات السليكا. ونستخدم المصطلح كوارتزوز (Quartzose) أو رمل فتات السليكا (Siliclastic sands) لتمييزه عن كل من رمل الجير (Carbonate sands) ورمل الفتات البركاني (Volcaniclastic sands). وقد لخص (Pettijohn 1975) أنه يمكن تقسيم الرمل (Sands) من حيث أصل النشأة إلى



شكل (١١٧). عينات مختلفة من أحجار الرمل حسب ألوانها وحجوم حبيباتها، من الرصيف العربي. (عن مشرف، تحت الطبع).

ثلاثة مجاميع رئيسة وهي: الرمل الأرضي (Terrigenous sands)، ورمل جير أو الرمل الكربوناتي (Carbonate sands)، ورمل الفتات الناري (Pyroclastic sands).

وينتج الرمل الأرضي (Terrigenous sands) من تجوية وتفتيت الصخور السابقة التكوين (Pre-existing rocks) وتقوم السوائل المتحركة (الماء والهواء) بنقل وتصنيف هذه الرواسب ومن ثم حملها من مصادر بعيدة عن حوض الترسيب.

أما رمل الكربونات (Carbonate sands) فهو بحري النشأة ويتكون من حبيبات هيكلية (Skeletal grains) وسرثيات (Oolites) وكربونات حثائية (Detrital carbonates) مساقة علياً أو ما يعرف بالحبيبات الكلسية المكسرة أو المفتتة (Intraclasts)، وهي جسيمات جيرية تتشكل في داخل حوض الترسيب (Intraformational particles) وتتكون جميع هذه المكونات داخل حوض الترسيب وهي ليست حطاماً (Debris) متشكلاً من تفتيت الصخور السابقة التكوين. فيما عدا بعض الرمل الغني بالجسيمات الكربوناتيّة أو الجيرية والتي نتجت من حت طبقات الكربونات السمكية، فهذا النوع من رمل الكربونات أرضي النشأة لأنه جاء من حت أحجار الجير (Limestones)، والدولوميت (Dolomites) السابقة التكوين، وبأحجام حبات الرمل العادي.

وينتج الرمل الفتاتي الناري (Pyroclastic sands) من الانفجارات البركانية. وربما يترسب الرمل الفتاتي الناري في بيئات متنوعة، رجيّة أو مائيّة. وأيضاً يشير



مصطلح الفتات البركاني (Volcanic debris) إلى الرمل الغني بالحطام البركاني (Volcanic debris). وقد يكون هذا الحطام إما حثات ناري حقيقي أو قارّي إذا جلب من أرض بركانية قديمة (Older volcanic terrain).

والذي يهنا هنا هو الرمل الأرضي الحقيقي وهذا يشغل تقريباً ٣٠٪ من الغطاء الصخري الرسوبي في العالم. ورواسب الرمل مهمة للغاية لكونها في معظم الأحيان عالية المسامية وبشكل طبيعي فهي تشكل خزانات مياه ومستودعات هيدروكربون رئيسة. ويظهر الرمل منتظماً ومتجانساً الطبقيّة (أو الاستراتيجية)، كما يعتبر الرمل من الرواسب الثابتة (Stable deposits) وذلك إذا ما قورن برواسب الكربونات غير الثابتة (Unstable) وغير المنتظمة والتي تكون أكثر عرضة للتغيرات المابعدية (Diagenesis) التي تؤثر في مساميتها الأولية. لذا يكون الرمل أسهل في دراسته وأيسر في التنبؤ باتساع رفعتة وسماكته وأيضاً في تشكيل خزاناته. كما يعتبر الرمل النقي مصدراً فريداً في صناعة الزجاج.

#### تسمية وتصنيف الرمل Nomenclature and classification of sandstones

قام كل من (Okada 1971, Pettijohn et al., 1972 and Klein, 1963) بمراجعة ما كتب بالتفصيل عن تسمية وتصنيف الرمل. وتلخص معظم تصنيفات الرمل في استخدام منهاج المثلث المتساوي الأضلاع والذي استخدم فيه مكونات الرمل الرئيسة وهي الكوارتز والطين والفلسبار أو محتوياته الصخرية.

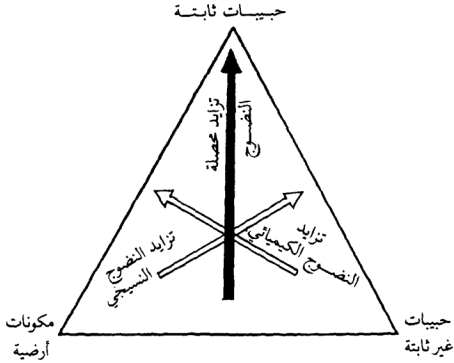
ويبدو أننا سوف نستخدم عامل النضوج (Maturity) في تسمية وتصنيف الرمل وذلك طبقاً لإيضاح (Selley, 1976, 1990, 1994) فيكون الرمل ناضجاً (Mature) في اتجاهين؛ كيميائياً، وفيزيائياً. وكما هو معروف أن الرواسب تتشكل من تجوية صخور المصدر المعقدة معدنياً. ومن خلال عملية التجوية والنقل وبشكل متناسب تتحلل وتقل المعادن غير الثابتة (الفلسبار Feldspar) وتزداد نسبة المعادن الثابتة (الكوارتز) كيميائياً. فيكون معامل النضوج الكيميائي (Index of chemical maturity) لصخر ما هو نسبة وجود الكوارتز والفلسبار في هذا الصخر. وعندما يعاد ترسيب (Reworked) الرواسب من خلال دورتين ترسيبيتين أو أكثر فإن هذه الرواسب تميل إلى أن تكون

ناضجة ومحتوية على رمل كوارتز نقي (Pure quartz sands) .

ومن ناحية أخرى، يصف النضوج الفيزيائي التغيرات النسيجية (Textural changes) والتي يمر بها الراسب من فترة التجوية حتى فترة الترسيب. وتشمل هذه التغيرات كلاً من الزيادة في درجة التصنيف (Sorting) والانخفاض في محتويات راسب الأرضية (Matrix) أو الرواسب الدقيقة. لذا ربما يكون معامل النضج الفيزيائي (Index of physical maturity) هو النسبة الموجودة بين الحبيبات (Grains) وراسب الأرضية (Matrix)، وفي هذه الحالة يكون الطين (Clay) هو راسب الأرضية الشائع. فيشكل محتوى الطين في صخر الرمل مقياس عامل النضج النسيجي (Textural maturation) أو الفيزيائي. ويشكل الكوارتز مقياس عامل النضج المعدني (Mineral maturation) أو الكيميائي.

ويحدث كل من النضوج الكيميائي والفيزيائي أثناء تاريخ تجمع الرمل. ومن هنا ربما يكون الرمل الناضج كيميائياً غير ناضج فيزيائياً وبالعكس. ويرجع هذا إلى أن التكوين المعدني الكيميائي (Chemical composition) يكون بشكل حتمي نتيجة المصدر الأصلي (مكان النشأة Provenance) بينما التكوين المعدني النسيجي (Textural composition) يكون نتيجة عمليات (Processes) لاحقة يتعرض لها الصخر من وقت التجوية وحتى فترة الترسيب.

ومن التحليل السابق يمكننا استخدام منهاج المثلث المتساوي الأضلاع، وتوزيع محتويات صخر الرمل الثلاثة الرئيسة (وهي الحبيبات الثابتة وراسب الأرضية والحبيبات غير الثابتة) على رؤوس المثلث كما هو موضح في (الشكل ١١٨). فكلما تحسن تجمع الرمل في النضوج النسيجي (أو الفيزيائي) ابتعد عن رأس المثلث الحاوي على راسب الأرضية (Matrix) وكلما تحسن تجمع الرمل في النضوج المعدني (أو الكيميائي) ابتعد عن رأس المثلث الحاوي على الحبيبات غير الثابتة (أو الفلسبار). وحيث إن النوعين من النضوج يحدثان معاً وفي نفس الوقت ولكن بمعدل سرعات مختلفة، لذا فإن محصلة النضوج (Net maturity) للراسب تزداد في اتجاه رأس المثلث الحاوي على الحبيبات الثابتة (أو الكوارتز)، راجع (الشكل ١١٨). ويتم ذلك عبر أكثر من دورة رسوبية (Sedimentary cycle). وهي نهاية مشوار أي راسب رملي.



شكل (١١٨). استخدام نظام رؤوس المثلث المتساوي الأضلاع في إيضاح كيفية الاستدلال على نضوج الرمل من خلال مكوناته. فيكون ناضج فيزيائياً (نسيجياً) بناءً على نسبة محتوياته من راسب الأرضية، ويكون ناضج كيميائياً (معدنياً) بناءً على نسبة محتوياته من المعادن غير الثابتة. (عن: Selley, 1976, 1994)

ويمكن حساب مفاهيم النضوج للرمل كما أوضحه (Selley, 1976, 1994) كالتالي:

$$\text{Physical maturity (Mp)} = \frac{G}{G + M} \times 100$$

حيث (Mp) = معامل النضوج الفيزيائي، G = حجم كميات الحبيبات، M = حجم كمية راسب الأرضية ويضرب في مئة لإعطاء النسبة المئوية. وبالمثل يمكن حساب معامل النضوج الكيميائي (Mc) باستخدام المعادلة التالية:

$$\text{Chemical maturity (Mc)} = \frac{Gs}{Gs + Gu} \times 100$$

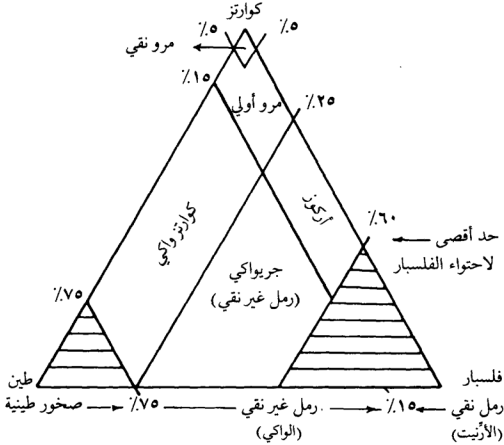
حيث  $G_s$  = حجم كمية الحبيبات الثابتة (Stable grains) كيميائياً (وهي في هذه الحالة متمثلة في الكوارتز) ؛  $G_u$  = حجم كمية الحبيبات غير الثابتة (Unstable grains) كيميائياً (وهي في هذه الحالة متمثلة في الفلسبار)، ومضروب في مئة لإعطاء النسبة المئوية. ولحساب معامل محصلة النضوج  $M_n$  يجمع معامل النضوج (الكيميائي والفيزيائي) ويقسم على اثنين كالتالي:

$$\text{Net maturity index (Mn)} = \frac{M_c + M_p}{2}$$

ويمكن تصنيف الرمل بتطبيق مناهج المثلث المتساوي الأضلاع وبتوزيع مكونات حجر الرمل الرئيسة (الكوارتز والفلسبار والطين) على نهاية رؤوس المثلث كما في (الشكل ١١٩). ويتبين من هذا الشكل أن الرمل بشكل عام ربما ينقسم إلى نوعين أساسيين هما أحجار رمل نقي أو الأرنيث (Arenites) وأحجار رمل غير نقي أو الواكي (Wackes). ويحتوي أحجار الأرنيث على أقل من ١٥٪ راسب أرضية (Matrix) أو طين. وبهذا تكون أحجار الأرنيث ناضجة فيزيائياً (Physically mature) أو ما يعرف بأنها ناضجة نسيجياً (Texturally mature). بينما تحتوي أحجار الواكي على ما بين ١٥ - ٧٥٪ طين أو راسب أرضية (Matrix) وهي غير ناضجة فيزيائياً (Physically immature) أو ما يعرف بأنها غير ناضجة نسيجياً (Texturally immature).

بشكل مماثل يمكن تقسيم الرمل إلى أحجار أرنيث ناضجة كيميائياً (Chemically mature) أو ما يعرف بناضجة معدنياً (Mineralogically mature). وأحجار واكي ناضجة كيميائياً أو ما يعرف بناضجة معدنياً. ويحتوي كلا الإثنين على أقل من ٢٥٪ فلسبار. ويتمثل هذان الإثنين في أحجار الرمل المسماة بواكي الكوارتز (Quartz-wacke) ورمل أوّلي (Protoquartzite). ويشغل أعلى المثلث حجر رمل (Orthoquartzite) وهذا أنقى وأنضج أنواع أحجار الرمل، إذ إنه يحتوي على أقل من ٥٪ فلسبار وأقل من ٥٪ راسب أرضية أو طين.

أما الرمل المحتوي على أكثر من ٢٥٪ فلسبار فهو غير ناضج كيميائياً (Chemically immature) وهذا ينقسم إلى قسمين هما أحجار الأركوز (Arkoses)، وأحجار الجريواكي (Greywackes) والتي تدخل بشكل متتال ضمن النوعين الأساسيين



شكل (١١٩). تقسيم أحجار الرمل بناءً على استخدام الطين كمؤشر للنضوج النسيجي، والفلسبار كمعامل للنضوج الكيميائي. (عن: Selley, 1976, 1994)

هما أحجار الأرثيت وأحجار الواكي.

ومن ثم نجد أن هذا المنهج المتبع هنا في التقسيم يقسم الرمل بشكل عرقي إلى ثلاثة مجاميع رئيسة بناءً على درجة نضوج الرمل من الناحية الكيميائية والفيزيائية. وهذه المجاميع هي:

١ - أحجار الكوارتزيت (Quartzites) وتضم كلاً من الرمل النقي والرمل الأولي (Orthoquartzites + Protoquartzites).

٢ - أحجار الأركوز (Arkoses).

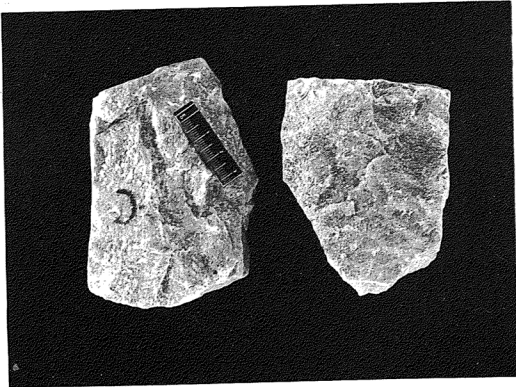
٣ - أحجار الواكي (Wackes) وتضم كلاً من الكوارتز وواكي والجريواكي (Quartzwacke + Greywacke).

ويمكن وصف هذه الأنواع من أحجار الرمل متبعين منهاج طريقة وصف الصخر في الحقل والتي تشتمل على التتابع الوصفي التالي:  
اسم الصخر، اللون، الصلابة، حجم الحبيبات، شكل الحبيبات، تصنيف الحبيبات (Sorting)، المعادن المتوفرة، الأحافير (إذا وجدت)، البنيات الرسوبية، المسامية وغيرها من الخصائص.

### وصف أحجار الرمل

#### ١ - الكوارتزيت

- يطلق مصطلح الكوارتزيت (Quartzite)، (شكل ١٢٠)، على الرمل الغني بالملو أو الكوارتز، وبغض النظر عن درجة التصخر، فقد يكون الكوارتزيت رملًا صخريًا متصلبًا أو رملًا مفككًا أي عديم السمته.



شكل (١٢٠). حجر رمل الكوارتزيت من الوصيف العربي. (عن مشرف: تحت الطبع).

- يضم الكوارتزيت في مفهومه كلاً من رمل الكوارتز النقي (Orthoquartzite) ورمل الكوارتز الأولي (Protoquartzite) المحتوي على بعض الفلسبار والطين.
- الكوارتزيت عبارة عن رمل ناضج نسيجياً ومعدنياً أو فيزيائياً وكيميائياً على التوالي. ويشار إليه أحياناً بأرتيت الكوارتز.
- يحتوي الكوارتزيت على أقل من ١٥٪ طين أو راسب أرضية (Matrix) وأقل من ٢٥٪ فلسبار (شكل ١١٩).
- يكون لون الكوارتزيت عامة أبيض، رمادياً باهتاً أو زهرياً باهتاً بسبب تأثيره ببعض الشوائب المعدنية.
- تختلف أحجام حبيبات الكوارتزيت من صخر لآخر ولكن عامة فهو جيد التصنيف (Good sorting) وحبيباته حسنة الاستدارة (Well-rounded).
- يحتوي الكوارتزيت على قليل من حثانات معدنية منقولة غير الكوارتز. تشمل هذه المعادن الثقيلة مثل الزركون والتورمالين والأباتيت والجارنت والميكا. كذلك يحتوي الكوارتزيت أحياناً على حبيبات حثاتية (Detrital grains) ثابتة (Autochthonous) ومتشكلة من داخل حوض الترسيب (Intraformational) وتشتمل هذه الحبيبات على كل من حبيبات الجلوكونيت وعقد الفوسفات (Phosphate pellets) وحطامات هيكلية (Skeletal debris).
- يكون الكوارتزيت هالي المسامية والنفاذية عند وقت الترسيب وذلك بسبب حبيباته المتساوية أو المتجانسة وكذلك حبيباته المستديرة وقلة احتوائه على الطين أو راسب الأرضية (Matrix).
- عامة تكون المادة اللاصقة في الكوارتزيت إما السليكا الثانوية أو الكالسيت ولكن عندما تنعدم المادة اللاصقة يشكل الكوارتزيت أحسن خزانات الهيدروكربون ومستودعات المياه من كل أنواع أحجار الرمل.
- ومن المحتمل أن يكون معظم الكوارتزيت قد نشأ نتيجة أكثر من دورة ترسيبية (Polycyclic) أي أن أحجار الكوارتزيت تعرضت لأكثر من دورة من التجوية والاحت والنقل والترسيب لكي تصبح ناضجة وبالشكل الحالي.
- يترسب الكوارتزيت في بيئات مختلفة إلا أن ترسيبه يتلاءم بشكل كبير مع ظروف

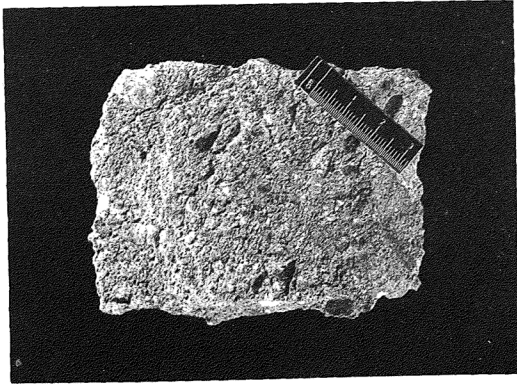
البيئات البحرية القليلة العمق (Marine shoal environment) والبيئات الربيحية وذلك بسبب النشاط السائد في كلتا البيئتين والمتمثل في استمرارية اختيار إزاحة الرواسب الناعمة أو الدقيقة من بين بقية الرواسب ومن هنا تأتي ظاهرة انخفاض نسبة الطين في الكوارتزيت.

ولمزيد من التفاصيل عن حجر رمل الكوارتزيت راجع كل من:

Sturt, (1961); Baars, (1961); Hubert, (1964); Bennacef *et al.*, (1971); Glennie, (1972); Selley, (1976, 1990, 1994); Boggs, (1995) and Raymond, (1995).

## ٢ - الأركوز

- يستخدم مصطلح الأركوز (Arkose) ، (شكل ١٢١)، عند الإشارة إلى الرمل المتكون من مرو (Quartz) وكمية كبيرة من الفلسبار (Feldspar).



شكل (١٢١). حجر رمل الأركوز من الرصيف العربي. (عن: مشرف).



- يتكون الأركوز من رمل ناضج فيزيائياً أو نسيجياً (Texturally) لاحتوائه على نسبة قليلة (أقل من ١٥٪) من راسب الأرضية (Matrix) أو الطين. وهو غير ناضج معدنياً أو كيميائياً لأنه يحتوي على كمية كبيرة (بين ٢٥ - ٦٠٪) من الفلسبار.
- إذا زادت نسبة الفلسبار عن ٦٠٪ في الأركوز كما يحدث في بعض الأحيان فهذا يعني أن مصدر (Source) الصخر غني بالفلسبار وفقير في الكوارتز، والعكس صحيح. وتزداد نسبة الكوارتز عن الفلسبار بمجرد تعرض المصدر لعملية التجوية. لأننا نعلم أن الفلسبار يتجوى أسرع من الكوارتز (راجع تفاصيل الموضوع في الفصل الثالث).
- يتشكل الأركوز من تجوية وتفكك غير كامل لصخور نارية حمضية (مثل الجرانيت) وصخور متحولة مثل النابيس وذلك لاحتوائها على نسبة عالية من الكوارتز والفلسبار.
- يظهر الأركوز بلون زهري أو أحمر. ويرجع لونه الزهري إلى لون الفلسبار ولكن لونه الأحمر يعود إلى امتصاص الطين لاهمرار أكسيد الحديد ومن ثم صبغ راسب أرضية الصخر بهذا اللون.
- يحتوي الأركوز على حبيبات مختلفة الأحجام وغالباً ما يكون رديء التصنيف (Poorly sorted).
- يتشكل الأركوز في محله «*in situ*» على صخور الجرانيت والمشكلة منطقة تجوية انتقالية والتي يطلق عليها المصطلح حت أو غسيل الجرانيت (Granite wash). ويصعب فيها تمييز الراسب من الصخر الناري ويكون ذلك صعباً إذا اعتمد على طريقة الحفر المتقني (الحفر بالثاقيب) ولكنه يسهل ملاحظته بالطرق الجيوفيزيائية (Selley, 1976, 1994).
- تكون حبيبات الأركوز مزواة إلى تحت مستديرة ويحتوي على كميات عالية من الطين أو راسب الأرضية (Matrix). ولهذا السبب يندر بقاء الأركوز غير متماسك (Unconsolidated) لفترة طويلة مثل الكوارتزيت.
- تُظهرُ رواسب الأركوز القديمة بعضاً من التصخر ويعود ذلك إلى قوة الارتباط الطيني (Clay bonding).

- في معظم الأحيان تنعدم مسامية الأركوز بسبب انشغال المسامات بالرواسب الدقيقة (أو الطين أو راسب الأرضية Matrix) ولكن في حالات نادرة جدًا يكون انعدام المسامية كلية بسبب المادة اللاصقة مثل السليكا والكربونات.
- يحتوي الأركوز على أنواع مختلفة من الفلسبار ويرجع ذلك إلى طبيعة مصدر الصخر، إلا أنه في معظم الأحيان يحتوي على كمية كبيرة من الميكروكلين (Microcline) والألبيت (Albite) وهما من أصناف الفلسبار الأكثر ثباتًا (More stable)، وعلى كمية قليلة من الفلسبار الأقل ثباتًا (Less stable) مثل الفلسبارات الكلسية (Calcic feldspars) كمعدن الأنورثيت (Anorthite). كما يحتوي الأركوز على معادن الميكا وأنواع مختلفة من المعادن الثقيلة. وربما عن طريق دراسة هذه المعادن يمكن الإشارة إلى نوعية مصدر الصخر عما إذا كان ناريًا أو متحول النشأة. وبالإضافة إلى هذه المعادن الثقيلة الثابتة فإن الأركوز قد يحتوي على خامات حديدية معتمة (Opaque iron ores).
- تظهر معظم رواسب الأركوز في سحنات البيئة النهرية المجاورة لطبقات شبه جرانيتية (Granitoid basement). وتتميز هذه الرواسب من رواسب الأركوز المشكّلة بداخل الأحواض المِجَنَّة البحرية المحاطة بالصدوع (Fault-bounded intracratonic basins)، مثل تلك الموجودة بالقرب من السواحل الحديثة الصدعية المحيطة بالبحر الأحمر. ويطلق أحيانًا على رواسب الأركوز مصطلح سحنات «الطبقة المحمرة» وذلك لأن هذه الرواسب تترسب في بيئة طميية نهرية مروحية تأكسدية (Oxidizing alluvial fan environment)، لكثير من التفاصيل أنظر (الحمدان، ١٩٧٥م)، وأيضًا، Selley, (1966, 1976, 1990); Huckenholz, (1963); Boggs, (1995) and Raymond, (1995).

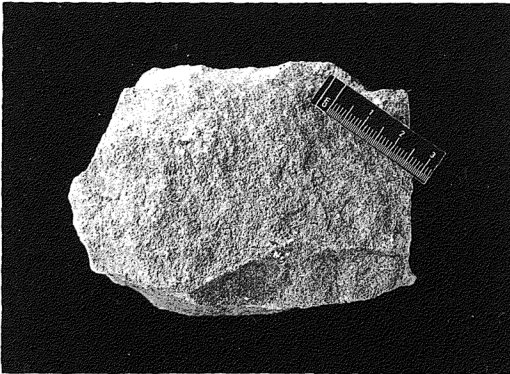
### ٣ - الواكي

- يستخدم مصطلح الواكي (Wackes) عند الإشارة إلى نوعين من أحجار الرمل هما الجريواكي (Greywacke) والكوارتز واكي (Quartzite-wacke).
- كلا النوعين من الواكي عبارة عن رمل غير ناضج فيزيائيًا (أو نسيجيًا) لاحتواء كل منهما على أكثر من ١٥٪ راسب أرضية (أو طين). ولكن الكوارتز واكي رمل ناضج

كيميائياً لاحتوائه على أقل من ٢٥٪ فلسبار بينما الجريواكي رمل غير ناضج كيميائياً لاحتوائه على ما بين ٢٥ - ٦٠٪ فلسبار. ونذكر الآن خصائص كل من هذين النوعين على انفراد.

#### (١). الجريواكي

- يمتاز حجر رمل الجريواكي (شكل ١٢٢)، بأنه صخر صلب لونه رمادي مخضر قاتم، ذو مكسر خشن غير منتظم (Hackly fracture).
- يحتوي الجريواكي على حبيبات ذات أحجام مختلفة من رمل خشن جداً إلى مقاس الطين أو راسب الأرضية (Matrix)، ورديء التصنيف جداً (Very poorly sorted) وعامة تكون حبيباته مزواة وردئية التكور.
- تظهر حبيبات الكوارتز في الجريواكي مغلفة أو محجوبة بحتات المعادن الأخرى الأكثر شيوعاً والتي تشكل راسب الأرضية. ويظهر الفلسبار بنسبة كبيرة ولكن توجد



شكل (١٢٢). حجر رمل الجريواكي من الرصيف العربي. (عن: مشرف).

معه أيضاً حبيبات معادن المغنسيوم والحديد (Mafic grains) مثل المورنبلند والبيروكسين. كما تكثر معادن المايكا (مسكوفيت + بيوتيت) وأيضاً معادن الطين السديقة التبلر والتي تشكلت نتيجة العمليات المابعدية (Diagenetic) مثل الكلوريت والسريسيت (من أنواع المونتموريلونيت). وتوجد أيضاً بعض الحبيبات الكبيرة المتشكلة من كسر الصخر المتحجر (Lithic rock fragments) وتعتمد هذه على نوعية المصدر فقد تكون مسافة من أصل بركاني أو من رواسب متحولة (Metasediments) مثل الكوارتزيت أو الوحل المتصلب (أردواز Slate) هذا بالإضافة إلى أنواع مختلفة من المعادن الثقيلة غير الثابتة.

● تكون جميع هذه الحبيبات الفتاتية مغموسة في راسب الأرضية (Matrix) الأكثر كمية. وعامة يتكون راسب الأرضية من معجون دقيق التبلر (Microcrystalline paste) من معادن الطين مثل الكلوريت والسريسيت، ومن الكوارتز الناعم، ومعادن الكربونات (غالباً سدرت)، والبيريت (Pyrite) وربما مادة متكرنة (Carbonaceous matter) أحياناً. وتظهر في معظم الأحيان هذه الحبيبات الفتاتية تحت المجهر بحوافٍ أو أطراف متآكلة (Corroded) تشبه حواف الميكا. ولا يقتصر هذا التآكل على المعادن غير الثابتة بل أحياناً حتى حبيبات الكوارتز تأخذ نفس المنهاج.

● تكثر أحجار رمل الجريواكي في سحنات الفيلش (Flysch facies) أو ما يعرف برواسب العكر (Turbidites). وتحدث هذه الرواسب في أحواض قعائرية ترسيبية عملاقة (Geosynclinal troughs). ويظهر من دراسة الجريواكي تحت المجهر (Petrography) ووضع الإقليمي أن هذا الصخر غالباً ما يكون مجلولاً من الجزر القوسية المرتفعة ذات النشأة البركانية وهذا واضح من وفرة معادن الخامات المافية (Mafic) غير الثابتة وازدياد نسبة الحديد والمغنسيوم في الجريواكي.

لمزيد من المعلومات عن الواكي راجع: Cummins, (1962); Hubert, (1964); Dott, (1964); Brenchley, (1969); Selley, (1976, 1990, 1994); Boggs, (1995) and Raymond, (1995).

## (ب) الكوارتزواكي

- يختلف الكوارتزواكي عن الجريواكي في أنه لا يحتوي على المجموعة المتنوعة من المعادن الحثائية غير الثابتة. ويرجع غياب هذه المعادن إلى زيادة نسبة حبيبات كل من الكوارتز والحبيبات الصخرية الرسوبية هذا إضافة إلى أن كمية معجون الطين أو راسب الأرضية هي نفس النسبة في كلا النوعين من الرمل (أي ما بين ١٥ - ٧٥٪).
- يصعب التفريق أو التمييز بين الكوارتزواكي والجريواكي من العينة اليدوية (Hand specimen) ولكن يسهل ذلك تحت المجهر.
- يطلق على الكوارتزواكي في بعض الكتب والأبحاث مصطلح «تحت جريواكي» أو «شبه جريواكي» (Subgreywacke) أو الواكي الصخري (Lithic wacke).
- يتشكل أحياناً الكوارتزواكي في أحواض قعائرية عملاقة سريعة الترسب (Geosynclinal troughs) مثل تلك الأحواض التي ترسب فيها الجريواكي إلا أنه أيضاً يحدث ترسيب الكوارتزواكي في بيئات نهريّة وفي مناطق الرواهص المروحية (Fanglomerates) بالقرب من سفوح الجبال، والمناطق القارية.
- يرجع نضوج الكوارتزواكي من الناحية الكيميائية (المعدنية) إلى أنّ رواسبه غالباً ما تكون آتية (أو ذات نشأة) من رواسب موجودة سابقاً (Pre-existing sediments). فمثلاً تأتي حبيبات الكوارتز من رواسب الرمل ويأتي الطين من الأطيان الصفحية (Shales) وتحلب الحبيبات الصخرية من المتبقيات المقاومة من كلا الراسبين (الرمل والطين الصفحي). ومن ثم فإنه لا يكثر تشكيل الكوارتزواكي في مناطق رواسب العكر أو الفلش (Flysch) ولكن بالقرب أو في أطراف مناطق الترسيب القاري.
- ولهذا السبب غالباً ما يكون الكوارتزواكي القاري ذا لون أحمر بني وذلك لأن الطين أو راسب الأرضية قد صبغ بأحمرار أكسيد الحديد.
- بازدياد نقل الكوارتزواكي فإنه يفقد بعضاً من محتوى الطين مما يجعله يأخذ المصطلح «تحت الجريواكي» (Subgreywacke). ويظهر مثل هذا الصخر في السحنات النهرية وسحنات الدلتا. ولكثير من التفاصيل عن أحجار رمل الواكي، راجع (الحمدان، ١٩٧٥م).

ويمكن الآن تلخيص ما سبق شرحه عن الرمل بشكل عام في النقاط التالية:

١ - يعتمد التكوين المعدني (The composition) لرمل مترسب تَوًّا على نواتج مصدر النشأة (Provenance) وعلى العمليات (Processes) التي تعرض لها هذا الرمل. فمثلاً يعتمد النضوج الكيميائي لراسب مَحْت (Eroded) تَوًّا على مصدر الصخر وعلى امتداد تعمق التجوية لهذا الراسب. فتنشأ الرواسب الناضجة كيميائياً (أو معدنياً) عامة من أكثر من دورة (Polycyclic) ترسيبية ويرجع نضوجها إلى جليها من مكونات رسوبية سابقة الوجود. بينما ينشأ الرمل غير الناضج عامة من الدورة الترسيبية الأولى. وتأتي رواسبه من صخور نارية وصخور عالية التحول (High-grade metamorphic rocks).

٢ - عامة يكون الراسب المَحْت تَوًّا رديء التصنيف (Poorly sorted) وغني برواسب أرضية طينية دقيقة (Argillaceous matrix) فتزيد العمليات المائية والريحية من النضوج النسيجي (أو الفيزيائي) للرمل، وربما تعكس العمليات الثلجية هذا المفهوم.

٣ - تجدر الإشارة هنا إلى الاقتراح (السابق شرحه) والذي ينص على استخدام محتوى الطين في الرمل كعامل لدرجة النضوج النسيجي (أو الفيزيائي) لراسب ما، وتم هذا الاقتباس من ملاحظة عامة للرواسب الحديثة. ويميل الطين بأن يستبعد (Winnowed out) من الرمل أثناء عمليات النقل وفي بيئات ذات قوة نشاط عالية ومستمرة مثل الأرصفة البحرية القليلة العمق (Shallow marine shelves). ويجب استدراك أن محتوى الطين في رمل متصخر ليس ضرورياً بأن جميعه تَكُون أثناء الترسيب (Syndepositional). لأنه من المحتمل جداً تحلل بعض من راسب الأرضية (Matrix) الفراغات المسامية بعد الترسيب بوقت قصير. ويحتمل أيضاً نقل بعض الطين والغرين كجسيمات من أحجام الرمل الناعم جداً. وعندما تتم عملية الدموج (Compaction) يُضغَط الطين مشكلاً راسب أرضية (Matrix) بين الحبيبات الأكثر مقاومة.

٤ - تنفتت الحبيبات الحثائية غير الثابتة أثناء العمليات المابعدية (Diagenesis) والمتعرض لها حجر الرمل بعد الترسيب وينتج عنها تشكيل راسب أرضية دقيق التبلور يتكون بشكل كبير من معادن الطين. ويكون هذا أكثر وضوحاً في أحجار رمل الجربواكي. أما في أحجار رمل الأركوز فقط تظهر مشكلة مشابهة وهي أن تأخذ حبيبات الفلسبار درجات متنوعة من التغيير إلى كاولين ويمكن ملاحظة حبيبات الكاولين (تحت

المجهر) المنفرد بمراحل مختلفة من الإحكام أو الدموج بين حبيبات الكوارتز. ومن ثم يصعب قياس محتوى الفلسبار ومحتوى طين راسب الأرضية في مثل هذه العينات. ولذلك يجب اعتبار طين راسب الأرضية على أنه مرشد تقريبي (A rough guide) في تقدير درجة النضوج النسيجي (أو الفيزيائي) لأحجار الرمل. ويحتمل أن يكون محتوى الطين في رمل متصخر أعلى بكثير من محتوى راسب الأرضية المترسب أصلياً.

٥ - بالإضافة إلى محتويات أو مكونات أحجار الرمل (والتي سبق ذكرها) هناك محتوى آخر مهم للغاية وهو كسرات أو كسّر صخرية (Rock fragments) لأن كثيراً من أحجار الرمل تحتوي على كسر صخرية وهذه ليست أحادية المعدن (Monomineralic) بل تتكون من تركيب حبيبي (Composite grains) ومن معادن مختلفة. ويشار إليها أحياناً بالحبيبات الصخرية (Lithic grains). وقد استخدمها الكثير من الباحثين في تصنيف أحجار الرمل، وباستخدام منهاج المثلث المتساوي الأضلاع، ظهرت منه أصناف الرمل مثل (Litharenite, lithic greywacke) وغيرها (انظر الحمدان، ١٩٧٥م). ولكن الذي يهمنا الآن هو من أين جلبت هذه الحبيبات الصخرية، وظهرت بين محتويات أحجار الرمل؟ ويمكن القول إن هذه الحبيبات ذات علاقة وطيدة بأحجار جسيات صخور المصدر. فربما تكون الحبيبات الصخرية آتية من صخور بركانية (نارية) دقيقة التبلور أو من صخور متحولة أو صخور وحل عالية التحمل والمقاومة.

لمزيد من المعلومات عن تسمية وتصنيف أحجار الرمل راجع :

Selley, (1990, 1994); Blatt, (1992); Raymond, (1995) and Boggs, (1995).

أضف إلى ذلك أن أهم محتويات أحجار الرمل هي المعادن الثقيلة والتي يستدل منها على المصدر والأماكن الآتية منها راسب الرمل حيث يمكننا شرح ذلك على النحو التالي.

#### دراسة أحجار الرمل تحت المجهر Microscopic study of sandstones

لقد أوضح كل من (Williams et al., 1982) أن أحجار الرمل هي صخور تسود فيها حبيبات الرمل. وربما تظهر حبيبات الرمل بحجم واحد، أو أنها تكون ذات مدى

واسع من الأحجام المختلفة إلا أنها متراسة سوياً حبة مقابل حبة مشكلة الهيكل أو البنية العامة للصخر، ويوفر هذا مساندة الراسب من حيث صلابته الأولية. وإذا كان الرمل وحلياً (Muddy) فإن الجسيمات الصغيرة للطين والغرين الدقيق تستقر بين حبيبات الرمل وتسد كلياً أو جزئياً مسامات الهيكل الرملي مشكلة ما يعرف براسب الأرضية الطيني (Argillaceous matrix). وبتزايد حجم راسب الأرضية واقتربه من كمية الحبيبات الرملية، فإن اتصالات الحبيبة مقابل الحبيبة في بنية الرمل تتناقص وتقل بشكل كبير حتى ينتقل حجر الرمل الوحلي (Muddy sandstone) نحو حجر وحل رملي (Sandy mudstone). ويصبح النسيج مدعماً وحلياً (Mud-supported) بدلاً من مدعم حبيبي (Grain supported). ويعتبر حجر الرمل ذا نسيج مدعم حبيبي إذا كانت الحبيبات فيه تشكل حوالي ثلثي الصخر، وفي هذه الحالة تكون أغلبية الحبيبات تلامس بعضها، وحينئذ يطلق على النسيج مدعم حبيبي. أما إذا كان راسب الأرضية يملأ الفراغات المتوافرة بين الحبيبات، حيث تكون الحبيبات أقل وتصبح طافية في راسب الأرضية، وبمعنى آخر مفككة التعبئة والتراس (Loosely packed) ومتناثرة فيما بين راسب الأرضية بحيث تظهر كما لو كانت معلقة في هذا الوسط، فحينئذ تدعى هذه الأنسجة مدعمة راسب الأرضية (Matrix supported) أو مدعماً وحلياً (Mud-supported).

ولكن إذا غُسل الرمل وتححر من الطين والغرين بشكل كبير وأصبحت المسامات بين حبيبات الهيكل الصخري نظيفة نسبياً وواضحة، وبالرغم من ذلك فإنها تصبح عامة فيما بعد مليئة بلحم (Cement) تشكل من مصادر مكانية النشأة (authigenic minerals) ترسب من محاليل المسام نفسه.

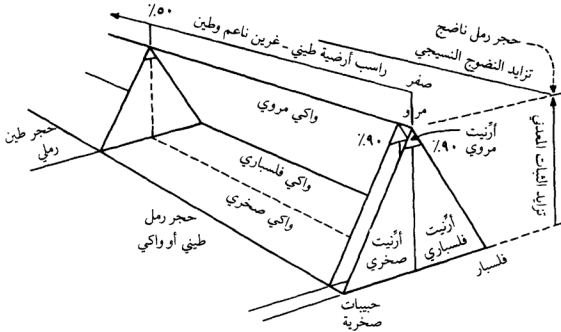
ويعكس التركيب المعدني للبنية الحبيبية بشكل عام كل من الجيولوجية القديمة (Paleogeology) والجغرافية القديمة (Paleogeography) والمناخ القديم (Paleoclimate) للإقليم الذي جلب منه الرمل. كما يوفر لنا قاعدة أولية لتقسيم أحجار الرمل. وتشير الاختلافات في النسيج وخاصة ظهور أو غياب الطين والغرين الدقيق إلى تغيرات في ظروف الترسيب وقاعدة إضافية من أجل تصنيف أحجار الرمل. إن أكثر الحبيبات الهيكلية شيوعاً وأعمها ثباتاً هو المرو (شاملة الشيرت). ففي



بعض أحجار الرمل تتركز حبيبات المرو للحد الذي تستقصى منه الحبيبات الأخرى ولكن تحتوي معظم أحجار الرمل على كمية كبيرة من جسيمات أقل ثباتاً وهذه الجسيمات على سبيل المثال حبيبات الفلسبار وكسّر صغيرة من صخر أفانيتي (Aphanitic rock) تدعى حبيبات صخرية (Lithic grains)، وحبيبات حتاتية (Detrital grains) أخرى تكون إضافية أو ثانوية (Subsidiary). وتقود النسبة التقريبية لهذه الأنواع الرئيسة الثلاثة من الحبيبات الهيكلية إلى التقسيم الثلاثي الأساسي لأحجار الرمل فإذا كان هناك أكثر من ٩٠٪ حبيبات مرو، يدعى الصخر حجر رمل مروباً (Quartz sandstone) وإذا كان هناك حجر رمل يحوي نسبة تقل عن ٩٠٪ مرواً وتكون حبات الفلسبار نسبة الحبات الصخرية فعندئذ يدعى هذا الصنف حجر رمل فلسباري (Feldspathic sandstone)، أما تلك الأحجار الرملية التي تكون فيها الحبيبات الحتاتية هي الشائعة عن الفلسبارات، فإنها تعرف بأحجار الرمل الصخرية (Lithic sandstones). وربما تقسم كل من هذه الأنواع الثلاثة من أحجار الرمل بشكل أدق طبقاً للنسيج إلى إما أرنيت (Arenite)، حجر رمل نقي ومغسول جيداً، أو واكي، حجر رمل طيني، غير نقي وغير ناضج نسيجياً (شكل ١١٩). كما يوضح (شكل ١٢٣) هذه التقسيمات الأساسية لحجر الرمل.

إن الاختلافات التركيبية المعدنية والنسجية في أحجار الرمل تكون تدريجية أو متداخلة (Gradational) ومن ثم تصبح جميع التقسيمات (Subdivision) عُرْفَةً بشكل إلزامي. ويكون التمييز بين الأرنيت والواكي خاصة غير مستقر الحال أو متنازع فيه. وللتفريق بينها كما هو معتاد عليه بواسطة النسبة العرفية لراسب الأرضية (Matrix)، عما إذا كان ٥٪ أو ١٠٪ أو نسبة أخرى. هذا بالإضافة إلى أن حجم وميزة راسب الأرضية في حجر الرمل تختلف مع درجة الدموج (Compaction) وإعادة التبلور المابعدية (Diagenetic recrystallization). وفي كثير من أحجار الرمل المتصخرة (الجرىوايكيات) يكون راسب الأرضية ذا نشأة مابعدية بشكل كبير بدلاً من أنه حتاتي الأصل.

إن وجود أو غياب راسب الأرضية الطيني (الطين والغرين الناعم) في حجر الرمل يكون له معنى أكبر من نسبته المطلقة، ويكون المقياس الوحيد الذي يمكن توقعه إعطاء تصنيف عملي ثابت. وطبقاً لذلك يُعرّف الأرنيت هنا بأنه حجر رمل خالٍ



شكل (١٢٣). مكونات حجر الرمل الثلاثة المعدنية الرئيسة، مرو، فلسبار وحبيبات صخرية. مُثِّلَت بواسطة رؤوس المثلثات، تمثل النقاط بداخل المثلثات النسب التقريبية لهذه المكونات. مُثِّلَت نسبة راسب الأرضية الطينية بمحسلة امتدت إلى نهاية الرسم. مصطلح أرنييت خصص لأحجار رمل خالية من راسب الأرضية، والبقية الأخرى هي أحجار رمل طينية (وحلية) أو واسب. (عن: Dott, 1964)

بشكل مؤثر من الطين والغرين الناعم. ويمثل ظروفًا إرسابية يكون الرمل فيها مَدْرِيًا أو مُعَرَّبَلًا (Winnowed) بواسطة التيارات المرسبة وغسله لإخلائه من الحبيبات الدقيقة. أما أحجار الرمل الطينية وغير الناضجة نسبيًا أو ما تعرف بالواكيات (Wackes) فهي على النقيض استقرت في بيئات، حيث ترسب فيها بعض من الحمل الطيني المعلق مع الرمل وبقي معه، ويمثلون مواقع إرساب حيث تذرية أو غربة الراسب لم تحدث بعد الترسيب الأولي، لذا فهي تشمل نطاقًا نسيجيًا واسعًا من أحجار رمل ذات راسب أرضية طيني يتضمن نصف الصخر إلى تلك التي يكون فيها ثانوي المحتوى، ولكن يكون حجم راسب الأرضية في معظمها أقل من ربع الصخر.

وحجر الرمل المتكون من حبيبات مرو مستديرة وتصنيف جيد وخالٍ كلية من الطين والغرين فهو أرنييت مروي خالص، ومثال ذلك حجر رمل البياض في المملكة

العربية السعودية (شكل ١٧ج) ويمثل هذا النتاج الأقصى المشترك للعمليات الفيزيائية والكيميائية التي حدثت في أصل نشأة أحجار الرمل. ولذلك أعتبر ناضجاً كلية من الناحيتين؛ نسيجياً (فيزيائياً) ومعدنياً (كيميائياً). وتنتمي رواسب أحجار الرمل المختلفة درجات متباينة وتركيبات من النضوج النسيجي والنبات المعدني كنتيجة لاختلافات في المصادر والعمليات المنتجة لهم.

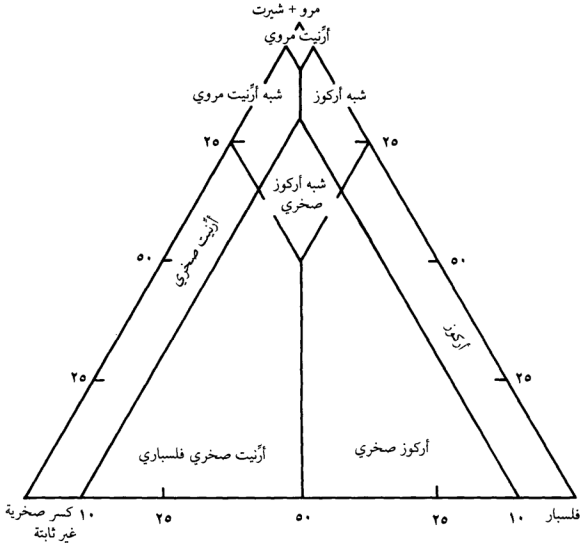
ولقد أشار العالمان (Ehlers and Blatt, 1982) إلى أن كلاً من النسيج والتركيب المعدني يمثلان مظهري الحجر الرمل ويعطيان الرؤية العميقة لأصل نشأة الصخر. ولهذا السبب يكون من المعقول إيجاد مخطط تصنيفي لحجر الرمل مرتبط بهذين المتغيرين. ولقد نُشرَ العديد من هذه المخططات التصنيفية إلا أن مخطط العالم (McBride, 1963) لتصنيف حجر الرمل أصبح يتلاءم مع تصنيف حجر الرمل ليس فقط في الحقل بل حتى في المختبر أو تحت المجهر (شكل ١٢٤). وأبسط أو أسهل تمييز معدني يمكن عمله في الحقل هو معرفة كل من الكوارتز والفلسبار والكسّر الصخرية، حيث يمكن استخدامها كأقطاب تشكيلية في مثلث التصنيف (شكل ١٢٤) ويمكن إجراء تقسيم تحتي لداخل المثلث بأي طريقة مريحة. ويعتبر المثلث في هذا الشكل أحد المثلثات العديدة الشائعة الاستخدام بين العلماء المتخصصين والمحترفين في أحجار الرمل. إن نسيج حجر الرمل المبين هنا تم باستخدام مفهوم النضوج النسيجي. كما أنه من المفيد أيضاً أن نشير في اسم الصخر إلى نوعية اللاحم الذي يمسك بالحبيبات ببعضها فعلى سبيل المثال: حسب نظام التسمية هذا، يكون حجر الرمل كالتالي:

١ - فوق ناضج (Supermature) وحجوم حبيباته متوسطة فهو أرزيت مروي ذو لاحم مروي.

٢ - غير ناضج (Immature) وحجوم حبيباته دقيقة فهو أركوز ذو لاحم طيني.

٣ - شبه ناضج (Submature) وحصوي فهو دُمْلوك صخري ذو لاحم كالسيطي.

٤ - ناضج (Mature) وحجوم حبيباته خشنة فهو شبه (أو تحت) أركوز ذو لاحم كالسيطي.



شكل (١٢٤). تصنيف أحجار الرمل حسب نظام مكبرايد. (عن : McBride, 1963)

#### التركيب المعدني لأحجار الرمل Mineral composition of sandstones

نوجز هنا ما نوه به العالمان (Ehlers and Blatt, 1982) وكذلك العالم بلات (Blatt, 1992) في هذا الموضوع بأن الهدف من دراسة التركيب المعدني لأحجار الرمل هو تحديد شيئين عن تاريخ الصخر:

أولاً: صفة صخور المصدر التي جلبت منها الحبيبات الحثائية (أصل المصدر

Provenance).

ويوضح الجدول رقم (١٦) نماذج أنواع أحجار الرمل الرئيسي.

جدول (١٦). وصف شرائح مجهرية لستة صخور حثائية وملخص اسم الصخر الذي يصفهم، باستخدام مفهوم التصوُّج النسيجي للعالم فولك والمثلث المعدني للعالم مكرايد، (انظر شكل ١٢٤). (عن: Blatt, 1992)

النسبة المئوية % للتركيب المعدني	النسيج	تأثيرات ما بعدية	اسم الصخر الكامل
١ - ٩٥ مرووحيد التبلر ٤ أورثوكليز ١ كسر حجر وحل	غياب راسب الأرضية الطيني. حبيبات جيدة التصنيف. حبيبات جيدة الاستدارة. متوسط حجم الحبيبات ٧, ٠ مم	لاحم مروي.	أُرْنَيْت مروي، فاتق النضوج، متوسط الحبيبات، مسمنت بعرو.
٢ - ٥٥ مرووحيد - متعدد التبلر. ٥ شيرت. ٢٠ أورثوكليز ٥ ميكروكليز ٥ بلاجيوكليز ٥ كسر صخرية جرانيتية ٥ بيونيت	١٪ وحل (كاولينيت + اللَّيْت - غرين مروي). حبيبات سيئة التصنيف. حبيبات زاوية. متوسط حجم الرمل ٢, ٠ مم.	تشكيل الميهاتيت. انتشاء الميكرو. كولنة الأورثوكليز. كلسورة البيونيت.	أركوز، غير ناضج، دقيق الحبيبات مسمنت بهياتيت وطون.
٣ - ٥٠ كسر شيرت الجارانت. ١٥ كسر أمفيبول. ١٥ كسر نايس الموريلند. ١٠ مرو متعدد التبلر. ٥ فلسبار لا توامي ٥ كسر غرين متحول	غياب راسب الأرضية الطيني. حبيبات سيئة التصنيف. حبيبات جيدة الاستدارة. متوسط حجم الحبيبات ٥ مم	لاحم كلسي.	مدلوك صخري، شبه ناضج، حصوي، مسمنت بكلسيت.
٤ - ٤٠ مرو غالبية متعدد التبلر. ٢٥ بلاجيوكليز توامي. ١٠ أورثوكليز ٢٥ كسر جرانودوريت.	غياب راسب الأرضية الطيني. حبيبات جيدة التصنيف. حبيبات شبه مستديرة. متوسط حجم الحبيبات ٢, ١ مم.	لاحم كلسي.	أركوز صخري، ناضج، خشن الحبيبات جداً، مسمنت بكلسيت.
٥ - ١٠ مرو بعضه هيئة بيتا. ٢٠ فلسبار غالبية سانيلدين. ٧٠ كسر رايوليت.	غياب راسب الأرضية الطيني. حبيبات جيدة التصنيف. حبيبات شبه زاوية. متوسط حجم الحبيبات ٦, ٠ مم	لاحم كلسي.	أُرْنَيْت صخري فلسباري، بركاني، ناضج، خشن الحبيبات مسمنت بكلسيت.
٦ - ٦٠ مرووحيد التبلر. ٢٥ شيرت. ١٠ كسر حجر وحل. ٥ ميكروكليز	١٠٪ راسب أرضية وحلي. حبيبات جيدة التصنيف. حبيبات مستديرة. متوسط حجم الحبيبات ٢, ٠ مم	كسر حجر وحل.	شبه أُرْنَيْت صخري به شيرت، غير ناضج دقيق الحبيبات، مسمنت بوحل.

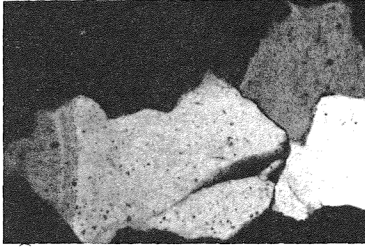
ثانيًا: أحداث التتابع المابعدى (Diagenetic sequence) الذي نشأ بعد ترسيب الحبيبات وخاصة الأحداث الكيميائية.

### ١- المرو Quartz

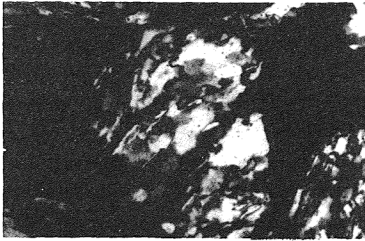
يشكل المرو (الكوارتز) ما يعادل ثلثي المكونات الحتاتية في الرمل العادي، وهذه الحقيقة فقد كُتِبَ العديد من الكتب والنشرات العلمية بخصوص صفاته الفيزيائية والكيميائية في الصخور الحتاتية. وكما هو معروف فإنَّ المرو فائق الثبات المعدني في البيئات الرسوبية بسبب صلابته وخلوه من انفصام جيد، وأيضًا خلوه من سُخُنات موجبة فلزية (Metallic cations)

وتظهر تحت المجهر حبات المرو في الرواسب عادة مجموعة إما متعددة التبلور (Polycrystalline) أو أحادية التبلور (Monocrystalline)، (شكل ١٢٥). وتتألف حبة المرو المتعددة التبلور من أكثر من بلورة واحدة فهي كِسْرَة صخرية (Lithic or Rock fragment) مؤلفة من مرو بأكملها، بينما تتألف حبات المرو أحادية التبلور من بلورة مرو مفردة. وتعتبر حبات المرو متعددة التبلور أقل ثباتًا من البلورات المفردة (أو أحادية التبلور). وبشكل مميز فقد هدمت الحبيبة بوساطة عمليات رسوبية أو بمهاجمة كيميائية واسعة النطاق. وكلما ازدادت نسبة المرو في حجر الرمل كلما قلت نسبة حبيبات المرو المتعددة التبلور. فمثلاً حجر الرمل المؤلف من مرو بأكمله يكون محتوى المرو المتعدد التبلور مقفودًا.

وعامة يكون صخر الجرانيت العادي أخشن من الصخر المتحول العادي (مثل صخور الشيست). ولذلك تكون بلورات الكوارتز القائمة بذاتها في الجرانيت أكبر. ونتيجة لهذا فإن حبة المرو المتعددة التبلور وبحجم حبة الرمل والآتية من الجرانيت سوف تكون محتوية على بلورات مرو أقل عددًا مما تحتويه حبة مرو متعددة التبلور وآتية من صخر متحول، وبحجم حبة الرمل نفسها. أيضًا يتبلور العديد من الصخور المتحولة في وسط إجهاد غير متوازن الموائع (Nonhydrostatic stress field)، أي في حقل من إجهاد تمزقي (Shearing stress)، ولذلك يكون شكل البلورات في الكِسْرَة الحتاتية المتعددة التبلور متطاولة (Elongated)، بينما تتبلور الصخور النارية في حقل لإجهاد متوازن الموائع (Hydrostatic stress field) مما يكسب البلورات شكلًا متكورًا (Equant).



(أ)



(ب)

شكل (١٢٥). صور مجهرية لحبيبات مرو بحجم حبة الرمل الحشن. (عن : Blatt, 1992)  
 (أ) من صخر ناري. حبة مرو جرانيتية مؤلفة من بلورات قليلة ذات شكل أكثر كروية (متساوية)، ذات تشابك بين بلوري بنسبة قليلة أو مفقود.  
 (ب) من صخر متحول. الحبيسة المتحولة مؤلفة من ربما عشرات المرات من بلورات عديدة والتي امتدت (مُطَطَّت) واستطالت ولها اتصالات تشابكية قوية. هذه الحبيبات هي بمثابة أمثلة لحبيبات مرو متعددة التبلر من صفان من الصخور المتبلرة.

#### (أ) المصدر Provenance

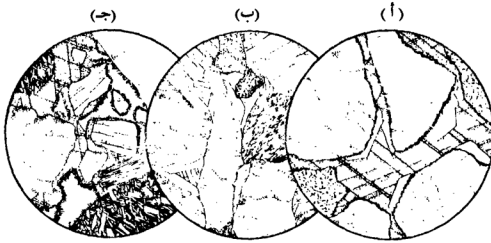
لقد تبين لنا من دراسة حبيبات المرو الحثائية في الشرائح المفحوصة تحت المجهر أن حبات المرو إما أن تكون أحادية التبلور أو متعددة التبلور. وباستثناء الشيرت (Chert)،

فإن جميع الحبيبات المعدنية السليكاتية في أحجار الرمل تكون أصلاً آتية من صخور نارية باطنية (بلوتونية Plutonic) وصخور متحولة كالنايس والشيست. وتصل هذه الصخور المتبلورة إلى سطح الأرض بواسطة الدفع أو الرفع الحركي (Tectonic uplift)، ومن المعقول أن تتوقع أن المعادن ستكون فيها لدنة التشوه (Plastically deformed) أو تَوَامَّتْ (Twinned) أو كُسِرَتْ (Fractured) أثناء عملية الرفع أو الدفع إلى أعلى. فيمكن أن تستجيب حبات المرو للإجهاد بواسطة أي من هذه الميكنات، إلا أنه يندر رؤية تكسر حبات المرو الحتاتية في شرائح مجهرية لأحجار الرمل، كما أنه لا يمكن أن تكشف التَوَامَّة. بينما يكون التشوه اللدن سائد في جميع حبات المرو تقريباً وينعكس في الشرائح المجهرية (Thin sections) كانهطاء متموج (Undulatory extinction). فالبلورة لا تنطفيء كوحدة مفردة عند دوران طفيف لمسرح المجهر، ولكن بدلاً من ذلك فإن انطفاءات تحدث في قطاعات عبر دوران لمسرح المجهر من عدة درجات. فيتطلب المقدار المضبوط لدوران المسرح من أجل مرور كامل البلورة من أبيض رمادي كحد أقصى للانكسار، لون المرو المزدوج (Birefringence color of quartz) إلى موضع الإطفاء فإن ذلك يعتمد على كلٍّ من الدرجة التي وصلت إليها البلورة من حيث التشوه اللدن وأيضاً على العلاقة الزاوية بين المحور «ج» للبلورة ومستوى الشريحة المجهرية. إن المقدار المضبوط لدوران المسرح والمطلوب للانطفاء ليس بحد ذاته مقياساً (أو معياراً) فعالاً لاستخدامه في التمييز بين أصل النشأة - إن كان نارياً أو متحولاً - بالنسبة لبلورات المرو، لأنه بالإمكان أن ينتج الانطفاء المتموج في الصخر الرسوبي أثناء التصدع (Faulting) والتطيق (Folding).

ويمكن أن يكون لحبات المرو المتعدد التبلور أنواع عدة من البنيات الداخلية (شكلاً ١٢٦، ١٢٧):

١ - إذا كانت بلورات المرو منفردة بداخل الحبيبة ومتطاولة (Elongated)، فقد تشوهت هذه البلورات في وسط إجهاد غير متوازن الموائع (Nonhydrostatic stress field) مثل هذه البلورات المروية المبطونة (Stretched quartz crystals) تكون عامة موجودة في صخور متحولة متورقة كصخور الناييس والشيست. ومن ثم فهذه الحبيبات الحتاتية المحتوية على مثل هذه البلورات المبطونة غالباً ما تكون ذات نشأة متحولة،





شكل (١٢٦). لواحم في أحجار رمل. (عن: Williams et al., 1982)

(أ) حجر رمل بنسلفاني، جبال زوني، نيومكسيكو. مرو وجسيات صخرية

عكرة مغلفة بأكسيد حديدي (أسود)، تغيرت محليا بدورها بنموات بلورات

مرو صافية كاملة الأوجه وجميع اللاحم من الكلسيت (مخططة). لاحظ قطارات المكتنفات الحويصلية المعتمة.

(ب) أرثيت أركوزي كريتاوي، جبال كاليفورنيا. نموات صافية من المرو مكانية

النشأة على حبات مروية حثائية (وسط، أسفل يمين ويسار). نموات المرو

غطت الفراغات وملئت بقية الفجوات بواسطة (Zeolite Laumontite) خطوط انفضامية ولكن ليست مخططة.

(ج) حجر رمل صخري (ميوسين، متكون تمبلور) حيد شعابي (كاليفورنيا).

لاحم غير مكتمل لكلسيت غير منتظم التوجيه (مخطط، له خطوط

انفضامية). شغلت الفجوات بكلوريت ليفي مجهري مغطيا كل من

الكلسيت والحبيبات الحثائية على السواء. غطت أجزاء من الكلوريت

بالأوبال (الأماكن الخالية).

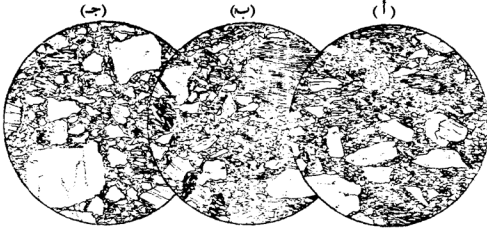
كما تظهر البلورات المروية المخططة على امتداد ويجوار الأسطح الصدعية، حيث

يمكن أن يكون التخطط الفادح مصاحباً بتحبب (Granulation) وبإعادة تبلر

(Recrystallization)، لكي يتبع صخور الميلونيت (Mylonite) والفيلونيت

(Phyllonite).

٢ - تكون الصخور النارية الجرانيتية (Granitoid igneous rocks) خشنة



شكل (١٢٧). جريواكي. (عن: Williams et al., 1982)

- (أ) جريواكي صخري أردفيشي (متكون فورتشن) ميناء بورانس، نيوفاوندلاند. حبيبات رمل زاوية غير مصنفة وغرين خشن متواجد في راسب أرضية طيني وفير. حبيبات المرو (صافية أو مخططة بلطف)، فلسبار (بلاجيوكليز بشكل أساسي ويظهر بانفصام) قليل من كسيف الميكا، وجسيمات فيليت، أرجينيت، شيرت وأنديسيت أو بازلت. تقع معظم أبعاد الحبيبات الطويلة موازية تقريباً لمستوى التطبيق وهي عادية تقريباً مع القطاع.
- (ب) جريواكي فرانسكران، مقاطعة مندوسينو، كاليفورنيا. عامة تشبه شريحة (أ) ولكن تظهر أقل توجيه للحبيبات، قليل من راسب الأرضية وحبيبات فلسبار وبازلت أكثر.
- (ج) جريواكي فلسباري، ما قبل الكامبري، هرلي، وسكونش. نسيجياً يشبه (ب) فيها عدا حواف الحبيبات متآكلة. وفرة حبات المرو، شيوعاً الفلسبار، ندرة الشقوق الصخرية.

الحبيبات لدرجة أن بلورات المرو فيها تزيد على ٥, ٠ مم بشكل أنموذجي، وأحجام بعدة مليمترات تكون شائعة. ومن ناحية ثانية، فإن بلورات المرو في العديد من الصخور المتحولة تكون دقيقة الحبيبات. ومثالاً لذلك، صخور كل من الفيليت (Phyllites) ومعظم صخور الشيست (Schists) وبعض من صخور الناييس (Gneisses). ولذلك كلما كثرت البلورات المروية في الحبة المتعددة التبلور الحثائية وبأي حجم فإنه يصبح من شبه المؤكد أن هذه الحبة ذات نشأة متحولة. فعجة مرو في حجم حبة الرمل والمؤلفة من أكثر من خمسة بلورات منفصلة فهي من المحتمل أن تكون ذات اشتقاق تحولي.

٣ - إن الصخور المتحولة هي صخور معاد تبلورها، حسب تعريفها. فتبدأ إعادة التبلور عند نقاط من الإجهاد المركز داخل الصخر بدلاً من أنها تكونت في الوقت نفسه في جميع المواقع. ومن ثم عندما تنتهي عملية إعادة التبلور تكون بعض بلورات المرو في مراحل مختلفة من العملية عن غيرها. ، ويعكس هذا تنوعات كبيرة في أحجام البلورات موضحة الوقوف على حالات إعادة التبلور في حينها. فالبلورات الأصغر تكون حديثة التطوير والتي لم تُنَمَّ بعد للحجم المتوازن (Equilibrium size).

٤ - إن التشابك (أو التعشيق) الداخلي بين بلورات المرو يكون شائعاً في الصخور النارية والمتحولة، وعلى الرغم من ذلك، فربما يكون أكثر حدة في الحبيبات المتعددة التبلور ذات الأصل في النشأة المتحولة. ولذلك يكون من الأحسن استخدامها كميزة غير معتمدة من أجل معرفة أصل النشأة.

وعادة ما تكون الصخور النارية الباطنية الجرانيتية ذات حبيبات أخشن من حبيبات الصخور المتحولة ومن ثم يكون محتملاً أن حبيبات المرو الفتاتية والأحادية التبلور وذات حجم الرمل متوسط وأخشن في أحجار الرمل أن تكون آتية من صخور الجرانيت. وليس من الضروري أن تكون الحبيبات الدقيقة والأحادية التبلور في راسب ما آتية من صخور متحولة. فهي غالباً ما تنتج من تكسير وتشقيف حبات المرو الأكبر من أي مصدر كان. فتتحرر بعض من حبات المرو الدقيقة من ذلك الحجم مباشرة من صخور الفيليت وصخور شيسست دقيق الحبيبات، ولكن النسبة محتمل أن تكون أقل من الكمية المنتجة وذلك بوساطة الإنقاص الحجمي للحبات الأكبر.

وتتملك حبات المرو في كل من الصخور البركانية السليكاتية والطُفُفَات (Tuffs) بشكل أنموذجي بلورات مكتملة الأوجه (Euhedral crystals) متاخمة لمرو بيتا (Beta quartz)، حرارة - عالية، ولها إنطفاء غير متموج (Nonundulatory extinction) وكلا الخاصيتين غير شائعتين في أنواع أخرى بين الصخور المتبلورة. ونسبة كبيرة من صخور الجرانيت تبلور في حقل ثابت من المرو البيتاوي. ولكن بسبب التداخل المتبادل أثناء نمو البلورات في الجرانيت تبرز بلورة مكتملة الأوجه على المرو ليس بإمكانها النمو. إن السبب في كون المرو في الصخور المتدفقة عادة ما يكون له انطفاء غير متموج هو أن الصحارة خرجت إلى سطح الأرض لتتبلور وطبقاً لذلك فهي لم تتشوه

بشكل تبعي . ولسوء الحظ فإن حجم بلورات الفينوكريست (Phenocrysts) في الصخور الراكبيلية المتدفقة (Rhyolitic flow) والطُّفَات (Tuffs) لم تكن كبيرة، وبلورات المرو والتي له وجه بلوري أو أكثر لم تكن شائعة كحبات حثائية في معظم أحجار الرمل . مثل هذه الحبيبات تكون مغرقة أو مغمورة بوساطة المرو الآتي من الصخور المتحولة والنارية الأكثر انتشاراً .

تكون عروق المرو (Quartz veins) شائعة في معظم مناطق الصخور المتبلورة وبالمثل يكون المرو المتحول (Metaquartzite) ، وطبقاً لذلك تتحرر حبيبات بحجم الزلط الخشن في البيئة الرسوبية . تتشكل العروق من محاليل والتي تكون مشابهة لأجائيات (Brines) مائية تحت سطحية بدلاً من صهارات سيليكاتية . نتيجة لذلك بإمكان احتواء المرو العرقي على كميات كبيرة من حويصلات (Vacuole) مليئة بالماء وهذه تعطي المرو لونه اللبني (أو الحليبي) . لكن ليست جميع عروق المرو تكون لبنيّة ولذلك كثير من المرو العرقي من الرواسب تكون بدون شك غير مميزة . وبالمثل فإن المرو من صخور الراكبيلية (Rhyolites) يميل إلى المرو العرقي ويكون مغموراً بوساطة حبيبات أكثر وفرة آتية من صخور الجرانيت والنيس والشيس .

تحتوي نسبة عالية من بلورات المرو في الصخور النارية والمتحولة على مكتنفات (Inclusions) . وبشكل إستثنائي فإن معظم أنواع المكتنفات انتشاراً هي الفقاعات المائية (Water bubbles) . وتشمل المكتنفات المعدنية الأنموذجية كلاً من الروتيل (Rutile) والميكا (Mica) والأباتيت (Apatite) . وفي الصخور الرسوبية ، يندر ظهور حبيبات المرو المحتوية على مكتنفات معدنية ، وذلك بسبب قلة الثبات الميكانيكي أثناء نقل هذه الحبيبات .

ولقد ذكر البحاثه (Williams et al., 1982) أنه بالإضافة إلى إكتناف العديد من بلورات المرو على حويصلات دقيقة مملوءة بالسوائل ، هناك أيضاً جسيمات شبيهة بالغبار ، وعادة تظهر الحويصلات كمكتنفات معتمة صغيرة جداً أو ترى أكبرها تحت التكبير المجهرى العالى كفقاعات شفافة ذات تضاريس سالبة قوية . وعامة تكون هذه المكتنفات مركزة أو متركزة في نطق وامتداد أسطح شبه متوازية بداخل حبات المرو (شكل ١٢٦) ، وخاصة في المرو الآتي من صخور متحولة ، ولكن ربما أيضاً تكون

مبعثرة بشكل وفير مشكّلة سحابة بدونها تصبح حبات المرو نقية الشفافية (شكل ١٢٧). ويتميز المرو اللبني الموجود في العروق الحرمانية بأن مزدهم بحويصلات مملوءة بالسوائل. بينما على النقيض من ذلك، يميل مرو الصخور البركانية ذو الحرارة العالية أن يكون نقيًا وخاليًا بشكل إلزامي من مثل هذه المكتنفات.

وتتشكل إلى حد كبير كل من بلورات قضيصة أو رفيعة (Slender) وإبرية الشكل من الروتيل (Rutile) في المرو الآتي من بعض الصخور الجرانيتية وربما تتشكل بلورات إبرية الشكل مماثلة من السليمنيت (Sillimanite) أو الكيانيت (Kyanite) في مرو متحول. وقد تظهر بلورات صغيرة من العديد من المعادن الأخرى مثل الفلسبار والميكا والمجنيثيت والأباتيت والزركون كمكتنفات في حبيبات المرو.

#### (ب) الثابت المتباين Differential stabilities

وأضاف العالم (Blatt, 1992) قائلاً إن أعظم أنواع المرو ثباتًا في البيئة الرسوبية هو مرو أحادي التبلور غير متموج وليس به مكتنفات. أما حبيبات المرو المتعددة التبلور فتكون أضعف بسبب أسطحها الداخلية غير المتصلة والتي تُظهر الحدود البلورية. وتكون الحبيبات ذات الانطفاء المتموج أضعف لأنها شوهت بشكل لَدن. كما تكون الحبيبات ذات المكتنفات ضعيفة لأنها مؤلفة من مرحلتين مميزتين. فهي إما أن تكون مؤلفة من مرحلتين جامدتين أو من مرحلة جامدة وأخرى سائلة (أو غازية). أما بخصوص الحبيبات المتعددة التبلور فإن أسطحها غير المستمرة تظهر في داخل الحبيبة. وبسبب هذه الاختلافات في الثبات فإن أساس النشأة التطوري للبقاء التوافقي يمكن تطبيقه على المرو في البيئة الرسوبية. إن مجموعات حبيبات المرو التي قضت وقتًا أكثر في البيئة الرسوبية يجب أن تكون أغنيّت في الحبات الأحادية التبلور غير المتموج وأزيلت من الحبيبات المتعددة التبلور المتموجة. ويتضح لنا ذلك من الفحص المجهرى لأحجار الرمل: يحتوي الصخر المتبلور العادي على أقل من ٢٠٪ بلورات مرو غير متموجة ضمن مجموعة المرو ذاتها كما هو الحال بالنسبة للفتات المبري ذي الحجم الرمي. إن أحجار الرمل المؤلفة من فلسبار وكسرات صخرية، وأقل من ٤٠٪ مرو لا تزال تحتوي على نحو ٢٠٪ حبيبات غير متموجة في مجموعة المرو. أما أحجار الرمل الحاوية على أكثر

من ٩٠٪ مرو وبمعدل ٤٠ - ٤٥٪ حبيبات غير متموجة وهذه تقريباً أحجار رمل مروية نقية محتوية على أقل من ١٪ مرو متعدد التبلور أضف إلى ذلك أن حبيبات المرو المحتوية على مكتنفات معدنية تكون أيضاً نادرة بين حبيبات أحجار الرمل المروية النقية.

## ٢ - الفلسبار Feldspar

تعد الفلسبارات أعظم مجموعة المعادن وفرة في الصخور المتبلورة، مشكلة ٦٠٪ من الحبيبات المعدنية في الصخور النارية. ومن المحتمل أن تكون نفس النسبة في الصخور المتحولة. كما أن الفلسبارات تكون غير ثابتة في البيئة الرسوبية مقارنة بالمرو. ومن ثم، رغماً عن أن نسبة الفلسبار إلى المرو في صخور المصدر المتبلورة لأحجار الرمل هي ٣ - ١، وفي أحجار الرمل نفسها تكون النسبة ١ - ٥ تقريباً. وتشكل الفلسبارات فقط ١٠ - ١٥٪ من الجزء الحثائي في حجر الرمل العادي.

لقد تسببت الطبيعة المعقدة للمعادن الفلسبارية في كونها قُسمَتْ إلى أصناف عديدة - بناء على مميزاتها أو خواصها الكيميائية والفيزيائية والبنوية. ففي العمل الفحصى المجهرى الرتبى (الروتيني) لم تميز هذه الخصائص. ويوضح (الشكل ١٢٨) الأنواع الفلسبارية التي يستعملها علماء خصائص الصخور الرسوبية (Sedimentary petrologists)، وهي كالتالي:

١ - فلسبارات البوتاسيوم: أورثوكليز وميكروكلين (Microcline) وساندين (Sanidine).

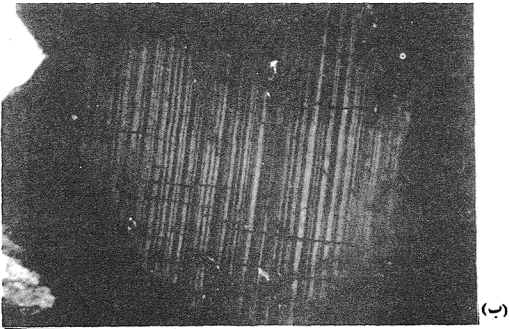
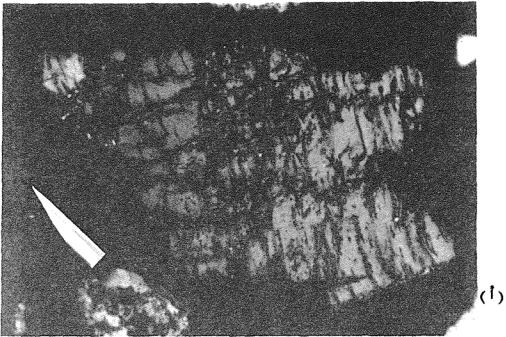
٢ - البلاجيوكليزات: ألبايت حتى الألوثرثيت.

٣ - بيرثيت: نمو من فلسبار صوديوم وفلسبار البوتاسيوم.

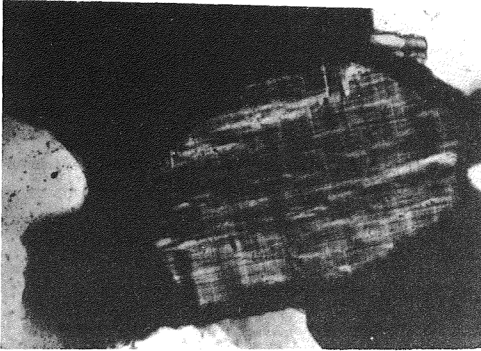
## (أ) أنواع التغيرات Types of alterations

لقد أشار العالم (Blatt, 1992) إلى العديد من التغيرات التي تحدث في معادن الفلسبار التي تَرى عامة في الشرائح المجهرية لأحجار الرمل.

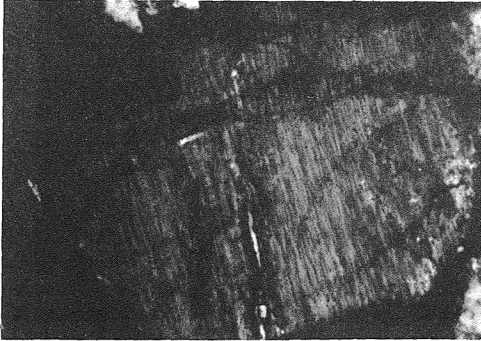
١ - الحَوَصَلَة (Vacuolization): يتخلل الماء إلى داخل حبيبة الفلسبار على طول المستويات الانفصامية والكسور وأسطح التركيب التوأمي، منتجة تغيير كيميائي غير مرئي في الحبيبة. وتظهر الحبيبة عكرة في إنفاذ الضوء، ولكن لها مظهر أبيض سُحْبِي



شكل (١٢٨). صورة مجهرية لحبيبات فلسبار بحجم حبة الرمل المتوسط. (عن: Blatt, 1992)  
 (أ) أورثوكليز، مع تغير مواز لزوايا الانقسام القائمة.  
 (ب) بلاجيوكليز، يظهر توأم الألبايت المتعدد التركيب.



(جـ)



(د)

تابع شكل (١٢٨). (جـ) ميكروكلين، يُظهر خاصية التوأم الشبكي.  
(د) بيرثيت مجهري، يُظهر الشكل المغزلي لرقائق الفلسبار الصودي والبوتاسي.



ويوضح جدول (١٧) الخصائص التي تتميز بها أنواع الفلسبارات وتعريفها تحت المجهر\*، (عن : Blatt, 1992).

فلسبار	الخصائص
فلسبارات البوتاسيوم	أورثوكليز: غير متوائم أو توأم الكارلسباد، معاملاته الإنكسارية تحت اللاكسيد أو المرو، إنكسار مزدوج أقل من المرو، زاوية الإنكسار كبيرة، سالب البصرية، تغير داخلي إلى قشور من الألكيت، عامة على امتداد مستويات الانقسام. ميكروكلين: فريد وذو مناهج تشابكي توأمي مميز. سنادين: يشبه الأورثوكليز فيما عدا أن زاوية الإنكسار صغيرة جدًا ٥ - ١٠°.
فلسبارات البلاجيوكليز	توأمية متعددة التركيب بشكل أنموذجي (توأم الألبايت)، تغير داخلي إلى قشور مونتموريلينيت، عامة على امتداد مستويات الانقسام، يمكن تمركز تمنطقه معدنيًا، تغير إنكساري في نسبة الألبايت/ الأنورثيت، انجهاان توأمان بزواوية كبيرة مع بعضهما (توأم الألبايت والبيريكلاين Pericline). تحدد نسبة الألبايت/ الأنورثيت بطريقة مايكل - لفي . وللألبايت معاملات إنكسارية (Indices of refraction) أخفض من المر، أما الأليجوكليز (Oligoclase) فهو مثل المرو تقريبًا في المعاملات الإنكسارية (Indices) والإنكسار المزدوج، والأنديسين (Andesine) حتى الأنورثيت له معاملات إنكسارية أعلى من المرو.
بيرثيت	نمو داخلي متوازٍ من مرحلتين مع معاملات إنكسارية (Refractive indices) متضاربة وإنكسار مزدوج.

\* عامة تستخدم صبغات حساسة من البوتاسيوم والكالسيوم لتمييز الأورثوكليز من البلاجيوكليز غير التوأمي، والذي عامة موجود في الصخور المتحولة والرواسب المشتقة منها.

تحت الضوء الانعكاسي . ويمكن رؤية اللون الأبيض بوساطة فتح الضوء الموجود تحت مسرح المجهر وظهور حزمة متلألئة (لامعة) على سطح الشريحة المجهرية .

٢ - السَّرْسَتَة (Sericitization) تكوين ميكا البوتاس : لم يفهم جيدًا أنه في أماكن محدودة ومن خلال العملية الكيميائية تتحول (أو تتبدل) بنية السليكات التكتونية

(Tecto-silicates) البلورية لحبات الفلسبار الغنية بالبوتاسيوم إلى بنية سليكات الفيليت (Phyllosilicate) لمعدن (السيريست Sericite ، إلليت Illite) مؤدية إلى ظهور قشور الإلليت بداخل الفلسبار. وبشكل أنموذجي تظهر القشور أولاً على امتداد أسطح حيث بإمكان الماء تخلل هذه الانفصامات والكسور والأسطح التوأمية. وتكون القشور صغيرة ( $5-10 \mu m$ ) في الطول وذات لون انكساري أصفر - قشبي مزدوج.

٣ - تكوين الممتورلنيت (Montmorillonitization): نوع من التغير اللساني المتوري والمطابق بشكل مباشر لتكوين ميكا البوتاس (Sericitization) ، فيما عدا أنه تتشكل فلسبارات الصوديوم - الكالسيوم . وللمونتمورلنيت نفس الانكسار المزدوج مثل السيريست (الإليت) ولكن ذات معاملات انكسارية أقل من المرو واللاكسيد (Lakeside).

٤ - الكولنة (Kaolinization): يعكس التحويل (التغير) الكيميائي لأي من فلسبار البوتاسي أو الصودي أو الكلسي إلى كاولينيت ، عملية أكثر شدة و/أو طويلة من التغير مقارنة بتكوين ميكا البوتاس أو تكوين الممتورلنيت. يمتلك الكاولينيت انكسار مزدوج منخفض جداً (٠,٠٠٥) ويظهر بلون رمادي قاتم في الشريحة المجهرية. وإذا كانت قشور الكاولينيت صغيرة جداً فإنه يظهر مشابه للشيرت (Chert).

ومن الملاحظ أننا عند وصف هذه الأنواع من التغير الكيميائي استخدمنا المصطلح «تغير أو تحول أو تبديل (Alteration)» بدلاً من المصطلح المحدد «تجوية (Weathering)». ولأنه أعتبر أن تغير الفلسبارات تعكس ظروفاً مناخية في وقت ما، أو في موقع ترسيب حبيبات الفلسبار فيعكس كل من السيريست (الإليت) والمونتمورلنيت مناخاً معتدلاً، أما الكاولينيت فيشير إلى مناخ شبه مداري. كما أشارت الدراسات السابقة إلى حدوث تغير أساسي في حبات الفلسبار بعد دفنها. كما يمكن أن يحدث التغير الكيميائي الداخلي لحبات الفلسبار بسهولة وبسرعة أثناء عملية النشأة المابعدية (Diagenesis) وأيضاً أثناء التجوية السطحية. ولذلك لا يمكن تكوين استنتاجات أو مدلولات خاصة بالمناخ القديم، معتمدين في ذلك على معرفة نوع التغير الكيميائي الحادث ودرجته في الفلسبارات الحثائية الموجودة في الصخور القديمة.

## (ب) المصدر Provenance

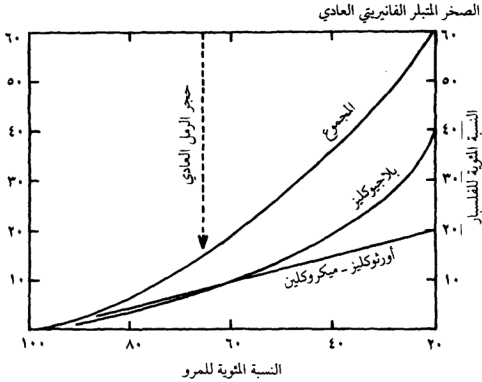
كما أشار العالم بلات (Blatt, 1992) إلى أنه توجد معادن الفلسبار في جميع أنواع الصخور المتبلورة تقريباً، ومن ثم يمكن أن تتكون حبيبات فلسبار في حجم حبات الرمل في صخور نارية جرانيتية وصخور النائيس والشيست وبكميات وفيرة. وتتكون الكميات الأقل من صخور كل من الجابرو والبورفيرية والبركانية المافية. فمن بين الصخور النارية، تمدنا صخور الجرانيت بالأورثوكليز والأليجوكليز والميكروكليز والبيرثيت، أما الأنديسين فيأتي من صخور الجرانوديوريت، ويتكون اللابرادوريت في صخور الجابرو. أما المعادن البيتونيت (Bytownite) والأنورثيت فليست شائعة في الصخور النارية وهي نادرة جداً في أحجار الرمل، بسبب عظم عدم ثباتها في البيئة الرسوبية. وتظهر معادن فلسبارات البلاجيوكليز المنطق في صخور صهارية (Magmatic rocks) وأكثر شيوعاً في الصخور البركانية عنها في الصخور الباطنية (البولوتونية).

وفي الصخور المتحولة تضاهي نسبة فلسبار الصوديوم/الكالسيوم مع رتبة التحول. فتحتوي صخور سحنات الشيست الخضراء (Greenschist) بشكل تقريبي على الألبايت النقي، وتحتوي صخور سحنات الأمفيبول على الأوليجوكليز والأنديسين، كما تحتوي صخور سحنات الجرانوليت (Granulite) على الأنديسين واللابرادوريت. والغالبية العظمى للبلاجيوكليز في الصخور المتحولة غير متوامة. ويكون الأورثوكليز ثابتاً فقط في رتب التحول العالية، والتي فيها تسبب إزاحة الماء في جعل المسكوفيت غير ثابت. ويتشكل الميكروكليز في صخور الميجماتيت (Migmatites) كنتاج لعملية تبلور تابعة لمرحلة مبكرة في عملية إذابة الصخور البولوتونية (Anatexis) والتي تحدث في الجزء الناري في الميجماتيت.

ويضيف بلات (Blatt, 1992) قائلاً أن نسبة الفلسبار ونوعيته في حجر الرمل تعتمد على معدل ونوعية النشاط الحراري (التكتوني) وعلى المناخ. ففي الوضع الحراري المتميز بتصدع كتلي ورفع للقشرة الأرضية مثل ذلك الذي حدث بداخل المِجَن في ولاية كلورادو أثناء العصر البنسلفاني، كان الرفع والتعرية والدفن سريعاً وربما احتوى الرمل الناتج على نسبة ٥٠٪ فلسبار. فيكون العامل المشترك بين ارتفاع التضاريس

الطبوغرافي وانخفاض شدة التجوية الكيميائية أنموذجاً لتراكم تتابع رسوبي سميك .  
 بينما يسمح انخفاض التضاريس الطبوغرافي بتقدم وتراجع في البحار فوق القارية  
 (Epicontinental seas) بشكل واسع النطاق حتى يسود الوضع الجغرافي ببيئات ذات  
 طاقة حركية عالية . ومن ثم يزيح بري حبيبات الرمل الناتج جميع الفلسبار تقريباً .  
 حدث ذلك في الوضع المَجنِّي الهامد في وسط أمريكا الشمالية أثناء باكر حقبة الحياة  
 القديمة (الباليوزوي)، حيث أمكن إنتاج كمية قليلة جداً من الراسب من صخور  
 قشرة الأرض الجرانيتية المنخفضة التضاريس . وبواسطة نشاط الأمواج والتيارات أُعيد  
 ترسيب وحت هذه الكمية الصغيرة من الراسب بشكل تكراري في الشاطئ وفي  
 مجموعات الكتلان الرملية المعقدة التشابك والتركيب والتي تميز هذه الوضع التكتوني .  
 وبدرجة كبيرة من الأهمية تعتمد أيضاً نوعية الفلسبار والأكثر وفرة في أحجار الرمل على  
 الوضع الحركي الذي تشكل فيه حجر الرمل . فتشيع وفرة البلاجيوكليز عندما يكونا  
 الحث والدفن سريعين والصخور الجرانيتية المكشوفة تكون من ديوريت الكوارتز  
 والجرانوديوريت على امتداد الحواف اللوحية (Plate margins) ، مثل أحجار رمل  
 العصر الثلاثي في ولاية كاليفورنيا . وتكثر فلسبارات البوتاسيوم (أورثوكليز  
 وميكروكلين) من بين مجموعة الفلسبار في أحجار الرمل المشكل في الأوضاع المَجنِّيَّة،  
 مثل أحجار رمل العصر البينسلفاني في ولاية كلورادو .

وتتأثر نسبة الفلسبار الكلية في حجر الرمل بالتوزيع الحجمي للحبيبات في ذلك  
 الصخر . فبسبب عدم ثبات الفلسبارات الحثائية النسبي تكون هذه الحبيبات عادة  
 أنعم (أو أدق) من حبات المرو المصاحبة . ونتيجة لذلك ، ليس من المستغرب أن نجد ،  
 على سبيل المثال ، الرمل المتوسط الخشونة والمحتوي على ٩٠٪ مرواً تكون نسبة الفلسبار  
 فيه ١٠٪ . بينما في الرمل الناعم تكون نسبة المرو ٨٠٪ والفلسبار ٢٠٪ . وفي الغرين  
 الناعم تكون نسبة المرو ٧٠٪ والفلسبار ٣٠٪ . ومن ثم تتناقص نسبة الفلسبار إلى نحو  
 ٥٪ في الغرين المتوسط الخشونة ، حيث تتسبب الزيادة السريعة في نسبة حجم /سطح  
 الحبيبات الأصغر في زيادة سرعة معدل حل وذوبان الفلسبارات . ويحتوي حجر الوحل  
 العادي على نحو ٥٪ فلسبار . أما الجزء ذو الحجم الطيني فغالباً لا يحتوي على فلسبار .  
 ويخلص شكل (١٢٩) العلاقة بين وفرة ونوعية الفلسبارات وأيضاً علاقة ذلك

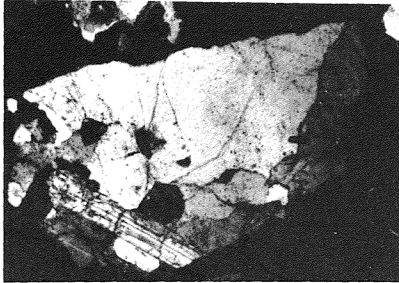


شكل (١٢٩). يوضح العلاقة بين التركيب المعدني ووفرة الفلسبارات في أحجار الرمل. النسبة المئوية لم تحسب بواسطة المرو والفلسبار وهي نسبة مئوية لكسر صخرية غير ثابتة بالإضافة إلى المعادن الطينية. (عن: Blatt, 1992)

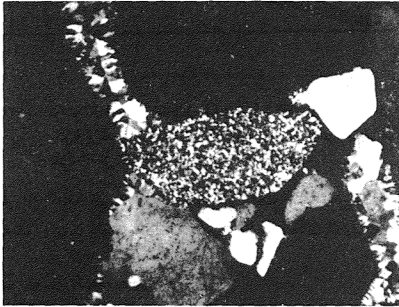
بنسبة المرو في أحجار الرمل. مع ملاحظة أنه لم تعلق نسبة الحبيبات الحثائية بواسطة المرو والفلسبار كنسبة للكسر الصخرية غير الثابتة مع المعادن الطينية.

### ٣ - الكسر الصخرية Lithic fragments

وطبقاً لما جاء به العالم بلات (Blatt, 1992)، (شكل ١٣٠)، تشكل قطع صخر المصدر المتعددة التبلور (Polymineraltic source rocks)، نحو ١٥ - ٢٠٪ في حجر الرمل العادي ولكنها تغطي أكثر من ١٥٪ معلومات عن صخر أصل المصدر (Provinance) فهي ليست كحبات المرو والفلسبار، فقطعة من البازلت أو شيست الميكا في حجر الرمل إثبات حاسم ومحدد لطبيعة صخر المصدر. فهذه الكسر ليست فقط تشير إلى ما إذا كان صخر المصدر صخراً نارياً متحولاً، ولكن أيضاً يمكن أن تظهر



(أ)

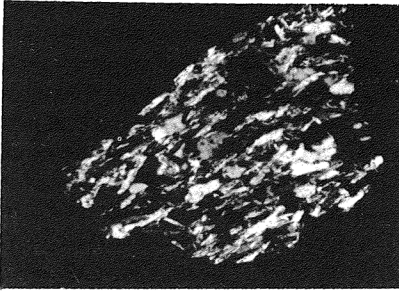


(ب)

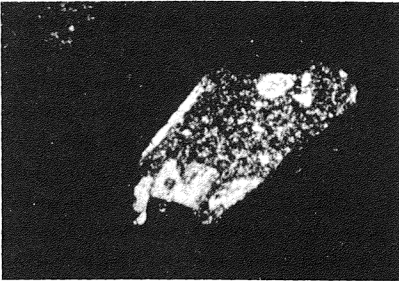
شكل (١٣٠). صورة مجهرية لِكسَر صخرية بحجم حبة الرمل الخشن ذات مظاهر مميزة. (عن:

(Blatt, 1992)

(أ) كِسَر جرانيتية (رمادي داكن يمين) وبلوره بلاجيوكليز توأمية (أسفل يسار).  
 (ب) كِسرة شيرت (وسط) محاطة بثلاثة كِسرات شيرت مجهرية نحيلة (مبرقشات  
 سوداء مع رمادية) وكِسرات مروية عديدة (أبيض ورمادي). بلورات من  
 لاحم مروي متطاولة قد نمت من أسطح حبيبة الشيرت لكي تُلحِم  
 الحبيبات.



(ج)



(د)

تابع شكل (١٣٠).

- (ج) كسرة شستية من المرو والميكا محتوية على قليل من البلورات المعدنية المعتمة .  
 (د) كسرة صخرية بركانية ، محتوية على ثلاثة بلورات فليسيار بوتاسي متغيرة (أحدها كاملة التبلل) وقشرة ميكا كبيرة (على حافة الحبيبة - أعلى اليسار) موجودة في فرشاة أرضية من بلورات فليسيارية ذات انكسارات مزدوجة منخفضة ، ربما مرو وفليسيار بوتاسي .

هذه الأشياء كمحتوى سيليكات الصهارة، معدل سرعة تبلورها أو ميزة الصخور الرسوبية قبل تحولها والتي تشكل منها الصخر المتحول.

وبالرغم من إمكانية وجود أي نوع من الكسر الصخرية في حجر الرمل، إلا أن بعض الأنواع تكون أكثر شيوعاً من غيرها. والعوامل التي تحدد أي الأنواع سيوجد في حجر الرمل هي الآتي:

- ١ - وفرتها الحقيقية في حوض الصرف.
  - ٢ - موضعها في حوض الصرف، هل هي في المناطق المرتفعة أم المنخفضة.
  - ٣ - سرعة أو قابلية تأثر الكسر الصخرية للهدم الكيميائي والفيزيائي (الميكانيكي) بوساطة العملية الرسوبية.
  - ٤ - حجم البلورات بداخل هذه الكسر.
- ومن الواضح أنه كلما كان امتداد مساحة صخر المصدر كبيراً كلما كانت الفرصة سانحة لوجود قطع من الكسر في أسفل المجرى، وقد ذكرنا آنفاً ارتفاع معدلات الحث في المناطق ذات التضاريس المرتفعة.
- يمكن أيضاً أهمية العاملين (٣)، (٤) احتمالية بقاء الكسر الصخرية، باعتبار كسر صخور الوحل. فتشكل صخور الوحل ثلثي العمود الطبقي، ويحتمل أن يكون معظم الوحل من الطين الصفحي، ولذلك ربما نتوقع أن تكون غالبية الكسر الصخرية في حجر الرمل كسراً من الطين الصفحي. إلا أن ذلك هو عكس ما نجده، فكسر الطين الصفحي غير شائعة في الصخور القديمة. وتفسير ذلك هو أن كسر الطين الصفحي لا تنقل من الناحية العملية، لأنها رخوة أو هشة جداً، هذا بالإضافة إلى أنها تتفلق وتتجزأ بسرعة على امتداد أسطح التورق (Fissility surfaces). ولذلك تكون ذات احتمال بقاء منخفض. وامتداداً لهذا الأساس نتوقع أن كسر الجابرو ستكون ممثلة بضعف (أو سيئة التمثيل) بسبب عدم ثباتها الكيميائي مقارنة بالجرانيت، وستكون كسر أحجار الرمل القديمة نادرة بسبب سهولة التكسر الذي يحدث لها أثناء النقل ولأن أكثر موادها اللاحمة شيوعاً من الكلسيت والهيماتيت. ومعظم الكسر من أحجار الرمل القديمة بقاء ستكون إما مرواً ملتصقاً (مسمت)، (حجر رمل مروي)، أو شيرتاً.
- وتحدد حجم البلورة بداخل الكسر الصخرية حجم الكسرة الأدنى اللازم لبقاء



الكسرة ذاتها، فمثلاً لا يمكن أن تتشكل كسرة من الجرانيت في حجر رمل دقيق الحبيبات لأن الكسرة تمنح لأن تنكسر على امتداد الحدود البلورية، وأن البلورات في صخر الجرانيت أخشن من الرمل الناعم ذاته. إلا أنه يمكن أن تتشكل كسر من الريوليت أو الشيرت بسهولة وبأحجام مساوية لحبيبات الرمل أو بأي حجم آخر. إن تجاهل هذا العامل يمكن أن يقود إلى تضاربات جيولوجية قديمة خاطئة. كما أنه بات من الواضح أن تفسير الجيولوجية القديمة لأعلى المجرى من دراسة خصائص حجر الرمل ليست حدثاً صريحاً عندما يحتوي حجر الرمل على قطع من صخر المصدر ذاته.

### حركة الألواح Plate tectonics

على الرغم من أن العديد من التتابعات السميكة من الصخور الحثائية الخشنة الحبيبات تحتوي على مجموعة متنوعة من أنواع الكسر الصخرية بينما هناك تتابعات أخرى كثيرة يسودها نوع واحد من هذه الكسر الصخرية. فمثلاً، وصف العالم (Lockwood, 1971) تسعاً وعشرين حادثة معروفة من الإرسابات الرسوبية مؤلفة من كسر سربنتين، ويمتد نطاق هذه الرواسب الزمني من باكر دهر الحياة القديمة حتى عصر الهوليسين وهي مصاحبة أو مرتبطة بالتقاربات اللوحية الماضية والحاضرة. وتكون أحجار الرمل الصخرية، من العصر الديفوني لحزام جبال الأبالاشي، أغلبها من كسر شيسيتية نتجت عن طريق تقارب لوح أمريكا الشمالية مع اللوح الأفريقي أثناء حقبة الحياة القديمة. وتمنح أحجار الرمل التَّجْبِلِيَّة، من العصر الثلاثي لجبال الألب، لأن تسودها حبيبات صخرية ذات أصل رسوبي، خاصة كسر الصخور الكربوناته. أما أحجار الرمل الناتجة من تقارب اللوح الباسفيكي (لوح المحيط الهادي) الغربي مع حافة اللوح الآسيوي الشرقي أثناء فترة المائتي عام الماضية فهي غنية وبشكل خارق بكسر البازلت. إن أوضح مثال على مثل هذه العلاقة بين نوعية الكسر الصخرية في حجر الرمل والوضع الحركي اللوحي هو ظهور كسر صخرية مافية في أوضاع البركنة القعيرية العظمى المشاركة للجزر القوسية وحواف التقارب اللوحي. وتعطي حافة حوض المحيط الهادي العديد من الأمثلة على نشأة الرواسب البركانية البحرية في هذا الوضع وخلال فترة حقبة الحياة الظاهرة. ولقد أدلى الكثير من البحوث بالعديد من الأمثلة من

شنتى بقاع العالم، انظر (Blatt, 1992).

كما توجد علاقة واضحة أخرى بين نوع الكسّر الصخرية في حجر الرمل والوضع الحركي اللوحي وهي المزاملة بين الكسّر الصخرية الجرانيتية الغنية بالبوتاسيوم والتصدع الكتلي المِجَنِّي البَيِّنِي (أو الضَمْنِي). ولقد ذكر العالم (Blatt, 1982) العديد من الأمثلة لهذه العلاقة، حيث سجلها كثير من البحاثة. وكل مثال من هذه الأمثلة مرتبط بوضع غير بحري ومؤلف من حجر رمل صخري خشن ودملوك جرانيتي مترسب على مروحة طمية، أنتج بوساطة تصدع كتلي شدي وتشكيل الحسائيف والتشقّ (Horsts & Grabens) في صخور القاعدة المِجَنِّيَّة. انظر (Blatt, 1982). ولزيد من التفاصيل والأمثلة ذات العلاقة الأخرى راجع: (Blatt, (1982, 1992); Selley, (1994); Raymond, (1995) and Boggs, (1995).

وإمكان الحواف اللوحية المتقاربة أن تسبب تشكيل التتابعات السميكة من الصخور الحتاتية الصخرية سواء البحرية وغير البحرية والتي تحتوي على مدى واسع من الكسّر الصخرية الرسوبية أو الشيستوزية المتحولة.

#### ٤ - المعادن الإضافية Accessory minerals

تشمل المعادن الإضافية في أحجار الرمل جميع المعادن الحتاتية فيما عدا المرو والفلسبارات، على الرغم من أن المايكات (Micas) استُبعدت على حد أنموذجي من المجموعة المعدنية الإضافية، وذلك بسبب شكلها الصفائحي الفائق والذي يكسبها سلوكاً شاداً أثناء النقل. وإمكان أي من المعادن الموجودة في الصخور النارية والمتحولة أن تظهر في أحجار الرمل وتعتمد كمية المعادن الإضافية النسبية في حجر الرمل على وفرة كل معدن في صخر المصدر واحتمالية بقاءه أثناء كل من التجوية والنقل وعملية النشأة المابعدية وعلى كثافته النوعية. وبسبب المدى الواسع في الكثافات النوعية للمعادن الإضافية الشائعة، توجد بوجه عام تفرقة مهمة بينهم أثناء النقل (الرواسب المكيثية). إن المدى في الكثافة النوعية بين المعادن الإضافية الشائعة هي ٣ - ٥، ٢. وبشكل مغاير فإن المدى بين المرو والفلسبارات هو ٥٦، ٢ - ٢٧٦ فقط.

فما عدا المايكات (Micas) لا توجد معادن حتاتية شائعة ذات كثافة نوعية ضمن

المدى ٢,٨ - ٣,٠، وتعتمد الطريقة المعتادة لفصل المرو والفلسبار من المعادن الإضافية على هذه الحقيقة. يُلقَى بالرواسب المفككة (أو الرمل المفرق) في سائل ذي كثافة نوعية في حدود ٢,٨ - ٣,٠، والنتيجة هي طفو المرو والفلسبار بينما المعادن المعادن الإضافية الأخرى تغرق أو تغوص (انظر: الجزء الأول لهذا الموضوع). ولهذا السبب سميت المعادن الإضافية (Accessory minerals) بالمعادن الثقيلة (Heavy minerals). وبشكل أنموذجي، تشكل المعادن الثقيلة أقل من ١٪ من مكونات حجر الرمل. وعامة ترتبط هذه النسبة المثوية بشكل عام بنسبة الكسّر الصخرية في الجزء المعدني الخفيف للصخر وخاصة نسبة الكسّر الصخرية المتحولة. وتقترح النسبة المثوية العالية من الكسّر الصخرية المتحولة أن نسبة المعادن الثقيلة العالية ربما تكون موجودة (قد تصل إلى ٣٪) لأن معظم أجناس المعادن الثقيلة في أحجار الرمل نشأت في صخور متحولة. وهذه حقيقة لأن الصخور المتحولة تتشكل في مدى أوسع نطاقاً من حيث الحرارة والضغط مقارنة بالصخور النارية، مما يسمح لعدد كبير من الأجناس المعدنية الثقيلة أن تبلور. ومن أجل تحديد أصل المصدر (Provenance) يكون من المفيد أن تجمع المعادن الإضافية طبقاً لنوعية الصخر المتبلور الذي تشكلت فيه عادة هذه المعادن (جدولي ١٨، ١٩). ولسوء الحظ أن العديد من المعادن الإضافية الشائعة في أحجار الرمل مثل الزركون والتورملين والمجنيبتيت تتشكل بوفرة في كل من الصخور النارية والمتحولة. وتظهر بعض المعادن مثل التورملين بألوان متنوعة وربما يرتبط الاختلاف في اللون بأصل المصدر. فعلى سبيل المثال، يعتقد أن التورملين البني مميز للصخور المتحولة.

وتمتلك معظم المعادن الثقيلة احتمالية بقاء منخفضة بسبب عدم الثبات الكيميائي والفيزيائي (أو الميكانيكي). وهناك طريقة واحدة لتقدير الثبات الكيميائي في البيئة الرسوبية، وهي فحص أحجار الرمل لكي تحدد أيًا من المعادن يمكن أن ينمو بسرعة (أو بسهولة) في الرواسب. وبالتأكيد نجد أن كلاً من الكلسيت والمرو والهيماتيت وقليل من المعادن الأخرى تنمو كمادة لاهمة (Cements). وأحياناً تترسب فلسبارات البوتاسيوم والصوديوم (أورثوكليز والبائيت على التوالي) من المياه الجوفية أثناء عملية النشأة المابعدية (Diagenesis). إن المعادن الإضافية الوحيدة والمعروفة بنموها في الرواسب هي الزركون والتورمالين وأكاسيد التيتانيوم مثل الروتيل والأناتاس.

جدول (١٨). المعادن الإضافية الشائعة في أحجار الرمل وأنواع الصخور المتبلورة التي تنشأ فيها هذه المعادن أصلاً، (عن : Blatt, 1992).

موجودة في كل الصخور النارية والمتحولة	موجودة في صخور متحولة	موجودة في صخور نارية
إنستاتيت	أكتينوليت	أيجرين
هورنبلند	أندلوسيت	أوجيت
هيرسثين	كلوريتويد	كروميت
مجنيتيت	كورديريت	إلنيت
تورمالين	ديوبسيت	أوليفين
زركون	إبيدوت	توباز
	جارت	
	جلوكوفان	
	كيانيت	
	جاديت	
	رويتيل	
	سليميت	
	شتوروليت	
	تريموليت	
	واللستونيت	

وكلما ارتفعت الحرارة والضغط اللذين تتشكل عندهما المعادن الثقيلة في الصخور النارية أو المتحولة كلما قل ثبات هذه المعادن في البيئة الرسوبية، وكلما قل احتمال وجودها في الصخر الرسوبي. فمثلاً رواسب عصر الهوليسين ذات أصل مصدر (نشأة) مناسب، فنجد إمكانية وفرة الأوجيت والهيرسثين والأوليفين وشيوعتها عن بقية مجموعة المعادن الثقيلة، وهي معادن يندر أن توجد في الصخور الرسوبية القديمة. وجزئياً يعود السبب في اختفائها إلى عدم الثبات الكيميائي في نطاق التجوية، والسبب الآخر متعلق بعدم ثباتها كيميائياً أثناء عملية النشأة المابعدية.

وعادة تقسم المعادن الثقيلة إلى مجموعتين: معتممة (Opaque) وغير معتممة (Nonopaque)، معتمدين في ذلك على درجة شفافيتهما في الشريحة المجهرية (Thin section). ولقد كانت معظم دراسات المعادن الثقيلة في الصخور الرسوبية على الجزء المعدني غير المعتم، وبغض النظر عن كونها تشكل ١٠٪ أو ٩٠٪ من محصول المعادن الثقيلة. ففي حجر الرمل العادي ربما تكون نصف المعادن الثقيلة معتممة لا تنفذ الضوء. ومعظم هذه تكون من المجنيتيت والألمينيت والنموات الداخلية منها أو النواتج المعتممة منها.

وكان أحد البحوث القليلة المنشورة عن المعادن الثقيلة المعتممة في حجر الرمل هو بحث العالم (Hiscott, 1979).

#### ٥ - المعادن الثقيلة Heavy minerals

إن أهم ما يستفاد من دراسة المعادن الثقيلة المتوافرة في الرواسب هو معرفة منطقة أو إقليم المصدر (Provenance) لهذه الرواسب. وتشكل المعادن الثقيلة (جدول ١٩) الأقلية العظمى من بين المعادن الأخرى إلا أنها أكثر المعادن مقاومة لأحداث النقل وإعادة الترسيب، ويشار إليها بمصطلح المعادن الثابتة أو المقاومة (Stable minerals). وتوجد عدة طرق لفصل المعادن الثقيلة من المعادن الخفيفة (Light minerals) إلا أن طريقة الفصل باستعمال سائل البروموفورم هي الأكثر انتشاراً واستخداماً.

ومن الطبيعي أن تمتلك المعادن الثقيلة كثافة نوعية أكبر من كثافة سائل البروموفورم (Sp. Gr. = 2.90) على سبيل المثال، والكثافة النوعية لمعدن المجنيتيت (Sp. Gr. = 5.18)، والبيريت (Sp. Gr. = 4.96)، والزركون (Sp. Gr. = 4.72)، والجارنت (Sp. Gr. = 4.19)، والتورملين (Sp. Gr. = 3.07) ولذلك تستقر المعادن الثقيلة في قاع الإناء الحاوي على سائل البروموفورم بينما تطفو المعادن الخفيفة في أعلى الإناء مثل الكوارتز حيث كثافته النوعية (Sp. Gr. = 2.65) والفلسبار (Sp. Gr. = 2.56-2.76).

وتتم طريقة فصل المعادن الثقيلة من عينة الرمل كالتالي:

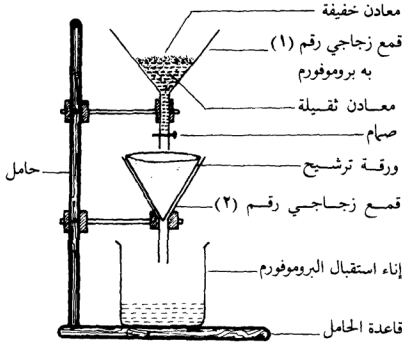
١ - تفرغ عينة الرمل في قمع زجاجي خاص رقم (١)، (انظر الشكل ١٣١) مملوء مسبقاً (ثلثيه تقريباً) بسائل البروموفورم ومحمول على حامل (شكل ١٣١) ثم تحرك العينة

جدول (١٩). يوضح أغلبية المعادن الثقيلة ومصادرها الصخرية.

(Pettijohn 1975, Friedman and Sanders 1978 : عن)

صخور المصدر (Parent Rocks)					
صخور رسوبية Sedimentary Rocks	صخور متحولة Metamorphic Rocks		عروق حرمائية Hydrothermal Veins	صخور نارية Igneous Rocks	
رواسب معاد ترسيبها Reworked Sediments	منخفض التحول Low-rank Metamorphic	عالي التحول High-rank Metamorphic	بيجماتيت Pegmatite	نارية حمضية Acidic Igneous Felsic	نارية قاعدية Basic Igneous = Mafic
- باريت - جلوكونيت* - ظر* - مسرو* (خاصة المحتوي على جبات ذات نمو متآكل أو ميري). - ليكوكسين - روتيل* - تورملين (مستدي) - زركون (مستدي)* - خامات حديد	- تورملين (جبات صغيرة ذات لون بني فاتح وكاملة الاجه البلورية تكتنف جسيات كربونية). - بيوتيت - مسكوفيت - ليكوكسين - كسر اردواز* - وفيليت - كسر مرو - كسر كوارتزيت* (مرو متحول)	- مجنيتيت - بيوتيت - هورنبلند (أزرق مخضر) - جازنت* - أندلوسيت* - إبيدوت* - كاييت* - سلمجيت* - شتوروليت* - زيوسيت	- كاسترين - بيوتيت - هورنبلند - مونايزيت - تورملين (أزرق يعتبر من الأحجار الكريمة) - فلوريت - جازنت - توباز* - باريت - مسكوفيت - أليبت - ميكروكلين	- كاستريت - الميث* - ليكوكسين - مجنيتيت - أباتيت* - بيوتيت - هورنبلند - مونايزيت - سفين* - مسكوفيت - تورملين (جبات صغيرة وزهرية اللون وكاملة الأوجه البلورية). - زركون (كاملة الأوجه البلورية). - ميكروكلين - مرو (نوع ناري)	- أناتاس* - أوجيت* - بروكيت* - كروميت* - هيرثين* - المنيث* - ليكوكسين - مجنيتيت - أوليفين* - روتيل - سربنتين*

\* معادن مميزة للمصدر.



شكل (١٣١). مخطط يوضح طريقة فصل المعادن الثقيلة.

بدقة باستعمال قضيب زجاجي حتى يسمح بغمس جميع الحبيبات في وسط البروموفورم وتكرر نفس العملية عدة مرات وبحذر.

٢ - تستقر المعادن الثقيلة مثل الزركون والتورملين والجارنت والروتيل . . . إلخ ، في قاع القمع رقم (١) وتبقى المعادن الخفيفة مثل الكوارتز والفلسبار طافية في أعلى السائل.

٣ - يفتح الصمام الموجود في أسفل القمع الزجاجي رقم (١) حتى يسمح بمرور المعادن الثقيلة واستقبالها في قمع زجاجي رقم (٢) (انظر الشكل ١٣١) الذي يحمل بداخله ورقة ترشيح مطبقة بشكل القمع وموضوعة بداخله .

٤ - عند مرور جميع المعادن الثقيلة من خلال القمع رقم (١) واستقبالها في القمع رقم (٢) يقفل الصمام وتترك عينة المعادن الثقيلة حتى يتم رشح جميع البروموفورم منها واستقباله في إناء تجميع البروموفورم ، (شكل ١٣١).

٥ - تزاح ورقة الرشح وعليها المعادن الثقيلة حيث تغسل المعادن الثقيلة بسائل الأسيتون وتترك حتى تجف تحت درجة حرارة غرفة العمل.

٦ - يمرر جميع البروموفورم المتبقي في القمع رقم (١) وتجميعه في إناء التجميع (شكل ١٣١) ومن ثم تترك المعادن الخفيفة حتى تجف.

٧ - يتم فحص المعادن الثقيلة بعد جفافها تحت المجهر حيث تُعرَّف وتُدَوَّن أشكال حبيباتها وبحسب وزنها وتُعين النسبة المئوية لكل معدن.

ولزيد من تفاصيل الدراسة العملية عن المعادن الثقيلة يرجع الطالب إلى كل من:

Krumbein and Pettijohn, (1938); Hutton, (1950); Poole, (1958); Bates and Bates, (1960); Milner, (1962); Carver, (1971) and Blatt, (1982, 1992).

ولقد أشار (Friedman and Sanders, 1978) إلى أن احتواء معظم الرمال على المعادن الثقيلة يتراوح من ١ - ٢ في المئة من وزن العينة، ولكن تختلف نسبة المعادن الثقيلة إلى نسبة المعادن الخفيفة من رمل لآخر. وعادة تزداد نسبة المعادن الثقيلة كلما تناقص حجم جسيمات الراسب. وقد يرتفع تركيز المعادن الثقيلة في بعض الرمال نتيجة عمليات ميكانيكية متنوعة مما ينجم عنه تكوين طبقات ذات سماكة ملمترات إلى عدة سنتيمترات وهو ما يعادل ٢٠٪ أو أكثر من مجموع العينة المفحوصة. ويعزى ترسيب المعادن الثقيلة وتركيزها في بعض المناطق إلى ارتفاع كثافتها النوعية لذا ترسب المعادن الثقيلة مع جسيمات مرو أكبر منها حجمًا.

ويستفاد من دراسة المعادن الثقيلة في تمييز صخر الأم أو الصخور الأصلية المساقة منها هذه المعادن (انظر جدول ١٩) ومن ثم معرفة إقليم المصدر (Provenance) ومنشأ الصخور الحاملة لها، وعلى سبيل المثال يوجد كل من معدن الأوليفين والروتيل والكروميت والأوجيت والسرينتين فقط في الصخور النارية القاعدية بينما ينحصر وجود كل من معدن الجارنت والسلمينيت والكاينيت والأبيدوت والأندلوسيت في الصخور العالية التحول (راجع الجدول ١٩). وتحتوي المعادن الثقيلة في كثير من الأحيان على معادن معتمدة ومعادن شفافة. وتتكون المعادن المعتمدة من مجموعة معادن الأوكسيدات (Oxides) مثل الهيماتيت والكبريتيدات (Sulphides) مثل البيريت، وغيره من المعادن المعتمدة والمعروفة بال خامات المعدنية. وتشتمل مجموعة المعادن الشفافة على مكونات الصخر السليكاتية (جدول ١٩). وحيث إن هذه المجموعة تسمح بمرور الضوء المستقطب فإنه يمكن دراستها تحت المجهر بعد وضع حبيبات هذه المعادن على شريحة



زجاجية، (شكل ١٣٢). ويمكن فصل الحبيبات المغنطة من الحبيبات غير المغنطة جميعها تقع تحت مجموعة الحبيبات المعتمة ويتم دراسة وتحليل مجموعة المعادن الثقيلة المعتمة بواسطة انعكاس الضوء المستقطب والأشعة السينية كما تدرس مجموعة المعادن الثقيلة الشفافة بواسطة المجهر البتروغرافي والمجهر الماسح الإلكتروني. كما يمكن الاستفادة من المعادن الثقيلة في إعادة بناء الجغرافية القديمة للرواسب الحاملة لها وأيضاً في إعادة تكوين أحواض الصرف القديمة (P. Allen 1967, 1972) وذلك بمشاركة دراسات كل من التيار القديم وتأثير المياه القديمة والسحنات الرسوبية. كما تستعمل دراسة المعادن الثقيلة في أبحاث شركات النفط حيث يمكن بواسطتها التمييز بين أنواع طبقات الرمل في بئر واحدة وأيضاً مضاهاتها بعينات رملية مأخوذة من آبار أخرى حتى ولو لم يعرف مصدر هذه المعادن (Friedman and Sanders, 1978) ويطلق على الإقليم المحتوي على مجموعة المعادن الثقيلة نفسها إقليم المعادن الثقيلة (Heavy-mineral province) وفي معظم الحالات يعتمد تحديد أقاليم المعادن الثقيلة على اختلافات المصدر ولكن بالإمكان تعريف هذه الأقاليم حتى إذا لم تستوف معرفة المصدر.

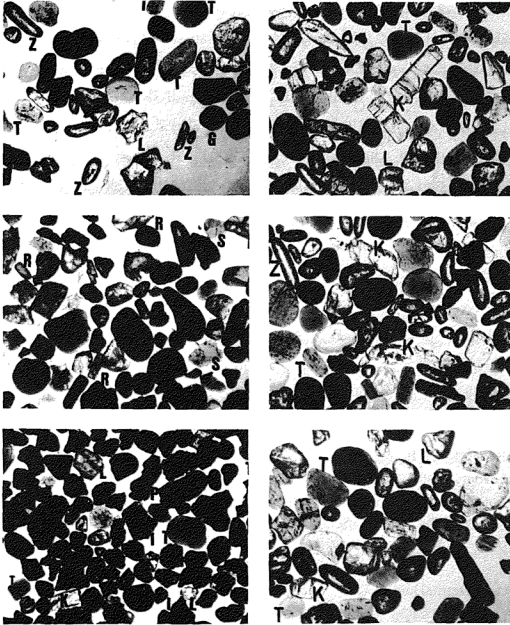
لمزيد من المعلومات المتقدمة عن المعادن الثقيلة يمكن الاستعانة بالمراجع العلمية

التالية :

Blatt, (1992); Boggs, (1995); Pettijohn, (1975); Friedman and Sanders, (1978); Leeder, (1982); Hand, (1967); Kaye and Mrose, (1965); Stapor, (1973); Tourtelot, (1968); White and Williams, (1967); Nandi, (1967); Gastil et al., (1967); Keller and Littlefield, (1950).

## ٦ - الميكا Mica

ولقد أفاد العالم بلات (Blatt, 1992) أن الميكات الحثائية (Detrital micas) ذات الحجم الرملي بمثابة المكون الثانوي (أو غير الهام) لمعظم أحجار الرمل. وتكثر وفرتها في أحجار الرمل الناعمة المحتوية على كِسْرَ صخرية ميكائية (Micaceous) متحولة بكميات وفيرة. ولم يعرف بعد الوفرة النسبية لكل من البيوتيت والكلوريت والمسكوفيت في أحجار الرمل. ويمكن بشكل عام رؤية البيوتيت البُني أو الأخضر في الشريحة المجهرية متغيراً إلى كلوريت أخضر باهت مع تطور «انكسار مزدوج شاذ» (Anomalous birefringence)، فيختلف اللون المِزْرَق عن اللون الأزرق للانكسار



شكل (١٣٢). نماذج لبعض المعادن الثقيلة الشائعة في متكوني البياض والوسيع، شبه الجزيرة العربية. (عن : Moshrif, 1976)

G = Garnet; I = Ilmenite (Irregular shape, black); K = Kyanite; L = Leucoxene;  
P = Pyrite (aggregated black grains); R = Rutile; S = Staurolite; T = Tourmaline;  
Z = Zircon.

المزدوج العادي . ويتشكل البيوتيت البني في قليل من أحجار الرمل على هيئة قشور بلورية سداسية مكتملة (Auhedral hexagonal flakes) ذات وضع بلوري مثالي (أو كامل) يعكس التبلور في الصحارة (الافلا) وغياب تأثير حبة على أخرى في البيئة الرسوبية . نحن نستنتج أو نستدل على أن قشور البيوتيت كانت بُنية عندما خرجت من البركان . وتوجد بشكل أنموذجي هذه القشور في أحجار الرمل التي تحتوي على إثبات آخر لمصدر النشأة البركاني مثل كسر الريوليت وحبات الساندين والمرو المحاط بخطوط بيتا .

ومن الناحية الحجمية فإن معدل المسكوفيت يكون غير شائع في الصخور الجرانيتية ، لأن معظم البوتاسيوم اللازم لتشكيل المعدن يذهب بدلاً من ذلك إلى تشكيل الفلسبارات البوتاسية أثناء عملية التبلور . وتقرح شيوع المسكوفيت في حجر الرمل اشتقاق (أو انسياق) من صخور متحولة . وبالعكس ، فإن وجود البيوتيت في أنواع واسعة النطاق من الصخور المتبلورة ، وأيضاً نسب الحديد والمغنسيوم في البيوتيت يعكسان التركيب المعدني للصخر الذي تشكل فيه البيوتيت . ولسوء الحظ فإن هذه الاختلافات الكيميائية ليست ظاهرة بوضوح في خواص الميكا المرئية تحت المجهر (معاملات الانكسار واللون والانكسار المزدوج) .

#### ٧ - الجلوكونيت Glauconite

لقد أشار (McRae, 1972) إلى أن الجلوكونيت الحتاتي يوجد في حجر الرمل ككريات (أو كعقد بيضية الشكل Ovoid pellets) خضراء قائمة بُنية عندما تتأكسد ويحجم حبة المرو المرافقة تقريباً . وعامة فإن الجلوكونيت عديم البنية ، والخفي إلى دقيق التبلور مؤلف من مواد متكتلة من سليكات صفحائية (Phyllosilicate) غنية بالحديد وتحتوي على البوتاسيوم ذي أصل نشأة متنوعة . وربما تكون كريات الجلوكونيت الكتلية حطاماً طينياً ، أتياً من أرضية قاع البحر ، الذي مر خلال الجهاز الهضمي للكائنات المسلكية البحرية ، ومن ثم أصبح بيضي الشكل .

وليس الجلوكونيت مقيداً بنوع خاص من حجر الرمل إلا أن كُرَيَات (Pellets) الجلوكونيت أكثر شيوعاً في أحجار رمل مروية نقية بشكل أساسي وذات أصل نشأة بحري ضحل .

يظهر الحطام الفوسفاتي بشكل أنموذجي، إما على هيئة كرات بيضية الشكل وشرائط أو كسر صدفية من عضديات القدم (Brachiopoda) المعروفة باللنجيولا (Lingula).

وأشار بلات (Blatt, 1992) إلى أن الرمال الجلوكونيتية (Glaucinitic) الخضراء وأحجار الحديد الكاموسيتية (Chamositic ironstones) توجد بشكل شائع فوق التتابع السحني المُخَشَّن أو الضحل في الاتجاه العلوي. وتكون معظم هذه الطبقات ذات تطبيق متقاطع ومسلكية وبعضها تكون متداخلة مع أرضية صخرية حديدية أو متفسفة (Phosphatized)، مشيرة إلى فترة ترسيبية توقفية (Diastem) وإسمنتية تحت بحرية. وظهرت الطبقات الجلوكونيتية والكاموسيتية بشكل شائع في أزمنة كانت عندها الكتل الصخرية المجنّبة منتشرة بشكل واسع النطاق وكان منسوب ماء البحر عالياً، أثناء عصور الكامبري والأوردوفيشي والكريتاوي، ولكن لم يعرف السبب المصاحب لذلك بعد.

#### إعادة دورة الحبيبة Grain recycle

إن اهتمامنا بمعدنية الرمل حتى الآن كانت مركزة حول الإجابة عن سؤالين هما:

١ - ما هي المعادن الأكثر وفرة (والكسر الصخرية) في أحجار الرمل؟

٢ - هل أصل نشأة هذه المعادن في صخور نارية أو متحولة؟

وذلك ما كنا مهتمين به كمصادر نهائية للحبيبات. إلا أن نحو ثلثي السطح القاري مغطى بصخور رسوبية وليس بصخور نارية ومتحولة. وإذا أردنا أن نصمم خريطة جغرافية قديمة مضبوطة (أو دقيقة) للعصر الديفوني أو الجوراوي فيلزمنا تحديد أي من حبات الرمل الآتية مباشرة من مصادر نارية أو متحولة وأي منها كان متحرراً من صخور رسوبية أقدم. لذلك يجب علينا التمييز بين المصادر النهائية أو القصوية أو الأخيرة (Ultimate sources) والمصادر المباشرة أو القريبة (Proximate sources) فربما حبيبات المرو أو الجارنت في حجر الرمل الجوراوي انطلقت أخيراً من حجر الرمل الترياسي وقبل ذلك كانت مستقرة في صخر الوحل البرمي أو في دُمْلُوك أوردوفيشي، وقبل ذلك تحررت من صخور نايس حقبة الحياة البدائية (Proterozoic gneisses).

هناك أربعة سبل مستخدمة حالياً لتمييز المصادر القصوية من المصادر القريبة،

وهي :

١ - تحديد النسبة المئوية للمرو بين الحبيبات الختاتية، ويعد السبب المباشر في ذلك هو إعادة الترسيب (Reworking) عبر فترات طويلة من الزمن، لأن ذلك يتطلب إزاحة تامة لجميع الفلسبارات والكسّر الصخرية من حشد (Assemblage) حبيبات الرمل. ولذلك إذا كان حجر رمل مؤلفاً كلية من مرو، فمن المحتمل أن تكون الحبيبات مشتقة (أو منساقه) من أحجار رمل أقدم بدلاً من أنها أتت مباشرة من صخر ناري أو متحول.

٢ - تحديد النسبة المئوية للمعادن الإضافية الفائقة الثبات (Superstable) في حشد المعادن الثقيلة. أن السبب المباشر في ذلك هو للمرو نفسه. إن أعظم المعادن الثقيلة غير المعتمدة مقاومة هو الزركون والتورملين والروتيل، ولذلك فإن المؤشر (أو الدال) زت ر (ZTR) هو المقياس أو المعيار (Criterion) المستخدم الشائع لإظهار أهمية إعادة الدورة.

٣ - تحديد درجة استدارة (أو تكور) حبيبات المرو. فهي تحتاج إلى بري متكرر عبر فترات طويلة من الزمن سواء كان ذلك في بيئة شاطئية أم كتبانية لكي تنتج حبة مرو جيدة الاستدارة من بين الحبيبات المزواة المتحررة بواسطة الصخور المتبلورة (نارية أو متحولة). ومن ثم يشير حشد الحبيبات الجيدة الاستدارة ليس فقط إلى بيئات الإرساب بل أيضاً إلى إعادة الدورة. ومن الملاحظ أن معظم الرمل المروي النقي في العمود الجيولوجي يتكون أغلبيته من حبيبات مستديرة بشكل جيد أو حسن.

٤ - دراسة وجود نمو ثانوي محدود أو متآكل على حبيبات المرو. أنه من الشائع أن تجد مرواً ثانوياً مترسباً من مياه جوفية على أسطح حبيبات مرو حتاتي. وفيما بعد، ربما تفكك الصخر وتحترت، ومن ثم انبرت حبات المرو. ويمكن رؤية النماز المتآكلة (Abraded overgrowths)، (شكل ١٧ج)، في شرائح مجهرية لحجر رمل مترسب متأخر يشتمل على حبيبات مفرطة النمو. وتشكل النماز المحيطة بحبات الرمل إثبات نمناز لإعادة الدورة (Recycling). ولسوء الحظ، أن حبات المرو ذات النماز المعاد دورتها تكون غير شائعة في أحجار الرمل، وقد يكون السبب لذلك هو

أن معظم أحجار الرمل مسمتة (ملتحمة) بالكلسيت عوضاً عن المرو أو ربا لأن النوات تكون منفصلة عن حبيباتها المضيقة قبل إعادة الترسيب (Kennedy and Arian, 1990).

لقد بات واضحاً أن المفتاح المعدني لتقويم وفرة الصخور الرسوبية الأقدم في حوض الصرف هو المرو. فتحدد نسبته المثوية وشكل حياته بسهولة من الدراسات البتروغرافية (Petrographic studies)، وتخدم هذه المتغيرات كأحجار ركنية (Cornerstones) للتحليل الحوضي الصرفي (Drainage basin analysis). ولقد استخدمت دوال أو مؤشرات عدة على إعادة الدورة لكي نقيم تقييمات كمية لنسبة الرواسب الأقدم الموجودة في أعلى المجرى. فمثلاً: نسبة المرو + الشيرت إلى الفلسبار + الكسّر الصخرية أو نسب المرو الأحادية التبلور إلى حبيبات المرو المتعددة التبلور والأكثر هشاشة. وبالإمكان استنباط مؤشرات أخرى من أجل حالات أو ظروف خاصة.

وليزيد من المعلومات المتعلقة بتركيب أحجار الرمل والبيئة الإرسابية التي تتخطى مستوى هذا المقرر الدراسي ينبغي الاستعانة بالمراجع التالية:

Greensmith, (1971); Blatt, (1982, 1992); Ehler and Blatt, (1982); Williams *et al.*, (1982); Selley, (1990, 1994); Boggs, (1995) and Raymond, (1995).

### تأثير عمليات النشأة المابعدية (Diagenesis) على مسامية أحجار الرمل

عرف مفهوم العمليات المابعدية من كثير من البحا منذ أن استخدمه (Von Cumbel, 1888) لأول مرة. وقام العالم (Dunoyer de Segonzac, 1968) بمراجعة هذا الموضوع وإعطاء صورة شاملة عنه منذ عام ١٨٦٦ حتى ١٩٦٦م من حيث تاريخه وتسمياته واستخداماته. وبما أن العمليات المابعدية النشأة (Diagenesis) تضم في مفهومها جميع العمليات التي تحدث أو التي يتعرض لها الراسب المترسب تَوّاً وما تشتمل عليه هذه العمليات من تغيرات في هذا الراسب بعد الترسيب (Post-depositional) ولكن قبل عمليات التحول (Pre-metamorphic processes) والتي تؤثر في الراسب وتحوله من راسب رسوبي إلى صخر متحول. فإننا نقتصر هنا على اقتباس تعريف (Pettijohn, 1957) لهذا المصطلح والذي ينص على الآتي:

تشير العمليات المابعدية الناشئة (Diagenesis) بشكل بدائي إلى التفاعلات التي تحدث داخل الراسب بين معدن وآخر أو بين معدن وعدة معادن والسوابت الموجودة بين هذه المعادن.

ويقصر هذا التعريف على العمليات الكيميائية وتمييزها عن العمليات الفيزيائية مثل عملية الإحكام والدموج (Compaction) والتي تمت مناقشتها في الفصل الثاني. وقام بوصف وشرح العمليات المابعدية الناشئة التي تحدث في أحجار الرمل كثير من البحوث منهم:

Pettijohn *et al.*, (1972); Folk, (1974); Larsen and Chilingar, (1962); Pettijohn, (1957, 1975); Schere, (1987); Blatt, (1982, 1992); Selley, (1990, 1994); Boggs, (1995) and Raymond, (1995).

ولكن، العالم (Dapples, 1967) صنف العمليات المابعدية الناشئة لأحجار الرمل بمنهاج مستمر وذو اتجاه واحدة ويتكون هذا المنهاج من ثلاث مراحل أطلق عليها على التوالي المصطلحات:

١ - Redoxomorphic phase وتعني مرحلة الأكسدة والاختزال.

٢ - Locomorphic phase وتعني مرحلة السمته والالتحام.

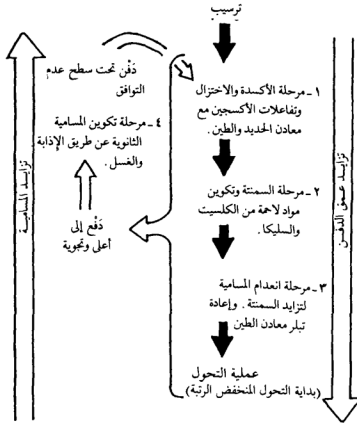
٣ - Phylomorphic phase وتعني المرحلة الواقعة أو الفاصلة بين حد عمليات النشأة المابعدية والتحول المنخفض (Low-grade metamorphism)، (انظر الشكل ١٣٣). ولكن من المحتمل عند أي مستوى خلال هذه المراحل قد يندفع (Uplift) أو يُدْفَع بحجر الرمل إلى سطح الأرض ومن ثم يكون عرضة لعملية التجوية، حيث يؤدي هذا إلى حدوث مرحلة رابعة لهذا المنهاج المتتابع أطلق عليه المصطلح.

٤ - Epidiagenesis phase وتعني مرحلة ما بعد النشأة المابعدية أو مرحلة تكوين مسامية ثانوية والتي من الممكن أن تكون تحت سطح عدم التوافق (Unconformity).

والآن سوف نناقش بالتفصيل هذه المراحل الأربعة من العمليات المابعدية في أحجار الرمل ومدى تأثيرها على مسامية هذا الصخر، كما أوجزها (Selley, 1976).

١) مرحلة الأكسدة والاختزال

تتم مرحلة الأكسدة (Oxidation) والاختزال (Reduction) في الرمل عندما يترسب فيتعرض أولاً للعمليات الفيزيائية الضرورية مثل عملية الإحكام أو الدموج،



شكل (١٣٣). يوضح العلاقة بين النشأة المابعدية لحجر الرمل ومساميته. (عن : Selley, 1976, 1990)

التراص (Compaction) وطرد أو استخراج الماء (Dehydration or Dewatering) من بين مساماته الأولية. ثم يتعرض للتغيرات الكيميائية النشأة المبكرة والتي تشمل على الأكسدة والاختزال ومنها اشتق مصطلح (Redoxomorphic phase) لهذه المرحلة. وتحدث هذه التفاعلات بشكل مبدئي بين الأكسجين والحديد (Iron) والكبريت (Sulphur) والمواد العضوية (Organic matter).

ففي حالة الرمل المترسب فوق مستوى معدل سطح الماء وبنفاذية عالية فإنه سيتعرض إلى تفاعلات تأكسد. وذلك بسبب أن محتوى المسامية يضح عرضة لهواء طليق ومياه جوفية مشبعة بالأكسجين (Oxygenated ground water). ومن ثم تتأكسد المواد العضوية وتتأكسد أيضاً مركبات الكبريت وتُنقل كمحلول من أيونات الكبريتات.



ويبقى الحديد كأكسيد حديد (Ferric oxide) وهو ذولون أحمر ويتشكل بشكل غلاف خفيف حول الحبيبات الختائية (يظهر تحت المجهر). وربما تختلط مع طين الأرضية. ولهذا السبب نجد أن معظم (وليس كل) أحجار الرمل المحمّرة ذات نشأة قارية هوائية ونهرية.

وبشكل متناقض في حالة الرمل الطيني الدقيق الحبيبات (Argillaceous sands) الموجود تحت مستوى معدل سطح الماء وبنفاذية منخفضة فإنه سيكون عرضة لتفاعلات اختزالية شائعة ويعود ذلك لقلّة الهواء الطليق، وربما تبقى أو تحفظ المواد العضوية كما هي ويتشكل معدن البيريت (Pyrite) من ارتباط عنصر الحديد مع عنصر الكبريت وهذا الارتباط بين المواد مع غياب أكسيد الحديد الأحمر يعطي الراسب لوناً رمادياً مخضراً.

يفقد الرمل مساميته الأولية ببطء من خلال هذه المرحلة من الأكسدة والاختزال للعمليات المابعدية المنشأة. ولكن يعود هذا بشكل مبدئي إلى تأثيرات عملية الإحكام واستخراج الماء عوضاً عن التأثيرات الكيميائية المابعدية المنشأة. ويتناقض هذا مع تأثيرات المرحلة الثانية من العلميات المابعدية المنشأة لأحجار الرمل.

## ٢) مرحلة السمنتة والالتحام

تشتمل هذه المرحلة المساة (Locomorphic phase) بشكل مبدئي على السمنتة (Cementation) أو الالتحام.

ويعرف اللحام أو اللاحم (Cement) بالمادة المتبلورة والتي نشأت ونمت في مسامات الراسب بعد ترسيبه. ويجب تمييزه عن راسب الأرضية (Matrix) الذي هو عبارة عن مواد دقيقة الحبيبات ترسبت في مسامات الراسب أثناء ترسيبه. لذا فهو ذو نشأة ترسيبية حدثت متزامنة مع بقية الراسب ويطلق عليه (Syndepositional origin) من حيث نشأته وتكوينه.

ومن بين المواد اللاصحة هناك لاهمان هما الأكثر شيوعاً في أحجار الرمل وهما السليكا والكربونات. أما بقية المواد اللاصحة الأخرى والتي يندر وجودها في أحجار الرمل هي المعادن المكانية التكوينية (Authigenic minerals) والتي تتكون من فليساير، هياتيت، هاليت، آنهيدريت (جبس عند المتكشف)، سليستيت (Celestite)،

وباريت (Barite) . ويقع تأثير هذه المعادن اللاصقة في تخفيض أو إفساد (انعدام) جميع مسامية بين الحبيبات (Intergranular porosity) الأولية ونفاذية أحجار الرمل . ولأهمية المعادن اللاصقة في أحجار الرمل سوف نناقش فقط أصل ونشأة الأكثر شيوعاً منها وهي السليكا والكربونات .

( أ ) لاصح السليكا : يشكل لاصح السليكا (Silica cement) اللاصح الأكثر شيوعاً في أحجار الرمل وتختلف درجة الالتحام بالسليكا عامة من صخر إلى صخر . ويندر تشكيل هذا اللاصح بشكل عديم التبلور (Amorphous) مثل غروانية السليكا المتميئة (Colloidal hydrated silica) أو ما يعرف بالأوبال (Opal) . ويتشكل الأوبال في الصخور الصغيرة العمر عند درجات ضغط منخفضة وأحياناً يتشكل عند درجات عالية من الحرارة كما في بعض الينابيع الحارة . ويفقد الأوبال الماء مع مرور الزمن ويصبح مرواً دقيق التبلور يطلق عليه المصطلح كالسيدوني (Chalcedony) ، وهو لاصح شائع في كثير من أحجار الرمل بأعمار مختلفة .

ولكن حتى الآن فإن أعم أنواع لاصح السليكا هو الكوارتز (المرو) النامي على حبيبات الكوارتز الحتاتية . وهو عبارة عن نمو موضعي (ذاتي) (Authigenic over growth) يتطور بأشكال متنوعة . فيشكل نمو الكوارتز في بعض الرمل العالي المسامية الأولية مظهر أوجه بلورية كاملة (Euhebral faces) وجميلة . وفي حالات غالباً ما تكون نادرة يُظهر لاصح الكوارتز تبلور هرمي ثنائي (Bipyramidal) يغطي على الحبيبة الحتاتية الأصلية .

وأكثر من ذلك تنمو السليكا الثانوية حول حبيبات الكوارتز الحتاتية بشكل مستمر عامة وتأخذ أشكال الفراغات المسامية المجاورة .

ودرس نشأة لاصح السليكا الثانوية باتساع لكونها أعم أنواع المهدمات للمسامية الأولية في أحجار الرمل . فقد أوضح (Ireland, 1959) أن مصدر السليكا الثانوية يعود إلى الظروف الطبيعية الكيميائية التي تتحكم في ترسباتها والعلاقة الموجودة بين سمنتة السليكا وسائل الضغط (Pressure solution) .

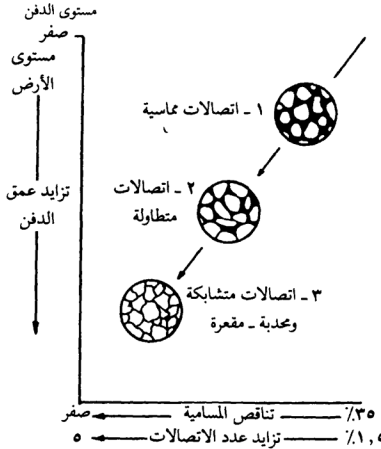
ويحتمل جداً أن لواحم السليكا ترسبت من محاليل والتي جلبت السليكا فيها من حطام عضوي مثل الشعاعيات (راديولاريا Radiolaria) وطحالب الدياتم (Diatom)

وشويكات الإسفنج السليسية (Siliceous sponge spicules). وبالمثل فإن بعض المحاليل الغنية بالسليكا سبقت من الطين المتعرض لعملية الإحكام. (راجع تجارب كل من: Heald and Renton, (1966); Mackenzie and Gees, (1971); Paraguassu, (1972).

ولقد أوضحت دراسة العلاقة القائمة بين السليكا الثانوية والمسامية وعمق دفن راسب الرمل أنها مرتبطة بشدة مع ظاهرة محلول الضغط (Pressure solution) أو لحام الضغط (Pressure welding). وأعطت كثير من القطاعات الصخرية (تحت المجهر) الانطباع بأن حبيبات الكوارتز اندمجت وتداخلت مع بعضها وترسبت بجوار نقاط تماس السليكا الثانوية. وقد اقترحت هذه الملاحظات لكثير من البحاثة أنه عندما يحكم أو يدمج الرمل تتحلل السليكا عند نقاط تماس الحبيبات ويعاد ترسيبها بشكل مباشر وسريع. واستعمل (Rittenhouse, 1971b) قريباً طريقة التحليل الكمي في معرفة انخفاض نسبة المسامية المرتبطة بمحلول الضغط وبشكل الحبيبات وتعبئتها (Packing).

وبين (Taylor, 1950) أن عدد تماس الحبيبات يزداد مع الدفن حيث تبدأ بنقطة تماس واحدة عند السطح وتزداد إلى خمسة نقاط أو أكثر عند عمق سحيق وفي نفس الوقت أوضح العالم تيلر كيفية تغير طبيعة نقاط تماس الحبيبات مع زيادة عمق الدفن (شكل ١٣٤) وتظهر ملازمة الحبيبات على هيئة نقاط تماس (Tangential contacts) وهي الأكثر نموذجاً عند السطح أو دفن قليل العمق (Shallow depth). ويتدرج هذا التماس عند دفن متوسط العمق إلى تماس متطاوّل (Long contacts) وعندها تلتقي جوانب الحبيبات مجتمعة جنباً إلى جنب وتصبح نقاط التماس عند دفن سحيق العمق محدبة - مقعرة (Concavo-convex contacts) التماس، أو معشقة أو متشابكة التماس (Sutured contacts) في أماكن اتساع محلول الضغط. ويصحب هذه التغيرات في عدد وطبيعة تماس الحبيبات انخفاض تدريجي في المسامية (شكل ١٣٤).

ويجب أخذ الحذر والعناية في دراسة العلاقة القائمة بين محلول الضغط والسليكا الثانوية. فقد بين (Sipple, 1968) أن فحص الرمل بطريقة استضاءة المهبط (Cathodoluminescence) قد أظهرت كميات من الكوارتز الثانوي أكثر مما أعطاه الفحص تحت المجهر المستقطب. هذا بالإضافة إلى كثير من الرمل الذي يبدو وكأنه فقد جميع مساميته نتيجة نقشي محلول الضغط فيه مع أنه في الحقيقة فقدها بسبب نقشي



شكل (١٣٤). يوضح كيفية انعدام المسامية في أحجار الرمل كلما تعمق دفن طبقات الرمل في باطن الأرض. (عن : Sippel, 1968; Selley, 1994)

عملية السمّنة فيه بالكوارتز الثانوي.

(ب) لاحم الكربونات: يتكون لاحم الكربونات في أحجار الرمل من الكلسيت والدولوميت. وقد يتشكل لاحم الكربونات في الرمل من الأراجونيت والكلسيت مثلما وجد في الرواسب الحديثة (Garrison et al., 1969), Allen et al., (1969). وتشير هذه التقارير إلى أن لواحم الكربونات بإمكانها أن تتشكل عند درجات عادية من الحرارة والضغط. وترسب هذه اللواحم من المحاليل التي تحصلت على كربونات الكالسيوم من كل من المياه البحرية المحجوزة بين مسامات الرواسب وطردت منها نتيجة عملية الإحكام أو الدموج (Compaction)، ومن تحلل الأصداف أو البقايا الهيكلية. ويرجع

السبب في عدم وجود لاحم الأرجونيت في أحجار الرمل القديمة لتغيره إلى كلسيت وهو الشكل الثابت لكاربونات الكالسيوم.

وتظهر لواحم الكربونات في أحجار الرمل من حواف بلورات صغيرة نامية حول حبيبات الكوارتز الحثائية إلى كلسيت متبلور لامع (Sparite) يملأ المسامات الأولية، ويظهر أحياناً بشكل بلورات مفردة (بمقياس قليل من السنتيمترات) وتحيط طراز الرمل كلية. ويعرف هذا بالنسيج المرقش (Poikilitic texture).

ويمثل الدولوميت الرتبة الثانية في الأهمية كلاحم كربونات. ويوجد هذا اللاحم في أحجار الرمل بشكل بلورات معينة الشكل (Rhomb-shaped crystals) والتي يندر أن تقوم بهدم جميع المسامية الأولية في الرمل بمفردها. وغالباً ما يوجد اللاحم في أحجار الرمل الطينية (Argillaceous sandstones) على هيئة كلسيت دقيق التبلر ودولوميت وسدريت بين طين راسب الأرضية (Clay matrix).

### ٣) مرحلة الحد الفاصل بين النشأة المابعدية والتحول المنخفض

تحدث هذه المرحلة من التغيرات المابعدية والمسماة بمرحلة (Phylomorphic phase) عند الحد الفاصل بين عملية النشأة المابعدية (Diagenesis)، والتحول المنخفض (Low-grade metamorphism). وتكون جميع المسامية الأولية قد فقدت عند نهاية مرحلة تشكيل السمته أو تكوين المادة اللاحمة (Locomorphic phase) نتيجة عملية السمته التي سادت صخر الرمل. ويعاد خلال هذه المرحلة (Phylomorphic phase) تبلور جسيمات الطين والمعادن غير الثابتة (Labile minerals) الموجودة في أحجار الرمل الطينية (Argillaceous sandstones) وتشكل منها المسكوفيت والبيوتيت وميكا الكلوريت معطية بداية تكوين نسيج الشيستوز (Incipient schistose texture). وترتبط حبيبات المرو الحثائية في أحجار الرمل النقية وتصبح أكثر تقارباً مع بعضها وهذه بداية تغييرها إلى كوارتزيت متحول.

### ٤) مرحلة ما بعد النشأة المابعدية Epi-diagenesis Phase

(أو مرحلة تكوين المسامية الثانوية)

بينما يمر الراسب بتتابع المراحل الثلاث السابقة من التغيرات المابعدية، فإنه ربما يتعرض في أي وقت من الأوقات إلى حركة أرضية تدفعه إلى أعلى (Uplift) ومن ثم

يصبح الراسب عند سطح الأرض مكشوفاً لعملية التجوية (شكل ١٣٣). ويمكن في بعض الحالات أن تكون عملية التجوية حادة ومتعمقة مما يتسبب في زيادة كبيرة في مسامية ونفاذية الصخر. ومن هنا جاء استخدام المصطلح (Epi-diagenesis) لأن هذه العملية تعمل بشكل معاكس لعملية النشأة المابعدية (Diagenesis) والتي تتسبب في اضمحلال وانخفاض المسامية في أحجار الرمل (Hea, 1971). وقد نوقشت عمليات التجوية العادية في الفصل الثالث إلا أننا سنناقش هنا فقط ما يتعلق بتأثير التجوية في تشكيل المسامية الثانوية.

نتيجة دفع الراسب إلى أعلى يزاح الضغط الموجود سابقاً فوق الراسب وأيضاً تحدث عملية انهيار أو حركة الكتلة عبر أرضية منحدرية ومن ثم يتعرض الراسب لتجوية فيزيائية، ومن خلال كلا العمليتين يمكن تشكيل مسامية المكاسر (Fracture porosity)، وهي مسامية ثانوية. وفي نفس الوقت يمكن أن يتعرض الراسب المدفوع إلى أعلى والمكشوف عند سطح الأرض إلى تغيرات كيميائية متنوعة (وهو ما يعرف بالتجوية الكيميائية) ومنها تشكل مسامية ثانوية أخرى مثل مسامية الثقب (Vuggy porosity) ومسامية القالب (Moldic porosity). وتتكون هذه الأنواع من المسامية عن طريق الإزاحة بالمحاليل (Leaching)، ففي أحجار الرمل المسمتة بالكربونات، تقوم المياه الجوفية الغنية بالمواد الدبالية (Humic) والأحماض الأخرى بإذابة وإزاحة اللاحم ونقل محلول الكربونات بعيداً عن راسب الرمل. بحيث تؤدي هذه العملية إلى ترك الرمل غير متماسك ومفككاً ومسامية ربما تقترب من تلك النسبة التي ترسبت بها عند أول مرة. وتحدث هذه التجوية الحادة تحت سطح عدم التوافق (Unconformity) والتي تنشأ عنها مسامية المكاسر ومسامية المحلول (Solution porosity) عن طريق إزاحة اللاحم والحبيبات المحتاتية غير الثابتة.

ويمكن تلخيص مسامية أحجار الرمل كما لخصها (Selley, 1976, 1990)

كالتالي:

تشكل المسامية في أحجار الرمل بشكل أبسط بكثير من تلك التي تتكون في أحجار الكربونات وذلك بسبب عظم ثبات السليكا كيميائياً.  
وتعكس المسامية كلاً من نسيج ونمط وترسيب واتساع عملية النشأة المابعدية

لحجر الرمل . ويلعب كل من حجم الحبيبة وشكلها وتصنيفها وتعبثها لراسب ما دوراً مهماً في تقرير مسامية بين الحبيبات الأولية، ولكنير من التفاصيل أنظر (Pryor, 1973). ويُمثل تأثير عامل الإحكام أو الدموج (Compaction) في الرمل ذلك لأن معظم ما لوحظ من انخفاض في مسامية الرمل مع زيادة عمق دفنه فهو عائد إلى عملية السمتة فقط . ومن بين المواد اللاصقة المختلفة في أحجار الرمل نجد أن لاصق السليكا هو الأعم ويشكل نهاية غير معكوسة (Irreversible end) ضمن منهاج عملية النشأة المابعدية في أحجار الرمل . وعند أي مستوى من مستويات مراحل النشأة المابعدية، قد يتعرض حجر الرمل إلى عملية ما بعد النشأة المابعدية (Epidiagenesis) والتي فيها تتم عملية التجوية الحادة ومنها تتشكل أنواع معينة من المسامية الثانوية مثل مسامية المكاسر ومسامية المحلول (انظر الشكل ١٣٣).

وليزيد من المعلومات في هذا الشأن، راجع :

Surdan *et al.*, (1984); Blatt, (1992); Selley, (1994); Surdan and Crossey, (1987); Magara, (1980); Raymond, (1995) and Boggs, (1995).

### ثالثاً: صخور الحصى

تتشكل صخور الحصى (Rudaceous rocks) من رواسب حصوية تزيد مقاييس أقطار جسيماتها عن ٢ مم . وتندرج فيها الجسيمات إلى أحجام الحبيبات أو الحصىات (Granules) وأحجام حبيبات الرمل العالية الخشونة . وتتكون هذه الرواسب الحصوية (Rudaceous sediments) من نوعين من الحصى وهي الرواهص أو المدملكتات (Conglomerates) ذات الجسيمات الحصوية المستديرة أو المكورة، والبريشة أو البريشيا (Breccias) ذات الجسيمات الحصوية المزواة أو الشظوية . ويندر توفر صخور البريشة ولكن إذا وجدت فلإنها تتشكل أساساً في مناطق الصدوع . وتدعى بريشة تكتونية (Tectonic breccias) ، كما توجد في بعض ركام الانهيار الصخري (Scree) وتدعى بريشة فتاتية أو ركامية (Scree breccia) . لذلك فإن معظم صخور الحصى (Rudaceous rocks) عبارة عن مدملكتات (Conglomerates).

## (أ) المذملكات Conglomerates

يمكن تقسيم رواسب المذملكات إلى ثلاثة مجاميع صخرية رئيسة وذلك بناءً على تكوينها المعدني (Composition)، وهي كالتالي:

## ١ - المذملكات الفتاتية البركانية Volcaniclastic conglomerates

وهو ما يعرف بالرصيص البركاني (Agglomerates) وهذه ذكرت سابقاً بالتفصيل تحت عنوان تصنيف الرواسب.

## ٢ - المذملكات الكربوناتية Carbonate conglomerates

أو ما يعرف باسم الحصى الكلسية (Calclrudites) والذي سوف نناقشه بالتفصيل في الفصل السابع.

وتجدر الإشارة هنا إلى أنه يندر بقاء مذملكات الكربونات البرية (الأرضية) في الوحدات الطبقة وذلك بسبب سرعة حلها أو ذوبانها بالمياه الجوفية الحمضية، ولكن يكثر وجود مذملكات الكربونات البحرية، وأدل مثال على ذلك، تلك الطبقات الجلمودية (Boulder beds) المتكونة من الصخور المرجانية (Coral rocks)، والتي يتشكل منها ركام الانهيارات الصخرية (Screes) المتوافرة حول مقدمات الشُعاب البحرية.

## ٣ - المذملكات الأرضية Terrigenous conglomerates

وهي ما يُجلب ويتجمع فيها الحصى من رواسب الأرض أو القارات، ويمكن تصنيف المذملكات الأرضية بناءً على استخدام عوامل النسيج (Texture) والتكوين المعدني (Composition)، ومصدر أصل النشأة (Source). والجدول (٢٠) يلخص تسمية وأصناف المذملكات الأرضية.

فمن حيث النسيج تنقسم المذملكات إلى نوعين هما:

## (أ) مذملكات الحصى النقية Orthoconglomerate

وهي ذات تدعيم حبيبي (Grain supported) حيث تلامس الحصىات الصغيرة (Pebbles) بعضها البعض وتكون الفراغات المتداخلة بين هذه الحصىات مملوءة براسب أرضية (Matrix) رديء التصنيف من الرمل والطين. ويعتبر راسب الأرضية في الرواهص النهرية ذا نشأة أولية حيث ترسب مع ترسيب بقية الحصىات. بينما لا يوجد



جدول (٢٠). تسمية وأصناف صخور الحصى.

نسيج	دُمْلوك الحصى النقية دُمْلوك تجميعي	تدعيم حبيبي
		تدعيم وحلي
تكوين معدي	دُمْلوك متعدد الحصوات دُمْلوك وحيد الحصوات	يتكون من حصوات صخرية متنوعة
		يتكون من حصوات صخر واحد
مصدر	دُمْلوك ذو حصوات تكونت في حوض الترسيب دُمْلوك ذو حصوات نقلت من خارج حوض الترسيب	نشأت داخل حوض الترسيب
		نشأت خارج حوض الترسيب

(عن : Selley, 1976, 1994)

راسب أرضية في الرواهص البحرية مثل زلط الشواطئ وخاصة تلك التي تشير إلى وجود اجتياحات بحرية (Marine transgressions). ويرجع عدم توافر راسب الأرضية هنا لعدم ترسيبه أصلاً. أما ما هو موجود عامة من راسب أرضية فإنه ترسيب لاحق حدث نتيجة تخلل (Infiltration) رواسب دقيقة من الراسب الملقى فوق هذه المدملكات. وترسب هذه المدملكات بمسامية عالية، وحيث إنها تمتلك ممرات أو مختنقات كبيرة (Large throat passages) أصبحت نفاذيتها ممتازة. ولكن هذه النفاذية العالية تساعد على اضمحلال أو هدم سريع للمسامية هنا، وذلك بسبب تخلل راسب الأرضية وامتلاء هذه المسامات بسرعة وقبل حدوث عملية السمنتة، (Selley, 1994).

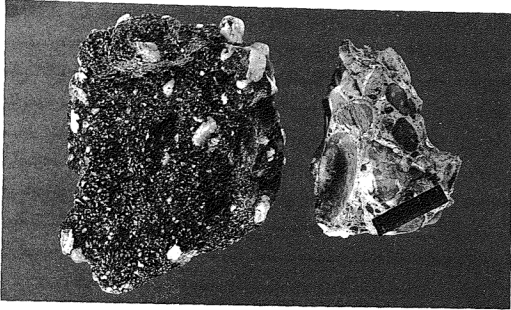
(ب) مدملكات تجميعية Paraconglomerates:

وهي ذات تدعيم وحلي (Mud supported) وتعرف باسم المدملوك الغني بالوحل (Diamictite) حيث يظهر هذا الصخر بحبيبات وحصوات مغموسة في الوحل. ومن ثم يندمر تماس الحصوات أو الحبيبات مع بعضها ولكن تظهر بشكل مبعثر ومتباعدة عن بعضها ويفصل بينها راسب أرضية دقيق الحبيبات. وتعتبر صخور مدملكات الوحل عامة من الرواسب الثلجية المنشأة من حيث النقل والترسيب. وقد

نوقشت بالتفصيل في الفصل الرابع تحت عنوان عمليات النقل الثلجي . ولكن يجدر بنا أن نذكر هنا أن مُدْمَلَكَات الوحل (Diamictites) أو أحجار الوحل الحصوية تشكلت أيضًا من عمليات متنوعة والتي لم يفهم أصل نشأتها بشكل جيد حتى الآن. ويرجع ذلك إلى أن بعضها يعود إلى تدفقات الوحل (Mud flows) والتي تحدث في بيئات فوق سطح الأرض وتحت سطح الماء، والبعض الآخر ذو أصل نشأة مثلجية مثل رواسب الطين الجلمودي الذي حدث في عصر البلايستوسين (Pleistocene) ، (Selley, 1994) . أما الصنف الثاني من المُدْمَلَكَات الأرضية والذي صنف بناءً على عامل التكوين المعدني فإنه ينقسم إلى نوعين هما:

( أ ) مُدْمَلَكَات متعددة الحصىات Polymictic conglomerates

وتحتوي هذه المُدْمَلَكَات على حصوات من صخور متنوعة (شكل ١٣٥) لذا فهي ذات تكوين معدني مختلط وعامة ما تتشكل الحصىات في رواسب المُدْمَلَكَات



شكل (١٣٥) . حجر دملوك (كونجلوميرات)، من الرصيف العربي . متنوع الحصىات (يعين)، وحيد الحصىات (يسار)، لاحظ استدارة الحصىات . (عن: مشرف، تحت الطبع).

المتعددة الحصىات من عروق مرو (كوارتز) وكوارتزيت وظر (شيرت) . وتمثل المُدْمَلَكَات المتعددة الحصىات نواتج تجمع في مناطق مصدر نشيط التشكل (Tectonically active)

مكوناً بذلك مغاريط المذملكات المروحية (Fanglomerates).

#### (ب) مُذْمَلَكَاتٌ وحيدة الحصىات Oligomictic conglomerates

وهي المذملكات المحتوية على حصوات صغيرة (Pebbles) من صخر واحد فقط (شكل ١٣٥). وحيث إن السليكا معدن ثابت كيميائياً لذا نجد عامة أن المذملكات الوحيدة الحصىات تتكون فقط من حصى الكوارتزوز (Quartzose). وهي تمثل نواتج تفكك وحت أينما يسمح الثبات التشكيلي (Tectonic stability) بإعادة ترسيب واسع النطاق لكي تترك قاعدة (فرشة) من مذملكات منبسطة والتي تتميز بها أسطح عدم التوافق الرئيسة.

ومن ثم فإن مذملكات وحيدة الحصىات هي رواسب متعددة الدورات (Polycyclic sediments) وعامة مؤلفة من حصوات المرو العرقي (Vein quartz) وكوارتزيت وظر (Chert).

وبشكل عام نعتبر مذملكات وحيدة الحصىات نتاج حث (Degradation) حيث يسمح الثبات التكتوني بإعادة ترسيب واسع النطاق لكي تشكل المذملكات القاعدية المتسعة الجوانب والتي تتميز بها أسطح عدم التوافق الرئيسة.

وعلى النقيض، فإن المذملكات المتعددة الحصىات وبشكل عام هي نتاج إرساب (Aggradation) حيث مناطق المصدر النشطة حركياً (تكتونياً) تظل أطراف أو حواف المراوح النهرية (Wedges of fanglomerates).

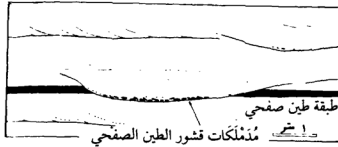
ويصنف القسم الثالث من المذملكات طبقاً لمصدر الحصىات. وبشكل نوعين من المذملكات هما:

#### (أ) مُذْمَلَكَاتُ الحصىات المتكونة في حوض الترسيب Intraformational con-

##### glomerates

وهي المذملكات المحتوية على حصوات لراسب أصلاً نشأ أو تكون من داخل حوض الترسيب ولهذا السبب نجد أن معظم مذملكات أحجار الجير تشكل مذملكات من هذا الصنف. ويندر وجود مذملكات رمل نشأ من داخل حوض الترسيب لأن الرمل غير المتماسك فاقد لخاصية الترابط (Cohesion) بين حبيباته ويتفكك بالحت. أما مذملكات حصوات الوحل المتكونة في داخل حوض الترسيب فهي شائعة الانتشار

ويطلق عليها مصطلح مُدْمَلَكَات قشور الطين الصفحي (Shale flake) أو مُدْمَلَكَات عقد الطين الصفحي (Shale pellet). ويظهر أن هذا النوع من المُدْمَلَكَات ضئيل السمك. ولكن تقع أهميته في دلالة على حدوث عملية حت مصاحبة (في الوقت نفسه) وبالقرب من موقع الترسيب. وغالباً ما تنشأ مُدْمَلَكَات عقد الطين الصفحي عند قاعدة وُحْدَات رواسب العكر (Turbidites) وفي رواسب قيعان القنوات (Channels)، (شكل ١٣٦)، (Selley, 1976, 1994).



شكل (١٣٦). يوضح أصل نشأة المُدْمَلَكَات المتكون في حوض الترسيب من أطياف عقدية.  
(عن: Selley, 1976)

(ب) مُدْمَلَكَات الحصوات المنقولة من خارج حوض الترسيب Extraformational conglomerates

وهي المُدْمَلَكَات المحتوية على حصوات أصلاً نشأت أو تكوّنت في خارج حوض الترسيب ثم نقلت إلى بيئة هذا الحوض الذي ترسبت فيه. ويتمثل هذا النوع بشكل كبير في مُدْمَلَكَات الرمل المجلوبة من خارج حوض الترسيب. ولزيد من المعلومات راجع: Ryamond, (1992); Blatt, (1992); Selley, (1976, 1994); Boggs, (1995).

(ب) البريشيات الرسوبية Sedimentary breccias

لقد عرف (Selley, 1994) البريشيات بأنها رواسب من الجلاميد المزواة، تشكلت من عمليات تكتونية ورسوبية أيضاً. وسنوضح هنا البريشيات الرسوبية فقط. تعود أصل نشأة البريشيات الرسوبية إلى طريقتين رئيسيتين. فهي إما أن تكون من بيئات

قريبة جداً حيث لم تتعرض الفتاتات المحتوتة تَوّاً للبري والتآكل والاستدارة بَعْدَ، أو كرواسب البحر المنهارة (أو المتقوضة). ومعظم البريشيات الرسوبية هي من النوع الأول، حيث تترسب مباشرة بالقرب من أسطح عدم التوافق في مناطق أَسْفَحُ الأركمة البرية والتحت مائية وبشكل أكثر اتساعاً في بيئات المراحل النهرية.

وتندثر البريشيات الرسوبية المتعلقة بمحلول البحر لكنها أكثر متعة. فعندما تغسل وتذاب رواسب البحر بوساطة الماء الجوي (Meteoric water) فهي ربما تساعد على رفع البريشيات المتخلفة في الصخور غير الذوابة. وغالباً ما توجد قلنسوة من البريشيا على قمة العديد من القباب الملحية الضحلة. ويكون الفتات في الغالب مضطرب الشكل ويعكس التكوينات المختلفة التي ربما تخللتها القبة الملحية. ويتسبب الإخفاق في تمييز تلك التكوينات إرباكات جيولوجية وباليوتولوجية وخاصة في القطاعات المثقبة (Drill cuttings) لتلك البريشيات قيد الفحص.

وقد تتداخل المتبخرات (رواسب البحر) مع رواسب أخرى، عادة هي الكربونات. فإذا أذيت وغسلت هذه المتبخرات فعندئذ ستتكسر الطبقات المتدخلة مشكلة بريشيا المحلول المنهارة أو الهابطة، ويطلق عليها الطبقات المتكسرة. وتشكل هذه فقط من منطقة التدرج المفرط (Roll-over zone) والمرتبطة بصدع متنامٍ رئيسي. فهي تنقبض محلياً وتلتوي نحو طيات حيث تنقلب في اتجاه مستوى الصدع. ويبدو أنه ليس فقط ربما تنقيد السبخة المتسعة بوساطة التجويف المفرط التدرج ولكن ربما سيطر المنحدر القديم الشالي على حركة بريشيا المحلول المنهارة، (Selley and Stoneley, 1987)، انظر أيضاً: Selley, (1994); Boggs, (1995) and Raymond, (1995).

### رابعاً: صخور الفتات الناري

عبارة عن رواسب فتاتية نارية (Pyroclastic sediments) تشكلت من مَقْدُوف البراكين وعمامة ما تكون صغيرة الحجم بالنسبة لبقية الصخور الرسوبية. وتشكل جزءاً ضئيلاً في القشرة الأرضية. وتكون معظم معادن الرواسب البركانية غير ثابتة (Unstable) أو قليلة المقاومة عند درجة عادية من الحرارة والضغط. ولهذا السبب تظهر الفتاتات المسافة من النشاط البركاني متداخلة مع تدفق الحمم أو اللابة (Lava flows)

ويندر أن تتحمل عملية نقل كبيرة ولسافة بعيدة عن المركز البركاني الذي صدرت منه (Selley, 1976).

ويمكن تصنيف رواسب الفتات البركاني (Volcaniclastic sediments) إلى ثلاث مجموعات وذلك طبقاً لأحجام جسيماتها شكل (١١١) وهي كالتالي:

#### ١ - الأرصصة البركانية Agglomerates

وهي تشبه مُدْمَلَكات الأرض من حيث المظهر إلا أنها بركانية النشأة تشكلت من ثوران الانفجار البركاني ومن حركة ركام أو فتات البراكين في داخل فوهة البركان (Caldera) وعلى جوانب فوهات البراكين.

#### ٢ - رمل فتاتي بركاني Volcaniclastic sand

يتكون هذا النوع من الراسب الفتاتي البركاني من نوعين:

**الأول:** عبارة عن رمل تحات الفتات البركاني (Erosional volcaniclastic sands) ويتكون نتيجة عمليات التجوية والحت العادية والتي تتعرض لها الصخور البركانية سواء تحت سطح الماء أو فوق سطح الأرض.

**الثاني:** عبارة عن رواسب فتاتية نارية (Pyroclastic sediments) قذفت في الهواء أثناء ثوران البراكين. وتشتمل هذه الرواسب على القنابل البركانية (Volcanic bombs) التي تسقط بالقرب من فوهة البركان. والرمل البركاني الذي يسقط حول الفوهة البركانية وإلى مسافة عدة كيلومترات، والغبار البركاني (Volcanic dust) الذي ينقل في أعالي الجو ويطوف حول العالم. وعامة يشار إلى رمل الفتات البركاني بالطُف البركاني (Volcanic tuff) أو رماد بركاني (Volcanic ash). وربما يوجد هذا الراسب تحت سطح الماء أو فوق سطح الأرض. ويتكون رمل الفتات البركاني من بلورات وفتاتات زجاجية وكِسْر صخرية (Rock fragments). وتتكون بعض بلورات المعادن مصاحبة لعملية الثوران مثل معدن الأليفين والكوارتز. وتظهر قطع الزجاج البركاني (Shards) بشكل كريات صغيرة وشفف أو شظايا مزواة وغير منتظمة الشكل. أما الكِسْر الصخرية فهي عبارة عن حبيبات مركبة من معادن بركانية وزجاج.

وعامة يكون رمل فتات البراكين ردىء التصنيف (Poorly sorted) لأنه يضمحل ويتفتت بسرعة إذا تعرض للنقل المكثف وأعيد ترسيبه . ولكن يستثنى من هذه القاعدة رمل الفتات البركاني الهوائي وأيضاً كثبان رمل البازلت (Selley, 1976).

### ٣ - رماد بركاني دقيق الحبيبات Fine-grained volcanic ash

يتكون الرماد البركاني من راسب دقيق الحبيبات ذو تصنيف (Sorting) جيد إلى جيد جداً وله تطبق متميز ويعرف بالرماد المتساقط (Ash falls) وهذا يجعله يختلف عن الرماد المتدفق (Ash flows) من فوهة البركان . ويقذف راسب الرماد البركاني الدقيق الحبيبات في الهواء وينقل في اتجاه أسفل الريح من مركز الثوران . ويصنف هذا الراسب طبقاً لانخفاض سرعة الريح ومن ثم يحدث تراكم تنازلي من حيث السمك وحجوم الحبيبات وذلك كلما ابتعدنا من نقطة أصل المصدر وبشكل منتظم Scheidegger and Potter (1968), Pettijohn (1975) ويمكن الاستدلال على اتجاه الريح القديم (Paleowind direction) من نموذج ترسيب الرماد البركاني المتساقط (Eaton, 1964) . ويتعرض الرماد البركاني الدقيق الحبيبات إلى تغيير واسع النطاق بعد ترسيبه مما يتشكل منه صخور البنتونيت (Bentonites) وربما صخور التُنُسْتِين (Tonsteins). ويشكل الرماد البركاني الدقيق الحبيبات جزءاً من الرواسب البحرية العميقة والمعروفة برواسب لُجِيَّة (Pelagic sediments) والموجودة حالياً بكمية قليلة في بيئات بحرية حديثة .

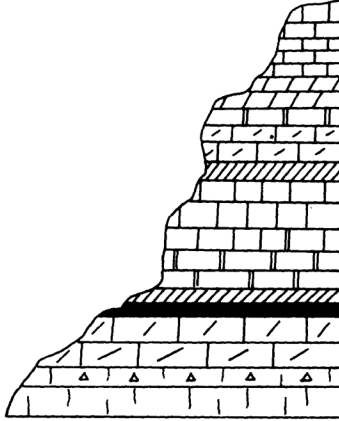
ولقد أوضح (Selley, 1994) ، ربما تكون رمال الفتات البركاني ذات مسامية أولية ونفاذية جيدة وخاصة إذا ترسبت على الشواطئ والكثبان . لكن ما تلبث أن تفقد مساميتها بسرعة إذا دفنت ، إضافة إلى ذلك لعدم ثبات معدنياتها . وتقر هذه الرواسب أثناء الدفن الضحل بعملية طرد الماء والكربنة القائدة إلى تكوين الكربونات الموضعي (Authigenic carbonate) والطين واللومونيت (Laumontite) ومعادن الزيوليت (Zeolites) الأخرى . وينجم عن الدفن الإضافي عملية إعادة طرد الماء من الأطيان وحدوث عملية أَلْبَنَة الفلسبارات (Albitization of feldspars) وتكوين معادن زيوليت إضافية . ومن ثم فإن صخور الفتات الناري وبشكل عام هي خزانات مياه ذات نوعية سيئة وكذلك الحال بالنسبة لمستودعات البترول .

لكن الصخور البركانية والفئات الناري هي ذات اهتمام في عملية التنقيب المعدني إضافة إلى كونها مصدر أولي لبعض الرواسب الفلزية (Metalliferous deposits) ، حيث إن الفلزات أصلاً منتشرة ومبذورة في الصخور البركانية . وبشكل لاحق فإنها تنقل أثناء التجوية ويتم تركيزها وإعادة ترسيبها أثناء عملية النشأة المابعدية الجوية (Meteoric diagenesis) الضحلة . ويصاحب المراكز البركانية تشكيل كل من مقدمات لفات اليورانيوم وتراصف الطبقات الحمراء من رواسب النحاس .  
ولمزيد من التفاصيل ذات العلاقة راجع :

Fisher and Schmincke, (1984); Suthren, (1985); Boggs, (1995) and Raymond, (1995).



## الفصل السابع



### الرواسب الحوضية الناشئة

- مقدمة ● صخور الكربونات ● الصخور
- الشُعابية ● صخور الفحم الطبيعي ● صخور
- البخر ● الصخور السليكونية ● صخور
- الفوسفات ● صخور الحديد الرسوبية
- عقيدات المنجنيز ● صخر الأستروماتوليت



## مقدمة

يشار دائماً إلى المجموعة الثانية من الصخور الرسوبية بالرواسب الكيميائية (Chemical sediments) أو الرواسب ذات النشأة الحوضية أو المتكونة في أحواض الترسيب ويطلق عليها المصطلح (Autochthonous sediments) ، حيث تتكون هذه الرواسب في داخل حوض الترسيب وبشكل مغاير للمجموعة الأولى وهي الرواسب الفتاتية الأرضية النشأة (Clastic terrigenous sediments) ، والتي نقلت من خارج حوض الترسيب وترسبت فيه ويطلق عليها المصطلح (Allochthonous sediments) ، وقد نوقشت بالتفصيل في الفصل السادس . ولتمييز المجموعة الأولى عن الثانية من حيث نشأة تكوينها يمكن استخدام التسمية التالية وهي للمجموعتين على التوالي: (Sediments of extrabasinal origin) و (Sediments of intrabasinal origin) .

تُحلّ أو تُذاب مكونات الرواسب الكيميائية أثناء عمليات التجوية الكيميائية وتنقل الأنهار محاليل هذه الرواسب إلى البحيرات القارية وبشكل رئيس إلى المحيطات . وبالإضافة إلى ما تمده التجوية الكيميائية من محاليل ذواب الرواسب فإن مياه البحيرات والبحار تحتوي أيضاً على مكونات رواسب ذائبة تأتي من الأرض والهواء ، هذا بالإضافة إلى أن مياه البحار تحتوي على مكونات كيميائية متبقية (متخلقة) ترسبت في البحار من الغلاف الجوي الأرضي منذ أمد بعيد .

وبزيادة تركيز هذه المحاليل عن طريق التبخر أو ببعض الطرق الأخرى فإنها تقود إلى تشبع عظيم لهذه المواد الذائبة وينتج عن ذلك ترسيب كيميائي للمعادن ومن ثم تتشكل الرواسب الكيميائية وبغض النظر عما إذا كان الترسيب حدث بشكل غير عضوي أو نتيجة نشاط الكائنات الحية .

ويمكن تقسيم الصخور الكيميائية إلى مجموعتين عضوية وغير عضوية . وتمثل الأولى ب كربونات الرمل الهيكلية والثانية بالمتبخرات . إلا أن أبحاث الكيمياء الحيوية أظهرت صعوبة في رسم الخط الفاصل بين هاتين المجموعتين ويرجع ذلك إلى ملازمة تكوين الطين الجيري نتيجة التغيرات الكيميائية في ماء البحر ونتيجة نشاط الرّاجيّيات أو البكتريا (Bacteria) والعوالق أو البلاكتن (Plankton) وهذا لا يساعد على إثبات القول بأن هذه الرواسب ذات نشأة عضوية أو غير عضوية (Selley, 1976, 1994).

ولكي تتكون الرواسب الكيميائية بشكل عام من الترسيب المباشر والذي يحدث في داخل حوض الترسيب، يمكن أيضاً أن تتعرض هذه الرواسب إلى إعادة ترسيب ضئيل مثل تلك الرواسب الكيميائية الحتاتية (detrital) أو الفتاتية (Clastic). ولكن عندئذٍ يجب تمييزها بحذر عن تلك الرواسب الفتاتية الأرضية والتي نشأت خارج حوض الترسيب.

وتشكل محاليل التجوية أهم وأعم كميات الرواسب الكيميائية وهذه تتمثل في كل من مركبات أيونات الكربونات ( $\text{CO}_3^{2-}$ ) والكربونات (Carbonates) والكبريتات (Sulphate) و  $\text{SO}_4^{2-}$  وكاتيون الكالسيوم ( $\text{Ca}^{+2}$ ) والتي تحملها مياه الأنهار بشكل شائع.

إن أهم وأكثر الرواسب كمية هي تلك الرواسب الكيميائية المساقاة بشكل مستمر من محاليل التجوية. والتي تتمثل في كل من مركبات أيونات الكربونات وكاتيون (Cation) الكالسيوم الموجودة بشكل شائع في مياه الأنهار. ومن ثم تصبح الكربونات المتمثلة في كل من الكلسيت والأراجونيت والدلوميت وكبريتات الكالسيوم المتمثلة في الجبس والأنهيدريت هي المكونات الرئيسة للرواسب الكيميائية. ويوضح الجدول (٢١) الرواسب الكيميائية الرئيسة والتي تكونت منها الكربونات بشكل كمي، هي الأعظم أهمية وذلك لأكثرية توافرها، وتشتمل الكربونات على أحجار الجير (Limestones) وأحجار الدلوميت (Dolostones) أو فقط ما يعرف بالدلوميت (Dolomites).

وطبقاً لما أشار إليه العالم سالي (Selley, 1994)، عامة تتشكل الصخور الكيميائية في داخل بيئة الترسيب. فهي تشمل الترسيب الكيميائي المباشر مثل بعض المتبخرات والتكوين بالطرق العضوية مثل الفحم وأحجار الجير الصدفية. وليست جميع الرواسب الكيميائية تكون متزامنة الترسيب. فعمليات النشأة المأبذة هي مهمة في أصل نشأة بعض من: المتبخرات والدلوميتات وأحجار الظر (الشيرت) وأحجار الحديد وصخور الفوسفات. ويمكن إيجاز ذلك كما يلي:

تتشكل صخور الكربونات نتيجة التالي:

- ١ - العمليات العضوية.
- ٢ - الترسيب المباشر غير العضوي.

جدول (٢١). أنواع الصخور الكيميائية الرئيسة.

صخور كربونات	أحجار الجير دلوميت
صخور المتبخرات (أو البحر)	جبس / أنهيدريت هاليت / صخر الملح أملاح البوتاسيوم، ... إلخ
الصخور السليكونية	ظر، شعاعيات، دياتوميت، نوافكوليت
صخور الفوسفوريت	فوسفات
أحجار حديد رسوبية	
الصخور المتكرنة	مجموعة الدبال - سلسلة الفحم مجموعة سربوليت - طين صفحي نفطي وفحم القنوات

(عن : Selley, 1976, 1994)

### ٣ - عمليات النشأة المابعدية (Diagenesis).

وتقع أهمية صخور الكربونات في أنها مكامن هيدروكربونات وخزانات مياه لاحتوائها في معظم الأحيان على مسامية عالية وهذه سوف نناقشها فيما بعد بالتفصيل .  
والمجموعة الثانية والمهمة من بين الرواسب الكيميائية هي صخور البحر (Evaporites). وتشكل رواسب البحر عن طريق الآتي:

#### ١ - تبلور غير عضوي .

### ٢ - عمليات النشأة المابعدية (Diagenesis).

وأهم معادن البحر هي الأنهيدريت، كبريتات الكالسيوم ( $\text{CaSO}_4$ ) وكبريتات الكالسيوم المتميئة أو الجبس ( $\text{CaSO}_4 \cdot 2\text{H}_2\text{O}$ ). وأقل المتبخرات انتشاراً هي الملح الصخري (صخر الملح) أو الهاليت ( $\text{NaCl}$ ) أو كلوريد الصوديوم والمعروف باسم ملح الطعام، والبوتاسيوم وأملاح أخرى.

وأقل الصخور الكيميائية انتشاراً هي أحجار الحديد الرسوبية. وهذه تتشكل نتيجة كل من الترسيب المباشر وعمليات النشأة المابعدية. وأعم المعادن الرسوبية الحديدية هي معدن البيريت ( $\text{Pyrite; FeS}_2$ ) ومعدن السلدريت ( $\text{Siderite; FeCO}_3$ ). وتشتمل خامات الحديد الرسوبية على أكاسيد كل من الجوثيت والهيماتيت والكاموسيت ومركبات معقدة من سليكات الألومنيوم المتميئة الحديدية (Ferruginous aluminohydrosilicate).

ويعتبر الفوسفوريت (Phosphorites) أو صخور الفوسفات (Phosphates) من الصخور الرسوبية القليلة الانتشار. وتتشكل بشكل كبير أثناء عمليات النشأة المابعدية المبكرة (Early diagenesis) في الراسب وعند تحت سطح التقاء الراسب بالماء مباشرة. ويساعد على تكوينها عملية إعادة التشكل والترسيب (Reworking)، والتركيز في العقد أو الكريات البادئة التكوين (Incipient pellets)، وكذلك في الدرنات الصخرية (Concretions). وتشبه معادن الفوسفات أحجار الحديد من حيث التعقيد التركيبي الكيميائي لها والتي سوف نتطرق لها فيما بعد.

والنوع الآخر من الصخور الرسوبية هو الفحم الحجري أو الطبيعي (Coal) والذي يتشكل كلية نتيجة العمليات الكيميائية الحيوية (Biochemical). وينشأ الفحم من تراكم النباتات تحت ظروف أو بيئات معزولة عن الهواء أو الأكسجين مثل أماكن المستنقعات العشبية (Swamps)، والمستنقعات الضحلة (Marshes). وتمتاز زواصب الدلتا القديمة بتواجد طبقات فحم فيها.

وأخر الرواسب الكيميائية هي الصخور السليكونية (Siliceous rocks) والتي تعرف بمصطلح الطر أو الشيرت (Chert). وتتكون هذه الرواسب من مرو (كوارتز) وكالسيدوني دقيق التبلور. وهي عبارة عن أنواع مختلفة من محاليل معدن السليكا. وتوجد السليكا المتميئة (Hydrous silica) أو ما يعرف براسب الأوبال (Opal) في صخور العصر الثلاثي (Tertiary rocks).

ويتشكل الطر (Chert) في ظروف متنوعة. فمنه ما يوجد بشكل صفحي قائم مع رواسب صخور العكر (Turbidites)، ومع وسائد اللابا (Pillow lavas) أو اللحم البركانية. ويتكون هذا النوع عامة من الطر من أغلفة الشعاعيات (Testes of

(radiolaria وأغلفة الدياتوم (Diatom tests) ولكن تتواجد طبقات الظر أيضاً في بعض رواسب البحيرات (Selley, 1976).

وغالباً ما يعتقد أن الظّر (Chert) يظهر مصاحباً للنشاط البركاني. لأن البراكين تطلق كميات كبيرة من السليكا في البيئة ويشجع هذا النوع على تنشيط الأحياء التي تفرز مادة السليكا مثل الشعاعيات (Radiolaria) وطحالب الدياتومات (Diatoms)، والاسفنجيات (Sponges) ومن ثم تعمل على تشكيل الظر (Chert)، (Wenk, 1949 and Khvorova, 1968).

والنوع الآخر والمميز من صخر السليكا هو الظر العقدي (Nodular chert) وهو من مميزات حجر الجير الدقيق الحبيبات إلا أنه يتشكل أيضاً في أحجار الرمل. وأعمها تواجداً تلك الطبقات من الظر العقدي المتشكل في صخور العصر الطباشيري المتأخر (Late Cretaceous)، وصخور الطباشير المتشكلة في العصر الثلاثي (Tertiary) عبر مناطق الشرق الأوسط وأوروبا. ويظهر هذا النوع من الظر في درنات مستديرة وغير منتظمة وبشكل منخفض التكور. ويتركز عامة على طول امتداد الطبقات وأحياناً يحل محل الأحافير ويأخذ شكل المسالك (Barrows). ونادراً ما يملأ المكاسر وفراغات الفواصل (Joints).

وقد ناقش كثير من البحاثة أصل نشأة الظر سواء المتطبق منها أو المتدرن ولكن المهم هنا الآن، هل نشأ الظر أصلاً كجلاتين سليكا غروية على وجه التقاء الراسب بسطح الماء أم أنه تشكل نتيجة عملية الإحلال (Replacement)؟ والحقيقة أن كلا العمليتين ممكن أن تحدثا في ظروف مختلفة، فقد أوضح (Peterson and Von der Borch, 1965) أن ترسيباً بدائياً (Primary precipitation) للأوبال (Opal) قد تم في البحيرات المؤقتة في أستراليا. وبشكل مغاير يشير تواجد الظر في المكاسر (Fractures) وإحلال الظر محل كربونات الحطام الهيكلية إلى أصل نشأة ثانوية (Secondary origin). وهذا يدل على أن الظر ذو أصل نشأة متعددة (Polygenetic)، (Selley, 1976).

وليزيد من التفاصيل المتقدمة والمختصة بالظر وبالرواسب السليكونية راجع كلاً من: (Pettijohn 1975; Blatt, 1992; Greensmith 1981; والحمدان، ١٩٧٥م). وعن تشكيل الرواسب الكيميائية راجع (Von Engelhardt et al., 1977; Selley 1994; Ryamond 1995 and Boggs 1995).

### ١ - صخور الكربونات Carbonate rocks

تتكون صخور الكربونات الرسوبية بشكل رئيس من كلسيت ودولوميت. وتشكل هذه الصخور حوالي ١٠٪ من منكشف الصخور الرسوبية. وقد سجل أقدم صخر كربوناتي بعمر يصل في القدم إلى ٢,٧ بليون سنة (Blatt *et al.*, 1980) وتمتلك هذه الصخور أهمية اقتصادية بسبب تكوينها المعدني واحتوائها على كل من مصدر الطاقة (البترول والغاز الطبيعي) وخامات كثيرة من المعادن. وتكون معظم هذه الصخور مسامية ومنفذة. ولذلك تُمَثَّلُ صخور الكربونات خزانات للمياه الجوفية والبترول، إذ أن حوالي ٥٠٪ من مخزون العالم من هذه الثروات موجودة بين صخور الكربونات. ولقد سمحت المسامية والنفاذية في هذه الصخور وكذلك سهولة تفاعل معادن الكربونات بأن تجعل من هذه الصخور مكاناً ملائماً لاستضافة كثير من خامات الرواسب مثل معدن الرصاص والزنك وغيرها (Blatt *et al.*, 1980). كما تستغل كميات كبيرة من أحجار الجير والدولوميت في الزراعة، والمعروف بالجير الزراعي (Agricultural lime)، وفي صناعة الأسمنت المستخدم في بناء المباني الخرسانية المسلحة وفي بناء الطرق... إلخ، كما تستخدم أحجار الجير كأحجار بناء.

ولكن صخور الكربونات تعتبر واسعة التعقيد من حيث أصل نشأتها والتغير المابعدى وخصائص مساميتها. وقد أوضح (Ham and Pray, 1962) عدة أسباب لهذه الاعتبارات وهي كالآتي:

- ١ - تشكل صخور الكربونات في داخل حوض الترسيب (Intrabassinal origin).
- ٢ - لا تشبه صخور الكربونات رواسب الأرض (Terrigenous sediments) لأنها تتجوى بسرعة وتُنَقَلُ نواتج تحويتها كمحاليل أو كذوائب.
- ٣ - ترسب صخور الكربونات بالقرب من منطقة مصدرها.
- ٤ - تتكون معظم صخور الكربونات من مواد عضوية الأصل والنشأ.
- ٥ - تشتمل صخور الكربونات على خليط من كافة الأحجام، من أصداف كاملة الحجم إلى حجم جسيمات الوحل الجيري ومن أصل نشأة متنوعة.
- ٦ - ترسب صخور الكربونات بمسامية أولية عالية (تقترب من مسامية الطين عند وقت الترسيب).



٧ - تكون معادن الكربونات غير ثابتة وسريعة التغير.

٨ - يعود تطور عمليات النشأة المابعدية والسائدة في صخور الكربونات إلى ملازمة المسامية الأولية العالية والنفاذية في هذه الصخور بالإضافة إلى التغير الكيميائي (Chemical instability) الملازم لهذه الصخور، حيث يكون هذا مسؤولاً عن السلوك غير العادي لعملية النشأة المابعدية في صخور الكربونات. وهذا بدوره يخلق صعوبة في تحديد مواقع خزانات المياه ومستودعات الهيدروكربون في هذه الصخور. إن ما كتب عن صخور الكربونات تجاوز ما نستطيع حصره هنا إلا أننا نوجه طالب الدراسات العليا الاستفادة مما كتبه كل من: Chilingar *et al.*, (1967a, b); Milliman, (1974); Bathurst, (1975); Reijers and Hsu, (1986); Scoffin, (1987); Boggs, (1995) and Raymond, (1995).

وستستطرق الآن إلى تفاصيل تخص معادن الكربونات، ثم وصف صخور الكربونات كما تظهر تحت المجهر، ثم تصنيفها وتسميتها وأخيراً سوف نناقش العلاقة الموجودة بين مسامية هذه الصخور وعمليات النشأة المابعدية فيها وذلك طبقاً لما أوضحه (Selley, 1976, 1990, 1994).

### معادن الكربونات

تتكون معادن الكربونات (Carbonate minerals) من الكلسيت ( $\text{CaCO}_3$ ) والأراجونيت ( $\text{CaCO}_3$ )، والدلوميت ( $\text{Ca.Mg}(\text{CO}_3)_2$ )، والأنكرت ( $\text{Ca}(\text{MgFe})$ ) الموجودة بين مسامية هذه الصخور وعمليات النشأة المابعدية فيها وذلك طبقاً لما أوضحه (Selley, 1976, 1990, 1994).

### ١ - معدن الكلسيت Calcite

يتكون معدن الكلسيت من كربونات الكالسيوم وهو الأكثر وفرة من بين معادن الكربونات الأخرى، كما أنه المكون الرئيس لأحجار الجير القديمة إلا أن رواسب الكربونات الحديثة، تتكون من أراجونيت ذي تشكيلات وبنيات متعددة (Polymorph) وبدرجات مختلفة. ويتشكل الكلسيت في أحجار الجير المتصلبة كلاحم متبلور ولامع يدعى سباريت (Sparite) ويملاً الفراغات ويحل محل معدن الأراجونيت ومعادن كربونات أخرى.

جدول (٢٢). يبين معادن الكربونات الشائعة.

المعدن	الصيغة الكيميائية	نظام التبلر	حدوثه
كلسيت	$\text{CaCO}_3$	سداسي	موجود في هياكل كربونات معينة كطين جيرى دقيق الحبيبات (Micrite) أو كلاحم متبلر لامع (Sparite).
أرجوانيت	$\text{CaCO}_3$	معيني قائم	موجود في هياكل كربونات معينة. غير ثابت ويتغير إلى كلسيت.
دلوميت	$\text{CaMg}(\text{CO}_3)_2$	سداسي	موجود بشكل وفير كصخر متبلر وذو نشأة مابعدية، وينشأ أيضاً مصاحب لمعادن المتخثرات.
أنكرت	$\text{Ca}(\text{MgFe})(\text{CO}_3)_2$	سداسي	هو نوع ثانوي من الدولوميت.
سدريت	$\text{FeCO}_3$	سداسي	موجود على هيئة درنات وسرديات.
مجنسيت	$\text{MgCO}_3$	سداسي	موجود بكميات ضئيلة في تشكيلات الأرجونيت والهياكل الكلسية.

(عن : Selley, 1976, 1994)

## ٢ - معدن الأرجونيت Aragonite

وهو معدن متوفر في كثير من هياكل الطحالب (Algae) والرخويات (Lamellibranchs) والقواقع (Gastropods) والحزازيات (Bryozoa). وتتكون الأطنان الجيرية الحديثة من الأرجونيت. ويتغير معدن الأرجونيت إلى كلسيت بسرعة، إما بواسطة السائل أو المحلول أو عن طريق عملية الإحلال وذلك بسبب ضالة ثباته (Instable) ويعتبر هذا التغير من مراحل النشأة المابعدية في صخور الكربونات. لذلك يندر ظهور معدن الأرجونيت في الصخور المتصلبة. ويشبه الأرجونيت تشكلات الكلسيت وهو على هيئة كربونات هيكلية وخاصة إذا وجد في الجلد شوكتيات (Echinoderms) وبعض الأحافير الدقيقة (Foraminifera)، والرخويات (Lamellibranchs) والحزازيات (Bryozoa).

ويوضح جدول (٢٣) أن معدن الأرجونيت موجود في العديد من الطحالب والرخويات والحزازيات. بينما يوجد معدن الكلسيت الغني بالمغنسيوم في القنفذيات والزنبقيات

جدول (٢٣). الكائنات المفترزة لمعادن الكاربونات الرئيسية، (عن : Scholle, 1978).

الصفيف Taxon	كلسيت Calcite	أراجونيت Aragonite
<b>الطحالب</b> Algae		
الحمراء Red	ك	أ
الخضراء Green		
الكوكوليث Coccoliths	ك	
<b>المنخرينات</b> Foraminifera		
القاعية Benthonic	ك	*أ
العوالقية Planktonic	ك	
<b>الإسفنجيات</b> Sponges	ك	*أ
<b>اللائحشويات</b> Coelenterates		
<b>كائنات بحرية</b> Stromatoporoids	ك?	أ
<b>المرجانيات</b> Corals		
المجمعات Rugosa	ك	
المسطحات Tabulata	ك	
المتصلبات (المستعمرات) Scleractinia	ك	*أ
المجوفات (مرجان ثنائي) Alcyonaria	ك	*أ
<b>الحزازيات</b> Bryozoa	ك	*أ
<b>عضديات الأرجل</b> Brachiopods	ك	
<b>الرخويات</b> Molluscs		
الرخاشيميات Lamellibranchs	ك	أ
بطنيات الأرجل Gastropods	ك	أ
جناحيات الأرجل Pteropods		أ
رأسيات الأرجل Cephalopods		أ
(أمونية غطائية) (ammonite opercula)	ك*	
<b>السجاريات</b> Belemnoids	ك	
<b>الحلقيات</b> Annelids	ك	أ
<b>المفصليات</b> Arthropods	ك	
<b>القفذيات</b> Echinoderms	ك	

لاحظ : (\*) تشير إلى ضالة المحتوى، (?) منقرضة حالياً، ك = كلسيت. أ = أراجونيت.

والعديد من المُنخَرَّات وبعض الطحالب والرخويات والقواقع أو بطنيات القدم، (Scholle, 1978).

وتحتوي معادن الكلسيت والأراجونيت الهيكلية على كميات ضئيلة من عنصر الأسترنتيوم والمغنسيوم والحديد وأثر من عناصر أخرى.

### ٣ - معدن الدولوميت Dolomite

يتكون معدن الدولوميت من كربونات الكالسيوم والمغنسيوم ويطلق اسم هذا المعدن عند الإشارة إلى الصخر الحامل له وبشكل بديل يستخدم المصطلح حجر الدولوميت (Dolostone) للإشارة إلى صخر معدن الدولوميت. ويتشكل معدن الدولوميت من خلال مراحل انتقالية بين الكلسيت والدولوميت ويتم ذلك عندما يحل عنصر المغنسيوم محل أجزاء من عنصر الكالسيوم، مشكلاً بذلك كالسيتاً غنياً بالمغنسيوم، وهو المعروف بمعدن الدولوميت. وبشكل مشابه عندما يحل عنصر الحديد محل أجزاء من عنصر المغنسيوم يتكون معدن الأنكرت  $\text{Ca}(\text{MgFe})(\text{CO}_3)_2$  أو ما يسمى بمعدن الدولوميت الحديدي (أو الغني بالحديد). ولا يشبه معدن الدولوميت كلاً من الكلسيت والأراجونيت لأنه لا ينشأ بشكل أصلي كإداة هيكلية. ويظهر معدن الدولوميت إما على هيئة متبلورة مما يدل على عملية الإحلال الثانوية لمعادن كربونات أخرى، أو عملية إحلال أولية أو مصاحبة لتشكل هذه المعادن. وفي هذه الحالة يكون الدولوميت عديم التشكل والبنية.

### ٤ - معدن السدرت Siderite

وهو عبارة عن كربونات الحديد والتي يندر وجودها بين معادن الكربونات. ويتشكل معدن السدرت عن طريق الترسيب الأولي ويأخذ شكل السرثيات (Oolites). وتظهر سرثيات السدرت مشاركة (أو مصاحبة) لسليكات الألومنيوم المتميزة الحديدية والكاموسيت وخامات الحديد الرسوبية. ويتشكل معدن السدرت كأحزمة ضئيلة السمك (Bands) وكدرنات (Concretions) أفقية في الرواسب الطينية الدقيقة الحبيبات وخاصة في سحنات الدلتا. ويظهر أيضاً فتات السدرت في المذمّلكات المتشكلة في داخل حوض الترسيب (Intraformational conglomerates). وتشير جميع هذه الحقائق على أن السدرت يتشكل نتيجة عملية النشأة المابعدية

(Diagenetic) التي تحدث أثناء الدفن المبكر وعندما تكون الرواسب لا تزال عديمة الإحكام أو غير مدموجة .

### مكونات صخور الكربونات

تمتلك صخور الكربونات أربعة مكونات رئيسية وهي :

(١) الحبيبات (٢) راسب الأرضية (٣) اللاحم (٤) المسام  
وصخور الكربونات تشبه حجر الرمل في عدد مكوناته ولكنها تختلف عنه من حيث إن حبيبات صخور الكربونات عامة تكون وحيدة المعدن (Monomineralic) وذات أنسجة متنوعة وهي متعددة في أصل نشأتها وتشكيلها (Polygenetic). ولنُصِف الآن الحبيبات المتنوعة وراسب الأرضية واللاحم طبقاً لما لخصه (Selley, 1976, 1990, 1994) وهي ملخصة في جدول (٢٤).

جدول (٢٤) . ملخص مكونات صخور الكربونات الرئيسية.

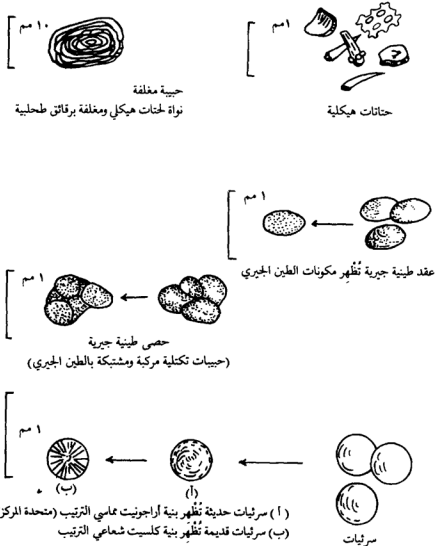
١ - حبيبات ٢ - حبيبات ٣ - حبيبات ٤ - حبيبات	أ - حبيبات حثائية ب - حثائات هيكلية ج - عقد طينية جيرية د - حصى طينية جيرية (حبيبات تكتلية جيرية) هـ - حبيبات مغلفة	١ - حبيبات ٢ - راسب أرضية ٣ - لاصح ٤ - مسام
١ - حبيبات ٢ - حبيبات ٣ - حبيبات ٤ - حبيبات	أ - حبيبات حثائية ب - حثائات هيكلية ج - عقد طينية جيرية د - حصى طينية جيرية (حبيبات تكتلية جيرية) هـ - حبيبات مغلفة	١ - حبيبات ٢ - راسب أرضية ٣ - لاصح ٤ - مسام
١ - حبيبات ٢ - حبيبات ٣ - حبيبات ٤ - حبيبات	أ - حبيبات حثائية ب - حثائات هيكلية ج - عقد طينية جيرية د - حصى طينية جيرية (حبيبات تكتلية جيرية) هـ - حبيبات مغلفة	١ - حبيبات ٢ - راسب أرضية ٣ - لاصح ٤ - مسام
١ - حبيبات ٢ - حبيبات ٣ - حبيبات ٤ - حبيبات	أ - حبيبات حثائية ب - حثائات هيكلية ج - عقد طينية جيرية د - حصى طينية جيرية (حبيبات تكتلية جيرية) هـ - حبيبات مغلفة	١ - حبيبات ٢ - راسب أرضية ٣ - لاصح ٤ - مسام

(عن : Leighton and Pendexter, 1962)

## ١ - الحبيبات Grains

عبارة عن جسيمات في حجم حبات الرمل أو أكبر، ومتعددة الأنواع ومنها يتشكل راسب الصخر. ويوضح كل من جدول (٢٤)، و(شكل ١٣٧) أنواع حبيبات صخور الكربونات، وهي الآتي:

(أ) حبيبات حثائية Detrital grains. وهذه تتكون من كسر أو فتاتات صخرية (Lithoclasts)، وفتاتات داخلية مثل فتاتات صخور الكربونات (Intraclasts). وتتكون



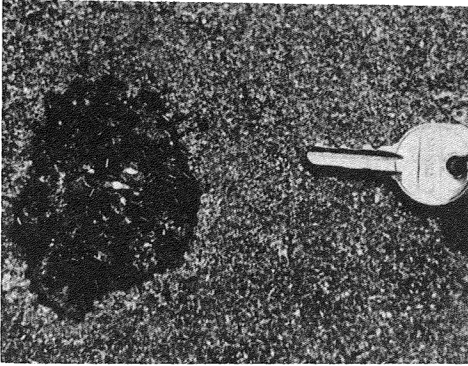
شكل (١٣٧). أنواع حبيبات الكربونات الرئيسية. (عن: Selley, 1976, 1994)

الكسّر الصخرية (Rock fragments) ، من مادة غير جيرية (Non-carbonate) تشكلت خارج حوض الترسيب، أي أنها نقلت على هيئة حبيبات وترسبت في حوض بيئة الترسيب. وأحسن مثال على ذلك هو حبيبات الكوارتز وحبيبات المعادن الثقيلة. ويزداد نسبة حبيبات الكوارتز في أحجار الجير فإنها تتدرج إلى ما يسمى بأحجار الجير الرملية (Sandy limestones) أو إلى ما هو أعلى من ذلك ويطلق عليه عندئذ مصطلح أحجار الرمل الجيرية (Calcareous sandstones).

وتعتبر حبيبات فتاتات صخور الكربونات التي تشكلت في داخل حوض الترسيب، عبارة عن كسّر جيرية متفتتة من صخور الكربونات ثم أعيد ترسيبها في حوض الترسيب الذي نشأت فيه أصلاً. ويرجع السبب في تكوين هذه الفتاتات الحوضية المنشأ والتشكل إلى السمته المبكرة والمتبوعة بعملية حت حدثت في نفس فترة الترسيب وعامة تعتبر هذه من خصائص صخور الكربونات.

(ب) حثانات هيكلية Skeletal detritus. تعتبر حثانات الهيكلية من أعظم أنواع الحبيبات أهمية. وهذه كما ذكرنا سابقاً تتكون من أراجونيت وكلسيت مع كميات أخرى وضئيلة من العناصر الأخرى. وتختلف أوجه البلورة لهذه الحثانات الهيكلية، فقد تكون بلورات أراجونيت إبرية (Acicular) لأصداف الرخويات (Lamellibranch shells) وقد تكون بلورة كلسيت منفردة كأطباق القنفذيات (Echinoid plates). وكذلك تختلف أحجام هذه الحثانات فقد تكون بحجم أكبر صدفة أو بحجم البلورات الدقيقة المتفككة والمنفردة. وتعود رداءة التصنيف النسيجي في رواسب الكربونات إلى استمرارية حت ويري حطام الهياكل الحثانية نتيجة أنشطة الأمواج والتيارات وأيضاً نتيجة أنشطة العمليات الحيوية (مثل الحفر) المصاحبة.

(ج) عقد طينية جيرية Pellets or peloids. وهذه عبارة عن عقد أو كُرَيَّات طينية جيرية عديمة البنية أو التشكل وغير متبلرة (Mckee and Gutschick, 1969). وأظهرت دراسة رواسب الكربونات الحديثة أن العقد الطينية تتشكل نتيجة عمليات مختلفة فكثر من الحيوانات غير الفقارية تُفرز (تُخْرِجُ) طيناً جريئاً على هيئة عقد أو كُرَيَّات تسمى عقدًا جيرية غائطية (faecal pellets)، (شكل ١٣٨)، ويحتمل أن تكون هذه من أهم الطرق التي تتكون بها العقد الجيرية وهناك طرق أخرى والتي يتشكل



شكل (١٣٨). كريات غائطية تشكلت بواسطة حيوان الجمبري *Callianasa*. (عن : Davis, 1983)

عنها العقد وتشمل هذه عملية التَّجِيرُ (Micritization) للحتاتات الهيكلية بواسطة الطحالب المجهرية (Endolithic algae).

كما أفاد (Selley, 1994) أن هذه الطحالب الدقيقة (Endolithic algae) تثقب أسطح حبيبات الكربونات، المستعمرة بهذه الكائنات، وتغير طراز أنسجتها نحو طين جيري عديم البنية (Taylor and Illing, 1969). ولقد اقترح كل من (MacIntyre, 1985) and (Chafetz, 1986) عدة عمليات أخرى تتشكل بواسطتها العقد الطينية الجيرية. وتقع أهمية معرفة أصل نشأة أو تكوين العقد الطينية لأن هذا النوع من الحبيبات هو أحياناً المكون الرئيسي لتكوينات أحجار الجير.

ويكثر وجود العقد الجيرية في بيئات معينة مثل البرك البحرية الشاطئية والمحموزة (Sheltered embayments) حيث تحتوي صخور هذه المناطق على نسبة كبيرة من العقد الجيرية ضمن مكوناتها الحبيبية.



(د) **حصى طينية جيرية Lump**. وهي عبارة عن حبة تكتلية أو تجمعية مكونة من عدة عقد طينية ملتحمة مع بعضها وقد يطلق عليها مصطلح الحبيبات المركبة أو حجر العنب (Grapestone) لأنها تشبه في مظهرها عنقود العنب أو حبات العنب عندما تكون مجمعة. وتشكل هذه الحبيبات نتيجة إعادة ترسيب (Reworking) راسب عقد الطين الجيري (Peloidal sediment) (أي الراسب المحتوي على نسبة كبيرة من العقد الطينية الجيرية Pellets) والذي سبق أن تعرض لعملية التصخر (Lithification). لذا يعتبر هذا الراسب من الحبيبات المتشكلة في داخل حوض الترسيب (Intraclasts).

(هـ) **حبيبات مغلفة Coated grains**. وتُظهر هذه الحبيبات (تحت المجهر) بنيات داخلية إما على هيئة دوائر متحدة المركز (Concentric) لبلورات أراجونيت أو كلسيت مرصوصة حول نواة (شكل ١٣٧). وأيضاً أهم هذه الحبيبات مايسمى بالسريثات (Ooids or oolites). وهذه عبارة عن حبيبات مستديرة وكروية ذات حجم متوسط إلى ناعم (٢٥ - ٠,٢ مم قطري). وتسمى الرواسب المحتوية على نسبة كبيرة من هذا النوع من الحبيبات بالسريثات (Oolites) وذلك عندما تكون خالية من راسب الأرضية ومن أنواع أخرى من الحبيبات. وتتكون عامة السريثات الصخرية (Oolites) الحديثة من طبقات دائرية متحدة المركز (Concentric layers) متماسة التراص والترتيب من بلورات الأراجونيت. وقد يتغير هذا الوضع في السريثات الصخرية القديمة (Ancient oolites) إلى ترتيب شعاعي (Radial) لبلورات كلسيت إبرية.

ويتشكل الرمل السريثي (Oolite sands) الحديث في بيئات عالية النشاط والطاقة مثل دلتا المد والجزر (Tidal deltas). وتشبه هذه الرواسب مثيلاتها من الرواسب القديمة في كونها جيدة التصنيف (Well sorted) وقليلة أو خالية من راسب الأرضية (Matrix-free) وذات تقاطع متقاطع. وتدلل هذه الحقائق على أن السريثات الصخرية تتشكل عن طريق التحام (Bonding) بلورات الأراجونيت حول أنوية (Nuclei) ما، مثل حبات من الكوارتز أو حبات هيكليّة موجودة في بيئة نشطة وعالية الطاقة (High - energy environment).

أما النوع الثاني من الحبيبات المغلفة والتي تسمى البازلا الصخرية الجيرية (Pisolites) لأنها تشبه في مظهرها حبات البازلا، وهي ذات أحجام يتجاوز مقاس

أقطارها عدة ملليمترات (أكبر من ٢ مم). وتتكون البازلا الصخرية الجيرية في كهوف، ولكثير من التفاصيل (انظر: Dunham, 1969).

ويتشكل النوع الثالث من الحبيبات المغلفة والتي يطلق عليها مصطلح كريات طحلبية (Oncolites) وهي عبارة عن حبيبات ذات تغليف طحلي وغير منتظمة الشكل وتصل أطوال أقطارها إلى ستة أو سبعة سنتيمترات. وتكون رقائقها غير مستمرة حول النواة أو الحبيبة. ويتكون هذا النوع من الحبيبات نتيجة نمو الطحالب الزرقاء والخضراء البدائية على سطح حبيبة ما، واجتذاب الطين الجيري إلى أسطحها اللزجة. ويؤدي تدحرج الحبيبة المتقطع إلى تشكيل رقائق (أغلفة) غير متصلة أو غير مستمرة من الطين الجيري. وتشبه هذه الحبيبات في تكوينها طحالب الأستروماتوليت (شكل ١٥٧). وبشكل معاكس لما تشير إليه السرديات الصخرية (Oolites) فإن كلاً من البازلا الصخرية الجيرية (Pisolites)، والكريات الطحلبية (Oncolites) تشير إلى تكوينها في بيئات منخفضة الطاقة أو غير نشطة (Low-energy environments)، ولمزيد من التفاصيل المتقدمة في هذا الموضوع راجع: (Pettijohn, (1975) and Blatt *et al.*, (1980) و (الحمدان، ١٩٧٥م) و (Bathurst, (1975); Blatt, (1992); Selley, (1990, 1994) و (Boggs, (1995) and Raymond, (1995).

## ٢ - راسب الأرضية Matrix

يطلق على طين الكربونات مصطلح الجير الدقيق الحبيبات (Micrite) ويتراوح حجم أقطار جسيمات الجير الدقيق الحبيبات بين ٠,٠٣ - ٠,٠٤ ملليمتر. وربما يظهر الجير الدقيق الحبيبات بكميات صغيرة مشكلاً راسب أرضية (Matrix) في أحجار رمل الكربونات. أو قد يكون بكميات كبيرة وشائعة وفي هذه الحالة يتشكل عنه صخر طين الكربونات والذي يطلق عليه مصطلح الجير الدقيق الحبيبات (Micrite) أو الوحل الكلسي (Calcilutite). وتشكل الأوحال الجيرية (Lime muds) الحديثة من الأراجونيت وتتكون مثيلاتها القديمة أو الأحافير المتصخرة (Lithified fossils) من الكلسيت.

وهناك عدة عمليات تعمل على تشكيل الوحل الجيري، منها أنشطة الرياح والأمواج والمد والجزر. وتتسبب جميعها في تفتت وتكسير حطام الأصداف وفي النهاية ربما يتم سحقها أو (سحقها) إلى مكوناتها المتبلورة. وربما تنشأ بطريقة مشابهة العقد

الطينية الجيرية (Faecal pellets) . كذلك يقوم النشاط الحيوي بتفتيت جسيمات الكربونات لكي يتشكل منه الأوحال المتبلورة . ومن بين هذه الأنشطة الحيوية ما تقوم بعض أنواع الأسماك والتي تأكل المرجانيات (Corals) والصدفيات (المحاريات) القاعية والأحافير غير الفقارية المسلكية والطحالب الزرقاء - الخضراء . ويشكل هؤلاء حُفراً (Pits) في داخل الحبيبات الهيكلية والتي تؤدي إلى عملية التجير الدقيق (Micritization) في سطح الحبيبة . فتصبح الحبيبة هشة ثم تنكسر وينشأ عن ذلك تكوين الجير الدقيق الحبيبات (Micrite) . وتفرز الطحالب الكلسية (Calcareous algae) (مثل طحالب Halimeda) إبر الأراجونيت في داخل أنسجتها العضوية وعندما تموت وتضمحل تبقى إبر الأراجونيت .

أيضاً هناك عمليات الترسيب غير العضوية المباشرة ، والتي ينتج عنها تكوين وحل الأراجونيت (Aragonite muds) وتحديث هذه في بيئات الكربونات . فقد أشار (Wells and Illing, 1964) إلى مثل هذه البيئات ولكن الحديثة منها مثل مناطق الخليج العربي ورصيف جزر الباهاما والتي يترسب فيه الأراجونيت تلقائياً من ماء البحر وعلى شكل قطع سحبية بيضاء من الوحل الجيري متناثرة في وسط مياه البحر . ويمكن أن تعزى هذه إلى ترسيب الأراجونيت التلقائي في ماء البحر .

### ٣ - اللاحم Cement

يعرف اللاحم بالمادة المتبلورة والتي تنمو داخل مسامات الراسب (Bathurst, 1975) ويحدث ذلك أثناء عمليات النشأة المابعدية (Diagenesis) . ويطلق على هذه العملية «التبلور التوتوي» (Drusy crystallization) . وأعم أنواع اللاحم في أحجار الجير هو «الكلسيت المتبلور» والذي يسمى (Spar or sparite) ، (انظر التفاصيل في ص ٣٥٣ ، ٣٥٤) وتشتمل اللواحم الأخرى في صخور الكربونات على معادن الدولوميت والأنهيدريت والسليكا وهذه قليلة التوافر .

### تصنيف وتسمية صخور الكربونات

لقد تم استخدام العديد من المعاملات الصخرية في تصنيف وتسمية صخور الكربونات وتشتمل هذه المعاملات (Parameters) على كل من :

- ١ - التكوين المعدني الكيميائي (Chemical composition) مثل حجر جير، دولوميت، سدرت، أنكرت . . . إلخ .
- ٢ - حجم الحبيبات (Grain Size).
- ٣ - نوع الجسيمات (Particle type).
- ٤ - نوعية وكمية المسامية .
- ٥ - درجة التبلور .
- ٦ - كمية الطين .

ولقد اشتمل ما حرره (Ham and Pray, 1962) على العديد من الأبحاث التي تناقش ما يعتمد عليه مفهوم تسمية وتصنيف صخور الكربونات . ولكن سنناقش هنا اثنين من هذه المقالات البحثية وذلك لاهميتها ولشيوخ استعمال نتائجها في وقتنا الحاضر . وهذان البحثان هما ما أنجزه كل من (Folk, 1962) و (Dunham, 1962) . حيث يعطي كلا البحثين سلسلة من المصطلحات والتجميع في تسمية وتصنيف صخور الكربونات بناء على المكونات المعدنية والنسيج عوضاً عن حجم الحبيبات . . . إلخ .

أولاً : تصنيف فولك لأحجار الجير

يشتمل تصنيف العالم فولك (Folk, 1962) لأحجار الجير (شكل ١٣٩) على خمس مجموعات وهي :

- ١ - مكونات كيميائية غير نقية Allochemical . وتعرف بالمجموعة رقم I وتظهر هذه ملتحمة بكلسيت متبلور لامع (Sparry calcite cement or sparite) .
- ٢ - مكونات كيميائية غير نقية Allochemical . وتعرف بالمجموعة رقم II وتنشأ مصاحبة لراسب أرضية من الكلسيت والأراجونيت دقيق التبلور أو الجير الدقيق الحبيبات (Microcrystalline aragonite and calcite or micrite matrix) .
- ٣ - مكونات كيميائية نقية Orthochemical . وتعرف بالمجموعة رقم III حيث المكون الرئيس جير دقيق الحبيبات (Micrite main constituent) .
- ٤ - صخور شعابية مكانية النشأة Autochthonous reef rocks . وهي صخور شعابية متراكمة (Bioherm) وتعرف بالمجموعة رقم IV ويمثلها الصخر الأحيائي أو الحيوي (Biolithite) .

٥ - دلوميت تكوّن بالإحلال (أو بالاستبدال) Replacement dolomites. وتعرف بالمجموعة رقم V.

ويظهر من تجميع فولك في تصنيف صخور الكربونات أن هناك ثلاثة مكونات رئيسة والتي تتشكل منها أحجار الجير وأحجار الجير المتدلثة جزئياً (Partially dolomitised limestones)، وهذه المكونات هي:

مكونات أحجار الكربونات طبقاً لتصنيف العالم فولك، (Folk, 1962)

١ - مواد كيميائية صلبة غير نقية Allochems. تشتمل على كل تجميع فئات الكربونات بأنواعها والتي يتعرض معظمها لعملية نقل في بعض مراحل تاريخها. وأهم فئات مكونات الكربونات الكيميائية الصلبة غير النقية (Allochems) الآتي:

(أ) الفتات الصخرية (الجيرية) (Intraclasts) ذات النشأة المكانية والمكونة في داخل حوض الترسيب.

(ب) العقد الطينية الجيرية (Pellets or peloids).

(ج) السريثات (Oolites or ooids).

(د) الأصداف (Shells) أو حطام الفقاريات (skeletal debris).

وقد عرفنا جميع هذه المكونات بالتفصيل في الجزء السابق من هذا الفصل.

٢ - الجير الدقيق الحبيبات Micrite. وقد شرح بالتفصيل في الجزء السابق من هذا الفصل تحت عنوان راسب الأرضية (Matrix)، صفحة (٣٥٠، ٣٥١).

٣ - الكلسيت المتبلور اللامع Sparite. يتكون الكلسيت المتبلور اللامع من بلورات كلسيت لامعة ونظيفة (نقية) يصل أحجام حبيباتها إلى ١٠٠ ميكرون أو أكبر. وتغلب حبيبات الكلسيت مسامات موجودة سابقاً في أحجار الجير وقد تصل أحجام الحبيبات إلى أكثر من ١ ملليمتر. وبشكل لاحق فهي تملأ الفراغات (الفجوات) المتأكلة (Cavities) من الأصداف. ويظهر الكلسيت المتبلور اللامع (Sparry calcite) بشكل كبير في أحجار الجير الجيدة التصنيف (Well-sorted) أو المكونة من سريثات وحطام الأصداف جيدة الاستدارة (Well-rounded). ومن المحتمل أن يزداد حجم حبيبات الكلسيت ويقل عددها كلما ابتعدنا عن المواد الكيميائية الصلبة غير النقية (Allochems) وتكون ملتحمة في اتجاه مراكز المسامات الأصلية أو الفجوات الأولية، (Green'smith, 1981).

كما يجب التمييز بين الجير المتبلور اللامع (Sparry calcite) والكلسيت المعاد تبلوره (Recrystallised calcite) لأنه ربما تصل حجوم حبيبات الكلسيت المعاد تبلره إلى أكبر من ١٠ ميكرونات. ويتم تشكل الكلسيت المعاد تبلوره عن طريق الإحلال الثانوي لرواسب الكربونات المبكرة النشأة ومن ثم تميل بأن تقطع حدود الأنسجة السابقة والتشكل أو البنيات الداخلية للصخر نفسه. وإذا غابت مثل هذه العلامات المميزة فإن التفريق يصبح صعباً ولكن هناك مميزات أخرى يمكن الاستدلال بها مثل حدود الحبيبات المتموجة (Wavy grain boundaries)، وطفو الحبيبات في وسط راسب الأرضية والاختلاف في حجم الحبيبات المبعثرة أو المتناثرة، وقد لا تظهر هذه العلامات مجتمعة في عينة صخرية واحدة. وتكون أحجام الحبيبات مختلفة في داخل قطع (Parches) الكلسيت المعاد تبلوره. ويحتمل أن يعزى ذلك إلى تأثير سائل الضغط (أو الحل - Pressure solution). وينتج عن اختلاف الضغوط على طول حدود التماس بين حبيبات الكلسيت الأصلية محلول أو سائل عند نقاط بذل الضغط (Strain) وترسب هذا المحلول عند نقاط ضئيلة الضغط (Least pressure). وبهذه الطريقة يتغير شكل الحبيبات الأصلية، وبشكل اختياري تتسع رقعة الحبيبات حتى تتشكل منها قطعة موزيك ثانوية (A patchy secondary mosaic) تظهر بشكل حبيبات غير منتظمة الشكل. وقد ينتج من هذا التغير ما يسمى بالبريشة الكاذبة (Pseudo-breccia)، (Greensmith, 1981).

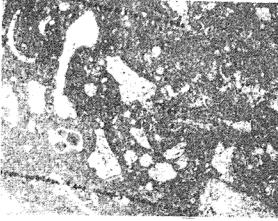
توضح الأشكال (من ١٣٩ - ١٤٤) كيفية استخدام المكونات الثلاثة لأحجار الجير بالإضافة إلى الاختلافات في طبيعة المواد الكيميائية الصلبة غير النقية (Allochems) في التقسيم الجزئي أو القُسيم (Subdivision) لمجاميع فولك الرئيسة لأحجار الجير المتنوعة. ويسمى الصخر عن طريق الربط المشترك، وفي شكل تسمية مختصرة لما يحتويه الصخر ما يُظهره تحت المجهر. فيشير الجزء الأول من الاسم المختصر إلى نوعية المكون من المادة الكيميائية الصلبة غير النقية (The allochme component). ويشير الجزء الثاني إلى مواد اللاحم أو راسب الأرضية. فمثلاً تشير التسمية (Intrasparite) إلى صخر جيري يتكون من فتاتات جيرية ذات نشأة مكانية ومسمتة (ملتحمة) بكلسيت متبلور لامع. تدل أيضاً التسمية (Biomicrite) إلى صخر جيري

نمط	أنواع الحبيبات (عن فولك ١٩٦٢م)					(عن دنهام ١٩٦٢م)
	جير، وحل، وحل جيرى، طباشير					
II	فئات صخرية جيرية	سريتات	ركام صدق	عقد طينية جيرية	حجر وحل أقل من ١٠٪ حبيبات	١
	وحل جيرى مع فئات صخر جيرى	وحل جيرى مع سريتات	وحل جيرى مع بقايا حيوية	وحل جيرى مع عقد طينية	حجر غير نقي أكثر من ١٠٪ حبيبات وحل متناكس	٢
I + II	كلسيت نقي متبلر مع طين جيرى وفئات صخر جبرى	كلسيت نقي متبلر مع طين جيرى وسريتات	كلسيت نقي متبلر مع طين جيرى وبقايا حيوية	كلسيت نقي متبلر مع طين جيرى وعقد طينية جيرية	حجر معبأ أكثر من ٥٪ وحل وحبيبات متناكسة	٣
	كلسيت نقي متبلر مع فئات صخرى جيرى	كلسيت نقي متبلر مع سريتات	كلسيت نقي متبلر مع بقايا حيوية	كلسيت نقي متبلر مع عقد طينية جيرية	حجر حبيبي أقل من ٥٪ وحل	٤
IV	صخر مرجاني (شُعَب)، حجر أحيائي (حيوي)					٥
	حجر مترايبط مكوناته الأصلية متناكسة سوياً					٦
III	جير دقيق التبلر كاذب	جير دقيق التبلر	كلسيت دقيق التبلر	جير دقيق التبلر مع كلسيت نقي متبلر	كربونات متبلورة	
				أكثر من ٩٠٪ من الصخر		

شكل (١٣٩). تسمية صخور الكربونات تحت المجهر حسب نظامي (Folk 1962 and Dunham, 1962) (انظر الأمثلة المغطاة في الأشكال من ١٤٠ - ١٤٤).

١. Madstone ، ٢. Wackestone ، ٣. Packstone ، ٤. Grainstone ،

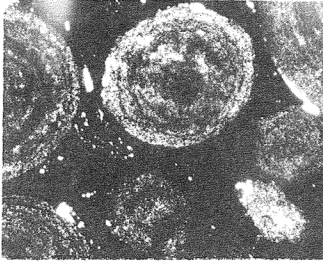
٥. Boundstone ، ٦. Crystalline carbonate



(أ) طين جيرى به بقايا حيوية  
من متكون الحنيفة .

(Moshrif & Al-Asa'ad, 1984)

**Biomicrite or Wackstone**



(ب) طين جيرى به سرثبات (II)  
من متكون الشعبة .

(Moshrif and Kelling, 1984)

**Oolitic (Oolitic Lst.)**

**or: Wackstone**



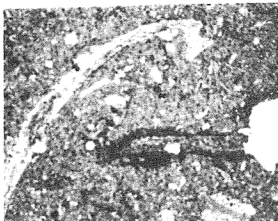
(جـ) طين جيرى به عقد طينية  
جيرية وبقايا حيوية + (I)  
من متكون الحنيفة .

(Moshrif, 1981)

**Biopelmicrite or Packstone**

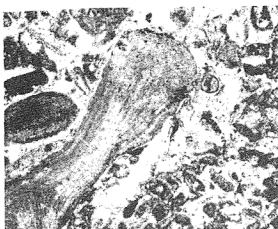
شكل (١٤٠). بعض نماذج لأنواع أحجار الجير، من الرّف/ الرصيف العربى، المصنفة تحت  
المجهر.





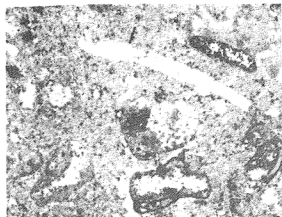
(أ) طين جيرى به بقايا حيوية  
كبيرة (II) من متكون  
الحنيفة.

(Moshrif & Al-Asa'ad, 1984)  
**Biorudmicrite or Wackstone**



(ب) طين جيرى به عقد طينية  
جيرية وبقايا حيوية  
كبيرة (I + II) من  
متكون الحنيفة.

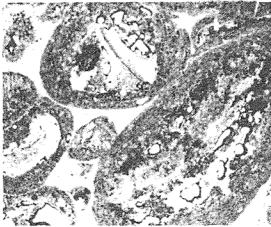
(Moshrif & Al-Asa'ad,  
1984)  
**Biorudpelmicrite  
or: Packstone**



(جـ) طين جيرى به كلسيت  
نقى متبلور وبقايا حيوية  
(I + II) من متكون الحنيفة.

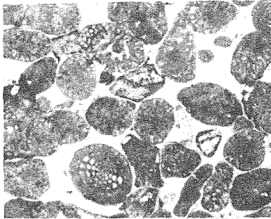
(Moshrif & Al-Asa'ad, 1981)  
**Biosparimicrite or Packstone**

شكل (١٤١). بعض نماذج لأنواع أحجار الجير، من الرّف/الرصيف العربى، المصنفة تحت  
المجهر.



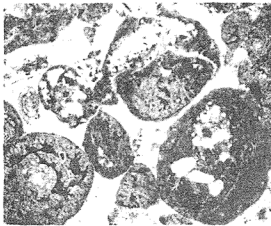
(أ) كلسيت نقي كبير التبلور به  
سرثيات وبقايا حيوية (I)  
من متكون الحنيفة.

(Moshrif & Al-Asa'ad, 1984)  
**Bio-oosparrudite  
or Grainstone**



(ب) كلسيت نقي متبلور به  
عقد طينية جيرية وبقايا  
حيوية (I + II) من متكون  
الحنيفة.

(Moshrif & Al-Asa'ad, 1984)  
**Biopelsparite of Packstone**



(ج) كلسيت نقي متبلور به  
سرثيات وبقايا حيوية (I)  
من متكون الحنيفة.

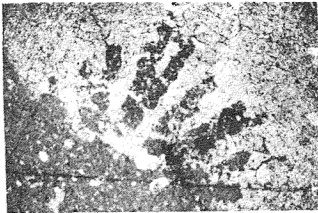
(Moshrif & Al-Asa'ad, 1984)  
**Bio-ooparite or Grainstone**

شكل (١٤٢). بعض نماذج لأنواع أحجار الجير، من الرّف/الرصف العربي، المصنفة تحت  
المجهر.



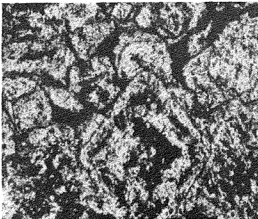
(أ) طين جيرى به كلستيت نقي  
متبلور وغني بالبقايا الحيوية  
(I + II) من متكون  
البويب.

(Moshrif, 1981)  
**Biosparmicrudite (Coquina  
Limestone) or Packstone**



(ب) صخر مرجاني أو حجر جير  
حيوي (IV) من متكون  
الحنيفة.

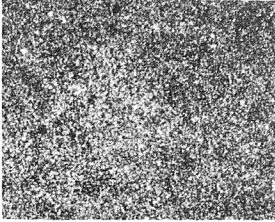
(Moshrif & Al-Asa'ad, 1984)  
**Biolithite (Reefal limestone)  
or Boundstone**



(ج) حجر جير متدلّت أو طين  
جيرى متدلّت من تكون  
الشّعيرة.

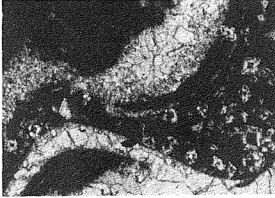
(Moshrif & Kelling, 1984)  
**Dolomitic (Dolomitic  
Limestone) or Crystalline  
Carbonate.**

شكل (١٤٣). بعض نماذج لأنواع أحجار الجير، من الرّف/الرصف العربي، المصنفة تحت  
المجهر.



(أ) طين جيرى دقيق التبلور  
(III) من متكون البويب.

(Moshrif, 1981)  
**Micrite or Crystalline  
Carbonate**



(ب) طين جيرى متدلّت (V) به  
كلسيت نقي متبلور وبقايا  
حيوية من متكون البويب.

(Moshrif, 1981)  
**Dolobiosparimicrite  
(Dolomitic Limestone) or  
Crystalline Carbonate**



(جـ) طين جيرى متدلّت (V) به  
كلسيت نقي متبلور وبقايا  
حيوية من متكون البويب.

(Moshrif, 1981)  
**Dolobiosparimicrite  
(Dolomitic Limestone) or  
Crystalline Carbonate**

شكل (١٤٤). بعض نماذج لأنواع أحجار الجير، من الرّف/الرصف العربى، المصنفة تحت  
المجهر.

يتكون من بقايا أحياء صلبة (أحافير) محاطة براسب أرضية من الجير الدقيق الحبيبات . ويمكن أن نطلق التسمية (Biomicrudite) على الصخر الجيري المتكون من بقايا أحافير ورواسب أرضية من الجير الدقيق الحبيبات ولكن أضفنا كلمة (Rudite) في نهاية التسمية للإشارة إلى كبر حجم حبيبات المكون الرئيس من المواد الكيميائية الصلبة غير النقية (Allochem). فحجم كسر الأصداف الموضوعة في راسب الأرضية لا تقل عن ٢ ملليمتر بل أكبر من ذلك . وبالمثل يمكن تفسير ما تعنيه التسميات الأخرى المعطاة في الأشكال من (١٣٩ - ١٤٤) أو التسميات التي يمكن تركيبها بنفس طريقة الأمثلة المعطاة .

ثانيًا: تصنيف دهنام لأحجار الجير

يمكننا استخدام طريقة دهنام (Dunham, 1962) في تصنيف وتسمية صخور الكربونات والتي تعتمد بشكل كبير على خاصية النسيج الصخري (الأشكال من ١٣٩ - ١٤٤) .

كذلك يوضح الجدول (٢٥) ملخص طريقة دهنام في تصنيف صخور الكربونات طبقاً للنسيج الترسبي .

جدول (٢٥) . ملخص تصنيف دهنام لصخور الكربونات طبقاً للنسيج الترسبي .

أنسجة ترسيب مميزة		أنسجة ترسيب غير محتويات الوحل	
تركيز الوحل		تركيب الوحل	
أقل من ١٠٪	أكثر من ١٠٪	تغيب الوحل وتركيز الحبيبات	المواد الأصلية ملتصقة أو مرتبطة مع بعضها
حبيبات	حبيبات	حجر حبيبي	حجر مترابط المكونات
حجر وحل Mud-stone	حجر واكي (غير نقي وطين متناكس) Wackstone	Grainstone	Boundstone
		حجر جبر متبل Crystalline Carbonate	

بيئة هادئة ..... بيئة مضطربة

ولاستخدم مصطلح «حجر الوحل» (Mudstone) كمترادف أو كبديل لمصطلح «الجير الدقيق الحبيبات» (Micrite) أو كبديل لمصطلح «الوحل الجيري» (Calclutite) .

لأن حجر الوحل يختلف في مكوناته (انظر التفاصيل عن كل من الجير الدقيق الحبيبات والطين الجيري في الفصل السادس). ويشتمل حجر الوحل (Mudstone) على أقل من ١٠٪ حبيبات تصل أحجامها إلى ٢٠ ميكرون. ويتكون حجر الواكي (Wackestone) من أكثر من ١٠٪ حبيبات ذات أحجام أكبر من ٢٠ ميكرون وتكون هذه الحبيبات طافية في راسب أرضية من الوحل. وتتكون الأحجار المعبأة (Packstone) من حبيبات شديدة الترابط مع بعضها وتخللها لاحم وحلي (Interstitial mud cement). وقد أشار (Greensmith, 1981) إلى أنه من فحص حجوم الحبيبات في الرواسب الحديثة تبين أن المواد المشار إليها بالمصطلحين (Lutite) و (Silt-grade) غالباً ما تكون مختلطة مما يصعب التفريق بينهما وتقسمها إلى تلك أكبر من ٢٠ ميكرون وهذه أقل من ٢٠ ميكرون. لذا يستخدم مصطلح (الوحل Mud) للربط بينهما ويحتفظ بمصطلح (Grain) عند الإشارة إلى أحجار ذات حبيبات رملية (Sand-sized) تزيد أحجامها عن ٦٠ ميكرون. عندئذ نجد أن الأحجار الحبيبية (Grainstone) تشير إلى صخور كربونات خالية من الوحل (Mud-free) وتدل على أنها ترسبت في قيعان ذات تيارات عالية الطاقة (قوية) نسبياً. ويستخدم المصطلح (Boundstone) أو الحجر المترابط للإشارة إلى الصخور الجيرية والمتشكلة أساساً من شبكة أحياء مترابطة من الأجزاء الصلبة للكائنات الحية مثل المرجانيات الشعاعية. ويشير مصطلح الكربونات المتبلورة (Crystalline carbonates) إلى الصخور الجيرية التي فقدت كل أنسجتها الأولية الأصلية وأدُلّ مثال على ذلك صخور الدولوميت.

ومن فوائد استخدام منهاج دهنام في تصنيف صخور الكربونات هي بساطة التسمية وإمكانية تعريف صخور الكربونات باستخدام العدسة اليدوية والتركيز على نوعية الطراز (Fabric) ومحتوى راسب الأرضية، ومن هذين العاملين يمكننا الاستدلال على معامل طاقة (نشاط) الترسيب، فمثلاً تدل الأحجار الجيرية ذات التدعيم الوحلي (Mud-supported) (المحتوية على نسبة كبيرة من الوحل) على ترسيب في بيئة منخفضة الطاقة أو ضعيفة النشاط التياراتي أو هادئة. وبشكل مضا تقترح\* الصخور ذات التدعيم الحبيبي (Grain-supported)، (المحتوية على نسبة كبيرة من الحبيبات) والمتحررة من راسب الأرضية (Matrix-free) أو الوحل على أنها ترسبت في بيئة عالية

الطاقة أو نشطة التيارات أو مضطربة حيث لايسمح للوحل أن يستقر وترسب فيها .  
 وما يستحق تذكره هنا هو أن الجير الدقيق الحبيبات ذو نشأة أصلية متعددة  
 (Polygenetic origin) ، وقد ناقشنا سابقاً الطرق المختلفة والتي يتكون منها هذا  
 الراسب . لأنه من المحتمل جداً أن يترسب رمل الكربونات النظيف في بيئة عالية الطاقة  
 أو نشطة ومع ذلك ربما يظهر معه جير دقيق الحبيبات نتيجة مصاحبة النشاط الحيوي  
 (Bioturbation) ، والتجبر الطحلبي (Algal micritization) وتسرب مادة هذا الراسب  
 في مسامات الصخر نفسه لأنه عالي النفاذية .

ويمكننا استخدام (شكل ١٣٩) كملخص لتسمية وتصنيف صخور الكربونات  
 طبقاً لمنهاج كل من فولك ودنهام .

ويستحسن أن نحفظ باستخدام معاملات (Parameters) مثل حجم الحبيبات  
 والتصنيف (Sorting) ومحتوى راسب الأرضية للاستدلال على صخور الكربونات  
 المترسة في بيئة ديناميكية متميزة (Hydrodynamic environment) . وإذا أخذنا مثلاً  
 الحجم البدائية الكبيرة للمواد الفقارية أو الهيكلية في صخور الكربونات فإنه من الخطر  
 جداً أن نستخدم حجم الحبيبات كعامل طاقة مميز يعكس لنا الوضع في بيئة الترسيب  
 لهذا الصخر وبنفس الطريقة التي يمكن استخدامها في حالة الرواسب الأرضية  
 (Terrigenous deposits) . لنأخذ في الاعتبار مثال الشعاب المحارية (Oyster reefs)  
 المتكونة في البرك الشاطئية الحديثة (Modern lagoons) ، فمن حيث مصطلح حجم  
 الجسيمات فهذه عبارة عن مدملكات وبريشة عضوية تكونت في بيئة منخفضة الطاقة  
 (Low-energy conglomerates). (Selley, 1976) .

وليزيد من التفاصيل المتقدمة عن مستوى هذا المقرر يمكن لطلاب الدراسات  
 العليا مراجعة كل من :

Greensmith, (1981); Bathurst, (1975); Pettijohn, (1975); Friedman and  
 Sanders, (1978); Blatt *et al.*, (1980); Smosna (1987); Selley, (1990, 1994); Blatt,  
 (1992); Raymond, (1995) and Boggs, (1995).

### أولاً: أنواع أحجار الجير الرئيسة

من المناقشة السابقة/حول تصنيف صخور الكربونات طبقاً لمنهاج فولك يمكننا

القول بأن هناك ثلاثة عوائل رئيسة يتشكل منها أحجار الجير. ويمكننا التعرف على هذه الأصناف من أحجار الجير عن طريق الآتي، كما دونه (Folk, 1959).

تحتوي تقريباً جميع صخور الكربونات على أكثر من نوع واحد من المواد أو المكونات. فربما يكون صنف من صخور الكربونات عبارة عن خليط من السريثات والأحافير ولاحم الكلسيت المتبلور اللامع (Sparry calcite). وربما يتكون صنف آخر من غرين الكوارتز والعقد الجيرية ورزغ جيرى دقيق التبلور (Microcrystalline ooze) الذي حل معدن الدولوميت والظر (الشيرت Chert) محل جزء منه. فلو صرفنا النظر مؤقتاً عن محتويات المواد الأرضية (مثل الغرين والكوارتز) والمعادن التي حلت بشكل متأخر محل الجير الدقيق التبلور أو امتلأت به الفراغات (من شقوق وثقوب) بعد فترة الترسيب، نجد أن بإمكاننا إيجاد قاعدة جيدة لتصنيف أحجار الجير بناءً على نسب تواجد المكونات الثلاثة الأساسية وهي:

١ - المواد الكيميائية الصلبة غير النقية (Allochems).

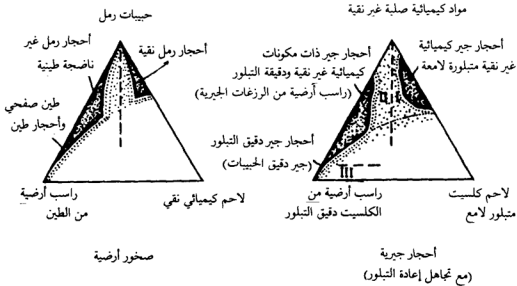
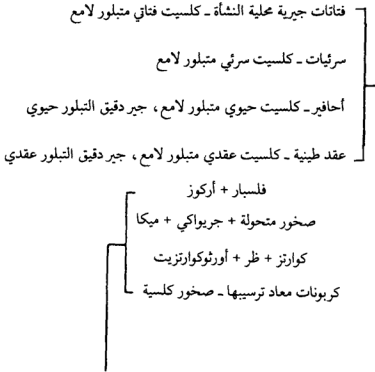
٢ - رزغة جيرية دقيقة التبلور (Microcrystalline ooze).

٣ - لاحم كلسيت متبلور لامع (Sparry calcite cement).

مستخدمين في ذلك منهاج المثلث متساوي الأضلاع (شكل ١٤٥).

تشكل المواد الكيميائية الصلبة غير النقية إطار الصخر الجيري وتتكون هذه من أصداف (Shells)، وسريثات (Oolites) وحصى كربونات صغيرة (Carbonate pebbles)، أو عقد طينية جيرية (Pellets) وجميعها يتشكل منها كتلة معظم أحجار الجير. وهذه المكونات تشبه مثيلاتها من رمل الكوارتز الذي يتشكل منه أحجار الرمل أو تلك الحصى التي تتشكل منها المدملكات أو البريشة. ويمثل رزغ الجير الدقيق التبلور (Microcrystalline ooze) راسب الأرضية الذي يتكون من جير في حجم حبيبات الطين ويشير وجوده في الصخر على ضعف التيارات السائدة في بيئة أو حوض الترسيب، ويمكن مقارنة هذه بوجود معدن الطين كراسب أرضية في حجر الرمل والذي يدل على رداءة الغسل والإزاحة في حوض الترسيب. ويمثل لاحم الكلسيت المتبلور (Sparry calcite cement) بما يملأ الفراغات المسامية في الصخر الناتجة من غسل وإزاحة بعض من الجير الدقيق التبلور وهذه تشبه أحجار الرمل المسامية وعديمة الطين





شكل (١٤٥). المقارنة بين تقسيم أحجار الجير والصخور الأرضية حسب تقسيم فولك .

(عن : Folk, 1959)

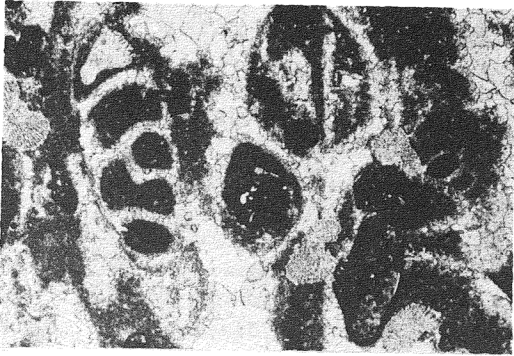
(فقيرة في المواد الدقيقة) عندما تصبح مسمتة (ملتحمة) بترسبات كيميائية مثل لاحم الكلسيت ولاحم السليكا والتي تترسب في مسامات حجر الرمل . لذا فإن العلاقة النسبية الموجودة بين لاحم الكلسيت المتبلور والجير الدقيق التبلور تمثل أهمية عظمى في صخور الكربونات مثل الأهمية الموجودة بين درجة التصنيف (Sorting) وشدة التيار في بيئة الترسيب حيث يمكن مقارنتها بأهمية النضوج النسيجي (Textural maturity) في أحجار الرمل (أو الرواسب الأرضية) . فإذا رسمنا هذين المكونين ومكون إطار الصخر الرئيس (Allochem grains) كثلاثة أقطاب موزعة على نهاية رؤوس منهاج المثلث المتساوي الأضلاع والزوايا (شكل ١٤٥) فإننا نجد أن أحجار الجير العادية تشكل المساحات المظلمة من هذا الرسم . كما يظهر على الرسم نفسه أقسام العوائل الثلاث الرئيسة التي يتشكل منها أحجار الجير . وبشكل مماثل إذا رسمنا الصخور الأرضية على مثلث ذي ثلاثة أقطاب متشابهة وموزعاً عليها الرمل مضافاً إليه الغرين ، وراسب الأرضية (طين) ولاحم كيميائي نقي (Orthochemical cement) ، نحصل على مساحات مظلمة تشبه تقريباً تلك التي ظهرت في حالة أحجار الجير (انظر: شكل ١٤٥) .

ويجدر بنا أن نذكرُ بها نوه به فولك بأن هذا التنوّ في تصنيف أحجار الجير مبني على أن كلاً من لاحم كلسيت متبلور وأيضاً كلسيت دقيق التبلور تكون واضحة الرؤيا في الصخر وهي عبارة عن المكونات الأصلية من المواد الكيميائية الصلبة والموجودة أصلاً في حوض الترسيب . بمعنى أن لاحم الكلسيت المتبلور لم يتشكل نتيجة تجمع (تجميع) من إعادة تبلور رزغ الكلسيت الناعم (Fine calcite ooze) ، وأيضاً عدم تشكل الكلسيت الدقيق التبلور (Microcrystalline calcite) من تفتت أو تكسر الكلسيت الخشن المعاد تبلوره (Recrystallized coarse calcite) . ولا يشك في أهمية عملية إعادة التبلور والتي تحدث في بعض مكونات أحجار الجير إلا أن ما اقترحه فولك هنا في تصنيف أحجار الجير لا يطبق على الصخور الجيرية المعاد تبلورها، ومع ذلك فإن هذا التصنيف يعطي أساساً ضرورية لدراسة الصخور الجيرية المعاد تبلورها لأن الترسيب الأصلي لهذه الصخور جميعها يجب أن يكون تابِعاً لإحدى هذه العوائل أو المجاميع من أحجار الجير والمقترحة هنا .

## (أ) المجموعة الأولى من أحجار الجير Group I limestones

تُمثِّل هذه المجموعة أحجار الجير المتكونة بشكل رئيس من لاهم كلسيت متبلور وقطع صلبة كيميائية من الكسر أو الفتاتات الجيرية المكانية النشأة (Intraclasts) وسرثيات وأحافير وعقد طينية جيرية. ويطلق على هذه المجموعة مصطلح (Sparry allochemical rocks) أو ما تعنيه بصخور الجير المتبلور النقي. وتكون هذه الصخور معادلة لتلك الرواسب الأرضية الجيدة التصنيف (Well sorted) مثل أحجار الرمل والمدمملكات الأرضية. حيث تجمعت أو تراكمت في هذه المجموعة من الصخور الجيرية الجسيمات المواد الكيميائية الصلبة غير النقية (Intraclasts, oolites, fossils or pellets) نتيجة شدة التيارات السائدة في حوض الترسيب والتي كانت قادرة على إزاحة جميع راسب الأرضية من الجير الدقيق التبلور وملء المسامات الموجودة بين الحبيبات الكيميائية بالترسيب المباشر من لاهم الكلسيت المتبلور. ويحتوي هذا النوع من أحجار الجير ذات التبلور اللامع والنقية (Sparry limestones) على أنسجة (Textures) وبنيات رسوبية أولية (Sedimentary structures) تشبه تلك الموجودة في الصخور الأرضية، مثل التطبيق المتقاطع والتوجيه الحبيبي الجيد (Good grain orientation). وتختلف نسبة تواجد كمية كل من لاهم الكلسيت المتبلور والمواد الكيميائية الصلبة غير النقية في حدود معينة بسبب مدى خاصية الترابط والتعبئة (Packing) في الصخر. فهناك حدود لدرجة تقارب جسيمات المواد الكيميائية الصلبة غير النقية (Allochems) والتي ربما تعبأ (Packed) تاركة فراغات مسامية لكي تملأ أو تشغل باللاحم. يجب كذلك أن يكون هناك حدًا أدنى معين من كمية الجسيمات الكيميائية الصلبة غير النقية موجودة في الصخر لكي تسند بنية الصخر، لأنه ليس بإمكان الصخر، عامة، التشكل فقط من مادة لاهم كلسيت متبلور بمفردها، إلا إذا حدثت عملية إعادة تبلور شاملة للصخر الأصلي. كما لا يخفى علينا أن مادة لاهم الكلسيت المتبلور تنشأ عن طريق نموها في متسع الفراغات المسامية. ويجدر بنا أن نتذكر هنا ما سلف ذكره وهو أن صخور الكربونات عند ترسيبها ربما تحتوي على نسبة عالية من المسامية وهذه أعلى بكثير من تلك المسامية التي تحتويها كل أحجار الرمل والمدمملكات عند وقت الترسيب وبأحجام حبيبات مقاربة لأحجام حبيبات صخور الكربونات. ويعود السبب في ذلك إلى أن جسيمات الأحافير والفتات

الجيري ذات النشأة المكانية (Intraclasts) لصخور الكربونات تكون غير منتظمة الشكل .  
فمثلاً ربما تحتوي صخور الجير المحاري (Coquinas) على نسبة تقترب من ٨٠ - ٩٠٪  
من المسامية وذلك قبل سمته أو التحامه بإداة الأسبار (أو الكلسيت المتبلور اللامع) .  
(انظر: شكل ١٤٦) .



شكل (١٤٦) . حجر جير متبلور لامع يحتوي على أحافير وكسر جيرية (Intrabiosparite limestone, I + II) أو (Packstone) من متكون البوب في وسط شبه الجزيرة العربية . (عن:

(Moshrif, 1981)

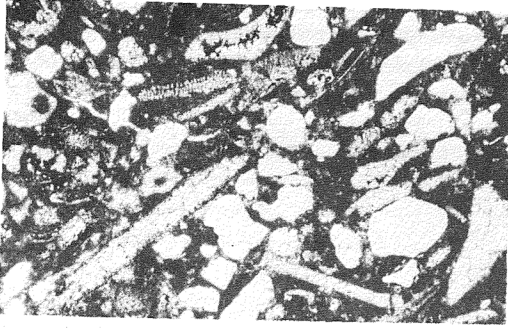
#### (ب) المجموعة الثانية من أحجار الجير Group II limestones

تتكون صخور هذه المجموعة بشكل رئيس من نسبة كبيرة من الفتات الكيميائي (Allochems) وراسب أرضية من الجير الدقيق التبلور (Microcrystalline matrix) وقليل جداً من كلسيت متبلور وقد يكون معدوماً في معظم الأحيان . ويطلق على هذه المجموعة مصطلح (Microcrystalline allochemical rocks) أو ما نعينه بصخور الجير دقيق التبلور غير النقي ذات الجير الدقيق التبلور كراسب أرضية . ويظهر من مكونات هذا النوع من

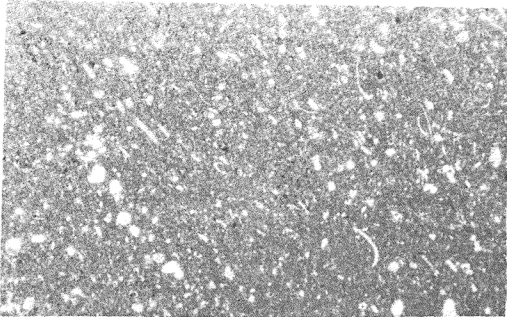
الصخور الجيرية أنها ترسبت في بيئة ترسيبية تسودها تيارات ضعيفة الطاقة وغير مستمرة حيث لم تستطع إزاحة رزغة الجير الدقيق التبلور (Microcrystalline ooze) الذي بقي في هذه الرواسب كراسب أرضية (Matrix). ويرجع قلة الكلست المتبلور (Sparry calcite) أو انعدامه كلية إلى عدم تواجد مسامات فارغة لكي يتشكل أو ينمو فيها الأسبار (Spar). وقد تصل نسبة المواد الكيميائية الصلبة غير النقية (Allochems) أو ما يعرف بـ (Intraclasts, Oolites, Fossils or Pellets) في صخور الجير الكيميائي الدقيق التبلور غير النقي (Microcrystalline allochemical rocks) إلى حوالي ٨٠٪ أو تنحدر هذه النسبة إلى صفر في بعض الأحيان. ويعود ذلك إلى أن بمقدور الرزغة الجيرية الدقيقة التبلور (Microcrystalline ooze) أن تشكل الصخر الجيري بشكل مستقل (وهذه تقارن بأحجار الطين في سلسلة الصخور الأرضية) من أي مكونات أخرى. وبإستطاعتها أيضاً قبول أي كمية من مواد المكونات الكيميائية الصلبة غير النقية (Allochems) والتي تصبح مختلطة معها. لذا يصبح الخط الفاصل بين صخور الجير الكيميائي الدقيق التبلور غير النقي (Group II limestones) وصخور رزغة الجير الدقيقة التبلور (Group III limestones) أو (Microcrystalline rocks) خط عرقي. ولكن اقترح العالم فولك أن يرسم هذا الخط عند نسبة ١٠٪ من مواد المكونات الكيميائية الصلبة. (انظر شكل ١٤٧).

### (ج) المجموعة الثالثة من أحجار الجير Group III limestones

يطلق على صخور هذه المجموعة مصطلح صخور رزغة الجير الدقيقة التبلور (Microcrystalline rocks) لأنها تتكون تقريباً بشكل كلي من رزغة جير دقيق التبلور (Microcrystalline ooze) مع قليل من مواد المكونات الكيميائية الصلبة غير النقية (Allochems) وفي معظم الحالات تكون غائبة أو معدومة. وتدل هذه الصخور على أنها ترسبت نتيجة معدل عالي في سرعة ترسيب الرزغ الجيري الدقيق التبلور مع عدم توفر تيارات قوية، وإذا وجدت فإنها تكون نادرة وضعيفة التأثير ويمكن مقارنة رواسب هذه الصخور بأحجار الطين من بين الصخور الأرضية. ومن المحتمل جداً أن تتشكل صخور رزغة الجير الدقيقة التبلور (شكل ١٤٨، Micrites or calcilutites) في بيئات مياه عميقة أو في مياه قليلة العمق ولكنها معزولة عن أنشطة التيارات أو الأمواج (مثل: Lagoons or sheltered embayments).



شكل (١٤٧). حجر جير دقيق التبلور يحتوي على أحافير وكسر جيرية (Intrabiomicrite limestone, II) أو (Wackstone) من متكون البويب في وسط شبه الجزيرة العربية.  
(عن : Moshrif, 1976)



شكل (١٤٨). حجر جير دقيق التبلور (Micrite, III) أو (Crystalline carbonate) من متكون البويب في وسط شبه الجزيرة العربية. (عن : Moshrif, 1976)

وربما يحدث أن تضطرب بعض رواسب صخور رزغة الجير الدقيقة التبلور (Microcrystalline rocks) وذلك إما نتيجة أنشطة الديدان المسلكية (Boring organisms) أو بسبب تشوه رواسبها عندما تكون طرية. ويؤدي هذا الاضطراب إلى تشكيل فتحات (مسامات) غملاً بكلسيت متبلور. ومن المحتمل جداً أن نجد بعض طبقات صخور الرزغة الجيرية الدقيقة التبلور قد تمزقت بشكل جزئي وذلك بسبب نشاط تيارات القاع وأعيد ترسيبها بسرعة ولكن بدون تشكل فتات الجير ذي النشأة المكانية (Intraclasts). وتعتبر هذه الطبقات كصخور مضطربة من الجير الدقيق التبلور حيث يطلق عليها المصطلح (Dismicrite). أو ما نعنيه بصخور رزغة الجير الدقيقة التبلور المشوهة.

تشكل أجزاء بعض أحجار الجير من بنايات عضوية نمت في مكان الترسيب وأدت إلى تكوين كتلة صخرية متماسكة وأكثر مقاومة لأي نشاط وتمثل هذه الكتلة الصخرية العضوية في أجزاء عديدة من صخور أحيائية والمسماة (Bioherms)، (Cumings and Shrock, 1928).

وحيث إن هذه الصخور فريدة في أنماط نشأتها فقد وضع لها فولك تصنيف خاص وهو المجموعة الرابعة (Type or group IV). وتعرف الآن تحت المصطلح الصخري الحيوي (Biolithite) أو صخور الجير الشُعبية ذات النشأة المكانية (Autochthonous reef rocks)، راجع (شكل ١٣٩). وهذه الصخور الحويوية إما أن تكون صخور أحيائية طحلبية (Algal biolithite) أو صخور أحيائية مرجانية (Coral biolithite). ومن الضروري جداً أن نذكر دائماً أن استخدام المصطلح (Biolithite) أو (Boundstone) يجب تطبيقه فقط على الصخر المتكون من بنايات أو تشكيلات صخرية عضوية راسخة النمو في مكانها ولا يصح تطبيقه على كسّر الحطام المجروفة من الجسم الحيوي الصخري والتي تشكل ما يملأ الجيوب والشقوق الموجودة في أسفل منحدر الشعب أو الشُعاب المرجانية، وكذلك لا يصح تطبيق هذا المصطلح على الرواسب المنحدرة من الشعب نفسه والتي تغطي المنحدر. ويرجع السبب في ذلك إلى أنه إذا كسرت أو تفتتت هذه البنايات الصخرية العضوية وأعيد ترسيبها فإن الصخر الناتج يعتبر متشكل من حطام حيوي (Biogenic debris) أو فتات جير نشأ في مكانه

(Intraclasts) وهذه بالطبع تتبع صخور المجموعة الأولى (Group I) أو صخور المجموعة الثانية (Group II) معتمدة في ذلك على المواد المتوافرة بين هذه الفتاتات (Interstitial material).

وتتبع معظم أحجار الجير في تصنيفها أحد أنواع المجموعة الأولى أو المجموعة الثانية لأنه عادة إما أن يكون كلسيت متبلور أو كلسيت دقيق التبلور هو الأكثر وضوحاً والأكثر سيادة. وكما ذكرنا سابقاً تدل أحجار جير المجموعة الأولى (Group I) (limestones) على بيئة ترسيبية يسودها تيارات قوية ومتواصلة النشاط ويطلق على هذه البيئة (High-energy environment). بينما تشير أحجار جير المجموعة الثانية (Group II) (limestones) إلى ترسيب في بيئة قليلة التيارات وتكون هذه التيارات ضعيفة وغير متواصلة النشاط ويطلق على هذه البيئة (Low-energy environment). وتعكس أيضاً صخور المجموعة الثانية أن هناك فترات يسودها ارتفاع في معدل سرعة الترسيب وهي التي أدت إلى تكوين رزغة الجير دقيق التبلور والمتشكل منه راسب أرضية الصخر. هذا بالإضافة إلى أن في بعض الأطنان الجيرية والمحتوية على عقد طينية جيرية (Pellet calcilutites) تكون المسامات بين العقد الطينية الجيرية صغيرة للغاية لدرجة أن تكون بلورات الكلستيت المتبلور دقيقة جداً مما يصعب تمييزها من رزغة الجير الدقيق التبلور. ففي هذه الحالة يمكن الإشارة إليها عند التسمية بكتابة الإثنين معاً مع وضع علامة شُرْطَة بينهما لتصبح كالتالي: (I-II) أو على سبيل المثال (انظر الأشكال من ١٣٩ - ١٤٤)، (Biomicrosparite-Biosparite) أيضاً (Intrasparite-Intramicrosparite). ويوضح الجدول (٢٦) التفاصيل تحت تقسيمية لأنواع أحجار الكربونات المختلفة والتي قسمت حسب منهاج فوذك. ولزبد من التفاصيل المتقدمة في هذا الموضوع على طالب الدراسات العليا مراجعة كل من: (الحمدان، ١٩٧٥م)، (Folk, 1959, 1973); (Bathurst, 1975); (Pettijohn, 1975); (Greensmith, 1981); (Blatt, 1992); (Selley, 1990, 1994); (Boggs, 1995) and Raymond, (1995).

#### النشأة المابعدية وتكوين المسامية في صخور الكربونات

يعود تعقيد النشأة المابعدية في صخور الكربونات (كما أشرنا سابقاً) إلى عدم ثبات معادنها وارتفاع نفاذيتها الأولية التي تجعل من هذه الصخور عرضة بأن تتخللها



[illegible]

شوائب فعّالة أو متجددة النشاط. وقد أوضح (Choquette and Pray, 1970) أن الخصائص الطبيعية للمسام في صخور الكربونات هي كالتالي:

١ - تكون المسامية الأولية الأصلية في صخور الكربونات (٤٠ - ٧٠٪) عامة وهذه أعلى من مسامية الرواسب الرملية القارية التي تتراوح بين (١٥ - ٥٥٪).

٢ - تشتمل المسامية الأولية (Primary porosity) في صخور الكربونات على كل من مسامية بين الحبيبات (Interparticle porosity) ومسامية داخل الحبيبات (Intraparticle porosity). راجع التفاصيل في الفصل الثاني ص ٥٦.

٣ - ربما تصحح في النهاية نسبة مسامية خزانات صخور الكربونات بين خمسة إلى خمسة عشر في المائة، حيث يكون جزء قليل من هذه النسبة مسامية أولية.

٤ - تكون معظم المسامية في خزانات صخور الكربونات عبارة عن مسامية ثانوية (Secondary porosity) ذات نشأة مابعدية (راجع التفاصيل في الفصل الثاني). ولكن من بين هذه الأنواع من المسامية الثانوية نخس بالذات مسامية بين البلورات (Intercrystalline porosity) ومسامية القالب (Moldic porosity) ومسامية الثقوب (Vuggy porosity).

٥ - كذلك تكون أحجام وأشكال المسامات المفردة مختلفة بشكل كبير في داخل صخر جيرى واحد ولا تشبه مثيلاتها في أحجار الرمل حيث يوجد قليل من التوافق (Correlation) بين الحجم الكمي للمسام (Pore volume) وأبعاد المسام (Pore geometry) وحجم وشكل وتصنيف الحبيبات. وحيث إن الخصائص الطبيعية للمسام عالية الاختلاف في إطار حجم صغير لصخور الكربونات فإنه من الضروري أن تقاس المسامية والنفاذية من جميع عينات الصخر عوضاً عن الاكتفاء بمقاسات تؤخذ من جزء صغير من هذه العينات. كما يتطلب معرفة اتساع رقعة الثقوب (الحفر) في خزانات الهيدروكربون لكي نتحصل على حسابات دقيقة صحيحة عن نسبة المخزون والإنتاج الفعلي. وللمزيد عن تفاصيل هذا الموضوع راجع:

Chilingar *et al.*, (1972); Langres *et al.*, (1972); Reekman and Friedman, (1982); Schroder and Purser, (1986); Burchette and Britten, (1985); Schneidermann and Harris, (1985) and Boggs (1995).

ويلخص الجدول (٢٧) عمليات النشأة المابعدية الرئيسة في صخور الكربونات ومدى تأثير هذه العمليات على كمية ونوعية المسامية في هذه الصخور. وتتم عمليات النشأة المابعدية (Diagenetic processes) في صخور الكربونات من خلال أربعة عمليات مبنية فيما يلي:

### ١ - عملية التبلور التوتوي Drusy crystallization

يتشكل لاحم الكلسيت المتبلور في صخور الكربونات نتيجة أنماط مختلفة (راجع ماسبق شرحه عن اللاحم). ويطلق على لاحم الكلسيت المتبلور (Crystalline calcite) سبار أو سباريت (أي كلسيت متبلور شفاف نقي Sparite). ويقصد بعملية التبلور (Crystallization)، ملء المسامية الأولية بنوعيتها (مسامية بين الحبيبات وداخل جدول (٢٧)). عمليات النشأة المابعدية الرئيسة في صخور الكربونات وتأثيرها على كمية ونوعية المسامية في هذه الصخور.

عمليات النشأة المابعدية	تأثير المسامية
١ - عملية التبلر التوتوي	انخفاض في المسامية الأولية لا تتغير نسبة المسامية
٢ - عملية التبلر المتجددة	أ - عملية إعادة التبلر (مع عدم تغير المعدن) أراجوت - كلسيت إنخفاض بنسبة ٨٪ في المسامية. ب - عملية تعدد تشكّل المعدن (مع تغير المعدن). كلسيت - دلوميت زيادة بنسبة ١٣٪ في المسامية (مسامية بين البلورات). دلوميت - كلسيت إنخفاض بنسبة ١٣٪ في المسامية
٣ - عملية الحل والذوبان.	زيادة في نسبة المسامية عن طريق تشكيل مسامية الثقب ومسامية القالب. إنخفاض في المسامية الأولية.
٤ - عملية التسلكن.	ملء المسامات بلاحم الكالسيدوني. عملية الإحلال. لا تتغير في نسبة المسامية.

الحبيبات) بنمو بلورات الكلسيت من حوائط المسام واتساع هذه البلورات في اتجاه مركز أو وسط المسام. مما ينتج عنه انخفاض كمية المسامية الأولية الأصلية في صخر الكربونات.

## ٢ - عملية تجدد التبلور Neomorphism

يقصد بعملية تجدد التبلور هو ما يحل محل الكربونات السابقة النشأة. وتحدث هذه العملية من مرحلتين هي:

### (أ) عملية إعادة التبلور Recrystallization

يتم خلال هذه العملية إعادة تبلور المعدن نفسه وبهذا لا يحدث تغيير في كمية أو نسبة المسامية الأولية في صخر الكربونات.

### (ب) عملية تعدد التشكل المعدني Polymorphism

وهي عملية إنتقال من معدن إلى آخر بمعنى أن يحل معدن كربونات محل معدن كربونات آخر ومن ثم يكون لهذه العملية تأثير كبير في كمية مسامية الصخر. وعلى سبيل المثال لو أخذنا عملية إحلال معدن الكلسيت محل معدن الأراجونيت من خلال تغيرات النشأة المابعدية والتي تحدث مبكرة بعد تكوين الصخر نجد أن من نتائج هذه العملية الانتقالية (Polymorphic transformation) هو تضخم حجم الصخر الكلي ومن ثم يحدث انخفاض في مسامية الصخر الأولية بنسبة ٨٪ تقريبا (Hoskin, 1966)، والعكس صحيح. ومثال آخر على عملية الانتقال أو تعدد تشكيل المعدن هو عندما يحل معدن الدولوميت محل معدن الكلسيت، (بمعنى أنه عندما يتغير معدن الكلسيت في صخر الكربونات إلى معدن الدولوميت) أو ما يعرف بعملية تكوين الدولوميت أو الدلتنة (أو التدلنت)، (Dolomitization) والتي ينتج عنها تقلص شامل في حجم الصخر وازدياد في كمية مسامية الصخر بنسبة تصل إلى ١٣٪ بسبب تشكيل مسامية بين البلورات (Intercrystalline porosity) وهذه مسامية ثانوية مضافة إلى مسامية الصخر الأولية (Chilingar and Terry, 1964). ولهذا السبب تصبح صخور الدولوميت بمثابة صخور خازنة للغاز الطبيعي. وبشكل عكسي فإن عملية إحلال معدن الكلسيت محل معدن الدولوميت (بمعنى أنه عندما يتغير معدن الدولوميت في صخر الكربونات إلى معدن كلسيت)، أو ما يسمى بعملية استبعاد التدلنت

(De-Dolomitization) أو عملية تكوين الكلسيت أو الكلكستة (أو النكلست) (Calcitization) ، وتسبب هذه العملية في تضخم حجم الصخر وانخفاض في كمية مسامية الصخر بنسبة ١٣٪ (Shearman *et al.*, 1961).

### ٣ - عملية الحل والذوبان أو الغسل Leaching

وهي من أهم عمليات النشأة المابعدية لما ينتج عنها من تشكيل مسامية ثانوية عن طريق حل وإذابة (غسل أو استخلاص) جزء من مكونات صخر الكربونات القابلة للذوبان ، مثل راسب الأرضية أو اللاحم أو نوع معين من حبيبات الصخر. ويشار إلى هذا النوع من المسامية المتشكلة عن طريق الإذابة والإزاحة بمسامية السائل أو مسامية المحلول (Solution porosity) . ومن أمثلة هذه المسامية كل من المسامية الثقبية (Vuggy porosity) ، والمسامية القالبية (Moldic porosity) ، وقد سبق الحديث عنها بالتفصيل في الفصل الثاني ص ٦٨ .

### ٤ - عملية التسلكن Silicification

وهي من عمليات النشأة المابعدية والتي تتضمن تكوين مادة السليكا في صخور الكربونات إما عن طريق ملء المسام بهذه المادة في صورة معدن الكالسيدوني كإداة لاحمة (Chalcedonic cement) أو عن طريق الإحلال أو الإنتقال أو ما يعرف بعملية تجدد التبلور (Neomorphism) والتي فيها تحل مادة السليكا محل جميع مكونات صخر الكربونات ، أو أن تحل السليكا بشكل اختياري محل أجزاء من مكونات الصخر كمكونات بعض الأحافير لتعطي أحافير متسلكنة (Silicified fossils) تبقى في نفس الصخر. وفي هذه الحالة الأخيرة لا يحدث تغيير في كمية نسبة مسامية الصخر الأولية. على سبيل المثال يمكن أن تنخفض أو تنعدم المسامية في الصخور الشعابية (Reef rocks) ، وأحجار الجير الحشنة (Calcarenes) بسبب عملية التسلكنة والتي ينشأ عنها تكوين لاحم الكالسيدوني في المسامات الأولية لهذه الصخور، (راجع جدول ٢٦) .

ولمزيد من المعلومات المتعلقة بالمسامية وعملية النشأة المابعدية في صخور

الكربونات راجع :

Murray, (1960); Chilingar and Terry, (1964); Folk, (1965); Larsen and Chilingar, (1967); Choquette and Pray, (1970); Bathurst, (1975); Selley, (1976, 1990, 1994) and Boggs, (1995).

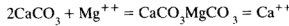
### ثانيًا: أحجار الدولوميت Dolostones or Dolomites

يمكن أن تتعرض أحجار الجير لعملية التدلت أو الدلتة (Dolomitization) عند أي مرحلة من مراحل تاريخها. وتحدث عملية التدلت إما بصورة مصاحبة وأثناء فترة تشكيل أحجار الجير ويطلق عليها الدلتة المصاحبة (Penecontemporaneous dolomitization) أو تأخذ محلها بعد ترسيب وتشكيل أحجار الجير وتسمى دلتة ما بعد الترسيب (Post-depositional dolomitization). ويشار أحياناً إلى الأولى بالدلتة المبكرة (Early diagenetic dolomitization) وإلى الثانية بالدلتة المتأخرة (Late diagenetic dolomitization).

ويتشكل دلويميت الدلتة المصاحبة نتيجة التفاعلات الكيميائية بين أيونات المغنسيوم المتوافرة في ماء البحر ورواسب الكربونات المشكلة تَوّاً أو المبكرة التكوين. فتنمو بلورات الدولوميت في رواسب غير ملتصمة (Uncemented sediments) والترسبة تحت مياه تتركز فيها الأملاح بشكل دوري. ومن ثم فإنه أينما يكن وَحْل الكربونات الدقيق الحبيبات قد تعرض لعملية التدلت أو أصبح دلويميت فإن هذا الراسب يبقى غير ملتحم، ونتيجة لذلك يتشكل غرين الدولوميت وله نفس خاصية مسامية الغرين. وتحدث عملية الدلتة المصاحبة في الوقت الحاضر في رواسب الكربونات المشكلة في بيئات مسطحات المد والجزر (Intertidal and supratidal environments) على امتداد أجزاء من الشواطئ العربية على الخليج العربي (Purser, 1973) وعلى امتداد شواطئ ولاية فلوريدا وجزر الباهاما (Newell and Rigby, 1957).

وتؤثر عملية دلتة ما بعد الترسيب في صخور الكربونات بعد أن تكون قد التحمت (تسمتت) ويكون هذا التأثير إما بشكل جزئي أو كلي. ومن هنا ندرك أن عملية تدلت ما بعد الترسيب تحدث في وسط صخري صلب ويشكل متتابع فإن أي تغيير في حجم كتلة الصخر الناتج من إحلال معدن الدولوميت محل معدن الكلسيت (سابقاً) فإنه يؤدي إلى تغيير في نسبة المسامية الأولية في هذا الصخر. وقد أشرنا سابقاً إلى هذه العملية بعملية التشكل أو التغير المعدني الذاتي المتعددة (Polymorphism)، وهي إحدى أنواع عمليات النشأة المابعدية في صخور الكربونات. وينجم عن عملية الدلتة هذه زيادة عامة في نسبة مسامية الصخر وتكون هذه الزيادة في المسامية متناسبة

مع درجة اتساع عملية التندلت. وربما تصل نسبة المسامية إلى ١٥٪ في أحجار الجير كاملة التندلت (Fully dolomitized limestones)، وذلك إذا تمت عملية الدلمتة طبقاً للتفاعل التالي: (راجع Selley, 1976):



ولكن أشار (Greensmith, 1981) بأنه قد سجلت مسامية بنسبة ١٩٪ في طبقات أحجار الجير العالية التندلت والتي تشكل خزانات النفط في بعض صخور العصر الجوراوي في منطقة الخليج العربي، وبالمقارنة فإن هذه الصخور تحتوي على نفاذية عالية أيضاً. ويمكن استخدام العلاقة النسبية الموجودة بين الكلسيت والدلوميت في تصنيف رواسب الدلوميت والموضحة في (شكل ١٤٩) كالتالي:

٪ كلسيت				
١٠٠	٩٠	٥٠	١٠	صفر
حجر جير به مغنسيوم	حجر جير متدلت	دلوميت كلسي	دلوميت	
صفر	١٠	٥٠	٩٠	١٠٠
٪ دلوميت				

شكل (١٤٩). تصنيف الدلوميت - حجر الجير. (عن: Pettijohn, 1975)

وباستطاعتنا القول الآن إن معظم صخور الدلوميت قد ترسبت في الأصل على شكل أحجار جير إن لم تكن كلها، ثم أخذت وضعها المعدني الحالي نتيجة تغيرات معدنية ذاتية (Metasomatic alteration) مبكرة أو متأخرة ومع ذلك فإنه في بعض الحالات يكون من بين صخور الكربونات المتصلة دلوميت والذي ربما تشكل نتيجة ترسيب أصلي. وفي معظم هذه الحالات، تكون رواسب الدلوميت مصاحبة أو متواجدة مع رواسب صخر الملح والجبس والانهيدريت أو تكون مترسبة في بحيرات مالحة (Playas) أو بحار معزولة أو مغلقة (Greensmith, 1981)، ومن أحسن الأمثلة على ذلك البحر الميت وبحر قزوين.

وفي معظم الحالات تحتفظ صخور الدولوميت ببنيات (Structures) وأنسجة (Textures) صخورها الأصلية (أو صخور التبيّن) بدرجة متفاوتة ولكن بما أن الدولوميت له القدرة، ويميل دائماً إلى تشكيل بلورات كاملة الشكل والبنية (Idiomorphic crystals) حتى عندما ينمو في داخل أحجار الجير الصلبة، فإنه باستطاعة عملية التلدت أن تمحي وبشكل كبير أي بنية ترسيبية أولية في الصخر الأصلي.

ومن المهم جداً أن نميز بين الصخور التي وقعت تحت تأثير التلدت المبكر، ذي النشأة المابعدية (Early diagenetic dolomitization) أو ما يعرف بالتلدت المصاحب، والتلدت المتأخر ذي النشأة المابعدية (Late diagenetic dolomitization)، أو ما يعرف بالتلدت اللاحق أو ما بعد الترسيب.

#### (أ) التلدت المبكر ذي النشأة المابعدية Early diagenetic dolomitization

يتشكل هذا النوع من الدولوميت نتيجة التغير المعدني الذاتي (Metasomatism) والذي حدث مباشرة أو في وقت قصير بعد الترسيب. وأحياناً تظهر صخور هذا النوع من الدولوميت بسمك لا بأس به إذ تشكل وحدات طبقية أو (استراجرافية) مهمة، حيث يستدل على ذلك من وجود وحداتها بين طبقات أحجار جير غير متغيرة، وتشير هذه إلى أن محاليل المغنسيوم لا يمكن بأن تكون دخلت بشكل لاحق بين طبقات أحجار الجير غير المتأثرة. كذلك فإن وجود أحافير متدلّنة (Dolomitised fossils) في داخل المتكون يكفي أن يثبت بأن الدولوميت ليس راسباً أولياً (Primary dolomite). وقد لخص (Greensmith, 1981) الظروف المفضلة لكي يتشكل الدولوميت المصاحب لعملية الترسيب كالتالي:

- ١ - في مياه دافئة وقليلة العمق أو التي يتراوح عمقها بين صفر و٤٥ متراً.
- ٢ - وجود ثاني أكسيد الكربون الذي يتسبب في تحلل أحجار الجير جزئياً وفرصة احتمال حدوث التبادل الكيميائي مع أملاح المغنسيوم في ماء البحر.
- ٣ - تسمح مسامية أحجار الجير بتسرب ماء البحر خلال كتلة الصخور.
- ٤ - الانخفاض أو الارتفاع، ببطء وبشكل كافٍ، في حوض الترسيب لكي يتم التغير الكامل من كربونات الكالسيوم إلى كربونات الكالسيوم والمغنسيوم المزدوجة.
- ٥ - يجب أن تحتوي مياه حوض الترسيب على نسبة عالية من المغنسيوم مقابل



الكالسيوم ويفضل أن تزيد على عُشر ( $\frac{1}{10}$ ) إلى واحد، حيث إنه بالمقارنة، تكون النسبة المتواجدة في مياه البحر العادية هي ٣,٥ إلى ١.

٦ - يجب أن يكون هناك معدل ملائم من الإنتاج والتدفق من هذا النوع من الماء المشبع بأملاح المغنسيوم والأملاح الأخرى، أو ما يسمى بهاء أجاج (Brine)، حتى تتمكن رواسب الجير أن تتغير إلى دلوميت في الوقت المتاح لتشكيل الدلوميت، وذلك في الفترة مابين عملية التبخير وتركيز الأملاح في ماء حوض الترسيب وتشكيل الدلوميت ثم تكرار الدورة نفسها بإضافة مياه غنية بالأملاح ثم التبخير وتكرار تشكيل الدلوميت.

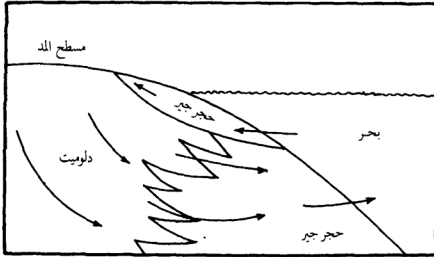
وتتوافر هذه الظروف بدرجات متفاوتة في مسطحات المد (Supratidal flats) في كثير من المناطق البحرية الرطبة في العالم، والتي ذكرت سابقاً. وتعرف مسطحات المد في الشرق الأوسط بالسبخات الساحلية والتي تقع فوق مستوى المد المرتفع العادي (Above normal high tide level) وتغمرها المياه فقط نتيجة الفيضان الناجم عن عواصف المد، وتتعرض هذه المناطق للهواء أو تكون مكشوفة لفترات زمنية طويلة نسبياً بين ارتفاعات المد. وبشكل لاحق تكون الأوحال الجيرية المشققة والمترققة عُرضة للتشرب المتقطع بهاء البحر العادي فقط. وبشكل مؤكد تتدفق بعض المياه الموجودة في مسام هذه الرواسب نتيجة تسرب المياه الجوفية من البحر المجاور. وعندئذ تزداد درجة التبخر وتتركز الأملاح في مياه المسام بالقرب من السطح حتى تصل إلى نقطة تترسب عندها كبريتات الكالسيوم بنسبة كبيرة. وبشكل ملازم يزيح هذا التثبيت للكالسيوم التأثير الكيميائي المتدني لمحلول كبريتات الكالسيوم على ترسيب الدلوميت وتزيد نسبة المغنسيوم/الكالسيوم في الماء الأجاج المتبقي (المتخلف). وعندئذ تكون الظروف مناسبة لإحلال الدلوميت محل الكربونات في الأوحال الجيرية الأصلية. وعند هذه المرحلة يفضل الإحلال محل الأراجونيت عوضاً عن الكلسيت. ويستدل على ذلك من اختصار عملية التمدلت للعقد الطينية الأراجونيتية والثقوب الطحلبية المملوءة بالأراجونيت المتوافر في كسر الكلسيت الهيكلي (Skeletal calcite) أيضاً.

وتقل نسبة الكلسيت الأصلي في طبقات الرواسب العلوية أثناء عملية التمدلت ويعود ذلك إلى عمليات الغسل والإزاحة المؤقتة. وربما تندمج فوراً أيونات الكربونات المتحللة وتدخل في نطاق حبيبات الدلوميت الجديدة. وينتج عن جميع هذه العمليات

المعقدة تشكيل طبقات من دلوميت مسامي ذي لون بني خفيف إلى رمادي ويأخذ مظهر القِطْع (الأوصال) (Patches) المتباعدة والقشور (Crusts) أو الأغشية المتناثرة في الجزء العلوي من الأوصال الجيرية (Greensmith, 1981).

#### (ب) التدللت المتأخر ذي النشأة المابعدية Late diagenetic dolomitization

يصعب غالباً تشخيص تأثير التدللت اللاحق والمتأخر وذلك بسبب أنه تكون من سلسلة متطورة من الأحداث حدثت عبر فترة زمنية طويلة. ويحدث التدللت اللاحق والمتأخر بواسطة المياه الجوفية والمياه الأحفورية المتزامنة (Connate waters) تحت ظروف من النقل الكبير (الضغط) والديناميكية الحرارية عوضاً عن تغيرات النشأة المبكرة. فقد نوه (Greensmith, 1981) بأنه من المحتمل أن يصاحب تأثير عمليات التدللت العميقة تأثير عمليات تدلت ملازمة زمنياً وتحدث عند السطح (شكل ١٥٠). وربما يتوغل بعض من ماء الأجاج (Brines) الملازم إلى أعماق الطبقات السفلى مشكلاً استضافة واسعة النطاق من التشكيلات والأنسجة المتدللة. وقد تبدأ تشكيلات التطبيق الأولية الأصلية بأن تكتسح بتكون أوصال الدلوميت (Patches of dolomite)، وربما



شكل (١٥٠). عملية الدلتة والتراجع (Reflexion). رسم تخميني يوضح العلاقة الموجودة بين البيئات ومياه التدفق المتقدم والتدفق المتراجع وكيفية إتمام عملية الدلتة. يتشكل بعض الدلوميت عندما تنغمس الأملاح الثقيلة تحت سطح الأرض وتنساب في اتجاه البحر. (عن: (Greensmith, 1981)

تمحى أجزاء من التشكيلات الأولية مثل السرديات والأحافير وشقوق الشمس . . . إلخ. كذلك تغير المسامية الأصلية نتيجة محلول كربونات الكالسيوم الملازم وهذه أيضاً يحدث لها بعض التعديلات بواسطة الدولوميت أو الكلسيت الجديد والترسب فيها بعد . ويصاحب التغيرات اللاحقة نتيجة استمرارية دورة (Circulating) مرور المياه الجوفية الغنية بالمنغنسيوم فترات تمعدن ودفع الصخور إلى أعلى (Uplift) وظهورها (بروزها)، وغالباً ما تكون لها خاصية إقليمية بوجودها في مناطق كثيرة التصدع والطي . كما يبدو أن ضغوط التمزق (Shearing pressures) تظهر مشاركة لهذا المنهاج من التدللت المابعدية .

ويسهل تمييز هذا الصنف من الدولوميت في التكوينات الصخرية غير الكاملة التغير المعدني الذاتي (Metasomatised) ولكنها لا تزال تحتوي على متبقيات من أحجار الجير الأصلية أو غير المتغيرة . ومن خصائص هذا النوع من الدولوميت أو الدولوميت الثانوي (Secondary dolomite) أنه ذو علاقة واضحة مع مستويات الضعف الموجودة عادة في الصخور الصلبة . ومن أكثر قنوات التدللت هي مستويات التصدع (Faulting) والفواصل (Joints) والشقوق (Cracks) ، (Greensmith, 1981) .

ويوضح (شكل ١٥٠) تحيل (Greensmith, 1981) لعملية الدلتة المتأخرة . ويظهر هذا الشكل العلاقة بين البيئات وسطح الطبقات وقرب سطحها وعمقها، والمياه العائدة إلى البحر بعد مرورها في تلك الطبقات، وأيضاً نوعية التدللت . إذ يتحرك ماء البحر في اتجاه مسطح المد ثم يتبخر جزء كبير منه مشكلاً ما يعرف بالسبخة . ويصبح الماء أجاجاً (عالي التركيز في الأملاح) في هذه المنطقة مما يتسبب في تحويل رواسب الجير إلى دولوميت مصاحب أو مبكر وذي نشأة ما بعدية (Early diagenetic) (penecontemporaneous dolomite) ويغوص الماء الأجاج الكثيف إلى مستويات سفلية عائداً في اتجاه البحر وربما يشكل في الأعماق قطعاً متناثرة من الدولوميت اللاحق المتأخر وذي نشأة ما بعدية (Late diagenetic and subsequent dolomite) .

ولزيد من المعلومات المتقدمة، مراجعة:

Deffayes *et al.*, (1965); Kendall, (1969); Butler, (1969); Badiozamani, (1973); Folk and Land, (1974); Friedman, (1979); Greensmith, (1981); Morrow,

(1982a,b); Wells, (1986); Blatt, (1992); Selley (1990, 1994); Raymond, (1995) and Boggs, (1995).

## ٢ - الصخور الشعابية Reef Rocks

تشكل رواسب الصخور الشعابية في مياه ضحلة (قليلة العمق) ودافئة وهي عبارة عن أحجار جير تكونت نتيجة أنشطة الأحياء في هذه المنطقة، وقد تشكلت الشعاب الصخرية من بنات هياكل جميع الكائنات الحية المستوطنة لهذه المنطقة. وتشكل هذه الصخور العضوية النشأة سلسلة ممتدة بشكل شُعب صخري مقاوم لنشاط الأمواج. ويظهر الشُعب (Reef) نفسه مسطحاً ومغموراً بشكل دائم تحت سطح ماء البحر لأن أحياءه لا تتحمل التعرض المباشر لأشعة الشمس. وتشكل أحياء المرجانيات الإطار الرئيس للصخور الشعابية بينما تشارك بشكل جزئي أحياء أخرى في بناء جسم الشُعب الصخري. وتعتبر كل من الحزازيات (Bryozoa)، وسترمتو بورويدز (Stromatoporoids)، والطحالب الكلسية (Calcareous algae)، وروديستا (Rudistids) من بين هذه الأحياء الأخرى. حيث يعيش بعضها على السطح الخارجي للشُعب ويوجد البعض الآخر في فجوات الشُعب ومساماته الداخلية. لذا فإن الشعاب الصخرية عبارة عن رواسب متلاحمة من المكونات العضوية. وتتكون هذه المكونات بشكل رئيس من طحالب كلسية ومرجانية (Coralline and Calcareous algae) واسفنجيات (Sponges) وحزازيات (Bryozoa). ويجب التمييز بين الشُعب والجدران العضوية المتراسة (Banks) إذ إن الجدران العضوية المتراسة تكونت نتيجة تراكم الأحياء وليس لها القدرة على التحام الرواسب كما هو الحال في الشعاب الصخرية. ويمكن الإشارة إلى أحجار الجير الشعابية عند فحصها تحت المجهر بالصخور الحيوية (Biolithite) أو الأحجار المترابطة (Boundstones) كما صنفها دنهام (Dunham, 1962) والتي سبق شرحها. وفي هذه الحالة يتحتم إيضاح ما إذا كان المكون الشائع هو الطحالب أو المرجانيات.

فمن حيث النشأة تعتبر الصخور الشعابية الثابتة مكانية التكوّن أو التَشكُّل (Autochthonous)، وما يوجد من كسر وحطام صخري شعابي متناثر حول الشُعب

نفسه فهذه عبارة عن فتاتات أحجار جير كيميائية غير نقية (Allochemical limestones) تشكلت من مواد شعاعية حثائية انحدرت إلى أسفل من لب الشعْب. ففي اتجاه البحر أو ما يسمى بمقدمة الشعْب (Fore-reef) تتشكل رواسب ركامية (Talus) سميكة وشديدة الميل والانحدار وتندرج في أحجام حبيباتها إلى رواسب بحرية عميقة (أي رواسب جيرية ناعمة). وفي اتجاه اليابسة أو ما يسمى بمؤخرة الشعْب (Back-reef) ، يتشكل عادة فتات حطام الشعْب على هيئة طبقة رقيقة السمك تتداخل وتختلط مع رواسب البرك الشاطئية (Lagoonal deposits) الموجودة خلف الشعْب في المياه القليلة العمق جدًا. وسوف نوضح هذا في الفصل الثامن عن البيئات (شكل ١٩٠، في الفصل الثامن).

وعندما يكون نمو الشعاب واسع النطاق فربما يصبح عندئذ تأثيره على الترسيب كبير. وربما تكون الحركة الدورانية (Circulation) محدودة جدًا في البرك الشاطئية خلف الشعْب مما ينجم عنه ترسيب المتخزات. وقد تمنع الغرين والأطيان الأرضية من الهجرة أو الانتقال إلى الأحواض العميقة أو ربما تسرب خلال بعض الفتحات القنوية الموجودة في معقد الشعْب (Reef complex). وفي هذه الحالة الأخيرة تنقل هذه المواد عن طريق ميكانيكية تيارات العكر.

وتشير صخور الشعاب الحديثة إلى أنها لا تتكون كلية من المرجانيات ولكن هناك العديد أيضًا من المحاريات والهياكل اللاقارية البحرية والتي تعيش في حاية الشعْب، فعلى سبيل المثال تلعب الطحالب الغشائية (Encrusting algae) مثل الليثوثامنيوم (Lithothamnium) دورًا مهمًا في بناء الصخور الشعاعية. وفي مناطق أخرى تتكون الأحجار المترابطة في رواسب الشعاب من ستروماتوبوريدز والحيوانات الطحلبية الأخرى.

وأشار (Pettijohn, 1975) إلى أن حوالي نصف حجم صخر الشعْب يكون عبارة عن فراغات وفجوات. وتحتوي هذه الفجوات على بلورات كلسيت ذات أنسجة نتوءية (Drusy). وتكون الفجوات الكبيرة مغلفة بإداة الكلسيت التي تشبه مادة أحجار تدفق كربونات الكالسيوم في المغارات والكهوف. وتكون الجيوب القليلة والكبيرة الحجم مملوءة براسب مترقق من الطين الصفحي أحيانًا وفي حالات أخرى مملوءة بطين الجير الدقيق التبلور (Micrite) والمترقق. وتُظهِر كثير من الفجوات مثل هذا الترسيب الداخلي

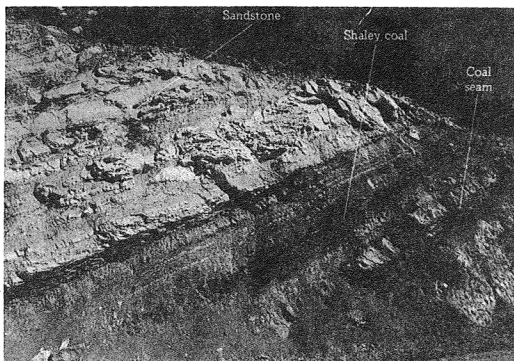
في الجزء السفلي من الفراغ ويكون الجزء العلوي مشغولاً بهادة الكلسيت ذو التبلر التوتوي (Drusy spar) ومن ثم يتشكل ما يعرف بطراز التويج الأرضي (Geopetal fabric). وتبدو كثير من الفجوات بأنها نشأت أصلاً في الشَّعْب، ولكن تظهر أخرى من أشكائها بأنها فتحات تُركت نتيجة تحلل أحافير وهناك أيضاً فتحات أخرى غير منتظمة الشكل وغير معروف أصل نشأتها. وتعرض صخور الشعاب لعمليات الدلثة بسهولة، وتظهر كثير من أحافير الشَّعْب بهيئة دلوميت متكامل.

وغالباً ماتكون أحجار جبر الشَّعْب البحرية نقية وتتكون كلية من الكلسيت والأراجونيت وعديمة المعادن الأرضية. وعادة ما يكون محتوى المغنسيوم أعلى بكثير مما تحتويه هياكل المرجانيات النقية والتي تكون تقريباً عديمة المغنسيوم. ومن المؤكد أن معظم هذا المغنسيوم يعود إلى مكونات أصلية في الراسب والتي جلبت من هياكل بعض الأحافير مثل الفورامينيفرا (Foraminifera) والمرجانيات (Corals) والجلدشوكيات (Echinoderms)، والمرجان الثاني أو المجوفات (Alcyonarian) والطحالب المرجانية (Coralline algae).

وتقع أهمية صخور الشَّعْب في أصل نشأتها وما تتعرض له من تغيرات ذات نشأة مابعدية وفي تعدد مكونات هذه الصخور أيضاً أو تقوم في معظم الأحيان بدور المضيف لكثير من خزانات الهيدروكربون. ويتضح هذا من احتواء هذه الصخور على مسامية أولية عالية عند تشكيلها والتي غالباً ما تلبث أن تستبدل بمسامية ثانوية واسعة النطاق نتيجة عمليات النشأة المابعدية (Diagenesis) التي تتعرض لها صخور الشعاب. وعامة، تختلف هذه المسامية الثانوية في المقياس وأبعاد أطوالها وتوزيعها ومن ثم ربما تصنف الشعاب بمثابة الأماكن الطباقية ذات النشأة المابعدية (Diagenetic stratigraphic traps) (Selley, 1976, 1990, 1994). أيضاً راجع (Bathurst, 1975)، و (Raymond 1995) و (Boggs 1995).

### ٣ - حجر الفحم الطبيعي Coal

يتشكل حجر الفحم الطبيعي، (شكل ١٥١)، من أصل نباتي. وهو عبارة عن مادة صلبة معتمدة غير متبلرة وقابلة للاحتراق. ويختلف لون حجر الفحم من بني خفيف



شكل (١٥١). طبقات وعروق فحم ذات عمر طباشيري (أو كريتايوي)، في شمال شرق نيومكسيكو بأمريكا. (عن: Judson and Kauffman, 1990)

إلى أسود قاتم. وللفحم بريق معتم إلى لامع وكثافته النوعية منخفضة (من ١-٨). وتتراوح صلابة الفحم من ٠,٥ إلى ٢,٥ وهو سريع التفتت، ومكسره مُشرشر أو مُسنن (Hackly) إلى محاري (Conchoidal). وتختلف هذه الخواص مع نوعية ورتبة الفحم.

ويصنف الفحم طبقاً لرتبته ومكوناته الطبيعية، وتعتمد رتب الفحم على درجة التفتح (Coalification). ويظهر ذلك من سلسلة الفحم (Coal series) والتي تبدأ تدرجها من مواد نباتية ناقصة التفتح (الحث Peat) ثم اللجنيت (Lignite) أو الفحم البني ثم فحم الدبال (Humic coals) أو الفحم القاري أو الحُمري (Bituminous) ثم فحم الأنتراسيت (Anthracite). ويعتبر الفحم البني (Lignite) من رتب الفحم المنخفضة جداً بينما يحتل فحم الأنتراسيت أعلى رتبة للفحم. ومن ثم يختلف كل من مظهر الفحم الطبيعي وخواصه الطبيعية ومكوناته الكيميائية مع اختلاف رتبة الفحم

وكذلك مع خواص استعماله ومن هنا يجب معرفة رتبة الفحم لكي يتحدد اتجاه استعماله .

ويظهر الفحم البني (Lignite) بلون بني أو بني مسود ونادراً ما يكون أسود اللون . وعامة يحتفظ هذا النوع من الفحم ذي الرتبة المنخفضة ببنيات أو تشكلات (Structures) الأخشاب الأصلية ويتفلق بشكل سيء عندما يجف، وهو سريع الاحتراق ويصدر لهباً مدخناً (كثير الدخان) . ويظهر معظم الفحم البني في العصر الطباشيري أو يكون أصغر عمراً من ذلك .

ويعتبر فحم البيتومين (Bituminous coal) أو الفحم الدبالي أو القاري (الحُمري) أعلى رتبة من الفحم البني لأنه يحتوي على نسبة كبيرة من الكربون ونسبة قليلة من الماء . وهو سريع الاحتراق أيضاً ولكنه لا تفتت بسهولة عندما يُعرض للهواء . وتُظهر معظم أحمدة البيتومين أحزمة رقيقة (Fine banding) بسبب التغير والانتقال من ترقق معتم (مطفئ) إلى ترقق لامع .

وفي معظم الأوقات يميز فحم الانتراسيت (Anthracite coal) بريقه الشبه فلزي (Submetallic luster) وبمكسره المحاري . كما يحتوي على نسبة عالية جداً من الكربون ونسبة منخفضة جداً من غازات الهيدروكربون (مثل الهيدروجين والنيتروجين والأكسجين) . ويحترق ببطء ويصدر لهباً قصيراً وحرارة عالية وقليل الدخان إلى عديمه .

ويطلق مصطلح النضوج (Maturation) أو التفحم (Coalification) على التغيرات التي تمر بها المواد النباتية حتى تصبح فحمًا، وتحدث عملية النضوج على مرحلتين وهي ، مرحلة المواد النباتية (Peat stage) ومرحلة الدفن . وتعاني المواد النباتية في المرحلة الأولى من تحلل كيميائي حيوي (Biochemical degradation) وعندما تدفن يزداد كل من الثقل المبذول عليها وكذلك الحرارة وبذلك تنهى حركة النضوج الحرارية وتحول الحث أو المواد النباتية ناقصة التفحم (Peat) ببطء إلى فحم . لذا تصبح مرحلة الحث مرحلة ضرورية تسبق تشكيل الفحم .

وعندما تموت النباتات تحت ظروف عادية فإنها تكون عُرضة للهواء . فتتكسر وتتفتت مبدئياً نتيجة التأكسد ، وأيضاً بواسطة أحياء متنوعة مثل الفطريات (Fungi) والبكتيريا الهوائية (Aerobic bacteria) . وأينما تتراكم بقايا النباتات في بيئات



المستنقعات والمخثات فإنها تتشبع بالماء. وحالاً يستنزف التحلل الجوي الأكسجين من الماء وقوت الأحياء الهوائية وتحلل عملها بكتيريا غير هوائية (Anaerobic bacteria) وهذه تعمل بدون وجود الأكسجين ولكن لها نفس مقدرة البكتيريا الهوائية في تفتيت وتحلل المواد العضوية. وبسبب طبيعة ركود مياه المستنقعات والمخثات فإن نواتج البكتيريا النافعة لا تستبعد بل تتراكم في المياه الموجودة بين مكونات النباتات المتحللة، وفي النهاية تحول البيئة إلى بيئة صلبة وغير خصبة. ويتسبب نشاط البكتيريا في إبقاء المواد النباتية في حالة متحللة وفي هذه الحالة تشكل المواد ما يسمى بالمواد النباتية الناقصة التفحم أو الخث (Peat). فإذا حدث أن صُفِّي أو أُسْتُخْلَص الخث مما تبقى من الماء فإن المواد المتحللة تُطرد إلى الخارج وتحلل مرة ثانية وربما ينعدم الخث في النهاية. وإذا لم يُسْتُخْلَص الخث ودُفِنَ تحت رواسب غير منفذة فإنه في هذه الحالة يمكن أن يحتفظ به جيولوجياً في هيئة خث أو مواد نباتية ناقصة التفحم (Selley, 1976, 1990).

ويحتوي الفحم كيميائياً على ثلاثة عناصر رئيسة هي الكربون والهيدروجين والأكسجين مع نسب ضئيلة من الكبريت والنيروجين وشوائب معدنية. وتبقى هذه الشوائب المعدنية كرماد بعد احتراق الفحم. وربما أتت الكميات القليلة من الكبريت من بروتينات الكبريت الموجودة أصلاً في النباتات. وإذا حدث أن بعض الأفحمة إحتوت على كمية عالية من الكبريت فهذا يعود إلى وجود شوائب من معدن البيريت (Pyrite) في مادة الفحم الأصلية. وقد يستفاد من النيروجين الناتج من صناعة غاز الفحم في إنتاج الأمونيا، المستخدمة في صناعة الأسمدة وغيرها من الصناعات الأخرى.

وتتشكل في معظم الأوقات عروق الفحم (Coal seams)، (شكل ١٥١)، في أماكنها (*in situ*) بمعنى أن مكونات الفحم من الخث (Peat) وجدت أينما عاشت النباتات وماتت بل وطمرت أيضاً. ولكن هناك بعض الفحم ذي نشأة انتقالية حيث نقلت متبقيات أو متخلفات النباتات إلى موقع الترسيب ثم دفنت هناك وتشكل الفحم فيما بعد. ويستدل على الفحم ذي النشأة المكانية (*in situ*) بوجود الجذور والجذريات (Rootlets) التي تمتد من الفحم إلى أسفل ومغموسة في التربة الأحفورية (Fossil soil) أو ما يعرف بمقعد التربة (Seat earth). ويطلق على مقعد التربة الطيني مصطلح طين

ناري (Fire clays) والذي يتكون بشكل رئيس من معدن الكاولين. ويستخدم الكاولين في صناعة الطوب وغيرها من الصناعات. وقد تكون مقاعد التربة رملية، وهي في هذه الحالة عبارة عن رواسب كوارتزيتية نقية، ومنها يمكن استخراج مادة السليكا المستخدمة في صناعة طوب السليكا الناري وفي كثير من الصناعات الأخرى.

وتقع أهمية معرفة الفحم ونضوجه ورتبته وظروف تكوينه في إعطاء فكرة واضحة عن عمليات التنقيب التحت أرضي وعن البترول المحتمل وجوده في المتكونات الحاملة له، حيث يسير نضوج الهيدروكربون السائل بشكل مواز لنضوج الفحم. ولمزيد من التفاصيل المتقدمة عن مستوى هذا المقرر على طالب الدراسات العليا مراجعة كل من:

Pettijohn, (1975); Friedman and Sanders, (1978); Blatt *et al.*, (1980); Greensmith, (1981); Selley (1982, 1990, 1994) and Boggs, (1995).

#### ٤ - صخور البحر Evaporites

تشتمل مجموعة صخور البحر على الأملاح المعدنية التي تشكلت نتيجة تبخر المحاليل الغنية بالأملاح وترسيب الأملاح من هذه المحاليل المركزة أو ما يعرف بالماء الأجاج (Brines). وتتكون الأملاح المعدنية الشائعة أو معادن البحر (Evaporite minerals) من الأنهيدريت (Anhydrite) والجبس (Gypsum) والهلالت (Halite) وكثير غيرها (راجع جدول ٢٨).

ونستخدم التكوين المعدني في تصنيف رواسب البحر. وتحدث عملية تشكيل معادن البحر بشكل كبير عن طريق ترسيب أو تبلر الأملاح عند التقاء سطح الراسب مع الماء (Sediment: Water interface), (Borchert and Muir, 1964). وتتم هذه العملية من خلال عملية تغيرات النشأة المابعدية (Diagenetic changes) التي تتعرض لها رواسب الملح (Saline deposits) فيما بعد. ويعود ذلك إلى أن معادن البحر غير ثابتة كيميائياً.

ينشأ الماء الأجاج الذي ترسب منه الأملاح المعدنية عادة إما من ماء البحر أو من ماء الأجاج المعاد تكوينه (ذي الدورة المتكررة). وينتج ماء الأجاج المعاد تشكيله

جدول (٢٨). بعض معادن البخار الشائعة.

المجموعة المعدنية	التركيب الكيميائي	الإسم
الكبريتات	$\text{CaSO}_4$	أنهيدريت (Anhydrite)
	$\text{CaSO}_4 \cdot 2\text{H}_2\text{O}$	جبس (Gypsum)
	$\text{CaSO}_4 \cdot \text{MgSO}_4 \cdot \text{K}_2\text{SO}_4 \cdot 2\text{H}_2\text{O}$	بوليهيليت (Polyhalite)
	$\text{MgSO}_4 \cdot 7\text{H}_2\text{O}$	إيسوميت (Epsomite)
كلوريدات	$\text{NaCl}$	هيليت (Halite)
	$\text{KCl}$	سيلفيت (Sylvite)
	$\text{KMg} \cdot \text{Cl}_3 \cdot 6\text{H}_2\text{O}$	كارنليت (Carnallite)
	$\text{MgCl}_2 \cdot 6\text{H}_2\text{O}$	بشوفيت (Bischofite)

(عن : Selley, 1976, 1994)

عندما تمر مياه الأمطار أو المياه الجوفية من خلال صخور تحتوي على معادن وأملاح قابلة للذوبان، مثل معادن كبريتات الكالسيوم أو الملح العادي. على سبيل المثال يتشكل أو يترسب الجبس عندما يمر الماء خلال رواسب الجبس فيذيبها ثم تتدفق هذه المحاليل من خلال الطبقات السفلية حتى تصل إلى المياه الجوفية التي ربما تخرج في مسطحات الوديان القريبة. ومن ثم يتعرض راسب أرضية الوادي للتبخر ويزداد تركيز الأملاح في المحلول الملحي مما يؤدي في النهاية إلى ترسيب الجبس. والطريقة الثانية التي يتم من خلالها ترسيب الجبس تحدث عن طريق تركيز الماء الأجاج في مسطحات المد. فقد تتسبب العواصف الكبيرة في قذف ماء البحر على مناطق مسطحات المد العالية، أو قد تضاف مياه بحر جديدة إلى هذه المناطق عن طريق الخاصية الشعرية والتي تحمل محل ما تبخر من ماء فيها. ونتيجة للتبخير المستمر في هذه المناطق يزداد تركيز الأملاح في المحاليل الموجودة في مسامات الرواسب. فتغوص المحاليل المركزة بسبب كثافتها. وتحمل محاليل ملحية أقل كثافة من البحر ومع استمرار عملية الإضافة والتبخر يصبح المحلول الملحي أكثر تركيزاً وتتهيا الظروف لترسيب الجبس. ولا يتم ذلك إلا إذا كانت طبقة الراسب السفلية منخفضة النفاذية، أما إذا كانت عالية النفاذية فإن تركيز

المحاليل يكون خفيفاً وربما تتسرب المحاليل إلى أسفل وتستبعد من هذه المناطق ولا يتشكل الجبس كلية . وكما يظهر لنا الآن من أن توازن تركيز الأملاح في المحاليل هنا يعتمد بشكل كبير على معدل سرعة التبخير ومعدل السرعة في إضافة محلول جديد من البحر . وقد يتشكل قليل من ملح الطعام (هليليت) مع الجبس أو لا يتشكل بتاتاً لأنه لكي يتشكل ملح الطعام فإنه يتطلب درجة عالية جداً من الملوحة وتركيزاً للمحاليل أكبر بكثير مما يتطلبه تكوين الجبس .

ومن الطبيعي جداً أن نفكر في المناطق ذات المناخ الحار على أنها المناطق الوحيدة التي يتكون فيها رواسب البحر ولكن يجب ألا ننسى أن ما تتطلبه عملية ترسيب هذه الرواسب هو فقط نسبة معينة من التبخر الكافي لكي نحصل على محلول أجاج مركز . فهناك عامة معدلات تبخير عالية في المناطق المرتفعة الحرارة القليلة الأمطار نسبياً . ومثل هذه الظروف متوافرة أيضاً في الأقاليم القطبية الشمالية والجنوبية (Arctic and antarctic regions) حيث تشكل جبس حديث النشأة في هذه المناطق . هذا بالإضافة إلى أن تجميد مياه البحر في المناطق ذات المناخ البارد يشكل محلول أجاج قد يكون مركز لدرجة تسمح بتشكيل الجبس (Blatt et al., 1980) .

أوردت تقارير علمية عن ظهور رواسب البحر في جميع القارات وقد قدر ما تغطيه هذه الصخور من المناطق القارية بحوالي ٢٥٪ (Pettijohn, 1975). وحيث إن الجبس ( $\text{CaSO}_4 \cdot 2\text{H}_2\text{O}$ ) والأنهيدريت ( $\text{CaSO}_4$ ) والهليليت ( $\text{NaCl}$ ) أو ما يعرف بملح الطعام هم أكثر معادن البحر البحرية شيوعاً وانتشاراً فإننا سوف نتحدث عنهم بالتفصيل فيما يلي :

#### (أ) صخور ومعادن كبريتات الكالسيوم

قد تظهر معادن كبريتات الكالسيوم في الطبيعة في هيئة بلورات مفردة أو مجموعة من البلورات مستضافة في صخر كربونات أو صخر فتاني . وغالباً ما تشكل هذه البلورات الجزء الرئيس في الصخور الطبقية مع كميات ضئيلة فقط من محتوى الكربونات والسليكا والمواد الفحمية (Carbonaceous material) . وعامة فإن ما يظهر في الطبيعة من معادن كبريتات الكالسيوم (جدول ٢٨) هما معدني الجبس والأنهيدريت .

ويوجد الأنهدريت عامة في الصخور القديمة تحت سطحية العميقة (ومثال ذلك أنهيدريت متكون الهيئ «الجوراي العلوي» بالملكة العربية السعودية)، بينما يتوافر الجبس في المنكشفات وفي الطبقات تحت سطحية القليلة العمق. ويتشكل الجبس في معظم الحالات من ترسيب كبريتات الكالسيوم الحديثة. ويحدث هذا في مناطق العالم ذات الحرارة المرتفعة جداً والباردة جداً. وهناك عدة أماكن في العالم يتكون فيها الأنهدريت الحديث وربما أحسن هذه الأماكن هي المناطق المناخلة لساحل الخليج العربي والتي يتشكل فيها الأنهدريت في داخل رواسب مسطحات المد العالية (Within the supratidal flat sediments). حيث توجد كتل من بلورات الأنهدريت الدقيقة في داخل رواسب الكربونات. ولكن أشار (Butler, 1969) إلى أن هذا الأنهدريت هو أنهيدريت ثانوي لأنه تشكل نتيجة عملية إحلل، حل محل بلورات جبس سابقة التشكل. كما يظهر الجبس في الأجزاء العليا جداً من هذه المسطحات، وأيضاً في بيئات مياه عذبة نسبياً، حيث يحل الجبس محل الأنهدريت.

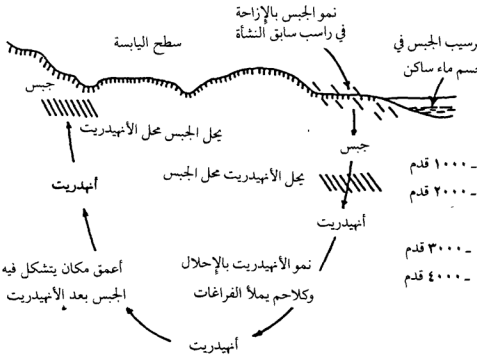
وقد أشارت بعض التقارير العلمية إلى أن الأنهدريت يتشكل عند عمق ١٣٠٠ متر من سطح الأرض. وأوضح (Murray, 1964) أن الأنهدريت يتكون تحت هذا العمق بمسافة كبيرة. وفي جميع أنحاء العالم تقريباً يكون الجبس هو الأعم في المنكشفات. وتحدث عملية الانتقال من الجبس عند المنكشف إلى الأنهدريت تحت سطح الأرض عبر الثلاثين إلى الستين متراً الأولى لأننا عادة ما نلاحظ صخوراً دفنت في الأعماق ورفعت (Uplifted) ومن ثم أصبحت عرضة لعمليات الحث والتعرية. وفي كثير من الحالات يعتمد عمق منطقة الانتقال من جبس إلى أنهيدريت بناءً على نفاذية الصخر ومعدل هطول الأمطار، لأنه لكي يحل الجبس محل الأنهدريت يجب أن يضاف ماء إلى النظام الكيميائي والذي يحدد أو يقرر معدل سرعة الانتقال هو مقدار توافر المياه في هذه المناطق. وتبدأ عملية إحلل الجبس محل الأنهدريت على طول مستويات التطبيق والشقوق وفي النهاية يتغير جميع الصخر إلى جبس (Blatt et al., 1980). وهناك ثلاثة عوامل كيميائية تحدد شكل إطار التوازن في نظام  $(\text{CaSO}_4 \cdot \text{H}_2\text{O})$  كبريتات الكالسيوم والماء. وهذه العوامل هي:

١ - درجة الحرارة السائدة.

٢ - نشاط الماء في المنطقة ، وهذا العامل متعلق بتركيز محلول الأجاج (Brine).

٣ - عامل الضغط .

وأفضل ظروف يتكون فيها الأنهيدريت هي درجة عالية من الحرارة وماء أجاج أكثر تركيزاً لأن كلا التغيرين يقودان إلى قيم منخفضة لنشاط الماء . وأفضل ظروف يتكون فيها الجبس هو زيادة في الضغط الاستاتيكي المتمي (Hydrostatic pressure) ، لأن الأنهيدريت والماء يشغلان معاً نطاقاً حجمياً أكبر مما يشغله ما يعادل ذلك من الجبس . وقد أجريت كثير من التجارب المخبرية (Hardie 1938, 1940); Posnjak (1967) والتي أشارت جميعها إلى أن معدن الجبس يكون أصلي التشكل والتكوين تحت معظم ظروف سطح الأرض . ويتكون الأنهيدريت تحت ظروف محددة من الحرارة وتركيز محلول الأجاج في طبقات الصخور تحت سطحية . وقد تظهر بعض صخور الأنهيدريت عند سطح الأرض بدون أن يحل محلها الجبس كما توضحه لنا دورة الجبس والأنهيدريت الموجودة الآن في الطبيعة (شكل ١٥٢) . وتنتج هذه الدورة من ثبات



شكل (١٥٢) . رسم تخطيطي يوضح دورة نشأة الجبس والأنهيدريت . (عن : Blatt et al., 1980)

العلاقة الموجودة في نظام كبريتات الكالسيوم مع الماء (Calcium sulfate-water system) والتتابع الطبيعي في الترسيب - الدفن - الدفع إلى أعلى والحت. ويبدو أن المعدن الأصلي عند وقت التشكيل المبدي يكون الجبس وربما هناك بعض الاستثناءات لهذه القاعدة.

وقد يترسب الجبس إما في أجسام مائية كبيرة راکدة ثم تتبخر لدرجة أن يترسب الجبس، أو في داخل وتحت المناطق القليلة العمق من مسطحات المد والجزر وفي البحيرات السبخية الصحراوية (Desert Playas). ويتكون الجبس في داخل هذه المناطق بالنمو الواسع النطاق وفي صورة بلورات إزاحية في داخل فتاتات مترسبة أو راسب كربونات، وربما بشكل محلي حيث يحل الأنهيدريت محل هذا الجبس تحت ظروف قريبة من السطح. ويجب أن يبقى هذا الأنهيدريت بدون تغيير مع عمق الدفن هذا إذا احتفظ بالمادة في داخل إطار أو حقل ثبات الأنهيدريت. ويتحدد هذا الحقل بدرجة الحرارة السائدة وبنشاط الماء والمحلل المشارك وبالضغط المبذول هنا. ومن المتوقع والأكثر شيوعاً هنا أن يحل الجبس محل الأنهيدريت في داخل الأمتار القليلة الأولى من الدفن. ويستمر الجبس الأصلي (الأولي) والجبس المتشكل قرب السطح بعد الأنهيدريت إلى داخل الطبقات تحت سطحية حتى تنهيا الظروف الملائمة ليحل الأنهيدريت محل الجبس كلية ويعتمد هذا على درجة ملوحة ماء الأجاج (Brines) الموجود في داخل هذه الرواسب، ويعتمد أيضاً على معدل الحرارة الأرضية (Geothermal gradient) وتحدث هذه العملية عند أعماق تتراوح بين ٣٠٠ إلى أعمق من ٣٠٠٠ متر تحت سطح اليابسة. وربما يُدفع بالأنهيدريت إلى سطح الأرض عن طريق حركات دفع أرضية ومن ثم يتعرض لعمليات الحت والتعرية. وخلال هذه المرحلة يكون التكوين المعدني للماء الجوفي أقل ملوحة مما كان عليه أثناء الترسيب ويقل عمق منطقة انتقال الأنهيدريت إلى الجبس (Blatt et al., 1980).

### (ب) صخر الملح

يتشكل صخر ملح الطعام (Rock, salt) أو معدن والهاليت (NaCl) تحت ظروف مماثلة لتلك التي تتكون فيها معادن كبريتات الكالسيوم إلا أنه في حالة الهيليت يتحتم

ضرورة أن يكون حوض الترسيب من البحر هذا بالإضافة إلى أنه يتطلب لتشكيل تتابع رسوبي سميك من صخر ملح الطعام إضافة مستمرة من ماء بحر جديد في حوض الترسيب يصاحبه قلة واضحة في إعادة (Reflux) محلول الأجاج الشديد التركيز إلى البحر ومن ثم يجب أن يكون حوض الترسيب قليل النفاذية إلى مصمت . أو عامة يجب أن يكون مجموع نفاذية أرضية الحوض إلى ما تنفذه أو ما تعيده ثانية إلى البحر من محلول الأجاج في حالة تشكيل الهاليت أقل بكثير منها في حالة حوض ترسيب الجبس . وذلك لأنه لكي يترسب أو يتكون والهاليت يجب أن يتركز ماء البحر إلى حوالي عُشر ( $\frac{1}{10}$ ) من حجمه الأصلي .

وقد وجدت طبقات قديمة من صخر ملح الطعام يصل سمكها إلى حوالي ألف متر ولكن لا توجد في وقتنا الحاضر أجسام مائية راكدة كبيرة يتبخر فيها الماء للحد الذي يترسب عنده الهلليت بهذا السمك الهائل . وربما يصاحب طبقات الملح السمكية طبقات رقيقة السمك من الجبس أو الأنهدريت . وإذا تشكلت هذه الطبقات المستدقة من الجبس والأنهدريت فإنها عامة تكون رمادية فاتمة وهي توضح التطبيق الرسوبي بين طبقات الملح السمكية . وحيث إنَّ كلاً من الجبس والأنهدريت يتشكلان عبر معدل واسع من تركيزات ماء البحر فإنه من الطبيعي أن يتوقع مشاركة وجودهما معاً أو أحدهما مع صخر ملح الطعام ، أو معدن الهلليت . ومن حيث الدراسة البنائية لأجسام الملح المشوهة فإنه يعتمد على كل من أحزمة الجبس والأنهدريت كرواسب زمنية معينة تستخدم في عمل الخرائط المتعلقة بذلك (As mapping horizons) . وتوجد بشكل عام رواسب صخر ملح الطعام كما نوه به السجل الرسوبي ، مشاركة مع الطين الصفحي الأحمر ولكن تتكون مع رواسب الكربونات وحجر الرمل أيضاً .

ويتكون الآن معدن الهلليت تحت ظروف طبيعية في بعض بحيرات السبخة الصحراوية (Desert Playas) كما في أجزاء من الربع الخالي وفي بعض مناطق عمان الواقعة على الخليج العربي ، حيث يتشكل الملح هنا نتيجة حل وإذابة رواسب البحر المبكرة التكوين ومن ثم يزداد التركيز بالتبخير في كل من مناطق التسرب التي تكون عادة مرتفعة عن مستوى منسوب المياه الجوفية ، ويطلق على هذه المناطق مصطلح (Vadose zone) ، وفي البحيرات المؤقتة القليلة العمق . ويتشكل أيضاً الهلليت في



مناطق السبخة كما أخبر عنه (Shearman, 1970). ويكون الملح المتشكل في كلا البيئتين غير نقى نسبياً وذلك بسبب ما يصاحبه من رواسب مواد فتاتية. هذا بالإضافة إلى أنه تتكون طبقات قليلة السمك من الملح في الجزء العلوي من دورات تشكيل الكربونات ورواسب البحر (Blatt et al., 1980).

ولمزيد من التفاصيل المتقدمة عن مستوى هذا المقرر والتي تتحدث عن رواسب البحر، على طالب الدراسات العليا مراجعة كل من:

Pettijohn, (1975); Selley, (1976, 1990, 1994); Blatt et al., (1980); Greensmith, (1981); Blatt, (1992); Raymond, (1995) and Boggs, (1995).

#### ٥ - صخور سليكونية Siliceous Rocks

يعتبر كل من الطَّر (الشَّيرت Chert) والصُّوَّان (Flint) من أعم الرواسب السليكونية الكيميائية النشأة. وفي كثير من الحالات يمثل الطَّر بشكل رئيس الرواسب السليكونية لأنه الأكثر ظهوراً في العمود الجيولوجي. وتشتمل الصخور السليكونية على كل من الصُّوَّان والجاسبر (Jasper) والتفأكوليت (Novaculite) والبورسلينيت (Porcellanite)، وهي أسماء متنوعة تستخدم عامة كمرادفات للطَّر أو تشير إلى أنواع مختلفة من الطَّر. ويرجع الأصل في التسميات المختلفة إلى نوعية الشوائب التي يحتوي صخر الطَّر. فمثلاً يظهر صخر طَّر الجاسبر في معظم الأحيان بلون أحمر لأنه يحتوي على مادة الحديد كما يأخذ صخر طَّر الصُّوَّان لوناً رمادياً إلى أسود لأنه يشتمل على مواد عضوية وهو عبارة عن طَّر عديم التبلور. كما يظهر صخر طَّر التفأكوليت بلون أبيض لبني نقى وذلك نتيجة لاحتوائه على نسبة عالية من ماء عالي التبلور. ويأخذ صخر البورسلينيت بريق الصخر المعتم وهو منخفض الكثافة وله نسج خزفي ولكن غير زجاجي المظهر، ويعود ذلك لاحتوائه على شوائب وحليَّة وكِلْسِيَّة.

ومما سبق شرحه فإننا عندما نتحدث عن الطَّر فإننا في الحقيقة نتحدث عن الصخور السليكونية بشكل عام.

يتكون صخر الطَّر (الشَّيرت) بشكل عام أو كلية من كوارتز دقيق التبلور (Microcrystalline quartz) أو عديم التبلور (Cryptocrystalline). ويُكوِّن معظم الطَّر

تقريباً سليكاً نقية وعادة تشكل معظم الشوائب المتبلورة فيه أقل من عشرة في المائة، وهذه عبارة عن معادن طينية وكلسيت وهيماتيت (مادة حديدية) كما يوجد به ماء عالي التبلور بنسبة أقل من واحد في المائة. وتشمل صخور الظر معدن الكلسيدوني (Chalcedony) وهو أيضاً كوارتز دقيق التبلور ولكن له ميزة نسيجية ليفية شعاعية تظهر تحت المجهر. وتختلف حجوم بلورات الكوارتز في صخور الظر حيث تتراوح بين عُشر الميكرون إلى عشرات الميكرونات، ويمكن تحديد أحجامها تحت المجهر الإلكتروني. ويطلق مصطلح الأوبال (Opal) على السليكا عديمة الشكل والبناء (Amorphous silica)، وتظهر هذه في كثير من صخور الظر. وقد يظهر الظر بشكل سليكا نقية التبلور أو سليكا عديمة الشكل والبناء وتعرف هذه تحت اسم الأوبال النقي. ويحتوي معظم صخر ظر الأوبال على أصداف سليكونية دقيقة من الدياتومات والشعاعيات والإسفنجيات. وتشير هذه إلى أن الأوبال قد تشكل من تبلر سليكا عديمة الشكل وغير ثابتة كيميائياً. ويمتلك الظر خاصية بنية العُقيدات أو العُجَبَرَات (Nodules) المنتشرة التوزيع في كثير من صخور الكربونات (راجع الدرنات في الفصل الخامس) أو قد يشكل طبقات مستقلة موجودة بين طبقات أحجار الجير والطين الصفحي. وقد تكون طبقات الظر غير منتظمة الشكل والتوزيع بين أحجار الجير والعكس صحيح، وفي معظم الحالات تظهر بشكل الطبقات المتموجة والمتقطعة أو متمركزة على امتداد مستويات تطبق معينة أو تكون متصلة فيما بينها في الاتجاه الرأسي عبر طبقات أحجار الجير مشكلة بذلك شبكة سليكونية ذات أبعاد ثلاثة.

وقد يتشكل متكون ما من طبقات الظر حيث تبلغ سماكة طبقات الظر عدة أمتار. وتصنف طبقات صخور الظر إلى ثلاثة أصناف:

١ - الظر المَجْنِي أو الكريتوني (Cratonic cherts) ويتشكل هذا بمصاحبة أحجار الجير والكوارتز الرملي المتكونة أو المترسبة في مياه بحرية قليلة العمق أو على الرصيف البحري المستقر أو الراسخ (Stable shelf).

٢ - ظر الأحواض القَعِيرية العظمى أو الهابطة البحرية والسريعة الترسيب (Geosynclinal cherts) ويتكون هذا الصنف من الصخور السليكونية في بيئات بحرية عميقة وبمصاحبة رواسب الطين الصفحي الأسود السليكوني. وهي على ما يبدو أنها

تشكل من رزغ سليكوني (Siliceous ooze) تفرزه حيوانات الدياتومات والشعاعيات في المياه البحرية العميقة.

٣ - الصنف الثالث من صخور الطر وهي التي تتشكل برفقة رواسب البحر أو رواسب عالية الملوحة وهذه تتشكل في بعض البحيرات القلوية المؤقتة.

وقد يرجع أصل الطر (الشيرت) إلى نشأة كيميائية عضوية أو غير عضوية. أما رواسب الطر غير العضوية المنشأ فهذه تكونت نتيجة ترسيب مباشر للسليكا عديمة البنية المتميئة (Amorphous silica) من مياه بحرية أو بحيرية معينة. ويستدل على ذلك من تشكيل بنات مشوهة ووجود مُمْلَكَات مكانية النشأة في داخل وحدات الطر بينما لا يظهر مثل ذلك في الطر ذي النشأة العضوية، ويعود ذلك إلى عدم إمكانية رواسب السليكا العضوية (الحويية) على التصخر بسرعة. وقد تحدثنا في بداية هذا الفصل عن مصدر السليكا في الصخور السليكونية وخاصة تلك التي صدرت من أصل عضوي (حيواني) راجع ماجاء في نهاية مقدمة هذا الفصل.

ولكثير من التفاصيل المتقدمة والمتعلقة بالطر والرواسب السليكونية راجع: Greensmith, (1981); Friedman and Sanders, (1978); Blatt *et al.*, (1980); Blatt, (1992); Selley, (1990, 1994); Pettijohn, والحمدان (١٩٧٥م)، (1975) Raymond, (1995) and Boggs, (1995).

### ٦ - صخور الفوسفوريت Phosphorites

يتكون صخر الفوسفات Phosphate rock بشكل رئيس من ثلاثة أنواع مختلفة من معدن الأباتيت (Varieties of apatite). وتظهر هذه الأنواع بشكل سلسلة وحيدة التشكل والبنية (Isomorphic series) وهي كالتالي:

١ - فلورأباتيت  $[Ca_5(PO_4)_3F]$  [Fluorapatite].

٢ - كلورأباتيت  $[Ca_5(PO_4)_3Cl]$  [Chlorapatite].

٣ - هيدروكسي أباتيت  $[Ca_5(PO_4)_3OH]$  [Hydroxyapatite].

حيث تتشكل معادن الفوسفات من خليط أيونات مركب الفوسفات  $(PO_4^{3-})$  مع الكالسيوم، والماء، وآثار من الفلوريد واليورانيوم. وأهم هذه الأنواع هو الفلورأباتيت

الذي يكون عادة محتوياً على نسبة تقترب من ١٠٪ من أيونات الكربونات وعندئذ يسمى هذا النوع فرانكوليت [ $\text{Ca}_3(\text{PO}_4)_2(\text{FCO}_3)$ ]. ويشكل هذا النوع مادة الخام الأساسية لكثير من مركبات محتويات الفوسفات والتي تعتمد عليها التنمية والتقنية الحديثة في وقتنا الحاضر.

ولا شك أن بعض أنواع الفوسفات (أو معدن الأباتيت) متوافرة في الصخور النارية إلا أن معظم كميات الفوسفات ذات القيمة الاقتصادية توجد في الصخور الرسوبية وتأخذ طابع مادة الخام الأساسية، وهو النوع الشائع والمسمى فرانكوليت. وتظهر مادة الفوسفات في معظم صخور الفوسفوريت أو رواسب الفوسفات (Phosphorites) كمادة عديمة التشكل والبنية (Cryptocrystalline or amorphous) ويطلق عليها (Collophane). وهي عبارة عن فوسفات الكالسيوم المائية (Hydrous calcium phosphate,  $\text{Ca}_3\text{P}_2\text{O}_8 + \text{H}_2\text{O}$ ). وهو مصطلح شامل يستخدم عند الإشارة إلى مخلوطات غير مؤكدة أنواع مركباتها. وهذا المصطلح شبيه في استعماله بمصطلح ليمونيت (Limonite) حيث تشير إلى خليط من الماء مع مركبات مادة حديدية (Ferric iron compounds).

ويتشكل الفوسفات في الصخور الرسوبية كراسب أرضية (Matrix) وكَعَقِيدَات (Nodules)، وكسريّات (Oolites)، وكعقد أو كُرَيَّات (Pellets) وكمحاريات وأسنان وعظام فوسفاتية. وقد يحل محل أحجار الجير ويأخذ طابع الدبش أو الكتلة (Bulk). وكما هو معروف أن الأسنان والعظام الحديثة تكون غنية عامة بأيونات الأكسجين المتميئة (Hydroxyl ions). ولكن فوسفات الهيدروكسي أباتيت معدن غير ثابت في معظم البيئات الطبيعية إذا ما قورن بفوسفات الفلورا أباتيت الأكثر ثباتاً تحت ظروف مشابهة. فعندما تدفن عظام الحيوانات فإن أيونات الفلور المتوافرة في المياه الجوفية ستحل محل أيونات الأكسجين المتميئة في البنية المتبلورة.

وقد طبق استخدام مصطلح الفوسفوريت (Phosphorite) على الرواسب التي يكون فيها معدن الفوسفات هو المكون الأساسي. كما أن هناك أسماء أخرى مثل صخر الفوسفات وتطبق الفوسفات تستخدم أيضاً عند الإشارة إلى نفس الرواسب. وقد ميز بين الصخور التي هي أصلاً مكونة من مواد فوسفاتية وتلك الصخور التي أصبحت فيما

بعد صخور مفسفنة (Phosphatized rocks). وعلى سبيل المثال: تتغير بعض أحجار الجير إلى صخر فوسفات نتيجة تعرضها لمحاليل غنية بمركب أو أيونات الفوسفات ( $PO_4^{3-}$ ). وهذه العملية شبيهة بتغير أحجار الجير إلى مركب صخر مُسَلِّكَن (Silicified rock) وذلك عندما يتعرض حجر الجير لمياه حاملة لعنصر أو أيونات السليكات ( $SiO_4^{4-}$ ). وقد مُيزَ أيضاً بين الرواسب المحتوية على عَقِيدَات فوسفاتية (Phosphatic nodules) وبين الفوسفات المتطبق. وهذه شبيهة بتمييز عيقدات الظر (أو الشَّيرت) والظَر المتطبق. وهناك أيضاً ما يعرف بالفوسفات المتخلف (Residual phosphate) وهي تشير إلى ما تبقى من المواد الفوسفاتية المتراكمة على سطح الأرض والمتخلفة من محلول أحجار الجير التي كانت مغموسة فيه. وهذه تشبه الظَر المتخلف (Residual chert) والذي يشكل زلط الظر المتبقي (Residual chert gravel) في مكانه نتيجة إعادة ترسيب الأنهار له وتراكمه في هذا المكان. ويتكون الفوسفات الحصى (Pebble phosphates) بالطريقة نفسها. وهناك رواسب التراكم الفوسفاتي والذي نطلق عليه المصطلح «جوانو» (Guano). وهي رواسب غنية بعناصر الفوسفات والنترات (Nitrates) والتي تتشكل من إخراجات (Excrement) طيور البحر وطيور الحفاش. حيث تحل هذه المحاليل الغنية بالفوسفات محل كثير من أحجار الجير الشعابية (Reefal limestones). ويتشكل أيضاً الفوسفات من طبقات العظم (Bone beds)، ويدعى في هذه الحالة فوسفات العظم أو فوسفات عظمي (Bone phosphate). وهي عبارة عن متخلفات عضوية تنتج من تراكم هياكل الفقاريات والتي تتراكم على هيئة طبقة عظام ومن ثم تتحلل ويتشكل منها راسب الفوسفات في نفس المكان. وغالباً ما ينتج هذا النوع من الفوسفات من تراكم المواد العضوية الغنية بالمادة الفوسفاتية، مثل العظام وأسنان سمك مقص البحر وهياكل الأسماك والأحافير الغنية بالفوسفات مثل ثلاثية الفصوص (Trilobites) والمرجانيات (Brachiopoda) ومتبقيات اللنجيولا (Lingula).

ويظهر الفوسفات في صخور رسوية تقريباً من كل الأعمار (من العصر القبل الكامبري إلى عصر الهوليسين) وفي جميع القارات. إلا أنه يندر توافر رواسب الفوسفات في صخور عصر قبل الكامبري وربما يعود ذلك إلى قلة ظهور الحيوانات الحاملة في

هياكلها المادة الفوسفاتية في ذلك العصر. وتكون الفوسفات غالباً برفقة معدن الجلوكونيت (Glauconite). كما تظهر طبقات الفوسفات بشكل شبه دائم برفقة أسطح عدم التوافق (Unconformities). وقد تم استخدام وجود كل من الفوسفات والجلوكونيت في الاستدلال على أسطح عدم التوافق (Grabau 1919, Goldman 1922). ولكن حدد (Pettijohn, 1926) أن هذه المناطق الغنية بالخصى الفوسفاتي (Phosphatic pebbles) كمبتقيات على مستويات أو أسطح متآكلة قد نتجت من تأثير محاليل حدثت تحت سطح البحر. ومن المحتمل أن تكون هذه الأسطح اللاتوافقية المصاحبة لمواد فوسفاتية وجلوكونيت هي أسطح تشكلت تحت سطح البحر وهي عبارة عن أسطح عدم ترسيب عوضاً عن أسطح حت أو إنكشاف.

ولم يتضح بعد أصل نشأة الفوسفات لدى كثير من الباحثين. والسؤال الذي يدور في أذهان الكثير منهم هو هل الفوسفات أولي النشأة وتشكل من ترسيب غير عضوي من مياه البحر أم أنه تكون عن طريق الإحلال (Replacement origin) ؟ والجواب على هذه الأفكار يحتاج إلى تريث وإلى تحليل أبعد بكثير مما لدينا من معلومات عن الفوسفات. فقد وضعت عدة نظريات في هذا الشأن (Pettijohn, 1975) ولكن ليس منها ما هو مؤكد. وكان (Kazakov, 1937) أول من أعطى أهمية لنظرية تكوين الفوسفات عن طريق الترسيب من صعود المياه (Upwelling waters) الغنية بأيونات الفوسفات من أعماق البحر ونبعها في المناطق المتاخمة فوق الأرضفة البحرية القليلة العمق.

ولم يَبْتَ حتى الآن في أمر هذه النظرية لما تحتويه من تفاعلات كيميائية معقدة سواء العضوية منها أو غير العضوية، والتي تأخذ مكانها في أحواض الترسيب في هذه المناطق. وقد ينشأ الفوسفات من التغير المعدني الذاتي (Metasomatism) لكربونات الكالسسيوم ويحل محله معدن الأباتيت ونستدل على ذلك من أن كثيراً من رواسب الفوسفات تحتوي بشكل أصلي على أحافير كلسية ورسوبيات وتأخذ نفس بنيت وأنسجة كثير من أحجار الجير. ولكن من الصعب جداً أن نجزم بأن نقول إن الصخر الفوسفاتي المتشكل بهذه الطريقة قد تشكل كلية عن طريق عملية الإحلال بدلاً من الترسيب المباشر أو نتيجة التراكم الأصلي للمواد الفوسفاتية.

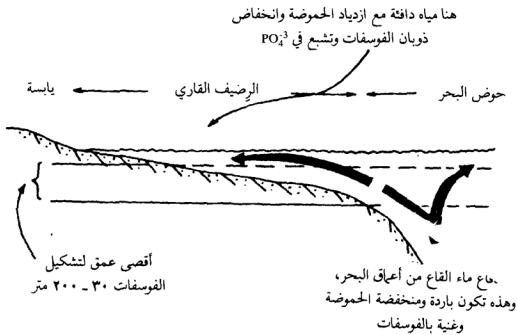
وحيث إن عنصر الفوسفات من المكونات الضرورية لجميع الكائنات الحية من حيوان ونبات فإن معادن الفوسفات تستخدم بشكل كبير كمخصبات زراعية ويعتبر أكبر جسم فوسفاتي مطبق في العالم هو ذلك الحزام الفوسفاتي الممتد من سوريا ماراً عبر صحراء سيناء ومصر حتى المغرب العربي وينتهي في جمهورية موريتانيا. ويوجد الفوسفات في شمال غرب الجزيرة العربية والمعروف بفوسفات طُريف. وقد يوجد الفوسفات متداخلاً مع طبقات من الطر وأحجار الطباشير.

وفي وقتنا الحاضر يتشكل الفوسفات في طبقات بحرية حديثة في داخل الشواطئ الغربية لأمريكا وأفريقيا. وقد أشارت التقارير العلمية إلى أن بعض الفوسفات يتكون عن طريق عمليات النشأة المابعدية والتي يحل الفوسفات محل رزغ الكربونات الدياتومية الغنية بالمواد العضوية. والبعض الآخر يتشكل نتيجة حت أحجار الجير وعن طريق عمليات النشأة المابعدية يحل الفوسفات محل أحجار الجير ويعاد ترسيبه بشكل فوسفات زلطي (Gravel phosphate). وقد نوه بوجود كلا المثالين في جنوب وجنوب غرب الرصيف البحري القاري الأفريقي (Baturin 1970), Tooms et al., (1971), Parker and Siesser (1972).

وعامة تكون مياه البحر العميقة الباردة أكثر تشبعاً بأيونات مركب الفوسفات ( $PO_4^{3-}$ ) من تلك المياه البحرية السطحية الدافئة. حيث يقل ذوبان الفوسفات كلما ازدادت درجة حرارة ومحوضة (pH) ماء البحر. وعندما تحدث هذه التغيرات في مياه البحر يترسب الفوسفات من نبع مياه التيارات البحرية العميقة الباردة فوق الأرضة القارية (Continental shelves) حيث توجد المياه البحرية الدافئة والقليلة العمق. وأهم المناطق في وقتنا الحاضر والتي يترسب فيها الفوسفات بهذه الطريقة هي السواحل الغربية لأمريكا الجنوبية ومعظم سواحل أفريقيا، حيث تتدفق التيارات البحرية الباردة في اتجاه الشمال. وتكون هذه التيارات غنية بالمواد الغذائية بالإضافة إلى أيونات الفوسفات مما يجعل هذه المياه تعمل على ازدهار العوالق النباتية (Phytoplankton)، وهذا يسند تزايد أو عدد الأسماك وتزاحم طيور البحر مما يؤدي إلى تراكم إخراجات هذه الطيور في المنطقة. وتأخذ العوالق النباتية البحرية، الفوسفات من ماء البحر ثم يعود ثانية إلى البحر عندما تموت هذه الأحياء، حيث يستقر الفوسفات مع مواد عضوية

متنوعة على طبقة أرضية البحر. ويتركز الفوسفات أثناء عملية الدموج والإحكام المبكرة للوحل. وبانتظام حركة الغسل والإزاحة (Winnowing) المستمرة تستبعد المواد الخفيفة وتترك خلفها تكوينات الفوسفات الأكثر كثافة وفي شكل عقد طينية فوسفاتية (Phosphatic pellets). ومع استمرار هذه العملية تصبح هذه المنطقة غنية بالفوسفات حتى يتشكل صخر الفوسفات المتطبق أو ما يعرف بالفوسفوريت (Selley, 1976, 1990, 1994)، شكل (١٥٣).

ولزيد من التفاصيل المتقدمة والمتعلقة بهذا الموضوع على طالب الدراسات العليا مراجعة: Pettijohn, (1975); Friedman and Sanders, (1978); Blatt *et al.*, (1980); Blatt, (1992); Selley, (1990, 1994); Raymond, (1995) and Boggs, (1995) و(الحمدان، ١٩٧٥م).



شكل (١٥٣). طريقة تشكل معدن الفوسفات تحت الرصيف البحري. (عن: Selley, 1976)

#### ٧ - صخور الحديد الرسوبية Sedimentary Ironstones

وهي صخور رسوبية غنية بالحديد، ويشار إليها أحياناً بخامات الحديد الرسوبية عندما تكون هذه الصخور محتوية على نسبة تزيد على ١٥٪ حديد (Fe) وتشكل



الصخور الرسوبية الغنية بالحديد أكبر مخزون في العالم لخام الحديد وهذه موجودة في أحزمة متكونات الحديد الطّري أو الصّواني (Cherty iron) من عصر ما قبل الكامبري، حيث تتراوح نسبة الحديد فيها بين ٢٥ إلى ٤٠٪، وغالباً تسمى تاكونيت (Taconite) إذا وجد الحديد في صورة غير مؤكسدة. وإذا كانت نسبة الحديد قليلة في الرواسب وتظهر بصورة أكاسيد الحديدوز فإنه يمكن الإشارة إليها باستخدام المصطلح حديدي (Ferruginous) أو ما نعنيه بالرواسب الحديدية. ويظهر معظم الحديد في رواسب الحديد إما في هيئة أول أكسيد الحديد (FeO) أو ثاني أكسيد الحديد ( $Fe_2O_3$ ) والمعروف باسم هيماتيت (Hematite). وهناك الكثير من سحنات الرواسب المعدنية الحاملة لعنصر الحديد فيها مثل معادن كل من: الكبريتيدات (Sulphides) ومن أهمها معدن كل من البيريت (Pyrite:  $Fe_2S_3$ ) والماركسيت (Marcasite:  $FeS_2$ ) ؛ والأكاسيد (Oxides) ومن أهمها معدن كل من الهيماتيت والمجنيتيت ( $Fe_3O_4$ ) والجوئيت (Goethite:  $HFeO_2$ ) والليمونيت ( $FeO(OH) \cdot nH_2O$ ) والسليكات ومن أهمها معدن الجلوكونيت ( $KMg(Fe,Al)(SiO_3)_6 \cdot 3H_2O$ )، والكاموسيت (Chamosite:  $3(Fe,Mg)O \cdot (Al,Fe)_2O_3 \cdot 2SiO_2 \cdot nH_2O$ )، والجرينوليت (Greenolite:  $FeSiO_3 \cdot nH_2O$ ) ؛ والكربونات ومن أهمها معدن كل من السدرت (Siderite:  $FeCO_3$ ) والآنكرت ( $Ca(Mg,Fe)(CO_3)_2$ ) ؛ والفوسفات المتمثل في معدن الفيفيانيت ( $Fe_3(PO_4)_2 \cdot 8H_2O$ ).

وهناك رواسب أخرى تكون غنية بالحديد مثل: خام حديد المستنقع (Bog iron ore) المتراكم بشكل ضئيل في البحيرات العذبة الصغيرة الموجودة في مرتفعات المناطق القطبية الشمالية. ويتشكل خام حديد المستنقع تحت ظروف معينة ربما نتيجة أنشطة التفاعلات الكيميائية الحيوية أو من خلال نشاط البكتيريا في هذه المياه. وأحجار الحديد الطينية (Clay ironstones) وهي عبارة عن عُقَيّات سدرتية أو كربونات الحديد (Sideritic nodules) ذات أصل نشأة ما بعدية (Diagenetic origin). ورواسب اللاتريت أو ما يعرف بالترية الحمراء (Laterites) وهذه عبارة عن متخلّفات التجوية الغنية بالحديد وهي من فصيلة رواسب البوكسيت (Bauxite) ؛ ورواسب السليكا المشكلة على سطح الأرض أو بالقرب منه في المناطق الصحراوية نتيجة تبخر

مياه التربة وترسيب السليكا وتعرف هذه الرواسب باسم سلكريت (Silcrete).  
لقد لاحظ معظم العلماء المختصون أن هناك مجموعتين رئيسيتين من الصخور  
الغنية بالحديد:

- ١ - متكونات حديد ما قبل الكمبري Precambrian iron formation.
  - ٢ - أحجار الحديد الأصغر عمراً من ذلك وتسمى متكونات حديد ما بعد  
الكامبري أو أحجار حديد الحياة الظاهرة Phanerozoic ironstones.
- وخصائص ومميزات هاتين المجموعتين المذكورة بالتفصيل في بحث العالم (James, 1966)  
ولكن يمكننا تلخيص ذلك كالتالي:

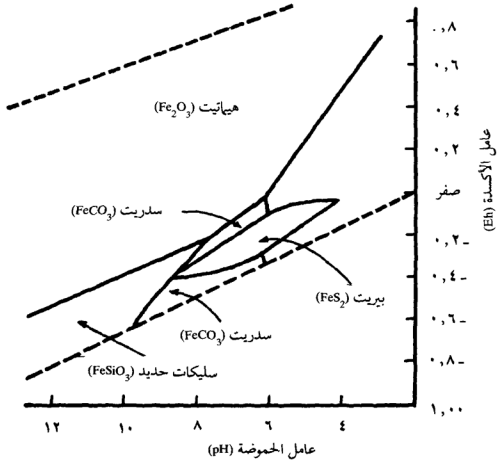
ربما يظهر تكوين الهيماتيت في رواسب ما قبل الكمبري في طبقات متداخلة مع  
الطَّر (الشيرت) بينما في الرواسب الأصغر عمراً (Phanerozoic deposits) يتشكل  
الهيماتيت عن طريق الإحلال محل كل من السرّيات وكِسْرُ الأحافير أو يظهر كراسب  
أرضية (Matrix). وغالباً ما يتشكل الجوتيت عن طريق الإحلال محل السرّيات ويتكون  
السدرّيت كلاحم متبلور (Sparry cement) أو يتكون في هيئة معدن دقيق التبلور أو عن  
طريق الإحلال محل معدن الكاموسيت أو محل متكونات أحجار الجير بأنواعها (من  
سرّيات وجسيمات كلسية وراسب أرضية ولاحم). وقد يتشكل السدرّيت في هيئة  
درنات (Concretions) أو يظهر بشكل طبقات نحيلة (Layers). ويشار إلى كلا النوعين  
من صخر السدرّيت بأحجار الحديد الطينية (Clay ironstones). وبشكل شائع يظهر  
معدن سليكا الحديد (المعروف باسم الكاموسيت) في أحجار الحديد الأصغر عمراً من  
قبل الكمبري (Phanerozoic age)، وغالباً ما يوجد بشكل حجر طين الكاموسيت أو  
كسرّيات أو بنسبة أقل شيوعاً كقشور متناثرة في راسب أرضية رواسب السرّيات. وتمتاز  
صخور متكونات حديد ما قبل الكمبري باحتوائها على نسبة كبيرة من معدن الجرينوليت  
(Greenolite) حيث يظهر هذا المعدن كحبيبات صغيرة قائمة الإخضرار  
(Friedman and Sanders, 1978).

وبما أنه ليس الهدف هنا شرح تفاصيل كلا المجموعتين في هذا الكتاب لذا نكتفي  
بذكر بعض المراجع التي تعطي تفاصيل أبعد مما أوجزناه سابقاً وذلك لكي يستفاد منها  
عند الحاجة، (Gross, 1972); (Goodwin, 1973); (Unesco, 1973); (Goudarzi, 1971).

. Trendall, (1968); Hallam, (1963); Taylor, (1949) and Selley, (1990, 1994)

ومن أهم العوامل البيئية التي تتحكم في تشكيل السحنات الحاملة لمعادن الحديد المختلفة، نوجز ما يلي:

يعتبر كلاً من عامل الحموضة (pH) وعامل الأكسدة (Eh) من أهم عوامل البيئة التي تتحكم في تشكيل السحنات الحاملة لمعادن الحديد المختلفة، James (1966) Curtis and Spears (1968). ويوضح الشكل (١٥٤) الوضع العام للعلاقة الثابتة بين تشكيل بعض معادن الحديد المختلفة. ونلاحظ من الشكل (١٥٤) أن عامل الأكسدة (Eh) أهم من عامل الحموضة (pH) في تحديد ترسيب أي معدن من معادن الحديد.



شكل (١٥٤). المجالات الثابتة لمعادن الحديد والعلاقة بين عاملي الحموضة والأكسدة عند درجة

حرارة ٢٥°م وضغط جوي واحد مع وجود الماء. (عن: Greensmith, 1981)

فمثلاً يترسب معدن الهيماتيت ( $\text{Fe}_2\text{O}_3$ ) ويكون أعظم ثباتاً تحت ظروف أكسدة موجبة ( $\text{+Eh}$ ) بينما يتشكل معدن السدرت ( $\text{FeCO}_3$ ) تحت ظروف اختزال معتدلة إلى سالبة ( $\text{-Eh}$ ).

وتتشكل معادن الحديد في وقتنا الحاضر في بيئات متعددة:

- ١ - في مسطحات المد والجزر وفي مستنقعات البحيرات العذبة.
  - ٢ - على الأرصفة القارية البحرية في المناطق ذات المناخ الرطب.
  - ٣ - في قيعان البحار العميقة والتي تسودها أنشطة محدودة (Restricted circulation) مثل البحار المغلقة (Fjords) والبحر الأسود.
- ولقد أجريت كثير من الدراسات لمعرفة تشكيل معدن البيريت (Pyrite) في الأوحال، وقد لخصها العالم (Berner, 1970) كما يلي: يأتي الكبريت (Sulphur) الذي يحتويه معدن البيريت الموجود في الأوحال الحديثة من مصدرين:
- ١ - من المواد العضوية.

٢ - من الكبريتات الذائبة في مياه البحر.

وإذا نظرنا إلى المواد العضوية فإنها تشكل ما يقرب من ١٠٪ لبعض الأوحال البحرية الحديثة، وتحتوي هذه المواد الكربونية (Carbonaceous material) على ١٪ فقط كبريت، ومع هذا تحتوي الأوحال بشكل متتابع على أكثر من ١٪ بيريت. ونستنتج من هذا أنه يجب أن يكون للكبريت مصدر آخر بالإضافة إلى المصادر السابقة. وهذا المصدر هو الاختزال البكتيري (Bacterial reduction) للكبريت المذاب في ماء البحر، وأستدل على هذا من تحليل دراسة نظائر الكبريت (Sulphur isotope studies) والتي أشارت إلى تحرر الكبريت من ماء البحر المغطى للرواسب واحتواء هذه الرواسب له بشكل متتابع. وأنها يظهر كبريتيد الهيدروجين ( $\text{H}_2\text{S}$ ) مذاباً فإن معدن البيريت يأخذ شكل مركبات التشكيلة الحركية الحرارية الثابتة للحديد حيث لا يتشكل معدن البيريت مباشرة. وتظهر مركبات الحديد الأولى بلون أسود، وبشكل شوائب دقيقة من حديد الكبريتيدات الأحادية (Iron monosulphides). وتعطي هذه كثيراً من اللون الأسود المتوافر عامة وبشكل مباشر تحت أسطح رواسب كل من مسطحات المد والجزر والبحيرات الغنية بالمواد العضوية وأحواض المياه الراكدة. وتتغير هذه المركبات ذاتياً إلى

معدن بيريت على بعد عدة سنتيمترات تحت سطح التقاء الراسب مع الماء. وقد أبرز العالم (Berner, 1970) بعض الإثباتات التي تشير إلى أن تشكل معدن البيريت يتم بشكل رئيسي عن طريق تفاعل الكبريتات الأحادية مع عنصر الكبريت الناتج من أكسدة كبريتيد الهيدروجين غير العضوية أو من خلال نشاط البكتيريا المؤكسدة للكبريت. وإذا كانت المياه القاعية البحرية محتوية على أكسجين مذاب فإنه يتشكل عنصر الكبريت نتيجة تفاعل كبريت الحديد ( $\text{FeS}$ ) وكبريتيد الهيدروجين ( $\text{H}_2\text{S}$ ) مع الأكسجين المذاب والممزوج (Stirred) مع الراسب نتيجة أنشطة العواصف والتيارات والديدان المسلكية، (Blatt et al., 1980).

وأكثر معادن السليكا الحديدية شيوعاً معدن الكاموسيت المتوافر في أحجار حديد ما بعد الكمبري (Phanerozoic ironstones) والذي يصل نسبة تواجده في بعض المناطق إلى حوالي ٦٠٪ من رواسب المياه القليلة العمق. ويتشكل هذا المعدن بشكل عُقيدات وفي داخل متخلفات الأحياء، ويظهر عامة في مياه يصل عمقها إلى أقل من ٦٠ متراً ويتشكل في هذه الأماكن نفسها معدن الجلوكونيت ولكن تحت مياه عميقة وباردة. كما يتشكل الجلوكونيت الغني بمعدن الحديد في مياه يتراوح عمقها من ٣٠ إلى ٢٠٠٠ متر وهو من المكونات الضئيلة في الرواسب البحرية الحديثة. كما يتكون معدن الجلوكونيت كحشوات فراغية غير منتظمة، وكراسب غطائي (Crusts)، وكراسب إحلال، وكحشوات قنوية في أصداف الكربونات.

وهناك الرواسب الغنية بالحديد القديمة ولكن ليس لها الآن قيمة اقتصادية وهي متمثلة في أحجار حديد كل من الأحزمة السوداء (Black bands) والأحزمة الطينية (Clay bands). وهذه عبارة عن رواسب دقيقة من عُقيدات السدرت أو طبقات عُقيدية (Nodular beds) نحيلة وموجودة في الأطيان الصفائحية. وتتشكل عُقيدات السدرت في الأطيان الصفائحية البحرية وغير البحرية وقد يتشكل معها معدن البيريت. وربما يعود تكوين هذه العُقيدات إلى حركة الحديد ذي النشأة المابعدية (Diagenetic mobilization of iron) تحت ظروف اختزال ذات نشأة مابعدية (Reducing diagenetic conditions) حدثت في أطيان غنية بالمواد العضوية.

وتتشكل خامات حديد المستنقع (Bog iron ores) من هجرة المياه الجوفية

الحمضية والغنية بالمواد العضوية والتي تستقر في كثير من البحيرات والمستنقعات الموجودة في الأقاليم الجليدية. ويتم ترسيب الحديد عندما تنتقل مياه هذه المستنقعات أو التربة العضوية إلى بيئة أقل حموضة وأكثر أكسدة. وتتكون خامات حديد البحيرات من سرنثيات وحببيات حديدية بازلية (Pisolitic grains)، أي في حجم حبات البازلا، ملتصقة مع بعضها ومشكلة أقراص حديد كبيرة الحجم، يصل قطرها إلى واحد قدم. وتتشكل هذه الأقراص عامة في مياه ذات عمق بسيط (يصل إلى متر أو أكثر بقليل) عند أطراف البحيرات.

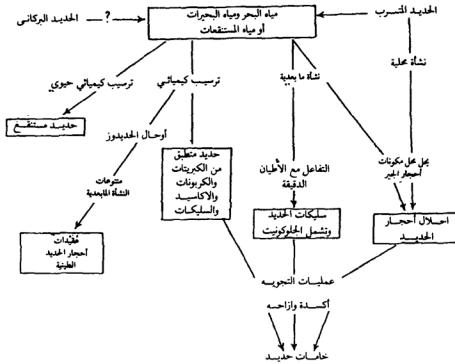
ويشكل خام المستنقع طبقات نحيلة أو رقيقة (Thin layers) من أكاسيد تربة الحديد (Earthy iron oxides) عند سطح المستنقع العضوي وتحت سطحه بقليل. ويظهر أن كلاً من خام حديد البحيرات وخام حديد المستنقع يتشكلان نتيجة هجرة المياه الجوفية الحمضية والغنية بالمواد العضوية، ودخول هذه المياه في بيئة أقل حموضة وأكثر أكسدة مما يؤدي إلى ترسيب حديد الحديدوز (Ferric iron)، (Blatt *et al.*, 1980).

وقد تلخص (Pettijohn, 1975) في الشكل (١٥٥) المصادر المحتملة للحديد الذي يتشكل في الرواسب كما يوضح الشكل نفسه الطرق المتعددة التي تؤدي إلى تشكيل الحديد في كثير من الطبقات الرسوبية وكيفية تكوين خامات الحديد أيضاً. وأهم مصادر خامات الحديد في المملكة العربية السعودية موجودة في متكون الشميسي الواقع بين مدينتي مكة المكرمة وجدة. ويظهر بشكل سرنثيات حديد بنسبة ٤٥ - ٥٠٪ مع مكونات طينية وغيرها.

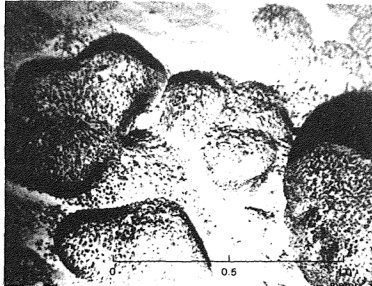
ولمزيد من التفاصيل المتقدمة عن هذا الموضوع، على طالب الدراسات العليا مراجعة: (Selley, (1990, 1994); Blatt, (1992); Raymond, (1995) and Boggs, (1995).

#### ٨ - عُقَيْدَات المنجنيز Manganese Nodules

عرفت عُقَيْدَات المنجنيز منذ عشرات السنين وهي عبارة عن رواسب كيميائية غير عادية. وتظهر عُقَيْدَات المنجنيز كدرنات بحرية عميقة أو بحيرية (شكل ١٥٦). وتتكون من أكاسيد كل من المنجنيز (Mn) والحديد (Fe) وأكاسيد متميئة (Hydrated oxides) مختلطة مع مواد فتاتية ومعادن أخرى جديدة التشكل مثل أكاسيد التيتانيوم



شكل (١٥٥). مصدر الحديد في الصخور الرسوبية. (عن : Pettijohn, 1975)



شكل (١٥٦). ربما تكثر عُقَيْدَات المنجنيز على أرضية البحار حيث يكون الإرساب الأرضي محدودًا. (عن : Montgomery, 1993)

والباريت (Barite) والنترونيت (Nontronite) والكوارتز والأوبال. ويتشكل الحديد مع المنجنيز في هيئة الجوثيت (Goethite) بينما يتشكل المنجنيز رباعي التكافؤ ويأخذ البنية الأيونية (Tetavalent state). كما تحتوي عُقَيْدَات المنجنيز على مجموعة من الفلزات الثقيلة (بنسبة ١ - ٢٪) مثل النحاس (Cu) والكوبلت (Co) والنيكل (Ni). وربما تعود مصاحبة هذه العناصر لأكاسيد المنجنيز إلى رداءة تبلور معادن عُقَيْدَات المنجنيز. وتظهر عُقَيْدَات المنجنيز في هيئة بُنْيَات طبقية متحدة المركز (Concentric layered structures)، وموزعة الانتشار (غير متصلة) في أحجار الجير ولها مقاسات أقطار متنوعة (من أحجام دقيقة مجهرية إلى حوالي متر قطري أو أكبر من ذلك). وفي معظم الأحيان تكون أشكال عُقَيْدَات المنجنيز كروية إلا أن الأحجام الكبيرة منها تكون مسطحة وبشكل ألواح (Slabs). كما تشبه بُنْيَات عُقَيْدَات المنجنيز إلى حد كبير بُنْيَات عُقَيْدَات الفوسفوريت (Phospherite nodules). وتأخذ أحزمة (Bands) معادن المنجنيز المتمركزة مكانها حول جسيمات فتاتية كَبَسَر الصخر البركاني وحببيات الكوارتز والفلسبار أو حتى أغلفة عضوية (Organic tests). وتعمل هذه الجسيمات بمشابة النواة التي تتكون حولها طبقات معدن المنجنيز أو عُقَيْدَات المنجنيز.

ويعتقد أن هناك مصدرين على الأقل للمنجنيز والحديد الموجودان في هذه العُقَيْدَات:

١ - تعود كثير من عُقَيْدَات المنجنيز البحرية إلى أنها ناتجة من تحلل الحطام البركاني البحري (Decomposition of submarine volcanic debris). وقد استنتجت هذه الفكرة من نتائج العالم (Lyle, 1976) التي تنص على أن المصدر الرئيسي للمنجنيز الذي تتشكل منه عُقَيْدَات المنجنيز البحرية يأتي من المنجنيز الحرماثي (Hydrothermal manganese) والمنبعث من مراكز اتساع أرضية المحيطات (Oceanic spreading centers).

٢ - يأتي أو يترسب المنجنيز من ماء البحر عن طريق اختلاف عملية التأكسد (من  $Mn^{2+}$  إلى  $Mn^{4+}$ ) وغالباً ما ياصطحب معه معادن حديدية رديئة التبلور أو عديمة التشكل. كما أشار (Glasby, 1973) إلى أن تباعد أرضية البحار لا تعطي فقط المنجنيز بل تتحكم أيضاً في تحديد الحجم النهائي لِعُقَيْدَات المنجنيز.

كما أن النشاط البركاني المصاحب لتراكم عُقَيْدَات المنجنيز في المياه العذبة قليل



وهذا يتطلب البحث عن ميكانيكية أخرى يجلب منها عنصر المنجنيز. وهناك مصدران يمكن أن يكون لهما علاقة وطيدة في إمداد عنصر المنجنيز الذي تتشكل منه عُقَيْدَات المنجنيز في البحيرات:

١ - مياه البحيرة القريبة من أرضية القاع.

٢ - المياه الموجودة في مسامات راسب الأرضية.

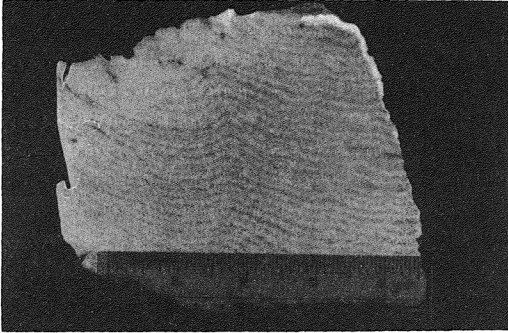
ويعتقد أن مصادر عناصر الحديد والمنجنيز المتشكلة منه عُقَيْدَات المنجنيز في البحيرات، قد نتجت من صخور نارية ومتحولة قارية ونقلت إلى البحيرات عن طريق مياه الأنهار. وقد تنتقل العناصر في اتجاه أسفل التيار إلى البحيرات وبشكل أساسي كمركبات عضوية تستقر في أرضية البحيرات ومن ثم تتأكسد وتطلق العناصر المنقولة مثل الحديد والمنجنيز. . . إلخ. ويتبع ذلك حدوث توازن بين الحديد والمنجنيز الذائب ومركبات هيدروكسيد الأكسجين (Oxyhydroxide) غير الذائبة. وبشكل سريع تحدث نشأة ما بعدية للفلزات المنقولة في الرواسب الناعمة الحبيبات المتراكمة وينتج عن ذلك تركيز قوي للمحتويات بين الراسب الأعمق، وهو المنخفض في عاملي الحموضة (pH) والأكسدة (Eh)، والراسب السطحي، وهو المرتفع في عاملي الأكسدة والحموضة. وينتشر إلى أعلى توزيع المنجنيز في مياه القاع الذي تتشكل منه عُقَيْدَات المنجنيز (Blatt et al., 1980).

وبشكل ختامي تظهر عُقَيْدَات المنجنيز في الرواسب البحرية وفي بعض رواسب البحيرات. وربما تتشكل عُقَيْدَات المنجنيز في أرضية البحار من أصل نشأة مزدوج. فقد يتشكل البعض من عمليات البكتيريا والبعض الآخر من تفاعل ماء البحر مع نواتج البراكين البحرية. ويحتمل ترسب المنجنيز ذي الأصل البركاني من خلال عمليات تأكسد  $Mn^{2+}$  إلى  $Mn^{4+}$ ، وفي هذه الحالة يجب أن يكون ماء البحر غني بالأكسجين. بينما يتم تشكيل المنجنيز في البحيرات تحت ظروف أكسدة سائدة مع معدل ترسب منخفض فتترسب أكاسيد الحديد والمنجنيز حول نواة من الجسيمات الفتاتية كالعقد الطينية والخلايا الجرثومية النباتية (Plant spores) أو بقايا عضوية أخرى. وعندما تصبح مياه المسامات غنية بالمنجنيز وبعد تأكسد الحديد المصاحب ترسب عُقَيْدَات المنجنيز. وتعمل تيارات قاع البحيرة على بقاء العُقَيْدَات مكشوفة وعلى إيصال المنجنيز والحديد

إلى المياه الغنية بالأكسجين، (Friedman and Sanders, 1978). راجع أيضًا:  
Selley, (1990, 1994) and Boggs, (1995).

#### ٩- صخر الأستروماتوليت Stromatolites

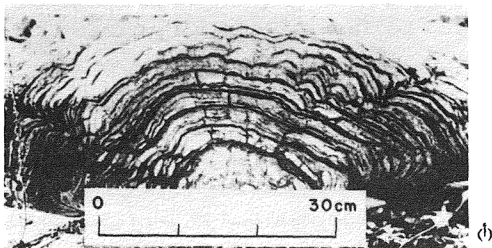
تشكل رواسب الأستروماتوليت من رقائق صخرية أو طبقات (Layers) نحيلة السمك متعاقبة وهي من إفرازات أنواع معينة لبعض الأحياء الطحلبية الدقيقة وجسيمات رسوبية دقيقة نشأت خارج حوض الترسيب والتحمت بهذه الإفرازات مكونة ما يعرف بصخر الأستروماتوليت (شكل ١٥٧).



شكل (١٥٧). عينة أستروماتوليت من متكون الحنيفة من عصر الجوراسي الأعلى، منطقة ديراب جنوب غرب مدينة الرياض، المملكة العربية السعودية. (تصوير: مشرف).

وتتراكم هذه الرواسب في مياه بحرية ضحلة أو قليلة العمق، مثل مسطحات الجزر والبرك الشاطئية (Intertidal flats & lagoons) نتيجة اصطياد (Trapping) جسيمات الأوحال الجيرية الدقيقة والتصاقها بالمادة العضوية اللزجة التي تفرزها الطحالب

الخضراء / الزرقاء مشكلة فرشات أو أغطية (Mats) رقيقة. وتنمو هذه الرقائق (Laminae) بشكل متعاقب مكونة أشكالاً متعددة تشبه إلى حد كبير بنية رؤوس الكرنب (شكل ١٥٨). وقد يعود أصل نشأة بعض الأستروماتوليت إلى ترسيب كربونات



شكل (١٥٨). بنية صخور الأستروماتوليت:

(أ) قطاع جانبي لأستروماتوليت طحلبي وتظهر فيه الرقائق القلبية التي تعرف

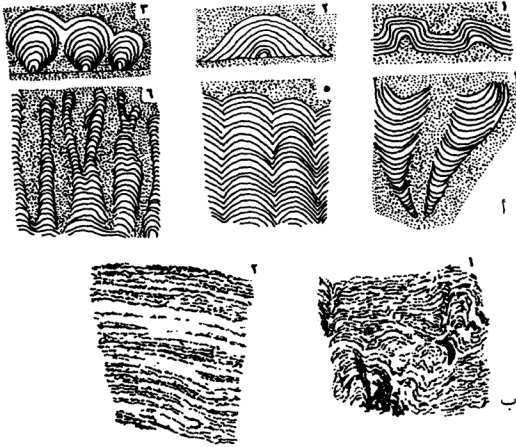
ببنية رأس الكرنب. (عن : Friedman and Sanders, 1978)

(ب) حجر جير أستروماتوليقي. (عن : Pettijohn, 1975)

الكالسيوم في داخل القُرُشَات أو الأغطية الطحلبية (Friedman and Sanders, 1978) . ويشكل راسب كربونات الكالسيوم الدقيق المكوّن الرئيس الذي يتكوّن منه صخر الأستروماتوليت بالإضافة إلى كميات ضئيلة من جسيمات دقيقة أخرى . ويعود تكوين صخر الأستروماتوليت منذ عصر ما قبل الكامبري حتى البيئات الحديثة حيث ترسب رواسب الكربونات ويشيع تكوين الأستروماتوليت في أجزاء متعددة من العالم حيث توجد تتابعات سمكية من صخر الكربونات .

وترسب القُرُش أو الحصاصير الطحلبية (Algal mats) في برك بحرية عالية الملوحة يرافق ذلك ترسيب جسيمات الكربونات ، وأحسن مثال على ذلك في وقتنا الحاضر هو ما يحدث في البرك الشاطئية الواقعة على امتداد ساحل البحر الأحمر . ويظهر مقطع الجسم الكلي لصخر الأستروماتوليت من مادة طحلبية دقيقة الترقق . ويتشكل العديد من هذه الرقائق الطحلبية في داخل رقائق أنسجة الطحالب الطرية . ويتداخل مع مادة هذه الرقائق العضوية وبشكل متبادل رقائق مفردة ، وذات سماكة تقاس بالمليمترات ومكونة من كربونات الكالسيوم المتصلب . ويوجد بداخل هذه الرقائق الورقية من معادن الكربونات كل من معدني الأراجونيت والكلسيت الغني بالمغنسيوم إلا أن الأخير هو الأكثر شيوعاً . وترسب طحالب البرك العالية التشعب بالأملاح بالإضافة إلى الرقائق المتصلبة كلاً من السريات (Ooids) وكريات الطحالب (Oncolites) وأحجار العنب (Grapstones) ، (Friedman and Sanders, 1978) .

وقد أوضح (Davies, 1968) أن الأستروماتوليت الطحلبية تتكون بشكل عام من مادة جيرية أو كلسية (Calcareous) ونادراً ما تكون غير ذلك . وتتسوّع بنية الأستروماتوليت من رقائق منبسطة مسطحة (وتحتاج هذه إلى فحص دقيق لتمييزها عن بنية الرقائق الرسوبية العادية) إلى متحلبة ذات أشكال وأحجام مختلفة . وقد تُشكّل الأستروماتوليت بنيات عمودية وأشكال متفرعة ثابتة أو تكون طليقة التدحرج مشكلة ما يسمى بالكريات الطحلبية (Oncolites) وهذه عبارة عن أجسام متركزة البنية وتشبه بشكل عام الدرنات (Concretions) . ويوضح (شكل ١٥٩) الأشكال المتنوعة التي تظهر بها بنيات الأستروماتوليت (Pettijohn, 1975) وتظهر بعض البنيات الطحلبية نمواً غير متجانس حيث تكون رؤوس الأستروماتوليت بيضية (Elliptical) الشكل بدلاً من



شكل (١٥٩). أ - أشكال متعددة لبنيات الأستروماتوليت.  
ب - نوعان من التطبيق الأستروماتوليتي في أحجار الجير.  
(عن: Pettijohn, 1975)

دائرية، وتكون الاستطالة موازية لنظام التيار السائد (Hoffman, 1967). وقد تأخذ بعض أشكال الأستروماتوليت المعقدة أحجاماً كبيرة، حيث يصل ارتفاع أعمدة الأستروماتوليت إلى عدة أمتار. ويعود هذا النوع من الأستروماتوليت إلى النمو المتزايد (أو المتصاعد) في البنية أثناء عملية الترسيب. وقد وصف (Hoffman, 1969) صخور طحلبية من الأستروماتوليت التي يصل سمكها إلى ١٨ متراً واتساع مساحتها إلى ٦٠ متراً مربعاً وهذه موجودة بين أحجار جير يعود عمرها إلى زمن ما قبل الكامبري.

وتختلف العلاقة الموجودة بين رأس الأستروماتوليت الواحد إلى الآخر وبين هذه الرؤوس والرواسب المحيط بهم. حيث يمكن في بعض الحالات أن تتبع الرقائق

الداخلية لجسم الأستروماتوليت خلال الصخر المضيف (Host rock) ويظهر الرأس متصلاً بعمود الأستروماتوليت المجاور. ولكن في حالات أخرى لا يوجد هناك ارتباط بين رؤوس الأستروماتوليت. وتتكون مادة الأستروماتوليت من كربونات رملية متفتتة ومتكسرة. ويندر وجود رؤوس الأستروماتوليت على هيئة متصلة. وبصورة عامة تتشكل رؤوس الأستروماتوليت بشكل متقارب ومتراصة سوياً في طبقة واحدة يشار إليها عندئذ على أنها طبقة أستروماتوليت. وتشير الملاحظات الجيولوجية لكل من الأستروماتوليت المتشكلة في البيئات القديمة والحديثة على أنها تكونت في مياه بحرية قليلة العمق. وقد دلت التعدادات الموجودة في الرفائق الطحلبية على أنها تشكلت بسبب فترات الجفاف التي تعرضت لها مناطق تكوين هذه البيئات الطحلبية والتي هي في كثير من الأحيان متمثلة في مناطق يكون فيها عمق الماء ضئيلاً جداً. وأحسن مثال على ذلك مناطق مسطحات الجُزُر (Intertidal zone). ويبدو أن الطحالب البانية للأستروماتوليت غير مقيدة بدرجة حرارة ولا بدرجة ملوحة معينة للمياه المتكونة فيها. كما يشير وجود أحجار الجير المتشققة والسرثيات والرواهص ذات الحصى المسطحة مع الأستروماتوليت على توفر بيئات مياه بحرية قليلة العمق.

ولمزيد من المعلومات عن الأستروماتوليت راجع:

Selley, (1976, 1990, 1994); Blatt, (1992); Boggs, (1995) and Raymond, (1995).

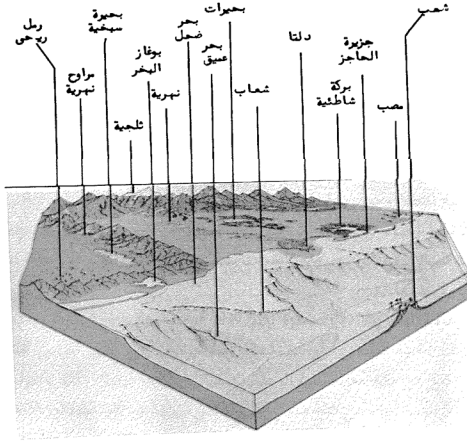
وأثبتت خاصية عدم التجانس المتميزة بها بعض الأستروماتوليت على أنها مؤشر مفيد لمعرفة التيار القديم السائد في منطقة ترسيب هذه البيئات الطحلبية. كما أثبتت تحديات رفائق الأستروماتوليت على أنها خاصية يمكن الاستفادة منها في تحديد نظام تعاقب التطبق الطبقي في الاتجاه العمودي ومعرفة الطبقات المقلوبة في حال كون السطح المحذب للأستروماتوليت مقلوباً.

وللمزيد من التفاصيل المتقدمة والمتعلقة بصخر الأستروماتوليت على طالب

الدراسات العليا مراجعة:

Bathurst, (1975); Friedman and Sanders, (1978); Blatt *et al.*, (1980); Greensmith, (1981); Conybeare and Crook, (1982); Blatt, (1992); Selley, (1994) and Boggs, (1995).

## الفصل الثامن



(عن : Hamblin and Howard, 1980)

### السفحات والبيئات الرسوبية

- مقدمة ● معاملات السحنة الرسوبية
- الدورات الترسيبية والتتابع الترسيبي
- تصنيف البيئات الترسيبية ● وصف البيئات
- الرسوبية ● البيئات القارية ● البيئات الانتقالية
- البيئات البحرية .





## مقدمة

يقصد بالبيئة الرسوبية (Sedimentary environment) ، هو ذلك الجزء من سطح الأرض الذي يمكن تمييزه عن الأجزاء المجاورة بناءً على الاختلافات في مجموع ظروف المتغيرات الطبيعية والكيميائية والحيوية (العضوية) التي ترسب تحتها الراسب ويتأثر بها، حيث إن هناك علاقة وطيدة بين بيئة الترسيب وطبيعة الراسب المترسب فيها. ومن ثم يمكننا القول إن خواص الرواسب المترسبة في بيئة ما، تحدده بشكل كبير ظروف تلك البيئة المتمثلة في متغيرات (Parameters) العملية الثلاث الموضحة آنفاً.

ويدخل ضمن نطاق هذه المتغيرات كل من كائنات البيئة الحيوانية والنباتية وجيولوجية المنطقة وجيومورفولوجية المنطقة ومناخ وطقس المنطقة، وفي حالة الرواسب التحت مائية أيضاً، تشمل كلاً من عمق الماء ودرجة حرارته، ودرجة ملوحته، ونظام التيارات السائدة فيه. وترتبط هذه المتغيرات ببعضها حتى أن أي تغيير في أحدها يتج عنه تغيير في بقيتها.

وعرف العالم (Moore 1949, and Teichert 1958a) مصطلح السَّحْنَة (Facies) بأنها ذلك الجزء الصخري لوحدة طبقية (استراتجرافية) والتي تظهر خواص تختلف بشكل كبير عن بقية أجزاء تلك الوحدة الطبقية. ويمكننا إيضاح ذلك بالقول إن السَّحْنَة الرسوبية عبارة عن كتلة صخر رسوبي يمكن تمييزها عن بقية الصخور الأخرى داخل الوحدة الطبقية الواحدة بناءً على أبعادها الحجمية (Geometry)، ونوعية كل من الصخر والبنيات الرسوبية المرافقة، ومنهاج التيار القديم والأحافير المتوافرة فيها. وطبقاً لهذا التعريف تكون السَّحْنَة الرسوبية محددة باتساع مساحتها جغرافياً وطبقياً ومع ذلك، ربما تظهر السَّحْنَة نفسها متكررة عند عدة مستويات داخل نفس الوحدة الطبقية.

وحيث إن دراسة البنيات الرسوبية تستلزم معرفة عاملين رئيسيين هما:

- ١ - العمليات الفيزيائية والكيميائية والحيوية التي تحدث (حدثت) في البيئة.
  - ٢ - نوعية الرواسب الرسوبية التي تشكلت في هذه البيئة أو تحت هذه الظروف.
- وبالمثل فإن الرواسب الرسوبية تتطلب معرفة شيئين مهمين هما:
- (أ) حجم وشكل واتساع مساحة جسم الراسب (السَّحْنَة).

(ب) معرفة كل من التكوين المعدني، والنسيج الصخري والبنيات الرسوبية الموجودة في هذا الراسب الرسوبي يضاف إلى ذلك معرفة التغيرات التي تطرأ على هذه السُحُن الرسوبية.

وتقع أهمية تمييز العديد من السُحُنات الرسوبية المختلفة وتحليل هذه السُحُن في تكون القاعدة الأساسية للتفسير البيئي للوحدات الطباقية المتنوعة. لذا عند تعريف أو إظهار الاختلافات بين السُحُنات نستبعد كلاً من خاصية الانفصام (Cleavage)، والفواصل (Jointing).

وقد تكون البيئة الرسوبية عبارة عن موقع حث (تعرية) أو مكان عدم ترسيب (وهو المعروف بمنطقة التوازن (Equilibrium)).

وتعتبر المناطق القارية والمتكونة من المناطق الجبلية في العالم، بمثابة بيئات رسوبية تسودها عمليات الحث (Erosion) بشكل كبير وتقل أو تنعدم فيها عمليات الترسيب (Deposition)، وعدم الترسيب (Non deposition). ففي مثل هذه الأماكن، والمعروفة ببيئات الحث، غالباً ما تكون التجوية واسعة النطاق وتتبعها عمليات حث سريعة. وقد تحدث عمليات ترسيب محلية ومحدودة وهذه متمثلة في عمليات كل من تدفق الوحل والمثلج والفيضانات. وحيث إن عمليات الحث متجددة باستمرار في هذه المناطق، لذا تكون هذه الرواسب مؤقتة وليس هناك الوقت الكافي لتشكيل التربة على الطبقة الصخرية. كما توجد بيئات الحث الرسوبية على واجهة الجدران الجبلية المواجهة للسواحل البحرية وتوجد أيضاً تحت البحر في الأخاديد البحرية (Submarine canyons) وعلى الأرض القارية التي تسودها التيارات البحرية. إلا أنه في هذه المواقع الشاطئية والبحرية تفوق نواتج الترسيب على عمليات الحث، مما يجعلنا نطلق عليها بيئات ترسيب بدلاً من مناطق حث أو تعرية. ونستدل على ذلك من أن حوالي ٩٠٪ من الغطاء الرسوبي في العالم تشكل أو ترسب في بيئات مائية. وأن حوالي ٦٠٪ من هذا الحجم الكلي يتكون من رواسب بحرية ورواسب شاطئية (Selley, 1976, 1994). ومن ثم يمكننا القول إن بيئات الترسيب الرسوبية تصبح سائدة بشكل كبير في المناطق التحت مائية.

ويجب أن يضاف تصنيف ثالث إلى بيئات كل من الحث والترسيب والذي

يمكن أن نطلق عليه مصطلح البيئات الرسوبية المتوازنة أو المتعادلة (Sedimentary environment of equilibrium) وهذه متمثلة في أسطح الأرض سواء على اليابسة أو تحت ماء البحر والتي تظل لفترات زمنية طويلة ثابتة وليست هي بمواقع حت، كما أنها ليست بمواقع ترسيب. ونتيجة لهذا الثبات (Stability) فإن هذه البيئات غالباً ما تتعرض طبقاتها الباطنية (Substrata) إلى تغيرات كيميائية قوية. وتُمثل مناطق البيئات المتوازنة على اليابسة بالمناطق المستوية والمسطحة (Peneplanes) من أواسط القارات، وحيث إن هذه المناطق تكون مكشوفة بشكل مستمر وعبر ملايين السنين فإن عمليات التجوية تصبح سائدة ومؤثرة إلى حد كبير، مما يؤدي إلى تشكيل التربة على الطبقة الصخرية، ومن نواتجها مستويات تربة اللّريت والبوكسيت المتكونة محلياً وتحت ظروف مناخية معينة ومقترنة مع طبقات صخرية قاعية مناسبة والتي ربما تعتبر من نواتج أو متخلفات البيئات الرسوبية المتوازنة.

وبالإمكان تمييز مناطق بيئات توازن شاسعة تحت سطح البحر، مثل الأرصفة القارية والسهول العميقة البحرية (Abyssal plains) وجميع هذه المناطق تقع تحت تأثير تيارات قوية بدرجة كافية لأن تزيح أو تحرك أي راسب قد يستقر من الرواسب الملقة (Suspended sediments)، ومع ذلك تكون هذه التيارات ضعيفة لدرجة أنها غير قادرة على حت وتعرية الطبقة القاعية أو الباطنية. لذلك تتعرض هذه الأسطح المكشوفة أو النظيفة (Scoured surfaces) إلى تفاعلات كيميائية مع ماء البحر والتي تقود إلى تشكيل وتكوين قشرات المنجنيز (Manganese crusts) وإلى عمليات تكوين الفوسفات وإلى تغيرات النشأة المابعدية الأخرى (انظر: Selley 1976, Mero 1965). وتمثل الأراضي الصلبة (Hardgrounds) البيئات الرسوبية المتوازنة في العمود الجيولوجي، وهذه عبارة عن أسطح طبقات متمعدنة. وعامة تكون موجودة داخل طبقات أحجار الجير. وتكون غالباً مثقبة بشكل كبير ومغطاة بطبقة (Layer) دملوك ضئيلة السمك. وتتكون هذه الطبقة النحيلة من كسر صخرية مساقاة من الطبقة السفلية (Substrata). وتتكون طبقة الأراضي الصلبة من طبقات نحيلة جيرية ملتحمة مع بعضها. وهي متوافرة في كثير من سحنت الكربونات إلا أنها تختص بشكل مميز طبقات أحجار الطباشير. وقد دلت معظم الدراسات على أن هذه الظاهرة تتكون عندما تلتحم الأجزاء العليا لبعض

طبقات الكربونات قبل ترسيب راسب الطبقة العلوية. ويُعزّد حدوث عملية السمتة المبكرة في مستويات هذه الطبقات النحيلة، ظهور الجزء العلوي لهذه الطبقات غالباً متأثراً بشكل كبير بأنشطة الديدان الثقبية (Boring organisms)، أو تكون مستمعة بأحياء مثل المحاريات (Oysters) والتي تحتاج إلى طبقة تحتية مناسكة لكي تلتصق بها الأحياء (المحاريات). وبشكل متتابع تكون هذه الأسطح المثقبة مغطاة مباشرة بمدملكات من الطباشير المتكون محلياً (Intraformational conglomerates). وغالباً ما تتشكل كسر هذه المدملكات من المواد الفوسفاتية والجلوكونية المحاطة براسب أرضية من رواسب المرل (Selley, 1976, 1994).

ويمكننا إيضاح متغيرات العمليات الثلاثة المذكورة آنفاً والتي أوجزها (Selley, 1976) كالتالي:

١ - تشمل المتغيرات الطبيعية لأي بيئة رسوبية، سرعة واتجاه واختلافات كل من الرياح والأمواج وتدفقات المياه التي تسود هذه الطبقة. كما تشمل الاختلافات التي تحدث في مناخ وطقس البيئة وما تتضمنه من تفاوت في درجات الحرارة ونسبة هطول الأمطار والثلوج والرطوبة.

٢ - وتعني المتغيرات الكيميائية لأي بيئة رسوبية بالتكوين المعدني للماء الذي يغطي البيئة الرسوبية تحت مائية كما تتضمن الكيمياء الجيولوجية للصخور المتواجدة في المناطق البيئية القارية المتاخمة.

٣ - وتضم المتغيرات الحيوية كلاً من الأحياء النباتية (Flora) والحيوانية (Fauna). ويحتمل أن يكون لهذه الأحياء تأثيراً كبيراً على العمليات الرسوبية (مثل الحث والنقل والترسيب) التي تأخذ مكانها على اليابسة. فمثلاً إفراط الحيوانات في التغذية على الأشجار وأوراقها وإزاحتها كلية من سطح الأرض وإفراطها في حث التربة يمكن أن يتسبب في ارتفاع غير عادي في معدلات الحث في منطقة ما يصحبه زيادة في معدلات الترسيب في مكان آخر. وبشكل مضاد يكون النمو في الصحاري للنباتات الجديدة. تأثير متوسط على العمليات الرسوبية.

وفي البيئات البحرية تكون الأحياء الدنيئة أو الدقيقة التشكل مهمة بسبب أنه يمكن هياكلها أن تشارك في تكوين الصخر الجيري وبسبب وجوده في الماء فإنه يمكن

تغير توازنه مما ينتج عنه ترسيب الرواسب الكيميائية مثل ترسيب أوحال الأراجونيت وغيرها من الرواسب الكيميائية الأخرى والتي سبق الحديث عنها في الفصل السابع . هذا بالإضافة إلى أنه بشكل خاص، يكون لتشكيل وتاريخ الشُّعَاب العضوية (Organic reefs) علاقة وطيدة بنوعية أحيائه وتفاعلات هذه الأحياء مع البيئة المحيطة . ونستنتج مما سبق شرحه بأن البيئة الرسوبية ربما تكون مكاناً حراً أو مكاناً عديم ترسيب أو مكاناً ترسيباً . وبالمقارنة يمكن القول إنه عامة تمثل البيئات التحت هوائية (فوق سطح الأرض) نموذجاً لمناطق تسودها عمليات الحث بشكل كبير، وتمثل البيئات التحت مائية نموذجاً لمناطق تسودها غالباً عمليات الترسيب . وهناك بعض البيئات التي تكون متذبذبة وتتغير أثناء الفترة الزمنية الواحدة بين مراحل من الحث وعدم الترسيب والترسيب وهذه البيئات متمثلة في وديان الأنهار .

ويشير تعدد البيئات الصحراوية والبحيرية والنهرية والدلتاوية والبحرية وغيرها من البيئات الأخرى الموجودة على سطح الطبيعة إلى أن هناك عدداً لا نهاية له من البيئات الرسوبية ولكن ليس هناك بيئات متماثلتان كلية، وأن البيئات المختلفة غالباً ما تتداخل مع بعضها عبر سطح الأرض . وبالمقارنة يمكن أن نشير إلى أن هناك عدداً لا نهاية له من السُّحانات الرسوبية التي تتكون بشكل متكرر في صخور من أعمار مختلفة في جميع أنحاء العالم ولكن لا يمكن أن يكون هناك سحنتين رسوبيتين متماثلتين كلية في جميع الخصائص ولو أنه عامة ما يكون هناك انتقال متدرج بين سحنة وأخرى . وتكون السُّحانات الرسوبية عبارة عن نواتج بيئة ترسيبية معينة، هذا بالإضافة إلى ما تتركه هذه السُّحانات من مراحل حث وعدم ترسيب مبكرة أو سابقة . ويمكننا تلخيص ماسبق شرحه عن مفاهيم البيئات الرسوبية في السُّحانات الرسوبية كما في جدول (٢٩) .

### معاملات السُّحنة الرسوبية

#### ١ - الشكل الحجمي للسُّحنة الرسوبية Geometry

وهذا يتطلب معرفة اتساع أبعاد السُّحنة الرسوبية سواء عند سطح المنكشف أو تحت سطح الأرض . ويتم ذلك عن طريق عمل خارطة توضح الشكل الحجمي العام

جدول (٢٩). يوضح العلاقة بين البنيات الرسوبية والسُخُنات الرسوبية.

السبب	طبيعة البيئة	التأثير
نوع العمليات	طبيعة البيئة	معاملات السُخنة الرسوبية
فيزيائية كيميائية حيوية	بيئة رسوبية تحتانية أو حُتية عدم ترسيب ترسيبية ← سُخُنات رسوبية	١ - حجم السُخنة ٢ - السُخنة الصخرية ٣ - البُنْيَات الرسوبية ٤ - التيارات القديمة ٥ - الأحافير

(عن : Selley, 1978)

لهذه السُخنة وتبيان حدودها من جميع الاتجاهات وما يجاورها من سُخُنات أخرى. ويمكننا عمل هذه الخارطة عن طريق المعلومات المستنتجة من الحفر المثقي (Boreholes) والتفسير البيئي لكل بشر. ولكن في وقتنا الحاضر يمكننا عمل نفس الخارطة وبصورة أكثر دقة عن طريق الدراسة الجيوفيزيائية للمنطقة قبل إجراء عملية الحفر المضنية من حيث استغراق الوقت والتكلفة المادية. راجع أبحاث كل من: Lyons and Dobrin, (1972); Harms and Tackenberg, (1972); Sheriff, (1976).

## ٢ - معرفة نوعية حجر السُخنة الرسوبية Lithology

هل السُخنة تتكون من رواسب كربونات (مثل أحجار الجير) أم رواسب فتاتية (مثل أحجار الرمل والغرين وما شابه ذلك)؟ ومن المعروف أن صخور الكربونات تتمثل في تعداد سخاناتها الدقيقة (Micro-facies)، ويتعلق توزيعها ببيئاتها الترسيبية، هذا بالإضافة إلى أن هذه السُخُنات الدقيقة لا تتحمل الانتقال البعيد عن أماكن تشكيلها. ومن ثم نستطيع أن نعتبر كثيراً من أحجار الجير ذات علاقة وطيدة ببيئة ترسيبها، ويمكننا ملاحظة ذلك من فحص قشرة صغيرة (Small chip) منها أو من فحص مجهرى لقطاع صخري منها ومقارنة ذلك مع رواسب حديثة ماثلة.

ومن ناحية أخرى تدل معرفة نوعية الرواسب الفتاتية (مثل أحجار الرمل) على أنها لا تعكس البيئة المترسبة فيها فقط بل أنها تشير إلى تاريخ انتقالها وإلى نوعية الصخر

المجلوبة منه . لذا نجد أن الدراسة المجهرية (البتروغرافية) لأحجار الرمل ذات قيمة قليلة من حيث إشارتها إلى بيئة الترسيب ، هذا إذا ما قورنت بمثيلتها في حالة صخور الكربونات والتي تكون فيها الدراسة المجهرية حتمية ولازمة بشكل كبير . كما أن أحجار الرمل أقل عرضة لعملية النشأة المابعدية من الكربونات ، ولذا يكون الطراز الترسيبي لأحجار الرمل أسهل بأن يميز . وغالبًا في حالة أحجار الرمل تعكس أحجام الحبيبات وتصنيفها وأشكالها وأنسجتها مستوى الطاقة المترسب تحت ظروفها الرمل والعمليات الشائعة في بيئة الترسيب لذا تتطلب عناية كبيرة في تفسير بيئاتها . لمزيد من التفاصيل راجع : Selley, (1978, 1994) and Boggs, (1995) .

### ٣ - معرفة البنيات الرسوبية (Sedimentary Structures) السائدة في السُّحنة الرسوبية

وهي مهمة لأنها تعتبر مؤشرات البيئة الترسيبية لهذه السُّحنة . والبنيات الرسوبية ليست كالأحافير والرواسب نفسها لأنها بدون شك تكونت وتشكلت في أماكن وجودها ولا يمكن أن تكون منقولة كما هي عليه من خارج حوض الترسيب . ويمكن دراستها بسهولة في المنكشفات الصخرية كما يمكن فقط دراسة البنيات الصغيرة أو الدقيقة منها والتي تظهر على عينات لب الصخور المأخوذة من الصخور تحت سطحية . وهناك الكثير من المراجع العلمية التي تصف وتناقش أنواع البنيات الرسوبية وقد تكلمنا عنها بالتفصيل في الفصل الخامس (راجع الفصل الخامس) .

### ٤ - معرفة أنظمة التيارات القديمة (Paleocurrent patterns) السائدة في حوض

#### ترسيب هذه السُّحنة الرسوبية

وقد يختلف هذا العامل عن بقية العوامل الأخرى لكونه خاصية ملاحظة ويعتمد بشكل كبير على فطنة ودقة ملاحظة الدارس في الحقل . ويجب أن يشتمل تحديد التيارات القديمة لأي سُّحنة من السُّحُن ليس فقط على وصف هذه التيارات ولكن على تفسير المعلومات المرتبطة بها أيضًا . ويجدر بنا أن نتذكر أن اكتشاف وملاحظة التيار القديم يأتي من البنيات الرسوبية الموجودة في السُّحنة الرسوبية وهي تعكس بيئة ترسيب هذه السُّحنة وليس بالإمكان أن تكون علامات موروثه من خارج منطقة (حوض) الترسيب الفعلي . ويتضمن تحليل التيار القديم لسُّحنة ما الخطوات التالية :

(أ) قياس اتجاه توجيه البُنىات الرسوبية المهمة في الحقل (مثل اتجاه التطبيق المتقاطع ومعاور القنوات واتجاه توجيه علامات النيم . . الخ).

(ب) تحصيل اتجاه التيار القديم عند كل نقطة تؤخذ معطيات القياسات المعنية .

(ج) عمل خارطة تيار قديم إقليمية .

(د) ربط ودمج خارطة التيار القديم مع خطوط أو متفرعات أخرى لتحليل السُّحْن من أجل تحديد البيئة والجغرافيا القديمة .

ربما تشير التيارات القديمة في بعض البيئات إلى الميل أو المنحدر القديم (Paleoslope) (كما هو الحال في الأنهار) وربما الآخر لا تعطي تلك الدلالة في البعض الآخر (كما في رواسب الريح) .

وقد نوقشت طريقة أخذ قياسات اتجاه توجيه البُنىات الرسوبية وتطبيقات تحليل التيارات القديمة في كثير من الكتب والأبحاث وهذه متقدمة عن مستوى هذا المقرر لذا، نحيل طالب الدراسات العليا إلى كل من: (Potter and Pettijohn, 1977); (Allen, (1966); Klein, (1967) and Selley, (1968, 1982, 1990) .

#### ٥ - تعريف أحافير (Fossils) السُّحْنَة الرسوبية إذا وجدت

ويعتبر هذا العامل من الطرق الأكثر أهمية لتعريف البيئة الترسيبية لراسب ما، ويعطي علم البيئة القديمة (Paleoecology) الطريقة التي عاشت فيها الأحافير وسلوك هذه الأحافير فيما بينها . ويشير أيضاً إلى مدى تأثيرها في بيئاتها وتأثيرها بها . راجع كل من: (Gecker, (1957); Hedgpeth and Ladd, (1957); Ager, (1963); Imbrie and Newell, (1964); Crimes and Harper, (1970); Frey, (1975); Seilacher, (1967); Rodriguez and Gustschick, (1970) and Heckel, (1972) .

ولكن نستخدم الأحافير للتعرف على بيئة الترسيب للراسب المحيط بها، كما يجب أن يوضع في الحسبان (أو الاعتبارات) الحقيقتان التخمينيتان وهما:

- إنَّ الأحافير عاشت في المكان الذي دفنت فيه .
- إنَّ موطن وبيئة (Habitat) الأحافير يمكن أن تستخلص إما من أشكالها وبنياتها (Morphology) أو من دراسة أحفادها الحية (إذا وجد منها شيء) . وهناك مسألتان هما في غاية الأهمية ويجب أن نذكرهما عند استخدام الأحافير كمؤشرات بيئية وهي الآتي:



(أ) ليس من السهل دائماً بأن نكون متأكدين من أن مخلوق ما أو أحفورة عاشت في أو على الراسب الذي دفنت فيه . لأن هناك عديداً من الأحافير حفظت في بيئة معينة ، ليس لأنها عاشت فيها ، ولكن لأنها نقلت إليها عن طريق الصدفة وأخذت هذه البيئة موقف الاعتداء على تلك الأحافير فقتلتها ومن ثم دفنت فيها ، ومثال ذلك غرق كثير من الحيوانات في بعض الأنهار وانتقالها إلى البحر .

(ب) كذلك جلب مَعِيشَة أو مَوْطِن (Deducing habitat) أحفورة من منطقة إلى منطقة أخرى تساعد في معرفة طبيعة مناخ البيئة القديمة للمنطقة المستجدة . نذكر على سبيل المثال ما يسود الآن من الدَّبَّية (Bears) المتوطنة في منطقة تمتد من خط الاستواء إلى القطب الشمالي ، فلو عاشت في وقتنا الحاضر دَبَّية القطب فربما استخدمت عظام الدَّبَّية القديمة كمؤشرات للمناخات الثلجية (Glacial climates) ، (Shepard 1964) . ومن بين الأحافير المختلفة التي يمكن استخدامها في التحليل البيئي قد يكون هناك إثنان من أعظم الأنواع أهمية هما الأحافير الدقيقة والأحافير الأثرية (Trace fossils) . ويفوق استغلال الأحافير الدقيقة على الأحافير الكبيرة لكونها تستخلص من عينات تحت سطحية (Subsurface samples) ولأنها توجد بوفرة في حجم عينة صخرية صغيرة ويمكن استخدامها بيسر في الدراسات الحاسوبية أو التعدادية (Statistical studies) . وأحد مجاميع الأحافير والأعظم منفعة في التشخيص البيئي هي المسالك (Burrows) والجُرَّات (Trails) ، وجميعها تسمى بالأحافير الأثرية . وقد نوقشت بالتفصيل في الفصل الخامس تحت عنوان البُنيات الحيوية . وتقع أهمية الاستفادة من الأحافير الأثرية في التفسير البيئي لسببين هما :

١ - يتشكل هذا الصنف من البُنيات في أماكن وجودها (*in situ*) وليس بالإمكان أن تكون قد أُعيد تكوينها وترسيبها كـ بعض الأحافير الأخرى .

٢ - كما أن أنواعاً معينة من البُنيات الأثرية تختص ببيئات خاصة . وقد استخدم كثير من البحاثة هذه الحقيقة في تعريف مجموعات من السُّحنت الحيوية المعروفة بالسُّحنت ذات الأثر الأحفوري (Ichnofacies) راجع الفصل الخامس ، شكل (٨٩) . حيث تتكون كل سحنة حيوية من مجموعة أحافير أثرية توجد في سِحنة رسوبية مخصصة وربما تحدد بيئتها بشكل مستقل عن الأخرى .

## الدورات التأسيسية والتتابع التأسيسي

وفي السنوات الأخيرة استبدلت الطريقة التحليلية للتابعات الدورية المعتمدة على الملاحظة العينية بنظم وطرق تعدادية متنوعة. وتشتمل هذه الطرق على الطرق التعدادية البدائية البسيطة والتي يمكن استخدامها وفهمها من قبل الجيولوجي الحقل (Selley, 1969). وهناك الطرق المتقدمة والتي تستلزم استخدام الكمبيوتر ولكنها تعاني من التخمينات المفترضة من المعلومات أو القراءات الجيولوجية (Merriam, 1967). وصنفت العمليات المكونة للدورة الترسيبية إلى مجموعتين (Beerbower, 1964) كما يلي:

## ١ - الميكانيكيات الدورية المكانية Autocyclic mechanisms

وهي العمليات التي تنشأ في حوض الترسيب وتعمل على تكوين الدورة أو التابع الترسيبي، وتمثل هذه العمليات في كل من هجرة القناة ونزوح مجرى القناة وهجرة الحاجز الرملي.

## ٢ - الميكانيكيات الدورية الخارجية Alloccyclic mechanisms

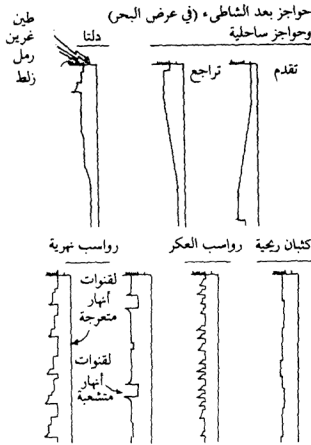
وهي العمليات الناتجة من التغيرات الخارجية عن منطقة الوحدة الرسوبية مثل الرفع أو الدفع إلى أعلى (Uplift) والخفض أو الانخفاض (Subsidence). والتغيرات المناخية أو تغير منسوب مستوى البحر (Eustatic change).

وتشير دراسة الرواسب الحديثة إلى كيفية هجرة البيئات الشبه بيئية (Sub-environments) في الاتجاهات الجانبية فوق بعضها عبر منطقة الترسيب وما تشكله من تتابع منتظم من رواسب شبه سَحْنِيَّة (Sub-facies). ويمنها أن نميز التتابعات الدورية المكانية النشأة داخل السُحُنات الرسوبية لكي نحدد ونعرف بيئاتها الترسيبية. وقد وضع (Selley, 1978) نموذجًا للتتابعات المتنوعة للدورات المكانية الأصل (شكل ١٦٠) والتي ربما توجد في سَحُنات مختلفة. ويجب أن نلاحظ أن هذه التتابعات يمكن أن ندركها أو نستكشفها بناءً على وجود الاختلافات العمودية في أحجام الحبيبات (Vertical variation in grain size).

## تصنيف البيئات الرسوبية

قام كثير من الباحث منذ عشرات السنين بمحاولات عدة في تصنيف كلٍّ من البيئات الرسوبية الحديثة والسُحُنات الرسوبية القديمة.

كانت تصنيفات هؤلاء الباحث في كثير من الأحيان ازدواجية ومتشابهة إلا أنها وضعت لكي تحقق الغرض الذي يسعى من ورائه كل باحث، وبعضها الآخر كان بمثابة تحليل لما صنفه زميله من قبل وتوسيع نطاق إطار تصنيف البيئات بمفهوم آخر من حيث التسابع السحني والتوزيع الجغرافي البيئي، هذا بالإضافة إلى التصنيف التحت بيئي مع الإشارة إلى عمق الماء وحركته، ومستوى الطاقة في حالة تصنيف البيئات البحرية.



شكل (١٦٠). مقاطع أنموذجية لبيئات معينة توضح التتابع العمودي لحجوم الحبيبات، بدون مقياس رسم. (عن : Selley, 1978)

ومن بين هذه التصنيفات المتعددة وجدنا أن تصنيف الباحث (Selley, 1978) هو أنسبها لقلة تعقيداته ويمثل القاعدة الأساسية التي توضح تصنيف البيئات الرسوبية وتعطي القاريء المبتدئ، الصورة العامة للترسيب الرئيس للبيئات الرسوبية المتنوعة كما في جدول (٣٠).

ويمكننا شرح وإيجاز ما أورده (Selley, 1978) عن طرق التشخيص البيئي كما يلي:

توجد عدة نظم وطرق مختلفة يمكن استخدامها لتحديد أو معرفة بيئة الترسيب لأي صخر رسوبي وتختلف هذه طبقاً للمعلومات المأخوذة بناءً على دراسة الرواسب

جدول (٣٠). تصنيف البيئات الرسوبية.

أ - بيئات أسطح الصخور المعراة. ب - بيئات منحدرات الجبال. ج - بيئات المراوح النهرية. د - بيئات الأنهار المتقطعة. هـ - بيئات ريجية (هوائية). و - بيئات السبخات. ز - بيئات بحيرات البلايا.	١ - بيئات صحراوية.	أولاً: البيئات القارية.
أ - بيئات قنوات الأنهار المستقيمة. ب - بيئات قنوات الأنهار المتشعبة. ج - بيئات قنوات الأنهار المتعرجة.	٢ - بيئات نهريّة.	
	٣ - بيئات بحيرية.	
	٤ - بيئات ثلجية.	
أ - بيئات الرواسب الفتاتية. ب - بيئات الرواسب المختلطة من الكربونات والفتاتية. ج - بيئات رواسب الكربونات.	١ - بيئات الدلتا. ٢ - بيئات الحواجز الرملية.	ثانياً: البيئات الانتقالية (الشاطئية البحرية)
أ - بيئات الرواسب الفتاتية. ب - بيئات رواسب الكربونات.	١ - بيئات الأرصعة القارية	
	٢ - بيئات شعابية. ٣ - بيئات العكر. ٤ - بيئات لحيّة.	ثالثاً: البيئات البحرية.

المنكشفة أو الرواسب التحت سطحية. وبشكل عام يجب أن يعتمد تشخيص أي بيئة رسوبية على تقييم جميع المعلومات والحقائق والإثباتات المتوافرة لدى الباحث. كما تكون

المعلومات المرغوب فيها ليست دائماً متوافرة. وهذه الحالة تكون متوافرة عند دراسة الرواسب التحت سطحية معتمدين على المعلومات المستنبطة من تسجيلات الآبار (Well logs). وفي مثل هذه الحالات يمكن للشخص أن يعمل أحسن ما في وسعه باستخدام ما هو مؤكد من الحقائق. وفي حالات أخرى يحدث من دراسة المنكشفات الصخرية، أنه ربما توجد عدة حقائق للاستخدام في تشخيص بيئة رسوبية ولكن واحدة أو اثنتين فقط من هذه الحقائق قد تكون حساسة وجديرة بأن تعطي تشخيص البيئة المتحاور عليها. فمثلاً: ربما يعتمد تمييز بيئة الرواسب الشعابية بشكل مؤكد على المعلومات الصخرية والحياة القديمة فقط بينما تُعرّف بيئة رواسب الدلتا من شكلها الحجمي والتتابع العمودي في أحجام حبيباتها وبنياتها الرسوبية. لذا نستنتج شيئاً واحداً هو أن طرق التحليل البيئي يمكن أن تتم بمعرفة خمسة معاملات لأي سحنة ما. لمزيد من التفاصيل راجع: Selley, (1986); Collinson, (1978, 1984); Mial, (1985, 1994) and Boggs, (1995).

### وصف البيئات الرسوبية

قبل أن ندخل في وصف أصناف البيئات الرسوبية والمتمثلة في نماذجها الرسوبية التخمينية يجب إيضاح مفهوم النموذج الرسوبي (Sedimentary model). ويرتبط مفهوم النموذج الرسوبي بعاملين رئيسيين هما:

#### ١ - عامل الملاحظة

ويتكون عامل الملاحظة من شقين، يشير الشق الأول إلى أن هناك الآن على سطح الأرض عدداً لا نهاية له من البيئات الرسوبية. ولكن أظهرت نتائج دراساتنا التفصيلية بأنه ليس بالإمكان وجود بيئتين متماثلتين ومتشابهتين في جميع الخصائص، حيث تظهر البيئات فيما بينها انتقالات مفاجئة وانتقالات تدريجية جانبية. كما يشير الشق الثاني من عامل الملاحظة إلى أنه يوجد عدد لا نهاية له من السُخُنات الرسوبية وأوضحنا أيضاً نتائج دراساتنا التفصيلية بأنه ليس بالإمكان وجود سُخُنَتين متماثلتين ومتشابهتين في جميع المميزات والخصائص. كما تظهر السُخُنات فيما بينها انتقالات مفاجئة وانتقالات تدريجية جانبية وعمودية (أي في الاتجاه الرأسى).

## ٢ - عامل التفسير

ويدل عامل التفسير لمفهوم النموذج الرسوبي على عدم معرفة أصل نشأة معاملات السحانات الرسوبية القديمة ولكن بالإمكان مقارنتها بمثيلاتها من الرواسب الحديثة والمعروف بيئاتها الترسيبية ومن ثم يصبح بإمكاننا اكتشاف البيئات الترسيبية لهذه السحانات الرسوبية القديمة. ومما سبق إيضاحه يمكن أن نقول إن هناك دائماً وأبداً عدداً لا حصر له من البيئات الرسوبية، والتي ترسب سحانات رسوبية مميزة، وهذه ربما أمكن تصنيفها إلى أنظمة مثالية أو نماذج (Models) متنوعة (Solley 1994, 1982, 1978)، تعكس لنا أنواع البيئات الرسوبية. ونخصص بقية هذا الفصل لوصف البيئات الرسوبية الأساسية معتمدين على تصنيفنا لهذه البيئات الرسوبية كما أوردناه سابقاً في الجدول (٣٠) في مدخل هذا الفصل.

## أولاً: البيئات القارية Continental Environments

## ١ - البيئات الصحراوية Desert environments

تشتمل البيئات الصحراوية على كل من:

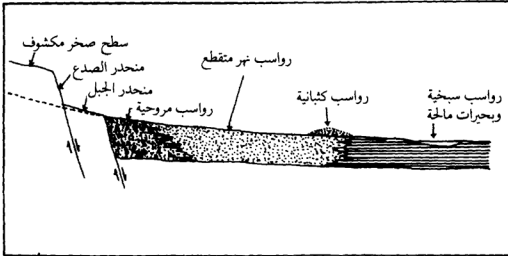
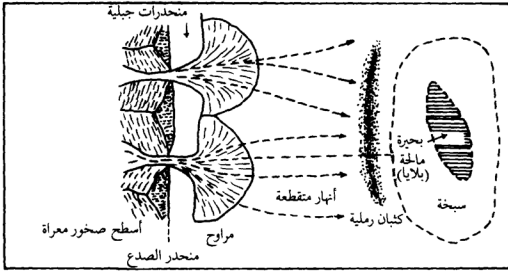
- (أ) أسطح الصخور المعراة Bare rock surface.
- (ب) مناطق منحدرات الجبال (Pediment zones).
- (ج) المراوح (Fans).
- (د) الأنهار المتقطعة (Intermittent streams).
- (هـ) الكثبان (Dunes).
- (و) السبخات (Sabkhas).
- (ز) - مهابط أو منخفضات المناطق الصحراوية (خفس Playas)، بحيرات البلياء.

ويمكننا تعريف هذه البيئات الصحراوية كما أوجزها كل من (Friedman and Sanders, 1978) بالآتي:

## (أ) بيئات أسطح الصخور المعراة Bare rock surface

تكشف وتتعري أسطح الصخور الصحراوية نتيجة عمليات التجوية التي تعمل على تفتيتها وتزيح الرياح السائدة الجسيمات المفككة والجافة ومن ثم ينخفض

سطح مرتفعات الصحراء ويطلق على هذه العملية مصطلح التخوية أو التفريغ (Deflation) ، (شكل ١٦١). حيث يدفع الريح الجسيمات الصخرية إلى أعلى ويقذف بها أسطح الصخور المحيطة مسبباً ما يعرف بعملية التآكل والحت (Abrasion) وينتج عن هذه العملية زيادة في تفتيت وتفكك جسيمات إضافية والتي يحملها الريح ويلقي بها في أماكن أخرى.



شكل (١٦١). رسم تخطيطي لخريطة وقطاع جانبي لبيئات رسوبية في حوض صحراوي متاخم لمنحدر جبلي. (عن : Friedman and Sanders, 1978)



وتؤدي عملية حمل الرياح للجسيمات الصخرية وارتطامها أو صفع (Blasting) أوجه الصخور المكشوفة إلى تنعيم أسطحها المعرة. ونتيجة لاستمرارية تنعيم الرياح لصخور الصحراء المكشوفة تشكل ما يسمى بالصحراء الصخرية (Rocky desert) والمعروفة بصحراء حمادة (Hamada). وقد تظهر أسطح هذه الصحراء نظيفة وخالية من الرمال فيها عدا وجود متخلفات من الزلزال مبعثرة فوق أسطح الصخور المعرة. وفي كثير من صحارى العالم القديمة والحديثة تشكل الصدوع المتاخمة لهذه المنطقة أحواض يترسب فيها نواتج تفتيت الصخور الصحراوية. ولم يرد حتى الآن معلومات عن وجود مثل صحراء حمادة أو أسطح الصخور المعرة في السجل الجيولوجي (Geologic record).

#### (ب) بيئات منحدرات الجبال Pediments

وهي عبارة عن أسطح منحدرية مجاورة للأراضي الصحراوية المرتفعة (الجبليّة) والتي تقطع عبر طبقاتها الصخرية مجاري الأنهار المتقطعة الفصليّة (شكل ١٦١). ويتدرج انحدار أسطح هذه المناطق في اتجاه يبتعد عن الجبال حتى يصل إلى الأحواض الموجودة في أسفل المناطق المنخفضة. وربما تغطي أسطح هذه المناطق بطبقة رقيقة من راسب مفكك مجلوب من الصخور المعرة والموجودة في أعالي الجبال المتاخمة. وقد تظهر منحدرات الجبال (Pediments) في السجل الصخري أو الجيولوجي كأسطح عدم توافق. ويتم الاحتفاظ بهذه المنحدرات في السجل الجيولوجي إذا عملت معادن الكبريتات (Sulphates) مثل الجبس والأنهيدريت على سمّنته الرواسب المفككة والتي تغطي هذه المنحدرات الجبلية.

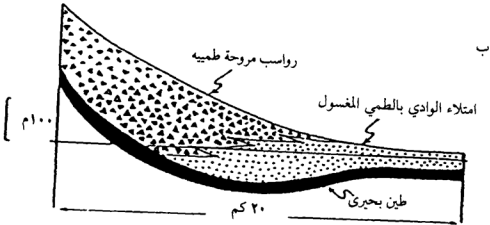
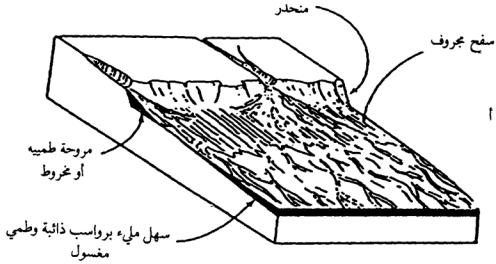
#### (ج) بيئات المرواح النهرية Piedmont fanglomerates

وهي عبارة عن رواسب ذات أسطح مخروطية الشكل وتنتشر بشكل شعاعي في اتجاه أسفل المنحدرات الجبلية (شكل ١٦١) وتكون أحياناً متاخمة لأسطح الصدوع الموجودة عند أسفل منحدرات الجبال.

وتشكل مناطق المرواح مخارج الأنهار المنحدرة من المرتفعات الجبلية والمتجهة إلى المناطق السهلية. وقد تشكل الرواسب المروحية حزاماً حول المناطق الجبلية والأراضي المنخفضة المتاخمة. وتساق الرواسب إلى هذه المرواح عن طريق أنهار منفردة منحدرة من أعالي الجبال. وربما ينعدم الشكل المخروطي نتيجة تضخم المرواح وتداخل أجسامها

المفردة والمتجاورة حتى تصبح جسماً رسوبياً واحداً يغطي مناطق أسفل الجبل ، والذي يطلق عليه المصطلح الفرنسي (Piedmont) ويعني سفح الجبل . ويصل انحدار منحدرات الترسيب في منطقة سفح الجبل (Piedmont zone) إلى حوالي ٢٥° تميل في اتجاه المناطق السهلية حيث يتناقص هذا الانحدار بشكل شعاعي عند أسفل المروحة . ويرتبط هذا التغير في الانحدار (الميل) مع تغيرات في عمليات النقل والترسيب ومن ثم تظهر هذه في توزيع نوعية الراسب فوق هذه المناطق . فمثلاً تترسب طبقات من رواسب أحجار الجلاميد (Boulders) والرواهص على المخاريط المروحية النهرية وعند رؤوس الوديان النهرية ويحدث ذلك عن طريق الانزلاق بالجاذبية من جوانب الجبال المجاورة . وتندرج هذه الرواسب في اتجاه أسفل المروحة إلى رواهص وأحجار رملية حصوية طينية مصمتة وأحجار غرينية . ويطلق على هذا النوع من الرواسب مصطلح (Diamictites) والذي تسبب في تشكيله تدفقات الوحل المصاحبة . وقد سبق الحديث بالتفصيل عن هذه الرواسب في الفصل الرابع . ثم تندرج هذه الرواسب في اتجاه أسفل المروحة إلى رواسب أحجار رمل حصوية ذات تطبيق مسطح (مستوي) وهي رديئة التصنيف (Poorly sorted) ومصمتة أو عديمة البنيات الرسوبية الأولية وفي بعض الأحيان تظهر في داخلها رقائق من الغرين والتآكل غير المنتظم . وترسبت هذه الطبقات نتيجة فيضانات الأنهار المفاجئة والمتقطعة . وتمتد هذه الرواسب في اتجاه أسفل المنحدر إلى رواسب أنظمة قنوات الأنهار المتفرعة (Abraided stream systems) ، (انظر الأشكال : ١٦٢ ، ١٦٣) .

وتختص رواسب مناطق سفوح الجبال بأنها ذات حبيبات في غاية الخشونة وورديئة التصنيف وذات تطبيق شبه أفقي أو مصمت وعديمة الأحافير ويطلق على رواسب هذه المناطق مصطلح «الرواهص المروحية» (Fanglomerates) ويشير هذا المصطلح إلى كل من معرفة صخورها (Lithology) وأشكالها الحجمية (Geometry) . وتوجد رواسب أسفل الجبال الحديثة في مناطق حول الجبال وممتدة في العالم من المناطق القطبية الشمالية حتى مناطق خط الاستواء . وقد تظهر رواسب هذه المناطق في السجل الجيولوجي بمثابة أغطية طبقية تقع فوق أسطح عدم التوافق القاعدية (Basal unconformity) والمترسب عليها تتابعات قارية سميكة (Willams 1969, Selley 1972, 1976, 1990) .

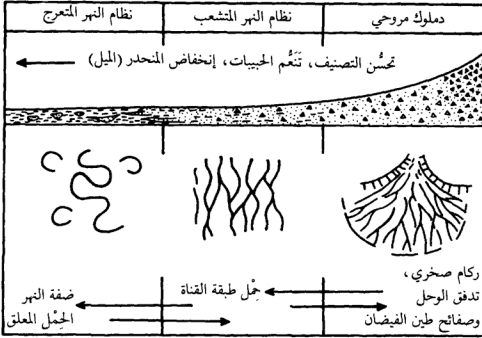


شكل (١٦٢). (أ) رسم تخيلي يوضح مظهر منطقة سفح الجبل . يترسب الزلط والرمل الخشن بالقرب من المراوح النهرية نتيجة الإنزلاقات الأرضية وتدفقات الوحل والفيضانات المفاجئة . بينما يترسب الرمل والغرين في قنوات الأنهار المتفرعة نتيجة الفيضانات المتقطعة عبر السهول . (عن : Selley, 1976)

(ب) مقطع جانبي لرواسب الطمي المروحي المعقد في منطقة سلسلة جبال نيفادا في أمريكا . (عن : Magleb and Klein, 1965)

#### (د) بيئات الأنهار المتقطعة Intermittent streams

سميت هذه الأنهار بالمتقطعة لأنها تكون مليئة بالمياه على فترات زمنية متقطعة وقصيرة أثناء العام الواحد وفي معظم بقية أيام السنة تكون عبارة عن أنهار جافة وهي



شكل (١٦٣). يوضح العلاقة الانتقالية بين أنظمة المراوح السفحية الجبلية والأنهار المتشعبة والأنهار المتعرجة والسحنتات. (عن: Selley, 1976, 1994)

التي نسميها نحن العرب بالوديان أو مجاري السيول. وتمتليء الوديان في الصحاري عقب هطول الأمطار الفصلية الغزيرة والفيضانات التي تحدث في المنطقة. وبسبب تدفق المياه في هذه المجاري مثل ما تسببه الأنهار العادية من عمليات حث ونقل وترسيب لكميات كبيرة من الرواسب. وتتفرع هذه الوديان من مناطق المراوح الجبلية وتنحدر في اتجاه المناطق السهلية (Plains) وربما تمتد رواسب الطبقات الجافة للأنهار المتقطعة عبر مئات الكيلومترات وبتساع عدة كيلومترات. وربما تحدث فيضانات مفاجئة وسريعة وخطيرة في هذه الوديان وبدون أن يشعر الفرد بهطول الأمطار حوله وذلك لأن هطول الأمطار حدث في المناطق الجبلية البعيدة عنه والتي ينحدر منها الوادي.

وبعد انتهاء تدفق المياه في الوديان يترسب منها رواسب رديئة التصنيف (ذات جسيمات من جميع الأحجام) تأخذ شكل الطبقات بأسماء مختلفة تصل إلى عدة أمتار. وقد يكون تطبق هذه الرواسب ممتازاً أو رديئاً. وعندما تحف هذه الرواسب تزيح الرياح

السائدة كميات كبيرة من الطين والغرين والرمل الصغير الحجم، ويترك خلفه متخلفات من الحصى الصغير (Pebbles) والحصى الكبير (Cobbles) والجلاميد (Boulders). وقد يتسبب التدفق القادم في تآكل وحت هذه الرواسب الخشنة أو قد تدفن تحت رواسب الفيضان القادم والذي ربما لا يأتي إلا بعد عدة سنوات أو عشرات السنين.

وربما تندفق الأنهار المتقطعة عبر منحدرات منخفضة الميل وربما تنتهي في مناطق السبخات أو في مناطق البحيرات الصحراوية المتقطعة المعروفة تحت اسم بلايا (Playas)، وعامة تحف هذه الأنهار نتيجة لعملية البَحْر السريعة التي تحدث في هذه المناطق الصحراوية. وثانية نتيجة لتسرب المياه إلى الطبقات التحتية وفي النهاية قد تصل إلى مستوى منسوب المياه القاعية. وقد تأخذ مجاري هذه الأنهار المتقطعة شكل الأنهار المتفرعة (Braided streams) أو الأنهار المتلوية (Meandering streams). ويكون التدفق فيها على صورة تدفق حطامي (Debris flow) بعكس ما يحدث في الأنهار العادية والتي يتدفق فيها الماء بطريقة التدفق النيوتوني (Newtonian flow) (راجع: Friedman and Sanders, 1978).

ومن أمثلة رواسب الأنهار المتقطعة وذات السجل الصخري أو الجيولوجي هي ما يسمى الآن بسحانات حجر الرمل النوبي (Nubian sandstone facies). وهذه عبارة عن تتابعات لرواسب رملية نهريّة (Fluvial) يتراوح أعمارها من الكمبري (Cambrian) إلى عصر الألويسين أو الحديث (Holocene). وتوجد هذه الرواسب على كلا جانبي البحر الأحمر في أماكن تحد الدرع العربي النوبي (Arabian-nubian shield).

ويصعب التفريق بين رواسب المراحل النهرية ورواسب الأنهار المتقطعة في السجل الصخري، وكون أنه معروف أن تتغير رواسب المراحل وتنحدر بالتدرج إلى رواسب الأنهار المتقطعة لا يكفي للتمييز بينهما لأن كلاً من رواسب الاثنين يتشكّلان من مُدْمَلَكات وأحجار رمل خشنة الحبيبات وكلاهما غالباً ما يكون رديء التصنيف. ولكن تظهر نواتج التدفقات الحطامية بشكل أعم في رواسب المراحل النهرية عنها في رواسب الأنهار المتقطعة، ويرجع ذلك لكون أرضية المراحل أشد انحداراً كما أن قرب المراحل من منطقة المصدر يجعل لها أفضلية، مُحبّزة ترسيب أغلبية راسب التدفق الحطامي في منطقة المراحل عنها في مناطق الأنهار المتقطعة. ويندر توافر كل من رواسب

الطينان الصفائحية وأحجار الغرين وأحجار الرمل الدقيق الحبيبات في الأنهار المتقطعة وربما يتراوح تصنيف الخطام الخشن من جيد التصنيف في مترسبات النهر إلى رديء التصنيف في الرواسب ذات نشأة تدفقية حطامية في الأصل. ويشير وجود معادن الكبريتات كالجبس عند أسطح المنكشفات أو كالأهيدريت في الرواسب تحت سطحية، أو أي من معادن البخر الأخرى والتي تعمل كمادة لاصقة بين الحبيبات، إلى أصل نشأة تحت ظروف مناخية قاحلة. كما أن تداخل أو تشابك رواسب المراحل أو رواسب الأنهار المتقطعة مع متبخرات السبخة أو البحيرات المتقطعة (Palyas) يثبت بالمثل أن بيئة الترسب السائدة كانت قاحلة وصحراوية.

#### (هـ) بيئات ريحية أو رواسب الكثبان (هوائية) Eolian deposits

لقد تحدثنا بالتفصيل في الفصلين الثالث والرابع عن عمليات الرياح من حيث الحث والنقل والترسيب. وعرفنا أن الرياح من أعظم عوامل الانتقال اختياريًا لنوعية أحماها من الرواسب المجاورة لأنه يندر على سرعة الرياح مهما بلغت من قوة حمل جسيمات راسب ذات حجم يزيد عن ٣٥، ٠ ملليمتر. وتحسن الرياح عملية فرز وتصنيف أحجام الرواسب أحسن بكثير مما تقوم به المياه لإنجاز المهمة نفسها. وينتج عامة عن عملية فرز أحجام الرواسب بالرياح ثلاثة أنواع من الرواسب:

١ - رواسب اللوس (Loess) المتكونة من جسيمات طينية وغرينية.

٢ - رواسب الكثبان (Dunes) والمتكونة من جسيمات رملية.

٣ - مخلفات التخوية أو المناطق المفرغة (Deflation lags) المتكونة من جسيمات تزيد في أحجامها عن ٥، ٠ ملليمترات مثل الحصى الكبير والمذملكات والرمل الخشن، هذا بالإضافة إلى جسيمات الرمل الدقيق الحبيبات وجسيمات الغرين والتي لم تحمل وتستبعد من المنطقة إما نتيجة لتدريعها بالجسيمات الكبيرة أو بسبب عدم توافر اضطرابات سطحية كافية بأن تنقلها معلقة في الهواء أو نتيجة تشكيلهم لسطح متماسك (Coherent surface) ومتماسك لدرجة أنه يصعب على الرياح إزاحتها. وتنقل رواسب التربة الطفالية (Loess) معلقة في الهواء، وتنقل رواسب الكثبان مسحوبة أو مجرورة (Traction) على سطح الأرض أما رواسب التخوية عندما تزاح فإنها تتحرك على هيئة البساط المجرور (Traction carpet).

ونتيجة للفترات الطويلة الجافة التي تسود الصحاري يعاد ترسيب رواسب الأنهار المتقطعة بواسطة الرياح. فتزيح الرياح من رواسب هذه الأنهار الرديئة التصنيف بسحب الجسيمات التي تتراوح أحجامها من ١, ٠ إلى ٣, ٠ ملليمتر. وترسب وتتراكم هذه الجسيمات المنقولة في أماكن أخرى في اتجاه أسفل الرياح مكونة ما يسمى بالكثبان الرملية وتكون جيدة التصنيف (Well sorted) ووحيدة النمط (Unimodal) بشكل أساسي. وتترك الرياح خلفها الرواسب الخشنة ذات الحبيبات الكبيرة الحجم حيث يطلق عليها رواسب التخوية (Deflation lags) ويصاحبها أيضاً بقاء الرواسب الناعمة التي لم تحمل بعد معلقة في الهواء. وعند تكرار اضطراب رواسب التخوية بالهواء السائد تنقل الرواسب الناعمة معلقة، وتستبعد من المنطقة، ومن ثم يترسب معظمها مرة ثانية في الصحراء. ولو فحصنا التوزيع الحجمي التواتري (Size-frequency distribution) لرواسب التخوية (Deflation-lag sediments) لوجدناه ثنائي النمط (Strongly bimodal) بشكل واضح (Friedman and Sanders, 1978). ولقد أشار هذان الباحثان إلى أن دراسة الصحاري الحديثة في العالم أظهرت تركيز نمط أحجام الحبيبات المتراوح من ٥, ٠ إلى ٢ ملليمتر في رواسب التخوية (Deflation lags). ويشكل هذا النمط الخشن (Coarse mode) تصنيفاً جيداً مع نفسه ويكون مختلطاً مع حبيبات ناعمة جداً من الرمل والغرين. وربما يكون هذا الجزء من الراسب الدقيق متعدد النمط (Polymodal) مع نفسه لأنه من المعروف أن كل هبة ريح (Each gust of wind) تحمل بشكل مستقل جملها من المجموعات الجسيمية (Population of particles) وهذه بدورها تستقر فيها بعد.

وتظهر الكثبان الرملية الحديثة أشكالاً متنوعة، يصعب علينا تمييزها في السجل الصخري الجيولوجي. وقد شرحنا بالتفصيل في الفصل الرابع أشكال الكثبان الرملية وللتذكير نذكر هنا الأنواع الأكثر شيوعاً وهي كالتالي:

- الكثبان النجمية
- الكثبان الهلالية
- الكثبان المستقيمة
- الكثبان المتطاولة

## ● الكثبان القبابية الشكل

### ● الكثبان اللسانية

(راجع مناقشة هذه الكثبان في الفصل الرابع).

وتحمل أحجار رمل الكثبان بنيات رسوبية مثل التطبيق المتقاطع وعلامات النيم وربما علامات انطباع المطر أو أثر أقدام بعض الحيوانات (Animal tracks) مثل: الزواحف (Reptilia) والثدييات (Mammalia) والبرمائيات (Amphibia) وغيرها من الحيوانات السائدة في الصحراء. وتظهر الطبقات المتقاطعة للكثبان الرملية كبيرة المقاس، وبميل شديد الانحدار يزيد عامة عن ٢٥° وتكون أطقم (Sets) التطبيق المتقاطع والمفردة سميكة، وقد تتراوح في سمكها من ٣ - ١٤ مترًا ويمكن عامة متابعة أثرها إلى مئات الأمتار.

ولمزيد من التفاصيل عن البيئات الريحية اقرأ:

Glennie, (1970, 1987); McKee, (1979); Collinson, (1986); Nickling, (1986) and Selley, (1990, 1994).

## (و) بيئات السبخات Sabkhas

يوجد نوعان من السبخات هي:

١ - السبخات القارية الداخلية (Interior continental sabkhas).

٢ - السبخات المتاخمة لشاطئ البحر (Sea marginal Sabkhas)، (شكل

١٦٤).

سوف نتحدث هنا عن النوع الأول وستتحدث عن النوع الثاني فيما بعد في هذا

الفصل.

تعتبر السبخات بمثابة أسطح ترسيب وتفرغ متوازنة (شكل ١٦١)، (Equilibrium deflation-sedimentation surfaces) أو أنها عبارة عن نوافذ ترسيب وتفرغ (Deflation-sedimentation windows) تصل إلى مستوى منسوب الماء المحلي، ويمثل نهاية حدود الخاصية الشعرية (Capillary fringe) فوق مستوى منسوب جسم الماء، مستوى القاعدة لتخوية أو تفرغ الريح (Wind deflation)، حيث ينتقل الراسب من فوق هذا المستوى (Capillary fringes) بواسطة الريح ومن ثم يتشكل



## وحدة



شكل (١٦٤). مقطع أنموذجي رأسي لرواسب السبخة على امتداد الشاطئ الجنوبي من الخليج

(Blatt, 1982 : عن) العربي.

سطح مستو (Flat surface) طبقاً لمستوى منسوب الماء الجوفي. ولنتحدث هنا عن نموذج السبخات الحديثة بالتفصيل حتى تتمكن من تفسير بيئات السبخات القديمة عندما نجدها. فمن أمثلة السبخات القارية تلك السبخات الموجودة في وادي عربة بين البحر

الميت والبحر الأحمر. وتشكلت هذه السبخات هنا من الأنهار المتقطعة والتي تندفق خلال هذا الوادي في اتجاه الجنوب متجهة إلى البحر الأحمر ولكن لا يصل معظمها إليه وتكون هذه الأنهار المتقطعة قصيرة ولا تشكل حوضاً مصرفياً مستمراً. وتسبب المراحل النهرية المصاحبة في منع وصول الرواسب إلى البحر الأحمر ولذلك ينساب أو يتسرب الماء في التربة حتى يشكل مستوى منسوب الماء الباطني (Water table) قريباً من سطح الأرض. ومن ثم تتشكل السبخات بين الكثبان الرملية المجاورة وقد تمتد أطراف الكثبان الرملية فوق أجزاء من السبخات. ويتكون راسب السبخة من طين وغرين ورمل. وتكون هذه منقولة بواسطة الأنهار المتقطعة والمنحدرة من منحدرات الأماكن العالية المحيطة بها وأيضاً بواسطة الرياح السائدة في المنطقة.

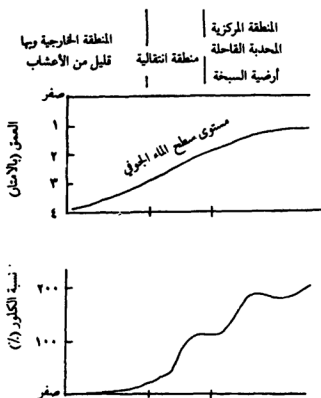
وتستخدم عوامل مثل عمق الماء الجوفي، والتكوين المعدني للماء الجوفي والتوزيع النباتي في تمييز ثلاث مناطق للسبخة:

١ - المنطقة الخارجية وبها بعض النباتات المتناثرة (مثل: الأثل Tamarisks، والنخيل Palms).

٢ - المنطقة الانتقالية.

٣ - المنطقة المركزية وهي العميقة أو الخالية من النباتات (شكل ١٦٥).

وإذا تتبعنا مستوى الماء الجوفي من المنطقة الخارجية إلى المنطقة المركزية نجد أن منسوبه يرتفع في اتجاه أرضية السبخة وتزداد درجة تركيز عنصر الكلور في نفس الاتجاه. لذلك نجد أن ترسيب الجبس يحدث في المنطقة الخارجية وفي جزء من المنطقة الانتقالية بينما يترسب الأنهدريت في جزء من المنطقة الانتقالية وفي المنطقة المركزية. وعامة تحيط أو تحم السبخات البحيرات الصحراوية المعروفة باسم بلايا (Playas) وقد أشارت دراسة عينات تحت سطحية لرواسب سبخية من العصر البرمي في شمال أوروبا بأنها تتكون من أحجار رمل وطين صفحي وطبقاتها متداخلة مع بعضها (Interbedded) وهي تشبه رمل وغرين وطين سبخة يوفتاتا الواقعة في وادي عربة شمال خليج العقبة. كما تتشكل أغلبية معادن البحر الموجودة في هذه العينات تحت سطحية من أنهدريت بدلاً من الجبس. وتتداخل سبخات هذه السبخة مع رواسب سبخات الكثبان الرملية وسبخات الأنهار المتقطعة وسبخات البحيرات الصحراوية (Playa lakes).



شكل (١٦٥). منحنيات خطية توضح التغيرات المتعمقة التي تحدث في مستوى منسوب الماء الأرضي ودرجة الكلور عبر سبخة يوتفانا في وادي عربة الواقع بين البحر الأحمر والبحر الميت. (عن: Friedman and Sanders, 1978)

### (ز) بيئات بحيرات البلايا Playas

وهي عبارة عن طبقة جافة لبحيرات تعرف باسم بلايا (Playas)، وتتوافر في الأقاليم الصحراوية. وهي قليلة العمق ومتسعة المساحة وتغطي أحياناً هذه الطبقة الجافة بكمية قليلة من المياه (شكل ١٦١، ١٦٦). وربما تعادل ما يعرف لدينا محلياً تحت اسم الأرض المنخفضة أو المهبط أو الغدير الذي يمتلئ عقب هطول الأمطار. وتفتقر منخفضات البلايا إلى التصريف الخارجي وتشكل البلايا أخفض سطح طبوغرافي في المنطقة. وتنقل المواد المترسبة والمياه من البلايا عن طريق التدفق تحت سطحي والتبخير والتخوية والتفريغ (Deflation). وجميع هذه الطرق الناقلة مهمة إلا أن التدفق تحت سطحي (Subsurface flow) يزيح مواد ترسيبية أقل مما تزحجه خاصية



شكل (١٦١). كيبان السيف الرملية (في المقدمة) وامتدادها جانبيًا إلى سيخات (في الوسط) وبحيرات ملحية (في المؤخرة). (عن : Friedman and Sanders, 1978)

التبخير أو التخوية لأن الراسب المتكون منه معظم أراضي البلايا يكون نسيبًا غير نافذ (Impermeable).

وتترسب الرواسب في البلايا عن طريق مياه الفيضانات المتقطعة والمتقيدة بهطول الأمطار في المناطق الصحراوية. فقد تكون الفيضانات سنوية في بعض المناطق. وفي هذه الحالة تنغطي البلايا ببحيرة مؤقتة سرعان ما تتبخر مياهها. وفي مناطق أخرى تحدث الفيضانات التي ترد إلى البلايا نتيجة عواصف ممطرة متقطعة تأخذ محلها في المناطق المرتفعة المحيطة وقد تحدث في أي وقت من أوقات السنة. وفي كلتا الحالتين ينقل الفيضان الرواسب الناعمة الحبيبات بشكل رئيسي إلى البلايا (Playa) ويترك خلفه المواد الكبيرة عن حجم حبات الرمل موزعة فوق مناطق كل من المراحل ومنحدرات الجبال (Pediments) وفي أراضي قنوات الأنهار المتقطعة. ويتبخر ماء بحيرة البلايا في الفترة ما بين فيضان وآخر ويترك أو يرسب المواد الصلبة والمعادن الذائبة في الماء. لذا تتكون رواسب البلايا من طبقات (Layers) متداخلة قليلة السمك من الرمل والغرين والطين ومعادن البخر (Evaporites). ولكون البلايا جافة في معظم الأوقات، لذا يجذ الأكسجين طريقه إلى رواسب السطح مما ينجم عنه أكسدة وطرد مياه هذه الرواسب وصبغها باللون الأحمر والبني، وبما أن الرواسب غالبًا ما تكون غير نافذة فإنها تحتفظ بلون رمادي تحت

السطح حيث تسود ظروف الاختزال (Reducing conditions) .

وتكون رواسب البلايا عامة دورية (Cyclic) بسبب تبادل فترات الجفاف والفيضان وربما تتشكل من طبقات زوجية (Couplets) أو طبقات ثلاثية (Triplets). وتتكون الطبقات الزوجية من طبقة رملية خشنة الحبيبات أو غرينية تتدرج إلى أعلى وتدخل في طبقة أقل سمكاً من الطين الناعم الحبيبات. وتتكون الطبقات الثلاثية إذا كانت طبقة مغطاة أو محتوية على رقيقة غشائية من معادن البحر، مثل الكلسيت، الجبس، السدوميت، الأنهدريت، الهيليت أو الأراجونيت. وتتشكل مثل هذه الطبقات الزوجية أو الثلاثية عندما تستقر المواد الخشنة من المياه الفائضة وتنتشر بشكل جانبي بواسطة التيارات والأمواج المسافة بالرياح. وربما تبقى جسيمات الرواسب الأرضية الناعمة معلقة في الماء بنفس الرياح المتسببة في حركة التيارات والأمواج حتى يتبخر الماء. وقد يتسبب الفيضان القادم في إعادة ترسيب بعض من الرواسب السطحية وبصور محلية، ويذيب بعض المعادن القابلة للذوبان لتصبح محمولة مرة أخرى ويرسب طبقة مزدوجة أخرى جديدة. وهكذا تتكرر نفس العملية مرات عديدة عقب كل فترة فيضان وفترة جفاف متلاحقة. وتمتاز رواسب البحيرات المؤقتة أو البلايا بأنها تظهر مترققة (Laminated). وتشكل معادن الجبس والهيليت (الملح) الأغلبية العظمى من بين معادن البلايا وتوجد معادن الكلسيت والأراجونيت والدلوميت بشكل محلي. وتأخذ بعض الطبقات لوناً داكناً مسوداً نتيجة لتوفر كبريت الحديد (Iron sulphide) الموجود مع عدسات متقطعة من الكبريت. وتلعب عمليات البكتريا دوراً مهماً في اختزال (Reduction) الجبس، وهذا واضح من الوجود المشترك بين كبريتيد الهيدروجين ( $H_2S$ ) وكبريتيد الحديد، والكبريت الطبيعي أو الصّرف (Native sulphur) ، (Friedman and Sanders, 1978) .

## ٢ - البيئات النهرية Fluvial environments

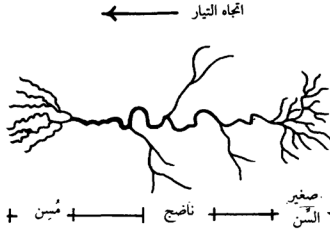
تعتبر الأنهار عوامل النقل الرئيسة التي تنقل الرواسب من اليابسة إلى الأقاليم الساحلية البحرية والبحيرية، وترسب فيها الرواسب بتتابعات سمكية أو تنتقل إلى مسافة أبعد، إلى الأرصفت القارية والأحواض البحرية العميقة حيث تتشكل الرواسب المائية العميقة. لذلك يمكننا القول بأن الأنهار هي عوامل نقل رئيسة تنقل الرواسب

من القارات المتعرضة للتجوية إلى الأجسام المائية بنوعها البحرية والبحيرية. كما أنه لا يحمل كل الراسب من اليابسة، والجهاز للنقل نتيجة عمليات التجوية، إلى البحار والبحيرات لأن جزءاً منه يترسب على اليابسة تحت تأثير العمليات النهرية (Fluvial processes). ومع تكوينات رسوبية يمكن أن تتشكل تتابعات لرواسب نهريّة تصل سماكتها إلى عدة آلاف من الأمتار. وهذا ينطبق على الأنهار التي تُكوّن سهولاً طميية أو غرينية (Alluvial plains) وسهول فيضية (Flood plains) كبيرة الاتساع وأبنا تحدث عمليات ترسيب نهريّة (Fluvial sedimentation) واسعة النطاق. وفي بعض الحالات، تترسب أو تتشكل رواسب مروحية طميية أو غرينية (Alluvial fans) سميكّة على امتداد جانبي الواد عند مقدمات الجبال. وبعبارة أخرى تكون الأنهار ليس فقط عوامل تحات ونقل ولكن أيضاً عوامل ترسيب.

وتتشكّل الدلتّ والرواسب الدلتاويّة من تفاعل العمليّات النهرية والعمليّات الساحلية. ولهذا تلعب العمليّات النهرية دوراً مهماً في تشكيل بيئة الدلتا. وقبل مناقشة البيئات الترسيبيّة النهرية يجب أن نتحدث بإيجاز عن الخواص العامة للأنهار والعمليّات النهرية كما أوردها كل من: (Leopold et al., 1964, Allen 1965). يحتوي كل نهر على حوض صرف (Drainage basin) أو منطقة المستجمع أو حوض الصرف (Catchment area) والتي تمد النهر بالماء والراسب. وفي هذا الحوض المصرفي تتلاقى أفرع الجداول الصغيرة بمجرى قناة النهر الرئيس ويفصل بين قنوات الصرف المتجاورة فواصل (Divides) أو خطوط انفصال المياه (Water parting = Watersheds).

وعموماً يمكن أن يتميز النظام النهرى من ثلاث مراحل هي: الصغير (الحديث)، والناضج، والمُسن (Young, mature and old)، (شكل ١٦٧). ونوجز شرح هذه المراحل الثلاث كالتالى:

١ - تحدث أو تتشكل المرحلة الحديثة للنهر في الأقاليم الجبلية وهي عبارة عن بداية النظام النهري والتي تنمو من التقاء أفرع متنوعة من الجداول. وبشكل رئيس تكون الأنهار في هذه المرحلة عبارة عن عوامل حت. وتشكل هذه المرحلة قنوات الأنهار المتشعبة (Braided channels).



شكل (١٦٧). تمثيل خطي لمراحل تطور نمو النهر. (عن: Leopold et al., 1964)

٢ - تمتاز مرحلة النضوج للنظام النهري بتشكيل سهل الفيضان ونمو أو تزايد الرواسب الجانبية (Lateral accretion deposits)، والتي تعرف بحافة أو حرف المجرى (Point bar) المتراكم. وتشكل هذه المرحلة القنوات النهرية المتعرجة (Meandering channels).

٣ - تتشكل المرحلة المُسنّة للنظام النهري في الأقاليم الساحلية. وهنا تلتقي عدة سهول فيضية من أنظمة أنهار مختلفة ويكون التقسيم بينهم محلي وغير واضح. وعادة يشكل النهر في مرحلته المُسنّة شبكة من قنوات التوزيع، وهذا بخلاف النهر في مرحلة طفولته والذي يكون شبكة من قنوات التجميع. وتصبح القنوات أصغر فأصغر من خلال التقسيم المتكرر وتقسيم الصُرف، وفي النهاية تلتقي قنوات التوزيع بالبحر. ومن الناحية البيئية الترسيبية أو الجيولوجية فإن مراحل النضوج وبالأخص المُسنّة منها تعتبر أكثر أهمية من مرحلة الطفولة لأن الترسيب النهري الرئيسي يحدث في مرحلتي النضوج والكبر.

#### شكل القناة

يقصد بشكل القناة هنا، هو مظهر النهر من خلال الرؤية المستوية (Plane view). وربما تأخذ الأنهار أشكالاً متنوعة أثناء عملية تدفق المياه فيها. وتعكس

أشكال قنوات الأنهار مدى أو اعتدال هذه القنوات مع صخور القناة والقطاع العرضي .  
ويبدو أن أشكال القنوات تكون محكمة بكمية حمل الراسب وخواصه وبكمية وطبيعة  
الصرف أيضاً . وقد ميز معظم الباحثين أن هناك ثلاثة أشكال قنوية نهريّة وهي :  
- القنوات المستقيمة .

- القنوات المتشعبة أو المتفرعة .

- القنوات المتعرجة (شكل ١٦٨) .

وميز (Leopold et al., 1964) القناة المتعرجة من المستقيمة والمتشعبة بناءً على  
درجة الانعطاف (Sinuosity) ، والتي تعرف من النسبة الموجودة بين طول القناة إلى  
مسافة أسفل الوادي . فالأنهار التي تكون درجة انعطافها ١,٥ أو أكبر فهي متعرجة ،  
والأنهار التي تكون درجة انعطافها أقل من ١,٥ فهي مستقيمة أو متشعبة .  
ويمكننا الآن شرح مميزات وخصائص القنوات النهرية الثلاث حسب ما أوجزه  
(Reineck and Singh, 1975) .

#### ( أ ) القنوات المستقيمة Straight channels

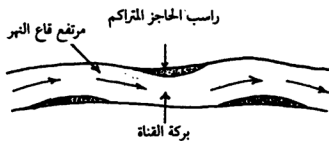
تمتلك القنوات النهرية المستقيمة انعطاف أو التواء لا يذكر ويتلاشى مع امتداد  
المسافة التي تزيد عدة مرات عن عرض القناة . وعامة يندر ظهور القنوات المستقيمة  
ولكن إذا وجدت فإنها تشغل مسافات قصيرة . وقد نوه (Leopold and Wolman, 1957)  
أن القنوات المستقيمة لا تزيد أطوالها على عشرة أضعاف عرض القناة . ويكون خط  
انحدار القناة المستقيمة منعطفًا ويظهر أجزاء عميقة تسمى البرك (Pools) متبادلة مع  
أجزاء قليلة العمق (Riffles) ، أو الأرضيات المرتفعة (شكل ١٦٨) . ويكون نظام  
التدفق والترسيب في القنوات المستقيمة مشابه لتلك التي تحدث في القنوات المتعرجة  
(Meandering channels) . وبإمكان القنوات المستقيمة نقل أو تغيير مواضعها عن  
طريق التزايد أو النمو الجانبي . وتحدث عملية الحث على امتداد مناطق البرك ويحدث  
الترسيب ضد حواجز الراسب (شكل ١٦٨) .

#### (ب) القنوات المتشعبة Braided channels

تُميّز القنوات المتشعبة بتتابعات تقسيمية ومواصلة اتصال التدفق حول جزر  
غرينية أو طميية (شكل ١٦٨) . فالقناة الرئيسة مقسمة إلى عدة قنوات ، وهذه تتحد



## نموذج قنوي



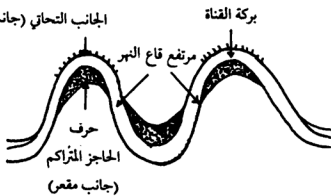
(أ) قناة مستقيمة

## جزر غربية أو طمية



(ب) قناة متشعبة

## الجانب التحاتي (جانب محدب)

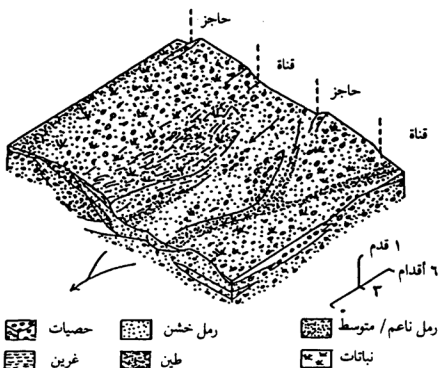


(ج) قناة متعرجة

شكل (١٦٨). نماذج قنوية للأنهار. (عن : Leopold et al., 1964)

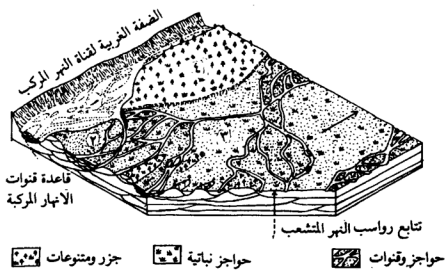
ويعاد أو يتكرر تقسيمها . والحواجز القنواتية (Channel bars) التي تُقسِّم النهر إلى عدة قنوات، عندما يكون التدفق منخفضاً، غالباً ما تغطي بالمياه عندما يكون التدفق عالياً . وعند أخذ قطاع عرضي للقناة الرئيسة ربما تظهر أكثر من جزيرة غرينية أو حاجز قنوي عبر مسافة القطاع . وتشكل القنوات المتشعبة بشكل جيد من الأنهار المنحدرة والمتصلة ببعضها في المناطق الجبلية ومن الجداول والأنهار المنحدرة من المراحل الغربية الطمئية (شكل ١٦٢، ١٦٣) وأيضاً من الأنهار النابتة من ذوبان الجليد والجارية في المناطق السهلية . وتتكون عامة الحواجز القنوية لهذه الأنهار المتشعبة (Braided streams) من مواد زلتية . وتشكل هذه الحواجز من إضافة الراسب المتكرر عند نهاية أسفل القناة وعلى الأجزاء الجانبية (شكل ١٦٩، ١٧٠) . وتتكون الحواجز القنوية من رواسب النهر الخشنة الحبيبات (Lag deposits) والتي لا يمكن نقلها بالتدفق . وبمجرد تشكيل هذه الحواجز ربما تثبت في أماكنها بواسطة ترسيب راسب ناعم الحبيبات (من السوحل) فوقها أثناء فترات التدفقات العالية وقد تصبح مغطاة بالنباتات المصاحبة للنمو . وتحتص الأنهار المتشعبة بقنوات عريضة وبسرعة واستمرارية تغيير أماكن القنوات الصغيرة وملزمة إعادة ترسيب الرواسب في هذه القنوات (راجع: Fahnestock, 1963).

أوضح (Leopold and Wolman, 1975) أن كلاً من التَّشَعُّب والتعرج للقنوات النهرية يعتمد بشكل أساسي على العلاقة الموجودة بين درجة انحدار القناة مع كمية الصَّرف . ففي حالة نهرين لهما الصَّرف نفسه، يتطور نمو القنوات المتشعبة على المنحدرات الشديدة وتشكل القنوات المتعرجة انحداراً أكثر اعتدالاً أو بسيطاً . وتسبب المنحدرات الشديدة في نقل كميات كبيرة من الراسب وفي حت الضفة وغالباً يصاحبه رواسب متنوعة التكوين (Heterogeneous sediments) . وتعتبر هذه العوامل من عطاءات وخصائص التَّشَعُّب النهرية . ومن مستلزمات استمرارية التَّشَعُّب، ارتفاع في نقل كميات كبيرة من الرواسب وانخفاض في حت الضفاف . فإذا كانت نسبة الصَّرف (Discharge) عالية وضفاف النهر ضعيفة فإن التَّشَعُّب يكون موجوداً حتى في حالة الأنهار ذات الرواسب الناعمة الحبيبات .



شكل (١٦٩). رسم تخطيطي يوضح العلاقة المتداخلة لبعض الوحدات الصخرية النهرية.

(عن: Williams and Rust, 1969)



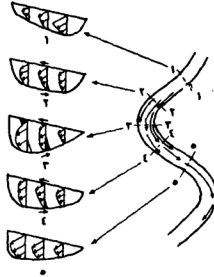
شكل (١٧٠). نموذج مركب لرواسب نهر متشعب. (عن: Williams and Rust, 1969)

**(ج) بيئات القنوات المتعرجة Meandering channels**

أطلق العالمان (Leopold and Wolman, 1957) مصطلح التعرج (Meandering) على الأنهار التي تصل فيها درجة الالتواء (Sinuosity) أو الانعطاف إلى أكثر من ١,٥ . ويبدو أن هناك علاقة أساسية معينة بين عرض أو اتساع القناة وطول التعرج، وبين عرض القناة وقطر الانحناء. وتختص القنوات المتعرجة باحتوائها على كل من برك (Pools) جيدة التشكل (تمثل هذه المناطق العميقة في النهر) ورواسب الحاجز (Sediment bars) متصلة بالأرضيات المرتفعة أو البارزة (Riffles)، وتمثل هذه المناطق القليلة العمق في النهر، راجع في ذلك (شكل ١٦٨). وتعرف رواسب الحاجز للقنوات المتعرجة تحت اسم حواجز الحافة (Point bars). وتشكل هذه الحواجز المترتبة أبينة الترسيب الرئيسة الناتجة من نشاط القناة. ولقد ناقش كل من: Leopold *et al.*, (1964), Leopold and Wolman (1960), Bagnold (1960)، التدفق الميكانيكي أو الحركي في القنوات المتعرجة، إلا أنه لم يفهم بعد الميكانيكية المتحكممة الحقيقية للتعرج، ولكن اعتبر معظم العاملين في هذا الحقل أن العمليات الترسيبية في الأنهار المتعرجة تحدث تحت تأثير الحركة الدورانية الحلزونية (Helical circulation) الملازمة لتدفق المياه في هذه الأنهار.

ويمكن إيجاز وصف ميكانيكية أو حركة التدفق في الأنهار المتعرجة كما يلي:  
توجد أعلى سرعة تدفق بالقرب من الحافة أو الضفة المحدبة الشديدة الانحدار في اتجاه أسفل النهر من محور الانعطاف. ويوجد عند هذا المنحنى جزء سريع في اتجاه أسفل النهر وجزء ضعيف الجوانب في اتجاه الضفة الخارجية (الجانب المقعر) عند سطح الماء وفي اتجاه الجانب المحدب (Convex side) بالقرب من قاع النهر. ويشكل الجزء الجانبي السريع ١٠٪ إلى ٢٠٪ من السرعة المتدفقة في اتجاه أسفل النهر. فتمسك المواد المنهارة أو الهابطة في القناة من الضفة المحدبة في الجزء المتعارض (Transverse component) ويحمل في اتجاه وسط القناة. وبذلك ترسب المواد التحتانية (Material eroded) من الجانب المقعر (Concave side) على الحاجز الجانبي (Point bar) للانعطاف التالي في اتجاه أسفل النهر (Next downstream meander)، وليس على الحاجز الجانبي المعاكس للجانب المقعر. ومع ذلك ربما تنقل التيارات العرضية القوية بعض الراسب عبر القناة في اتجاه الجانب

المقعر. ويتبع حدوث نظام التدفق الحلزوني من ارتفاع ضئيل في سطح الماء المتأخم للضفة المحدبة (شكل ١٧١).



شكل (١٧١). رسم تخطيطي يوضح مناهج تدفق الماء في نهر متعرج. (عن: Leopold et al., 1964)

وتمتاز القنوات المتعرجة ببطء في معدلات النزوح الجانبي (Lateral shifting) إذا ما قورنت بالقنوات المتشعبة. ولكن حتى القنوات المتعرجة في بعض الأوقات ربما تتأخر بمعدلات متزايدة وسريعة. ويشكل التَّشْعُب والتعرج القنوي علاقة متداخلة حيث إنه عادة تكون الأنهار في أطرافها السفلية متعرجة. ولكن إذا سُحِنَت هذه الأنهار بكميات كبيرة من الراسب وكان الصَّرف فيها سريعاً فإنه بغض النظر عن المواد الطبقيّة الناعمة الحبيبيات فإنها تأخذ مناهج نظام التَّشْعُب.

#### عمليات ترسيب الأنهار

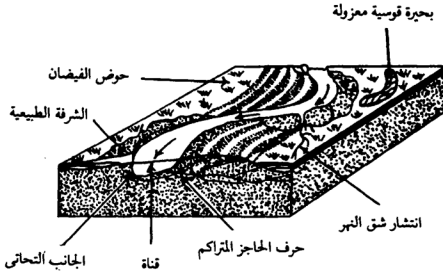
تعتمد سرعة التيار في القناة النهرية على عدة عوامل، وأعظم هذه العوامل أهمية هي: منحدر الطاقة (عامة تقدر بميل سطح الماء) وعمق الماء وخشونة طبقة أو أرضية القناة. وتختلف سرعة التيار من جزء واحد لقطاع عرضي آخر. وتحدث في معظم الأنهار تدفقات مختلفة ومتنوعة. وقد نوقشت هذه التدفقات ونقل الراسب في القنوات النهرية

من قبل الباحثين مثل : (Leliavsky (1955), Chow (1959), Sundborg (1956) ، وراجع أيضاً في ذلك الفصل الرابع .

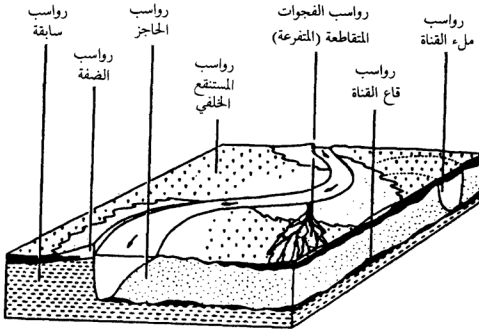
وتتكون طبقة النهر من مادة غير متماسكة (غير متلاحمة مع بعضها = Noncohesive) مما يسهل تجزئتها إلى أشكال طبقية (Bedforms) متنوعة معتمدة في ذلك على طاقة التدفق . ومع ذلك فإنه عامة يكون التدفق الهاديء والضعيف (Tranquil flow) نشيط لدرجة أن تتكون بنيات نيمية تيارية صغيرة وكبيرة (Small and megacurrent ripples) . كما أنه في الأنهار الكبيرة مثل نهر المسيسيبي وما يماثله في الحجم تتكون علامات النيم العملاقة (Giant ripples) . وقد أوضح (Dawdy, 1961) أن التدفق السريع (أو ما يعرف بنظام التدفق العالي Upper flow regime) يكون عام الوجود في الأنهار . ومن المحتمل أن تكون ظروف حدوث التدفق السريع مهينة بشكل كبير في الأنهار عنها في أي بيئة أخرى (Reineck and Singh, 1975) .

وتنقل الأنهار كميات كبيرة من الرواسب ويمكن تجمع هذه الرواسب المنقولة وتشكيل ما يعرف بحمل الطبقة (Bed-load) ، فتنتقل المواد على امتداد وبالقرب من طبقة النهر (أرضية القاع) بطريقة القفز والتدحرج . أما المواد العالقة تتحرك معلقة في وسط ماء القناة (راجع التفاصيل في الفصل الرابع) . وتزداد كميات المواد المنقولة أثناء فترات الفيضانات أضعاف المرات عن المواد المنقولة أثناء فترات الظروف العادية . راجع طرق قياس كميات الرواسب المنقولة في الأنهار: في أبحاث كل من: Sundborg (1965), Allen (1964), Leopold *et al.*, (1956) . وترجع أهمية راسب الحمل المعلق في ترسيب وتشكيل أحواض الفيضان (Flood basins) والشرفات الطبيعية (Natural levees) ، بينما يترسب راسب حمل الطبقة في قاع القناة والذي يطلق عليه مصطلح رواسب القناة المتخلفة (Channel lag deposits) ، ويشكل أيضاً الجزء السفلي من راسب حواجز الحافة المعروفة باسم (Point bars) ، (شكلا ١٧٢ ، ١٧٣) ، (Reineck and Singh, 1975) .

وقد أظهرت دراسة الرواسب الطميية الغرينية الحديثة (Modern alluvial deposits) أنه بالإمكان تصنيفها إلى العديد من الرواسب الشبه سحنية (Subfacies) . ويمكن تعريف كل شبه سحنة عن طريق قياس أبعادها الحجمية (Geometry) ونوعية



شكل (١٧١). تمثيل تخطيطي لأنواع مختلفة من الرواسب النهرية. (عن : Singh, 1972)



شكل (١٧٣). نماذج سحانات سهل الفيضان لنهر متعرج. (عن : Allen, 1964b)

الرواسب المتكونة منها، والأحافير المحتوية عليها، ونوعية وتوجيه اتجاه بنيتها الرسوبية. وباستطاعتنا في وقتنا الحاضر أن نرى أن كلاً من هذه الرواسب الشبه سيّحية ربما تتشكل وتتكون في ظروف شبه بيئية جغرافية مختلفة للنظام النهري (Selly, 1976). ويوضح الجدول (٣١) تصنيف هذه الظروف الشبه بيئية النهرية المختلفة.

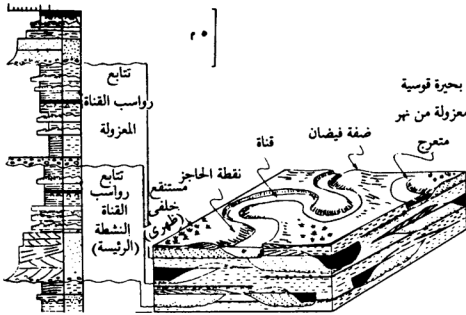
جدول (٣١). تصنيف الظروف الشبه بيئية النهرية.

رواسب أرضية القناة. رواسب حاجز القناة. رواسب ضفة القناة أو حاجز الحافة (Point bar).	رواسب القناة النشطة. رواسب القناة المعزولة أو المهجورة (أو بحيرة القوس)	رواسب القناة
برّكة. رواسب المستنقع والحث السبخي.	رواسب الشرفة. رواسب الشق - الفلق. رواسب حوض الفيضان.	

(عن : Allen 1965)

كما يوضح (الشكل ١٧٤) التوزيع الجغرافي والعلاقة الموجودة بين هذه الظروف الشبه بيئية. تصبح ضفتا النهر (River banks) بشكل وراثي غير ثابتة بسبب القوة التحتائية السائدة للتيار في القناة. ويظهر عدم الثبات من تغير أو نزوح القناة من مكان لآخر، ومن التحات الجانبية لحوائط القناة. ومن الخواص الوراثة أيضاً، ولكن وتحت ظروف معينة، نجد أن القنوات النهرية تأخذ موضع التعرج بشكل التوائي عبر سهول فيضاناتها. وعند تدفق المياه حول المنعطف النهري تزداد سرعة التيار على أطراف الضفة الخارجية من المنحنى (أو المنعطف) وتنقص على الضفة الداخلية. ويؤدي هذا إلى حث الضفة الخارجية وتشكيل الجدار الشبه عمودي (Subvertical cliff). وتقل بالعكس سرعة التيار على الأجزاء الداخلية أو القريبة من المنعطف مما يسمح بترسيب حمل الطبقة وتكوين منحدر حافة الحاجز (Bar). وتتشكل كتبان رملية مترسبة تحت مائية على حواجز الحافة للأنهار الرئيسة وهذه تهاجر في اتجاه أسفل التيار حول المنعطف حيث ترسبت





شكل (١٧٤). التوزيع الجغرافي للسحانات النهرية فوق سهل فيضان مقطوع بقنوات نهر متعرج. ويوضح هذا الرسم كيفية تشكيل الهجرة الجانبية للقناة. تنعيم حبيبي رأسي على الجانب الداخلي المحذب لضفة النهر. (عن: Visher, 1965a)

طبقات رملية ذات تطبق متقاطع. وتبقى طبقة النهر في وسط القناة ثابتة في قطاعها العرضي. ويترسب على هذه الطبقة زلط متخلف (يعرف باسم Lag gravel) ويتكون من كسر خارجية النشأة وحوضية النشأة (Intraformational and extraformational clasts). وقد يكون هذا الراسب مشترك معه في التكوين بعض القطع الأحفورية المبرية من العظام والأسنان والأصداف والقطع الخشبية (Wood fragments).

ومع مرور الزمن واستمرار العمليات النهرية تتعرج القناة فوق الجانين لترسب تتابعاً طبقياً مميزاً بحبيبات متدرجة حجمياً وبنيات رسوبية متنوعة، حيث يوجد عند قاعدة التتابع سطح متآكل وتحاتي ذو نشأة محلية يقطع عبر رواسب نهرية قديمة أو طبقة صخرية (انظر القطاع العمودي في شكل ١٧٤). ويعلو هذا السطح رواسب القناة المتخلفة في القاع والمكونة من الزلط والرواحص والمذملكات وغيرها. وربما تأخذ هذه الطبقة سمكاً ضئيلاً جداً لا يزيد على سمك كسرة من الكسر المتخلفة أو تكون طبقة سميكة تقاس بعشرات الأمتار، وقد تكون هذه الطبقة ذات تطبق متقاطع أو عديمة

البنية وشديدة الخشونة . ويأتي فوق هذه الوحدة رواسب حاجز الحافة الرملية ذي التطبيق المتقاطع . وفي معظم الحالات تُظهر رواسب حاجز الحافة (Point bar) تتابعات طبقية تتناقص أحجام حبيباتها في الاتجاه الرأسي، تعرف بالمصطلح (Fining-upward sequences) وتعكس هذه الظاهرة مدى التناقص المتطور جانبياً في سرعة التيار من أرضية القناة عبر حاجز الحافة وحتى الضفة الداخلية للمنعطف . وسوف لا يتشكل التنعيم الرأسي لأحجام الحبيبات إذا كان مصدر الفتات لا يحتوي على كميات كافية من أحجام حبيبات مختلفة .

ومن المعروف لدينا أنه يندر ثبات معدل سرعة الصَّرف في القناة النهرية . ويؤدي الانخفاض في الصَّرف إلى تقلص النهر داخل إطار قناته الرئيسة ومن ثم، يجد طريقه من بين الحواجز الرملية المتراكمة في الجزء المتشعب من النهر والتي تترسب أثناء الفيضان الشامل . وبالعكس تتسبب الزيادة في الصَّرف في رفع مستوى النهر حتى يفلق أو يشق ضفتيه . وعندما تتدفق المياه عبر شرفة النهر ربما تتناقص سرعة التيار، ومن ثم تترسب طبقات (Layers) من الرواسب والتي تنخفض في أحجام حبيباتها كلما ابتعدنا عن الشرفة . وربما تبنى رواسب الشرفة (Levees) أعلى فأعلى، وعلى أي من جانبي ضفتي القناة . وتفصل رواسب الشرفة القناة عن أحواض الفيضان الواقعة في منخفض السهل الطمي الغربي على جانبي النهر (شكلاً ١٧٢، ١٧٣) .

عامة تتكون رواسب حوض الفيضان من رمل ناعم الحبيبات وطين وغرين . وتظهر هذه الرواسب ترقق متداخل (Interlaminated) وترقق متقاطع وتمتاز بوفرة شقوق الجفاف . وتكون غالباً رواسب حوض الفيضان مسلكية (Burrowed) وبشكل متتابع متقبة يجذور النباتات وتقع تحت ظروف مناسبة من التشبع المائي والتي ربما تصبح مستنقعات لتكوين طبقات نباتية ناقصة التفحم المعروفة باسم الخث (Peat) وتكون أحياناً مصاحبة لتشكيل المستنقعات السَّبخية والتي يطلق عليها مصطلح (Marshes) . وكما ذكرنا سابقاً أنه من المحتمل أن يحدث فُلُقا (Crevasse) في إحدى أو في كلتا ضفتي قناة النهر وذلك نتيجة لارتفاع مستوى منسوب ماء النهر تحت ظروف غير عادية . فتندفع من خلال هذه الكسور مياه النهر حاملة معها رواسب رملية وحلية . وتترسب هذه الرواسب في اتجاه أحواض الفيضان على هيئة فصوص (Lobes) تشبه في نشأتها

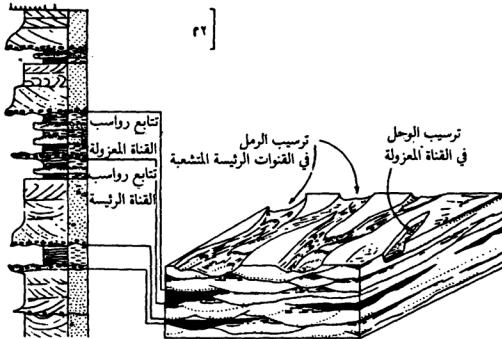
التكوينية نشأة أجسام رواسب الدلتا إلا أنها تصغر عنها في الحجم . ويطلق مصطلح رواسب عبر الضفة (Overbank deposits) على رواسب كل من الشرفة (Levee) ، وحوض الفيض (Flood basin) ، والمستنقعات (Swamps) والمنحدرات الكسورية (Crevasse splays) وذلك لتمييزها عن مجموعة رواسب القناة (Channel deposits) ، راجع جدول (٣١) .

وإذا أعدنا النظر في الجدول (٣١) نجد أنه يقسم القنوات إلى نوعين هما القنوات النشطة (أو الرئيسة) والقنوات المهجورة أو المتروكة . وربما تتوقف فجأة عمليات ترسيب القناة التي سبق شرحها وذلك بسبب تغيير أو نزوح مجرى القناة . ويمكن أن يحدث هذا بطرق متعددة . فباستطاعة قناة النهر المنعطف أن تصل في النهاية إلى التعرج الخلفي حول نفسها مشكلة حلقة قنوية قصيرة . ويحدث نوع آخر من النزوح القنوي عندما يرتفع مستوى النهر أعلى من سهل الفيضان نتيجة لبناء الشرفة للحد الذي تصبح فيه أرضية النهر تعلو عن سطح سهل الفيضان . وربما يصبح تشكيل أو تكوين إنكسار (أو شق) في الشرفة شديد الاتساع وعميق لدرجة أنه حتى عندما يتلاشى الفيضان إلى التصريف الطبيعي لا يزال يصب النهر خلال انكسار المجري الجديد ويتوقف التدفق في مجرى النهر المرتفع القديم . وغالباً يحدث مثل هذا النوع من النزوح القنوي بمقياس ضخم مما ينتج عنه كارثة فيضانية تؤدي إلى فقدان الحياة وحوادث تضرر حول هذه المناطق . وتختص أنظمة الأنهار المتعرجة بهذين النوعين من النزوح القنوي .

وبالعكس في حالة شبكات الأنهار المتشعبة المنخفضة الانعطاف ، يحدث تشكيل القناة المعزولة (Abandoned channel) نتيجة اتساع وتضخم في أجسام الحواجز القنوية (Channel bars) حتى يصل تضخمها إلى حد قفل إحدى المجاري مما ينتج عنه تغيير مجرى الماء في اتجاه آخر . وبشكل آخر تتسبب عملية الحت التي تحدث في مقدمة القناة المنشقة في الرواسب الناعمة إلى إتصال تدفق الماء في مجرى القناة الرئيسة الموجودة سابقاً .

تتسبب هذه العمليات في كل من أنظمة الأنهار المتعرجة والمتشعبة في تغيير مفاجيء من ترسيب قنوي نشيط إلى ترسيب قنوي معزول أو مهجور . وفي بعض الحالات ربما لا تزال النهاية المنخفضة للقناة المتروكة مفتوحة إلى الخارج كماء عائد إلى

القناة الرئيسية. ولكن بعد فترة من الزمن، ربما تقفل هذه الفتحة لتكون بحيرة قوسية معزولة تعرف باسم (Ox-bow lake) (انظر شكلاً ١٦٣، ١٧٢)، وتقع في وسط سهل الفيضان ومبتعدة عن القناة النشطة. وتشبه رواسب القناة المتروكة رواسب أحواض الفيضان. وتتكون هذه الرواسب من رمل ناعم وغرين وطين وتحتوي على نباتات رسوبية مثل الترقق والترقق المتقاطع وشقوق الجفاف ومسالك بعض الديدان. هذا بالإضافة إلى أنها تكون أحياناً متداخلة مع بعض رقائق الحث (Peats layers) ومحتوية على شقوق وثقوب وبعض جذور النباتات. وتميز رواسب القناة المتروكة من رواسب حوض الفيضان من شكل القناة الحجمي ومن أنها في الحقيقة تنتقل فجأة عند القاع إلى رواسب أرضية القناة المتكونة من زلط متخلف (Lag gravel) بدلاً من مرورها تدريجياً، عند القاع، إلى رمل حاجز الحافة (Point bar sands) ذي التطبق المتقاطع كما هو الحال بالنسبة لرواسب حوض الفيضان، (راجع القطاع العمودي في شكلي ١٧٤، ١٧٥).



شكل (١٧٥). التوزيع الجغرافي وسحنات نظام قنوات النهر المتشعب. تَقْبِ سَهْل الفيضان وتُذَر ترسيب الغرين في القنوات المعزولة وحدثت معظم الترسيب بشكل كلي في شبكة القنوات المتفرعة والسريعة التزوح. (عن: Selley, 1976)

إن ما سبق شرحه عن عمليات الترسيب للأنهار الحديثة ورواسبها ويميزاتها المذكورة آنفاً، أُنْتُبَط من قراءة واسعة النطاق لأبحاث عديدة في هذا المضمار والتي أصبحت مراجع هذا الموضوع ومن أهمها:

Selley, (1994, 1990, 1985, 1982, 1978); Reineck and Singh, (1975); Allen, (1965); Leopold *et al.*, (1964); Sundborg, (1956); Shantser, (1951); Mial, (1978, 1984); Raymond, (1995) and Boggs, (1995).

### Characteristics of braided streams خصائص الأنهار المتشعبة

تتميز الأنهار المتشعبة بخصائص متنوعة أهمها ما يلي:

- ١ - تشكل أنظمة الأنهار المتشعبة من شبكة قنوات صغيرة تنفذ إلى بعضها داخل قناة رئيسة وتكون هذه القنوات ذات انعطاف بسيط.
- ٢ - توجد الأنهار المتشعبة على مقربة من الماراج الطمية الغرينية (Alluvial fans)، المعروفة بالماراج السفحية (Piedmont fans) المشكلة عند أطراف الجبال، شكل (١٦٥)، في مناطق ذات مناخ قاحل وشبه قاحل وعلى امتداد العديد من مقدمات الجبال المطوقة بالمثالج (Periglacial mountains) وعند أطراف قلسوات (أقبية) الثلج (Ice caps) وعند مقدمات الجليد (Snouts of glaciers).
- ٣ - تختص هذه الأنهار بانحدارات شديدة نسبياً وتحتوي على رواسب أخشن من رواسب أنظمة الأنهار المتعرجة.
- ٤ - يكون التصريف فيها فصلياً ومتقطعاً (Ephemeral) وخاصة في المناطق الثلجية والأقاليم الجبلية حيث تكون أكثر تبعثراً في الأماكن الصحراوية.
- ٥ - تكون القنوات المتشعبة عامة محملة فوق طاقتها من حيث رواسبها الخشنة الحبيبية وأيضاً من حيث التدفق المرتفع والسائد.
- ٦ - يتسبب الاستمرار في تشكيل بناء الحواجز القنوية (Channel bars) في تكوين الممرات المنحدرة (Thalwegs) والاستمرار في النزوح وتغيير مواضع المجاري النيارية حتى تتلاقى مع مجرى قناة أخرى.
- ٧ - تتكون السهول النهرية المتشعبة بشكل أساسي من شبكة قنوات ينعدم فيها وضوح أرضية عبر القناة (Overbank terrain).

٨ - يستقر راسب الحمل المعلق الناعم فقط في القنوات المتروكة النادرة الوجود وفي برك القنوات النشطة عندما يبدأ الفيضان.

٩ - تتكون رواسب أنظمة الأنهار المتشعبة من زلط قنوي متخلف بكميات كبيرة ومن حواجز رملية قنوية حيث تحتوي على تطبيق متقاطع. ويترسب الرمل الناعم والغرين في القنوات المتروكة القليلة، وتحتوي هذه الرواسب على بنيات رسوبية مثل الترقق والترقق المتقاطع وشقوق الجفاف (شكل ١٧٥).

ولكن كثير من التفاصيل المتعلقة بالأنهار المتشعبة ورواسبها راجع كلاً من:

Selley, (1994, 1990, 1985, 1982, 1978); Mial, (1978, 1984); Collinson, (1986); Reineck and Singh, (1975); Williams, (1971); Doeglas, (1962); Rust, (1972) and Boggs, (1995).

#### خصائص الأنهار المتعرجة Characteristics of meandering streams

تتميز الأنهار المتعرجة بخصائص متنوعة أهمها ما يلي:

١ - تعقّب قناة النهر المتشعب قناة النهر المتعرج وذلك من حيث التوزيع الجغرافي (شكل ١٦٣).

٢ - فكلما ابتعدنا عن المصدر، يقل مقطع منحدر النهر، وينقص حجم حبيبات الرواسب، ويتلاشى عدد القنوات المتشعبة في منطقة سهل الفيضان ويزداد انعطاف القناة الرئيسة.

٣ - يمكن أن تتغير السهول النهرية المتشعبة في اتجاه أسفل النهر إلى سهول فيضانية متسعة تعبر بقنوات أنهار متعرجة (شكلاً: ١٦٣، ١٧٤).

٤ - تتكون رواسب هذه الأنهار المتعرجة من سحنات كل من القناة الرئيسة النشطة، والقناة المتروكة وعبر الضفة، (شكل ١٧٤).

٥ - تزداد نسبة الرواسب الطميية والغرينية وتقل نسبة رواسب الرمل والزلط في الأنهار المتعرجة عنها في الأنهار المتشعبة.

٦ - يحدث التغيير أو الزوج القنوي المفاجيء في الأنهار المتشعبة تشكيل تتابع تحت سحني غير منتظم بينما تنتج الهجرة الجانبية الهادئة في قنوات الأنهار المتعرجة تتابعاً طبقياً يمتاز بتناقص في حجم الحبيبات في الاتجاه الرأسى (Fining-upward sequence)

ومرتبط بتدرج معين في بنياته الرسوبية، انظر القطاع العمودي في (شكل ١٧٤)، راجع: Reineck and Singh, (1975); Mial, (1978, 1984); Selley, (1990, 1994, 1985, 1982, 1978); Raymond, (1995) and Boggs, (1985).

### مميزات وأصل نشأة الرواسب النهرية الدورية

١ - تبين من دراسة السحنات النهرية أن رواسب دورات الأنهار تتناقص في أحجام حبيباتها في الاتجاه العمودي ويطلق عليها مصطلح الدورات المتنمة في الاتجاه الأعلى (Upward-fining cycles). وتكرر هذه الدورات عبر سمك كبير من الطبقات، انظر أمثلة هذه الدورات في كل من: Allen (1964b), Friend (1965), Allen and Friend (1968).

٢ - تختلف الدورات النهرية في معدل سمكها الذي يتراوح من متر إلى حوالي عشرين متراً.

٣ - يعود أصل نشأة هذه الدورات النهرية إلى عدة عوامل محتملة، نذكر منها ما يلي:

(أ) التغيرات المتوازنة (Eustatic) في مستوى سطح البحر والتي حدثت أثناء العصر الجليدي (Ice age)، (Turnbull *et al.*, 1950).

(ب) الانخفاض غير المنتظم (Erratic subsidence) في أحواض الترسيب المحاطة بصدوع نشطة قد يتسبب في تكرار تدرج رواسب سهول الفيضانات ومن ثم تتشكل الدورات النهرية الكبيرة المقياس والمعروفة باسم (Cyclothems).

(ج) التغيرات المناخية الدورية، وخاصة المتعلقة بنسبة هطول الأمطار والثلوج، ربما تؤثر في مناهج تصريف الأنهار وفي كمية مياه الفيضانات. لأنه بإمكان هذه التغيرات المناخية أن تحدث تذبذباً في إمداد كمية راسب الأنهار وهذه بدورها ربما تكون مسؤولة عن تكرار تشكيل التتابع الطبقي النهرى المتميز بدوراته القوية ذات التنعيم الحبيبي الراسي.

(د) ربما يتشكل تكرار الدورات النهرية نتيجة الهجرة الجانبية (من وإلى) في قناة النهر عبر منطقة سهل فيضانه بالإضافة إلى تعديل تدريجي توازي (Gradual isostatic adjustment) في أرضية حوض الترسيب نتيجة ثقل الراسب (Beerbower, 1964).

### خصائص أحجام حبيبات الرواسب النهرية

- ١ - تتكون رواسب القناة النهرية عامة من رمل وزلط وتصنيف هذه الرواسب معتدل (Moderate) إلى جيد التصنيف (Good sorting) وينخفض فيها محتوى الطين .
  - ٢ - تتكون رواسب الضفة من رمل ناعم وغرين وذات تصنيف معتدل .
  - ٣ - تتكون رواسب حوض الفيضان من غرين وطين وهي رديئة التصنيف (Poorly sorted) وتحتوي على نسبة عالية من الطين .
- وقد عملت عدة محاولات لتمييز رواسب الأنهار (Fluvial deposits) وأنواعها تحت سحنة واستخدمت في ذلك المعاملات الحجمية الحبيبية (Grain size parameters) لهذه الرواسب .

ففي كثير من الحالات أثبت نجاح تطبيق منهاج الرسم الخطي للمعاملات (C/M) في تعريف البيئات النهرية (Fluvial environments) وأيضاً تحت بيئة النهرية (Fluvial subenvironments) . راجع أبحاث كل من : (Passega 1964, Royse 1970) .

كما أوضح (Visher, 1965b) أنه من دراسة تفاصيل أحجام حبيبات الرواسب النهرية يمكن أن نميز اختلافات تحت بيئة لتتابع نهري . وقد أعطى عامل التحليل لاختصاصات التوزيعات الحجمية الحبيبية (Grain size distributions) أربعة منحنيات تصنيفية جيدة التعريف وكل واحد من هذه المنحنيات يشير إلى عملية ترسيب .

١ - تطبق مقاطع حوضي كبير المقاس .

٢ - تطبق أفقي .

٣ - تطبق مقاطع صغير المقاس .

٤ - ترقق نيمي - متسلق (Climbing-ripple lamination) .

(راجع : (Visher, 1969) ، ويضيف (Visher, 1969) إنه إذا رُسم التحليل الحجمي الحبيبي للرواسب النهرية على مقياس الاحتمالات (Probability scale) فإن هذه الرواسب تعكس منهاجاً مميزاً وتبين منحنيات هذا التحليل الحجمي تشكلاً جيداً في حمل الرواسب المعلقة (Suspension population) ، (يصل إلى حوالي ٢٠٪) . وتقع نقطة الانكسار (Truncation point) بين مجموعة الرواسب العالقة والرواسب القافزة (Saltation population) ، أي بين ٢,٧٥ و ٣,٥ فأى . ولا يوجد تمييز بين الرواسب



الزاحفة على أرضية القاع والرواسب القافزة، ولكن إذا وجدت رواسب الزحف السطحي فإنها تكون أحسن من واحد فأَي . وقد ميزت مثل هذه المناهج (Patterns) في كثير من الرواسب النهرية القديمة (راجع Moshrif, 1980, 1989).

وهناك عدة رسوم للمعاملات الحجمية الحبيبية والتي قد تكون نافعة أيضاً في تمييز وتعريف الرواسب النهرية، وأهمها:

عندما نرسم كلاً من معامل الوسط بالفأَي ( $Md \phi$ ) مقابل معامل الانحراف (Median versus Folk's skewness)، ومعامل الوسط بالفأَي مقابل معامل الانتشار ( $Md \phi$  versus  $\sigma I \phi$ )، انظر أبحاث كل من:

Moshrif (1980, 1989); Royse (1970); Kukal (1971) and Friedman (1961). وعامة تكون الرواسب النهرية ذات نمطين (Bimodal)، وموجبة الانحراف (Positively skewed) وخاصة رواسب القناة. وفي التابع العمودي نجد أن هناك تناقصاً حجمياً حبيبياً (Fining upward of grain size) في الرواسب النهرية.

### ٣ - البيئات البحرية Lacustrine environments

تمثل البحيرات الأجسام المائية الراكدة والمملوءة في معظم الحالات بمياه عذبة إلا أن هناك العديد من البحيرات المالحة. كذلك البحار المحصورة والبرك الشاطئية المعزولة تمثل بشكل جزئي أجسام مياه ساكنة (وهذه سوف تناقش فيما بعد في هذا الفصل).

ويمكن تصنيف ووصف البحيرات بناءً على عدة مفاهيم وآراء متداولة. فيمكن أن نصف بحيرة ما بناءً على شكلها والذي يعبر عنه بالطول والعرض والعمق وهكذا، أو بناءً على شكلها السطحي (in plane view). وبالإمكان أن تكون البحيرة مستديرة أو بيضاوية، أو نصف قمرية، أو مستطيلة أو مثلثية أو غير منتظمة الشكل. ومن ثم فإن الأبعاد الحجمية للرواسب البحرية بالإمكان أن تكون متنوعة بشكل واسع النطاق. هذا بالإضافة إلى أنه ربما يستمر تغيير شكل البحيرة مع مرور الزمن. فنحت ظروف محيطة من التكتونيات الرسوبية، ربما تتكون رواسب بحيرية سميكة التابع، هذا إذا أخذنا في الاعتبار توفر فترة ترسيبية طويلة من الزمن، ومن المحتمل جداً أن مثل هذه الرواسب البحرية تبقى محفوظة في السجل الجيولوجي (Reineck and Singh, 1975).

ومن أهم الأبحاث التي صنفَت البحيرات بناءً على نمط أصل نشأتها نذكر منها ما يلي:

(Twenhofel (1950), Schwarzbach (1964), Smith (1968) and Reeves (1968). فمثلاً ميز العالم (Reeves, 1968) أنواعاً عديدة من الأحواض البحرية مثل: الحوض البنائي، وحوض الحركة الكتلية (Mass movements)، والحوض البركاني، والحوض الجرمي (Meteoric basin)، وحوض المحلول والحوض الثلجي والحوض النهري، والحوض الريحي، والحوض العضوي، والحوض الحيواني، وحوض خط الشاطئ.

ويشكل المناخ العامل الأعظم أهمية من حيث التحكم في خصائص الرواسب البحرية. ويتحكم المناخ في كمية هطول الأمطار والثلوج والتبخير وفي طبيعة التجوية وطبيعة التربة في منطقة التجمع (Catchment area) وأيضاً في نوعية نمو النباتات. كما تعتمد إساقفة كمية الرواسب الفتاتية إلى حوض البحيرة على التذبذبات الفصلية في تصريف الأنهار. ونستطيع تصنيف سحن البحيرات إلى مجموعتين رئيسيتين هما:

(أ) الرواسب الفتاتية البحرية.

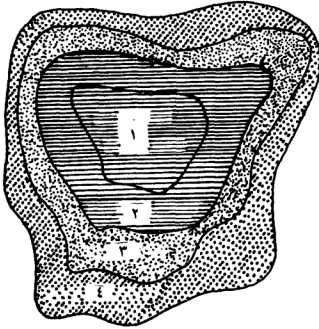
(ب) الرواسب الكيميائية البحرية.

ومع ذلك تشكل مناطق انتقالية من بحيرات تمتاز فقط بترسيبات فتاتية إلى بحيرات ذات رواسب ملحية (Salt precipitations). ومن ثم تتداخل الرواسب الكيميائية مع الرواسب الفتاتية، على سبيل المثال يتداخل الطين مع الرواسب الملحية (مثل معادن الكربونات ومعادن البخر). وتتكون البحيرات ذات الرواسب الملحية في المناطق المناخية القاحلة إلى شبه القاحلة حيث تكون عملية التبخر أعلى من عملية هطول الأمطار. وتوجد البحيرات ذات الرواسب الفتاتية في جميع الأقاليم من المناطق ذات المناخ القاحل إلى المناطق ذات المناخ البارد بالقرب من الثلجيات، (Reineck and Singh, 1975).

(أ) الرواسب الفتاتية البحرية

توجد الرواسب الفتاتية البحرية في البحيرات السبخية (والتي سبق الحديث عنها في هذا الفصل) والبحيرات الثلجية (Reineck and Singh, 1975) والبحيرات القوسية (المعروفة بالقنوات النهرية المتروكة والتي سبق الحديث عنها تحت البيئات

النهرية). والبرك الشاطئية (Lagoons) التي ستناقش فيما بعد تحت البيئات البحرية. وقد أعطى (Twenhofel, 1932) صورة نموذجية لتوزيع الراسب في البحيرات (شكل ١٧٦). ويظهر من هذا الشكل أن رواسب البحيرات تتكون من حزام خارجي من حصيات شاطئية يتبعه حزام رملي ثم حزام داخلي من طين غريني رملي ويحتل المركز راسب وحلي. ويتطابق هذا النمط الحلقي مع التوزيع الحلقي المشابه من الطاقة المائية في منطقة الانكسار (Breaker zone)، متبوعة بمنطقة فوق قاعدة الموج (Above wave base) ومنطقة تحت قاعدة الموج (Below wave base) ولكن يوجد في الطبيعة اختلافات عديدة عن هذه الصورة النموذجية. ولذلك نجد أنه بسبب انطلاق الرياح السائد من اتجاه واحد ربما يتشكل منه حزام الحصيات الشاطئية فقط على جانب واحد من البحيرة. وفي حالة وجود منحدر شديد للشاطيء ربما يتقدم تكوين المنطقة الرملية. ولكن أظهرت عدة بحيرات توزيع الراسب الذي اقترحه الباحث (Twenhofel, 1932) مثل بحيرة كنستنس (Lake Constance)، (Reineck and Singh, 1975) وحيث إن رواسب البحيرة لا ينمو بناؤها من الحواف (أو أطراف البحيرة) لذلك لا يمكن تكوين



- ١ - حجر طين أو كربونات (جير) .
- ٢ - حجر طين رملي غريني وبه نسبة عالية من الكربونات .
- ٣ - حجر رمل .
- ٤ - راص رملي .

شكل (١٧٦). توزيع تخطيطي للرواسب البحرية. (عن : Twenhofel, 1932)

تتابع عمودي من مثل هذا التوزيع الجانبي للرواسب. وبما هو متوقع حدوثه هو أن تملأ البحيرة بترسيب الغرين والطين في الحوض المركزي وذلك نتيجة بناء رواسب أجسام الدلتا عند أطراف البحيرة بواسطة نهر أو أكثر يصل إلى البحيرة. راجع Wagner, (1950) and Visser, (1965).

### (ب) الرواسب الكيميائية البحرية

تشكل الرواسب الكيميائية أهمية عظمى بين رواسب البحيرات ويعتمد التكوين الكيميائي لماء البحيرة بشكل أساسي على المواد الذائبة والمعلقة والتي تساق إلى البحيرة. وترسب العديد من الأملاح نتيجة العمليات الكيميائية والحويوية التي تحدث في البحيرات. ومن أهم الأملاح المترسبة في البحيرات نذكر ما يلي:

كلسييت، أراجونيت، دلوميت، أنهدريت، جبس، جلويريت (Glauberite)،  $\text{CaSO}_4 \cdot \text{Na}_2\text{SO}_4$  وإسوميت  $(\text{MgSO}_4 \cdot 7\text{H}_2\text{O})$  والهلالت (NaCl) والبوركس  $(\text{Na}_2\text{B}_4\text{O}_7 \cdot 10\text{H}_2\text{O})$ ، والنتر  $(\text{KNO}_3)$ ، وغيرها (انظر: Reeves, 1968). وقد أشار (Müller et al., 1972) عن تشكيل كربونات الكالسيوم والمغنيسيوم في البيئة البحرية. وحيث إن التوسع في موضوع الرواسب الكيميائية المترسبة في البحيرات يبعد بنا عن مستوى هذا المقرر فنكتفي بذكر أهم المراجع التي تناقش هذا الموضوع بالتفصيل (انظر: Reeves 1968, Picard and High, 1972).

### Characteristics of lake environments البيئات البحرية

تختص رواسب البيئات البحرية بخصائص عديدة نذكر أهمها كما يلي:

١ - تتكون رواسب البحيرات عامة من رواسب ناعمة الحبيبات وذات تطلب مترقق.

٢ - تشتمل سميزات البيئات البحرية على مؤشرات تشير إلى أنها بيئات ترسيب مائية تغيب منها الأحافير البحرية وتتوفر فيها أحافير المياه العذبة.

٣ - يشبه التتابع الرسوبي البحري تتابع رواسب شاطئ البحر المتراجع (A regressive marine shoreline sequence). ولكن الفرق الرئيس بين منهاج رواسب البحيرة ومثيله من الرواسب البحرية يحدده الفرق في المقياس. تنتقل رواسب البحيرات بشكل جانبي إلى رواسب حافة (Marginal) في جميع الاتجاهات بينما تدرج الرواسب

البحرية في اتجاه جانب واحد من رواسب مياه قليلة العمق إلى رواسب مياه أعمق فأعمق تستمر إلى مسافات لا نهاية لها.

٤ - تتكون رواسب وسط البحرية من جسيات ناعمة الحبيبات بينما تتكون رواسب أطراف البحرية من رواسب خشنة أو ناعمة. وتنتج الرواسب الخشنة في أطراف البحرية من ترسيبات الدلتا والمراوح النهرية والسهول النهرية والشواطئ البحرية وذلك لأن معظم البحيرات تقع في أحواض صدعية. وتنتج الرواسب الناعمة في أطراف البحرية من مسطحات كربونات البحر (Carbonate-evaporite flats) أو من رواسب المستنقعات السبخية.

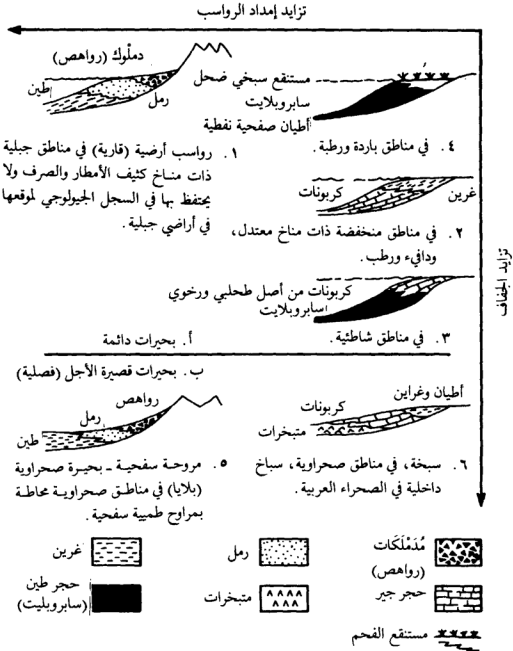
٥ - يبدأ التابع البحري برواسب ناعمة مترققة ومترسبة في مركز البحيرة العميق ثم يلي ذلك في اتجاه أطراف البحيرة رواسب خشنة لبيئات نهريّة ودلتاوية ومستنقعات وتكون هذه الرواسب الخشنة رملية وذات تطبق متقاطع.

٦ - تعكس رواسب البحيرات دورات رسوبية تزداد أحجام حبيباتها في الاتجاه العمودي (Coarsening-upward).

٧ - تتسبب التغيرات المناخية في تذبذب مستوى منسوب المياه في البحيرات ومن ثم يحدث هذا تأثيراً في الرواسب من حيث تشكيل الدورات التراجعية/التقدمية (Transgressive/ regressive cycles) البحرية، وهو أيضاً يسبب اضطراباً في سحانات البحيرة والتي تعكس ترسيباً انتقالياً متراجعاً بشكل عام.

٨ - يوضح النموذج الرسوبي البحري الذي وضعه (Kukal, 1971) أربعة أنواع مختلفة من الرواسب البحرية (شكل ١٧٧) ويعتمد هذا النموذج على التوزيع المساحي للرواسب المختلفة في البحيرات الدائمة الحديثة. أضيف إلى هذا النموذج نوعان آخران من رواسب البحيرات المؤقتة والموجودة في الأقاليم القاحلة (وهذه سبق شرحها تحت عنوان بحيرات البلايا والسبخات) وقد رُتبت أنواع هذه النماذج البحرية طبقاً لدرجة الجفاف والانحدار الطبوغرافي والذي ربما يتوقع أن يشكل أنواعاً بحيرية مختلفة (Selley, 1976).

ولمزيد من التفاصيل المتقدمة في هذا الموضوع على طالب الدراسات العليا مراجعة كل من المراجع التالية:



شكل (١٧٧). نماذج أصناف البحيرات الرسوبية.

(عن : Visher 1965, Kukal 1971, Selley 1976, 1982, 1994)

Reineck and Singh, (1975); Friedman and Sanders, (1978); Blatt *et al.*, (1980); Pettijohn, (1975); Reeves, (1967, 1972); Van Houten, (1964); Hutchinson, (1957); Boggs, (1995), Raymond, (1995); Selley, (1982, 1985, 1990, 1994); Hawarth and Lund, (1984); Burgis and Morris, (1987); Fouch and Dean, (1982); Dean and Fouch, (1983); Allen and Collinson, (1986).

#### ٤ - البيئات الثلجية *Glacial environments*

حيث إن رواسب البيئات الثلجية ورد عن ظهورها في اليمن (El-Nakhal, 1984) ولم يرد عن ظهورها في بقية الجزيرة العربية وربما تكون محدودة الوفرة في عالمنا العربي فنسكتفي هنا بإعطاء الخصائص والمميزات العامة لهذه البيئات الترسيبية :

##### خصائص ومميزات رواسب البيئات الثلجية

١ - عندما تتعرض منطقة ما للنشاط الثلجي فإن ذلك ينعكس على مظهر طبيعية تلك المنطقة وما طبع فيها من عمليات حت وترسيب حدثت نتيجة نشاط حركة المثلج عليها. فمثلاً يكثر في هذه المنطقة وجود كل من الوديان ذات الشكل المقعر والمعروفة بالوديان النُويّة والتي تأخذ شكل حرف (U) وتدعى باسم هذا الحرف (U-Valleys)، والوديان المعلقة (Hanging Valleys)، والدوائر الثلجية (Cirques) والبحيرات الثلجية (Glacial lake). ولكن فرصة الاحتفاظ بهذه المعالم الطبيعية في العمود الجيولوجي شبه نادرة لذلك يصعب تمييز أي منها إذا وجدت بين الرواسب القديمة.

٢ - توجد بُنَيَات حت (Erosional features) مثلجية صغيرة إلى متوسطة الحجم تُثبت نشاط مثلجي في المنطقة، من بين هذه الأشكال تخطيط وتقليم (Striation) أسطح الطبقات الصخرية وفي بعض الأحيان تظهر هذه الصخور مصقولة (Polished) وتحتوي على علامات دائرية وحيدة المركز (Concentric marks). كما تظهر المنطقة الثلجية على شكل حدبات مثلجية (Drumlins) تكون موازية لاتجاه حركة الجليد. وربما يتشكل بين منخفضات هذه الحدبات الثلجية برك ومستنقعات سبخية.

٣ - كذلك من خصائص الأقاليم الثلجية انتشار الجلاميد (Boulders) والكتل الصخرية والتي تعرف باسم (Erratic blocks)، وهذه بدورها تكون غريبة عن الصخور المحلية حيث تختلف عنها في التكوين المعدني. ويمكن الاستعانة بِجُزْأَتِ هذه

الصخور الثلجية في الوصول إلى معرفة اتجاه تدفق الجليد.

٤ - تتكون الرواسب الثلجية من طبقات صخرية مبرية ذات سطوح مقلمة (Striated) ، وريوبات ثلجية (Hummocks) وحريث ثلجي يعرف باسم (Till) وطين رقائقي حولي (Varves). وتحتوي الرواسب الرملية والطينية الثلجية على بنيات مشوهة ومضطربة (Cryptoturbation structures) .

٥ - تعرف رواسب المثالج بالرواسب المجروفة (Drift deposits) أما مصطلح حريث (Till) فهذا مصطلح بتروغرافي يستخدم في الدراسة المجهرية . ويستخدم مصطلح (Tillite) للرواسب الثلجية القديمة . وفي كثير من الأحيان يفضل استخدام مصطلح الرواسب الثلجية (Glacial sediments) لأنها تشير إلى أصل نشأة هذه الصخور.

٦ - تظهر الرواسب الثلجية عديمة التطبق (Nonstratified) وهذه دلالة على أنها ترسبت نتيجة نشاط الثلجة بينما تدل الرواسب الطباقية على أنها تشكلت تحت نشاط تدفق المياه .

٧ - تمتاز الرواسب الثلجية باختفاء التصنيف (Sorting) وتختلف أحجام حبيباتها من مقياس الميكرون إلى عدة أمتار أي تحتوي على أحجام جسيمات من الطين والرمل والحصى إلى الجلاميد والكتل الصخرية .

٨ - لقد لخص (Kukal, 1971) العوامل الرئيسة التي تتحكم في طبيعة الرواسب الثلجية وهي كالتالي :

( أ ) خاصية الطبقة الصخرية التي يتحرك عليها الجليد .

( ب ) الخواص التضاريسية وسرعة تدفق الجليد .

( جـ ) موقع الرواسب المنقولة بالنسبة للجليد .

( د ) نمط الترسيب .

( هـ ) إعادة ترسيب الرواسب بواسطة الماء المنصهر أو المائع .

٩ - أوضح (Kukal, 1971) أن الرواسب الثلجية غير المتطبقة والمترسبة مباشرة من الثلج تتميز بوجود كمية معينة من الزلظ وتوزيع متوازن بين أجزاء كميات الرمل والغرين والطين . كما تظهر حبيبات الراسب الكبيرة متناثرة بشكل غير منتظم في راسب الأرضية الدقيق الحبيبات (Diamictite).



١٠ - تحتوي رواسب المثالج على العديد من المعادن غير الثابتة (Labile minerals) مثل الفلسبار ومعادن حديد المغنسيوم كحبيبات متغيرة ومزواة وتوجد حتى في أجزاء راسب الغرين والطين . ويمتاز الجزء الرملي بحبيبات عالية التزوي .

١١ - تكون رواسب المثالج رديئة التصنيف ويختلف الحجم الأوسط (Median size) لهذه الرواسب حيث يقترب معامل الانحراف (بالفاي) من الصفر، أي أنه يكون متراوحاً بين الجانب الموجب والجانب السالب .

١٢ - تتعرض تقريباً جميع رواسب المثالج إلى بعض عمليات إعادة الترسيب بواسطة الماء المائع . ومن أهم مؤثرات إعادة الترسيب هو ما تعانيه هذه الرواسب من إزاحة لرواسب الطين والغرين والتي ينتج عنها تضخم في الرواسب الخشنة . وتظهر الرواسب المعاد ترسيبها متداخلة مع رواسب مثلجية غير معاد ترسيبها . ويمكن تمييز هذه الرواسب من كمية حجم رواسب الطين والغرين . فالرواسب المعاد ترسيبها أقل احتواءً للرواسب الناعمة إذا ما قورنت بالرواسب المثلجية غير المعاد ترسيبها . وتختلف درجة إعادة الترسيب بالماء من منطقة إلى أخرى .

١٣ - من مميزات رواسب المثالج وفرة حبيبات الحصى الصغير . وعادة تعكس هذه الحصوات التكوين المعدني للطبقة الصخرية والرواسب المحلية حتى ولو كان بإمكان هذه الحصوات الانتقال عبر المسافات الطويلة . ويندر وجود حصوات المثالج مستديرة، حيث يستبعد بأن تبرى الأطراف والحواف الزاوية إلى منحنيات ناعمة مبرية . كما أن معظم حصوات المثالج تكون قرصية أو أسطوانية الشكل (Disc-shaped) . وعادة ما تكون الحصوات الكبيرة أحسن استدارة من الحصوات الصغيرة . ويحدد شكل الحصى كلاً من عاملي المصدر والتكوين المعدني . كما تظهر أسطح هذه الحصوات مخططة (Striated) وتأخذ حبيبات المثالج توجيهات محبذة (Preferred orientation) حيث تكون المحاور الطويلة موجهة بشكل مواز لاتجاه تدفق الجليد .

١٤ - عند دراسة الحبيبات الرملية لرواسب المثالج تحت المجهر الإلكتروني نلاحظ وجود علامات معينة على أسطح هذه الحبيبات من بين هذه العلامات المكاسر المحارية (Conchoidal fractures) خطوط ضئيلة وكتل متراكبة مكسرة وغيرها، (Kransley and Funnell 1965, Kransley and Doornkamp 1973) .

لمزيد من المعلومات عن المثلج مراجعة : (1982, 1985, Selley, (1995); Boggs, (1990) and Raymond, (1995).

### ثانيًا: البيئات الانتقالية (شاطئية بحرية)

#### Transitional Shoreline Environments

تتداخل أنشطة العمليات الرسوبية البحرية (Marine) وغير البحرية (Nonmarine) في مناطق البيئات الانتقالية. وتحكم العمليات الرسوبية البحرية كل من درجة ملوحة ماء البحر ودوران (Circulation) ماء البحر وأنشطة الأمواج والتيارات والمد والجزر. كما تحكم خصائص تدفقات مياه الأنهار العمليات الرسوبية غير البحرية. وتشغل بيئات كل من الدلتا والحوجز الرملية البحرية الجزء الأكبر والرئيس من مناطق البيئات الانتقالية (Transitional environments). وسوف نستعرض فيما يلي تفاصيل وخصائص هاتين البيئتين.

#### ١ - بيئات الدلتا Delta environments

تشكل رواسب الدلتا في مناطق التقاء الأنهار بأجسام مياه البحار والبحيرات وينتج عن ذلك بناء أجسام مخروطية الشكل من الرواسب التي تنقلها الأنهار وتلقي بها عند مصباتها. وقد عرّف العالمان (Moore and Asquith, 1971) الدلتا على أنها كتلة راسب ترسب بواسطة نشاط النهر عند التقائه بجسم ماء البحر أو البحيرة حيث يترسب جزء من هذا الحمل فوق سطح الأرض والجزء الآخر تحت سطح الماء. وأعظم العوامل أهمية في تنمية تطوير الدلتا هي :

(أ) الإمداد الكبير من الرواسب بواسطة الأنهار.

(ب) انخفاض منطقة الترسيب.

وهناك عدة عوامل تتحكم في شكل الدلتا وهي :

١ - تضاريس الشاطئ، وشكل خط الشاطئ وزاوية انحدار الرصيف القاري.

٢ - سرعة واتجاه الأمواج القادمة من البحر المفتوح.

٣ - مقدار النقل الشاطئي للراسب ومقارنة ذلك بنقل القنوات المتفرعة

للراسب.

٤ - مدى اتساع حدود المد .

وقد ناقش (Morgan, 1970) العوامل التي تتحكم في العمليات الترسيبية ورواسب الدلتا وهي :

١ - منهاج النهر أو نظام النهر (River regime).

٢ - العمليات الرسوبية الشاطئية (Coastal processes).

٣ - السلوك البنائي (Structural behaviour).

٤ - العوامل المناخية (Climate factors).

وربما تكون بعض من هذه العوامل أكثر تأثيراً في إحدى الدلتُ والبعض الآخر في دلتات أخرى . لذلك بالإمكان أن تتشكل أنواع مختلفة وعديدة من الرواسب الدلتاوية (Reineck and Singh, 1975) .

العمليات الرسوبية التي تحدث في بيئة الدلتا

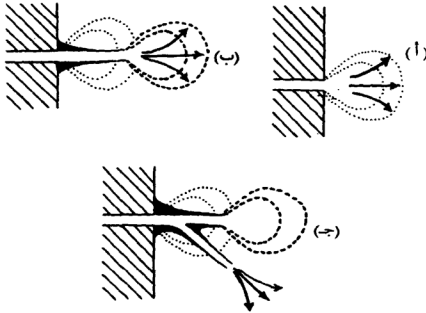
يمكننا تبسيط تعريفنا السابق للدلتا بقولنا : « تنشأ الدلتا عندما تندفع مياه النهر المحملة بالرواسب في داخل أجسام مياه ساكنة كالبحر أو البحيرات »، (شكل ١٧٨) . وعند مصب النهر تتناقص سرعة التيار بشكل شعاعي من ثغر النهر في اتجاه البحر ويتبع ذلك تناقص شعاعي في ترسيب أحجام الحبيبات كل حسب سرعة استقراره .

وتتزايد عمليات الترسيب حول مصب النهر حتى يصل تراكم رواسبها إلى التقاء مع سطح ماء البحر بالهواء (Air Water interface) ، ولكن تحتفظ قوة اندفاع الماء بشق القناة خلال الراسب . ويطلق على الرواسب المتراكمة على أي من جانبي القناة مصطلح الشرفات الطبيعية (Natural levees) . ومع استمرار عملية الترسيب تسع رقعة بناء الدلتا في اتجاه جسم الماء الساكن . ويتبع ذلك تشكيل ثلاث وحدات رسوبية تُكوّن رواسب الدلتا، (شكل ١٧٩) . وهذه الوحدات هي :

( أ ) رواسب مجموعة القمة (Topset deposits).

(ب) رواسب مجموعة المقدمة (Foreset deposits).

(ج) رواسب مجموعة القاع (Bottomset deposits).

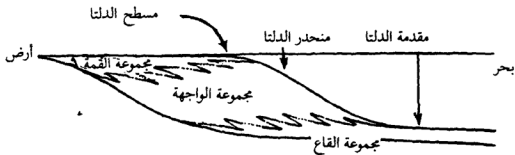


شكل (١٧٨). يوضح مراحل تكوين نظام الدلتا. (عن : Selley, 1982)

(أ) تناقص شعاعي في سرعة التيار من ثغر النهر وترسيب أقواس مركزية من الرمل والغرين والطين.

(ب) يساعد تقدم الدلتا على تشكيل قناة خلال الشرفات الجانبية.

(ج) تشكيل دلتا جانبية نتيجة حدوث شق في إحدى شرفات امتداد قناة النهر فوق رواسب الدلتا القديمة وذلك لضعف في بناء القناة الجديدة وقوة اندفاع تدفق الماء فيها.



شكل (١٧٩). التوزيع الجغرافي وتسمية مقطع جانبي للدلتا. (عن : Selley, 1982)

(أ) **رواسب مجموعة القمة (Topset deposits):** تتكون رواسب مجموعة (أو طقم) القمة بشكل رئيس من رواسب سبخية ورمل خشن وحصى. وتظهر هذه الرواسب على هيئة سطح شبه أفقي وهي أقرب رواسب الدلتا من ثغر النهر. كما تشارك مع هذه الرواسب قناة النهر ورواسب شرفات النهر الطبيعية ورواسب الفلق النهري الموجودة في المنطقة نفسها (راجع رواسب البيئات النهرية). وتظهر حدود هذه الرواسب الجانبية والرأسية واضحة ومتدرجة (Gradational and sharp boundaries). ومن ثم تختص رواسب مجموعة القمة (Topset) بالتنوع في محتويات رواسبها ولكنها معقدة العلاقة فيما بين وحداتها الرسوبية. ويعبر سطح هذه المجموعة قنوات متفرعة من القناة الرئيسية للنهر حيث ترسب عليها رواسب الشرفات وغيرها من الرواسب النهرية. وتتدرج رواسب مجموعة (أو طقم) القمة في اتجاه البحر مبتعدة عن المصدر (أو ثغر النهر) إلى رواسب منحدر الدلتا (Delta slope) والمعروفة برواسب مجموعة المقدمة أو الواجهة (Foreset deposits).

وغالبًا يتكون الجزء العلوي من تتابع رواسب الدلتا من رواسب المستنقعات (Swamp deposits) متمثلًا في رواسب الوحل العضوي والحث. فيترسب الطين الغني بالمواد العضوية في المناطق التي ينדר فيها ترسيب الرواسب الفتاتية (Clastic sediments). وعامة تفتقر رواسب هذه المنطقة للتطبيق المعروف والجيد منه. وتكون الرواسب بشكل واسع النطاق مسلكية بواسطة جذور النباتات والديدان الثاقبة (Dwelling organisms). وتظهر معظم هذه الرواسب كخليط من الطين والغرين مع متخلفات النبات. وفي المناطق القاحلة يفتقد الغطاء النباتي. كما تحتوي رواسب مجموعة القمة على شقوق طين واسعة النطاق وعلى فُرَشَات طُحَلْبِيَّة (Algal mats).

وتمثل بيئة رواسب مجموعة القمة مناطق أجسام مياه مفتوحة محاطة برواسب الشرفات الطبيعية أو المستنقعات السبخية (Marshes) ولكنها متصلة بالبحر المفتوح عن طريق قنوات المد (Tidal channels) ويتم الترسيب في هذه المناطق من خلال عمليتين ترسيبيتين:

١ - يترسب الراسب الناعم الحبيبات من الرواسب المعلقة نتيجة غياب نشاط الأمواج.

٢ - يترسب الراسب الخشن من خلال القنوات الشُّقِيَّة أو الصَّدْعِيَّة (Crevasse channels).

وفي مناطق محلية معينة، ونتيجة لوجود نشاط الأمواج، يتشكل التطبق العدسي (Lenticular bedding) بشكل كبير. كما يتشكل من رواسب هذه المنطقة التطبق المتوازي (Paralled bedding) والذي يتميز باختلاف اللون في الطبقات المتجاورة. ويشيع تشكيل علامات النيم التياراتي وبنيات الحث في بعض الأماكن. وهذه تشكلت نتيجة تيارات المد أو من تيارات نتجت عن التدفق الطفحي (Overflow) الذي يحدث أثناء فترات إرتفاع منسوب الماء. كما توجد أيضًا رواسب محارية وبنيات اضطرابية حيوية (Bioturbation structures).

(ب) رواسب مجموعة المقدمة (Foreset deposits): تتكون رواسب مجموعة المقدمة بشكل عام من رمل ناعم وغرين وطين ترسب من قنوات الدلتا الرئيسة. ويمكن تقسيم هذه المنطقة إلى عدة مناطق تحت بيئية (شكل ١٨٠) وهي كالتالي:

١ - القنوات المتفرعة.

٢ - الشرفات التحت مائية.

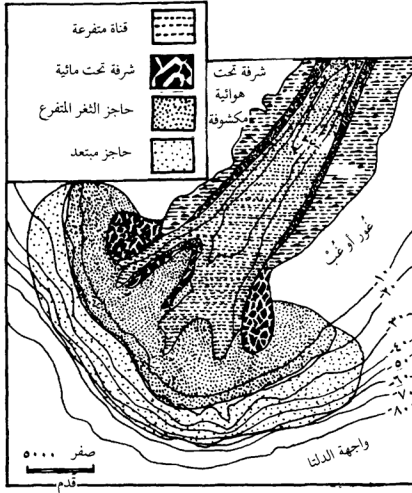
٣ - حاجز الثغر المتفرع.

٤ - الحاجز المبتعد.

ويسود في كل من هذه المناطق التحت (أو الشُّبُه) بيئية عمليات ترسيب مختلفة ومن ثم تتميز كل من هؤلاء المناطق بوجود بنيات رسوبية معينة. وفيما يلي نوجز ما كتبه كل من (Reineck and Singh, 1975) عن هذه المناطق.

#### ١ - القناة المتفرعة Distributary channel

تتمثل القناة المتفرعة في النهر الطبيعي الذي ينقل جزءاً كبيراً من الراسب ويصرف ماء النهر الرئيس إلى البحر. وهذه في الواقع امتداد لقناة النهر الرئيسة داخل منطقة البحر. ويتسع عامة عرض القناة المتفرعة وتصبح أقل عمقاً عما كانت عليه وتتفرع إلى عدة قنوات صغيرة في النهاية تفقد ميزتها وتتلاشى كلما تقدمت نحو البحر (أي في منطقة الجزء العلوي لبيئة مقدمة الدلتا)، (شكل ١٨٠). يكون اتجاه تيار القنوات عند الجزء العلوي للنهر في اتجاه أسفل النهر بشكل ثابت ولكن عندما تتباعد



شكل (١٨٠). تمثيل تخطيطي لمناطق ترسيب مختلفة في بيئة مقدمة الدلتا.

(عن: Coleman and Gogliano, 1965)

أطراف القناة في الجزء السفلي للنهر يصبح اتجاه التيار متغيراً وتقل سرعته ومن ثم يزداد معدل سرعة ترسيب الرواسب.

وأكثر البنائات الرسوبية وفرة في رواسب القنوات المتفرعة هي التطبق المتقاطع وتطبق نيم التيار (Current ripple bedding) وبنائات الحت والملاء (Scour-and-fill Structures) والأسطح التحتانية (Erosional surfaces). وربما لا تتعرض بعض من طبقات الطين المترسبة أثناء فترة انخفاض مستوى النهر لعملية الحت ولذلك تصبح محفوظة بشكل جيد. وعادة يُظهر السطح العلوي لهذه الطبقات الطينية علامات

تآكل . وعامة نجد كِسْرَ طينية مغموسة في داخل رواسب المنطقة . وفي كثير من الأحيان تتشكل بنايات متشوهة وهذه بالطبع عملية النشأة . ومن بين هذه البنايات بنايات الهوابط (Slumps) ، وبنايات الطيات المضطجعة (Recumbent fold) .

## ٢ - الشرفات التحت مائية Subaqueous Levees

وهذه عبارة عن رواسب تَلِيَّة بحرية متاخمة لمجرى القناة المتفرعة (شكل ١٨٠)، وتشكلت نتيجة اتساع وقلة عمق القناة . وتتحكم أنشطة المد في شكل هذه التلال . وتتكشف بعض أجزاء الشرفات التحت مائية وتشكل مسطحات رملية أثناء فترات انخفاض المد (أو أثناء فترات الجزر) . وتتكون رواسب الشرفات التحت مائية من رمل ناعم وغرين متداخلة مع طين وحطام نباتي . وتحدث أنشطة التيارات السائدة أنواعاً من البنايات الرسوبية . وفي مناطق محلية معينة تنتج أنشطة الأمواج بالاشتراك مع التيارات أنواعاً معقدة من التطبق المتقاطع . وتوجد أيضاً بنايات مميزة أخرى مثل: التطبق الموجي (Wavy bedding) ، وبنايات الحت والملء ، والمسالك (Burrows) ، والكرات الوحلية (Mud balls) . ومن بين البنايات الرسوبية المشوهة يكون التطبق المطوي أو الملفوف (Convolute bedding) الأكثر انتشاراً في هذه الرواسب .

## ٣ - حاجز الثغر المتفرع Distributary mouth bar

يتكون حاجز الثغر المتفرع من جسم رملي قليل العمق تشكل بالقرب من الحد البحري للقناة المتفرعة (شكل ١٨٠) . ويأتي تشكيل هذا الجسم الرملي كنتيجة مباشرة لتناقص في سرعة التيار وعدم قدرة النهر على حمل الراسب عندما يترك القناة . وتكون سرعة الترسيب عالية بشكل كبير، ومن المحتمل أن تكون أعلى بكثير من أي سرعة ترسيب في أماكن تحت بيئية أخرى لمناطق الدلتا . وتتعرض الرواسب لعمليات إعادة ترسيب (Reworking) مستمرة بواسطة التيارات والأمواج البحرية . ومن ثم تتكون رواسب هذه المنطقة من الرمل والغرين . وغالباً ما يوجد ترقق نحيل من حطام النبات . وتُظهِر القِطْعُ الخشبية (Wood fragments) تأثيرات استدارية واضحة . وأعظم البنايات الرسوبية شيوعاً في رواسب هذه المنطقة هي التطبق المتقاطع الحوضي، والتطبق النيمي الموجي والتياري (Wave and current ripple bedding) . وكلما تدرجت الدلتا في اتجاه البحر ترقد تحت رواسب الحاجز رواسب شاطئية بحرية



غنية بالمواد العضوية. وعند تحلل المواد العضوية ينبعث منها غاز مندفع إلى أعلى مار برواسب الحاجز الرملي الواقع فوق الرواسب الغنية بالمواد العضوية ومن ثم يتسبب اندفاع هذا الغاز في تشكيل بِنِيَات رسوبية في الجسم الرملي تعرف باسم بِنِيَات نتوءات الغاز (Gas-heave structures).

#### ٤ - الحاجز المتبعد Distal bar

يتشكل الحاجز المتبعد حول حاجز الثغر المتفرع في اتجاه البحر (شكل ١٨٠)، وتتميز هذه المنطقة بسرعة الترسيب وبشكل رئيس تتكون رواسب الحاجز المتبعد من الطين والغرين المترقق. وتمثل هذه المنطقة بيئة حافة انحدار مقدمة الدلتا في اتجاه البحر. وأهم البِنِيَات الرسوبية المشكلة في رواسب الحاجز المتبعد هي التطبيق المتقاطع وبنيات الحت والملاء والأسطح التحتانية وعلامات النيم. ويتكرر تشكيل هذه البِنِيَات الرسوبية في تتابع مميز وواضح مما يدل على التشكيل الطبقي الفصلي (Seasonal layering).

وتمثل هذه المنطقة أفضلية عظمى لتوطن الأحياء القاعية أو البشونية (Benthonic population) الكثيف. ولذلك تُحْدِث الديدان المسلكية اضطراباً طبقياً (Bioturbated layers) كاملاً وتنتشر رواسب المحاريات بين رواسب هذه المنطقة.

(ج) **رواسب مجموعة القاع Bottomset deposits:** يلي بيئة مقدمة الدلتا (Delta front) المعروفة بمنحدر الدلتا (Delta slope) في اتجاه البحر، منطقة بيئة واجهة الدلتا (Prodelta) وهذه ذات علاقة مشتركة مع نظام تدرج الدلتا. وتعرف أحياناً بمقدمة منحدر الدلتا (Delta front slope). وتتكون رواسب واجهة الدلتا من رواسب طينية ناعمة الحبيبات، (أي من طين وطين غريني). وتشكل رواسب بيئة واجهة الدلتا (Prodelta deposits) منطقة انتقالية إلى رواسب بيئة وحل الرصيف البحري (Shelf mud deposits) المعروفة برواسب مجموعة (أو طقم) القاع (Bottomset deposits). وتظهر رواسب واجهة الدلتا متطبقة نتيجة للاختلافات في كل من اللون وحجوم الحبيبات. ومن أوضح البِنِيَات الرسوبية والشائعة بين هذه الرواسب هي ترقق الغرين والطين وتكون الرواسب بالقرب من بيئة مقدمة الدلتا (Delta front environment) أكثر غرينية ومتوازية ويسودها الترقق العدسي (Lenticular laminations). ويتواجد

أحياناً التطبيق النيمي ونيم التيار والتطبيق المتدرج الصغير المقاس، وتكون هذه أعم انتشاراً في الطبقات الغرينية. وكلما ابتعدنا عن مقدمة الدلتا تزداد كمية رواسب الطين وتقل ظاهرة التطبيق النسيجي (Textural stratification).

وغالباً ما يسود التطبيق المتكون في الطين، وتحتوي هذه الرواسب الطينية على بقايا صدفية (Shell remains)، وقطع خشبية (Wood fragments). وظهور اضطرابات (Bioturbation) بنائية في مناطق معينة. كما تحتوي هذه الرواسب على بنيات مسلكية جيدة النمو (Well-developed burrows). ويمكننا التمييز بين رواسب بيئة واجهة الدلتا (Prodelta) ورواسب بيئة وحل الرصيف (Shelf-mud) المعروفة بمجموعة القاع (Bottomset) فقط، عندما نحسن تأسيس التتابعات الرأسية والأفقية (Vertical and horizontal sequences) لهذه المنطقة من الدلتا، (راجع: Van Straaten 1959a, 1959b).

وتتكون رواسب مجموعة قاع الدلتا (Delta bottomset) والمعروفة ببيئة وحل الرصيف (Shelf-mud environment) من رواسب طين وتقع في منطقة البحر أو في اتجاه البحر من منطقة واجهة الدلتا (Seaward prodelta region)، حيث تترسب الرواسب الناعمة الحبيبات نتيجة انخفاض في معدل سرعة الترسيب. وتكون رواسب مجموعة القاع ذات مظهر متجانس من الطين، والطين الغريني، والطين الصدفي (Shelly clay) (أي يكثر فيه بقايا الأصداف)، والطبقات الصدفية (Shell layers). ويشيع وجود الأصداف في جميع هذه الرواسب. وينتج التطبيق بشكل رئيس في رواسب مجموعة القاع من اختلاف في لون طبقات هذه الرواسب ومن وجود أو غياب فتات الأصداف، وبقايا النباتات وما شابه ذلك. وتوجد أحياناً طبقات غرينية نحيلة السُمك، وهذه غالباً ما تُظهر تطبيقاً متدرجاً، وفيها عدا ذلك فإن رواسب هذه البيئة تكون ذات ترقق نحيل السُمك. كما يندر وجود التطبيق العدسي في هذه الرواسب.

وتكون درجة الاضطراب الحيوي (Bioturbation) في رواسب طين الرصيف (أو مجموعة القاع) عالية جداً. وتحتوي رواسب مجموعة القاع على مسالك مميزة وصغيرة الحجم وتكون مملوءة بكسّر صدفية ومواد غريبة أخرى. وتنشأ رواسب مجموعة القاع نتيجة ترسيب بطيء للرواسب المعلق (Suspended sediment) وتشكل عمليات

الاضطراب الحيوي النشاط السائد في هذه المناطق.

إن جميع ما سبق مناقشته وإيضاحه عن بيئات وشبه بيئات نظام الدلتا موجود في معظم الدلت الحديثة في وقتنا الحاضر.

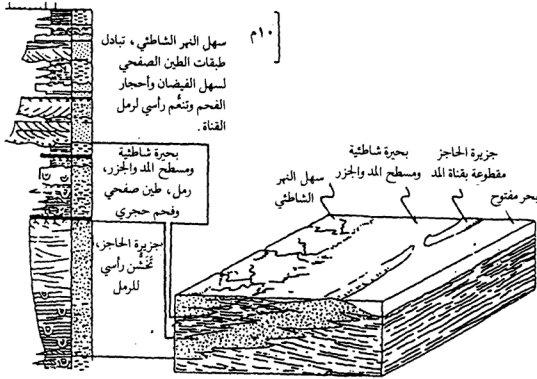
**وعامة تعمل عملية الترسيب في بيئة الدلتا على تشكيل تتابع دوري تتزايد فيه حجوم الحبيبات كلما اتجهنا إلى أعلى.** وهو ما يعبر عنه المصطلح (Coarsening-upward sequence) وهذا عكس ما تقوم به علمية الترسيب في البيئة النهرية. كما يظهر تتابع رواسب الدلتا بتدرج في الرواسب يبدأ عند القاع بأوحال بحرية ويتدرج إلى أعلى وفي اتجاه الساحل إلى رمل ووحل غير بحري وغالباً ما يحتوي على الفحم الطبيعي. وربما يتغير هذا النموذج البسيط من نظام الدلتا نتيجة بعض التأثيرات البحرية الضارة أو المهلدة. هذا بالإضافة إلى أنه إذا كان منحدر الدلتا غير ثابت بشكل تام فإن الراسب ينزلق (Slide) أو يهبط (Slump)، وعندئذ يحدث نتيجة لذلك إعادة ترسيب رمل العكر الذي ربما يوجد عند قدم الدلتا (Delta foot)، (Selley, 1976, 1982).

وتشكل رواسب الدلتا مصادر هامة للفحم والنفط والغاز الطبيعي. حيث يوجد الخث (Peat) في المستنقعات (Swamps)، والمستنقعات السبخية (Marshes) لكثير من سهول الأنهار الدلتاوية الحديثة، (Selley (1976, 1978, 1982), Dapples and Hopkins (1969).

لمزيد من المعلومات عن البيئة الدلتاوية، راجع: (Boggs, (1995); Raymond, (1995); Selley, (1985, 1990, 1994) and Elliot, (1986b).

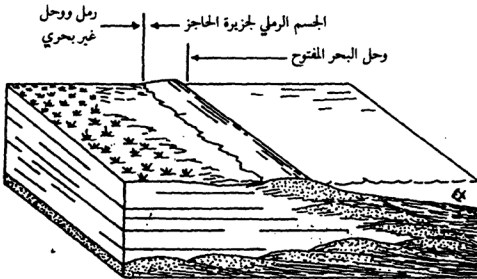
## ٢ - بيئات الحواجز الرملية Sand bars

تُشكّل أجسام الحواجز الرملية الموجودة داخل منطقة الشاطئ جزراً مستطيلة البنية، وتكون موازية لخط الشاطئ. وتتكون رواسب هذه الجزر بشكل رئيس من رمل وزلط وحطام صدف (Shell debris). وغالباً ما تكون هذه الرواسب عديمة التماسك مع بعضها البعض (Cohesionless). ويفصل بين هذه الجزر العازلة (Barrier islands) واليابسة، البرك الشاطئية (Lagoons)، أو الأغاباب (Bays) (شكلاً ١٨١، ١٨٢).



شكل (١٨١). البيئات الرسوبية والسحبات ومقطع رأسي لمعقد جزيرة حاجزة.

(عن : Selley, 1982)



شكل (١٨٢). تقدم وتراجع الأجسام الرملية الحاجزة التي قد تتكون من كتلة تراكم زحف الرمال

الحاجزة. (عن : Selley, 1982)

ويعتقد أن هناك عاملين رئيسين قد ساعدا على نشأة وبناء الجزر الحاجزة وهذان العاملان هما:

١ - تطور بناء الحواجز الرملية (Sand bars) المتزايد في منطقة داخل الشاطيء بواسطة نشاط الأمواج الكبيرة.

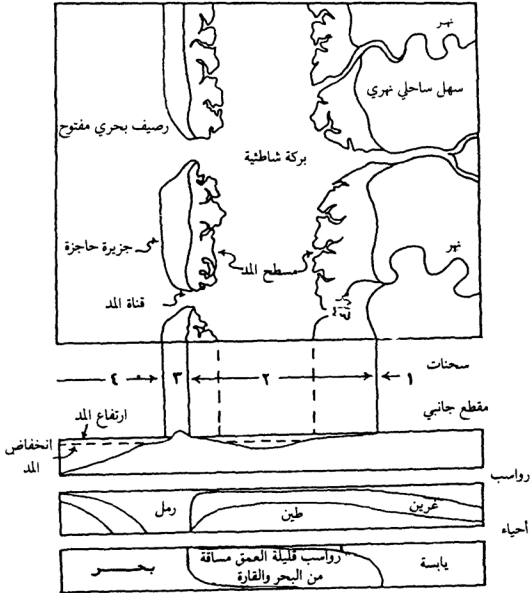
٢ - غَمَر (Submergence) منطقة الشواطيء الساحلية وأحزمة الكثبان الرملية القريبة منه، وإحاطة هذه الأجسام الرملية بمياه البحر.

وتحت تأثير النشاط البحري، قد تمر تدريجياً رواسب الدلتا الحديثة برواسب الجزر الخطية الحاجزة (Linear barrier islands) أو قد توجد هذه الجزر الرملية مباشرة خلف الشاطيء في إتجاه البحر وبدون وجود أو بناء الدلتا عند الشاطيء، وبذلك تفقد هذه الجزر الرملية علاقتها بالدلتا. ويمثل الحالة الأولى دلتا نهر الميسيسيبي ودلتا نهر الراين على الساحل الشمالي الشرقي (في أوروبا) ودلتا نهر النيل على الساحل الشرقي من صحراء سيناء وأيضاً على الساحل الغربي من نهر النيجر. كما يمثل الحالة الثانية معظم شواطيء أمريكا الشمالية وأجزاء من ساحل شمال ألمانيا وسواحل بولندا وساحل أستراليا الجنوبي.

وتظهر الجزيرة الحاجزة على هيئة جسم رملي خطي (أو مستطيل) مكشوف أثناء فترات المد العالي ويأخذ هذا الجسم الرملي وضعاً موازياً للساحل يفصل البحر المفتوح عن مسطحات المد والجزر (Tidal flats) والبرك الشاطئية (Lagoons) والأغياب المحمية (Sheltered bays)، (الأشكال ١٨١، ١٨٢، ١٨٣). وتتعاقب بشكل جانبي في معظم الحواجز الساحلية (Barrier coasts) الحديثة بيتان عاليتا النشاط (High-energy) مع بيتين منخفضتي النشاط (Low-energy). وعامة تشكل أربعة سحنات متعاقبة وذات اختلافات متميزة الوضوح. فعلى جانب اليابسة يتشكل:

(١) سحنة السهل الساحلي النهري من رمل وغرين وطين رخث. ويتدرج هذا في إتجاه البحر بشكل عام.

(٢) سحن سبخية ملحية ورواسب مياه هادئة من مسطحات المد والجزر والبرك الشاطئية. وتتكون رواسب هذه السحنات من رمل ناعم وغرين وطين تسودها بنايات رسوبية مثل الترقق والترقق المتقاطع والتطبق المتتابع (Flaser-bedded). وتتميز هذه



شكل (١٨٣). رسم تخطيطي يلخص الظواهر السطحية والترسبية والأحيائية، لحاجز شاطئي حديث. (عن: Selley, 1978)

المنطقة باضطرابات حيوية شديدة (Intense bioturbation) وطبقات صدفية، غالبًا ما تكون من المحاريات (Oysters) والرخويات (Mussels)، وتدرج حبيبي ناعم كلما اتجهنا إلى أعلى القطاع (Fining-upward sequence)، (انظر القطاع في شكل ١٨١).

وتتكون الجزيرة الحاجزة من عدد من الوحدات الجغرافية الطبيعية المميزة.

(٣) سَحْنُ رواسب أجسام معقدة من المراوح ومسطحات الحاجز المتشكلة من الرمل المقدوف عبر الجزيرة الحاجزة أثناء فترات العواصف وهذه السُحْن توجد على الجانب المواجه لليابسة. وغالباً ما تتشكل قمة الجزيرة الحاجزة من كتبان رملية تراكمت من هبوب الريح وهذه أحياناً تثبت في أماكنها نتيجة تشكيل طبقة مقطع جانب التربة ونمو النباتات عليها. وتمر هذه المنطقة القمّية في إتجاه البحر خلال منطقة شاطئية وإلى منطقة البحر المفتوح (شكلا ١٨١، ١٨٣).

وعامة يكون رمل الجزيرة الحاجزة ناضج (Mature) وجيد التصنيف (Well sorted) وبه بعض الكسّر الصدفية المساقفة من البحر. وتتشكل داخل الرواسب الشاطئية بعض البنيات الرسوبية مثل التطبق الأفقي والشبه أفقي مع ميل خفيف في إتجاه البحر. كما يوجد بشكل قليل تطبق متقاطع حوضي ومستوي ويميل كل منهما بشكل عام في إتجاه اليابسة. وقد تكون أحياناً الجزر الحاجزة مقطوعة عرضياً (Cross-Cut) بواسطة قنوات أو منافذ المد (شكلا ١٨١، ١٨٣)، (Tidal inlets or channels). وقد أشار (Armstrong-Price, 1963) إلى أن هذه القنوات ربما تشكل أجسام دلتا على كلا الجانبين في إتجاه البحر وفي إتجاه اليابسة. وينشأ عن ذلك تبعات ذات تطبق متقاطع تكونت نتيجة النزوح الجانبي لهذه القنوات ومثل هذه الرواسب ربما تتكون من جزء كبير من جسم رمل الحاجز حيث وجد هذا في السجل الجيولوجي (راجع: Hoyt and Henry, 1967).

(٤) سَحْنَات رواسب بيئات بحرية حيث تمتد رواسب الشاطئ للجزيرة الحاجزة في إتجاه البحر. فقد تمر كثير من الرمال الحاجزة الحديثة، وخاصة تلك الموجودة في بحر الشمال، إلى أرصفة بحرية متأكلة والتي تعتبر نموذج بيئات حت أو توازن. وقد تمتد الجزر الحاجزة الموجودة على سواحل نيجيريا وخليج المكسيك في إتجاه البحر إلى رواسب بحرية عميقة. وربما تستقر هنا الرواسب الناعمة العالقة تحت ظروف ترسيب هادئة. ولقد دلت الدراسات التفصيلية للحوارج الشاطئية عبر مناطقها في إتجاه البحر على أن هناك تدرجاً تناقصياً في أحجام حبيباتها من منطقة عالية النشاط إلى منطقة بيئة النشاط المنخفض تحت حد سطح الموج وحركة تيار المد، حيث يترسب الوحل في هذه

المناطق. فيوجد الرمل والغرين المحتويان على تطبق متتابع وحلي (Muddy flaser-bedding) وبه اضطراب حيوي والترسب تحت مياه منخفضة العمق بالقرب من الشاطئ. وتتدرج هذه الرواسب في اتجاه البحر إلى أطياف مترققة ومترسبة في بيئة بحرية عميقة. وتشير هذه الظاهرة إلى تشكيل تتابع تزداد فيه أحجام الحبيبات كلما اتجهنا إلى أعلى القطاع (انظر القطاع في شكل ١٨١). ويمر الحاجز الرمي في اتجاه اليابسة إلى رواسب البرك الشاطئية ومسطحات المد والجزر والمكونة من رمل وطين صفحي وفحم (راجع القطاع في شكل ١٨١).

وبإمكاننا الآن إيجاز مفهومنا عن الجزر الحاجزة الخطية (Linear barrier islands)

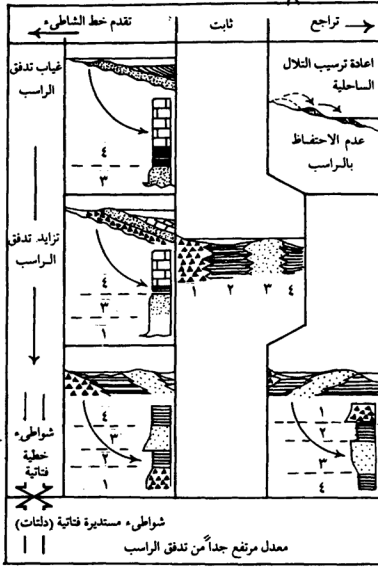
كالتالي:

يتكون الشاطئ الخطي الحديث (Recent linear shoreline) من بيئتين عابتي النشاط، وبيئتين منخفضتي النشاط، وتكون هاتان متعاقبتين واحدة تلو الأخرى وتتوازيان مع الخط الساحلي. وفي بعض الحالات يدفع بجسم الحاجز الرمي (Barrier Sand) في اتجاه اليابسة حتى يستند مباشرة على السهل النهري. وعندئذ يتغيب من المنطقة مسطح المد والبرك الشاطئية. وتحدث مثل هذه الحالة على الشواطئ التي تسودها العواصف وينخفض فيها امداد الراسب من اليابسة (Hoyt, 1968)، (شكل ١٨٤).

ويمثل التتابع الرسوبي الحقيقي والذي ترسب من الشاطئ الفتاتي الخطي دالة لكل من الراسب المتوفر ومعدل ارتفاع وانخفاض البحر واليابسة في هذه المنطقة.

ويحتفظ فقط بجميع السحنات الأربعة والتي سبق وصفها (سحنة المياه القارية، سحنة البرك الشاطئية ومسطح المد، سحنة رمل الحاجز، سحنة الرصيف البحري)، حيث يكون هناك إمداد كبير من الراسب المساق من اليابسة. وعندما يحدث ذلك ويكون خط الشاطئ ثابت توجد فيه جميع السحنات الأربع جنباً إلى جنب (انظر الشكل ١٨٤). ولكن يندر وجود مثل هذه الخطوط الشاطئية الثابتة (Static shorelines) في العمود الجيولوجي وذلك لاحتياجها إلى توازن دقيق بين ارتفاع مستوى البحر وعملية الترسيب. وقد أشار العالمان (Boyd and Dyer, 1966) على أن تكون رمل فريو (أوليغوسين) في شمال غرب خليج المكسيك مثالاً لشاطئ فتاتي خطي ثابت قديم





شكل (١٨٤). رسم توضيحي لمدة تتابعات رسوبية متنوعة والمترسبة بواسطة الشواطئ الفتاتية

الخطية. (عن: Selley, 1978)

- ١ - رواسب نهريّة قارية .
- ٢ - رواسب المد والبرك الشاطئية .
- ٣ - رمال حاجزة .
- ٤ - سحانات رصيف البحر المفتوح ، (انظر الشرح في الكتاب، ص ٤٩٥).

حيث يرافق مع التدفق العالي للراسب تراجع (Regression) لخط الشاطئ ومن ثم توجد جميع السحانات الأربع واحدة فوق الأخرى. ويشبه هذا التتابع التراجعي

(Regressive sequence) تتابع الدلت وخاصة في تزايد حجم الحبيبات من الطين الصفحي البحري عند القاعدة إلى الرمل الأرضي عند القمة (حيث يعرف هذا بتتابع متراجع خشن الحبيبات في الاتجاه إلى أعلى: Coarsening-upwards regressive sequence) وإذا رافق التدفق العالمي للراسب ارتفاع نسبي في مستوى البحر (أو اجتياح البحر Transgression sequence) فإنه ينتج عن ذلك تتابع احتياجي (Transgressive sequence) حيث تتناقص فيه أحجام الحبيبات كلما اتجهنا إلى أعلى التتابع (ويعرف هذا بتتابع مجتاح ناعم الحبيبات في الاتجاه إلى أعلى: Fining-upwards transgressive sequence)، (انظر شكل ١٨٤). وقد وجدت هذه السُّنَخَات الأربع للخطوط الشاطئية المتراجعة والمتقدمة محفوظة في رواسب العصر الثلاثي الذي تحدث عنه (Rainwater 1966, Figs. 7, 8)، وفي صخور العصر الطباشيري العلوي من جبال الروكي في أمريكا.

وربما تتوافر أولاً تتوافر السُّنَخَات البيئية الأربع في الخطوط الشاطئية الفتاتية المصطحية معها تدفق منخفض من الراسب (شكل ١٨٤). ويندر بشكل تام أن يعكس التتابع المترسب جميع هذه السُّنَخَات في قطاع واحد. وحيث يتقدم البحر فوق سطح اليابسة يقل إمداد الراسب. ومن ثم ينشأ سطح عدم التوافق عند هذا المستوى ويعرف أحياناً بتوافر مُدْمَك القاعدة حيث يتدرج إلى رمل شاطيء بحري. ونقل حجوم الحبيبات في الاتجاه إلى أعلى إلى سُنَخَات طين صفحي لبيئة منخفضة النشاط، أو حيث ينعدم الراسب المساق من اليابسة يتكون راسب الكربونات (راجع كلاً من: Narayan 1970, Swett *et al.*, 1971). وقد عرفت الانتقالات بين هذا النوع من التتابع البحري المجتاح والبيئات السُّخْنِيَّة الاجتياحية لكل من الرصيف البحري، الحاجز الرمي، والبرك الشاطئية المتداخلة مع السحنات النهرية، (Fluvial lagoonal, barrier shelf transgressions). وتظهر هذه بشكل نموذجي من سطح عدم التوافق والمترسب فوقه رمل نهري والذي يتدرج إلى أعلى خلال رمل شاطيء إلى طين صفحي بحري أو أحجار جير. (مثال ذلك راجع كلاً من: Hammuda 1969, Aharoni 1966, and Bender, 1968).

وغالبا ما تُظهِر الحواجز الشاطئية الخطية سلسلة سِخْنِيَّة من دورات اجتياحية وتراجعية (Transgressive and regressive cycles) وهذه تختلف عن النموذج الدلتاوي

الرسوبي لأن الحاجز النموذجي (Barrier model) يفقد عامل مكون الدورة. وعامة تعود نشأة مثل هذه الدورات إلى أسباب خارجية مثل الحركة التكتونية والتغيرات العامة في منسوب مستوى سطح البحر (Eustatic changes) ، (Tanner, 1968) .  
وتكمن أهمية دراسة الحواجز الرملية الشاطئية في أنها تشكل مكاناً طبقيّة (Stratigraphic traps) لكل من الغاز الطبيعي والنفط .  
لمزيد من المعلومات عن هذا الموضوع راجع :

Boggs, (1995); Raymond, (1995); Selley, (1985, 1990, 1994); Collinson, (1986); Elliotte, (1986b); McCubbin, (1982); Davis, (1978) and Swift and Palmer, (1978).

### ثالثاً: البيئات البحرية Marine Environments

تتكون البيئات الرسوبية البحرية بشكل عام من بيئات كل من :  
(١) الأرصفة القارية (Continental shelves).  
(٢) الشعاب (Reefs).  
(٣) المناطق العكرة (Turbidites).  
(٤) المناطق اللّجية (Pelagic).  
ونناقش فيما يلي بالتفصيل خصائص ومميزات كل من هذه البيئات البحرية .

#### ١ - بيئات الأرصفة القارية Continental shelves

لقد نوقشت الأرصفة القارية من قِبَل كثير من الباحثين ولكن يعتبر عملاً (Swift et al., 1973) من أجود وأميز الأعمال البحثية التي تطرقت تفصيلياً وبشكل شامل لمناهج عمليات النقل والترسيب في الأرصفة القارية . ويشتمل نموذج بيئات الأرصفة القارية الحديثة على بيئات حت، وتوازن، وترسيب . ويعتقد أن رواسب الأرصفة القارية الحالية عبارة عن رواسب متخلفة (Relict sediments) قد ترسبت سابقاً في بيئات ترسيبية نهريّة ومثلجية وبرك شاطئية قديمة، وبشكل لاحق أعيد ترسيبها نتيجة للارتفاع الأخير في مستوى سطح البحر والذي حدث بعد ذوبان الجليد الذي غطى

مناطق كبيرة من العالم (ما يسمى بالعصر الجليدي Glacial Age). وقد أشار (Emery, 1968) إلى أن حوالي ٧٠٪ من الأرضة القارية في العالم قد غطتها هذه الرواسب المتخلفة والمتراكمة (Relict sediments). ومن بين الإثباتات التي تُعَصِّد هذا الرأي وجود كل من:

١ - وجود الرمل الخشن والجيد التصنيف مضطجعا في اتجاه البحر وممتداً من الرمل الناعم الرديء التصنيف.

٢ - ظهور بعض الحبيبات المَحْفَرَة أو المُنْقَرَة (pitted grains) أو المتآكلة والمصبوغة بأكسيد الحديد.

٣ - ظهور بعض التلال على الأرضة القارية والتي لم تتعرض لتأثيرات المثلج الحديثة.

٤ - ظهور الصخور السريية (Oolites) في المياه العميقة.

٥ - غَمَر (Submerged) رواسب المياه العذبة وحث السبخات الملحية تحت مياه البحر.

٦ - أشار التحليل الزمني بواسطة كربون ١٤ «إلى أن الرواسب السطحية الموجودة على الأرضة القارية قديمة جداً في العمر».

ولا يزال الترسيب على الأرضة الحديثة متأثراً بشكل كبير من ارتفاع مستوى سطح البحر الذي حدث بعد عصر البلايستوسين (Post-Pleistocene). ويشير مصطلح الرواسب المتخلفة (Relict sediments) إلى رواسب قد ترسبت بواسطة عوامل وتحت ظروف تختلف عن تلك التي تتميز بها بيئاتها الحالية. وقد أكد (Swift et al., 1971) أن معظم هذه الرواسب قد ترسبت في الأصل على أرضة قارية حديثة، عندما كان مستوى البحر منخفضاً أثناء عصر البلايستوسين، وبشكل لاحق أُعيد ترسيبها بواسطة أنشطة عمليات التيارات البحرية الحديثة عندما ارتفع مستوى البحر بعد عصر البلايستوسين. يضاف إلى ذلك سرعة العمليات الاجتياحية والتراجعية البحرية والتي حدثت أثناء العصر الرباعي (Quaternary period). ونتيجة لسرعة ارتفاع مستوى البحر بما يتجاوز مئات الأمتار أثناء فترة وجيزة من الزمن، فإنه لم يعط مجالاً من الوقت لكي يحدث توازنًا (Equilibrium) بين معدل سرعة ترسيب الراسب ومعدل سرعة

ارتفاع مستوى البحر ومن ثم لم ينشأ توازن بين العمليات الترسيبية الحديثة وتوزيع الرواسب السطحية على الأرصفة القارية في وقتنا الحاضر.

وتتكون بشكل عام رواسب الرصيف القاري الحديث من رواسب وحلية من الطين الغريني والغرين الطيني. وغالباً تحتوي الرواسب الوحلية للرصيف القريب من الشاطيء على طبقات من غرين خشن أو رمل ناعم والمعروف عامة بطبقة رمل العاصفة والتي نشأت أصلاً أثناء عواصف شديدة، (Reineck *et al.*, (1967) Hayes (1967) Gadown and Reineck (1969). وقد يصل اتساع مساحة طبقة رمل العاصفة إلى مسافة ٤٠ كم مبتعدة عن الشاطيء ويمكن تتبع أثرها في اتجاه الشاطيء، (Reineck and Singh, (1975). وتُظهر طبقات رمل العاصفة تدرجاً حبيباً متكرراً (Reineck and Singh, 1971).

ويمكن أن يختلف الاستيطان الحيواني (Animal population) ودرجة الاضطراب الحيوي (Bioturbation) لطین الرصيف من رصيف لآخر. فقد أوضح (Reineck and Singh, 1975) أنه في خليج جيتا في إيطاليا، يندر الاستيطان الحيواني ومع ذلك تشد فيه درجة الاضطراب الحيوي، والعكس صحيح بالنسبة لوحل رصيف بحر الشمال (في جنوب شرق منطقة هيليجولاند) حيث يكون الاستيطان الحيواني مرتفعاً جداً ولكن يبقى الاضطراب الحيوي معتدلاً فقط.

وأحياناً توجد طبقة صدفية نحيلة السُمك عند قاعدة طبقة رمل العاصفة وتشير هذه إلى فترة حث مؤقتة والتي تقود إلى تركيز لصدف أو محار، مشكلاً ما يدعى بالراسب المتخلف (Lag deposit). وعلى الرغم من أن معظم أصداف وحل الرصيف ذات نشأة محلية (Autochthonous) بشكل رئيس إلا أنه تظهر أصداف مسافة من خارج بيئة الترسيب (Allochthonous)، هذا بالإضافة إلى كميات ضئيلة من المواد العضوية الأخرى مثل الخشب ودياتومات المياه العذبة وحبوب اللقاح (Pollen grains) والخلايا البوغية (Spores). وقد وجدت في رصيف بحر الشمال أصداف كبيرة الحجم نقلت من بيئات مسطحات المد والجزر (Tidal flat environments) وترسبت في منطقة الرصيف، وذلك نتيجة طفو الثلج (Floating ice) أثناء أشهر الشتاء.

ويشيع كثرة العقد الطينية الجيرية الغائطية (Faecal pellets) في رواسب وحل الرصيف. كما تشيع بنات الاضطرابات الحيوية ومعظمها تكون بنات حيوية هادمة

أو مشوهة. ولكن هناك أيضاً البنيات الحيوية البناءة التشكيلية مثل المسالك ذات الأحجام والأشكال المختلفة والمسالك المملوءة.

ويشكل حمل الرواسب العالقة في الأنهار المصدر الرئيس لرواسب وحل الرصيف، وبطبيعة الحال يمر هذا الحمل عبر الإقليم الشاطئي ومن ثم يترسب على الرصيف البحري. وتتساوى في الأهمية أحمال الرواسب المعلقة الهائلة التي تنقلها الأنهار الصغيرة إلى البحر بتلك التي تنقلها الأنهار الأكبر حجماً. وتشتمل العوامل التي تتحكم في عمليات الترسيب في الأرصفة القارية على كل من:

- مسافة مصدر الراسب من فوهة النهر.
- سعة طاقة النهر على النقل.
- توفر أحجام الحبيبات المتنوعة في اليابسة.

وتعود نشأة بعض من رواسب الرصيف وخاصة تلك المتوافرة في المياه البحرية الدافئة إلى منشأ حيوي في الأصل. وبشكل محلي ربما يكون للرواسب البركانية أو الريحية دور مهم في المشاركة والوجود بين رواسب الأرصفة القارية. ومن أهم المعادن المكانية النشأة (Authigenic minerals) في بيئة الرصيف البحري هي: معدن الفوسفوريت، والجلوكونيت والكاموسيت. وأهم مصدر لرواسب الرصيف هي التجوية تحت مائية لكل من المواد الصخرية الصلبة والرخوة. وتُعَصَّد هذه العملية بنشاط الأحياء الثقبية (Boring organisms)، وقد ميز (Emery 1952, 1968) أنواع الرواسب التالية والموجودة على الأرصفة القارية الحديثة وهي كالتالي:

- (أ) فتاتية (Detrital) ترسبت بواسطة الماء والهواء والمثلجة.
- (ب) حيوية (Biogenic) تتكون أساساً من أصداف الكربونات والأغلفة الكلسية (Tests).

- (ج) بركانية (Volcanic) حطام بركاني يقع بالقرب من البراكين.
- (د) مكانية النشأة (فوسفوريت وجلوكونيت).
- (هـ) متبقية (Residual) نواتج محلية لتجوية طبقة صخرية.

ونستخلص مما سبق أن هناك مجموعتين من الرواسب متوافرتين على الأرصفة القارية وهذه الرواسب هي:

١ - الرواسب الحديثة **Modern sediments**

وهذه تكون في توازن مع الظروف الحالية للترسيب، وهي ربما تكون ذات نشأة مكانية أو انتقلت إلى هذه البيئة نتيجة لعوامل ترسيب نشطة.

٢ - رواسب متخلفة **Relict sediments**

وهذه تكون غير متوازنة مع ظروف الترسيب الحالية. وتمثل هذه الرواسب رواسب قديمة ترسبت تحت ظروف تختلف عن تلك الظروف السائدة في وقتنا الحاضر (انظر كلاً من: Emery 1968, Reineck and Singh 1975).

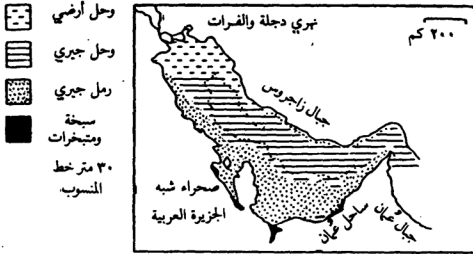
ويوجد بشكل رئيس نوعان من الترسيب على الأرصفة القارية، وهذه هي:

(١) ترسيب الفتات الأرضي **Terrigenous sedimentation**

ويشتمل هذا النوع من الترسيب على رواسب عمليات التجوية والحت والنقل الصادرة من أنشطة المد والجزر، والأمواج والتيارات البحرية التي تتعرض لها الأرصفة القارية. وقد قام كل من: Stanley and Swift 1976, Burk and Drake 1974, Swift *et al.*, 1972 بتلخيص جميع ماكتب عن عمليات الترسيب الفتاتية القارية التي تأخذ مكانها على الأرصفة والحافات القارية الحديثة.

(٢) ترسيب الكربونات **Carbonate sedimentation**

ويشتمل هذا النوع من الترسيب على تكوين رواسب الكربونات في الأرصفة القارية. ويحدث ترسيب رواسب الجير في المياه البحرية قليلة العمق (Shallow marine-water) في وقتنا الحاضر على منصات بحرية (Marine platforms) من نوعين. تشكل الأولى منصات متصلة بالكتل الأرضية مثل تلك الموجودة في الساحل الجنوبي للخليج العربي (شكل ١٨٥) وفي جنوب ولاية فلوريدا، في الولايات المتحدة الأمريكية، وتكون الثانية عبارة عن منصات بحرية منفصلة عن اليابسة وهي شرفات مياه بحرية قليلة العمق ولكنها مرتفعة من أعماق محيطية (Oceanic depth) مثل منصة جزر الباهاما أو شُعَاب الجزر المرجانية الحلقية (Coral atolls) في المحيط الهادي. وقد وجد كلا النوعان في الماضي (Blatt *et al.*, 1980).



شكل (١٨٥). خريطة إيضاحية لتوزيع الرواسب في وقتنا الحاضر في الخليج العربي. (عن:

(Emery, 1956)

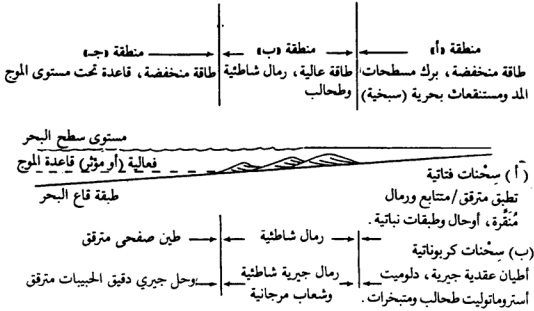
وأشار (Selley, 1976, 1982, 1985) إلى أن رواسب الرصيف الحديث تشتمل على ثلاثة أنواع من الرواسب، وذلك طبقاً لما نوه به (Curry, 1965)، وهذه الرواسب هي كالتالي:

- (أ) رواسب عصر البلايستوسين والتي أعيد ترسيبها لكي تكون في توازن مع بيئة المياه النشطة الحركة (Hydrodynamic environment) في وقتنا الحاضر.
- (ب) الرواسب المتخلفة (Relict sediments) والتي لم تتغير ولم تتأثر بالظروف السائدة في وقتنا الحاضر.

(ج) الرواسب المدفونة الآن تحت الغطاء الوحلي (Mud blanket).

ويظهر النوع الأول عامة من رواسب الرصيف القاري في مياه قليلة العمق (Shallow waters)، وداخل منطقة الشاطئ (Inshore)، بينما يحتفظ بالنوع الثاني وهي الرواسب المتخلفة والعديمة التغير في المياه العميقة (Deeper waters) وبالقرب من الحواف القارية (Continental margins). وتظهر الرواسب المدفونة تحت الطين والمتخلفة من عصر البلايستوسين بالقرب من فوهات الأنهار الرئيسية في المناطق التي تكون فيها سرعات التيارات منخفضة أو معدومة، يوضح (شكل ١٨٦) أن هناك ثلاث مناطق بيئية رئيسة تأخذ محلها على الأرضفة الحديثة:

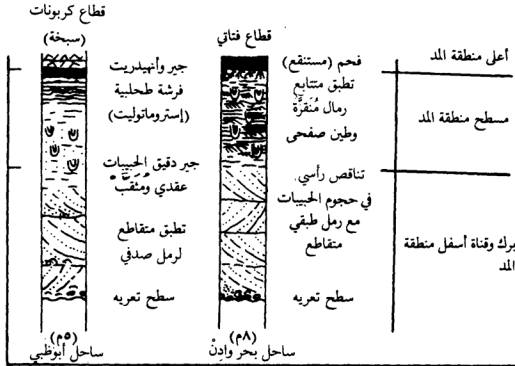




شكل (١٨٦). نموذج رسوبي لرصيف بحري. (عن: Irwin, 1965)

تقع منطقة (أ) بالقرب من الشاطئ وتحتوي على رواسب كل من رمل الخواجز (Sand bars) ورواسب مسطحات المد والجزر والبرك الشاطئية (Tidal flats and lagoons) وأيضاً رواسب السبخات الملحية (Salt marshes) والخثثات (Peats). وتكون هذه المنطقة من بيئة الرصيف البحري هادئة أو منخفضة الطاقة (Low-energy zone) وذلك بسبب وفرة أجسام الخواجز الرملية (Sand bars) أو الشعاب (Reefs) خلفها وحمايتها من شدة نشاط الأمواج والتيارات البحرية. وتشكل هذه الرواسب امتداداً متفرعاً من رواسب الخواجز الشاطئية (Barrier coasts)، (راجع ما سبق شرحه في هذا الموضوع). وقد ذكر سابقاً أن التابع السحني في هذه المنطقة يكون ذا تناقص حجمي حبيبي كلما اتجهنا إلى أعلى القطاع (Finining-upward sequence) وذلك بالنسبة لرواسب مسطحات المد والجزر والبرك الشاطئية. ويتحكم في بسمك وحدات هذا القطاع الصخري مدى امتداد المد في المنطقة. وتدرج رواسب مسطحات المد في الشواطئ الفتاتية الأرضية (Terrigenous coasts) من رمل كوارتزوز إلى طين وحث

سبخي. وتنشأ السبخات على امتداد الخطوط الشاطئية في سواحل المناطق القاحلة، كما هو الحال في منطقة الخليج العربي. وتُظهر هذه بالمقارنة تتابعاً تتدرج فيه أحجام الحبيبات كلما اتجهنا إلى أعلى القطاع، حيث تتكون وحدة القاعدة الصخرية عامة من رمل جيري محاري (Skeletal carbonate sand). ويتدرج هذا في الاتجاه العلوي إلى أوحال جيرية (Carbonate muds)، وغالباً ما تكون متدلثة (Dolomitized) مع وجود طبقات درنية من الجبس أو الأنهدريت (شكل ١٨٧). وتوجد أحياناً بين رواسب هذه المنطقة الأستروماتوليت. وقد وصفت الرواسب الدورية القديمة لهذا النوع من السبخة في المناطق القاحلة في بحث (Wood and Wolfe, 1969).



شكل (١٨٧). مقارنة بين قطاعين لتتابعات مسطحات المد في سبخات البيئات القاحلة، والرواسب الفتاتية في ساحل بحر وادن الألماني، وتشكل الكربونات في ساحل ألبوذي. (عن: Evans, 1970)

وتكون بيئات مسطحات المد والبرك الشاطئية المعزولة نسبياً محمية من البحر المفتوح بواسطة المنطقة العالية الطاقة (High-energy zone) وهي المنطقة (ب) كما أُشير

إليها في (الشكل ١٨٦). وربما تشغل هذه المنطقة بالجزر الواقية أو الحاجزة (Barrier islands) والتي سبق شرحها بالتفصيل تحت عنوان البيئات الانتقالية. أو قد يشغل هذه المنطقة بشكل بديلي شُعاب صخرية (Rock reefs)، وأجسام رملية موجودة في بيئات بحرية قليلة العمق (Sand shoals). وربما تكون بيئة الرصيف العالية الطاقة بيئة تحتائية حيث تنشأ شرفة (Terrace) بحرية عبر طبقة صخرية، أو تكون بيئة توازنية حيث تهاجر الأجسام الرملية من وإلى الشاطئ بواسطة انجراف المد (Tidal scour)، ويندر أن تشكل هذه المنطقة بيئة ترسيب.

لمزيد من التفاصيل المتعلقة بِسَحْن الكاريونات في الأرصفة القارية راجع:

Wilson, (1975); Enos, (1983); Scholle *et al.*, (1983); Wilson and Jordan, (1983); Sellwood, (1986); Read, (1985); Collinson, (1986) and Boggs, (1995).

وقد درست بشكل كبير الأرصفة القارية العالية الطاقة الحديثة، وأحسن مثال على ذلك الرصيف القاري لشمال غرب أوروبا والذي قام بدراسته كل من: Belderson *et al.*, (1971); Kenyon and Stride, (1970); Stride, (1963) ورواسب هذا الرصيف على رواسب مثلجية ومثلجية نهريّة من عصر البلايستوسين. ولخص (Selley, 1976) أن هناك ثلاث سحبات يمكن تمييزها فوق الرصيف القاري. الأولى عبارة عن زلط يشغل أجزاء من أرضية الرصيف حيث أزيح الرمل والوحل بواسطة نشاط تدفق تيارات المد (Tidal currents) وترك راسب الزلط المتخلف والذي يسمى بالمصطلح (Lag gravel deposit). وتمثل هذه بيئة تحتائية، والثانية عبارة عن أحزمة أجسام رملية تقطع عبر طبقات زلط البحر وهذه تكون موازية لمحور تدفق المد. وتعتبر أجزاء أرضية الرصيف المغطاة بالرمل بيئات متوازنة. لأنه يتحرك فيها معظم الراسب من وإلى الشاطئ، ولكن ليس هناك ما يذكر من ترسيب الرمل بشكل إجمالي. ويكون الشكل الطبقي الشائع في هذه المناطق عبارة عن أمواج رمل وهي عبارة عن كتبان رمل كبيرة ترسبت تحت الماء. ويصل ارتفاع هذه الكتبان إلى ٢٠ مترًا، ويصل اتساع طول هذه الأمواج إلى واحد كيلومتر تقريبًا. ويظهر على سطح هذه الأجسام الرملية علامات نيم وكتبان أصغر حجمًا. وتحتوي هذه الأجسام الرملية بداخلها على تطبيقات متقاطعة ويشار إلى هذه الكتبان المائبة بأجسام رمل المد (Tidal

(sand bodies ، راجع كلاً من :

Houbolt, (1968); Stride, (1970); De Raaf and Boersma, (1971); Swett *et al.*, (1971); Reineck, (1971); Narayan, (1970); Johnson and Baldwin, (1986) and Walsh, (1987).

والنوع الثالث لراسب الرصيف القاري في شمال غرب أوروبا عبارة عن وصلات وحلية (Mud patches). وتتشكل هذه الأجسام الوحلية حيث تكون سرعات التيار منخفضة بشكل تام لكي تسمح لاستقرار الوحل من التعلق. وليس من الضروري أن تمثل هذه الرواسب الوحلية مناطق مياه عميقة. وقد قورن الرصيف الأوروبي بمثيله من الأرضفة الفتاتية الحديثة في العالم، ووجد تشكيل أجسام رمل المد للرصيف البحري في معظمها (راجع : Jordan (1962), Keller and Richards (1967).

وتشغل بيئات البحر المفتوح والعميقة برواسب الطين الصفحي (Shales) أو الوحل الجيري (Micrites)، ويرافق هذه الرواسب بنيات الترقق. وتمثل هذه البيئات منطقة (ج) كما أشير إليها في (الشكل ١٨٦). وهي عبارة عن بيئة هادئة منخفضة الطاقة بشكل عام وذلك لعرق الماء وحيث تترسب الرواسب العالقة تحت مستوى تأثير قاعدة الأمواج.

وتظهر أرضفة الكربونات الحديثة (Modern carbonate shelves) تشكيلات عديدة مشابهة لتلك في أرضفة الفتات الأرضي (Terrigenous shelves). فعلى سبيل المثال يمكن تعريف ثلاث مناطق (شكل ١٨٥) من رواسب الوحل والرمل والزلط في الخليج العربي، وكما هو الحال في الأرضفة الفتاتية لشمال المحيط الأطلسي والتي سبق الحديث عنها. وتمثل رواسب السبخة رواسب مسطحات المد الممتدة داخل الشاطئ في حالة الخليج العربي.

وقد وصف تشكيل وأصل نشأة الرمل السريفي والصدفي (Oolitic and skeletal sands) الموجود في منصة رصيف الباهاما، في أبحاث كل من :

Newell and Rigby, (1957); Purdy, (1961, 1963); Imbrie and Buchanan, (1965) and Ball, (1967).

ويمكننا تلخيص ما سبق شرحه عن رواسب الأرضفة القارية الحديثة بقولنا إن بيئات هذه الأرضفة تختوي على ثلاث مناطق وهي كالتالي :

١ - مناطق ترسيب الوحل وهي بيئة منخفضة الطاقة (وهذه قد تكون عميقة أو تكون عمية وقليلة العمق).

٢ - مناطق توازن أو ترسيب بطيء لرمال المياه القليلة العمق (Sand shoals) وتمثل هذه بيئة عالية الطاقة.

٣ - مناطق توازن أو حثية والتي يوجد فيها الزلط وطبقة القاع. كما أنه بالإمكان تمييز جميع هذه المناطق في كل من أرصفة الكربونات والفئات الأرضي، لمزيد من المعلومات عن هذا الموضوع راجع:

Selley, (1976, 1982, 1985); Scholle *et al.*, (1983); Read, (1985); Collinson, (1986); Walsh, (1987); Glasby, (1986); Selley (1985, 1990, 1994), Boggs, (1995) and Raymond, (1995).

## ٢) بيئات شعابية Reef environments

قبل أن نبدأ الحديث عن البيئات الشعابية يجب معرفة ما هي الكائنات الحية أو المتعضيات (Organisms) التي تشارك في بناء الشعاب وما هي أنواع الشعاب المتشكلة عنها. لذلك تكون مناقشتنا لهذا الموضوع كالتالي:

### (أ) الأحياء البانية للشعاب

هناك نمط خاص من الحياة يتطور في البيئات المائية وخاصة البيئة البحرية. ويشتمل هذا النمط الحيوي على تطور أنواع عديدة من المستعمرات اللاقارية في داخل المحيط المائي بشكل عام وفي المحيط البحري بشكل خاص وربما تشكل هذه الأحياء اللاقارية بنيات صخرية عضوية ذات شكل جبلي (Mount-shaped structures)، يُبنى من الإفرازات الهيكلية لهذه الكائنات الحية. ونتيجة لنمو هذه الإفرازات في أماكن وجود الكائنات الحية، تتراكم هذه النواتج وتتصلب وتبقى في محلها مشكلة ما يعرف بمصطلح الصخور الحويوية (Bioherms)، (Cummings, 1932)، وهي الصخور الشعابية أو البنية الصخرية العضوية ذات الشكل المرتفع من القاع ولكن تحت سطح الماء، والتي بنيت نتيجة النمو المكاني من الإفراز الهيكلية للأحياء الثابتة في أرضية المحيط المائي وتعرف هذه الأحياء باسم الأحياء اللاعنفية والمتطفلة (Sessile organisms). وهي أحياء تُثبت نفسها في راسب القاع وتبقى في منطقة واحدة

خلال فترة حياتها وقد تكون متفرقة أو على هيئة مستعمرات. وتشكل هذه الصخور العضوية المترابكة من الإفرازات الهيكلية لهذه الأحياء ما يعرف الآن بالشعاب (Reefs) وتُعرف الشعاب عامة بالبنيات الصخرية العضوية الصلبة والمقاومة للأمواج. وتبنى بشكل كبير من المرجانيات (Corals)، (Yonge, 1973) وتضم الأحياء العالقة (Planktonic organisms)، والتي تفرز أجزاء صلبة متكونة من كربونات الكالسيوم أو السليكا، كلاً من:

١ - فورامينيفر (Foraminifera) حيوان يفرز كلسيت المنحزبات (الفورامينيفرا).

٢ - كوكوليثيفوريدز (Coccolithophorids) نبات يفرز كلسيت الكوكوليت.

٣ - راديولاريا (Radiolaria) حيوان يفرز سليكا الشعاعيات.

٤ - دياتومات (Diatoms) نبات يفرز سليكا الدياتوم (المشطورات).

وقد أشار (Jones and Endean, 1973) إلى تنوع الأحياء في الشعاب الحديثة.

ويستخدم مصطلح (Nonreef bioherm) للإشارة إلى التراكبات الصخرية الحيوية غير الشعابية. وتفتقد هذه التراكبات خاصية البنية الصلبة وتكون غير مقاومة للأمواج ومثال ذلك تراكبات المحاريات (Oysters) والطحالب القيلية (Phylloid algae) والزنبقيات (Crinoids) والمرجانيات الشعابية (A hermatypic corals).

وتشمل الأحياء البانية للشعاب والصخور الحيوية (القديمة وأحياناً الحديثة) كلاً من: الطحالب الجيرية (Calcareous algae)، والإسفنجيات الجيرية (Calcareous sponges)، أو الحلقيات الفارزة أو المخرجة للجير (Lime-secreting annelids)،

والمرجانيات المتميثة (Hydrocorallines)، والحزازيات (Bryozoans) وأنواع معينة من عضديات القدم من العصر البرمي (Permian brachiopods)، وأنواع مختلفة من مرجانيات العصر القديم والأستروماتوليت (Paleozoic tabulate corals, tetracorals, and stromatoporoids) وأركيوسياثيدز من عصر الكامبري (Cambrian archeocyathids).

ويستخدم المصطلح طبقات أحيائية (Biostrome)، (Cumings, 1932)، للإشارة إلى الصخور الشعابية أو التراكم الصفحي أو الغطائي (Sheetlike accumulation) للهيكل الحطامية (Skeletal debris)، ومثال ذلك طبقات الأصداف (Shell beds)، وطبقات الزنبقيات (Crinoid beds)، وطبقات المرجان (Coral beds)

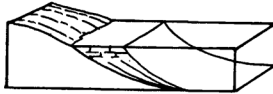
. وتمثل بعض الأستروماتوليت تراكمات صخرية حيوية أو صخور شعابية (Bioherms) والبعض الآخر تراكمات صفائحية (Biostromes) لصخور شعابية.  
(ب) تصنيف الشعاب  
وعامة يمكن تصنيف الشعاب إلى مجموعتين كبيرتين:

#### ١ - الشعاب المستطيلة Elongated reefs

ويشتمل هذا النوع على:

(أ) الشعاب السجافية (Fringing Reefs): وهي تكون متاخمة وملتصقة بكتلة اليابسة بالقرب من الشاطئ أو تكون متاخمة لجزيرة من الجزر في وسط المحيط، (شكل ١٨٧).

(ب) الشعاب الحاجزة (Barrier Reefs): وهذه تكون موازية لخط الشاطئ ولكن منفصلة عنه بوجود البرك الشاطئية بين الشعاب والشاطئ (شكل ١٨٨).



(أ) شعب سجافي



(ب) شعب حاجزي



(ج) جزيرة حلقيّة شعابية

شكل (١٨٨). الأنواع الرئيسة للشعاب الموجودة في وقتنا الحاضر. (عن: Selley, 1978)

وأحسن مثال لهذا النوع من الشعاب هو سُعْبُ الحاجز العظيم في أستراليا (Maxwell, 1968).

وقد تكون شبه دائرية وتحوي بداخلها بركة شاطئية بحرية (Lagoon) وتسمى في هذه الحالة سُعْبُ الجزر الحلقية المرجانية (Atoll) (شكلا: ١٨٨ ، ١٨٩).

## ٢ - الشعاب المنفردة أو المنعزلة Isolated reefs

ويشتمل هذا النوع على:

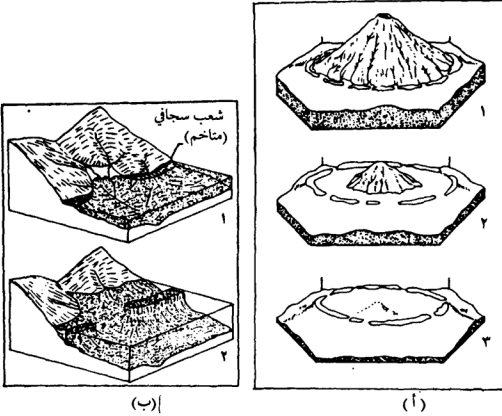
(أ) الشعاب القُرْنِيَّة (Pinnacle reefs): وهذه تكون منفصلة عن الشاطيء وذات نتوء رأسي يشبه تحدب الرمح أو القرن. ويصل ارتفاعها عدة أمتار فوق قاع البحر.

(ب) الشعاب المبعثرة أو القِطَعِيَّة (Patch reefs): وهذه تكون صغيرة الحجم وممتشرة بشكل قطع على أرضية البحر وذات أقطار قصيرة المقاس (شكل ١٩٠).

## (ج) أصل نشأة الشعاب

لقد نوقش أصل نشأة الشعاب المرجانية الحديثة في الأقاليم المدارية (Modern tropical coral reefs)، وخاصة الجزر الحلقية المرجانية (Atolls) أو الجزر المتكونة من أحزمة شعابية مرجانية تحيط بركة شاطئية بحرية (Lagoon) في الوسط منذ أن نشرت نظرية تشارل دارون عن ظاهرة الانخفاض (Subsidence) في عام ١٨٣٧م (راجع: Darwin 1837, 1842, 1883, 1896). فقد نوه دارون أن الشعاب المرجانية تنمو وتزدهر وتتمدد بارتفاعها في مياه البحار المدارية (Tropical seas) القليلة العمق. وأقترح دارون أنه تحت ظروف انخفاض تدريجي لمستوى سطح ماء البحر يمكن أن تنمو الشعاب المرجانية السجافية بجزيرة ما أو بشاطيء اليابسة الرئيسة ويكون النمو في الاتجاه الرأسي (Grow upward) بسرعة تعادل سرعة انخفاض قاع البحر. وطبقا لنظرية دارون نستنتج من ذلك أنه إذا كانت هناك جزيرة مخروطية بركانية الأصل ومحاطة بشعاب وانغمرت نتيجة لثقلها تحت مستوى ماء البحر (Submerged) فإنها تدريجياً تصبح صغيرة في الحجم وتوسع رقعة البركة الشاطئية البحرية (Lagoon) بشكل لاحق بين الشعاب والجزيرة. وربما في النهاية تختفي الجزيرة كلية وتمثل البركة البحرية محلها وتصبح محاطة بحلقة أو جزيرة مرجانية بوضاوة الشكل (شكل ١٨٩ أ).





شكل (١٨٩). نظرية دارون لمراحل تشكيل الجزر الشعابية والحواجز الشعابية:

(أ) جزيرة شعابية تشكلت نتيجة غرق جزيرة بركانية مخروطية:

١ - شعب سجافي ومتاخم لشاطئ كتلة اليابسة حيث ينمو حول مخروط بركاني.

٢ - ينمو الشعب في الاتجاه إلى أعلى كلما انغمر المخروط البركاني مكوناً شعب حاجزي.

٣ - بشكل حداثي لاحق يصبح المخروط البركاني مغمور كلية تحت الماء ونتيجة لنمو الشعب تشكل الجزيرة الشعابية في النهاية.

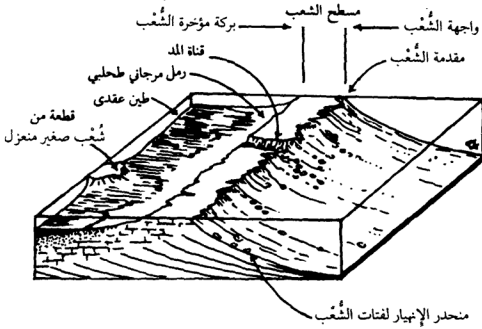
(عن: Shepard 1963, Longwell et al., 1969)

(ب) يتشكل شعب الحاجز نتيجة انغمار كتلة اليابسة تحت ماء البحر.

١ - ينمو الشعب السجافي بالقرب من خط الشاطئ.

٢ - عندما تنغمر كتلة اليابسة تحت ماء البحر ينمو الشعب في الاتجاه إلى أعلى مكوناً شعب الحاجز ويكون متفصلاً عن خط الشاطئ بواسطة

بركة الشاطئ المستطيلة. (عن: Strahler and Strahler, 1973)



شكل (١٩٠). التوزيع الجغرافي والسحي لشعاب عضوي حديث. (عن : Selley, 1976, 1982)

وإذا انخفض (Submerged) الشعاب الملتصق باليابسة في البداية فإنه ينشأ عن هذا الانغمار (Submergence) شعاب حاجزي مستطيل (Elongated barrier reef). ويأخذ الشعاب الحاجز وضعاً موازياً لخط الشاطئ ويفصل بين الشاطئ والشعاب بركة شاطئية بحرية (Lagoon) (شكل ١٨٦ ب).

وبالرغم من مساندة وتأييد كثير من الباحثين لفكرة الانخفاض (Subsidence) التي أتى بها العالم دارون عن أصل نشأة الشعاب بأنواعها الثلاثة إلا أن اقتراحه الذي ينص على أن الأنواع الثلاثة من الشعاب (الشعاب السجافية، الشعاب الحاجزة، وشعاب الجزر الحلقية المرجانية - Atolls) تشكل تتابعاً ذا نشأة واحدة، لم يلق تأييداً مباشراً من قبل كثير من الدارسين. فقد تصور دارون أنه أينما تنغمر أو تغرق (Sank) جزيرة مخروطية بسبب ثقلها تحت ماء البحر وتنمو الشعاب في الاتجاه إلى أعلى، عندئذ تشكل الأنواع الثلاثة من الشعاب تتابعاً متطور البنية. كما اقترح دارون إمكانية نمو شعاب الجزر الحلقية المرجانية (Atolls) من انخفاض سطح مسطح لجزيرة ما وبهذا لا يمر النمو خلال مراحل تشكيل الشعاب السجافية والشعاب الحاجزة. ولقد أشارت

الدراسات التفصيلية لجميع شُعَاب الجزر الحلقية المرجانية (Atolls) إلى أن هذا النوع من الشُعَاب ينمو على منصات طبقية دائرية (Circular platforms) أو رصيف مسطح دائري والتي كانت مبدئيًا مسطحة (أو قليلة الميل) ولكن ليست مخروطية على الإطلاق. وكان دالي (Daly 1910, 1915, 1919) المنافس الرئيس لافتراض دَارُون الذي ينص على أن أصل نشأة الشُعَاب يعود إلى غرق الجزر المخروطية. فأتى دالي بنظريته التي تشير إلى تحكم الجليد في أصل نشأة الشُعَاب فقد نوه دالي عن مصاحبة ذوبان الجليد لارتفاع مستوى منسوب البحر وهذا يعطي الأمواج قدرة على تسوية سطح أي شُعب سجاني (Fringing reef) مكشوف مسبقًا. وعندما يرتفع بشكل لاحق مستوى سطح البحر عبر شُعب مستو جزئيًا فإنه بالإمكان أن يتشكل شعب حاجز (Barrier reef). وإذا كان الشُعب المغمور مكتمل الاستواء فإنه عندئذ يتشكل شُعب الجزر الحلقية المرجانية (Atolls). وكما أسندت وثبتت نظرية الانخفاض (Subsidence) لِذَارُون من نشأة الشُعَاب الحديثة فقد ثبتت أيضًا نظرية ارتفاع وانخفاض مستوى البحر لدالي وأصبحت تشكل عوامل مهمة في أصل نشأة الشُعَاب الحديثة (Friedman and Sanders, 1978).

وقد روجعت مسائل تعريف وتصنيف الشُعَاب في أعمال كل من : Dunham, (1970); Braithwaite, (1973) and Heckel, (1974).

#### (د) خصائص بيئة الشُعَاب

(أ) تنمو معظم الشُعَاب الحديثة في بحار قليلة العمق وهي أكثر انتشارًا في الأقاليم المدارية (Tropical regions).  
(ب) تتنوع عوامل الظروف التي تحدّد نمو الشُعَاب فيها ولكن تتشكل الشُعَاب عامة بشكل جيد في مياه يقل عمقها عن ٢٥ فathom، (١ فathom = حوالي ٦ أقدام، وهي وحدة صوتية يقاس بها عمق الماء)، وملوحتها بين ٢٧ و ٤٠ درجة لكل ألف وحدة قياسية، وحرارتها نادرًا ما تنخفض تحت ٢٠°م تقريبًا، (Shepard 1963b, p.351).

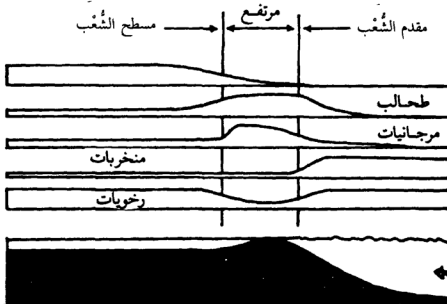
(ج) حيث إنه أصبح مقبولاً لدى كثير من الباحث إمكانية تشكيل الشُعَاب العضوية تحت مياه تعكس معدلات واسعة النطاق من حيث مقياس العمق ودرجات

الحرارة ودرجات الملوحة المتنوعة، لذلك نجد إمكانية نمو شعاب الطحالب الجيرية والرخويات (Molluscs) في مياه البحيرات.

(د) يمكن أن تتكون الشعاب البحرية تقريباً من أي من الأحياء الجليسة اللاقفارية (Sedentary invertebrates) والتي تفرز أكسيد الكالسيوم أو الجير (Lime). كما تستطيع المرجانيات النمو في مياه عميقة وباردة (Teichert 1958b, Maksimova 1972).

(هـ) بغض النظر عن كل ما سبق ذكره عن الظروف التي تتشكل فيها الشعاب، فإن معظم الشعاب الحديثة تنمو في مياه بحرية قليلة العمق ودافئة وصافية وتحتوي هذه على أحياء مرجانية بانية للشعاب بكميات جيدة (Selley 1976, 1982, 1994).

(و) هناك أنواع مختلفة للأحياء التي تساعد على بناء الشعاب (راجع ما سبق شرحه في فقرة ١) ومناطق تكاثر هذه الأحياء موضحة في شكل (١٩١).



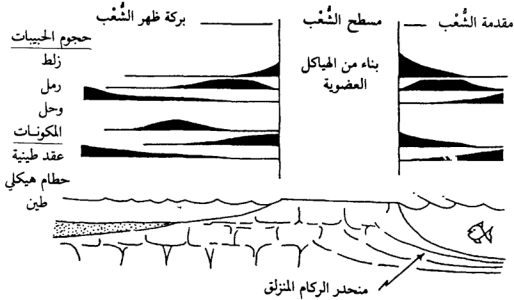
شكل (١٩١). قطاع جانبي يوضح البنية التكوينية والمناطق البيئية لشعاب فلوريدا الحديث.  
(عن : Ginsburg, 1956)

(ز) تقسم الشُّعاب الحديثة إلى ثلاث وحدات جغرافية مميزة (شكل ١٩٠) وهي كالتالي:

- ١ - واجهة أو مقدمة الشُّعْب (Fore-reef) أو (Reef front).
- ٢ - مسطح الشُّعْب (Reef flat).
- ٣ - ظهر الشُّعْب (Back-reef).

ويوضح (الشكل ١٩٢) ملخص القطاع العرضي لشُّعْب حديث ويظهر عليه الوحدات الجيومورفولوجية الثلاث ورواسبها المتنوعة. ويمكننا الآن أن نصف خصائص ومميزات الوحدات الثلاث للشُّعْب الحديث كالتالي:

- ١ - واجهة الشُّعْب: يعرف هذا الجزء من الشُّعْب بمقدمة الشُّعْب وهي حافة الشُّعْب المنحدرة في اتجاه البحر وتكون دائئاً مغطاة برواسب منحدرة من أعلى الشُّعْب ومتراكمة عند القاعدة، ويطلق عليها ركام شُّعْبي (Reef talus). ويتكون المنحدر من حطام عضوي متكسر من مقدمة جسم الشُّعْب ويتدرج توزيع أحجام حبيبات هذا الحطام عبر المنحدر بمنهاج تناقصي في اتجاه عمق الماء أو في اتجاه البحر المفتوح. كما



شكل (١٩٢). قطاع جانبي يلخص الظواهر السطحية والرواسب في شُّعْب حديث. (عن:

(Selley, 1978)

تتناقص درجة الانحدار في اتجاه البحر. وربما توجد بشكل مباشر عند قدم مقدمة الشُّعْب (أو قاعدته) كعب (Boulders) في المياه المتعمقة. ويتم تناقص أحجام حبيبات الراسب هنا من مُدْمَلَكَات ورواهص جيرية (Calcirudite) عند قدم المنحدر إلى رمل جيرى (Calcarenite)، ثم إلى حلل جيرى (Calcilutite) عند أبعد عمق للمنحدر. ويكوّن الركام (Talus) مستعمر من قبل المرجانيات والطحالب الكلسية وأحياء لافقارية أخرى. والتي تساعد على تماسك كسر الحطام بعضها البعض. ويعكس هذا الركام الشُّعْب تطبيقاً رديء الميل في اتجاه البحر ولكن ربما يحتفظ بهذا التطبيق الترسبي المائل في اتجاه البحر بسبب الإفرازات العضوية والتماسك الناشئ في هذا الركام المهابط أو المنزلق إلى أسفل المنحدر.

٢ - مسطح الشُّعْب: ويتمثل هذا الجزء في الشُّعْب نفسه والذي يتكون من صخور مقاومة من الهياكل العضوية الكلسية (Calcareous)، والتي تشكلت من نواتج أو إفرازات الأحياء الثابتة في منطقة الشُّعْب والتي تشكل مستعمرة حيوية متطفلة (Sessile organisms). ويكون أعلى الشُّعْب مسطحاً (Flat) وذلك لعدم مقدرة الأحياء على تحمل العيش تحت الهواء لفترة طويلة. هذا بالإضافة إلى تآكل وتسوي السطح العلوي للشُّعْب بواسطة نشاط الموج وغالباً يقطع الشُّعْب بقنوات موجهة في اتجاه البحر، تعرف بقنوات المد (شكل ١٩٠). وتصبح أحياناً أعالي القنوات مفرطة النمو لتشكل ما يعرف بالأنفاق البحرية (Submarine tunnels). وتحتوي الشُّعَاب الحديثة على حوالي ٨٠٪ مسامية أولية (Emery, 1956)، وهذه موجودة بين مسامات الجسم الهيكلية. وتتناقص هذه النسبة من المسامية بشكل تدريجي مع مرور الزمن وذلك بسبب امتلاء المسامات بالوحل الجيري وأيضاً نتيجة عملية السمته المتأخرة وتشكيل المواد اللاصقة في الفراغات.

٣ - ظهر الشُّعْب: ويشكل ظهر الشُّعْب بمثابة الدرع أو الحامي للبركة البحرية القليلة العمق (Shallow water lagoon) من نشاط أمواج البحر المفتوح. ويغطي أرضية البركة الشاطئية البحرية وحلل جيرى في أجزائها العميقة ورمل في المناطق المضطربة والأقل عمقاً. وتتكون رواسب البركة الشاطئية من عقد كروية طينية جيرية (Faecal pellets)، ورمل المُنْحَرَبَات (Foraminiferal sands) ورمل المرجانيات (Coral sands)

وطحالب كلسية مجمعة مع رمال هيكلية (Skeletal sands) ووحل جبيري . وربما تنتشر في منطقة البركة الشاطئية البحرية (Lagoon) قَطْعُ شُعَابِيَّة (Patch reefs) غير منتظمة الشكل وبأحجام متفاوتة المقاسات ولكنها تكون عامة أصغر بكثير من الشُّعْب الرئيس . وتزداد أحجام الحبيبات عبر البركة الشاطئية البحرية في اتجاه الشُّعْب وتصبح في بعض الأماكن رصيصية (Conglomeratic) بسبب الحطام العضوي المتكسر من الشُّعْب والمنقول إلى داخل البركة بواسطة العواصف السائدة في المنطقة (Selley 1976, 1978).

#### (هـ) خصائص ومميزات عامة عن الشُّعَاب

١ - يتحكم في الشُّعْب وتوزيع السُّحْن المشاركة له كل من التغيرات في مستوى البحر، والوضع التكتوني في منطقة الشُّعْب، والأحياء الموجودة في هذه المنطقة، ودرجة حرارة وملوحة وعمق مياه البحر في منطقة الشُّعْب .

٢ - إذا بقي مستوى البحر ثابتاً فإن الشُّعْب سيزحف في اتجاه البحر عبر ركام منحدره كما هو الحال بالنسبة لشُعَاب عصر البرمي في غرب ولاية تكساس . وإذا ارتفع مستوى البحر ببطء فإن الشُّعْب سيرتفع بناؤه وبدون هجرة سَحْبِيَّة جانبية، أو أنه سيتقدم بناء الشُّعْب في اتجاه اليابسة عبر سُّحْن البركة الشاطئية (Lagoonal facies) الموجودة خلف الشعب . مثال ذلك شُعَاب عصر الديفوني في أستراليا (Playford and Lowry, 1966) . إن أي ارتفاع سريع في مستوى البحر سيقتل الشُّعْب وذلك بسبب زيادة عمق الماء الكبير . وإن انخفاض مستوى البحر ببطء سيتسبب في هجرة الشُّعْب في اتجاه البحر، وفي الاتجاه السفلي . ويندر وجود مثل هذا التابع لأنه عندما يتراجع (ينتهقر) خط الشاطئ فإن الشُّعَاب القديمة تضمحل (تهدم) نتيجة تجوية وحت الهواء لها . كما أن الانخفاض السريع في مستوى البحر سيقضي على الشُّعْب في الحال وذلك نتيجة انكشاف الشُّعْب المتزايد . ومن هنا يمكن أن ندرك أن التذبذب في مستوى البحر سيؤثر بشكل هام على المقاس الحجمي للشُّعْب وفي السحنات المرافقة له .

٣ - إن العامل الرئيس الثاني والمتحكم في شكل الشُّعْب الهندسي (Reef geometry) هو الوضع التكتوني في منطقة تكوين الشُّعْب، وهو في غاية الأهمية لأنه يتسبب في رفع طبقة البحر إلى قرب مستواه وهو العمق المناسب لتشكيل وبناء الشُّعْب عليها . وبشكل قاعدي فإن الشُّعَاب تكون نموذجية البناء والنمو على الأرضة

التكتونية (Tectonic shelves) حيث يكون الترسيب بحري غير عميق وخالياً من الفتات المساقة من اليابسة. وهذه الخلفية العريضة يمكن أن نميز أربعة أنواع شبه رُتَبِيَّة رئيسة من الشُّعاب:

(أ) تتشكل الشُّعاب العادية عند حافة رصيف حيث تتدرج إلى حوض بحري عميق. وربما تتشكل على طول هذه التوجهات (Trends) وبشكل موازٍ لِشُّعاب حاجزة (Barrier reefs)، أو تكون على صورة خطوط غير متصلة لِقِطْع شُعَابِيَّة (Patch reefs). وربما تكون حافة الرصيف عبارة عن صدع، وتبنى الشُّعاب على طول امتداد قمة مقطع الصدع (Fault scarp).

(ب) قد يكون الرصيف عميقاً جداً أحياناً ولا يسمح بتشكيل الشُّعْب عليه لمعمقه، ولكن حركة الترسيب المصاحبة على القمم المتحدبة (Anticlinal crests) تحضر طبقة البحر إلى العمق الكافي والمناسب لكي يتطور بناء الشُّعاب عليها (Terry and Williams, 1969).

(ج) وبشكل مماثل يمكن للثورانات البركانية التي تحدث على أرضية البحر أن تبني تراكمت من الحمم إلى أن يصل ارتفاعها إلى عمق مناسب حيث إنه قد تستعمر قممها بأحياء بانية الشُّعاب (Massa, 1965). وتمثل هذه الجزر الحَلَقِيَّة المرجانية (Atolls).

(د) الوضع الرابع من الشُّعاب يوجد على الأرصفة حيث تكون القِطْع الشُعَابِيَّة (Patch reefs) موزعة بشكل غير منتظم فوق مساحة متسعة، ومثال ذلك طبقات الشُّعاب الموجودة على حافة الدرع الكندي (Lowenstam, 1950).

٤ - العامل الثالث والمتحكم في شكل الشُّعْب الحجمي الهندسي المصاحبة هو الأحياء البانية للشُّعْب وعمق الماء. فقد دلت السجلات المشاركة للشُّعاب القديمة بأنها تكونت بشكل عام في بيئات رصيفية قليلة العمق (Shallow shelf environments). وإذا صح أن الشُّعاب القديمة نمت في مياه قليلة العمق فإن نموها يجب أن يكون مقيداً بشدة تذبذب أو تغيير مستوى البحر. ولا يمكن للأحياء الشُعَابِيَّة أن تبني فوق مستوى سطح البحر حيث إنها تموت من التعرض المستديم للهواء. وبشكل مماثل لا يمكن أن تنمو عند عمق عظيم لكون الطحالب نبات لا يعيش إلا في منطقة تتخللها



أشعة الشمس (Photic zone). ومن الأشياء المثيرة للتعجب والاستغراب هو وجود الشعاب بأعمار متفاوتة من عصر ما قبل الكامبري إلى يومنا الحاضر، ومع هذا تظهر جميعها نمائلاً في الأشكال الهندسية (Geometries) وفي الرواسب شبه السحنية (Sub-facies). ولكن تتنوع أحيائها مع اختلاف الزمن (Selley, 1978).

٥ - تظهر الشعاب ثلاثة خصائص غير عادية، وهذه بدورها تكون ذات أهمية قصوى لأنها تعكس تاريخ الشعاب بعد ترسيبها أو بعد تكوينها. هذه الخصائص كالتالي:

- (أ) تتشكل الشعاب وبها نسبة عالية من المسامية الأولية.
- (ب) تتصلب أو تتصخر الشعاب عند وقت تشكيلها، وتكون درجة الإحكام (Compaction) ضئيلة وبشكل بدائي تحتفظ بمساميتها الأولية.
- (ج) تتشكل الشعاب من معادن غير ثابتة كيميائياً (من الكلسيت والأراجونيت بشكل شائع). وبشكل لاحق يمكن لهذه المعادن أن تتعرض لتغيرات كيميائية متنوعة بسبب التفاعلات مع محاليل المسام الدوّارة (Circulating pore fluids) وبشكل قاعدي يمكن أن نميز نوعين من التغيرات المابعدية (Diagenetic changes) في الشعاب: معدنية، ونسيجية. وتكون هذه التغيرات ذات علاقة متداخلة. مبدئياً، تتغير المواد الهيكلية الأراجونيتية إلى كلسيت متعدد التشكل وثابت. وينتج عن هذا زيادة في الحجم الصخري وبشكل لاحق تناقص في المسامية والنفاذية (Hoskin, 1966)، أيضاً راجع ماسبق شرحه عن التغيرات المابعدية في صخور الكربونات - الفصل السابع. وأشار (Friedman, 1964) إلى أن هذه العملية تحدث بمعدلات مختلفة في مناطق مختلفة من معقد الشعاب، وذلك بسبب اختلاف حبات جسيمات الكربونات المتنوعة. وبشكل لاحق أو مصاحب لتغير معدن الأراجونيت إلى كلسيت، فربما تكون الكربونات غنية بمعدن المغنسيوم والمساق من ماء البحر والمنغنيز إلى دلويميت. وهذا سوف يحدث تقلصاً في الحجم الكلي للصخر (حوالي ١٣٪) وبشكل معاكس ينتج عن ذلك تكوين مسامية ثانوية في الصخر، وهي مسامية بين بلورات الدلويميت (Chilingar and Terry, 1964). وهناك صنف آخر من عملية النشأة المابعدية والتي تحدث في الشعاب، وهي عملية السلكنة أو التسلكن (Silicification)، وهذه غالباً ما تشتمل

على الإحلال الاختياري لكثير من الأحافير (Newell et al., 1953). ويصاحب هذا التغير الكيميائي تعديل نسيجي لطراز الشُعْب (Reef fabric). فربما تنقص المسامية الأولية بعد فترة الترسيب بوقت قصير وذلك نتيجة تخلل (Infiltration) وحل الكربونات الناعمة والتي تكونت من تكسرات الطحالب الجيرية. وربما يتم تناقص المسامية من ملء الفراغات بالكلسيت المتبلور (Sparry calcite) والذي يصاحبه إعادة تبلور للهياكل الجيرية وتطور نمو الكلسيت. وتسبب جميع هذه التغيرات تناقصاً في المسامية، وغالباً تدهم عملية الدِّلْمَة (Dolomitization) المرافقة، جميع علامات الطراز العضوي الأصلي للشُعْب. وبشكل متتابع ربما تتكون مسامية ثانوية نتيجة المحاليل المتدفقة على طول امتداد المكاسر (Fractures) ويرافق ذلك تكوين مسامية القوالب الحيوية (Biomoldic)، والثقوب (Vugs). ويمكن أن نلاحظ مما سبق أن عملية النشأة المابعدية التي تحدث في الشُعْب، عملية معقدة وهي عبارة عن دالة لكل من الأحافير الأصلية، والتكوين المعدني الصخري، وكيمياء السوائب التي تتحرك بشكل دائري ولاحق في داخل صخور الشُعْب. كما سبق مناقشته في الفصل السابع، إن إعادة التبلور ربما تدهم بشكل كلي الطراز العضوي الأولي للشُعْب. ثانياً، بالرغم من أن الشُعَاب القديمة غالباً تكون عالية المسامية، إلا أنه ربما لا تعطي النوعية وتوزيع المسامية أي علاقة بتلك المسامية التي وجدت عند وقت تكوينها.

٦ - تقع أهمية دراسة الشُعَاب وأصل نشأتها وعملية النشأة المابعدية بها لأن الصخور الشعابية غالباً ما تكون مُتَمَدِّنة وتشكل خزانات مضيافة للنفط والغاز الطبيعي (راجع: Selley 1976, 1978). ولزيد من المعلومات المتقدمة في هذا الموضوع، راجع المراجع التالية:

Wilson, (1975); Selley, (1978, 1985, 1990, 1994); Friedman and Sanders, (1978); Reading, (1981, 1986); Raymond, (1995) and Boggs, (1995).

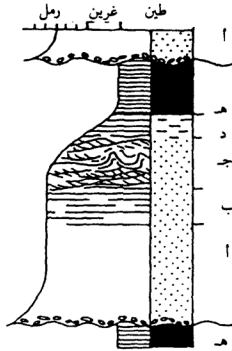
### ٣ - بيئات العُكْر

يطلق على رواسب العُكْر مصطلح (Turbidites)، وتنتج هذه الرواسب من ترسيب تيار العُكْر أو الاضطراب (Turbidity current). ويشير تيار العُكْر إلى تيار عالي

الكثافة يتدفق تحت سطح مائي منحدر أو منتشر بشكل أفقي . ويتم ذلك عندما يلتقي جسمان من الماء ذوا كثافة مختلفة ، فيميل جسم الماء الأكثر كثافة إلى أن يتدفق وينتشر تحت الجسم المائي الأقل كثافة . ويزيد من كثافة الجسم المائي ارتفاع نسبة الرواسب العالقة فيه . لذلك ربما يتدفق تيار العُكْر الغني برواسب رقائقية عالقة وذو كثافة عالية في اتجاه منحدر وينتشر تحت جسم ماء صافي ومنخفض الكثافة . وبتزايد وجود مثل هذه التيارات العُكْرة في البحار وذلك بسبب الاختلافات المصاحبة في درجة كل من الحرارة والملوحة (راجع ماسبق شرحه عن تيارات العُكْر في الفصل الرابع ، تحت عنوان رواسب تيارات العُكْر) . ويطلق في كثير من الأحيان مصطلح الفِلِش (Flysch) على رواسب تيارات العكركر . ويشير مصطلح رواسب الفِلِش إلى تتابعات سميكة لطبقات رمل متداخلة طبقيًا (Interbedded) مع طبقات طين صفحي . وعامة تُظهر طبقات الرمل قاعدات تحتية (Erosional bases) وتكون داخليًا ذات تدرج حبيبي . ويحتوي الطين الصفحي على أحافير بحرية . (راجع كل من : Hsu 1970, Dzulinsky and Walton 1965 . ويعتقد كثير من الجيولوجيين أن رمل الفِلِش يتمثل في رواسب العُكْر (Turbidites) . وأن كثيرًا من رمل الفِلِش ولكن ليس جميعها متمثلة في الجريواكي (Greywackes) . ولذلك أصبح تبادل استخدام المصطلحات (Flysch) و (Turbidite) و (Greywacke) أمرًا شائعًا . وينتج عن هذا إساءة في استخدام أي منهم . لأن مصطلح الفلش يصف سِخْنَةً من السُحْن ، ويشير مصطلح الجريواكي إلى بترغرافية صخر معين من الصخور ، ويتضمن مصطلح العُكْر وصف الطريقة أو العملية التي ترسب بها راسب معين . وقد أوضحنا سابقًا أن راسب العُكْر (Turbidite) عبارة عن راسب ترسب بواسطة تيار العُكْر . والجريواكي عبارة عن رمل سيء التصنيف ويحتوي على كمية كبيرة من راسب الأرضية (Matrix) وبه كلسيت متبلور (spar) أو كِسْر صخرية (Rock fragments) .

### خصائص ومميزات رواسب العُكْر

يوضح (شكل ١٩٣) قطاع عمودي نموذجي لراسب العُكْر والذي اقتبس من عمل (Bouma, 1962) . ويوحى هذا القطاع إلى أن تعريف أو تمييز رواسب العكركر تتم



شكل (١٩٣). تتابع سطحي عام لوحدة رواسب العكر. تمثل الحروف الأبجدية خمسة وحدات  
ساحنية مختلفة متعامدة التتابع. (عن: Bouma, 1962)

عن طريق معرفة مجموع عدة خصائص وليس من معرفة خاصية واحدة فقط. ويمكن من هذا القطاع الاستدلال على تواجد عدة بنيات رسوبية في رواسب العكر. ويلخص الجدول (٣٢) مجموع هذه البنيات الرسوبية والتي قام بإيضاحها وتعريفها (Pettijohn and Potter, 1964). ونوجز تفسير البنيات الرسوبية المرافقة لتيارات العكر كما فسرها كل من: Walker (1965), Harms and Fahnestock (1965), Hubert (1967) وهي كالتالي:

يقوم تيار العكر بحت وتشكيل أنواع متنوعة من البنيات الرسوبية على أسطح محلية، ويتبع ذلك ترسيب رواسب العكر تحت ظروف تيارات فائقة (Waning currents). فترسبت وحدة «أ» المصمتة، وربما تكون قد ترسبت على هيئة كتبان مضادة (Antidunes) تحت نظام التدفق العالي (Upper flow regime). كما رسب تدفق الطلقة (Shooting flow)، الوحدة «ب» المترققة، ورسب نظام التدفق المنخفض (Lower flow regime).

جدول (٣٢). البيئات الرسوبية المصاحبة لرواسب العُكُر.

سبب العملية	تأثير البنية
حت (تعرية)	تآكلات التيار مثال ذلك علامات الأبواق، القنوات، التآكل والملء.
	تآكلات الإعاقة المشككة في أسفل التيار من الحصوات والأصداف... إلخ.
	علامات الأداة مثل علامات الخطوط الناتجة من انتقال القطع الصغيرة على سطح القاع.
الزمن ترسيب	تطبق متدرج.
	ترقق.
	ترقق متقاطع دقيق.
تشوه	ترقق مشوه
	قوالب الحمل، هوابط، انزلاقات، تمزق، قواطع الرمل، براكين رملية

(عن: Pettijohn and Potter, 1964)

(regime ، وحدة «ج» ذات الترقق المتقاطع الصغير الحجم . وقد أعطى Walker, 1965) عدة تفسيرات لطبقة الغرين المترققة «د» والموجودة في أعلى القطاع . وقد يشير ذلك إلى عودة تكرار تدفق الطَّلقة ولكن حيث إن حجم الحبيبات أكثر نعومة في أعلى القطاع، فإنه من المحتمل أن تكون سرعة التيار الحقيقية أقل من تلك السرعة التي تسببت في ترقق الوحدة السفلية «ب» . وتدل الوحدة الوحلية «هـ» في أعلى القطاع على إعادة انخفاض طاقة البيئة (أو هدوء البيئة) والتي كانت سائدة قبل استقرار راسب العُكُر. وما يستحق تذكره أن تتابع البنيات السابقة يندر أن توجد مكتملة التطور في تتابع واحد من رواسب العُكُر. لأن التفسير السابق كان معتمداً على دراسة عدة تتابعات عُكُرَة.

وهناك دراسات ومناقشات مستفيضة عن نسيج رواسب العُكر (Texture of turbidites). وبالرغم من أن دراسة رواسب العُكر القديمة تشير إلى أنها رواسب رديئة التصنيف وتحتوي على طين كراسب أرضية رئيس، فقد دلت الدراسة المجهرية (البتروغرافية) أن كثيراً من صخور الجريواكي هي في الواقع رواسب تيارات العُكر، إلا أن رمل البحار العميقة الحديثة تدل على أنها رواسب عُكر ولكنها غالباً ما تكون جيدة التصنيف وخالية من الطين (Hubert, 1964). وقد اقترح (Cummings, 1932) أن رواسب العُكر القديمة ربما ترسبت في الغالب كرمل نقي ولكن من الناحية المعدنية فهي غير ناضجة (Minerally immature)، وقد تكون راسب الأرضية (الطين) في الرمل نتيجة عملية النشأة المابعدية وتفتت المعادن غير الثابتة كيميائياً (مثل الفلسبار). وتتراوح أحجام الحبيبات في رواسب العُكر من الغرين إلى الرمل الحصى. ويعود ترسيب الأنواع الخشنة إلى عملية متناصفة بين تدفق العُكر وهابط الجاذبية (Gravity slumping). ومن الناحية البتروجرافية فإن كثيراً من الرواسب العُكرة القديمة تكون جريواكي، بينما رمال البحر العميق الحديثة فهي عامة تكون عبارة عن كوارتزيت نقي. وقد عرف (Sturt, 1961) كوارتزيت نقي لرواسب عُكرة قديمة. كما وصفت رواسب عُكرة جيرية قديمة وحديثة، كما في جدول (٣٣). ويشير هذا الجدول على تواجد رواسب العُكر في بيئات ترسيبية متنوعة، وهي ليست مقتصرة على الصخور الرسوبية ولكنها وصفت من طبقات الجابرو (Irvine, 1956).

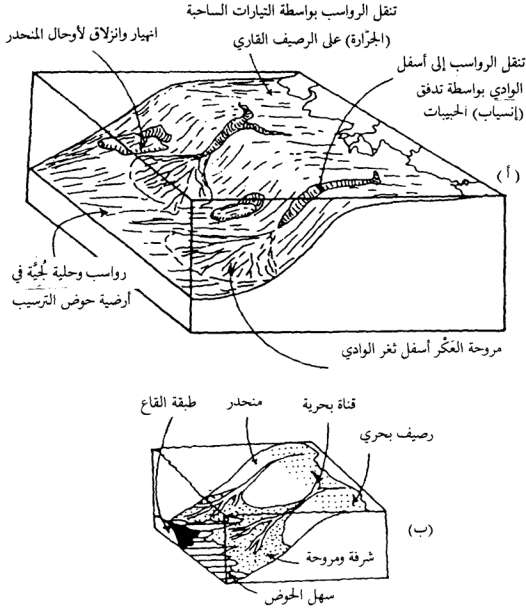
وقد تبين من دراسات حواف الأرصفة القارية الحديثة (Modern continental margins). إن الجغرافية الطبيعية للبيئات العُكرة تشبه إلى حد كبير الوضع في الوديان الصحراوية والمراوح النهرية (Selley, 1978). وأهم عناصر نموذج بيئات العُكر متمثلة في حافة حوض ترسيبي تقطعه أنظمة قنوات بحرية. وتنتقل الرواسب إلى أسفل هذه القنوات بالانزلاق (Sliding)، والهبوط (Slumping)، وإنسياب الحبيبات (Grain flow)، أو ترحلقها (Gliding) وتندفع من فوهات القنوات كتدفقات عُكرة حقيقية. وتمتد رواسب العُكر من أبنية المراحل البحرية (Submarine fans) ممتدة إلى أطيان المناطق اللُجئية (Pelagic muds) لقاع الحوض البحري (شكل ١٩٤ أ)، (Shepard 1971, Gorsline 1970).

جدول (٣٣). تعدد البيئات المتواجدة فيها رواسب العُكُر.

بيئات	حديثة	قديمة
أزقة بحرية (تكتنفها الأجراف)	Holtedahl (1965)	
بحيرات	Grover and Howard (1938)	Kuenen (1951)
دلتات	Selley (1978)	Selley (1978)
شعاب	?	Carozzi and Frost (1966)
حواف أرسفة الكربونات	Rusnak and Nesteroff (1969)	Thomson and Thomasson (1964)
رواسب الفلش القديمة رمال أعماق البحار الحديثة	Selley (1978)	
طبقات الجابرو (راسب نارى)	—	Irvine (1965)

(عن : Selley, 1978)

ويتضح من الشكلين السابقين أن حافة الرصيف القاري تقطعها قنوات بحرية. ومن المحتمل جداً أن يقع مصدر هذه القنوات بالقرب من أفواه أنهار رئيسة أو حتى على مقربة من شواطئ ساحلية. فيستمر امتداد القنوات في الاتجاه السفلي عبر المنحدر القاري وتلقي بأحمال رواسبها على هيئة مراوح بحرية، تشبه إلى حد كبير المراوح النهرية التحت هوائية (البرية) (Subaerial alluvial fan). وتنقسم القناة البحرية عند أعلى المروحة إلى معقد شعاعي من قنوات صغيرة والتي تكون غالباً محاطة بشرفات (Levees)، شكل (١٩٤ب). وتصبح هذه القنوات متعددة، وأقل عمقاً ومتسعة في أسفل المروحة. كما تحدث تغييرات في سحنات الراسب كلما اتجهنا إلى أسفل المروحة. فيترسب الرمل الخشن وأحياناً الزلط في مناطق المروحة العليا، أي قرب المصدر، وتتناقص أحجام الحبيبات كلما اتجهنا إلى قاع المروحة حتى تصل إلى أحوال المناطق العميقة في أرضية حوض البحر، (Shepard (1971); Dott (1974); Whitaker (1976); Kelling and Stanley (1976).



شكل (١٩٤). رسم توضيحي لبيئات رواسب العكس:

(أ) نموذج رسوبي لرواسب العكس وتوزيعها الجغرافي حول المنحدر البحري.

(عن: Selley, 1976, 1994)

(ب) التوزيع الجغرافي لرواسب العكس وعلاقته بحافة الرصيف القاري في ولاية

كاليفورنيا. (عن: Hand and Emery, 1964)



وتظهر رواسب المراوح البحرية بخصائص ومميزات رواسب العُكُر (Turbidites) والتي سبق الحديث عنها. وفي كثير من الأحيان تكون القنوات البحرية مملوءة برواسب العكر وخاصة في أطراف نهاياتها المتباعدة عن الرصيف القاري. ولكن تحتوي أيضاً على رواسب عمليات ترسيبية أخرى. فقد تشغل أطرافها العليا بطبقات الحصى الكبير الهابطة وذات تعدد صخري (Hetrogenous)، وذلك إذا نشأت في مناطق صدع بحري.

وإذا كان الراسب في القناة البحرية عبارة عن رمل نقي منقول من منطقة نزح الشاطيء أو من فوهة نهر، فإنها في هذه الحالة تكون منقولة عن طريق عملية انسياب الحُبَيْبَةِ (Grain flow process). وتعتبر هذه العملية، عملية متوسطة بين تدفق الكتلة (Mass flow) والتعكير الكثيف (Turbidite)، (Bagnold, 1966)، (راجع أيضاً مناقشة هذا الموضوع في الفصل الرابع تحت عنوان عمليات النقل بالجاذبية الأرضية). وقد وصف (Stauffer, 1967) البنيات الرسوبية المشككة في تدفقات الحبيبات. ولا تحتوي هذه الرواسب على التطبق المتدرج ولا على التطبق المتقاطع. وهي عبارة عن طبقات رملية مصمتة وبها حد فاصل علوي وسفلي. وربما توجد فتاتات مبعثرة في داخل الطبقة الرملية. وقد يوجد داخل هذه الطبقة المصمتة تطبق مطوي أو مجمد (Convolute bedding) خفيف المظهر. وعامة يوجد هذا الصنف من الرواسب مترسباً على منحدرات شديدة الميل للذلت الرملية وحواف الأرصفة القارية، فهو ليس دائماً مقصور الوجود في القنوات البحرية.

وربما تكون المنحدرات المشاركة لرواسب العكر ذات نشأة حركية (أو تكتونية) أو نزوح مهاجر (Accretional). فقد وجدت القنوات والمراوح البحرية عند أقدام الذلت الحديثة (مثل ذلتا الرّائين) وعند أقدام بنيات تكتونية مثل أسطح الصدوع البحرية وحواف الأرصفة القارية. وقد وصفت أمثال هذه البيئات ولكن القديمة منها في أبحاث كل من: (Mutti and Lucchi 1972, Van de Kamp et al., 1974).

ويعطي تدرج الرواسب في اتجاه البحر لهذا النوع من المنحدر البحري تتابع سحني كالتالي: يوجد عند أعلى المنحدر سحنة رملية، وغالباً ما تكون جيدة التصنيف وبها جلوكونيت وتحتوي أيضاً على كمية قليلة من الرمل الهيكلي (Skeletal sand).

وتكون هذه الطبقات ذات تطبق متقاطع أو تفرق متقاطع . وقد ترسبت هذه السحنة عن طريق تيارات الزحف (Traction currents) السائدة فوق الرصيف القاري . وعامة تمتد هذه السحنة بشكل مفاجيء في الاتجاه السفلي إلى سحنة ثانية تتكون من كميات متنوعة من رواسب تحت سحنة مميزة ، وهي كما يلي :

يتكون راسب تحت السحنة الأولى من طين مترقق وغرين ترسب من التعلق في مياه عميقة هادئة في منطقة المنحدر . وتميل رواسب هذا المنحدر إلى أن تهبط وتنزلق بسبب ارتفاع تشعبها بالماء وحالتها غير الثابتة (Klein et al., 1972) . وتقطع أطياف المنحدر الصفائح عبر كميات متنوعة من راسب شبه سحني آخر . وهو عبارة عن الرواسب التي تملأ الأخدود البحري (Canyon) والذي يعرف برواسب ملء القناة البحرية (Valley fill deposits) . ويتكون هذا بشكل كبير من رواسب رملية مع كميات قليلة من الرواهص وكميات ضئيلة من الطين الصفحي . ويشكل الرمل طبقات سمكية وذات قواعد تحتية (Erosional bases) . ويندر أن تكون هذه الطبقات الرملية متدرجة الحبيبات وغالباً ما تكون عديمة البنية الرسوبية وذات تطبق هابط (Slump-bedded) ، وتحتوي على فتات أو كسر متفرقة الوجود وبها كتل صخرية هابطة . ويعود ترسب هذه الرمال إلى عمليات كل من انسياب الحبيبات ، والهبوط والانزلاق والتزلق (والتي سبق مناقشتها) ، إلى أسفل الوديان البحرية (تحت تأثير الجاذبية) والمقترية من حالة تدفق العكر الحقيقي المشبع بالماء ، والتي تعرف أحياناً بالمصطلح فيض العكارات (Fluxoturbidites) ، راجع الشرح في الفصل الرابع تحت عنوان عمليات النقل بالجاذبية .

وتمر هذه السحنة متجهة إلى أسفل إلى رواسب العكر الحقيقية للمراوح البحرية الموجودة عند أقدام القنوات . ويظهر هذا الانتقال من تناقص في حجم الحبيبات ، والإقلال في سُمك الطبقات ، وزيادة في التطبق المتدرج ، وكثرة تداخل وحدات الطين الصفحي بين طبقات الرمل . وفي نفس الوقت تصبح القنوات أكثر اتساعاً وأقل عمقاً . وقد وُصف مثل هذا الانتقال السحني من راسب القناة إلى راسب المروحة في أبحاث كل من : (Burke 1972, Mutti and Lucchi 1972) .

وتتدرج سحنات الرمل والطين الصفحي للمروحة في الاتجاه السفلي إلى رواسب

العُكْر المتباعدة وذات التطبيق الأقل سُمُكًا (Thinner bedded) مع تزايد كميات الأوحال دقيقة الحبيبات في المناطق البحرية اللُجِيَّة، والتي تعرف بـ (Fine-grained pelagic muds). المستقرة في قاع الحوض ومبتعدة عن صعود المنحدر.

ويمكننا تلخيص مفهومنا عن النموذج الرسوبي لرواسب بيئات العكر والرواسب المرافقة معها في حافة منحدر الرصيف القاري كالتالي: (١) توجد رواسب بيئات العُكْر على حواف الأرصفة القارية الحديثة وعند مقدمات رواسب الدلتا.

(٢) يمكن تمييزها في الرواسب القديمة في التتابعات الصخرية المنصاعدة من رواسب أوحال المناطق البحرية العميقة المارة في الاتجاه العلوي خلال رواسب العُكْر إلى رواسب مائلة القنوات البحرية، المعروفة بـ (Fluxoturbidite channel)، وسُحُنات الطين الصفحي الهابط والموجود في بيئة المنحدر.

(٣) يعلو هذا التتابع من رواسب العُكْر رواسب تيارات الزحف الموجودة فوق منصة طبق الرصيف القاري (Selley 1976, 1978, 1982).

ولا يحتمل وجود خزانات البترول في أجسام رمال البحار اللُجِيَّة المشكّلة لِسُحُنات الفِلِيش أو رواسب العُكْر وخاصة عندما تتعرض لحركات بناء الجبال (Orogenesis) في الأحواض الأرضية أو القعائر العظمى (Geosynclines). لأن بداية عملية التحول (Metamorphism) الصادرة من تلك الحركات الأرضية، تهدم (تمحي) المسامية الموجودة في هذه الرواسب، كما تمحي أو تقضي على تجزؤ مركبات الكربون المتمثلة (Hydrocarbons) إن وجدت. كما يساعد التشويه البنائي (Structural deformation) المرافق لهذه الحركات على تسرب السوائل الموجودة في مسامك هذه الرواسب.

ولكن إذا وجدت رمال البحار اللُجِيَّة في مناطق عديمة الحركات المؤدية إلى التجيُّل أو بناء الجبال (Orogeny) وتشويه القشرة الأرضية، فإنها غالباً ما تكون منتجة للنفط والغاز بكميات كبيرة وخاصة إذا وجدت هذه الرواسب عند مقدمة الدلت أو في أحواض محاطة بصدوع مع محدودية في الحركة الدائرية لمياه البحر (Restricted marine circulation). وفي هذه الحالة ربما تصبح أوحال أرضية الحوض البحري

اللُّجِّي (Pelagic mud) كطبقات مصدر (Source beds) التي ينتج منها النفط والغاز وبالإمكان أن تهجر مركبات الهيدروكربون في اتجاه أعلى المنحدر خلال رمال مروحة العُكُر والتي تتداخل معه . وربما يحجز النفط والغاز في مصائد بنائية (Structural traps) وبشكل طبقي حيث تكون رمال القنوات البحرية مغلقة (Sealed) في أعلى الميل بأطيان المنحدر غير المنفذ (Impermeable) . وتشكل الرمال اللُّجِّيَّة في حقول بحر الشمال من عصر الباليوسين مناطق منتجة للنفط والغاز (Selley 1976, 1978, Parker 1975) .

لمزيد من المعلومات المتقدمة بشأن هذا الموضوع راجع :

Stow, (1985, 1986); Reading, (1986); Boggs, (1995); Selley, (1985, 1990, 1994); Raymond, (1995); Howell and Normark, (1982); Mullins and Cook, (1986) and Kennedy, (1987).

#### ٤ - بيئات لُجِّيَّة

يستخدم المصطلح (Pelagic sediments) عند الإشارة إلى رواسب المناطق البحرية اللُّجِّيَّة . وتكون هذه الرواسب متعددة التكوين المعدني (Extremely heterogeneous) وتنتج من عدة عمليات ترسيبية . وتترسب الرواسب اللُّجِّيَّة من المواد العالقة في المياه التي تعلو هذه المناطق ويحدث الترسيب في غياب أي من النشاط التياراتي الرئيس ، حيث يسود الهدوء أغلبية هذه البيئة . وتتكون رواسب الوحل اللُّجِّي بشكل رئيس من متبقيات الهياكل العضوية وأحياء دقيقة . وتعرف هذه الرواسب عامة بالرزغ الجيري (Oozes) أو رزغات لُجِّيَّة (Pelagic oozes) . وتعرف الرواسب المنقولة من خارج منطقة الترسيب والتي ترسبت بواسطة نشاط تيار القاع ، وأجسام الثلج الطافية (Ice bergs) وغيرها بالرواسب الأرضية (Terrigenous sediments) . وتكون هذه أكثر خشونة من الرواسب اللُّجِّيَّة وتجمع الرواسب المترسبة من تأثير الجاذبية تحت اسم رواسب الجاذبية والتي تشمل كل من رواسب تساقط الصخور (Rock fall deposits) ، ورواسب الهبوط والانزلاق ، ورواسب القنوات والمراوح البحرية (المعروفة برواسب عُكُر مختلفة Fluxo-turbidites) ، ورواسب العُكُر (Turbidites) ، (Stanley 1970, De Raaf ، 1968) . وهناك نوع انتقالي من رواسب نصف لُجِّيَّة والتي يطلق عليها المصطلح (Hemipelagic sediments) وهي عبارة عن وحل أسود تقع أحجام حبيباته بين رواسب

البحار اللُجِّيَّة الفائقة عن الأحجام الناعمة (Ultra fine-grained)، والرواسب الأرضية الخشنة. ومحلًّا يشكل الترسيب الكيميائي والكيميائي الحيوي عامل ترسيب مهم في الرواسب البحرية اللُجِّيَّة، حيث يساعد في ترسيب كل من المنجنيز والحديد والفوسفور وغيرها، (Reineck and Singh, 1975).

وقد درست الرواسب اللُجِّيَّة العميقة الحديثة من قبل كثير من الباحث، أمثال: Arrhenius, (1963); Riedel, (1963); Mero, (1965); Kukal, (1971); Cook and Enos, (1976); Inderbitzen, (1974); Hsu and Jenkins, (1974); Lisitzen, (1972); Stow and Piper, (1984); Apel, (1987) and Boggs, (1995).

ويمكن عامة تصنيف الرواسب اللُجِّيَّة الحديثة إلى الأنواع التالية:

#### (أ) رواسب أرضية Terrigenous sediments

المتكونة من رواسب طينية دقيقة (Argillaceous) ورمال لُجِّيَّة التي قد تكون من رواسب العُكُر، وتتواجد هذه الرواسب بالقرب من القارات.

#### (ب) رزغ جيري Calcareous oozes

عبارة عن رزغات جيرية، تتكون بشكل كبير من محاربات الأحافير الدقيقة. وربما تميز نوعان من هذه الرزغات: رزغ البتروبودا (Pteropod ooze) المتكونة بشكل كبير من محاربات الأراجونيت للرخويات (Molluscs)، ورزغ الفورامينيفرا (Foraminiferal ooze) المتكونة بشكل كبير من أغلفة الفورامينيفرا الكلسية (Calcitic foraminiferal tests) وغالبًا تكون من الجلوبيجيرينا (Globigerina).

#### (ج) رزغات سليكونية أو رزغ سليسي Siliceous oozes

المتكونة من هياكل الدياتومات (Diatoms) والشعاعيات (Radiolaria).

#### (د) الطين الأحمر أو البني Brown or red mud

عبارة عن أوحال حمراء إلى بُنية داكنة والتي يعتقد أنها تشكلت من دقائق الغبار المحمولة بالرياح من الصحاري القارية واستقرت في المحيط، هذا بالإضافة إلى ذرات الرماد البركاني والفتانات الدقيقة الأرضية والتي تحملها الرياح أيضًا وتلقي بها في البحار.

### (هـ) رواسب المنجنيز Manganiferous deposits

عبارة عن رواسب ذات نشأة مابعدية الأصل (Diagenetic in origin) عوضاً عن أصل ترسيبي. وتظهر هذه الرواسب بأسطح متآكلة وعلى هيئة عُقَيْدَات (Nodules) غنية بالمنجنيز. وتحتوي عُقَيْدَات المنجنيز على بنية دائرية مركزية (Concentric structure)، تشير إلى تقطع عمليات الترسب. وبشكل محلي يكون لهذه الرواسب قيمة اقتصادية مهمة. وعامة تتكون السحنات الرسوبية المميزة للبيئة اللُجِيَّة (Pelagic environment) من طبقات متداخلة (Interbedded) من طبقات ظر شعاعية مترققة (Laminated radiolarian cherts)، وطبقات طين جيري (Micrites) وطبقات طين صفحي أحمر وغني بالمنجنيز. وقد ترسبت هذه المجموعة من الرواسب أثناء المراحل المبكرة لتكوين دورة حوض الترسب ذات الحجم الكبير (Geosynclinal cycle) والمشاركة مع تكوين وسائد اللابة البركانية (Pillow lavas). وتعلو فوق الرواسب اللُجِيَّة سحنات الفِلِش أو رواسب العكر (شكل ١٩٤). وقد وصفت الرواسب اللُجِيَّة القديمة في أبحاث كل من: Garrison and Fischer, (1969); Aubouin, (1965) and Wilson, (1969).

وبشكل تقريبي يتطابق توزيع الرواسب المتنوعة للبحار اللُجِيَّة الحديثة مع مقياس العمق. فمثلاً يتم ترسيب الطين الأحمر في معظم المناطق العميقة جداً في المحيطين الهادي والأطلسي، وتتكون رزغات الشعاعيات (Radiolarian oozes) في مياه أقل عمقاً من ٤٥٠٠ متر تقريباً، ويقع تشكيل رزغات الفورامنيفرا الكلسية على أرضية المحيط بين ٤٥٠٠ متر و ٣٥٠٠ متر، وتوجد فوق هذه النقطة من العمق رزغات الأراجونيت لكل من البتروبودا والفورامنيفرا. ويتحكم في توزيع تكوين هذه الرواسب عبر مستويات العمق البحري كل من معدل السرعة في الترسب ومعدل السرعة في تحلل مكونات الأحافير المكونة لهذه الرواسب. ومن ثم مع زيادة العمق، يُظهر تتابع هذه الرواسب (الأراجونيتية، والكلسية، والسليسية، والوحلية) زيادة في ثباتهم الكيميائي. ويعتبر معدل سرعة تحلل هذه المعادن دالة لكل من معدل سرعة دفنهم، ودرجة حرارة المياه المحيطة بهم، وحالة تشبعهم بالمواد الكيميائية المتنوعة، والضغط الساكن المتمييء (Hydrostatic pressure) في منطقة الترسب.

وتمتاز سحانات الرواسب اللُجِّيَّة بوجودها غالباً في تتابعات أحواض الترسيب القديمة (Ancient geosynclines) ، وأيضاً تظهر مشتركة مع نشاط بركاني (Garrison, 1974) . يتكون هذا النشاط البركاني من وسائد اللَّابَة (Pillowlavas) ، والأسبليت (Spilites) ، والبازلت، والمربنتين، وهذه تعرف بمجموعة الأفوليت (Ophiolitic Suite) .

ويمكننا تلخيص مفهومنا عن الرواسب اللُجِّيَّة كالتالي :

تضطجع تتابعات العُكُر (الفلش) غالباً فوق سحانات مميزة للرواسب اللُجِّيَّة والتي يمكن تمييزها في صخور بمختلف الأعمار وفي مناطق متعددة في العالم . وتتكون سحانات الرواسب اللُجِّيَّة من أحجار جير دقيقة الحبيبات، وأطيان صفحية ومَرَلات (Marls) . وأحياناً تكون أحجار جير حمراء ومتدرنة . وتكون مرافقة مع ظر شعاعي (Radiolarian cherts) وأحياناً مشاركة مع رواسب بركانية بحرية . وتمثل الأحافير المصاحبة بيئات مياه بحرية عميقة . ويندر بشكل عام وجود أحافير البشونيت (Benthonic fossils) . وتشير البنيات الرسوبية في هذه الرواسب إلى تغيب أي نشاط تباري قوي من منطقة الترسيب . وبشكل عام تُظهِر تتابعات هذه السَّحَن قليلاً من التوقفات الطبقيَّة (Stratigraphic breaks) وتكون أقل سُمْكاً من السَّحَنَات القريبة منها والمتساوية معها في العمر الزمني .

ويبدو أن هذه الصخور قد ترسبت ببطء في بيئات بحرية عميقة، وتحت منطقة اختراق أشعة الشمس (Below photic zone) وبعدة عن المناطق التي يسودها النشاط التباري القوي (المراجع : Selley 1976, 1978) .

ولزيد من المعلومات المتقدمة في هذا الموضوع على طالب الدراسات العليا

مراجعة المراجع الآتية :

Reineck and Singh, (1975); Selley, (1978, 1985, 1990, 1994); Friedman and Sanders, (1978); Blatt *et al.*, (1980); Reading, (1981, 1986); Leggett, (1985); Boggs, (1995) and Raymond, (1995).





## المراجع

● المراجع العربية ● المراجع الأجنبية ● مراجع إضافية

### أولاً: المراجع العربية

- ابن سينا، أبو علي الحسين (١٩٦٥م). كتاب الشفاء، المعادن والآثار العلوية. القاهرة: المؤسسة المصرية العامة للتأليف والنشر.
- البيروني، أبو الريحان محمد بن أحمد (١٩٥٨م). تحقيق ماللهند من مقولة مقبولة في العقل أو مرذولة. حيدر آباد: الدكن، دار المعارف العشائية، الهند.
- حسن، محمد يوسف؛ شريف، عمر حسين؛ النقاش، عدنان باقر (١٩٨٣م). أساسيات علم الجيولوجيا *Wiley Arabook*. نيويورك، ٥٥٠ صفحة.
- الحمدان، عبدالله العقيل (١٩٧٥م). الصخور الرسوبية. مطبعة مؤسسة الجزيرة، الرياض: المملكة العربية السعودية، ٤٠٣ صفحة.
- الكرخي، أبو بكر محمد بن الحسن بن الحاسب (١٩٤٠م). أنباط المياه الخفية. حيدر آباد: مطبعة دار المعارف العشائية، الهند.
- مشرف، محمد عبدالغني؛ إدريس، الطاهر عثمان (١٩٩٠م). قاموس مصطلحات الرسوبيات المصور. مطابع جامعة الملك سعود، الرياض، المملكة العربية السعودية، ٢٤٣ صفحة.
- مشرف، محمد عبدالغني؛ إدريس، الطاهر عثمان؛ وعوض، حسين سالم (١٩٩٣م). تطبيقات في الجيولوجيا العامة. دار المريخ: الرياض، المملكة العربية السعودية، ٦٤٦ صفحة.

مشرف، محمد عبدالغني (تحت الطبع). أساسيات علم الأرض (الجيولوجيا الفيزيائية). دار المريخ : الرياض، المملكة العربية السعودية.  
النجار، زغلول؛ والدفاع، عبدالله (١٩٨٨م). إسهام علماء المسلمين الأوائل في تطور علوم الأرض. مكتب التربية العربي لدول الخليج العربية.

## ثانيًا: المراجع الأجنبية

- Adachi, M.; M. Yamamoto, K. and Sugisaki, R. (1986). Hydrothermal chert and associated siliceous rocks from the northern Pacific. *Sed. Geol.* 47, 125-148.
- Addis, M.A. and Jones, M.E. (1986). Volume changes during diagenesis. *Marine and Petrol Geol.* 2, 241-246.
- Ager, D.V. (1963). *Principles of Paleocology*. McGraw-Hill, New York, 371p.
- Ahlbrant, T.S. and Fryberger, S.G. (1982). Eolian deposits in "Sandtone depositional Environments" (P.A. Scolle, Ed.), *Am. Assoc. Petrol. Geol. Mem.* 31, 11-48, Tulsa.
- Aharoni, E. (1966). Oil and Gas Prospects of Kurnub Group (Lower Cretaceous) in South Israel, *Am. Assoc. Petrol. Geol. Bull.* 50, 238-2403.
- Al-Laboun, A.A. (1986). Stratigraphy and hydrocarbon potential of the Paleozoic succession in both the Tabuk and Wildayan basins, S. Arabia. In "Future Petroleum Provinces of the World" (M.T. Halbouty, Ed.), *Am. Ass. Petrol. Geol. Mem.* 40, 373-398pp.
- Allen, J.R.L. (1962). Petrology, origin, and deposition of the highest Lower Old Red Sandstone of Shropshire England. *J. Sed. Petrol.*, 32, 657-697.
- Allen, J.R.L. (1963a). Asymmetrical ripple marks and the origin of water-laid coset of cost-strata, *Liverpool and Manchester Geol.* 2, pp. 187-236.
- Allen, J.R.L. (1963b). The classification of cross-stratified units with notes on their origin. *Sedimentology*, 2, pp. 93-114.
- Allen, J.R.L. (1964a). Primary current lineation in the Lower Old Red Sandstone (Devonian), Anglo-Welsh Basin, *Sedimentology*, 3, pp. 89-108.
- Allen, J.R.L. (1964b). Studied in fluvialite sedimentation: Six cyclothems from the Lower Old Red Sandstone, Anglo-Welsh Basin, *Sedimentology*, 3, pp. 163-198.

- Allen, J.R.L. (1965). A review of the origin and characteristics of recent alluvial sediments, *Sedimentology*, 5, No. 2, pp. 89-191.
- Allen, J.R.L. (1966) On bedforms and Palaeocurrents, *Sedimentology*, 6, pp. 153-190.
- Allen, J.R.L. (1968a). The nature and origin of bed-form hierarchies, *Sedimentology*, 10, pp. 161-182.
- Allen, J.R.L. (1968b). On criteria for the continuance of flute marks, and their implications. *Geologie Mijnb*, 47, pp. 3-16.
- Allen, J.R.L. (1968c). *Current Ripples*, Amsterdam, North-Holland, Pub. Co., 433p.
- Allen, J.R.L. (1969). Some recent advances in the physics of sedimentation. *Proc. Geo. Assoc.*, 80, pp. 1-42.
- Allen, J.R.L. (1970a). The systematic packing of prolate spheroids with reference to concentration and dilatancy. *Geologie Mijnb*, 49, pp. 211-220.
- Allen, J.R.L. (1970b). *Physical Processes of Sedimentation*, Allen and Unwin, London, 248p.
- Allen, J.R.L. (1971a). Some techniques in experimental geology. *J. Sed. Petrol.*, 44, pp. 695-702.
- Allen, J.R.L. (1971b). Transverse erosional marks of mud and rock: their physical basis and geological significance. *Sedimentary Geol.* 5, pp. 167-385.
- Allen, J.R.L. (1985a). "Principles of Physical Sedimentology." George Allen & Unwin. London, 272pp.
- Allen, J.R.L. (1985b). Loose boundary hydraulics and fluid mechanics: selected advances since 1961. In: *Sedimentology Recent Advances and Applied Aspects*. (P.J. Brenchly and B.P.J. Williams. Eds). pp. 7-30. Blackwell, Oxford.
- Allen, J.R.L. (1986a). Earthquake magnitude-frequency, epicentral distance and soft sediment deformation in sedimentary basins. *Sed. Geol.* 46, 67-76.
- Allen, J.R.L. (1986b). On the curl of desiccation polygons. *Sed. Geol.* 46, 23-32.
- Allen, J.R.L. and Friend, P.E. (1968). Deposition of the Catskill facies Appalachian region: *Spec. Pap. Geol. Soc. Am.* No. 206, pp. 21-74.
- Allen, J.R.L. and Banks, N.L. (1972). An interpretation and analysis of recumbent-folded deformed cross-bedding, *Sedimentology*, 19, No. 3/4.
- Allen, Percival (1976). Origin of the Hastings facies in north-western Europe, *Proc. Geol. Assoc.* 78, pp. (27-105).
- Allen, P.A. and Collinson, J.D. (1986). *Lakes*. In *Sedimentary Environments and Facies* (H. G. Reading. Ed.). 2nd edition, pp. 63-94. Blackwell, Oxford.
- Allen, R.C., Gavish, E., Friedman, G.M. and Sanders, J.E. (1969). Aragonite-

- cemented sandstone from outer continental shelf off Delaware Bay, *J. Sed. Petrol* 39, pp. 136-149.
- Ameral, E.J. and Pryor, W.A. (1977). Depositional environment of the St. Peter Sandstone deduced by textural Analysis, *J. Sed. Petrology*, 47, pp. 32-52.
- Amstutz, G.C., and Bubinicek, L. (1967). Diagenesis in Sedimentary mineral deposits, In: *Diagenesis in Sediments* (Larsen and Chilingar, Ed.), pp. 417-475. Elsevier, Amsterdam.
- Anderton, R. (1985). Classic facies models and facies analysis. In: *Sedimentology: Recent Advances and Applied Aspects* (P.J. Brenchley and B.P.J. Williams, Eds.), pp. 31-48.
- Andrews, J.T., and Smith, D.I. (1970). Statistical analysis of till fabric methodology, local and regional variability, *Quar. geol. Soc. Lond*, 125, pp. 503-542.
- Anketell, J.M., Cegle, J., and Dzylinski, S. (1970). On the deformational structures in system with reversed density gradients, *Am. Soc. Geol. Pologne*, 40, pp. 3-30.
- Apel, J.R. (1987). Principles of Ocean Physics, Academic Press, London. 500pp.
- Apfel, E.T. (1938). Phase sampling of sediments, *J. Sed. Petrology*, 8, pp. 67-68.
- Archer, J.S. and Wall. C.G. (1986). "Petroleum Engineering Principles and Practice" Graham and Trotman. London. 362pp.
- Archie, G.E. (1950). Introduction to petrophysics of reservoir rocks, *Am. Petrol. Geol. Bull.* 34, pp. 943-961.
- Armstrong-Price, W. (1963). Patterns of flow and channelling in tidal inlets, *J. Sed. Petrology*, 33, pp. 279-290).
- Arrhenius, G. (1963). Pelagic sediments, In: *The Sea* (Ed. M.N. Hill), Vol. III, pp. 655-727, Interscience, New York.
- Artyushkov, E.V. (1987). Rifts and grabens. *Tectonophysics* 133, 321-331.
- Artyushkov, Ye. V. (1960a). Possibility of convective instability in sedimentary rocks and the general laws of its development, *Dokl. Akad. Nauk. SSSR, Geol. Ser.*, 153, pp. 26-28.
- Artyushkov, Ye. V. (1960b) Principal forms of convective structures in sedimentary rocks, *Dokl. Akad. Nauk. SSSR, Geol. Ser.*, 153, pp. 43-45.
- Athy, L.F. (1930). Density, porosity, and compaction of sedimentary rock. *Am. Assoc. Petrol. Geol. Bull.*, 14, pp. 1-24.
- Atkinson, B.K. (1987). *Fracture Mechanics of Rocks*. Academic Press, London, 600pp.
- Aubouin, J. (1965). *Geosynclines*. Elsevier, Amsterdam, 335 p.
- Baars, D.L. (1961). Permian blanket sandstones of Colorado Plateau, In:

- Geometry of Sandstone Bodies* (J. R. Peterson, and J. C. Osmond, Eds.), *Am. Petrol. Geol.*, pp. 79-207.
- Bache, J.J. (1987). "World Gold Deposits" North Oxford Academic, London, 192pp.
- Badiozamani, K. (1973). The dorag dolomitization model-application to the Middle Ordovician of Wisconsin. *J. Sedim. Petrol.* 43, 965-984, pp.
- Bagnold, R.A. (1953). The surface movement of blown sand in relation to meteorology, In: *Desert Research*, pp. 89-96, Unesco, Jerusalem.
- Bagnold, R.A. (1954a). Experiments on gravity-free dispersion of large solid spheres in a Newtonian fluid under shear, *Proc. Roys. Soc. London*, A255, pp. 49-63.
- Bagnold, R.A. (1954b). *The Physics of Blown Sand and Desert Dunes*, Methen, London, 265p.
- Bagnold, R.A. (1957). The flow of cohesionless grains in fluids, *Phil. Trans. Roys. Soc. London*, A249, pp. 235-297.
- Bagnold, R.A. (1960). Some aspects of river meanders, *U.S. Geol. Surv. Profess. Papers*. 283-E, pp. 135-144.
- Bagnold, R.A. (1966). An approach to the sediment transport problem from general physics, *Prof. Pap. U.S. Geol. Surv.*, 422-I, 37p.
- Bagnold, R.A. and Barndorff-Nielsen, O. (1980). The pattern of natural size distributions. *Sedimentology*, 27, 199-207.
- Balley, Sir E.B. (1930). New light on sedimentation and tectonics, *Geol. Mag.*, 67, pp. 77-92.
- Ball, M.M. (1967). Carbonate sand bodies of Florida and the Bahamas, *J. Sed. Petrology*, 37, pp. 556-591.
- Bandyopadhyay, S. (1971). Pebble orientation relation to cross-stratification: a statistical study, *J. Sed. Petrology.*, 41, pp. 585-587.
- Bardossy, G. (1987). "Karst Bauxites" Elsevier, Amsterdam. 441pp.
- Barratt, P.J. (1966). Effects of the 1964, Alaskan earthquake on some shallow water sediments in Prince William Sound S.E., Alaska, *J. Sed. Petrology*, 36, pp. 992-1006.
- Barrell, J. (1906). Relative geological importance of continental littoral, and marine sedimentation, *J. Geol.* 14, pp. 316-356.
- Barrell, J. (1917). Rhythms and the measurement of geologic time, *Bull. Geol. Soc. Am.*, 28, pp. 745-908.
- Bassler, R.S. (1908). The formation of geodes, etc., *Proc. U.S. Nat. Mus.*, 35, pp. 133-154.
- Bateman, R.M. (1985). "Open-hole Log Analysis and Formation Evaluation" Reidel. Dordrecht, 647pp.
- Bates, C.C. (1953). Relation theory of delta formation, *Am. Assoc. Petrol.*

- Geol. Bull.*, 37, pp. 2119-2162.
- Bates, J.D. and Bates, B.H. (1960). Evaluation of heavy mineral separations using artificial samples, *J. Sed. Petrology*, 30, pp. 148-153.
- Bathurst, R.G.C. (1975). *Carbonate Sediments and Their Diagenesis*, Elsevier Pub. Co., Amsterdam, 658p.
- Bathurst, R.G.C. (1982). Genesis of Stromatactis Cavities between submarine crusts in Palaeozoic Carbonate mud buildups, *Q. J. Geol. Soc. Lond.*, 139, 165-181pp.
- Baturin, G.N. (1970). Recent authigenic phosphorite formation on the south-west African shelf. "The Geology of the East Atlant Continental Margin", 1: General and economic papers, pp. 90-97. *Inst. geol. Sci. Rep.* 70/13.
- Beard, D.C. and Weyle, P.K. (1973). The influence of texture on porosity and permeability of unconsolidated sand, *Am. Assoc. Petrol. Geol., Bull.*, 57, pp. 349-369.
- Beerbower, J.R. (1964). Cyclothems and cyclic deposition mechanisms in alluvial plain sedimentation, In: *Symposium on Cyclic Sedimentation* (Ed. D.F. Merriam) *Kansas Geol. Surv. Bull.* 169, 1, pp. 31-42.
- Belderson, R.H., Kenyon, N.H., and Stride, A.H. (1971). Halocene sediments on the continental shelf west of the British Isles, In: *The Geology of the East Atlantic Continental Margin*, Vol. 2, 70/14, pp. 160-170, *Rept. Eur. Inst. Geol. Sci.*
- Bell, H.S. (1942). Density current as agents for transporting sediments, *J. Geol. L.*, pp. 512-547.
- Bender, F. (1968). Zur geologie Von Jordanien, Beitz, Reg. Geol. Erde, Bd., 7 Berlin.
- Bennacef, A., Beuf, S., Biju-Duval, B., de Charpal, O., Gariel, O., and Rogmon, P. (1971). Example of cratonic sedimentation: Lower Paleozoic of Algerian Sahara, *Am. Assoc. Petrol. Geol. Bull.* 55, pp. 225-245.
- Berg, L.S. (1964). Loess as a Product of Weathering and Soil Formation, Israel Program for Scientific Translations, Jerusalem, 205 p.
- Berner, R.A. (1970). Sedimentary pyrite formation, *Am. J. Sci.* 268, pp. 1-23.
- Bethke, C.M. (1985). A numerical model of compaction-driven ground water flow and its applications to the palaeohydraulics of intracratonic sedimentary basins. *J. Geophys. Res.* 90, 6817-6828.
- Bigarella, J.J. (1972). Eolian environments their characteristics, recognition and importance, In: *Recognition of Ancient Sedimentary Environments*, (J.K. Rigby and W.K. Hamblin, eds.), *Soc. Econ. Paleont. Miner. Spec. Pubs.*, 16, pp. 12-62, Tulsa.
- Biscaye, P. (1965). Mineralogy and sedimentation of recent deep-sea clay in the

- Atlantic Ocean and adjacent seas and oceans, *Bull. Geol. Soc. Am.*, 76, pp. 803-832.
- Blackwelder, E. (1928). Mudflow as a geologic agent in semi-arid mountains, *Bull. Geol. Soc. Am.*, 39, pp. 465-483.
- Blanc, J.J. (1972). "Slumpings" et figures sedimentaires dans le Cretace superieur du basin du Beausset, France, *Sedimentary Geol.*, 7, pp. 47-64.
- Blanchard, P.E. and Sharp, J. M. (1985). Possible fres convection in thick Gulf Coast sandstone sequences. *Trans. S.W. Section Am. Petrol. Geol.* 6-12.
- Blatt, Harvey (1982). *Sedimentary Petrology*, W.H. Freeman and Company, San Francisco, 564p.
- Blatt, Harvey (1992). *Sedimentary Petrology*, W. H. Freeman and Company, New York, 514pp.
- Blatt, H., Middleton, G., and Murray, R. (1990). *Origin of Sedimentary Rocks*, Printice-Hall, Inc., New Jersey, 782p.
- Boggild, O.B. (1930). The shell structure of the mollusks. kgl. Danske Videnskab. Selsk. Skr., Naturvidensk. mathem. Afd., 9 Raekke, II. 2, pp. 258-325.
- Boggs, Sam. J.R. (1995). *Principles of Sedimentology and Stratigraphy*, Prentice Hall, Englewood Cliffs, New Jersey, 774pp.
- Borchert, H., and Muir, R.O. (1964). *Salt Deposits, the Origin, Metamorphism and Deformation of Evaporities*, Van Nostrand Reinhold, London, 338p.
- Bornhold, B.D., and Pilkey, O.H. (1971). Bioclastic turbidite sedimentation in Columbus Basin. Bahama, *Bull. Geol. Soc. Am.* 82, pp. 1252-1341.
- Bouma, A.H. (1962). *Sedimentology of Some Flysch Deposits*, Elsevier, Amsterdam, 168p.
- Bouma, A.H. (1969). *Method for the Study of Sedimentary Structures*, John Wiley and Sons, New York, 456p.
- Bouma, A.H. (1972). Recent and Ancient turbidites and contourites, *Trans. Gulf-Cst. Assoc. Geol. Socs.*, 22, pp. 205-221.
- Boyd, D.R. and Dyer, B.F. (1966). Frio Barrier bar system of south Texas, *Am. Assoc. Petrol. Geol. Bull.* 50, pp. 170-178.
- Bradley, W.H. (1931). Non-glacial marine varves, *Am. J. Sci.* 22, pp. 318-330.
- Braithwaite, C.J.R. (1973). Reefs: Just a problem of semantics, *Am. Assoc. Petrol. Geol. Bull.* 57, pp. 1100-1116.
- Bristow, C.M. (1969). Kaolin deposits of the U.K., Rep. 23rd. *Int. Geol. Cong., Prague*, 15, pp. 275-288.
- Brenchley, P.J. (1969). Origin of matrix in Ordovician greywackes, Berwyn Hills, North Wales. *J. Sed. Petrol.* 39, 1297-1301pp.
- Bromley, R.G. and Asgaard, U. (1972). Freshwater Cruziana from the Upper Triassic of Jameson Land, East Greenland, *Gronl. Geol. Undersolgelse*



- Rapp.*, 49, pp. 7-13.
- Buckman, H.O. and Brady, N.C. (1970). *The Nature and Properties of Soils*, 7th Edition, The Macmillan Company, London, 653 p.
- Burchette, T.P. and Britten, S.R. (1985). Carbonate facies analysis in the exploration for hydrocarbons: a case study from the Cretaceous of the Middle East. In *"Sedimentology: Recent Developments and Applied Aspects"* (P.J. Brenchky and B.P.J. Williams, Eds.), pp. 311-338. Blackwell, Oxford.
- Burgis, M.J. and Morris, P. (1987). "The Natural History of Lakes". Cambridge University Press, Cambridge, 232p.
- Burk, C.H., and Drake, C.L. (1974). *The Geology of Continental Margins*, Springer-Verlag, New York.
- Burke, K. (1972). Longshore drift, submarine canyons, and submarine fan in development of Niger delta. *Am. Assoc. Petrol. Bull.* 56, pp. 1975-1983.
- Burst, J.F. (1965). Subaqueously formed shrinkage cracks in clay, *J. Sed. Petrology*, 35, pp. 348-353.
- Burt, F.A. (1928). Melikaria: Vein Complexes resembling septaria veins in form, *J. Geol.*, 36, pp. 539-544.
- Burt, F.A. (1932). Formative processes in concretions formed about fossils as nuclei: *J. Sed. Petrology*, 2, pp. 38-45.
- Busch, D.A. (1971). Genetic units in delta prospecting, *Am. Assoc. Petrol. Geol. Bull.*, 55, pp. 1137-1154.
- Butler, G.P. (1969). Modern evaporite deposition and geochemistry of coexisting brines, the Sabkha, Trucial Coast, Arabian Gulf, *J. Sed. Petrology*, 39, pp. 70-81.
- Cailleux, A. and Tricart, J. *Initiation a l'etude des Sables et des Galets*, Centre de Documentation, University of Paris.
- Carrol, D. (1970). *Rock Weathering*, Plenum Press, New York, 203p.
- Carozzi, A.V. (1960). *Microscopic Sedimentary Petrography*, John Wiley and Sons, New York, 485 p.
- Carozzi, A.V. (1993). *Sedimentary Petrography*, Prentice-Hall, Englewood Cliffs, New Jersey, U.S.A., 236p.
- Carozzi, A.V. and Gerber, M.S. (1978). Synsedimentary chert breccia: a Mississippian tempestite. *J. Sedim. Petrol.* 48, 705-708.
- Carrozi, A.V. and Von Bergen, D. (1987). Stylolitic porosity in carbonates: a critical factor for deep hydrocarbon production. *J. Petrol. Geol.* 10, 263-282.
- Carver, R.E. (1971). *Procedures in Sedimentary Petrology*, Wiley-Interscience, John Wiley and Sons Inc. London, 623 p.
- Chafetz, H.S. (1986). Marine peloids: a product of bacterially induced precipita-

- tion of calcite. *J. sedm. Petrol.* 56, 812-817.
- Champetier, Y. Hamdadou, E. and Hamdadou, M. (1985). Examples of biogenic support of mineralization in two oolitic iron ores-Lorraine (France) and Gara Djebilet (Algeria). *Sed. Geol.* 51, 249-255
- Chilingar, G.V.; Bissell, H.J. and Fairbridge, R.W. (1967a). *Carbonate Rocks*, (2 Vols.) Elsevier, Amsterdam, 471p. and 413p.
- Chilingar, G.V.; Bissell, H.J. and Wolf, K.H. (1967b). Diagenesis of Carbonate Rocks, In: *Diagenesis in Sediments* (G. Larsen and G.V. Chilingar, eds.) pp. 197-322, Elsevier, Amsterdam.
- Chilingar, G.V., and Terry, R.D. (1964). *Relationship between porosity and chemical composition of carbonate rocks* *Petrol. Engr.* B-54, pp. 341-342.
- Chilingar, G.V., Mannon, R.W., and Rieke, H. (1972). *Oil and Gas Production from Carbonate Rocks*, Elsevier, Amsterdam, 408 p.
- Choquette, P.W., and Traut, J.D. (1963). Pennsylvanian carbonate reservoirs, Ismay Field, Utah and Colorado. In: R.O. Bass(ed), *Shelf Carbonates of the Paradox Basin. Four Corners Geol., Soc., Field Conf.*, 4th, pp. 157-184.
- Choquette, P.W. and Pray, L.C. (1970). Geologic nomenclature and classification of Porosity in sedimentary carbonates, *Am. Assoc. Petrol. Geol. Bull.*, 54, pp. 207-250.
- Chow, V.T. (1959). *Open Channell Hydraulic*, McGraw Hill, New York, 680pp.
- Clemmey, H. (1985). Sedimentary ore deposits. In: "*Sedimentology: Recent Developments and Applied Aspects*" (P.J. Brenchley and B.P.J. Williams, Eds.), pp. 229-248. Blackwell. Oxford.
- Coleman, J.M. (1968). Deltaic evolution, In: Fairbridge, R. ed. *Encyclopedia of Geomorphology*, pp. 255-261, New York, Reinhold.
- Coleman, J.M., and Gagliano, S.M. (1965). Sedimentary Structures: Mississippi River deltaic plan, In: Middleton, G.V., ed. *Primary Structures and Their Hydrodynamic Interpretation*, Soc. Econ. Paleon. Mineralogist. Spec. Publ. 12, pp. 133-148.
- Coleman, J.M., Gagliano, S.M., and Smith, W.G. (1970). Sedimentation in a Malaysian high tropical delta. In: Morgan, J.P., and Shever, R.H., Eds. *Deltaic Sedimentation Modern and Ancient*, Soc. Econ. Paleon. Mineralogists. Spec. Publ., 15, pp. 185-197.
- Coleman, J.M., Gagliano, S.M., and Smith, W.G. (1966). Chemical and physical weathering on saline high tidal flats, northern Queens-lands, Australia, *Bull. Geol., Soc. Am.*, 77, pp. 205-206.
- Collacioti, R. and Baldanza, A. (1986). Carbonate turbidites in a Mesozoic pelagic basin: Scaglia Formation, Appenines-comparison with siliciclastic depositional models. *Sed. Geol.* 48, 81-106.

- Collinson, J.D. (1986). Alluvial sediments, In: *Sedimentary Environments and Facies*. (H. G. Reading, Ed.), 2nd edition, pp. 20-62. Blackwell Scientific, Oxford.
- Collinson, J.D. and Thompson, D.B. (1989). *Sedimentary Structures*, 2nd ed., Harpercollins Academic, New York, 208p.
- Conolly, J.R. and Ewing, M. (1967). Sedimentation in the Puerto Rico Trench, *J. Sed. Petrology*, 37, pp. 44-59.
- Conybeare, C.E.B., (1967). Influence of compaction on stratigraphic analysis. *Bull. Canadian Petrol. Geology*, 15, pp. 331-354.
- Conybeare, C.E.B., and Crook, K.A.W. (1982). *Manual of Sedimentary Structures*, Austral. Dept., Nat. Devel., Bur. Min. Res., *Geophys. Bull. No.* 102, 327 p.
- Cook, H.E., and Enos, P. (1976). *Deep Water Carbonate Environments*, Soc. Econ. Pal. Min., Spec. Publ., 25, 325.
- Cook, P.J. (1986). Genesis of sedimentary phosphate deposits. In: "*Geology in the Real World The Kingsky Dunham Volume*" (R.W. Nesbitt and I. Nichol, Eds). Inst. Min. Met., London, pp. 51-64.
- Cook, P.J. and Shergold, J.H. (1986). "Phosphate deposits of the World", Cambridge University Press, Cambridge. 560pp.
- Costello, W.R. (1974). Development of bed configurations in coarse sands, Cambridge, M.A: Mass. Inst. Tech. Expt., *Sedimentology, Lab. Rept.* 2, 74p.
- Cox, D.P. (1986). Descriptive model of quartz-pebble conglomerate Au-U. In: "Mineral Deposit Models" (D.P. Cox and D. A. Singer, Eds.). *USGS Bull.* 1693, 379pp.
- Cox, D.P. and Singer, D. A. (1986). *Mineral Deposit Models*. U.S.G.S. Bulletin, No. 1693, 379pp.
- Crimes, T.P., and Harper, J.C. (1970). Trace Fossils, *Geol. J., Spec. issue*, 3, 547p.
- Cronan, D.S. (Ed.) (1986). "Sedimentation and Mineral Deposits in the South-western Pacific Ocean" Academic press, London, 344pp.
- Crook, T. (1913). Septaria: a defence of the "shrinkage" view: *Geol. Mag.*, 10, pp. 514-515.
- Crosby, E. J. (1972). Classification of sedimentary environments, In: *Recognition of Ancient Sedimentary Environments*, (Rigby, J.K. and Hamblin, W.K., Eds.) Soc. Econ. Paleon. Miner. Spec. Publ. 16, pp. 4-11.
- Crowell, J.C. (1955). Directional current structures from the pre-Alpine flysch, Switzerland, *Bull. Geol. Soc. Am.*, 66, pp. 1351-1384.
- Crowell, J.C. (1957). Origin of pebbly mudstones, *Bull. Geol. Soc. Am.* 68, pp. 993-1010.

- Cummings, E.R. (1932). *Reefs of Bioherms*, *Bull. Geol. Soc. Am.*, 43, pp. 331-352.
- Cummings, E.R., and Shrock, R.R. (1928). Niagaran coral reefs of Indiana and adjacent States and their Stratigraphic relations, *Bull. Geol. Soc. Am.*, 39, pp. 579-620.
- Cummings, W.A. (1962). The greywacke problem. *Lpool. Manhr. geol. J.* 3, 51-72pp.
- Curry, J.R. (1965). Late Quaternary History, continental shelves of the United States, In: *The Quaternary of the United State*, (H.E. Write and D.C. Frey, Eds.) Princeton, 922p.
- Curtis, C.D., and Spears, D.A. (1968). The formation of sedimentary iron minerals, *Econ. Geol.*, 63, pp. 258-270.
- Curtis, B.F. (1971). Measurement of porosity and permeability, in: *Procedures in Sedimentary Petrology*, (Carver, R.E., ed.) New York, Wiley-Interscience, pp. 335-361.
- Daly, R.A. (1910). Pleistocene glaciation and the coral reef (Sic) Problem, *Am. J. Sci.*, 4th series, 30, pp. 297-308.
- Daly, R.A. (1915). The glacial-control theory of coral reefs, *Am. Acad. Arts. and Sci., Proc.*, 51, pp. 157-251.
- Daly, R.A. (1919). The coral reef zone during and after the glacial period, *Am. J. Sci.*, 4th series, 48, pp. 136-159.
- Daly, R.A. (1936). Origin of submarine canyons, *Am. J. Sci.*, 31, pp. 401-420.
- Daniel, E.J. (1954). Fractured reservoirs of Middle East. *Am. Assoc. Petrol. Geol. Bull.*, 38, pp. 774-815.
- Dapples, E.C. (1967). Diagenesis of sandstones, In: *Diagenesis in Sediments*, (G. Larsen and C.V. Chilingar, Eds.) pp. 91-125 Elsevier, Amsterdam.
- Dapples, E.C., and Hopkins, M.E. (1969). Environments of Coal Deposition, *Geol. Soc. Am. Spec. Pp.* No. 114.
- Darwin, Charles (1837). On certain areas of elevation and subsidence in the Pacific and Indian Ocean, as deduced (Sic) from the study of coral formations, *Geol. Soc. London Proc.* 2, pp. 552-554.
- Darwin, Charles (1883). On the structure and distribution of coral reefs, also geological observations on the volcanic islands and parts of South America visited during the voyage of H.M.S. Beagle: London, New York, Melbourne, Ward, Lock, and Co., 549 p.
- Darwin, Charles (1896). *The Structure and distribution of coral reefs*, 3rd ed.: New York, D. Appleton and Co., 344 p.
- Darwin, Charles (1942). Structure and distribution of coral reefs: reprinted 1962 by Unis Calif. Press from 1851 ed with forward by H.W., Menard, 214 p.
- Davidson, C.F. (1965). A Possible mode of origin of strata bound copper ores.

- Econ. Geol.* 60, pp. 942-954.
- Davies, A.M. (1913). The origin of septarian structure, *Geol. Mag.*, 50, pp. 99-101.
- Davies, H.G. (1965). Convolute lamination and other structures from the lower coal measures of Yorkshire, *Sedimentology*, 5, pp. 305-325.
- Davies, R.M. (1968). Algal stromatolites composed of quartz sandstones, *J. Sed. Petrology*, 38, pp. 953-955.
- Davis, R.A. (1978). "Coastal Sedimentary Environments" Springer-Verlag, Berlin. 420p.
- Davis, Richard, A. (1983). Depositional Systems, A Genetic Approach to Sedimentary Geology, Prentice-Hall, Inc., New Jersey, U.S.A. 669p.
- Dawdy, D.R. (1961). Depth-discharge relations of alluvial streams-discontinuous rating curves, *U.S. Geol. Surv. Water Supply, Papers*, 1489-C, pp. 1-16.
- Dean, W.E. and Fouch, T.D. (1983). Lacustrine Environment. In "Carbonate Depositional Environments" (P.A. Scholle, D.G. Bebout and C.H. Moore, Eds.). *Am. Ass. Petrol. Geol. Mem.* 33, 97-130pp.
- Deffayes, K.S., Lucia, F.J. and Weyl, P.K. (1965). Dolomitization of Recent and Plio-Pleistocene Sediments by marine evaporite waters of South Bonaire, Netherlands Antilles. In: "Dolomites and Limestone Diagenesis" (L.C. Pray and R.C. Murry Eds.) *Soc. Econ. Paleont. and Min. Spec. Pub.* 13, 71-88pp.
- De Raaf, J.F.M. (1968). Turbidites et associations sédimentaires apparentées, *Koninkl. Ned. Akad. Wetenschap. Proc. Ser. 13*, 71, pp. 1-23.
- De Raaf, J.F.M., and Boersma, J.R. (1971). Tidal deposits and their sedimentary structures, *Geologie Mijnb.* 50, pp. 479-504.
- Diller, J.S. (1890). Sandstone dikes, *Bull. Geol. Soc. Am.* 1, pp. 411-442.
- Diller, J.S. (1898). The educational series of rock specimens, *Bull. U.S. Geol. Surv.*, 150, 400 p.
- Doeglas, D.J. (1962). The structure of sedimentary deposits of braided rivers, *Sedimentology*, 1, pp. 167-190.
- Donaldson, A.C., Martin, R.H. and Kanes, W.H. (1970) Holocene Guadalupe delta of Texas Gulf Coast, In: Morgan, J. P., Ed., *Deltaic. Sedimentation, Modern and Ancient*, Soc. Econ. Palcon. Mineralogists, Sepc. Publ. 15, pp. 107-137.
- Donovan, R.N., and Foster, R.J. (1972). Subaqueous shrinkage cracks from the Caithness flagstone series (Middle Devonian) of Northeast Scotland, *J. Sed. Petrology*, 42, pp. 309-317.
- Doornkamp, J. C. and Krinsley, D. (1971). Electron microscopy applied to quartz grains from a tropical environment, *Sedimentology*, 17, pp. 89-101.
- Dott, R.H., Jr. (1964). Wack, greywacke and matrix-what approach to imma-

- ture sandstone classification, *J. Sed. Petrology*, 34, pp. 625-632.
- Dott, R.H. (1974). *Modern and Ancient Geosynclinal Sedimentation*, Soc. Econ. Paleont. Min. Spec. Publ. No. 9.
- Duff, P. Mcl. D., Hallam, A., and Walton, E.K. (1967). *Cyclic Sedimentation*, Elsevier, Amsterdam, 280 p.
- Dunbar, C.O. and Rodgers, J. (1957). *Principles of Straigraphy*, John Wiley, New York, 356p.
- Dunham, R.J. (1962). Classification of carbonate rocks according to depositional texture, In: *Classification of Carbonate Rocks*, (Ham, W.E., ed) Am. Assoc. Petrol. Geol., Mem. 1, pp. 108-121.
- Dunham, R.J. (1969). Vadose pisolite in the Capitan Reef (Permian), New Mexico and Texas. In: "*Depositional Environments in Carbonate Rocks*" (G.M. Friedman, Ed.), 182-191 Spec. Publs., Soc. Econ. Paleont. Miner., No. 14, Tulsa, Oklahoma, U.S.A.
- Dunham, R.J. (1970). Stratigraphic reefs versus ecologic reefs, *Am. Assoc., Petrol. Geol. Bull.*, 54, pp. 1931-1932.
- Dunoyer de Segouzac, G. (1968). The birth and development of the concept of diagenesis, pp. (1866-1966), *Earth Science Reviews*, 4, pp. 153-201.
- Dzevanishir, R.D., Buryakovskiy, L.A. and Chilinagr, G.V. (1986). Simple quantitative evaluation of porosity of argillaceous sediments at various depth of burial. *Sed. Geol.* 46, 169-176pp.
- Dzulynski, S. (1963). Directional structures in flysch, *Stud. Geol. Polonica*, 12, 136p.
- Dzulynski, S. (1966a). Influence of bottom irregularities and transported tools upon experimental scour markings, *Ann. Soc. Geol. Pologne*, 36, pp. 285-294.
- Dzulynski, S. (1966b). Sedimentary Structures resulting from convention-like pattern of motion, *Ann. Soc. Geol. Pologne*, 36, pp. 3-21.
- Dzulynski, S. and Sanders, J.E. (1962). Current marks on firm mud bottoms. *Trans. Connecticut Acad. Arts. Sci.* 42, pp. 57-96.
- Dzulynski, S. and Walton, E.K. (1963). Experimental production of sole markings, *Trans. Edinb. Geol. Soc.*, 19, pp. 279-305.
- Dzulynski, S. and Walton, E.K. (1965). *Sedimentary Features of Flysch and Greywackes*, Elsevier, Amsterdam, 300 p.
- Eaton, G.P. (1964). Windborne volcanic ash a possible index to polar wandering, *J. Geol.*, 72, pp. 1-35.
- Ehlers, Ernest G. (1982). *Petrology Igneous, Sedimentary, and Metamorphic*, W.H. Freeman and Company, San Francisco, 732.
- Elliot, T. (1986a). Siliciclastic shorelines. In: "*Sedimentary Environments and Facies*" (H.G. Reading, Ed.), 2nd edition, pp. 155-188. Blackwell, Oxford.

- Elliot, T. (1986b). Deltas. In: "Sedimentary Environments and Facies" (H.G. Reading, Ed.), 2nd edition, pp. 113-154. Blackwell, Oxford.
- El-Nakhal, Hamed A. (1984). Possible Late Palaeozoic glaciation in the central parts of the Yemen Arab Republic, *Jour. of glaciology*, Vol. 30, No. 104, 126-128pp.
- Emery, K.O. (1952). Continental Shelf sediments of southern California, *Bull. Geol. Soc. Am.*, 63, pp. 1105-1108.
- Emery, K.O. (1956). Sediments and Water of Persian Gulf, *Am. Assoc. Petrol. Geol. Bull.* 40, pp. 2354-2383.
- Emery, K.O. (1968). Relict Sediments of Continental Shelves of the World, *Am. Assoc. Petrol. Geol. Bull.* 52, pp. 445-464.
- Emery, J.R. and Griffiths, J.C. (1954). Reconnaissance investigation into relationships between behaviour and petrographic properties of some Mississippian sediments, *Bull. Miner. Inds. Exp. Stn. Penn. St. univ.*, 62, pp. 67-80.
- Engelund, Frank, and Fredsoe, Jorgen (1974). Transition from dunes to plane bed in alluvial channels, Lyngby, Tech. Univ. Denmark, Inst. *Hydrodynamics Hydraulic Engin. Series paper*, 4.
- Enos, P. (1983). Shelf. In: "Carbonate Depositional Environments" (P.A. Scholle, D.G. Bebout and C.H. Moore, Eds.), *Am. Ass. Petrol. Geol. Mem.* 33, 267-296.
- Enos, P. and Moore, C.H. (1983). Fore-reef. In: "Carbonate Sedimentary Environments". A. Scholle, D.G. Bebout and C.H. Moore Eds.), *Carbonate Depositional Environments. Am. Ass. Petrol. Geol. Mem.* 33, 507-538.
- Eugster, H.P. (1985). Oil shales, evaporites and ore deposits. *Geochem. Cosmochim. Acta*, 49, 619-635.
- Eugster, H.P. (1986). Reply to the discussion by Zbigniew Salowiez. *Geochim. Cosmochim. Acta*. 50, 1831-1832.
- Evamy, B.D. Haremboure, J. Kamerling, P., Knapp, W.A., Malloy, F.A. and Rowlands, P.H. (1984). Hydrocarbon habitat of Tertiary Niger delta. In: "Petroleum Geochemistry and Basin Evaluation" (G. Demaison and R.J. Murris, Eds.), *Am. Ass. Petrol. Geol. Mem.* 35, 325-352.
- Evans, G. (1970). Coastal and nearshore sedimentation: a comparison of clastic and carbonate deposition, *Proc. Geo. Assoc.* 81, pp. 493-508.
- Ewing, M., and Thorndike, E.M. (1965). Supended matter in deep-ocean water, *Science, N.Y.*, 147, pp. 1291-1294.
- Fahnestock, R.N. (1963). Morphology and hydrology of a glacial stream, *U.S. Geol. Surv. Profess. Papers.* 422-A, pp. 1-70.
- Farrow, G.E. (1966). Bathymetric zonation of Jurassic trace fossils from the coast of Yorkshire, *Paleogeogr. Paleoclim. Paleocol.* 2, pp. 103-151.

- Feazel, C. T. and Schatzinge, R. A. (1985). Prevention of carbonate cementation in petroleum reservoirs. In: "Carbonate Cements" (N. Schneidemann and P.M. Harris, Eds.). *Soc. Econ. Pal. & Min. spec. Pub.* 36, 97-106.
- Ferguson, L. (1963). Estimation of the compaction factor of a shale from distorted brachiopod shells. *J. Sed. Petrology*, 33, pp. 796-798.
- Fielding, C. D. (1985). Coal depositional models and the distinction between alluvial and delta plain environments. *Sed. Geol.* 42, 41-48.
- Fischer, A.G. (1965). The lofer, cyclothems of the Alpine Triassic, In (D.F. Merriam, ed.) Symposium on Cyclic Sedimentation, *Kansas Geol. Surv. Bull.* 169, pp. 107-149.
- Fisher, R.V. (1961). Proposed classification of volcanoclastic sediments and rocks. *Bull. Geol. Soc. Am.* 72, pp. 1409-1414.
- Fisher, R.V. (1966). Rocks composed of volcanic fragments and their classification. *Earth Sci. Rev.*, 1, pp. 287-298.
- Fisher, R.V. (1971). Features of coarse-grained, high-concentration fluids and their deposits, *J. Sed. Petrol.*, 41, pp. 916-927.
- Fisher, R.V. and Schmincke, H.U. (1984). "Pyroclastic Rocks" Springer-Verlag. Berlin, 472p.
- Fisk, H.N. (1955). Sand facies of recent Mississippi delta deposits, *Proceedings of the Fourth World Petroleum Congress, Sec. IIC*, 3, pp. 377-398.
- Flint, S. (1968). Sedimentary and diagenetic controls on red bed ore genesis: the Middle Tertiary San Bartolo Copper deposit, Antofagasto Province, Chile, *Econ. Geol.* 42, 41-48.
- Flint, R.F., Sanders, J.E., and Rogers, J. (1960) Diamicite: a substitute term for symmictite, *Bull. Geol. Soc. Am.*, 71, pp. 1809-1810.
- Folk, R.L. (1959). Practical Petrographic Classification of Limestones, *Am. Assoc. Petrol. Geol. Bull.*, 43(1), pp. 1-38.
- Folk, R.L. (1962). Spectral subdivision of limestone types, In "Classification of Carbonate Rocks, a Symposium" (W.E. Ham, Ed.), Am. Assoc. Petrol. Geol. Mem. 1, pp. 62-84.
- Folk, R.L. (1965). Some aspects of recrystallization in ancient limestones. In: Dolomitization and Limestone Diagenesis (L.C. Pray and C. Murray, Eds.). *Spec. Publs. Soc. Econ. Paleont. Miner.*, Tulsa, 13, 14-48pp.
- Folk, R.L. (1966). A review of grain-size parameters, *Sedimentology*, 6, 73-93.
- Folk, R.L. (1968). "Petrology of Sedimentary Rocks" Hemphill's Book Store. Austin, Texas, 170p.
- Folk, R.L. (1971). Longitudinal dunes of the north-western edge of the Simpson desert, Northern Territory, Australia, I. Geomorphology and grain size relationships, *Sedimentology*, 16, pp. 5-54.



- Folk, R.L. (1974). *Petrology of Sedimentary Rocks*, Austin, Tex., Hamphills, 170 p.
- Folk, R.L. and Land, L.S. (1974). Mg/Ca ratio and salinity: two controls over crystallization of dolomite. *Bull. Am. Ass. Petrol. Geol.* 59, 60-68pp.
- Folk, R.L. and Ward, W.C. (1957). Brazos River bar: a study in the significance of grain-size parameters: *J. Sed. Petrology*, 27, p. 3-26.
- Force, E.R. (1986). Descriptive model of shoreline placer Ti. In: "Mineral Deposit Models" (D.P. Cox and D.A. Singer, Eds.). *USGS Bull.* 1693, 270.
- Fouch, T.D. and Dean, W.E. (1982). Lacustrine deposits. In: "Sandstone Depositional Environments" (P.A. Scholle and D. Spearing, Eds.). *Am. Ass. Petrol. Geol. Mem.*, 31, 87-114.
- Fox, C.S. (1935). *Engineering Geology*, Technical Press, London.
- Frakes, L.A. and Crowell, J.C. (1967). Facies and Palaeogeography of Late Palaeozoic diamicite, Flankland Islands, *Bull. Geol. Soc. Am.* 78, No. 1, 37-58pp.
- Franks, P.C. (1969). Nature, Origin, and significance of cone-in-cone structures in the Kiowa formation (early Cretaceous), North-Central Kansas, *J. Sed. Petrology*, 39, pp. 1438-1454.
- Fraser, H.J. (1935). Experimental study of the porosity and permeability of clastic sediments, *J. Geol.* 43, pp. 910-1010.
- Frazier, D.E. (1967). Recent deltaic deposits of the Mississippi River: their development and chronology, in Symposium on the geological history of the Gulf of Mexico, Antillean-Caribbean region: *Gulf Coast Assoc. Geol. Societies Trans.*, 17, pp. 287-315.
- Frazier, D.E. (1974). Depositional-episodes: their relationship to the Quaternary stratigraphic framework in the northwestern portion of the Gulf basin: Texas Univ. at Austin, Bur. Econ. Geology, Geol. Circular, 74-1, 28p.
- Frey, R.W. (1975). *The Study of Trace Fossils, a Synthesis of Principles, Problems, and Procedures in Ichnology*, New York, Springer-Verlag, 562p.
- Friedman, G.M. (1958). Determination of sieve-size distribution from thin-section data for sedimentary petrology (Sic) studies, *J. Geology*, 66, pp. 394-416.
- Friedman, G.M. (1961). Distinction between dune, beach, and river sands from their textural characteristic, *J. Sed. Petrology*, 31, pp. 514-529.
- Friedman, G.M. (1964). Early diagenesis and lithification in carbonate sediments. *J. Sed. Petrology*, 34, pp. 777-813.
- Friedman, G.M. (1967). Dynamic processes and statistical parameters compared for size frequency distribution of beach and river sands, *J. Sed. Pet-*

- rology, 37, pp. 327-354.
- Friedman, G.M. and Sanders, J.E. (1978). *Principles of Sedimentology*, John Wiley and Sons, New York, 792 p.
- Friedman, G.M. (1979). Dolomite is Evaporite Mineral-Evidence from Rock Record and from Sea-Marginal Pools of Red Sea. *Bull. Am. Ass. Petrol. Geol.* 63, 453p.
- Friend, P.F. (1965). Fluvial sedimentary structures in the Wood Bay Formation (Devonian) of Spitsbergen, *Sedimentology*, 5, pp. 39-68.
- Friend, P.F. (1966). Clay fractions and colours of some Devonian red beds in the Catskill Mountains, U.S.A. *Quart. J. Geol. Soc. Lond.*, 122, pp. 273-292.
- Frostick, L.E., Renault, R.W. Reid, I. and Tiercelin, J.J. (Eds) (1987). "Sedimentation in the African Rifts." *Spec. Pub. Geol. Soc. Lond.* No. 25, 323 pp.
- Fuchtbauer, Hans (1959). Zur Nomenklatur der Sedimentgesteine, Erdöl und Kohle, 12, pp. 605-613.
- Fuchtbauer, H., and Goldschmidt, H. (1965). Beziehungen zwischen. *Clciumgehalt und Bildungsbedingungen der Dolomite Geol. Rdsch.*, 55, pp. 29-40.
- Fuchtbauer, H. and Reineck, H.E. (1963). Porosität und Verdichtung rezenter, mariner Sedimente: *Sedimentology*, 2, pp. 294-306.
- Gadow, S., and Reineck, H.E. (1969). Ablandiger Sandtransport bei Sturm fluten, *Senckenbergiana Marit*, 1, pp. 63-78.
- Gaither, A. (1953). A study of porosity and grain relationships in experimental sands: *J. Sed. Petrology*, 23, pp. 180-195.
- Galloway, J.J. (1922). Value of the physical characters of sand grains in interpretation of the origin of sandstones, *Bull. Geol. Soc. Am.* 33, p. 104.
- Galloway, W.E. (1975). Process frame-work for describing the morphologic and stratigraphic evolution of deltaic depositional systems, pp. 87-98, In: Broussard, M.L., Ed., *Deltas, Models for Exploration*: Houston, Tex. Houston Geol. Soc., 555 p.
- Galloway, W.E. and Hobday, D.K. (1983). "Terrigenous Clastic Depositional Systems" Springer-Verlag, Berlin, 423 pp.
- Galloway, W.E. (1984). Hydrologic regimes of sandstone diagenesis. In "Clastic Diagenesis" (C.A. McDonald and R.C. Surdam, Eds). *Amer. Assoc. Petrol. Geol. Mem.* 31, 3-14.
- Garrels, R.M. (1957). Some free energy values from geologic relations, *Am. Mineral.*, 42, pp. 780-791.
- Garrison, R.E., and Fischer, A.G. (1969). Deep water limestones and radiolarities of Alpine Jurassic. In: *Depositional Environments in Carbonate Rocks*, (Ed. G.M. Friedman) Soc. Econ. Paleont. Min., Sp. Pub. No. 14,

- pp. 20-56.
- Garrison, R.E. (1974). Radiolarian cherts, pelagic limestones and igneous rocks in eugeosynclinal assemblages, In: *Pelagic Sediments: On land and Sea* (Eds. K.J. Hsu and H.C. Jenkyns) Blackwell Scientific Publication, Oxford, pp. 367-399.
- Garrison, R.E., Luternauer, J.L., Grill, E.V., MacDonald, R.D., and Murray, J.W. (1969). Early diagenetic cementation of recent sands, Fraser River delta, British Columbia. *Sedimentology*, 12, pp. 27-46.
- Gaskell, T.F. (1967). *Carbonate Rocks*, (Chilingar, G.V., Bissell, H.J., and Fairbridge, R.W.; Eds) Elsevier, Amsterdam, 413 p.
- Gastil, R.G., Delisle, M., and Morgan, J.R. (1967). Some effects of progressive metamorphism on zircons, *Bull. Geol. Soc. Am.*, 78, pp. 879-905.
- Gautier, D.L. and Claypool, G.E. (1984). Interpretation of methanic diagenesis in ancient sediments by analogy with processes in modern Diagenetic Environments. In "Clastic Diagenesis" (D.A. McDonald and R.C. Surdam, Eds) *Am. Ass. Petrol. Geol. Mem.* 37, 111-123.
- Gecker, R.F. (1957). *Introduction to Paleoecology*, French translation, Bases de la Palaeoecologie, Bur. Recherches Geo. Min. 83 p., also Spelt Hecker, 1965, American Elsevier Pub. Co. N.Y. 166 p.
- Gilbert, C.M. (1955). "Sedimentary Rocks", In: Petrography by Howel Williams, F.J. Turner, and C.M. Gilbert, San Francisco, W.H. Freeman and Co., pp. 251-384.
- Gilbert, G.K. (1914). Transportation of debris by running water, *U.S. Geol. Surv. Prof. Pap.* 86.
- Gill, W.D. (1979). Syndepositional sliding and slumping in the West Clare Namurian Bosin, *Ireland Geol. Surv., Ireland Spec. Pub.* 4, 121p.
- Gill, W.D. and Kuenen, P.H. (1958). Sand Volcanoes on slumps in the Carboniferous of County Clare, *Ireland Q.J. Geol. Soc. Land.* 113, 441-460pp.
- Ginsberg, R.N. (1956). Environmental relationships of grain size and constituent particles in some S. Florida sediments, *Am. Assoc. Petrol. Geol. Bull.*, 40, pp. 2384-2427.
- Glasby, G.P. (1973). The role of submarine volcanism in controlling the genesis of marine manganese nodules, *Am. Rev. Oceanog. and Marine Biol.*, 11, pp. 27-44.
- Glasby, G.P. (1986). Nearshore mineral deposits in the SW Pacific. In "Sedimentation and Mineral Deposits in the Southwestern Pacific Ocean" (D.S. Cronan, Ed.). pp. 149-182. Academic Press, London.
- Glennie, K.W. (1970). *Desert Sedimentary Environments*, Elsevier, Amsterdam, 222 p.

- Glennie, K.W. (1972). Permian Rotliegendes of Northwest Europe interpreted in light of modern desert sedimentation studies, *Am. Assoc. Petrol. Geol. Bull.*, 56, pp. 1048-1071.
- Glennie, E.K. (1986). Early Permian-Rotliegendes. In "Introduction to the Petroleum Geology of the North Sea" (E.K. Glennie, Ed.). 2nd edition, pp. 41-60. Blackwell, Oxford.
- Glennie, E.K. (1987). Desert sedimentary environments, present and past – A summary. *Earth Sci. Rev.* 50. 135-166.
- Gnaccolini, M., and Orombelli, G. (1971). Orientazione dei ciottoli in un delta lacustre Pleistocenico della Brianza, *Riv. Ital. Paleont. Strtigr.*, 77, pp. 411-424.
- Goldich, S.S. (1938). A study on rock weathering, *J. Geology*, 46, pp. 17-58.
- Goldman, M.I. (1922). Basal glauconite and phosphate beds, *Science*, n.s., 56, pp. 171-173.
- Goldring, R. (1964). Trace fossils and the sedimentary surface in shallow water marine sediments, In: (L.M.J.U. Van Straaten, Ed.), *Deltaic and Shallow Marine Deposits*, Amsterdam, Elsevier. Pub. Co., pp. 136-143.
- Goodwin, A.M. (1973). Plate tectonics and evolution of pre-Cambrian crust. In: *Implication for Continental Drift to the Earth Sciences*, (D.H. Tarling and S.K. Runcorn, Eds.) 2, Academic Press, London, pp. 1047-1069.
- Gorsline, D.S. (1970). Submarine canyons, an introduction, *Marine Geol.*, 8, pp. 183-186.
- Goudarzi, G.H. (1971). Geology of the Shatti Valley area iron deposit, In: *The Geology of Libya* (C. Grey, Ed.), Tripoli, Univ. of Libya, pp. 491-500.
- Gould, H.R. (1951). Some quantitative aspects of lake Mead turbidity currents. In: *Turbidity Currents and the Transportation of Coarse Sediments to Deep Water*, Soc. Econ. Paleont. Miner. Spec. Publs., 2, pp. 34-52, Tulsa.
- Gould, H.R. (1970). The Mississippi delta complex, In: Morgan, J.R., Ed., *Deltaic Sedimentation Modern and Ancient*, Soc. Econ. Paleont. Miner., Spec. Publ., 15, pp. 3-47, Tulsa.
- Grabau, A.W. (1913). *Principles of Stratigraphy*, A.G. Seiler and Co., New York, 1185 p.
- Grabau, A.W. (1919). Prevailing stratigraphic relationships of the bedded phosphate deposits of Europe, North Africa, and North American (abstr.) *Bull. Geol. Soc. Am.*, 30, p. 104.
- Graton, L.C., and Fraser, H.J. (1935). Systematic packing of spheres-with particular relation to porosity and permeability, *J. Geol.* 43, pp. 785-909.
- Gray, W.M. (1965). Surface spalling by thermal stresses in rocks, *Proc. Rock Mechanics Symposium, Toronto*, pp. 85-106, Dept. Mines and Tech. Surveys, Ottawa, Canada.

- Greeley, R. and Iverson, J.D. (1985). "Wind as a Geological Process". Cambridge University Press, Cambridge, 333 pp.
- Greensmith (1981). *Petrology of the Sedimentary Rocks*, sixth edition (Third impression) George Allen & unwin/Thomas Murby, London, 241 p.
- Griffin, G.M. (1962). Regional clay-mineral facies products of weathering intensity and current distribution in the north-eastern Gulf of Mexico, *Bull. Geol. Soc. Am.*, 73, pp. 737-768.
- Grim, R.E. (1968). *Clay Mineralogy*, (2nd Edition) McGraw-Hill, New York, 596 p.
- Gross, G.A. (1972). Primary features in cherty iron-formations, *Sedimentary Geol.*, 7, pp. 241-262.
- Grumbt, E. (1966). *Schichtungstypen, Marken und synd sedimentare Deformationsgefüge in Buntsandstein Südhüringens*, *Ber. dt. Ges. geol. Wiss. A.*, 11, pp. 217-234. Berlin.
- Gubler, Y., Bugnicourt, D., Kübler, B., and Nyssen, R. (1966). *Essaude nomenclature et caracterisation des Principales structures sedimentaires*, Ed. Techniques, Paris, 291 p.
- Guilbert, J.M. and Park, C.F. (1986). "The Geology of Ore Deposits" W.H. Freeman, New York, 985 pp.
- Hadding, A. (1931). On subaqueous slides, Fören, *Geol. Stockholm Förh.*, 53, pp. 378-393.
- Hall, J. (1843). Remarks upon casts of mud furrows, wave lines, and other markings upon rocks of the New York System, *Assoc. Amer. Geol. nat., Rept.*, pp. 422-432.
- Hallam, A. (1963). Observations on the paleoecology and ammonite sequences of the Frodingham. Ironstone (Lower jurassic), *Paleontology*, 6, pp. 554-574.
- Hallam, A. (1981). "*Facies Interpretation and the Stratigraphic Records*", W.H. Freeman, New York, 290p.
- Hallbouty, M.T. (1969). Hidden trends and subtle traps in Gulf Coast, *Am. Assoc. Petrol. Geol. Bull.*, 53, pp. 3-29.
- Hallbouty, M.T. (1972). Rationale for deliberate Pursuit of stratigraphic., unconformity and Paleogeomorphic traps, *Am. Assoc. Petrol. Geol. Bull.*, 56, pp. 537-541.
- Halley, R.B. and Schmoker, J.W. (1984). High-Porosity Cenozoic carbonate rocks of south Florida: progresive loss of porosity with depth. *Bull. Am. Ass. Petrol. Geol.* 67, 191-200.
- Halls, J.R. (1967). Significance of Statistical parameters for distinguishing sedimentary environments, New South Wales, Australia, *J. Sed. Petrol.*, 37, pp. 1059-1069.

- Ham, W.E., and Pray, L.C. (1962). Modern concepts and classifications of carbonate rocks. In: *Classification of Carbonate Rocks*, (W.E. Ham, Ed.) Am. Assoc. Petrol. Geol. Mem. 1, 279 p.
- Hamblin, W.K. (1961). Micro-cross lamination in Upper Keweenawan sediments of northern Michigan *J. Sed. Petrology*, 31, pp. 390-401.
- Hamblin, W.K. (1962). X-ray radiography in the study of structures in homogeneous sediments, *J. Sed. Petrology*, 32, pp. 201-210.
- Hamblin, W.K. (1965). Internal structures of "homogeneous": sandstones, *Kansas State Geol. Surv. Bull.*, 175, I, 38 p.
- Hammuda, O.S. (1969). Jurassic and Lower Cretaceous Rocks of Central and Western Libya, *Petrol. Explor. Soc. Libya Guidebook*, 74 p.
- Hand, B.M. (1967). Differentiation of beach (Sic) and dune sands, using settling velocities (Si) of light (Si) and heavy minerals, *J. Sed. Petrology*, 37, pp. 514-520.
- Hand, B.M., and Emery, K.O. (1964). Tubidites and topography of north end of San Diego Trough, California, *J. Geol.* 72, pp. 526-552.
- Hanna, S.R. (1969). The formation of longitudinal sand dunes by large helical eddies in the atmosphere, *J. Appl. Met.*, 8, pp. 874-883.
- Hantzschel, W. (1962). Trace fossils and problematica, In: *Treatise on Invertebrate Paleontology* (R.C. Moore, Ed.) Part W, Geol. Soc. Am. and Univ. of Kansas, pp. w177-w245.
- Hantzschel, W. (1975). Trace Fossils and Problematics, Geol. Soc. Am., *Treatise on Invertebrate Paleontology*, Part W, Miscellanea, Suppl. 1, 2nd ed.
- Harbaugh, J.W. and Merriam, D.F. (1968). *Computer Applications in Stratigraphic Analysis*, John Wiley, New York, 282 p.
- Hardie, L.A. (1967). The gypsum-anhydrite equilibrium at one atmosphere pressure, *Am. Mineralogist*, 52, pp. 171-200.
- Harland, W.B., Herod, K.B.N., and Krinsley, D.H. (1966). The definition and identification of tills and tillites, *Earth Science Reviews*, 2, pp. 225-256.
- Harms, J.C. (1965). Sandstone dike in relation to Laramide faults and stress distribution in the Southern Front Range, Colorado, *Bull. Geol. Soc. Am.*, 76, pp. 981-1001.
- Harms, J.C. (1966). Valley fill, Western Nebraska, *Am. Ass. Petrol. Geol. Bull.*, 50, pp. 2119-2149.
- Harms, J.C., and Fahnestock, R.K. (1965). Stratification, bed forms and flow phenomena (with an example from the Rio Grande) In: *Primary*

- Sedimentary Structures and their Hydrodynamic Interpretation*, (G.V. Middleton, ed.), Soc. Econ. Paleont. Miner. Spec. Publ., 12, pp. 84-155.
- Harms, J.C., Southard, J.B., Spearing, D.R. and Walker, R.G., (1975). Depositional Environments as Interpreted from Primary Sedimentation Primary Sediment Urary Structures and Stratification Sequences, *Soc. Econ. Paleont. Miner. Short Course Lecture Notes 2*.
- Harms, J.C., Southard, J.B., Spearing, D.R. and Walker, R.G. (1982). Depositional environments as interpreted from sedimentary structures and stratification sequences. *Soc. Econ. Pal. and Min. Short Course Notes 9*, 166 pp.
- Hatch, F.H., Rastall, R.H., and Greensmith, J.T. (1971). *Petrology of the Sedimentary Rocks*, Revised 5th edition, Murby, London, 502 p.
- Hawarth, E.Y. and Lund, J.W.G. (Eds) (1984). "Lake Sediments and Environmental History" Leicester University Press, Leicester, 411 pp.
- Hay, R.L. (1952). The terminology of find-grained detrital volcanic rocks. *J. Sed. Petrology*, 22, pp. 119-120.
- Hayes, J.B. (1964). Geodes and concretions from the Mississippian Wasaw Formation, Keokuk Region, Iowa, Illinois, Missouri, *J. Sed. Petrology*, 34, pp. 123-133.
- Hayes, M.O. (1967). Hurricanes as geological agents, south Texas coast, *Am. Assoc. Petrol. Geol. Bull.* 51, pp. 937-942.
- Hea, J.P. (1971). Petrography of the Pleozoic-Mesozoic sandstones of the southern Sirte Basin, Libya, In: *The Geology of Libya*, (C. Gray, Ed.) pp. 107-125.
- Heald, M.T., and Renton, J.J. (1966). Experimental study of sandstone cementation, *J. Sed. Petrology*, 36, pp. 977-991.
- Heckel, P.H. (1972). Recognition of ancient shallow marine environments, In: *Recognition of Ancient Sedimentary Environments*, (J.K. Rigby and W.K. Hamblin, Eds.) Soc. Econ. Paleont. Miner. Spec. Publ., 16, pp. 226-286.
- Heckel, P.H. (1974). Carbonate build-ups in the geologic record: a review. In: *Reefs in time and space* (Ed. L.F. Laporte) Soc. Econ. Paleont. Miner. Spec. Publ. 18, 90-154.
- Hedberg, H.D. (1936). Gravitational compaction of clays and shales, *Am. Sci.*, 5th Series, 31, pp. 241-287.
- Hedgpeth, J.W., and Ladd, H.S. (1957). Treatise on marine ecology and paleoecology, *Mem. Geol. Soc. Am.*, No. 67, (2 vols.) 1296 and 1077 p.
- Heezen, B.C., and Ewing, M. (1952). Turbidity currents and submarine slumps and the 1929 Grand Banks earthquake, *Am. J. Sci.* 250 pp. 849-873.
- Heiken, Grant (1972). Morphology and petrography of volcanic ashes, *Bull.*

- Geol. Soc. Am.*, 83, pp. 1961-1988.
- Hijulstrom, F. (1935). Studies of the morphological activities of rivers as illustrated by the River Fyris: Univ. of Uppsala, *Geol. Inst. Bull.*, 25, pp. 221-527.
- Hijulstrom, F. (1939). Transportation of detritus by moving water, p. 5-31, pt. 1, Transportkation, In: (Trask, P.D., ed.), *Recent marine sediments a symposium "Tulsa, Okla, Am. Assoc. Petrol. Geol.* 736 p, London, T. Murby and Co.: Reprinted 1968 by Dover Publications, New York.
- Hitzman, M.W. and Large, D. (1986). A review of Irish carbonate-hosted base metal deposits. "Geology and Genesis of Mineral Deposits in Ireland" (C.J. Andrew, Ed.), pp. 217-238. Irish Association for Economic Geology, Dublin.
- Hoffman, R.F. (1967). Algal stromatolites: Use in stratigraphic correlation and paleocurrent determination, *Science*, 157, pp. 1043-1045.
- Hoffman, R.F. (1969). Proterozoic Paleocurrents and depositional history of East Arm fold belt, Great Slave Lake, Northwest Territories, *Canadian J. Earth Sci.* 6, pp. 441-462.
- Hohlt, R.B. (1948). The nature and origin of limestone porosity. *Quart. Colorado School of Mines*, 43, pp. 1-51.
- Holister, C.D., and Hezea, B.C. (1972). Geologic effects of ocean bottom current: western North Atlantic In : *Studies in Physical Oceanography* (A.L. Gordon, ed.), Gordon and Breach, New York.
- Holmes, A. (1982). *The nomenclature of Petrology*, Hafner Pub. Co., New York, 284 p.
- Holtehdahl, H. (1965). Recent turbidites in the Hardengerfjord, Norway, In: *Submarine Geology and Geophysics*, (W.F. Whittard and R. Bradshaw, Eds), Butter-worth, London. pp. 107-142.
- Hooke, R. LeB. (1967). Processes on arid region alluvial fans. *J. Geol.*, 75, pp. 438-460.
- Horowitz, D.H. (1966). Evidence for deltaic origin of an upper Ordovician sequence in the central Appalachians, In: Shirley, M.L. and Ragsdale, J.A., Eds. *Deltas in their Geologic Framework*, pp. 159-169, Houston Geol. Soc. Houston, U.S.A.
- Hoskin, C.M. (1966). Coral pinnacle cementation, Alacran Reef. Lagoon, Mexico, *J. Sed. Petrology*, 36, pp. 1058-1074.
- Houblt, J.J.C. (1968). Recent sediments in the southern bight of the North Sea, *Geologie Mijnb.*, 47, pp. 245-273.
- Howell, D.G. and Normark, W.R. (1982). Submarine Fans. In "Sandstone Sedimentary Environments" (P.A. Scholle and D. Spearing, Eds). *Am. Ass. Petrol., Geol. Mem.* 31, 365-404.



- Hoyt, J.H. (1968). Genesis of sedimentary deposits along coasts of submergence, Rept. 23 Int. Geol. Cong. Prague, p. 231.
- Hoyt, J.H., and Henry, J.J. (1967). Influence of island migration on barrier island sedimentation, *Bull. Geol. Soc. Am.* 78, pp. 77-86.
- Hsu, K.J. (1970). The meaning of the work flysch, a short historical search. In: *Flysch Sedimentology in North America*, Spec. Pup. Geol. Assoc. Can. No. 7, pp. 1-11.
- Hsu, K.J. and Jenkyns, H.C. (1974). Pelagic sediments: On land and Under the sea, *Internat. Assn. Sedimental. Spec. Pub.*, No. 1, Blackwell Scientific Publication, Oxford, 447.
- Hubbard, R.J., Pape, J. and Roberts, D.G. (1985). Depositional sequence mapping to illustrate the evolution of a passive continental margin. In "Seismic Stratigraphy II" (O.R. Berg and D.g. Woolverton, Eds). *Am. Ass. Petrol. Geol. Mem.* 39, 79-92.
- Hubert, J.F. (1964). Textural evidence for deposition of many western N. Atlantic deep sea sands by ocean bottom currents rather than turbidity currents. *J. Geol.*, 72, pp. 757-785.
- Hubert, J.F. (1967). Sedimentology of pre-Alpine Flysch sequences Switzerland, *J. Sed. Petrol.*, 37, pp. 885-907.
- Huckenholz, H.G. (1963). Mineral composition and textures in grey wackes from the Harz Mountains (Germany) and in arkoses from Auvergne (France). *J. Sed. Petrol.* 33, 914-918pp.
- Hunt, J.M. (1979). "Petroleum Geochemistry and Geology", W.H. Freeman, San Francisco, 617pp.
- Hutchinson, G.E. (1957). A Treatise on Limnology, John Wiley, New York, 1015 p.
- Hutton, C.O. (1950). Studies of heavy detrital minerals, *Bull. Geol. Soc. Am.*, 61, pp. 635-716.
- Illing, L.V. (1954). Bahaman Calcareous Sands, *Bull. Am. Soc. Petrol. Geol.*, 38, 1-45pp.
- Imbrie, J., and Newell, N.D. (1964). *Approaches to Paleoecology*, Wiley & Sons, N.Y. 432 p.
- Imbrie, J., and Buchanan, H. (1965). Sedimentary structures in modern carbonate sands of the Bahamas, In: *Primary Sedimentary Structures and their Hydrodynamic Interpretation*, (G.V. Middleton, Ed.) pp. 149-172, Spec. Publs., Soc. Econ. Paleont. Miner., No. 12, Tulsa.
- Inderbitzen, A.L. (1974). *Deep-Sea Sediments*, Plenum Press, New York, 497p.
- Ingram, R.L. (1954). Terminology for the thickness of stratification and parting units in sedimentary rocks, *Bull. Geol. Soc. Am.*, 65, pp. 937-938.
- Inman, D.L. (1952). Measures for describing the size distribution of sediments,

- J. Sed. Petrology*, 22, pp. 125-145.
- Ireland, H.A. (1959). Silica in Sediments, *Soc. Econ. Paleont. Miner. Spec. Publs.*, 7, 110 p.
- Irvine, T.N. (1965). Sedimentary structures in igneous intrusions with particular reference to Duke Island Ultramafic Complex, In: *Primary Sedimentary Structures and their Hydrodynamic Interpretation* (Ed. G.V. Middleton) Soc. Econ. Paleont. Min., Spec. Pub. 12, pp. 220-232.
- Irwin, M.L. (1965). General theory of epeiric, clear water sedimentation, *Am. Assoc. Petrol. Geol. Bull.*, 49, pp. 445-459.
- Ives, J.C. (1936). Desert floods, U.S. Sonoyta Valley, Northern Mexico. *Am. J. Sci.* 32, pp. 102-135.
- James, H.L. (1966). Data of Geochemistry, 6th ed., Chapter W, Chemistry of the Iron-rich Sedimentary Rock, *U.S. Geol. Surv. Prof. Paper* 440W.
- Jenkyns, H.C. (1986). Pelagic environments. In "Sedimentary Environments and Facies" (H.G. Reading, Ed.), 2nd edition, pp. 343-397. Blackwell, Oxford.
- Johansson, C.E. (1965). Structural studies of sedimentary deposits, *Geol. För. Stockh. För.*, 87, pp. 3-61.
- Johnson, H.D. and Baldwin, C.T. (1986). Shallow siliciclastic seas. In "Sedimentary Environments and Facies" (H.G. Reading, Ed.), pp. 229-282. Blackwell, Oxford.
- Jones, O.A., and Endean, R. (1973). *Biology and geology of coral reefs*, 3 Vols., Academic Press, London, 12, 043.
- Jopling, A.V., and Walker, R.G. (1968). Morphology and origin of ripple-drift cross-lamination, with examples from the Pleistocene of Massachusetts, *J. Sed. Petrology*, 38, pp. 971-984.
- Jordan, G.F. (1962). Large submarine sand waves, *Science*, N.Y. 136, pp. 839-847.
- Kahn, J.S. (1956a). The analysis and distribution of properties of packing in sand-size sediments. 1. On the measurement of packing in sandstones: *J. Geol.*, 64, pp. 385-395.
- Kahn, J.S. (1956b). Analysis and distribution of packing properties in sand-size sediments. 2. The distribution of the packing measurements and an example of packing measurements and example of packing analysis: *J. Geol.* 64, pp. 578-606.
- Kaye, C.A., and Mrose, M.E. (1965). Magnetic spherules, colored corundum, and other unusual constituents of heavy beach sand, Martha Vineyard, Massachusetts, P.D. 37-D43 in Geological Survey Research, 1965: *U.S. Geol. Survey, Prof. Paper* 525-D.
- Kazakov, A.V. (1937). The phosphorite facies and the genesis of phosphorites,

- in Geological investigations of agricultural ores, *Trans. Sci. Inst. Fertilizers and Insecto-Fungicides* No. 142, 17th Sess Int. Geol. Congr. Lenin-grad, pp. 95-113.
- Keller, G.H., and Richards, A.F. (1967). Sediments of the Malacca Strait, *Southeast Asia, J. Sed. Petrology*, 37, pp. 102-127.
- Keller, W.D., and Littlefield, R.F. (1950). Inclusions in the quartz of igneous (Sic) and metamorphic rocks, *J. Sed. Petrology*, 20, pp. 74-84.
- Kelling, G., and Stanley, D.J. (1976). Sedimentation in canyon, slope, and base-of-slope environments, In: *Marine Sediment Transport and Environment Management*, (Eds. D.J. Stanley and D.J.P. Swift) John Wiley, New York, pp. 379-435.
- Kendall, C.G. St. C. (1969). An Environmental Re-interpretation of the Permian Evaporite/Carbonate Shelf Sediments of the Guadalupe Mountains. *Bull. Geol. Soc. Am.* 80, 2503-2526pp.
- Kendall, A.C. (1984). Evaporites. In "Facies Models" (R.G. Walker, Ed.). pp. 259-298. Geoscience Canada Reprint Series No. 1.
- Kennedy, W.J. (1987). Late Cretaceous and Early Palaeocene sedimentation in the Greater Ekofisk Area, North Sea Central Graben. *Bull. des Centres de Recherches Explor. Prod. Elf-Aquitaine* 11, 91-130.
- Kennedy, S.K., and Arikian, F. (1990). Spalled quartz overgrowths as a Potential Source of Silt, *J. Sed. Petrology*, 60, pp. 438-444.
- Kent, B.H. (1986). Evolution of thick coal deposits in the Powder River basin of northeastern Wyoming. In "Paleoenvironmental and Tectonic Controls in Coal-forming Basins of the United States" (P.C. Lyons and C.L. Rice, Eds). *Geol. Soc. Am. Spec. Pap.* 210. 105-122.
- Kenyon, N.H., and Stride, A.H. (1970). The tide-swept continental shelf sediments between the Shetland Isles and France, *Sedimentology*, 14, pp. 159-173.
- Khvorova, I.V. (1968). Geosynclinal siliceous rocks and some problems of their origin, *Rep. 23rd Int. Geol. Cong.*, Prague, Sect. 8, pp. 105-112.
- Kindle, E.M. (1936). Dominant factors in the formation of firm and soft sand beaches: *J. Sed. Petrology*, 6, pp. 16-22.
- Klein, G. de Vries (1963). Analysis and review of sandstone classifications in the North American geological literature, *Bull. Geol. Soc. Am.*, 74, pp. 555-576.
- Klein, G. de V. (1964). Diverse origins of graded bedding, *Ann. GSA and Assoc. Soc. Joint Meet., Miami Beach Progr.* 109.
- Klein, G. de V. (1965). Dynamic significance of primary structures in the Middle Jurassic great oolite series, Southern England, In: (G.V. Middleton, Ed.) *Primary Sedimentary Structures and their Hydrodynamic Interpretation*,

- Soc. Econ. Paleont. Miner. Spec. Publ. 12, pp. 173-191.
- Klein, G. de V. (1967). Paleocurrent analysis in relation to modern marine sediment dispersal patterns, *Am. Ass. Petrol. Geol. Bull.* 51, pp. 366-382.
- Klein, G. de V., de Melo, U., and Favera, J.C.D. (1972). Subaqueous gravity processes on the front of Cretaceous delta Reconcavo Basin, Brazil., *Bull. Geol. Soc. Am.*, 83, pp. 1469-1492.
- Kolb, C.R., and Van Lopik, J.R. (1966). Depositional environments of the Mississippi River deltaic plain-Southeastern Louisiana, In: (Shirley, L.M., and Ragsdale, J.A., Eds.), *Deltas in their Geologic Framework*, pp. 17-62, Houston, U.S.A.
- Koster, E.H. and Steel, R.J. (Eds) (1984). Sedimentology of Gravels and Conglomerates. *Can. Soc. Pet. Geol. Mem.* 10, 441 pp.
- Kranzier, I. (1966). Origin of oil in Lower member of Tyler Formation of central Montana, *Am. Ass. Petrol. Geol. Bull.*, 50, pp. 2245-2259.
- Krinsley, D. and Funnell, B.M. (1965). Environmental history of sand grains from the Lower and Middle Pleistocene of Norfolk, England, *Quart. Geol. Soc. Lond.*, 121, pp. 435-464.
- Krinsley, D., and Cavallero, L. (1970). Scanning electron microscopic examination of periglacial eolian sands from Long Island, New York, *J. Sed. Petrol.*, 40, pp. 1345-1350.
- Krinsley, D.H., and Doornkamp, J.C. (1973). *Atlas of sand surfaces textures*: Cambridge Earth Sci. Series, 91 p.
- Krumbein, W.C. (1934). Size frequency distributions of sediments., *J. Sed. Petrology*, 4, pp 65-77.
- Krumbein, W.C., and Monk, G.D. (1942). Permeability as function of the size parameters of unconsolidated sands, *Am. Inst. Min. Met. Engres., Tech. Publs.*, 1492, pp. 1-11.
- Krumbein, W.C., and Pettijohn, F.J. (1938). *Manual of Sedimentary Petrography*, Appleton-Century-Crofts, New York, 549 p.
- Krumbein, W.C., and Sloss, L.L. (1963). *Stratigraphy and Sedimentation*, 2nd ed.: Freeman, San Francisco, 660 p.
- Kuenen, P.H. (1948). Slumping in the Carboniferous rocks of Pembrokeshire. *Quar. J. Geol. Soc. Lond.*, 104, pp. 365-385.
- Kuenen, P.H. (1953). Graded bedding with observations on lower Paleozoic rocks of Britain, *Verh. Koninkl. Ned. Akad. Wetensch, Amsterdam, Afd. Nät.*, 20, pp. 1-47.
- Kuenen, P.H. (1956a). Experimental abrasion of pebbles 1; wet sand blasting, *leid. Geol. Meded*, 20, pp. 131-137.
- Kuenen, P.H. (1956b). Experimental abrasion of pebbles 2; rolling by current, *J. Geol.* 64, 336-368.

- Kuenen, P.H. (1957). Sole markings of graded greywacke beds *J. Geol.* 65, pp. 231-258.
- Kuenen, P.H. (1958a). Problems concerning course and transportation of flysch sediments, *Geologie en Mijnb.* 20, pp. 329-339.
- Kuenen, P.H. (1958b). Experiments in Geology, *Trans. Geol. Soc. Glasgow*, 23, pp. 1-28.
- Kuenen, P.H. (1960). Experimental abrasion 4: Eolian action, *J. Geol.*, 68, pp. 427-449.
- Kuenen, P.H. (1965). Value of experiments in geology, *Geol. en Mijnb.*, 44, pp. 22-36.
- Kuenen, P.H., and Migliorini, C.I. (1950). Turbidity currents as a cause of graded bedding, *J. Geol.*, 58, 91-128.
- Kuenen, P.H. and Perdok, W.G. (1962). Experimental abrasion 5, frosting and defrosting of quartz grains. *J. Geol.*, 70, pp. 648-659.
- Kukul, Z. (1971). *Geology of Recent Sediments*, Academic Press, London 490 p.
- Laming, D.J.C. (1964). Sedimentary structures and paleocurrents in the lower New Red Sandstone, Devonshire, England, *Am. Assoc. Petrol. Geol. Bull.*, 48, (abstract), 535.
- Laming, D.J.C. (1966). Imbrication, paleocurrents and others, sedimentary features in the lower New Red Sandstone, Devonshire, England, *J. Sed. Petrology*, 36, pp. 940-959.
- Landes, K.K. (1967). Eometamorphism and oil and gas in time and place, *Am. Assoc. Petrol. Geol. Bull.*, 51, pp. 828-841.
- Langers, G.L., Robertson, J.O., and Chilingar, G.V. (1972). *Secondary Recovery and Carbonate Reservoirs*, Elsevier, Amsterdam, 250 p.
- Laporte, L.F. (1968). *Ancient Environments*: Englewood Cliffs, N.J., Prentice-Hall, 116 p.
- Larsen, G., and Chilingar, G.V. (1967). *Diagenesis in Sediments*, Elsevier, Amsterdam, 551p.
- Lee, C.J. (1919). Geology and groundwaters of the western part of San Diego Country, California, *Wat. Supply Irrig. Pap. Wash.* 446, 121 p.
- Leeder, M.R. (1982). *Sedimentology Process and Product*, George Allen & Unwin, London, 344 p.
- Leggett, J.K. (1985). Deep sea pelagic sediments and palaeo-oceanography: a review of recent progress. In "Sedimentology: Recent Advances and Applied Aspects" (P.J. Brenchley and B.P.J. Williams, Eds), pp. 95-122. Blackwell, Oxford.
- Leighton, M.W., and Pendexter, G. (1962). Carbonate rock types. In "Classification of Carbonate Rocks", (W.E. Ham Ed.), pp. 33-61, *Am. Assoc. Petrol. Geol. Mem.* 1.

- Leliavsky, S. (1955) *An Introduction to Fluvial Hydraulics* Constable, London, 257 p.
- Leopold, L.B., and Wolman, M.G. (1957). River channel patterns; braided, meandering and straight, *U.S. Geol. Surv. Profess. Papers*, 282-B, pp. 39-85.
- Leopold, L.B., and Wolman, M.G. (1960). River meanders, *Bull. Geol. Soc. Am.*, 71, pp. 769-794.
- Leopold, L.B., Wolman, M.G., and Miller, J.P. (1964). *Fluvial Process in Geomorphology*, Freeman, San Francisco, London, 552 p.
- Levorsen, A.I. (1964). Big geology for big needs, *Am. Ass. Petrol. Geol. Bull.*, 48, pp. 141-156.
- Levorsen, A.I. (1967). *Geology of Petroleum*, Freeman Co., 724 p.
- Lindsey, D.A. (1966). Sediment transport in a Precambrian ice age the Huronian Gowganda Formation: Science, 154, pp. 1442-1443.
- Lisitzin, A.P. (1972). *Sedimentation in the World Ocean*, Soc. Econ. Paleon. Min., Spec. Pub. 17, 218.p.
- Liu, H.K. (1957). Mechanics of sediment-ripple formation, *J. Hydraul. Div., Proc. amer. Sov. Civ. Eng.*, 83, pap. 1197.
- Long, D.G.F. and Young, G.M. (1978). Dispersion of cross-stratification as a potential tool is the interpretation of Proterozoic arenites. *J. sedim. Petrol.* 48, 857-862.
- Longman, M.W. (1980). Carbonate Diagenetic Textures from Nearshore Diagenetic Environments. *Bull. Am. Assoc. Petrol. Geol.* 64, pp. 461-487.
- Longwell, C.R., Flint, R.F., and Sanders, J.E. (1969). *Physical Geology*, New York, John Wiley and Sons, 685 p.
- Loucks, R.G., Dodge, M.M. and Galloway, W.E. (1984). Regional controls on diagenesis and reservoir quality in Lower Tertiary sandstones along the Texas Gulf Coast. In "Clastic Diagenesis" (D.A. McDonald and R.C. Surdam Eds). *Am. Ass. Petrol. Geol. Mem.* 37, 15-46.
- Lowenstam, H.A. (1950). Niagaran reefs of the Great Lakes Area, *J. Geol.*, 58, pp. 430-487.
- Lucia, F.J. (1962). Diagenesis of a crinoidal sediment, *J. Sed. Petrology*, 32, pp. 848-865.
- Lucia, F.J., and Murray, R.C. (1967). Origin and distribution of porosity in crinoidal rocks, 7th World Petrol. Congr., Mexico, Panel Disc., no. 3.
- Lyle, M. (1976). Estimation of hydrothermal manganese Input to the oceans, *Geology*, 4, pp. 733-736.
- Lyell, Charles (1865). *Elements of Geology*, John Murray, London, 794 p.
- Lyons, P.L., and Dobrin, M.B. (1972). Seismic exploration of stratigraphic

- traps, In: *Stratigraphic Oil and Gas Fields*, (R.E. King, Ed.) *Am. Assoc. Petrol. Geol.*, No. 16, pp. 225-243.
- Lyons, P.C. and Rice, C.L. (Eds.) (1986). "Paleoenvironmental and Tectonic Controls in Coal forming Basins of the United States." *Geol. Soc. Amer. Spec. Pap.* 210, 191 pp.
- Macar, P. (1948). Les pseudonodules du famenien et leur origine, *Ann. Soc. Geol. Belgique*, 72, pp. 47-74.
- Macar, P., and Antun, P. (1949). Pseudonodules et glissements sousaquatiques dans l'Emsian inferior de l'Oesling, *Ann. Soc. Geol. Belg.*, 73, pp. 121-150.
- MacIntyre, I.G. (1985). Submarine cements the peloidal question. In "Carbonate Cements" (N. Schneidermann and P.M. Harris, Eds.). *Soc. Econ. Pal. & Min. Spec. Pub.* 36, 109-116pp.
- Mackenzie, F.T., and Gees, R. (1971). Quartz: Synthesis at earth-surface conditions, *Science*, N.Y., 3996, pp. 533-535.
- Magara, K. (1980). Comparison of Porosity-depth relationship of shale and sandstone. *J. Petrol. Geol.* 3, 175-185pp.
- Magleb, D.C., and Klein, I.E. (1965). Ground water conditions and potential pumping resources above the Corcoran Clay. *U.S. Bureau Reclamation Open File Rept.* 21 p.
- Maksimova, S.V. (1972) Coral reefs in the Arctic and their paleogeographic interpretation, *Int. Geol. Rev.*, 14, pp. 764-769.
- Margolis, S.V., and Krinsley, D.H. (1971). Submicroscopic frosting on eolian and subaqueous quartz sand grains, *Bull. Geol. Soc. Am.*, 82, pp. 3395-3406.
- Marr, J.E. (1905). Classification of sedimentary rocks. *Quart. J. Geol. Soc.*, 61, pp. IXXI.
- Martin, R. (1963). Rosedale Channel: evidence for Late Miocene submarine erosion in Great Valley of California, *Am. Ass. Petrol. Geol. Bull.*, 47, pp. 441-456.
- Martin, R. (1966). Paleogeomorphology and its applications to exploration for oil and gas. *Am. Ass. Petrol. Geol. Bull.*, 50, pp. 2277-2311.
- Martini, I.P. (1971). Grain size orientation and paleocurrent systems in the Thorold and Grimsby sandstones (Silurian), Ontario and New York, *J. Sed. Petrology*, 41, pp. 425-434.
- Martinsson, A. (1965). Aspects of a Middle Cambrian Thanatotope in Oland. *Geol. För. Stockh. Förh.*, 87, pp. 181-230.
- Mason, C.C., and Folk, R. L. (1958). Differentiation of beach, dune and eolian flat environments by size analysis, Mustang Island Texas, *J. Sed. Petrology*, 28, pp. 211-226.

- Massa, D. (1965). Observations sur les series Devonniennes des confins Algero-Marocains du Sud., *C.F.P. Mem.*, 8, Paris. 187 p.
- Mast, R.F., and Potter, P.E. (1963). Sedimentary structures, sand shape fabrics, and permeability, pt. 2, *J. Geol.*, 71, pp. 548-565.
- Maxwell, J.C. (1964). Influence of depth, temperature and geologic age on porosity of quartzose sandstone, *Am. Assoc. Petrol. Geol. Bull.*, 48, pp. 697-709.
- Maxwell, W.G.H. (1968). *Atlas of the Great Great Barrier Reef*, Elsevier, Amsterdam, 242 p.
- McBride, E.F., and Hayes, M.O. (1962). Dune cross-bedding on Mustang Island, Texas, *Am. Assoc. Petrol. Geol. Bull.*, 46, pp. 546-551.
- McBride, E.F. (1963). A classification of common sandstones, *J. Sed. Petrology*, 33, pp. 664-669.
- McBride, E.F., and Yeakel, L.S. (1963). Relationship between parting lineation and rock fabric, *J. Sed. petrology*, 33, pp. 779-782.
- McCave, I.N. (1970). Deposition of fine-grained suspended sediment from tidal current, *J. Geophys. Res.*, 75, pp. 4151-4159.
- McCave, I.N. (1985). Recent shelf clastic sediments. In "Sedimentology: Recent Advances and Applied Aspects" (B.P.J. Brenchley and B.P.J. Williams, Eds), pp. 49-66. Blackwell, Oxford.
- McConnell, P.C. (1951). Drilling and production techniques that yield nearly 850,000 barrels per day in Saudi Arabia fabulous Abasqaiq field, *Oil Gas J. Dec.* 20th, 1951, 197p.
- McCubbin, D.G. (1982). Barrier-island and Strand Plain Facies. In "Sandstone Depositional Environments" (P.A. Scholle and D. Spearing, Eds.). *Am. Ass. Petrol. Geol. Mem.* 31, 247-280pp.
- McGregor, A.A., and Biggs, C.A. (1972). Bell Creek Oil field, Montana. In: *Stratigraphic Oil and Gas Fields* (Ed. R.E. King), pp. 367-375, Am. Assoc. Petrol. Geol. Mem. No. 16.
- McKee, E.D. (1957). Primary structures in some recent sediments, *Am. Assoc. Petrol. Geol. Bull.*, 41, pp. 1704-1747.
- McKee, E.D. (1966). Dune structures, *Sedimentology*, 7, pp. 3-69.
- McKee, E.D. (1971). Primary structures in dune sand and their significance. In: *The Geology of Libia*, (C. Grey, ed.) University of Libia, pp. 401-408.
- McKee, E.D. (1979). "Global Sand Seas". *U.S.G.S. Prof. Paper* 1052, 421p.
- McKee, E.D., and Weir, G.W. (1953). Terminology for stratification and cross-stratification in sedimentary rocks, *Bull. Geol. Soc. Am.*, 64, pp. 381-390.
- McKee, E.D., and Tibbitts, G.C. (1964). Primary structures of a seif dune and associated deposits in Libya, *J. Sed. Petrology*, 34, pp. 5-17.
- McKee, E.D. Crosby, E.J., and Berryhill, H.L. (1967). Flood deposits, Bijou



- Creek, Colorado, June, 1965, *J. Sed. Petrology*, 37, pp. 829-851.
- McKee, E.D., and Gutschick, R.C. (1969). History of Redwall Limestone of Northern Arizona, No. 114, *Mem. Geol. Soc. Am.*, 726 p.
- Meade, R.H. (1966). Factors influencing the early stages of the compaction of clays and sands-review: *J. Sed. Petrology*, 36, pp. 1085-1101.
- Meissner, R. (1986). "The Continental Crust" Academic Press, London. 448 pp.
- Mellon, G.B. (1964). Discriminatory analysis of calcite- and silicate-cemented phases of the Mountain Park Sandstone: *J. Geol.* 72, pp. 786-809.
- Melvin, J. and Knight, A.S. (1984). Lithofacies, diagenesis and porosity of the Ivishak Formation. Prudhoe Bay Area, Alaska. In "Clastic Diagenesis" (D.A. McDonald and R.C. Surdam, Eds). *Am. Ass. Petrol. Geol. Min.* 37, 347-366.
- Mero, J.L. (1965). *The Mineral Resources of the Sea*, Elsevier, Amsterdam, 312 p.
- Merriam, D.F. (1967). *Computer Applications in the Earth Sciences: Colloquium on time-Series Analysis*. Computer Contribution No. 18, Geological Survey, University Kansas.
- Merritt, R.D. and McGee, D.L. (1986). Depositional environment and resources potential of Cretaceous coal-bearing strats at Chignik and Herendeen Bay, Alaska peninsula. *Sed. Geol.* 49, 21-50.
- Miall, A.D. (1970). *Devonian alluvial fans, Prince of Wales Island*, Arctic Canada, *J. Sed. petrology*, 40, pp. 556-611.
- Mial, A.D. (Ed.) (1978). Fluvial Sedimentology. *Can. Soc. Pet. Geol. Sp. Pub.* 5, 859p.
- Miall, A.D. (1984). "Principles of Sedimentary Basin Analysis" Springer-Verlag, Berlin. 490 pp.
- Middleton, G.V. (1965a). Primary Sedimentary Structures and their Hydrodynamic Interpretation, *Soc. Econ. Paleon. Miner. Spec. Pub.*, 12.
- Middleton, G.V. (1965b). Antidune cross-bedding in a large flume. *J. Sed. Petrology* 35, pp. 922-927.
- Middleton, G.V. (1966a). Experiments on density and turbidity currents. 1. *Can J. Earth Sci.*, 3, pp. 523-546.
- Middleton, G.V. (1966b). Experiments on density and turbidity currents. II. *Can. J. Earth. Sci.*, 3, pp. 627-637.
- Middleton, G.V. (1967). Experiments on density and turbidity currents. III. *Can. J. Earth Sci.*, 4, pp. 475-505.
- Middleton, G.V. (1977). *Hydraulic Interpretation of primary sedimentary structures*. Soc. Econ. Paleont. Miner., Reprint Ser. 4.
- Milliman, J.D. (1974). "Marine Carbonates" Springer-Verlag. Berlin, 375p.
- Mills, P.C. (1983). Genesis and diagnostic value of soft sediment deformation

- structures review. *Sed. Geol.* 35, 83-104.
- Millot, G. (1970). *Geology of Clays*, Springer-Verlag, Berlin, 429 p.
- Milner, H.B. (1962). *Sedimentary Petrography*, 2nd ed.: V. 1, *Methods in sedimentary petrography*; V. 2, *Principles and applications*, New York Macmillan Company, V. 1, 643 p, V. 2, 715 p.
- Mitchell, A.H.G. and Reading, H.G. (1978). Sedimentation and Tectonics. In "Sedimentary Environments and Facies" (H.G. Reading, Ed.) pp. 439-476. Blackwell Scientific, Oxford.
- Moiola, R.J., and Weiser, D. (1968). Textural parameters: An evaluation: *J. Sed. Petrology*, 38, pp. 45-53.
- Moore, R.C. (1949). Meaning of facies in: *Sedimentary Facies in Geologic History*, Geol. Soc. Amer. Mem. 39, pp. 1-34.
- Moore, G.T., and Asquith, D.O. (1971). Delta: term and Concept, *Bull. Geol. Soc. Am.*, 82, pp. 2563-2568.
- Moretti, I. and Chenet, P.Y. (1987). The evolution of the Suez Rift: a combination of stretching and secondary convection. *Tectonophysics* 133, 229-234.
- Morgan, J.P. (1970). Depositional processes and products in the deltaic environment., In: (Morgan, J.P., and Shaver, R.H., eds.), *Deltaic Sedimentation Ancient and Modern*, Soc. Econ. Paleon. Mineralogists, Spec. Publ. No. 15, pp. 31-47.
- Morgan, J.P. and Shaver, R.H. (1970). *Deltaic Sedimentation Modern and Ancient*. Soc. Econ. Paleont. Mineralogists Spec. Puble. 15, 312 p.
- Morrow, N. R. (1971). Small-scale packing heterogenetics in porous sedimentary rocks, *Am. Assoc. Petrol Geol. Bull.*, 55, 514-522.
- Morrow, D.W. (1982a). Dolomite. Part I. *Geoscience Canada* 9, pp. 5-13.
- Morrow, D.W. (1982b). Dolomite. Part II. *Geoscience Canada* 9, pp. 95-107.
- Moshrif, M.A. (1976). Sedimentology of the Lower Cretaceous Rocks in Central Saudi Arabia, (*Unpublished Ph.D. Thesis*) Univ. of Wales, Swansea, 446 p.
- Moshrif, M. A. (1978). Environmental Interpretation of Sand Grain Surface Textures in the Biyadh-Wasia Sandstone Formations in Central Saudi Arabia, *J. of Fac. of Sci., Univ. of Riyadh*, 9, pp. 119-133.
- Moshrif, M. A. (1980). Recognition of Fluvial Environments in the Biyadh-Wasia Sandstones (Lower, Middle Cretaceous) as revealed by Textural Analysis, *J. Sed. Petrology*, 50, pp. 603-612.
- Moshrif, M. A. (1981). Sedimentation and Paleogeography of the Buwaib Formation (Lower Cretaceous) in Central Saudi Arabia, *J. Coll. Sci., Univ. of Biyadh*, 12 (1), pp. 205-231.
- Moshrif, M.A. (1989). Fluvial Environment of the Southern Part of Wajid

- Sandstone (Cambrian-Ordovician). Deduced by Textural Analysis, *Iraqi J. Sci.*, V. 30, No. 1, pp. 47-72.
- Moshrif, M. A., and Al-Asa'ad, G. A. (1984). Sedimentation and environmental interpretation of Hanifa Formation (Upper Jurassic), Central Saudi Arabia, *J. Coll. Sci., King Saud Univ.*, 15 (2), pp. 479-505.
- Moshrif, M. A., and Kelling, G. (1984). Stratigraphy and Sedimentary History of Upper-Lower and Middle Cretaceous Rocks, Central Saudi Arabia, Mineral Resources Bull. 28, 28 p., Deputy Ministry for Mineral Resources, Jiddah, Saudi Arabia.
- Müller, G. (1967a). *Methods in Sedimentary Petrology*, Stuttgart, E. Schweizerbartsche Verlagsbuchhandlung, 283 p.
- Müller, G. (1967b). Diagenesis in argillaceous sediments. In: *Diagenesis in Sediments*, (G. Larsen and G.V. Chilingar, Eds.) pp. 127-178, Elsevier, Amsterdam.
- Müller, G., Iron, G., and Forstner, U. (1972). Formation and diagenesis of inorganic Ca-Mg Carbonates in the Lacustrine environment. *Naturwissenschaften*, 59, pp. 158-164.
- Mullins, H.T. and Cook, H.E. (1986). Carbonate apron models: alternatives to the submarine fan model for paleoenvironmental analysis and hydrocarbon exploration. *Sed. Geol.* 48, 37-80.
- Murray, A. N. (1930). Limestone oil reservoirs of northeastern United States and of Ontario, Canada, *Econ. Geol.* 25, 459F.
- Murray, R. C. (1960). Origin of porosity in carbonate rocks, *J. Sed. Petrology*, 30, pp. 59-84.
- Murray, R. C. (1964). Origin and diagenesis of gypsum and anhydrite, *J. Sed. Petrology*, 34, pp. 512-523.
- Mutti, E., and Lucchi, F. R. (1972). Le turbiditù dell' Appennino settentrionale: introduzione all' analisi di facies. *Mem. Soc. Geol. Ital.*, XI, pp. 161-199.
- Nagteggall, P.J.C. (1978). Sandstone-framework instability as a function of burial diagenesis. *J. geol. Soc. Lond.* 135, 101-106.
- Nandi, K. (1967). Garnets as indicators of progressive regional metamorphism, *Mineral. Magazine*, 36, pp. 89-93.
- Narayan, J. (1970). Sedimentary structures in the Lower Greensand of the Weald England Bas-Boulonnais, France. *Sedimentary Geology*, 6, pp. 73-109.
- Nelson, R.A. (1986). "Geologic Analysis of Naturally Fractured Reservoirs" Gulf Publishing, Houston. 320 pp.
- Neugebauer, H.J. (1987). Models of lithospheric thinning. *Ann. Rev. Earth Plan. Sci.* 15, pp. 421-444.

- Newell, N. D., Rigby, J. K. Fischer, A. G., Whiteman, A. J., Hickox, J. E., and Bradbury, J. S. (1953). The Permian Reef Complex of the Guadalupe Mountains region, Texas and New Mexico, Freeman, San Francisco, 236 p.
- Newell, N.D., and Rigby, J.K. (1957). Geological studies on the Great Bahama Bank, pp. 15-72, In: (Le Blanc, R. J., and Breeding, J. G. eds.), *Regional Aspects of Carbonate Deposition*, Soc. Econ. Paleont. and Mineralogists, Spec., Pub., 5, Tulsa, 178 p.
- Nickling, W.G. (Ed.) (1986). "Aeolian Geomorphology" Allen and Unwin, London, 307 pp.
- North, F.K. (1985). "Petroleum Geology" Allen and Unwin, London, 607 pp.
- Nriagu, A. and Moore, P.B. (1985). "Phosphate Minerals" Springer-Verlag, Berlin. 442 pp.
- Oertel, G., and Curtis, C.D. (1972). Clayironstone concretion preserving fabrics due to progressive compaction, *Bull. Geol. Soc. Am.*, 83, pp. 2597-2606.
- Ohle, E.L. (1980). Some considerations in "determining the origin of ore deposits of the Mississippi Valley type. *Econ. Geol.* 75, pp. 161-172.
- Okada, H. (1971). Classification of sandstone, analysis and proposal, *J. Geol.*, 79, pp. 509-525.
- Ollier, C. C. (1975). *Weathering*, edited by K. M. Clayston, 2nd, rev. impression, Longman, London, 304 p.
- Oomkens, E. (1967). Depositional Sequences and Sand Distribution in a Deltaic Complex. *Geol. Mijnbouw*, 46, pp. 265-278.
- Orris, G.J. (1986). Descriptive model of bedded barite. In "Mineral Deposit Models" (D.P. Cox and D.A. Singer, Eds), *USGS Bull.* 1693, pp. 216-217.
- Otto, G. H. (1938). The sedimentation unit and its use in field sampling, *J. Geol.*, 46, pp. 569-582.
- Owen P. R. (1964). Saltation of uniform grains in air, *J. Fluid. Mech.*, 20, pp. 225-242.
- Paraguassu, A.B. (1972). Experimental silification of sandstone, *Bull. Geol. Soc. Am.*, 83, p. 2853.
- Parkash, B. (1970). Downcurrent changes in sedimentary structures in Ordovician turbidite greywackes, *J. Sed. Petrology* 40, pp. 572-590.
- Parker, A. (1970). An index of weathering for silicate rocks, *Geol. Mag.*, 107, pp. 501-504.
- Parker, R. J., and Siesser, W. G. (1972). Petrology and origin of some phosphorites from the Southern African Continental margin, *J. Sed. Petrology*, 42, pp. 434-440.
- Parker, R.J. (1975). Lower Tertiary sand development in the central North Sea, In: *Petroleum and the Continental Shelf of North-West Europe*, (Ed. A. R.

- Woodland), Applies Science Publishers, London, pp. 447-456.
- Pasgega, R. (1957). Texture as characteristic of clastic deposition: *Am. Assoc. Petroleum Geologists Bull.*, 41, pp. 1952-1984.
- Pasgega, R. (1964). Grain size representation by CM patterns as a geological tool, *J. Sed. Petrology*, 34, pp. 830-847.
- Patel, E.K. (1987). Lateritization and bentonitization of basalt in Kutch, Gujarat State, India. *Sed. Geol.* 55, 327-346.
- Payne, R.R., Conolly, J.R. and Abbott, W.H. (1972). Turbidite muds within diatom ooze off Antarctica: Pleistocene sediment variation defined by closely spaced piston cores, *Bull. Geol. Soc. Am.*, 83, pp. 481-486.
- Payne, T.G. (1942). Stratigraphical analysis and environmental reconstruction, *Am. Assoc. Petrol. Geol. Bull.*, 26, pp. 1697-1770.
- Pedley, H.M. and Bennett, S.M. (1985). Phosphorites, hardgrounds and syn-depositional solution subsidence: a palaeoenvironmental model for the Miocene of the Maltese Islands. *Sed. Geol.* 45, 1-34pp.
- Peterson, C.D., Gleeson, G.W. and Wetzel, N. (1987). Stratigraphic development, mineral sources and preservation of marine places from Pleistocene terraces in southern Oregon. U.S.A. *Sed. Geol.* 53, 203-209.
- Peterson, M.N.A., and Von der Broch, C.C. (1965). Chert: modern inorganic deposition in a carbonate-precipitating locality, *Science, N.Y.*, 149, pp. 1501-1503.
- Pett, J.W., and Walker, R.G. (1971). Relationship of flute cast morphology to internal sedimentary structures in turbidites, *J. Sed. Petrology*, 41, pp. 114-128.
- Pettijohn, F.J. (1926). Intraformational phosphate pebbles of the Twin City Ordovician, *J. Geol.*, 34, pp. 361-373.
- Pettijohn, F.J. (1948). A preface to the classification of the sedimentary rocks. *J. Geol.* 56, pp. 112-117.
- Pettijohn, F.J. (1957). *Sedimentary Rocks*, 2nd ed., Harper and Bros., New York, 718 p.
- Pettijohn, F.J. (1962). Paleocurrents and Paleogeography, *Am. Assoc. Petrol. Geol. Bull.*, 46, pp. 1468-1493.
- Pettijohn, F.J. (1975). *Sedimentary Rocks*, 3rd ed., Harber and Row, Publishers, New York., 628 p.
- Pettijohn, F.J., and Potter, P.E. (1964). *Atlas and Glossary of Sedimentary Structures*, Springer-Verlag, Berlin, 370 p.
- Pettijohn, F.J., Potter, P.E., and Siever, R. (1972). *Sand and Sandstone*, Springer-Verlag, Berlin, 618 p.
- Pezzetta, J.M. (1973). The St. Clair River delta: Sedimentary characteristics and depositional environments. *J. Sed. Petrology*, 43, pp. 168-187.

- Philippi, G.T. (1957). Identification of source beds by chemical means, *Rep. 20th Int. Geol. Cong. Mexico City, Session 3*, pp. 25-38.
- Picard, M.D. (1971). Classification of fine-grained sedimentary rocks, *J. Sed. Petrology*, 41, pp. 179-195.
- Picard, M.D., and High, L.R. JR. (1972). Criteria for recognizing lacustrine rocks, In: (Rigby, J.K., Hamblin, W. K. eds.), *Recognition of Ancient Sedimentary Environments, Soc. Econ. Paleont. Miner. Spec. Publ.*, 16, pp. 108-145.
- Playford, P.E., and Lowry, D.C. (1966). Devonian reef complexes of Canning Basin, Western Australia, *Geol. Survey Western Australia Bull.* 118, 150 p.
- Plummer, P.S. and Gostin, V.A. (1986). Shrinkage cracks: desiccation or syneresis. *J. sedim. Petrol.* 51, 1147-1156.
- Poole, D.M. (1958). Heavy mineral variations in San Antonio and Mesquite Bays of the central Texas coast, *J. Sed. Petrology*, 28, pp. 65-74.
- Posnjak, E. (1938). The system  $\text{CaSO}_4\text{-H}_2\text{O}$ , *Am. J. Sci.*, 235-A, pp. 247-272.
- Posnjak, E. (1940). Deposition of calcium sulfate from sea water, *Am. J. Sci.*, 238, pp. 559-568.
- Potter, P.E., and Scheidegger, A. E. (1966). Bed thickness and grain size: graded beds, *Sedimentology*, 7, pp. 223-240.
- Potter, P.E. (1967). Sand bodies and sedimentary environments: a review, *Am. Assoc. Petrol. Geol. Bull.*, 51, pp. 337-365.
- Potter, P.E., and Pettijohn, F.J. (1977). *Paleocurrents and Basin Analysis*, New York, Springer-Verlag 2nd ed. 425 p.
- Powers, M.C. (1953). A new roundness scale for sedimentary particles: *J. Sed. Petrology*, 23, pp. 117-119.
- Powers, R.C. (1967). Fluid release mechanisms in compacting marine mudrocks and their importance in oil exploration, *Am. Assoc. Petrol. Geol. Bull.* 51, pp. 1240-1253.
- Powers, R.W. (1962). Arabian Upper Jurassic carbonate reservoir rocks, In: (W.E. Ham, ed.), *Classification of carbonate rocks*, Am. Assoc. Petrol. Geol. Mem., 1, pp. 122-192.
- Pray, L.C. (1960). Compaction in calcilutites (abstract): *Geol. Soc. Am. Bull.*, 71, p. 1946.
- Prospero, J.M., and Carlson, T.N. (1972). Vertical and areal distribution of Saharan dust over the western Equatorial North Atlantic Ocean, *J. Geophys. Res.* 77, pp. 5255-5265.
- Pryor, W.A. (1973). Permeability-Porosity patterns and variations in some Holocene sand bodies. *Am. Assoc. Petrol. Geol. Bull.*, 57, pp. 162-189.
- Purdy, E.G. (1961). Bahamian oolite shoals, In: "*The Geometry of Sandstone Bodies*", A symposium, Am. Assoc. Petrol. Geol., pp. 53-62.

- Purdy, E.G. (1963). Recent calcium carbonate facies of the great Bahama bank, *J. Geol.*, 71, pp. 334-355, pp. 472-497.
- Purser, B.H. (1973). *The Persian Gulf*. Holocene carbonate sedimentation and diagenesis in a shallow epicontinental sea, New York Springer-Verlag, 471p.
- Pusey, W.C. (1973). Paleotemperatures in the Gulf Coast using the ESR-Kerogen method, *Trans. Gulf. Cst. Assoc. Geol. Socs.*, 23, pp. 195-202.
- Quennell, A.M. (1985). "Continental Rifts", Benchmark Papers in Geology Series Van Nostrand, New York, 349 pp.
- Rahman, R.A. and Flores, R.M. (1984). "Sedimentology of Coal and Coal-bearing Sequences". Spec. Pub. No. 7. International Ass. Sedol. Blackwell, Oxford. 417 pp.
- Rainwater, E.H. (1966). The Geologic Importance of deltas. In: *Deltas* (Ed. M. L. Shirley and J. A. Ragsdal) Houston Geol. Soc., pp. 1-16.
- Raiswell, R. (1971). The growth of Cambrian and Liassic concretions, *Sedimentology*, 17, pp. 147-171.
- Ramberg, I.B., Milanovsky, E.E. and Qvale, G. (Eds) (1987). Continental rifts - principles and regional characteristics. *Tectonophysics* 143, 252 pp.
- Raup, O.B., and Miesch, A.T. (1957). A new method for obtaining significant average directional measurements in cross-stratification studies, *J. Sed. Petrology*, 27, pp. 313-321.
- Raymond, Loren A. (1995). *Petrology, the study of Igneous, Sedimentary and Metamorphic Rocks*. Wm. C. Brown Publishers. London, 742p.
- Read, J.F. (1985). Carbonate platform facies models. *Bull. Am. Ass. Petrol. Geol.* 69, 1-21.
- Reading, H.G. (1981). *Sedimentary Environments and Facies*, Elsevier, New York, 569 p.
- Reading, H.G. (Ed.) (1985a). "Sedimentary Environments and Facies", 2nd edition. Blackwell, Oxford. 613 pp.
- Reading, H.G. (1985b). Facies. In "Sedimentary Environments and Facies" (H.G. Reading, Ed.), 2nd edition, pp. 4-19. Blackwell, Oxford.
- Reading, H.G. (Ed.) (1986). "Sedimentary Environments and Facies" (2nd edition). Blackwell Scientific, Oxford. 615 pp.
- Reading, H.G., and Walker, R.G. (1966). Sedimentation of Eocambrian tillites and associated sediments in Finmark, Northern Norway, *Paleogeog. Paleoclimatol. Paleoecol.*, 2, pp. 177-212.
- Reeckman, A. and Friedman, G.M. (1982). "Exploration for Carbonate Petroleum Reservoirs" Wiley, Chichester. 213p.
- Reeves, C.C., JR. (1968). *Introduction to Paleolimnology. Developments in Sedimentology*, Vol. 11, Amsterdam, Elsevier, 228 p.

- Reeves, C.C., JR. (1972). *Playa Lake Symposium, 1970. ICASALS Pub. No. 4*, Texas Tech. University, Lubbock, 334 p.
- Reiche, P. (1938). An analysis of cross-lamination of the Coconino Sandstone, *J. Geol.*, 44, pp. 905-932.
- Reijers, T.J.A. and Hsu, K.J. (1986). "Manual of Carbonate Sedimentology: A Lexicographical Approach" Academic Press, London. 302 pp.
- Reineck, H.E. (1963). Sedimentgefüge in Bereich der südlichen Nordsee, *Abh. senckenb naturf. Ges.*, Frankfurt, 505, 138 p.
- Reineck, H.E. (1971). Marine sandkörper, rezent und fossil, (Marine sandbodies recent and fossil), *Geol. Rdsch.* 60, pp. 302-321.
- Reineck, H.E., Gutmann, W.F., and Hertweck, (1967). Das Schlickgebeite Südlich Helgoland als Beispielder rezenter Schelfablagerungen Senckenbergiana Lethaea, 48, pp. 219-275.
- Reineck, H. E., and Wunderlich, F. (1968). Classification and origin of flaser and lenticular bedding, *Sedimentology*; 11, pp. 99-104.
- Reineck, H.E., and Singh, I.B. (1971). Der Golf Von Gaeta/Tyrrhenisches Meer. 3. Die Gefüge Von Vorstrand- und Schelf-sedimenten Senckenbergiana, Marit, 3, pp. 185-201.
- Reineck, H.E., and Singh, I.B. (1973). *Depositional Sedimentary Environments*, 1st. Ed., New York, Springer-Verlag, pp. 7-113.
- Reineck, H.E., and Singh, I.B. (1975). *Depositional Sedimentary Environments*, Reprint of the First Ed., Springer-Verlag New York, 439p.
- Rich, J.L. (1950). Flow markings, groovings, and intrastratal crumplings, etc., *Am. Assoc. Petrol. Geol. Bull.*, 34, pp. 717-741.
- Richardson, W.A. (1919). On the origin of septarian structure, *Min. Mag.*, 18, pp. 327-338.
- Riedel, W.R. (1963). The preserved record: Paleontology of Pelagic Sediments, In: *The Sea* (Ed. M. N. Hill), Vol. III, pp. (866-887), Interscience, New York.
- Rittenhouse, G. (1971a). Mechanical compaction of sands containing different percentages of ductile grains a theoretical approach. *Am. Assoc. Petrol. Geol. Bull.*, 55, pp. 92-96.
- Rittenhouse, G. (1971b). Pore space reduction by solution and cementation, *Am. Assoc. Petrol. Geol. Bull.*, 55, pp. 80-91.
- Robison, R.B. (1966). Classification of reservoir rocks by surface texture, *Am. Assoc. Petrol. Geol. Bull.*, 50, pp. 547-559.
- Robinson, R.B. (1967). Diagenesis and Porosity development in Recent and Pleistocene oolites from Southern Florida and the Bahamas, *J. Sed. Petrology*, 37, pp. 355-364.
- Rodgers, J. (1950). The nomenclature and classification of the sedimentary



- rocks. *Am. J. Sci.*, 248, pp. 297-311.
- Rodriguez, J., and Gutschich, R.C. (1970). Late Devonian-early Mississippian ichnofossils from Western Montana and Northern Utah, In: *Trace Fossils*, (T.P. Crimes and J. C. Harper, Eds.) pp. 407-438, Lpool Geol. Soc.
- Rogers, J.J.W., and Head, W.B. (1961). Relationships between porosity, median size, and sorting coefficients of synthetic sands, *J. Sed. Petrology*, 31, pp. 467-470.
- Ross, C.S., and Smith, R.L. (1961). Ashflow tuffs-their origin, geologic relations, and identifications: *U.S. Geol. Surv. Prof. Paper*, 366, 81 p.
- Royse, C.F. (1970). A sedimentologic analysis of the Tongue River-Sentinel Butte Interval (Paleocene) of the Williston Basin, western North Dakota, *Sediment. Geol.*, 4, pp. 19-80.
- Rusnak, G.A., and Nesteroff, W.D. (1964) Modern turbidites: terrigenous abyssal plain versus bioclastic basin. In: *Marine Geology* (L.R. Miller, ed), pp. 488-503, Macmillan, New York.
- Russell, R.D., and Taylor, R.E. (1937). Roundness and shape of Mississippi River sands, *J. Geol.*, 45, pp. 225-267.
- Rust, B.R. (1972). Structure and process in a braided river, *Sedimentology*, 18, pp. 221-246.
- Rust, B.R. (1978). A classification of aliuvial channel systems. In "Fluvial Sedimentology" (A.D. Miall, Ed.), 187-198. Can. Soc. Pet. Geol. Calgary.
- Ruxton, B.P. (1968). Measures of the degree of chemical weathering of rocks, *J. Geol.*, 76, pp. 518-527.
- Sabine, P.A. (1974). How should rocks be named (essay review). *Geol. Mag.*, 111, pp. 165-176.
- Sames, C.W. (1966). Morphometric data of some recent pebble associations and their application to ancient deposits, *J. Sed. Petrology*, 36, pp. 126-142.
- Sawlowicz, Z. (1986). Comment on 'Oil shales, evaporites and ore deposits' by Hans P. Eugster. *Geochim. Cosmochim. Acta* 50, 1829-1830.
- Scherer, M. (1987). Parameters influencing porosity in sandstones: a model for sandstone porosity prediction. *Bull. Am. Ass. Petrol. Geol.* 71, 485-491.
- Scheidegger, A.E. (1957). *The Physics of Flow Through Porous Media*, New York, Macmillan, Inc., 236 p.
- Schiedegger, A.E., and Potter, P.E. (1968). Textural studies of graded bedding, *Sedimentology*, 11, pp. 163-170.
- Scheidegger, A.E., and Potter, P.E. (1971). Down-current decline of grain size and thickness single turbidite beds: a semi-quantitative analysis, *Sedimentology*, 17, pp. 41-49.
- Schlee, J. (1957). Fluvial gravel fabric, *J. Sed. Petrology*, 27, pp. 162-176.

- Schlumberger, Ltd. (1970). *Fundamentals of Dipmeter Interpretation*, Schlumberger, Ltd., New York, 145 p.
- Schmidt, V. (1961). Petrographische und Fazielle Untersuchungen an Karbonatgesteinen des Oberkimmeridge und des Oberen Malm 1. in Süddoldeburg, Diss, Kiel, 287 p.
- Schmidt, V. (1965). Facies, diagenesis and related reservoir properties in the Crigos beds (Upper Jurassic), Northwestern Germany, In: (L. C. Proy and R. C. Murry, eds.), *Dolomitization and limestone diagenesis*, Soc. Econ. Paleont. Miner., Spec. Publ. 13, pp. 124-168.
- Schneidermann, N. and Harris, P.M. (Eds) (1985). "Carbonate Cements". *Soc. Econ. Pal. & Min. Spec. Pub.* 36, 379p.
- Scholle, P.A. (1978). Carbonate rock constituents, textures, cements and porosities. *Am. Assoc. Petrol. Geol. Mem.* 27, 241p.
- Scholle, P.A., Bebout, D.G. and Moore, C.H. (1983). "Carbonate Depositional Environments" *Ann. Ass. Petrol. Geol. Mem.* 33, 708pp.
- Schroder, J. and Purser, B.H. (1986). "Reef Diagenesis" Springer-Verlag, Berlin. 330 pp.
- Schwarzbach, M. (1964). Geologische Tätigkeit der Seen. Geologische Tätigkeit des Eises und die Periglazialgebiete, In: (Brinkmann. R., ed.), *Lehrbuch der allgemeinen Geologie* Vol. I, Ferdinand Enke., Stuttgart, pp. 177-207; pp. 207-249.
- Scoffin, T.P. (1987). "An Introduction to Carbonate Sediments and Rocks" Blackie, London, 274p.
- Scott, A.C. (1987). "Coal and Coal-bearing Strata: Recent Advances". *Spec. Pub. Geol. Soc. Lond.* No. 32, 340 pp.
- Scott, K.M. (1971). Origin and sedimentology of 1969 debris flows near Glendora, California, *Prof. Pap. U.S. Geol. Surv.*, 750-C, C242-247.
- Seilacher, A. (1962). Paleontological studies on turbidite sedimentation and erosion, *J. Geol.*, 70, pp. 227-234.
- Seilacher, A. (1963). Umlagerung und Rolltransport von cephalopoden-Gehäusen: *Neues Jahrb. Geol. Paläont. Mh.* 11, pp. 593-615.
- Seilacher, A. (1964). Sedimentological classification and nomenclature of trace fossils, *Sedimentology*, 3, pp. 253-256.
- Seilacher A. (1964a). Biogenic sedimentary structures, In: *Approaches to Paleocology*, (Imbrie, J., and Newell, N. eds.), New York, Wiley, pp. 296-376.
- Seilacher, A. (1967). Bathymetry of trace fossils, In: *Depth Indicators in Marine Sedimentary Environments*, (by: A Hallam, Ed.) Marine Geology, Sp. Issue, 5, No. 5/6, pp. 413-428.
- Selley, R.C. (1966). Petrography of the Torridonian rocks of Raasay and Scal-

- pay, Inverness-hire. *Proc. Geol. Ass. land.* 77, 293-314pp.
- Selley, R.C. (1968). A classification of paleocurrent models, *J. Geol.*, 76, pp. 99-110.
- Selley, R.C. (1969). Torridonian alluvium and quicksands, Scott. *Jour. Geol.*, 5, pp. 328-346.
- Selley, R.C. (1970). Ichnology of Paleozoic sandstones in the southern desert of Jordan: a study of trace fossils in their sedimentologic context. In: *Trace Fossils*, (T.P. Crimes and J.C. Harper, Eds.) Lpool. Geol. Soc. Spec. issue, 3, pp. 477-488.
- Selley, R.C. (1972). Diagnosis of marine and non-marine environments from the Cambro-Ordovician sandstones of Jordan, Quar. *J. Geol. Soc. Lond.*, 128, pp. 135-150.
- Selley, R.C. (1976). *An introduction to Sedimentology*, Academic Press, London, 408p.
- Selley, R.C. (1978). *Ancient Sedimentary Environments* (2nd Ed.) Cornell University Press, New York, 278p.
- Selley, R.C. (1982). *An introduction to Sedimentology* (2nd Edition), Academic Press, London, 417p.
- Selley, R.C. (1984). Porosity evolution of truncation traps: diagenetic models and log responses *Proc. Norwegian Offshore North Sea Conf., Stavanger*. Norwegian Petroleum Society, Oslo, Paper G3, 17p.
- Selley, R.C. (1985). *Elements of Petroleum Geology*. W.H. Freeman, New York. 449p.
- Selley, R.C. (1985). "Ancient Sedimentary Environments", 3rd edition. Chapman and Hall, London, 317p.
- Selley, R.C. (1990). *An Introduction to Sedimentology*, Academic Press, London, 417p.
- Selley, R.C. (1994). *Applied Sedimentology*, Academic Press, London, 446p.
- Selley, R.C. and Stoneley, R. (1987). Petroleum habitat In "*Petroleum Geology of North West Europe*" (J. Brooks and K. Glennie Eds.) pp. 139-148. Graham and Trotman. London.
- Selley, R.C., Sutton, J., Shearman, D.J., and Watson, J. (1963). Some under water disturbances in the Torridonian of Skye and Raasay, *Geol. Mag.*, 100, pp. 224-243.
- Sellwood, B.W. (1986). Shallow-marine carbonate environments. In "Sedimentary Environments and Facies" (H.G. Reading, Ed.), 2nd edition, pp. 283-342. Blackwell, London.
- Semeniuk, V. (1986). Calcrete breccia floatstone in Holocene sand developed by storm-uprooted trees. *Sed. Geol.* 48, 183-192 pp.
- Sengupta, S. (1966). Studies on orientation and imbrication of pebbles with

- respect to cross-stratification, *J. Sed. Petrology*, 36, pp. 362-369.
- Shand, S.J. (1947). *Eruptive Rocks, Their Genesis, Composition, Classification and Their Relation to Ore-Deposits*. Thomas Murby and Co., London, 488p.
- Shannon, J.P., and Dahl, A.R. (1971). Deltaic stratigraphic traps in west Tuscola field, Taylor Country, Texas, *Am. Ass. Petrol. Geol. Bull.*, 55, pp. 1194-1205.
- Shantser, E.V. (1951). Alluvium of river plains in a temperate zone and its significance for understanding the laws governing the structure and formation of alluvial suits, *Akad. Nauk. S.S.S.R. geol. Ser.* 135, pp. 1-271.
- Shearman, D.J. (1970). Recent halite Rock, Baja California Mexico, *Inst. Mining Metallurgy Trans.*, 79, pp. 155-162.
- Shearman, D.J., Khouri, J., and Taha, S. (1961). On the replacement of dolomite by calcite in some Mesozoic limestones from the French Jura, *Proc. Geol. Assoc.*, 72, pp. 1-12.
- Shelton, J.W. (1962). Shale compaciton in a section of Cretaceous Dakota sandstone, northwestern North Dakota. *J. Sed. Petrology*, 32, pp. 873-877.
- Shelton, J.W. (1967). Stratigraphic models and general criteria for recognition of alluvial, barrier bar and turbidity current and sand deposits. *Am. Assoc. Petrol. Geol. Bull.*, 51, pp. 2441-2460.
- Shelton, J.W., and Mack, D.E. (1970). Grain Orientation in determination of paleocurrents and sandstone trends, *Am. Assoc. Petrol. Geol. Bull.*, 54, pp. 1108-1119.
- Shepard, F.P. (1954). Nomenclature based on sand-Silt-Clay ratios, *J. Sed. Petrology*, 24, pp. 151-158.
- Shepard, F.P. (1963a). Submarine Canyons In: *The Sea*, (M.N. Hill, Ed.) Vol. III, John Wiley, New York, pp. 480-506.
- Shepard, F.P. (1963b). *Submarine Geology*, Chap. 12. Coral and other organic reefs, Harper, London, pp. 349-370.
- Shepard, F.P. (1971). *Submarine Canyons, and Other Sea Velleys*, John Wiley, New York, 381p.
- Shepard, P.E. (1964). Criteria in modern sediments useful in recognizing ancient sedimentary environments, In: *Deltaic and Shallow Marine Sediments*, (Ed. L. M. J. U. Van Straaten) Elsevier, Amsterdam, pp. 1-25.
- Sheriff, R.E. (1976). Inferring stratigraphy from seismic data, *Am. Assoc. Petrol. Geol. Bull.*, 60, pp. 528-542.
- Shim, E.A. (1983). Birdseyes, Fenestrae, Shrinkage pores and loferites: a re-evaluation. *J. Sedim. Petrol.*, 53, 619-628pp.
- Shotten, F.W. (1937). The lower Bunter sandstones of north Worcestershire and east Shropshire (England), *Geol. Mag.*, 74, pp. 534-553.

- Shrock, R.R. (1948a). Sequence in Layered Rocks, McGraw-Hill, New York, 507p.
- Shrock, R.R. (1948b). A classification of sedimentary rocks, *J. Geol.*, 56, pp. 118-129.
- Simons, D.B., and Richardson, E.V. (1961). Forms of bed roughness in alluvial channels. *Am. Soc. Civil Eng. Proc.*, 87, No. HY3, pp. 87-105.
- Simons, D.B., and Richardson, E.V. (1966). Resistances to flow in alluvial Channels. *U.S. Geol. Surv. Prof. Pap.* 422-J, pp. 1-61.
- Simons, D.B. Richardson, E.V., and Nordin, C.F. (1965). Sedimentary structures generated by flow in alluvial channels. In: *Primary Sedimentary Structures and their Hydrodynamic Interpretation*, (G. V. Middleton, Ed.), *Soc. Econ. Paleont. Miner. Spec. Publ.*, 12, pp. 34-52.
- Singh, I.B. (1972). On the bedding in the natural-levee and the point-bar deposits of the Gomti River. Uttar Pradesh, India, *Sedimentary Geology*, 7, pp. 309-317.
- Sipple, R.F. (1968). Sandstone petrology, evidence-from luminescence petrography, *J. Sed. Petrology*, 38, pp. 530-554.
- Sipple, R.F. (1971). Quartz grain orientations-I (the photometric method). *J. Sed. Petrology*, 41, pp. 38-59.
- Skempton, A.W. (1970). The consolidation of clay by gravitational compaction. *Q.J. Geol. Soc. Lond.*, 125, pp. 373-412.
- Skipper, K. (1971). Antidune cross-stratification in a turbidite sequence, Cloridorme Formation, Gaspé, Quebec., *Sedimentology*, 17, pp. 51-68.
- Slansky, M. (1986). "Geology of Sedimentary Phosphates" North Oxford Academic, London 211p.
- Slichter, C.S. (1899). Theoretical investigation of the motion of ground water, *U.S. Geol. Surv., 19th Ann. Rept.*, pt. 11, 305p.
- Smalley, I.J. (1964a). Representation of packing in a clastic sediments. *Am. J. Sci.*, 262, pp. 242-248.
- Smalley, I.J. (1964b). A method for describing the packing texture of clastic sediments, *Nature*, 203, pp. 281-284.
- Smalley, I.J. (1972). The interaction of great river and large deposits of primary loess, *Trans. N.Y. Acad. Sci.*, 34, pp. 534-542.
- Smith, A.J. (1959). Structures in the stratified late-glacial clays of Windermere, England, *J. Sed. Petrology*, 29, pp. 447-453.
- Smith, A.J. (1968). Lakes, In: (Fairbridge, R. W., Ed.), *The Encyclopedia of Geomorphology*, Vol. 3, 598-603, New York, Reinhold Book Corporation.
- Smith, N.D. (1972). Some sedimentological aspects of planar cross-stratification in a sandy braided river, *J. Sed. Petrology*, 42, pp. 624-634.
- Smosna, R. (1987). Compositional maturity of limestones - a review. *Sed. Geol.*

- 51, 137-146.
- Smyers N.B., and Peterson, G.L. (1971). Sandstone dike and sills in the Moreno Shale, Panoche Hills, California, *Bull. Geol., Soc. Am.* 82, 3201p.
- Sneed, E.D., and Folk, R.L., (1958). Pebbles in the lower Colorado River, Texas-a study in particle morphogenesis, *J. Geol.*, 66, pp. 114-150.
- Sonnenfeld, P. (1984). "Brines and Evaporites" Academic Press, London, 624p.
- Sonnenfeld, P. (1985). Evaporites as source rocks of oil and gas. *J. Pet. Geol.* 8, 253-271pp.
- Sorby, H.C., (1853). On the oscillation of the currents drifting the sandstone beds of the south-east of Northumberland, and their general direction in the coalfield in the neighbourhood of Edinburgh. Repts. of the Proc. of the Geol. and Polytechnic Soc. of the West Riding of Yorkshire for 1852, pp. 232-240.
- Sorby, H.C. (1856). On the physical geography of the Old Red Sandstone of the central district of Scotland, *New Philos. J. New Ser.* 3, Edinburgh, pp. 112-122.
- Sorby, H.C. (1908). On the application of quantitative methods to the study of the structure and history of rocks, *Quart. J. Geol. Soc.* London, 64, pp. 171-233.
- Spencer, A.M. (1971). Late Pre-Cambrian glaciation in Scotland, *Geol. Soc. Lond. Mem.*, 6, 100p.
- Spencer, C.W. (1964). Unconsolidated Miocene dolomite in northern peninsular Florida, *Ann. GSA and Assoc. Soc. Joint. Meet., Miami Beach, Progr.* pp. 192-193.
- Stanley, D.J. 1970). flyschoid sedimentation on the outer Atlantic margin off northeast North America, *Geol. Assoc. Canada, Spec. Papers* 7, pp. 179-210.
- Stanley, D.J., and Unrug, R. (1972). Submarine Channel deposits, Fluxoturbidites and other indicator of slope and base slope environments in modern and ancient marine basins. In: *Recognition of Ancient Sedimentary Environments*, (J. K. Rigby and W. H. Hamblin, Eds.), Soc. Econ. Paleont. Miner., Spec., Publs., 16, pp. 287-340.
- Stanley, D.J., and Swift, D.J.P. (1976). *Marine Sediment Transport and Environmental Management*, John Wiley & Sons, New York.
- Stapor, F.W., Jr. (1973). Heavy mineral (Sic) concentrating processes and density / shape / size equilibria in the marine (Sic) and coastal dune sands of the Appalachicola, Florida region, *J. Sed. Petrology*, 43, pp. 396-407.
- Stauffer, P.H. (1967). Grainflow deposits and their implications Santa Ynez Mountains, California, *J. Sed. Petrology*, 37, pp. 487-508.
- Stewart, H.B., Jr. (1958). Sedimentary reflections of depositional environments

- in San Miguel Lagoon, Baja California, Mexico, *Am. Assoc. Petroleum Geologists Bull.*, 42, pp. 2567-2618.
- Stockes, W.L. (1947). Primary lineation in fluvial sediments: a criterion on current direction, *J. Geol.*, 45, pp. 52-54.
- Stockes, W.L. (1953). Primary sedimentary trend indicators as applied to ore finding in the Carrizo Mountains, Arizona and New Mexico. U.S. Atomic Energy comm. RME-3043, pt. 10.
- Stow, D.A.V. and Lovell, J.P.B. (1979). Contourites: their recognition in modern and ancient sediments. *Earth Sci. Rev.* 14, pp. 251-291.
- Stow, D.A.V. and Piper, D.J.W. (Eds) (1984). "Fine-grained Sediments: Deep Water Processes and Facies." *Geol. Soc. Lond. Spec. Pub. No. 15.* Blackwell, Oxford. 660p.
- Stow, D.A.V. (1985). Deep-sea clastics: where are we and where are we going? In "Sedimentology: Recent Developments and Applied Aspects" (P.J. Brenchley and B.P.J. Williams, Eds). pp. 67-94. Blackwell, Oxford.
- Stow, D.A.V. (1986). Deep clastic seas. In "Sedimentary Environments and Facies" (H.G. Reading, Ed.). 2nd edition, pp. 399-444. Blackwell, Oxford.
- Strahler, A.N., and Strahler, A.H. (1973). *Environmental Geoscience*, Santa Barbara, Calif., Hamilton Pub. Co., 509p.
- Stride, A.H. (1963). Current-swept sea floors near the southern half of Great Britain, *Quart. J. Geol. Soc. Lond.*, 119, pp. 175-200.
- Stride, A.H. (1970). Shape and size trends for sandwaves in a depositional zone of the North Sea, *Geol. Mag.*, 107, pp. 469-478.
- Sturt, B.A. (1961). Discussion in some aspects of sedimentation in orogenic belts, *Proc. Geol. Soc. London*, 1587, 78p.
- Sundborg, A. (1956). The River Klarälven: a study of fluvial processes, *Geogr. Annlr.*, 38, pp. 127-316.
- Surdam, R.C., Boase, W.S. and Crossey, L.J. (1984). The chemistry of secondary porosity. In "Clastic Diagenesis" (D.A. McDonald and R.C. Surdam, Eds.). *Am. Ass. Petrol. Geol. Mem.* 37, 127-150pp.
- Surdam, R.C. and Crossey, L.J. (1987). Integrated diagenetic modelling. In "Annual Review of the Earth and Planetary Society", No. 15, pp. 141-170. *Ann. Revs. Inc.* Palo Alto.
- Suthren, R.J. (1985). Facies analysis of volcanic sediments: a review: In "Sedimentology: Recent Advances and Applied Aspects" (P.J. Brenchley and B.P.J. Williams, Eds), pp. 123-146. Blackwell, Oxford.
- Swett, K., Klein, G. de V., and Smit, D.E. (1971). A Cambrian tidal sand body-The Eriboll Sandstone of northwest Scotland: an ancient: recent analog, *J. Geol.*, 79, pp. 400-415.

- Swift, D.J.P., Stanley, D.J., and Curray, J.R. (1971). Relict sediments on continental shelves: A reconsideration, *J. Geol.*, 79, pp. 322-346.
- Swift, D.J.P., Duane, D.B., and Orrin, H.P. (1972). *Shelf Sediment Transport. Process and Pattern*, Stroudsburg, Pa.: Dawden Hutchinson, and Ross.
- Swift, D.J.P., Duane, D.B., and Orrin, H.P. (1973). *Shelf Sediment Transport: Process and Pattern*, John Wiley, chichester, 670p.
- Swift, D.J.P. and Palmer, H.D. (Eds.) (1978). "Coastal Sedimentation." Benchmark Papers in Geology, Vol. 42. Dowden Hutchinson and Ross, Stroudsbury, 339p.
- Swift, D.J.P., Figueiredo, A.G., Freeland, G.L. and Oertel, G.F. (1983). Hummocky cross-stratification and megaripples: a geological double standard. *J. Sedim. Petrol.* 53, pp. 1295-1317.
- Tanner, W.F. (1959). The importance of modes in cross-bedding data, *J. Sed. Petrology*, 29, pp. 211-226.
- Tanner, W.F. (1968). Tertiary sea-level fluctuations, *Paleogeog. Paleoclimatol. Paleocol. Sp. issue*, 178p.
- Taylor, J.C.M. and Illing, L.V. (1969). Holocene intertidal calcium carbonate cementation, Qatar, Persian Gulf. *Sedimentology*, 12, pp. 69-107.
- Taylor, J.H. (1949). Petrology of the Northampton Sand Ironstone Formation, *Mem. Geol. Surv. Great Britain*, 111p.
- Taylor, J.M. (1950). Pore-space reduction in sandstones, *Am. Assoc. Petrol. Geol. Bull.*, 34, pp. 701-716.
- Teichert, C. (1958a). Concept of facies, *Am. Assoc. Petrol. Geol. Bull.*, 42, pp. 2718-2744.
- Teichert, C. (1958b). Cold and deep-water coral banks, *Am. Assoc. Petrol. Geol. Bull.*, 42, pp. 1064-1082.
- Terry, C.E., and Williams, J.J. (1969). The Idris "A" Bioherm and Oil field, Sirte Basin, Libya-its commercial development regional Palaeocene geological setting and stratigraphy In: *The Exploration for Petroleum in Europe and North Africa*. (Ed. P. Hepple) Inst. Petrol., London, pp. 31-48.
- Terwindt, J.H.J., and Bereusers, H.N.C. (1972). Experiments on the origin of flaser, lenticular and sand-clay alternating bedding, *Sedimentology*, 19, pp. 85-98.
- Tissot, B.P. and Welte, D.H. (1978). "Petroleum Formation and Occurrence" Springer-Verlage, Berlin. 538p.
- Titmarsh, J. (1986). "Geophysical Well Logging" Academic Press, London, 192p.
- Tooms, J.S., Summerhayes, C.P., and McMaster, R.L. (1971). Marine geological studies on the northwest African margin: Rabat-Daker. In: *The Geology of the East Atlantic Continental Margin*, Vol. 4: Africa, pp. 11-25,



- Inst. geol. Sci. Rept. 70/16.
- Tourtletot, H.A. (1968). Hydraulic equivalence of grains of quartz and heavier minerals, and implications for the study of placers, *U.S. Geol. Survey, Prof. Paper*, 594-F, P. F1-F13.
- Trask, C.B. and Palmer, J.E. (1986). Structure and depositional history of the Pennsylvanian system in Illinois. In "Paleoenvironmental and Tectonic Controls in Coal-forming Basins of the United States" (P.C. Lyons and C.L. Rice, Eds). *Geol. Soc. Am. Spec. Pap.* 210, 63, 78.
- Trask, P.D. (1930). Mechanical analysis of sediment by centrifuge, *Econ. Geology*, 25, pp. 581-591.
- Trask, P.D. (1931). Compaction of sediments, *Am. Assoc. Petrol. Geol. Bull.*, 15, pp. 271-276.
- Trask, P.D. (1932). *Origin and Environment of Source Sediments of Petroleum*, Houston, Texas, Gulf Pub. Co. 323p.
- Trendall, A.F. (1968). Three great basins of Precambrian banded iron formation deposition; a systematic comparison, *Bull. Geol. Soc. Am.*, 79, pp. 1527-1544.
- Tsoar, H. and Pyre, K. (1987). Dust transport and the question of desert loess formation. *Sedol.* 34, pp. 139-153.
- Turnbull, W.J. Krinitsky, E.S., and Johnson, L.J. (1950). Sedimentary geology of the alluvial Valley of the Mississippi River and its bearing on foundation problems In: (Trask, P. D., ed.), *Applied Sedimentation*. Joh. Wiley, New York, pp. 210-226.
- Turner-Peterson, C.E. and Fishman, N.S. (1986). Geologic synthesis and genetic models for uranium mineralization, Grants Uranium Region. New Mexico. In "A Basin Analysis Case Study - The Morrison Formation, Grants Uranium Region, New Mexico" *Am. Ass. Petrol. Geol. Stud. Geol.* 22, pp. 35-52.
- Twenhofel, W.H. (1926). *Treatise on Sedimentation*, Dover Publishing New York, 926p.
- Twendhofel, W.H. (1932). *Treatise on Sedimentation*, the Williams and Wilkins Co., Baltimore, New York.
- Twenhofel, W.H. (1950). *Principles of Sedimentation*, McGraw-Hill Inc., New York, 673p.
- Udden, J.A. (1894). Erosion transportation and sedimentation by the atmosphere, *J. Geol.*, 2, pp. 318-331.
- Udden, J.A. (1896). Dust and sand storms, in the west, *Pop. Sci. Mon.*, 49, pp. 655-664.
- Udden, J.A. (1898). The mechanical composition of wind deposits *Augustana Library Publ.* 1, pp. 1-69.

- Unesco, (1973). Genesis of Pre-Cambrian Iron and Manganese Deposits. *Proc. Kiev. Symposium, 1970*, 382p.
- Valeton, I. (1972). *Bauxites, Development in Soil Science*, No. 1. Elsevier, Amsterdam, 226p.
- Valeton, I. (1973). Pre-bauxite red sediments and sedimentary relicts in Surinam bauxites, *Geologie Mijnb*, 52, pp. 317-334.
- Van Andel, T.H. (1985). "New Views on an Old Planet" Cambridge University Press Cambridge, 318p.
- Van de Kamp, P.C., Conniff, J.J., and Morris, D.A. (1974). Facies relations in the Eocene-Oligocene in the Santa Ynez Mountains, California, *J. Geol. Soc. Lond.*, 130, pp. 54-566.
- Van der Lingen, G.J. (1969). The turbidite Problem, *New Z. J. Geol. Geophys.*, 12, pp. 7-50.
- Van Houten, F.B. (1964). Cyclic lacustrine sedimentation, Upper Triassic Locatong Formation Central new Jersey and adjacent Pennsylvania, *Kansas Geol. Surv. Bull.*, 169, pp. 497-531.
- Van Houten, F.B. (1965). Cyclic lacustrine sedimentation, Upper Triassic Locatong formation, Central New Jersey and adjacent Pennsylvania, In: D. F. Merriam (ed.), *Symposium on Cyclic sedimentation*, Kansas Geol. Surv. Bull., 169, pp. 497-531.
- Van Houten, F.B. (1968). Iron Oxides, in red beds, *Bull. Geol. Soc. Am.*, 79, pp. 399-416.
- Van Loon, A.J. and Brodzikowski, K. (1987). Problems and progress in the research on soft sedimentation deformations. *Sed. Geol.* 50, pp. 167-194.
- Vanoni, Vito, A. (1974). Factors determining bed forms of alluvial streams, *Am. Soc. Civil Engin. Proc.* 100, No. HY3, 377p.
- Vanossi, M. (1964). Il problema delle sepiarie: *Atti dell' Instituto Geol. Univ. Pavia*, 15, pp. 32-88.
- Van Straaten, L.M.J.U. (1954). Composition and structure of recent marine sediments in the Netherlands, *Leidse Geol. Meded.*, 19, 110p.
- Van Straaten, L.M.J.U. (1959a). Littoral and submarine morphology of the Rhone delta. *Proceeding of the 2nd Coastal Geographical conference*, Baton Rouge (Nat. Acad. Sci. Nat. Rec. Council). pp. 233-264.
- Van Straaten, L.M.J.U. (1959b). Minor Structures of some recent littoral and meritic sediments, *Geol. Mijnbouw*, 21, pp. 197-216. - 1960, Some recent advance in the study of deltaic sedimentation, *liverpool Manchester Geol. J.*, 2, pp. 411-442.
- Van Straaten, L.M.J.U. (1964a). Turbidite sediments in the southeastern Adriatic Sea, In: *Turbidities*, (A.H. Bouma and A. Brouwer, Eds.). Elsevier, Amsterdam, pp. 142-147.

- Van Straaten, L.M.J.U. (1964b). *Deltaic and Shallow Marine Deposits*, Developments in sedimentology, Vol. I, UGUP, Amsterdam, Elsevier.
- Van Tuyle, F.M. (1916). The geodes of Keokuk beds, *Am. J. Sci.*, Ser. 4, 42, pp. 34-42.
- Vincent, P. (1986). Differentiation of modern beach and coastal dune sands – a logistic regression approach using the parameters of the hyperbolic function. *Sed. Geol.* 49, pp. 167-176.
- Visher, G.S. (1965a). Use of vertical profile in environmental reconstruction, *Am. Assoc. Petrol. Geol. Bull.*, 49, pp. 41-61.
- Visher, G.S. (1965b). Fluvial processes as interpreted from ancient and recent fluvial deposits, In: (Middleton, G. V., ed.), *Primary Sedimentary Structures and their Hydrodynamic Interpretation*, Soc., Econ. Paleont. Miner. Spec. Publ. 12, pp. 116-132.
- Visher, G.S. (1969). Grain size distribution and depositional Processes, *J. Sed., Petrology*, 39, pp. 1074-1106.
- Visher, G.S. (1972). Physical characteristics of fluvial deposits in Rigby, J. K. and Hamblin, W. K., eds. *Recognition of Ancient Sedimentary Environments*: Soc. Econ. Paleontologists Mineralogists, Spec. Pub. No. 16, pp. 84-97.
- Vitanage, P.W. (1954). Sandstone dike in the South Platte area, Colorado, *J. Geol.*, 62, pp. 493-500.
- Von Engelhardt, W. (1960). *Der Porenraum der Sedimente*: New York, Springer, 207p.
- Von Engelhardt, W. (1967). Interstitial solutions and diagenesis in sediments. In: (G. Larsen and G. V. Chilingar, ed.), *Diagenesis in Sediments*. - Elsevier, Amsterdam, pp. 503-521.
- Von Engelhardt, W. (1976). Interstitial solutions and diagenesis in sediments. In: (G. Larsen and G.V. Chilingar, Eds.), *Diagenesis in Sediments*. Elsevier, Amsterdam, pp. 503-524.
- Von Engelhardt, W., Füchtbauer, H., and Müller, G. (1974). *Sedimentary Petrology, Part. II, Sediments and Sedimentary Rocks I*, Halsted Press, Division, John, Wiley and Sons, Inc., New York, 464p.
- Von, Engelhardt, W. Fuchtbauer, H., and Muller, G. (1977). *Sedimentary Petrology, Part. III, The Origin of Sediments and Sedimentary Rocks*, A Halsted Press Book, John Wiley and Sons, New York, 359p.
- Von, Engelhardt, W. and Pitter, H. (1951). Über die Zusammenhänge Zwischen Porosität, Permeabilität, und Korngrösse bei Sand und Sandsteinen: *Heidelberger Beitr. Min. Pet.*, 2, pp. 477-491.
- Von Gümbel, C.W. (1888). *Grundzüge der Geologie*, Kassel: Fischer, 1144p.
- Von Rad, U. (1971). Comparison between "magnetic" and sedimentary fabric

- in graded and cross-laminated sand layers, southern California, *Geol. Rudsch.*, 60, pp. 331-354.
- Wadell, H. (1932). Volume, Shape, and roundness of rock particles, *J. Geol.* 40, pp. 443-451.
- Wagner, G. (1950). Einführung in die Erd-und landschafts-geschichte, Verlag der Hohenlohe'schen Buchhandlung F. Rau, Ohringen, 664p.
- Walker, R.G. (1965). The origin and significance of the internal sedimentary structures of turbidites, *Proc. Yorks. Geol. Soc.*, 35, pp. 1-32.
- Walker, R.G. (1967a). Turbidite sedimentary structures and their relationship to proximal and distal depositional environments, *J. Sed. Petrology.*, 37, pp. 25-43.
- Walker, R.G. (1967b). Upper flow regime bedforms in turbidites of the Hatch Formation, Devonian of New York State, *J. Sed. Petrology*, 37, pp. 1052-1058.
- Walker, R.G. (1984a). General introduction: facies, facies sequences and facies models. In "Facies Models" (R.G. Walker, Ed.), 2nd edition, pp. 1-9. Geoscience Canada Reprint Series No. 1.
- Walker, R.G. (Ed.) (1984b). "Facies Models", 2nd edition. Geoscience Canada Reprint Series no. 1, 317p.
- Walker, T.R. (1967). Formation of red beds in modern and ancient desert, *Bull. Geol. Soc. Am.*, 78, pp. 353-368.
- Wallace, M.W. (1987). The role of internal erosion and sedimentation in the formation of stromatolites mudstones and associated lithologies. *J. Sed. Petrol.* 57, pp. 695-700.
- Walsh, J.J. (1987). "On the nature of Continental Shelves" Academic Press, London. 515p.
- Weeks, L.G. (1952). Factors of sedimentary basin development that control oil occurrence, *Am. Assoc. Petrol. Geol. Bull.*, 36, pp. 2071-2124.
- Wellman, H.W., and Wilson, A.T. (1965). Salt weathering, a neglected erosive agent in coastal and arid environments, *Nature*, Lond., 205, pp. 1097-1098.
- Wells, A.J. (1986). The dolomite enigma. In "Geology in the Real World" (R.W. Nesbitt and I. Nichol, Eds), pp. 465-473. Inst. Min. Met., London.
- Wells, A.J., and Illing, L.V. (1964). Present day precipitation of calcium carbonate in the Persian Gulf, In: *Deltaic and Shallow Marine Deposits*, (L.M.J.U. Van Straaten, Ed.), pp. 429-435, Elsevier, Amsterdam.
- Wenk, E. (1949). Die Assoziation von Radiolarienhornsteinen mit ophiolithischen Erstarrungsgesteinen als petrogenetisches Problem. *Experimentia*, 6, pp. 226-232.
- Wentworth, C.K. (1922). A scale of grade and class terms for clastic sediments,

- J. Geol.*, 30, pp. 377-392.
- Whalley, W.B. (1972). The description and measurement of sedimentary particles and the concept of form, *J. Sed. Petrology*, 42, pp. 961-965.
- Whetten, J.T. (1965). Carboniferous glacial rocks from the Werrie Basin, New South Wales, Australia, *Bull. Geol. Soc. Am.*, 76, pp. 43-56.
- Whitaker, J.H. Mc D. (1976). *Submarine Conyons and Deep-Sea Fans Modern and Ancient*, Dowden, Hutchinson and Ross, Stroudsburg, Pa. 426p.
- White, G. (1961). Colloid phenomena in the sedimentation of argillaceous rocks, *J. Sed. Petrology*, 31, pp. 560-565.
- White, J.R., and Williams, E.G. (1967). The nature of fluvial processes as defined Archie, G3 G.E. (1950) Introduction to petrophysics of ls, *J. Sed. Petrology*, 37, pp. 530-539.
- Wickremeratne, W.S. (1986). Preliminary studies on the offshore occurrences of monazite-bearing heavy mineral placers, south-western Sri Lanka. *Mar. Geol.* 72, pp. 1-10.
- Williams, G. (1964). Some aspects of the eolian saltation load, *Sedimentology*, 3, pp. 257-287.
- Williams, G.E. (1969). Characteristics and origin of a PreCambrian pediment, *J. Geol.*, 77, pp. 183-207.
- Williams, G.E. (1970). Origin of disturbed bedding in Torridon Group Sandstones, *Scott. J. Geol.*, 6, pp. 409-410.
- Williams, G.E. (1971). Flood deposits of the sandbed ephemeral streams of Central Australia, *Sedimentology*, 17, pp. 1-40.
- Williams, J.J. (1968). The strigraphy and igneous reservoirs of the Augila field, Libya. In: *Geology and Archaeology of Northern Cyrenaica, Libya*, (F. T. Barr, Ed.), Petrol. Explor. Soc. Libya, Tripoli, pp. 197-206.
- Williams, P.F., and Rust, B.R. (1969). The Sedimentology of a braided river, *J. Sed. Petrology*, 39, pp. 649-679.
- Wilson, H.H. (1969). Late Cretaceous and Eugeosynclinal sedimentation gravity tectonics and ophiolite emplacement in Oman Mountains southeast Arabia, *Am. Assoc. Petrol. Geol. Bull.*, 53, pp. 626-671.
- Wilson, I.G. (1972). Aeolian bedforms their development and origins, *Sedimentology*, 19, pp. 173-210.
- Wilson, J.E. and Jordan, C. (1983). Middle Shelf. In "Carbonate Depositional Environments" (P.A. Scholle, D.G. Bebout and C.H. Moore, Eds.). *Am. Ass. Petrol. Geol. Mem.* 33, pp. 345-462.
- Wilson, J.L. (1975). "Carbonate Facies in Geologic History" Springer-Verlage, Berlin, 471p.
- Withrow, P.C. (1968) depositional environments of Pennsylvanian Red Fork Sandstone in N. E. Anadarko basin, pp. 179-290.

- Wright, L.D., and Coleman, J.M. (1973). Variations in morphology of major river deltas as functions of ocean wave and river discharge regimes, *Am. Assoc. Petrol. Geol. Bull.* 57, pp. 370-417.
- Zankle, H. (1969). Structural and textural evidence of early lithification in fine-grained carbonate rocks, *Sedimentology* 12, pp. 241-256.
- Ziegler, V.F. (1911). Factors influencing the rounding of sand grains, *J. Geol.*, 19, pp. 157-191.
- Zingg, Th. (1935). Beitrag Zur Schotteranalyse, Schweiz, *Min. U. Pet. Mitt.* 15, pp. 39-140.

### ثالثاً: المراجع الإضافية

- Allen, P.A., and J.R. Allen, 1990. *Basin Analysis Principles and Applications*: Blackwell, Oxford, 451 p.
- Anadon, P., L.I. Cabrera and K. Kelts (eds.), 1991. "Lacustrine facies analysis," *Internat. Assoc. Sedimentologists. Spec. Pub.* 13. Blackwell, Oxford, 318 p.
- Anderson, J.B., and G.M. Ashley (eds.), 1991. Glacial marine sedimentation: Paleoclimatic significances, *Geol. Soc. America, Spec. Paper* 261, 232 p.
- Ashley, G.A., 1990. Classification of large-scale subaqueous bedforms: A new look at an old problem: *Jour. Sed. Petrology*, v. 60, p. 160-172.
- Barndorff-Nielsen, O.E., and B.B. Willets (eds.), 1991. *Aeolian grain transport I-Mechanics*: Springer-Verlage. Wien, New York, 181p.
- Barron, J.A., 1987. Diatomite: Environmental and geologic factors affecting its distribution, in J.R. Hein (ed.), *Siliceous sedimentary rock-hosted ores and petroleum*: Van Nostrand Reinhold, New York, p. 164-178.
- Bhattacharya, J.P., and R.G. Walker, 1991, River-and wave-dominated depositional systems of the Upper Cretaceous Dunvegan Formation, north-western Alberta: *Bull. Canadian Petroleum Geol.*, v. 39, p. 165-191.
- 1992. Deltas, in R.G. Walker and N.P. James (eds.). *Facies models-Response to sea level changes*: *Geol. Assoc. Canada*, p. 157-178.
- Bremner, J.M. and J. Rogers, 1990, Phosphorite deposits on the Namibian continental shelf, in W.C. Burnett and S.R. Riggs (eds.), *Phosphate deposits of the world: v.3: Neogene to Modern phosphorites*: Cambridge University Press, Cambridge, p. 143-152.
- Brookfield, M.E., 1992, Eolian systems, in R.G. Walker and N.P. James (eds.), *Facies models: Response to sea level changes*, *Geol. Assoc. Canada*, p. 143-156.
- Burnett, W.C., and P.N. Froelich (eds.), 1988, The origin of marine phosphorites: The results of the R. V. Robert D. Conrad Cruise 23-06 to the Peru

- Shelf: *Special issue of Marine Geology*, v. 80, p. 181-346.
- Burnett, W.C., and S.R. Riggs (eds.), 1990, *Phosphate deposits of the world*, v. 3: Neogene to Modern phosphorites: Cambridge University Press, Cambridge, 464p.
- Clifton, H.E., 1988, Sedimentologic relevance of convulsive geologic events, in H.E. Clifton (ed.), *Sedimentological consequences of convulsive geologic events: Geol. Soc. America Spec. Paper* 229, p. 1-5.
- Clifton, H.E., R.E. Hunter, and J.V. Gardner, 1988, Analysis of eustatic, tectonic, and sedimentologic influences on transgressive and regressive cycles in the Upper Cenozoic Merced Formation, San Francisco, California, in K.L. Kleinspehn and C. Paola (eds.) 1988, *New perspectives in basin analysis*: Springer-Verlag, New York, p. 109-128.
- Colella, A., and D.B. Prior (eds.), 1990, Coarse-grained deltas: *Internat. Assoc. Sedimentologists Spec. Pub.* 10, Blackwell, Oxford, 357p.
- Collinson, J.D., and D.B. Thompson, 1989, *Sedimentary structures*, 2nd ed.: Harber Collins Academic. New York, 208p.
- Cowen, R., 1988, The role of algal symbiosis in reefs through time. *Palaos*, v.3, p. 221-227.
- Crevello, P.D., J.L. Wilson, J.F. Sarg, and J.F. Read (eds.), 1989, Controls on carbonate platform and basin development: *Soc. Econ. Paleontolgosits and Mineralogists Spec. Pub.* 44, 405p.
- Dalrymple, R.W., 1992, Tidal depositional systems, in R.G. Walker and N.P. James (eds.) *Facies models: Geol. Assoc. Canada*, p. 195-238.
- Dalrymple, R.W., B.A. Zaitlin, and R. Boyd, 1992, Estuarine facies models: Conceptual basin and stratigraphic implications: *Jour. Sed. Petrology*. v. 62, p. 1130-1146.
- Davis, R.A., Jr., 1992, *Depositional systems*, 2nd ed.: Prentice-Hall, Englewood Cliffs, N.J., 604p.
- Eyles, N., and C.H. Eyles, 1992, Glacial depositional systems, in R.G. Walker and N.P. James (eds.), *Facies models: Response to sea level changes: Geol. Assoc. Canada*, p. 73-100.
- Fedo, C.M., and J.D. Cooper, 1990, Braided fluvial to marine transition: The basal Lower Cambrian Wood Canyon Formation, southern Marble Mountains, Mojave Desert, California: *Jour. Sed. Petrology*, v. 60, p. 220-234.
- Forrest, J., and N.R. Clark, 1989, Characterizing grain size distributions: Evaluation of a new approach using multivariate extension of entropy analysis: *Sedimentology*, v. 36, p. 711-722.
- Frostick, L.E., and I. Reid, 1987, Desert sediments: Ancient and Modern: *Geol. Soc. Spec. Pub.* 35, Blackwell, Oxford, 401p.

- Geldsetzer, H.H.J., N.P. James, and G.E. Tebbutt (eds.), 1988, Reefs, Canada and adjacent areas: *Canadian Soc. Petroleum Geologists Mem.* 13, 775p.
- Geyh, M.A., and H. Schleicher, 1990, *Absolute age determination*: Springer-Verlag, Berlin, 503p.
- Glennie, K.W., 1987, Desert sedimentary environments, present and past A summary: *Sed. Geology*, v.50, p. 135-166.
- Godwin, P.D., 1991, Fining-upward cycles in the sandy braided-river deposits of the Westwater Canyon Member (Upper Jurassic), Morrison Formation, New Mexico: *Sed. Geology*, v. 70, p. 61-82.
- Greensmith, J.T., 1989, *Petrology of the sedimentary rocks*, 7th ed.: Unwin-Hyman, London, 262p.
- Haq, B.U., J. Hardenbol, and P.R. Vail, 1988, Mesozoic and Cenozoic chronostratigraphy and eustatic cycles, in C.K. Wilgus, B.S. Hastings, C.G. St. G. Kendall, H. W. Posamentier, G.A. Ross, and J.G. Van Wagoner (eds.), Sea-level changes: An integrated approach: *Soc. Econ. Paleontologists and Mineralogists Spec. Pub.* 42. p. 71-108.
- Hardie, L.A., 1987, Dolomitization: A critical view of some current views: *Jour. Sed. Petrology*, v. 57, p. 166-183.
- 1991, On the significance of evaporites: *Ann. Rev. Earth and Planetary Sciences*, v. 19, p. 131-168.
- Hadist, J., 1990, *Beaches-Form and process*: Unwin Hyman, London, 324p.
- Harris, P.M., C.H. Moore, and J.L. Wilson, 1985, Carbonate depositional environments, modern and ancient: Pt. 2: Carbonate platforms: *Colorado School of Mines Quarterly*, v. 80, no. 4, p. 1-60.
- Hesp. P., and S.G. Fryberger (eds.), 1988, Eolian sediments: *Sed. Geology*, v.55, p. 1-163 (special issue devoted to eolian sediments).
- Hsü, K.J., 1989, *Physical principles of sedimentology*: Springer-Verlag, Berlin, 233p.
- Hubbard, D.K., 1992, Hurricane-induced sediment transport in open-shelf tropical systems-An example from St. Croix, U.S. Virgin Islands: *Jour. Sed. Petrology*, v. 62, p. 946-960.
- Ingersoll, R.V., 1988 Tectonics of sedimentary basins: *Geol. Soc. America Bull.*, v. 100, p. 1704-1719.
- James, N.P., and P.A. Bourque, 1992, Reefs and mounds, in R.G. Walker and N.P. James (eds.), Facies models-Response to sea level change: *Geol. Assoc. Canada*, p. 323-348.
- James, N.P., and A.C. Kendall, 1992, Introduction to carbonate and evaporite facies models, in R.G. Walker and N.P. James (eds.), Facies models-Response to sea level change: *Geol. Assoc. Canada*, p. 265-276.
- James, N.P., and I.G. Macintyre, 1985, Carbonate depositional environments,



- modern and ancient: Pt. 1: Reefs: *Colorado School of Mines Quarterly*, v. 80, no. 3, p. 1-70
- Jenkyns, H.C. 1986. Pelagic environments, in H.G. Reading (ed.). *Sedimentary environments and facies*, 2nd ed.: Blackwell, Oxford, p. 343-397.
- Johnson, M.J., R.F. Stallard, and R.H. Meade, 1988. First-cycle quartz arenites in the Orinoco River basin. Venezuela and Colombia: *Jour. Geology*, v. 96, p. 263-277.
- Jones, B. and A. Desrochers, 1992. Shallows platform carbonates, in R.G. Walker and N.P. James (eds.), *Facies models: Response to sea level change: Geol. Assoc. Canada*, p. 277-301.
- Jones, D.L. and B. Murchey, 1986. Geologic significance of Paleozoic and Mesozoic radiolarian chert: *Ann. Rev. Earth and Planetary Science Letters*, v. 14, p. 455-492.
- Kennedy, S.K. and J. Mazzullo, 1991. Image analysis method of grain size measurement. in J.P. Syvitski (ed.). *Principles, methods, and applications of particle size analysis*: Cambridge University Press, Cambridge, p. 76-87.
- Klein, G. deV., 1987. Current aspects of basin analysis: *Sed. Geology*, v. 50, p. 95-118.
- Krinsley, D.H. and P. Trusty, 1986. Sand grain surface textures, in G. De. C. Sieveking and M.B. Hart (eds.). *The scientific study of flint and chert*: Cambridge University Press, Cambridge, p. 201-207.
- LaBerge, G.L., E.I. Robbins, and T.M. Han, 1987. A model for the biological precipitation of Precambrian iron-formation – A: Geologic evidence, in P.W.U. Appel and G.L. LaBerge (eds.), *Precambrian iron-formations*: Theophrastus, S.A., Athens, Greece, p. 69-96.
- Leighton, M.W., D.R. Kolata, D.F. Oltz, and J.J. Eidel, (ed.), 1990. Interior cratonic basins: *Am. Assoc. Petroleum Geologists Mem.* 51, Tulsa, Okla, 819 p.
- Lepp, H., 1987. Chemistry and origin of Precambrian iron formations, in P.W.U. Appel and G.L. LaBerge, 1987. *Precambrian iron-formations*: Theophrastus, S.A., Athens, Greece, p. 3-30.
- Lindholm, R., 1987. *A Practical Approach to Sedimentology*: Allen and Unwin, London, 276 p.
- MacDonald, D.I.M., 1991. Sedimentation, tectonics and eustasy: Sea-level changes at active margins: *Internat. Assoc. Sedimentologists Spec. Pub.* 12, Blackwell, Oxford, 518 p.
- Machel, G.G. and E.W. Mountjoy, 1986. Chemistry and environments of dolomitization – A. *reappraisal: Earth Science Rev.*, v. 23, p. 175-22.
- Macintyre, I.G. and R.P. Reid, 1992. A comment on the origin of aragonite needle mud: A picture is worth a thousand words: *Jour. Sed. Petrology*, v. 62,

- p. 1095-1097.
- Maliva, R.G., 1989. Nodular chert formation in carbonate rocks: *Jour. Geology*, v. 97, p. 421-433.
- Maliva, R.G. and R. Siever, 1988a. Pre-Cenozoic nodular cherts: Evidence for opal-CT precursors and direct quartz replacement: *Am. Jour. Science*, v. 288, p. 798-809.
- Maliva, R.G. and R. Siever, 1988b. Diagenetic replacement controlled by force of crystallization: *Geology*, v. 16, p. 688-691.
- Maliva, R.G. and R. Siever, 1989. Chertification histories of some Late Mesozoic and Middle Paleozoic platform carbonates: *Sedimentology*, v. 36, p. 907-926.
- Manley, P.L. and R.D. Flood, 1988. Cyclic sediment deposition within Amazon deep-sea fan: *Am. Assoc. Petroleum Geologists Bull.*, v. 72, p. 912-925.
- Marshall, J.R. (ed.), 1987. *Clastic particles: Scanning electron microscopy and shape analysis of sedimentary and volcanic clasts*: Van Nostrand Reinhold, New York, 346 p.
- Melvin, J.L. (ed.), 1991. *Evaporites, petroleum and mineral resources*: Elsevier, Amsterdam, 555 p.
- Miall, A.D. 1986. Eustatic sea-level changes interpreted from seismic stratigraphy: A critique of the methodology with particular reference to the North Sea Jurassic record: *Am. Assoc. Petroleum Geologists Bull.* v. 70, p. 131-137.
- 1990. *Principles of sedimentary basin analysis*, 2nd ed.: Springer-Verlag, New York, 668 p.
- 1991. Stratigraphic sequences and their chronostratigraphic correlation: *Jour. Sed. Petrology*, v. 61, p.497-505.
- 1992. Alluvial deposits, in R.G. Walker and James, N.P. (eds.). Facies models: Response to sea level changes: *Geol. Assoc. Canada*. p. 119-142.
- Middleton, G.V., 1993. Sediment deposition from turbidity currents: *Ann. Rev. Earth and Planetary Sciences*, v. 21, p. 89-114.
- Moore, C.H., 1989. *Carbonate diagenesis and porosity*: Elsevier, Amsterdam.
- Morton, A.C., S.P. Todd, and P.D.W. Haughton, (eds.), 1991. Developments in sedimentary provenance studies: *Geol. Soc. Spec. Pub.* 57, London, 370 p.
- Morton, R.A., 1988. Nearshore responses to great storms, in H.E. Clifton (ed.). Sedimentologic consequences of convulsive geologic events: *Geol. Soc. America Spec. Paper* 229, p. 7-22.
- Murray, R.W., D.L. Jones, and M.R. ten Brink, Bucholtz, 1992. Diagenetic formation of bedded chert: Evidence of from chemistry of chert-shale couplet: *Geology*, v. 20, p. 271-274.

- Nelson, C.S., 1988. An introductory perspective on non-tropical carbonates: *Sed. Geology*, v. 60, p. 3-12.
- Nemic, W., 1990. Deltas – Remarks on terminology and classification, in A. Colella and D.B. Prior (eds.), *Coarse-grained deltas*: Internat. Assoc. Sedimentologists Spec. Pub. 10, Blackwell, Scientific Publications, Oxford, p. 3-12.
- Nemic, W., and R.J. Steel (Eds.), 1988a. What is a fan delta and how do we recognize it?, in W. Nemic and R.J. Steel (eds.), *Fan deltas*: Sedimentology and tectonic settings: Blackie, Glasgow and London, p. 3-13.
- Nemic, W. and Steel, R.J. (eds.), 1988b. *Fan deltas: Sedimentology and tectonic settings*: Blackie, Glasgow and London, 444 p.
- Nilsen, T.H. (ed.), 1985. *Modern and ancient alluvial fan deposits*: Van Nostrand Reinhold, New York, 372 p.
- Nio, S.D. and C. Yang, 1991. Diagnostic attributes of clastic tidal deposits: A review in D.G. Smith, G.E. Reinson, B.A. Zaitlin and R.A. Rahmani (eds.), *Clastic tidal sedimentology*: Canadian Soc. Petroleum Geologists, p. 3d-28.
- Norholt, A.J.G., R.P. Sheldon, and D.F. Davidson, (eds.), 1989. *Phosphate deposits of the world*, v. 2: Phosphate rock resources: Cambridge University Press, Cambridge, 566 p.
- Nummedal, D., O.H. Pilkey, and J.D. Howard, (eds.), 1987. Sea-level fluctuation and coastal evolution: *Soc. Econ. Paleontologists and Mineralogists Spec. Pub.* 41, 276 p.
- Oertel, G.F. and S.P. Leatherman, (eds.), 1985. Barrier islands: *Marine Geology*, v. 63, p. 1-396.
- Osborne, R.H. (ed.), 1991. From shoreline to abyss: Contributions in marine geology in honor of Francis Parker Shepard: *Society for Sedimentary Geology Spec. Pub.* 46, 320 p.
- Osleger, D. and F. Read, 1991. Relation of eustasy to stacking patterns of meter-scale carbonate cycles, Late Cambrian, U.S.A.: *Jour. Sed. Petrology*, v. 61, p. 1225-1252.
- Pemberton, S.G., J.A. MacEachern, and R.W. Frey, 1992. Trace fossil facies models: Environmental and allostratigraphic significance, in R.G. Walker and N.P. James (eds.), *Facies models – Response to sea level change*: Geol. Assoc. Canada, p. 47-72.
- Pettijohn, F.J., P.E. Potter, and R. Siever, 1987. *Sand and sandstone*, 2nd ed.: Springer Verlag, New York, 553 p.
- Piazzola, J. and V.V. Cavaroc, 1991. Comparison of grain-size-distribution statistics determined by sieving and thin-section analyses: *Jour. Geological Education*, v. 39, p. 364-367.

- Pickering, K.T., R.N. Hiscott, and F.J. Hein, 1989. *Deep marine environments: Clastic sedimentation and tectonics*: Unwin Hyman, London, 416 p.
- Pye, K. and H. Tsoar, 1990. *Aeolian sand and sand dunes*: Unwin Hyman, London, 396 p.
- Reinhardt, J., and W.R. Sigleo, (eds.), 1988. *Paleosols and weathering through geologic time: Principles and applications*: Geol. Soc. American Spec. Paper 216, 181 p.
- 1992. Transgressive barrier island and estuarine systems, in R.G. Waker and N.P. James (eds.), *Facies models*: Geol. Assoc. Canada, p. 179-194.
- Retallack, G.J., 1988. Field recognition of paleosols, in J. Reinhardt and W.R. Sigleo (eds.) *Paleosols and weathering through geologic time*: Geol. Soc. Amer. Spec. Paper 216, p. 1-20.
- 1990. *Soils of the past*: Soils of the past: Unwin Hyman, Boston, 520 p.
- Revelle, R. (ed.), 1990. *Sea level change*: National Research Council, Studies in Geophysics: National Academy Press, Washington, D.C. 234 p.
- Rider, M.H., 1986. *The Geological interpretation of well logs*: John Wiley & Sons, New York, 175 p.
- Russell, P.L., 1990. *Oil shales of the world: Their origin, occurrence and exploitation*: Pergamon Press, Oxford, 736 p.
- Schieber, J., 1987. Small scale sedimentary iron deposits in a mid-Proterozoic basin: Viability of iron supply by rivers, in P.W.U. Appel and G.L. LaBerge (eds.), *Precambrian iron-formations*: Theophrastus, S.A., Athens, Greece, p. 267-295.
- Schreiber, B.C., 1988. Subaqueous evaporite deposition, in B.C. Schreiber (ed.), *Evaporites and hydrocarbons*: Columbia University Press, New York, p. 182-225.
- Schreiber, B.C., C.M. Tucker, and R. Till, 1986. Arid shorelines and evaporites in H.G. Reading (ed.), *Sedimentary environments and facies*: Blackwell, p. 189-228.
- Schroeder, J.H. and B.H. Purser, 1986. *Reef diagenesis*: Springer-Verlag, Berlin, 455 p.
- Schumm, S.A., 1977. *The fluvial system*: John Wiley & Sons, New York: 388 p.
- Sheldon, R.P., 1989. Phosphorite deposits of the Phosphoria Formation, western United States, in A.J.G. Nothold, R.P. Sheldon, and D.F. Davidson (eds.), *Phosphate deposits of the world*, v. 2: Phosphate rock resources: Cambridge University Press, Cambridge, p. 53-61.
- Sibley, D.F. and J.M. Gregg, 1987. Classification of dolomite rock textures: *Jour. Sed. Petrology*, v. 57, p. 967-975.
- Singer, J.K., J.B. Anderson, M.T. Ledbetter, I.N. McCave, K.P.N. Jones, and R. Wright, 1988. An assessment of analytical techniques for size analysis

- of fine-grained sediments: *Jour. Sed. Petrology*, 58, p. 534-543.
- Soudry, D., 1992. Primary bedded phosphorites in the Campanian Mishash Formation, Negev, Southern Israel: *Sed. Geology*, v. 80, p. 77-88.
- Southard, J.B. and L.A. Boguchwal, 1990. Bed configurations in steady, unidirectional water flows, Pt. 2: Synthesis of flume data: *Jour. Sed. Petrology*, v. 60, p. 658-679.
- Syvitski, J.P.M., 1991. *Principles, methods, and applications of particle size analysis*: Cambridge University Press, Cambridge, 368 p.
- The Open University Team, 1989. *Waves, tides and shallow-water processes*: Pergamon Press, Oxford, 187 p.
- Tucker, M.E., J.L. Wilson, P.D. Crevello, J.R. Sarg, and J.F. Read, 1990. *Carbonate platforms – Facies, sequences and evolution*: Internat. Assoc. Sedimentologists Spec. Pub. 9, Blackwell, Oxford, 328 p.
- Tucker, M.E. and V.P. Wright, 1990. *Carbonate sedimentology*: Blackwell, Oxford, 482 p.
- Walker, R.H., 1992. Facies, facies models and modern stratigraphic concepts, in R.G. Walker and N.P. James (eds.), *Facies models – Response to sea level change*: Geol. Assoc. Canada, p. 1-14.
- Walker, R.G. and N.P. James (eds.), 1992. *Facies models – Response to sea level changes*: Geol. Assoc. Canada, 407 p.
- Ward, L.G. and G.M. Ashley, 1989. Physical processes and sedimentology of siliciclastic-dominated lagoonal system: *Marine Geology*, v. 88 p. 181-364.
- Williams, H., F.J. Turner, and C.M. Gilbert, (1982). *Petrography, An Introduction to the Study of Rocks in Thin Sections*, W.H. Freeman and Company, San Francisco, 626p.
- Yound, T.P., 1989. Phanerozoic ironstones: An introduction and review, in T.P. Yound and W.E.G. Taylor (eds.), *Phanerozoic ironstones*: Geol. Soc. Spec. Pub. 46. The Geological Society, London, p. ix-xxv.
- Young, T.P. and W.E.G. Taylor, (eds.), 1989. *Phanerozoic ironstones*: Geol. Soc. Spec. Pub. 46. The Geological Society, London, 251 p.
- Zuffa, G.G. (ed.) *Provenance of arenites*: D. Reidel, Dordrecht, 408 p.



## ثبت المصطلحات العلمية

أولاً: عربي - إنجليزي



Apatite	أباتيت (أحد المعادن الثقيلة)
Geometry	أبعاد حجمية
Pore geometry	أبعاد المسام
Acicular	إبري
Pollers	أبواغ (جمع بوعغة - حبوب اللقاح)
Flutes	أبواق
Paleowind direction	اتجاه الريح القديم
Spreading	اتساع
Ichnofossils	أثار الأحافير
Tracks	أثار زحف الحيوانات الفقارية
Animal track	أثر أقدام الحيوانات
Vertebrate tracks	أثر أقدام الحيوانات الفقارية
Tamarisks	أثل (شجر)
Brine	أجاج (ماء فوق مشبع بالملح)
Riffles	أجزاء قليلة العمق أو مرتفعات قاع النهر
Tidal sand bodies	أجسام رمل المد
Monominerallic	أحادية المعدن
Monodinic	أحادي الميل

Trace fossils	أحافير أثرية (أي تترك أثرها على الصخر الرسوبي)
Benthonic fossils	أحافير بنتونية
Dolomitised fossils	أحافير مندلثة
Silicified fossils	أحافير متسلكنة
Lithified fossils	أحافير متصخرة
	أحجار جير خشنة (مقاس حبيباتها في مقاس حبات الرمل) ويطلق عليها أحيانا
Calcareenite	رمل جيرى
Reefal limestones	أحجار جير شُعْبِيَّة
Allochemical limestones	أحجار جير كيميائية غير نقية
Phanerozoic ironstone	أحجار حديد ما بعد الكامبري
Sandstones	أحجار الرمل
Calcareous sandstones	أحجار رمل جيرية (كلسية)
Argillaceous sandstones	أحجار رمل طينية
Orthoclastones	أحجار الطين النقية
Marlstones	أحجار المرل
Packstones	أحجار معبأة
Calclutite	أحجار وحل الجير (أحجار الوحل الكلسي)
Pure organic mud rocks	أحجار وحلية عضوية نقية
Silt grade	أحجام حبيبات الغرين
Lithic graywacke	أحد أصناف الرمل غير النقي (جريواكي صخري)
Litharenite	أحد أصناف الرمل النقي (حجر رمل صخري)
Bands	أحزمة، أشرطة، سيور
Fine banding	أحزمة رفيقة
Black bands	أحزمة سوداء (طبقات سوداء ضئيلة السمك)
Clay bands	أحزمة طينية
Replacement	إحلال : استبدال
Compacted	أحكم أو أدمج
Fault bounded intracratonic basins	أحواض مُحْبَنَة بحرية محاطة بصدوع
Ancient geosynclines	أحواض ترسيب قديمة (قعاثر عظمى قديمة)
Actively subsiding basins	أحواض ترسيب نشطة
Geosyncline troughs	أحواض ترسيب هابطة عملاقة (أحواض القعاثر العظمى)



Organisms	أحياء (كائنات حية - مُتعَضِّيات)
Flora	أحياء نباتية
Dwelling organisms	أحياء (نباتات وديدان) ثابتة ثاقبة
Fauna	أحياء حيوانية
Planktonic organisms	أحياء عالقة في المياه
Sedentary invertebrates	أحياء لا فقارية جليسة
Sessile organisms	أحياء متصلة بالقاع (طائفة اللاعنقية)
Flanking ridges	أُخْدُود أو حواجز متجنحة أو جانبية
Submarine canyons	أخاديد بحرية (خنادق بحرية)
Reduction	اختزال
Bacterial reduction	اختزال بكتيري (راجبي)
Vertical variation in grain size	اختلافات عمودية في أحجام الحبيبات
Canyon	أخدود بحري : خانق بحري
Excrement = Excretes	إخراجات (فضلات) : إفرازات
Coarser upward	أخشن في الاتجاه العلوي
Aragonite (CaCO <sub>3</sub> )	أراجونيت (أحد معادن الكربونات)
Microcrystalline aragonite	أراجونيت دقيق التبلور (مجهرى)
Clay bonding	ارتباط طيني
Ripple height	ارتفاع النيم
Slate	أردواز (صخر متحول)
Aggradation	إرساب (تُجمُّع)
Shelves	أرصفة : أرفف
Shallow marine shelves	أرصفة بحرية قليلة العمق
Tectonic shelves	أرصفة تكتونية
Continental shelves	أرصفة قارية
Modern carbonate shelves	أرصفة الكربونات الحديثة
Terrane	أرض
Older volcanic terrane	أرض بركانية قديمة
Hard ground	أرض صلبة (قاسية)
Terrain	أرضية أو قاع صخري
Overbank terrian	أرضية عبر القناة

Micrite matrix	أرضية من الجير دقيق الحبيبات (راسب أرضية جيري)
Arkose	أركوز (أحد أنواع أحجار الرمل)
Archeocyathids	أركيوسياثيدز (جنس منقرض من عصر الكامبري ذو هيكل جيري)
Winnowed out	أزيع ، أستبعد (تذري)
Roundness	استدارة
Cathodoluminescence	استضاءة المهبط
Scoured surfaces	أسطح مخدوشة أو محتونة
Scolithus	أسطوانات عمودية بسيطة
Disc (oblate = tabular)	أسطوانة ، قرص (أحد رتب تكور الحبيبة)
Asphalt	أسفلت (أحد أنواع المركبات الهيدروكربونية العضوية)
Sponge(s)	إسفنج (الأسفنجيات)
Calcareous sponges	إسفنجيات كلسية
Bed form	أشكال طبقية (أو تشكيل الطبقات)
Lamellibranch shells	أصداف الرخويات
Shells of protozoa	أصداف الأوليات (أو طائفة البروتوزوا)
Trapping	اصطياد
Secondary origin	أصل نشأة ثانوي
Intence bioturbation	اضطرابات حيوية شديدة
Shales	أطيان صفائحية
Platelets	أطباق صغيرة : طبقات
Clay paltelets	أطباق طينية صغيرة : طبقات طينية
Echinoid plates	أطباق القنفذيات
Sets	أطقم : مجموعة
Coset	أطقم (مفرد طقم)
Aragonite muds	أطيان الأراجونيت
Reflux	إعادة
Recrystallization	إعادة تبلر
Reworked	إعادة ترسيب
Reworking	إعادة التشكيل والترسيب
Recycle	إعادة دورة
Pelagic	(أعمق المناطق البحرية) لحي أو لجة

Sheltered bays	أغباب محمية
Crusts	أغطية أو قشور
Tests	أغلفة أو أصداف
Test of radiolaria	أغلفة الشعاعيات
Horizon(s)	أفق (أفاق)
Illuvial	أفق التجمع والتراكم
Excretes = Excrement	إفرازات = إخراجات (فضلات)
Arctic and anarctic regions	الأقاليم القطبية الشمالية والجنوبية
Tropical regions	أقاليم مدارية
Ice caps	أقبية ثلجية: قلسوات ثلجية
Less stable	أقل ثباتا
Heavy minerals province	إقليم المعادن الثقيلة
Albitization of feldspars	ألbite الفلسبارات
Ferric oxides	أكاسيد حديدية
Hydrated oxides	أكاسيد متميئة
More stable	أكثر ثباتا
Neutralized	أكثر حيادة
Polycyclic	أكثر من دورة (متعدد الدورات)
Acheocyathides	أكويسياتيدز (أحد أنواع المرجان من العصر الكامبري)
Albite (Na-Feldspar)	البايت (فلسبار الصوديوم - معدن)
Bonding	التحام
Sediment-water-interface	التقاء سطحي الراسب مع الماء
Alumina	ألومينا
Sand body trend	امتداد الجسم الرملي
Ammonite opercula	آمونية غطائية: غطاء آمونيتي
Frost heaving	انتفاخ الصقيع
Anthracite	أنثراسايت (أحد رتب الفحم وأجودها)
Positively skewed	انحراف موجب
Erratic subsidence	انخفاض غير منتظم
Sliding	انزلاق
Texture of sediments	أنسجة الرواسب

Diagenetic textures	أنسجة متغيرة (ذات نشأة كيميائية ما بعدية)
Grain flow	انسياب الحبيبات = تدفق الحبيبات
Abraide - stream system	أنظمة قنوات الأنهار المتفرعة
Crevasse splay	انكسارات أو شقوق
Stratigraphic breaks	انكسارات طبقية : انقطاعات (توقفات) طبقية
Ankerite (Ca (MgFe) (CO <sub>3</sub> ) <sub>2</sub> = Ferroan dolomite	أنكرايت وهو دلويميت حديدي (أحد معادن الكربونات)
Finer upward	أنعم أو أدق في الاتجاه العلوي
Submergence	انغمار
Submerged	انغمر (تحت سطح البحر)
Braided rivers	أنهار متشعبة
Intermittent streams	أنهار متقطعة
Meandering streams	أنهار ملتوية أو متعرجة
Anhydrite	أنهيدريت (معدن)
Varieties of apatite	أنواع مختلفة من معدن الأباتيت
Anorthite (Ca-feldspar)	أنورثيت (فلسبار الكالسيوم - معدن)
Nuclei	أنوية
Avalanches (rock falls)	انهيارات (أو سقوط الصخور)
Opal	أوبال (حجر كريم يتكون من محلول السليكا غير المتبلورة)
Euhedral faces	أوجه بلورية كاملة
Carbonate muds	أوحال جيرية (كربوناتية)
Patches of dolomite	أوصال الدلومايت
Oxides	أكاسيد، أكاسيد
Protozoa	الأوليات (حيوانات وحيدة الخلية)
Illite	إلَّيت (أحد معادن الطين)
Hydroxyle ions	أيونات الأكسجين المتسمى

ب

Barite	باريت (معدن)
Pisolite (pisolith)	بازلا صخرية جيرية
Incipient schistose textures	بداية تكوين نسيج الشست (أنسجة شستوزية مبتدئة)

Traction carpet	بساط مجرور أو مسحوب
Fyord (Fiord)	بحر شبه مغلق (زقاق بحري تكتفه الأجراف): (فيورد)
Marine	بحري
Playas	بحيرات سبخية صحراوية
Desert playas	بحيرات سبخية صحراوية
Playas lakes	بحيرات صحراوية
Lacustrine (Lake)	بحيرة
Ox-bow lake	بحيرة قوسية معزولة
Lake (Lacustrine)	بحيرة
Faeces	براز: غائط
Barchan (Barkhan)	برخان (أحد أنواع الكثبان الرملية)
Volcanic	بركاني
Pools	برك أو منخفضات قاع النهر
Lagoon	بركة شاطئية بحرية
Shallow water lagoon	بركة شاطئية بحرية قليلة العمق
Modern lagoons	برك شاطئية حديثة
Amphibian	برمائيات
Heave	بروز أو نتوء (انتفاخ)
Submetallic luster	بريق تحت أو شبه معدني
Pediments	بطاح
Gastropods	بطنيات الأرجل أو الأقدام (من الرخويات)
Post-depositional	بعد الترسيب
Post-pleistocene	بعد عصر البلايستوسين
Shell remains	بقايا المحاربات (محارية): بقايا صدقية
Anaerobic bacteria	بكتيريا لا هوائية (عاشية بلا أكسجين طليق)
Aerobic bacteria	بكتيريا هوائية
Planktones	بلاكتونيات: عوالق (كائنات حيوانية أو نباتية عالققة في المياه)
Pleistocene	بلايستوسين (أحد العصور القديمة)
Idiomorphic crystals	بلورات كاملة الشكل والبنية
Rhomb shaped crystals	بلورات معينة الشكل
Orogeny	بناء الجبال (تجبل)

Bentonite	بتونيت (صخر رسوبي من أصل بركاني)
Structures	بُنيّات أو تشكلات
Rain prints structures	بُنيّات آثار المطر
Bioturbation-structures	بُنيّات اضطرابية حيوية
Post-depositional structures	بُنيّات بعد الترسيب
Exogenetic	بُنيّات تتشكل بالقرب من (أو على) سطح الراسب
Endogenetic	بُنيّات تتشكل تحت سطح الراسب
Predepositional structures	بُنيّات تتشكل قبل الترسيب
Load structures	بُنيّات الثقل أو الحمل
Intrabed structures	بُنيّات داخل الطبقات
Mount shaped structures	بُنيّات (صخرية عضوية) ذات شكل بارز
Sedimentary structures	بُنيّات رسوبية
Concentric layered structures	بُنيّات طبقية متحدة المركز
Algal structures	بُنيّات طحلبية
Interbed structures	بُنيّات قبل الترسيب متواجدة بين الطبقات
Syn depositional structures	بُنيّات متزامنة الترسيب
Miscellaneous structures	بُنيّات متنوعة
Fodichnia	بُنيّات مسالك تغذية الديدان
Repichnia	بُنيّات مسالك زحف الديدان
Cryptoturbation structures	بُنيّات مشوهة ومضطربة: بُنيّات خفية الإضطراب
Convolute structures	بُنيّات مطوية أو ملفوفة
Gas heave structure	بُنيّات تنوءات الغاز: بُنيّات بروز غازية
Tetralnet state	بُنيّة أيونية رباعية التكافؤ
Concentric structure	بُنيّة دائرية وحيدة المركز
Atomic structure	بُنيّة ذرية
Stratiform	بُنيّة طبقية
Sand dikes structure	بُنيّة قواطع الرمل
Salt pseudomorph structure	بُنيّة الملح الكاذبة
Porcellanite	بورسلينيت (صخر)
Bauxite	بوكسيت (معدن)
Transitional environment	بيئة انتقالية

Lacustrine environment	بيئة بحيرية
Shallow environment	بيئات بحرية قليلة العمق
Subenvironments	بيئات تحتية
Fluvial subenvironment	بيئات تحت نهريّة
Delta environment	بيئة دلتاوية
Marine environment	بيئة بحرية
Marine shoal environment	بيئة بحرية قليلة العمق أو ضحلة
Hydrodynamic environment	بيئة ديناميكية متميئة
Sedimentary environment	بيئة رسوبية
Sedimentary environment of equilibrium	بيئة رسوبية متوازنة
Reef environment	بيئة شعابية
Desert environment	بيئة صحراوية
High energy environment	بيئة عالية النشاط أو الطاقة
Continental environment	بيئة قارية
Pelagic environment	بيئة لحيّة
Low energy environment	بيئة منخفضة الطاقة
Fluvial environment(s)	بيئة نهريّة (بيئات نهريّة)
Bituminous	بيتومين (أحد رتب الفحم)
Pyrite	بيريت (معدن)
Elliptical	بيضاوي : بيضية الشكل
Interbed	بين الطبقات



Oscillation of the fluid	تأرجح السائب
Oxidation	تأكسد
Abrasion	تآكل
Taconite	تاكونيت (معدن)
Drusy crystallization	تبلور نتوحي
Regressive sequence	تتابع تراجعى
Transgressive sequence	تتابع تقدمى
Coarsening upward sequence	تتابع بسخنى تَحْسَنُ فيه الحبيبات في الاتجاه العلوي

Fining upward sequence	تتابع سِخَنيّ تنعم فيه الحبيبات في الاتجاه العلوي
Vertical and horizontal sequences	تتابعات رأسيّة وأفقية
Sank	تنغمر أو تغرق
Sea ward	تجاه البحر
Cavities	تجاويف (فجوات متأكلة)
Conical aggregates	تجمعات مخروطية
Weathering	تجوية
Insolation weathering	تجوية بأشعة الشمس : تجوية شمسية
Physical weathering	تجوية فيزيائية
Micritization	تجير (أو تكوين الجير الدقيق الحبيبات)
Algal micritization	تجير طحلبي
Eroded	تخاتي أو محتوت
Subdivision	تحت تقسمي = شبه تقسمي أو تَقْسِمَات
Subgreywacke	تحت جريواكي (أحد أنواع أحجار الرمل): شبه الجريواكي
Subaqueous	تحت سطح الماء
Subtidal	تحت المد
Below wave base	تحت مستوى قاعدة الموج
Below photic zone	تحت منطقة اختراق أشعة الشمس
Decomposition	تحلل
Environmental analysis	تحليل بيئي
Facies analysis	تحليل سِخَنيّ
Metasomatic	تحول معدني صلب
Low grade metamorphism	تحول منخفض الرتبة
Current lineation	تخطيط التيار: تخطيط تباري
Infiltration	تخلل
Wind deflation	تخوية أو تفريغ الريح : تخوية ريحية
Deflation	تخوية - تفريغ
Rolling	تدحرج
Grain supported	تدعيم حبيبي
Quasi-equilibrium flows	تدفقات ثابتة السرعة ومتساوية الإتران
Mud flow	تدفقات الوحل أو الطين



Subsurface flow	تدفق تحت سطحي
Paleocurrent flow	تدفق التيار القديم : تدفق تيارى قديم
Grain flow	تدفق الحبيبات
Debris flow	تدفق حطامي
Lava flow	تدفق الحمم أو اللابة
Over flow	تدفق طفحي
Shooting flow	تدفق الطلقة
Mass flow	تدفق الكتلة
Laminar flow	تدفق مترق هادىء : تدفق إنسيابي
Turbulent flow	تدفق مضطرب
Newtonian flow	تدفق نيوتوني
Tranquil flow	تدفق هادىء وضعيف
Dolomitization	تدلّت - دلته : (عملية تكوين الدولوميت)
Late diagenetic dolomitization	تدلّت مابعدى : دلته مابعدية متأخرة
Penecontemporaneous dolomitization	تدلّت مصاحب : دلته مصاحبة
Early diagenetic dolomitization	تدلّت مابعدى مبكر : دلته مابعدية مبكرة
Winnowing	تذرية : غريلة : غسل أو إزاحة المعادن
Offlap	تراجع
Regression (reliction)	تراجع البحر
Overlap	تراكب
Accumulation	تراكم
Sheetlike accumulation	تراكم صفحي أو غطائي : تراكم صفائحي
Non reef bioherm	تراكمات حيوية غير شعاعية
Trilobites	ترايلوبيت - ثلاثية الفصوص : (نوع من الأحافير)
Fossil soil	تربة أحفورية
Deposition	ترسيب (عملية الترسيب)
Precipitation	ترسيب أو ترسب
Primary prcipitation	ترسيب بدائي أو أوّلي
Cyclic sedimentation	ترسيب دوري
Carbonate sedimentation	ترسيب الكربونات
Fluvial sedimentation	ترسيب نهري

Lamination	ترقق
Horizontal lamination	ترقق أفقي
Internal lamination	ترقق داخلي
Lenticular laminations	ترقق عدسي
Interlaminated	ترقق متداخل
Cross-lamination	ترقق متقاطع
Micro cross lamination	ترقق متقاطع صغير (مجهرى)
Convolute lamination	ترقق مطوي أو تصفح مطوي : ترقق ملفوف
Climbing ripples lamination	ترقق نيمي متسلق
Gliding	تزحلق
Angularity	نزوى
Rock falls	تساقط الصخور
Well iogs	تسجيلات الآبار
Silicification	تسلكن : سلكنة (عملية تكوين السليكا)
Nomenclature	تسمية
Erosional bed froms	تشكيلات طبقية نحائية
Structural deformation	تشوه بنائي
Penecontemporaneous deformation	تشوه متزامن
Rejuvenation	تصابي
Lithification	تصخر
Sorting	تصنيف
Classification	تصنيف : تقسيم
Good sorted	تصنيف جيد
Well sorting	تصنيف حسن
Poorly sorted	تصنيف رديء
Very poorly sorted	تصنيف رديء جداً
Moderately sorted	تصنيف معدل
Horizontal bedding	تطبق أفقي
Thinner bedded	تطبق ضئيل السمك : تطبق تَنَحْلِي
Lenticular bedding	تطبق عدسي
Seasonal layering	تطبق فصلي

Oblique bedding	تطبق مائل
Flaser bedding	تطبق متتابع هلالى الشكل
Muddy flaser bedding	تطبق متتابع (هلالى) وحلى
Graded bedding	تطبق متدرج
Interbedded	تطبق متداخل (مع بعضه)
Laminated bedding	تطبق مترقق
Cross-bedding (Cross-stratification)	تطبق متقاطع
Trough cross stratification	تطبق متقاطع حوضى
Wedge cross-bedding	تطبق متقاطع سفينى
Tabular cross bedding (planar cross bedding)	تطبق متقاطع مستو
Planar cross-stratification	تطبق متقاطع مستو
Parallel bedding	تطبق متوازي
Wavy bedding	تطبق متموج
Flat bedding	تطبق مستو: تطبق مُسَطَّح
Massive bedding	تطبق مصمت
Convolute bedding	تطبق مطوي (ملفوف)
Intrastratal contortions	تطبق مطوي متواجد داخل الطبقة نفسها
Textural stratification	تطبق نسيجى
Ripple bedding	تطبق النيم (أو تطبق نيمي)
Current ripple bedding	تطبق نيم التيار: تطبق نيمي تيارى
Wave and current ripple bedding	تطبق نيم التيار والموج
Ripple drift bedding	تطبق النيم الطافى
Flaser bedded	تطبق نيمي متتابع هلالى الشكل
Slump bedded	تطبق هابط
Convolute folding	تطبق مطوي أو ملفوف
Packing	تعبئة
Tighter packing	تعبئة أكثر تقارباً
Grain packing	تعبئة الحبيبية
Gradual isostatic adjustment	تعديل تدريجى توازنى
Meandering	تعرج - التواء
Denudation	تعرية

Chemical instability	تغير كيميائي
Metasomatism	تغير معدني ذاتي
Eustatic change	تغير منسوب مستوى البحر
Eustatic	تغيرات متوازنة في مستوى سطح البحر
Metasomatic alteration	تغيرات معدنية ذاتية
Textural changes	تغيرات نسيجية
Equilibrium deflation	تفريغ متوازن : تخوية متوازنة
Coalification	تفحم (تكرين المواد النباتية - تكوين الفحم)
Kurtosis	تفرطح
Mesokurtic	تفرطح عادي
Leptokurtic	تفرطح مرتفع
Platykurtic	تفرطح منبسط
Chemical degradation	تفكك كيميائي
Cross strata	تقاطع طبقي : طبقات متقاطعة
Transgression	تقدم البحر (ارتفاع منسوب مستوى البحر)
Marine transgressions	تقدماء بحرية
Exfoliation	تقشر (أو تفسخ) سطح الصخر
Concave	تقعر
Tectonic	تكتوني (يعزى إلى الحركات الأرضية في القشرة الأرضية)
Sphericity	تكور (شكل الجبيبة)
Composition	تكوين معدني
Chemical composition	تكوين معدني كيميائي
Textural composition	تكوين معدني نسيجي
Welding	تلاحم (التحام)
Cracks taper	تلاشي الشقوق (أو شقوق متلاشية)
Tonsteins	تستين (صخر طين بركاني)
Fining upward	تنعيم في حجم الحبيبات كلما اتجهنا إلى أعلى القطاع
Contact	تماس أو اتصال - حد
Sutured contact	تماس أو اتصال متشابك
Tangential contact	تماس أو اتصال نقطة
Long contact	تماس أو اتصال متطاوول

Concavo-convex contacts	تماس محذب مقعر
Shear	تمزق
Parting lineation	تمزق خطي سطحي
Water parting (Watersheds)	تمزق مائي
Equilibrium	توازن
Benthonic population	تواطن بشوني
Orientation	توجيه
Grain orientation	توجيه الحبيبية
Good grain orientation	توجيه حبيبي جيد
Trends	توجيهات طولية
Preferred orientation	توجيهات مميزة
Size frequency distribution	توزيع تواتري حجمي
Grain size distribution	توزيع حجمي حبيبي
Tufa	توفة الجير = طوفة = طُفَّة (صخر جيرى محبب ذو مسام «مسامي» يترسب حول الينابيع)
Fissility	تورق، تصفح
Tourmaline	تورملين (أحد المعادن الثقيلة)
Turbidity current	تيار العكر: تيار عكر
Tidal current	تيار المد: تيار مدّي
Traction currents	تيارات السحب أو الزحف (تيارات زاحفة)
Waning currents	تيارات فائتة (شاحبة)
Small & megacurrent ripples	تيارات نيمية صغيرة وكبيرة



Stable	ثابت
Stability	ثبات
Tectonic stability	ثبات حركي تشكيكى
Dwelling	ثابتة ثابتة
Jet mouth	ثغر أو مئذنت النهر
Residuum	ثفل - ثائلة (الجزء المتبقي أو المتخلف من الرواسب)
Vugs	ثغوب: ثغور (جمع ثغرة)
Bovings	ثغوب (مسلكية حيوية)
Ice bergs	ثلوج طافية

Bimodal	ثنائي النمط (أو ذو نمطين)
Strongly bimodal	ثنائي النمط بشكل واضح
Three dimensions	ثلاثة أبعاد : أبعاد ثلاثية



Garnet	جارنت (أحد المعادن الثقيلة)
Jasper	جاسبر (معدن)
Windward side	جانب إتجاه الريح أو جانب مواجه للريح
Convex side	جانب محدب
Lee side	جانب معاكس للتيار
Lee and stoss side	جانب معاكس ومقابل للتيار
Stoss side	جانب مواجه للتيار
Lateral	جانبي
Periglacial mountains	جبال مطوقة أو محاطة بالثلج
Gypsum	جبس
Bank	جدار أو حيطه : ضِفَّة
Subvertical cliff	جدار تحت عمودي أو شبه عمودي
Braided streams	جداول نهريّة متشعبة
Rootlet	جُذُر
Traction	جر أو سحب
Trails	جُرُات الحيوانات اللاقارية
Grazing trails	جُرُات الديدان الرعوية (التي ترعى)
Helminthoida	جرة الدودة المفلطحة
Greenolite	جرينوليت (معدن)
Graywacke	جريواكي (أحد أنواع أحجار الرمل)
Transverse component	جزء متعارض (في قناة النهر)
Linear barrier islands	جُزُر حاجزة خطية
Barrier islands	جُزُر عازلة
Coral atolls	جُزُر شعاعية مرجانية حلقيّة
Particles	جسيمات (حبيبات)
Interinformational particles	جسيمات جبرية تشكل داخل حوض الترسيب

Colloidal paraticles	جسيمات غروانية
Sedimentary particles	جسيمات رسوبية
Paleogeography	الجغرافية القديمة
Deducing habitate	جلب معيشة أو سكن (موطن)
Boulder(s)	جلمود (جلاميد أو كيب)
Globigerina	جلوبيجيرينا (أحد أنواع أحفورة الفورامينفرا)
Glauconite	جلوكونيت (أحد أنواع معادن الطين)
Pteropods	جناحيات الأرجل (من الرخويات)
Lee ward sides	جوانب معاكسة لاتجاه التيار
Geothite	جوثيت (معدن)
Lime	جير
Intramicrotic	جير دقيق التبلر به كسر جيرية
Agricultural lime	جير زراعي
Pure lime	جير نقى
Load packets	جيوب الحمل
Geodes	جيود (تجويف مبطن بمعدن متبلر)
Sedimentary geochemistry	جيوكيمياء الرسوبيات



Barrier	حاجز
Distributary mouth bar	حاجز فم النهر المتفرع
Point bar	حاجز حرفي أو جانبي
Distal bar	حاجز مبتعد
Marginal	حافة
Cliff	حائط جبلي
Grain(s)	حبة (جمعها حبيبات أو حَبَات)
Lithic grain	حبة صخرية (جمعها حبيبات صخرية)
Pollens	حبوب اللقاح: أبواغ
Pisolitic grains	حبيبات بازلية (أي أن حجمها في حجم حبات البازلا)
Stable grains	حبيبات ثابتة
Detrital grains	حبيبات حتاتية

Grain sediments	حبيبات الراسب : رواسب حبيبية
Unstable grains	حبيبات غير ثابتة
Ultra fine-grained	حبيبات فائقة النعومة
Sand sized	حبيبات في حجم الرمل : بحجم حبة الرمل
Allochem grains	حبيبات كيميائية غير نقية
Pitted grains	حبيبات محفورة : حبيبات مُنقّرة
Composite grains	حبيبات مركبة
Coated grains	حبيبات مغلفة
Skeleton grains	حبيبات هيكلية
Erosion	حت (أو ما يعرف بعملية التعرية)
Degradation	حت أو تفكك
Scour	حت أو غرف
Scour and fill	حت وملء
Detritus	حتات
Skeletal detritus	حتات هيكلية
Arenite	حجر الأرنيت (أحد أنواع أحجار الرمل)
Limestone(s)	حجر جير (جمعها أحجار جير)
Ooliticlimestone	حجر جيرية سرثيات
Sandy limestone	حجر جير رملي
Biomicrudite	حجر جير كبير الحبيبات وبه بقايا حيوية
Coquina limestone	حجر جير الكوكينا
Biosparite	حجر جير نقي متبلر وبه بقايا حيوية
Grainstone	حجر حبيبي
Dolostone	حجر الدولوميت
Cemented sandstone	حجر رمل ملتحم الحبيبات
Wackestone	حجر رمل الوائي أو حجر جير حجوم معادنه بحجم حبات الرمل
Claystone	حجر طين
Biomicrite	حجر طين جيرى به بقايا حيوية
Argillaceous limestone	حجر طين جيرى دقيق الحبيبات
Pebbly mudstone	حجر طين حصوي
Organic claystone	حجر طين عضوي



Grapestone	حجر العنب
Silstone	حجر غرين
Boundstone	حجر مترابط حيوي
Mudstone	حجر الوحل : حجر الطين
Size	حجم
Grain size	حجم الحبيبات
Pore volume	الحجم الكمي للمسام
Mean size	حجم متوسط الحبيبات
Median size	حجم وسيط
Drumlin	حدبة جليدية
Grade boundaries	حدود التدرج الحجمي للحبيبات : حدود حجمية
Wavy grain boundaries	حدود حبيبية تموجية
Young	حديث، ناشئ (صغير في العمر) - صبي
Iron	حديد
Cherty iron	حديد ظري
Ferruginous	حديدى
Orogensis	حركات بناء الجبال : عملية تَجْلِيلِيَّة
Mass movements	حركات كتلية
Mobilization	حركة : تَنْقُلُ
Oscillatory movement	حركة التارجع (حركة متارجحة)
Lateral movement	حركة جانبية
Circulation	حركة دائرية (دوران، طواف)
Helical circulation	حركة دائرية حلزونية
Restricted circulation	حركة دائرية محدودة أو مقيدة أو مقصورة
Restricted marine circulation	حركة دائرية محدودة لمياه البحر
Vortices	حركة حلزونية
Fluids movement	حركة السائب
Circulation pore fluids	حركة سوائل المسام
Till	حريث جليدي (راسب سحج الجليد)
Bryozoans	الحفازيات (أحافير مسلكية)
Yardangs	حزوز الرياح

Pebbles	حصوات (حصى صغير)
Granule(s)	حصىة (جمعها حصيات)، حجمها أقل من الحصى وأكبر من الرمل
Pebble phosphate	حصى الفوسفات
Lump	حصى طينية جيرية
Rudite	حصى كبير (جرول)
Pits	حُفَر
Skeletal debris	حطامات هيكلية
Debris (rock waste)	حطام (حطام صخري)
Volcanic debris	حطام بركاني
Submarine volcanic debris	حطام بركاني بحري
Biogenic debris	حطام حيوي
Shell debris	حطام صدفى (أو محاري)
Annelids	الحلقيات
Acids	حموض (جمع حمض)
Saltation population	حمل الرواسب القافزة
Suspension population	حمل الرواسب المعلقة
Bed load	حمل الطبقة
Suspended load	حمل معلق
Sand bars	حواجز رملية
Barrier coasts	حواجز شاطئية
Channel bars	حواجز قنوية
Meteoric basin	حوض جرمي: حوض نيزكي
Flood basins	حوض الفيضان (جمعها أحواض الفيضان)
Drainage basin	حوض مصرف أو حوض الصرف
Vertebrates	حيوانات فقارية
Feeding burrows	حيوانات مسلكية متطفلة
Invertebrates	حيوانات لافقارية (لافقاريات)
Paleodictyon	حيوان قديم
Fine skewed	حيود ناعم
Biogenic	حيوي

د

Cohesion	خاصية الترابط (التناسك)
Opaque iron ore	خامات حديدية معتمة
Plasticity	خاصية المرونة
Permeability	خاصية النفاذية
Cleavage	خاصية الانفصام
Matrix free	خالي من راسب الأرضية
Bog iron ores	خام حديد المستنقع
Peat	خث (نباتات في أولى مراحل تفحمها)
Scratch	خدوش
Aquifer	خزان الماء الجوفي (مستودع الماء الجوفي): مكن الماء الجوفي
Subsidence	خسف أو انخفاض
Grooves	خطوط أو تخطيط
Lineation	خطوط أو حزوز
Troughlines	خطوط الأحواض
Brink lines	خطوط الحواف أو خطوط الانكسارات
Static shorelines	خطوط شاطئية ثابتة
Crest lines	خطوط القمم
Cryptocrystalline (Amorphous)	خفي التبلر أو التبلور
Spores	خلايا جرثومية
Collophane	خليط غير مؤكد أنواع مركباته
Lamellibranchs	الحياشيمييات (من الرخويات)

د

Intrabed	داخل الطبقة
Inshore	داخل منطقة الشاطيء
Cirques	دارات ثلجية
Bear(s)	دُب (دببة)
Humic	دبال (مادة نباتية عفنة)
Statistical studies	دراسات حسابية أو تعدادية
Sulphur isotope studies	دراسات نظائر الكبريت

Petrology	دراسة الصخور
Petrography	دراسة الشرائح الصخرية تحت المجهر
Sinuosity	درجة الانعطاف أو الالتواء
Arabian Nubian Shield	الدرع العربي النوبي
Pseudoconcretions	درنات كاذبة
Synsedimentary concretions	درنات متزامنة الترسيب
Penecontemporaneous concretions	درنات معاصرة
Epigenetic concretions	درنات نشأت بعد الترسيب
Septaria	درن شعاعي
Concretion(s)	درنة (درنات)
Uplift	دفع إلى أعلى
Uplifted	دفعت (أو رفعت) إلى أعلى
Microcrystalline	دقيق التبلور (مجهرى التبلر، أي لا يرى إلا بالمجهر)
Tidal deltas	دلتا المد والجزر
Dolomite (CaMg (CO <sub>3</sub> ) <sub>2</sub> )	دلوميت (أحد معادن الكربونات)
Primary dolomite	دلوميت أولي
Replacement dolomites	دلوميت تكون بالإحلال
Secondary dolomite	دلوميت ثانوي
Subsequent dolomite	دلوميت لاحق
Desert varnish	دهن صحراوي (طلاء صحراوي)
Varnish	دهن (أو طلاء)
Eddies	دوامات
Slugs	دود الأرض
Cubichnia	دودة (أحد أنواع الديدان المستقرة في قاع البحر)
Period	دَوْر أو طَوْر
Regressive cycles	دورات تراجعية
Transgressive cycles	دورات تقدمية
Concentric	دوائر متحدة المركز
Upward fining cycles	دورات تنعم حبيباتها في الاتجاه العلوي
Geosynclinal cycle	دورة حوض الترسيب الهابط الكبير: دورة قعائرية عظمى
Quaternary period	دورة رباعية

Sedimentary cycle	دورة رسوبية
Cyclic	دوري
Diatom	دياتم (نوع من الطحالب يفرز سليكا)
Nematodes	ديدان
Worms	ديدان
Domichnia	ديدان ساكنة في قاع البحر
Boring organism	ديدان ثقبية
Cyclochem	دورة ترسيبية نهريّة كبيرة

د

Allochthonous	ذات نشأة خارجية (مجلوبة)
Diagenetic	ذات نشأة كيميائية مابعدية أو متأخرة
Solutes	ذوائب (محاليل معادن الصخور)
Solubility	ذوبان
Polymorph	ذو تشكيلات وبنيات متعددة
Intrabasinal origin	ذو منشأ في داخل حوض الترسيب
Polygenetic origin	ذو نشأة أصلية متعددة

ر

Bacteria	راجبيات : بكتيريا
Matrix	راسب أرضية
Argillaceous matrix	راسب أرضية طيني
Microcrystalline matrix	راسب أرضية من جبر دقيق التبلر
Sediment bar	راسب الحاجز
Talus	راسب ركامي
Peloidal sediment	راسب عقد الطين الجيرية
Siliclastic sediment	راسب فتات السليكا (أو فتات الرمل)
Guano	راسب فوسفاتي نيتراي
Lag deposit	راسب متبقي أو متخلف
Cephalopods	رأسيات الأرجل (من الرخويات)
Breccia	راهص : راهصة (بريشيا (صخر يشبه الدملولك لكنه ذي حصوات مزواة)
Tectonic breccia	راهص تكوني
Tetrahedron	رباعي الأوجه

Hummock	رَبْوَة جليدية
Classes	رُتَب
Molluscs	الرُخويات
Pteropod ooze	رُزْغ البُتروبودا (أو جناحيات الأقدام - نوع من الرُخويات)
Dolomite ooze	رُزْغ الدلوميت
Fine calcite ooze	رُزْغ الكلسيت الدقيق الحبيبات (أو ناعم)
Foraminiferal ooze	رُزْغ الفورامينيفرا
Pelagic oozes	رُزْغات، رسوبية لُجِّيَة
Radiolarian oozes	رُزْغات الشعاعيات (نضج الشعاعيات)
Microcrystalline ooze	رُزْغة جيرية دقيقة التبلور
Sedimentary	رسوبي
Agglomerate	رصيص بركاني
Stable shelf	رصيف بحري راسخ
Laminae	رُقائِق
Varves	رُقائِق حولية
Peat layers	رُقائِق خث أو طبقات الخث
Varved clay	رُقائِق طين حولي
Cross-laminae	رُقائِق متقاطعة
Glacial varves	رُقائِق الوحل الجليدي
Laminar	رُقائِق، صفحي
Scress	ركام الانهيار الصخري
Moraine	ركام جليدي
Superficial moraine	ركام جليدي سطحي
Ground moraine	ركام جليدي سفلي
Reef talus	ركام شعابي
Volcanic ash	رماد بركاني
Ash flow	رماد متدفق
Ash falls	رماد متساقط
Sand(s)	رمل
Protoquartzite	رمل أوّلي
Erosional volcanoclastic sands	رمل تمحات الفتات البركاني

Carbonate sands	رمل الجير (أو رمل الكربونات)
Barrier sand	رمل الحاجز
Point bar sands	رمل حاجز الحافة
Oolite sand	رمل سرئي
Argillaceous sands	رمل طيني دقيق الحبيبات
Turbidites sands	رمل العكر
Siliclastic sand	رمل فتات السليكا : رمل فتاتي سليكاتي
Volcaniclastic sands	رمل فتاتي بركاني
Pyroclastic sands	رمل فتاتي ناري
Foramiferous sand	رمل الفورامينيفرا (رمل المتخربات)
Coral sand	رمل المرجانيات
Pure quartz sands	رمل مرو نقي
Loosely packed sand	رمل مفكك التعبئة
Orthoquartzite	رمل نقي
Sand shoals	رمل مياه قليلة العمق : رمل مياه بحرية ضحلة
Sediments	رواسب
Terrigenous sediments	رواسب أرضية المنشأ : رواسب برية المنشأ
Marine deposits	رواسب بحرية
Lagoonal deposits	رواسب البرك الشاطئية البحرية
Rock fall deposits	رواسب تساقط الصخور
Stable deposits	رواسب ثابتة
Lateral accretion deposits	رواسب غرينية جانبية
Modern sediments	رواسب حديثة
Rudaceous sediments	رواسب حصوية : رواسب جرولية
Traction load deposits	رواسب الحمل المسحوب
Lutites	رواسب ذات حبيبات دقيقة (أوحال أو أطيان) : رواسب طينية
allochthonous sediments	رواسب ذات نشأة خارجية : رواسب مجلوبة النشأة
Autochthonous sediments	رواسب ذات نشأة محلية : رواسب حوضية النشأة
Arenaceous deposits	رواسب رملية
Eolian deposits	رواسب ريحية (هوائية)
Preexisting sediments	رواسب سابقة التواجد

Piedmont fanglomerate	رواسب سفحية : رواسب سفح الجبل وهي ذات أسطح غروطية الشكل وتكون أغلبيتها من رواهص
Indurated sediments	رواسب صلبة ملتحمة
Modern alluvial deposits	رواسب طمية حديثة
Argillaceous sediments	رواسب طينية
Overbank deposits	رواسب عبر الضفة
Organic sediments	رواسب عضوية
Flysch turbidities	رواسب العكر أو الفلش
Turbidites	رواسب العكر (عكارات)
Graded turbidites	رواسب عكر متدرجة
Fluxoturbidite	رواسب عكر مختلفة : فيض العكر
Unconsolidated sediments	رواسب غير متماسكة
Uncemented sediments	رواسب غير ملتحمة
Clastic sediments	رواسب فتاتية
Clastic terrigenous sediments	رواسب فتاتية أرضية النشأة : رواسب فتاتية برية
Volcanidastic sediments	رواسب فتاتية بركانية
Pyroclastic sediments	رواسب فتاتية نارية
Metalliferous deposits	رواسب فلزية
Flysch deposits	رواسب الفلش أو رواسب البحار العميقة العكرة
Channel lag deposits	رواسب القناة المتخلفة
Chemical sediments	رواسب كيميائية
Clastic detrital	رواسب حثاتية فتاتية
Pelagic sediments	رواسب لجية
Residua	رواسب متبقية
Metasediments	رواسب متحولة
Residual sediments	رواسب متخلفة (أو متبقية)
Relict sediments	رواسب متخلفة
Extremely hetrogenous sediments	رواسب متعددة التكوين المعدني
Polycyclic sediments	رواسب متعددة الدورات
Heterogenous sediments	رواسب متنوعة التكوين
Glacial sediments	رواسب مثلجية



Traction deposits	رواسب مجرورة أو مسحوبة
Drift deposits	رواسب مجرورة
Diamictite (Paraconglomerate or pebbly mudstone)	رواسب مجرورة بالجليد (أو رواسب منهاره تحت تأثير الجاذبية)
Bottomset deposit	رواسب مجموعة القاع
Topset deposits	رواسب مجموعة القمة
Foreset deposits	رواسب مجموعة المقدمة
Deflation lag sediments	رواسب مخلفات التخوية
Swamp deposits	رواسب المستنقعات
Suspended sediments	رواسب معلقة : رواسب عالقة
Valley fill deposits	رواسب ملء القناة
Fluxoturbidite channel	رواسب مائلة القناة البحرية العكرة المختلفة
Saline deposits	رواسب الملح (أو رواسب ملحية)
Salt precipitation	رواسب ملحية (ترسيبات ملحية)
Sediments of extrabasinal origin	رواسب من أصل خارج الحوض
Sediments of interbasinal origin	رواسب من أصل داخل الحوض
Extrabasinal sediments	رواسب من خارج حوض الترسيب (رواسب مجلوبة)
Manganiferous deposits	رواسب المنجنيز
Fluvial deposits	رواسب نهريّة (رواسب الأنهار)
Shelf mud deposits	رواسب وحل الرصيف
Hemipelagic sediments	رواسب وحلية سوداء ذات بيئة بحرية فائقة العمق
Terrigenous conglomerates	رواهص أرضية المنشأ : مُدْمَلَكات بُرِّيّة المنشأ
Low energy conglomerates	رواهص تكونت في بيئات منخفضة الطاقة
Volcaniclastic conglomerates	رواهص فتاتية بركانية
Carbonate conglomerates	رواهص الكربونات : مُدْمَلَكات كربوناتيّة
Calcurudite (Carbonate conglomerates)	رواهص كلسية (رواهص تتكون من حصيات كلسية مستديرة)
Intraformational conglomerates	رواهص متشكلة في داخل حوض الترسيب
Polymictic conglomerates	رواهص متنوعة الحصيات
Fanglomerate	رواهص مروحية : مُدْمَلَكات مروحية
Paraconglomerate (Diamictite)	رواهص وحلية : مُدْمَلَكات وحلية

Rudistids

روديستنا (أحد أنواع المحاريات)

ز

Creeping

زحف (بواسطة السحب)

Surface creep

زحف أو تدحرج سطحي

Crawling

زحف (رواسطة الحبي)

Ooze

رزغ

Gravels

زلط : جروول

Lag gravel

زلط متخلف

Zircon

زركون (أحد المعادن الثقيلة)

Stylolites

زوائد صخرية

Zoophycus

زوفيكس (حيوان)

Zeolite

زبوليت (معدن)

س

Fluid(s)

سائب (سوائب)

Ambient fluid

سائب محيط

Sapropelite

سابروليت (صخر طين غني بالمواد العضوية)

Interior continental sabkhas

سبخات قارية داخلية

Sea marginal sabkhas

سبخات متاخمة لشاطئ البحر

Sabkhas(s)

سبخة (سبخات : سباح)

Spilites

سبليت (صخر)

Stromatolites

ستروماتوليت (صخر)

Belemnoids

السجاريات

Geological record

سجل جيولوجي

Flysch facies

سبخات الفلش (سبخات رملية لبيئات بحرية عميقة)

Lagoonal facies

سبخ البركة الشاطئية البحرية

Subfacies

سبخات تحتية

Nubian sandstone facies

سبخات حجر الرمل النوبي

Micro facies

سبخات دقيقة (مجهرية)

Facies

سبخة (جميعها سبخات)

Inchnofacies	سحنة حيوية أثرية
Siderite	سدريت (معدن)
Crabs	سرطانيات
Settling velocity	سرعة الاستقرار
Oolites (Oolithes)	سرثيات
Ancient ooliths	سرثيات صخرية قديمة
Water interface	سطح التقاء الماء بجسم آخر
Unconformity (surface)	(سطح) عدم التوافق
Basal unconformity (surface)	(سطح) عدم التوافق القاعدي (أو السفلي)
Coherent surface	سطح متماسك
Flat surface	سطح مستو (أو مسطح)
Water table	سطح منسوب الماء
Piedmont	سفع الجبل
Coal series	سلسلة الفحم
Isomorphic series	سلسلة وحيدة التشكل والبنية
Silcrete	سلكريت (راسب سليكا متخلف)
Silicification	سلكنة : تسلكن (عملية تكوين السليكا)
Selenite	سلنيت (معدن)
Celestite	سليستيت (معدن)
Siliceous	سليسي : سليكوني
Silica	سليكا (معدن)
Amorphous silica	سليكا عديمة التبلر أو التشكل
Hydrous silica	سليكا متميئة
Aluminosilicates	سليكات الألومنيوم
Aluminohydrosilicates	سليكات الألومنيوم المتميئة أو المائية
Ferruginous aluminohydrosilicate	سليكات الألومنيوم المتميئة الحديدية
Structural behavior	سلوك بنيائي
Paleocurrent patterns	سلوك التيارات القديمة
Thickness	سمك : سماكة
Smectite	سمكتيت (أحد أنواع معادن الطين)
Abyssal plains	سهول بحرية عميقة

Alluvial plains	سهول طميية
Flood plains (overbank)	سهول الفيضان
Liquids	سوائل



Recent linear shoreline	شاطيء خطي حديث
Ophiomorpha	شبكة عمرات معقدة
Granitoid	شبه جرانيتي : شبه غرانيتي
Steep gradient	شديد الانحدار
Natural levees (or banks)	شرفات طبيعية نهريّة
Terrace	شرفة
Subaqueous levee	شرفة تحت سطح الماء
Levee	شرفة نهريّة
Atolls	شعاب الجزر المرجانية : شعاب حلقيّة
Barrier reefs	شعاب حاجزة : شعاب حاجزية
Pinnacle reef	شعاب قرنيّة
Fringing reefs	شعاب متاخّة : شعاب سجافية
Oyster reefs	شعاب محارية
Elongated reef	شعاب مستطيلة (أو متطاولة)
Radiolaria	شعاعيات (راديولاريا)
Reef(s)	شُعَب (شعاب)
Isolated reef	شُعَب منفرد : شُعَب منعزل
Desiccation cracks	شقوق الجفاف
Shrinkage cracks	شقوق التقلص
Subaerial desiccation cracks	شقوق تقلص فوق سطح الأرض
Sun cracks	شقوق الشمس : شقوق شمسية (تشكلت بسبب حرارة الشمس)
Syneris cracks	شقوق طرد الماء
Mud cracks	شقوق الوحل : شقوق وحليّة
Subaqueous syneris cracks	شقوق وحل تحت سطح الماء
Shape (form)	شكل (إشارة إلى تكور واستدارة الحبيبة)
Morphology	شكل وبنيّة : علم التشكل أو التضاريس

Reef geometry	شكل الشعب الحجمي
Terrigenous coasts	شواطئ فتاتية أرضية : شواطئ بُرّية
Siliceous sponge spicules	شوكيات الأسفنج السليسية
Spicules	شوكيات
Schistose	شيستز (أحد أنسجة الصخور المتحولة)



Hamada (Rocky desert)	صحراء حمادة (صحراء صخرية)
Rocky desert (Hamada)	صحراء صخرية (صحراء حمادة)
Tillite	صخر جُرّافة الجليد (رواسب جليدية) : حريث
Biolithite	صخر حيوي
Microcrystalline rock	(صخر) دقيق التبلور
Siliceous rock	صخر سليسي : صخر سليكوني
Phosphate rock	صخر الفوسفات
Source rock	صخر مصدر
Rock salt	صخر ملح الطعام (أو صخر الملح)
Lithic wacke	صخر الوافي : وافي صخري
Algal biolithite	صخور أحياء طحلبية
Coral biolithite	صخور أحياء مرجانية
Terrigenous rocks	صخور أرضية المنشأ : صخور بُرّية المنشأ
Autochthonous reef rocks	صخور جبر شعابية ذات نشأة مكانية : صخور شعابية حوضية المنشأ
Sparry allochemical rocks	صخور الجبر المتبلر غير النقي
Rudaceous rocks	صخور الحصى : صخور حصوية
Intrabasinal rocks	صخور داخل حوض الترسيب
Feroan dolomites	صخور دلويميت حديدية
Dismicrite	صخور رزغة الجبر المشوه
Biostromes	صخور شعابية صفائحية
Bioherms	صخور شعابية متراكمة
High grade metamorphic rocks	صخور عالية التحول
Pyroclastic rocks	صخور الفتات النارية
Carbonaceous rocks	صخور الفحم : صخور فحمية

Phosphatized rocks	صخور فوسفاتية : صخور متفسفة
Erratic blocks	صخور كتلية جلمودية ذات ترسيب مثلجي
Glacial diamectites	صخور مجروقة بالمالج : صخور مثلجية
Coral rocks	صخور مرجانية
Extrabasinal rocks	صخور من خارج حوض الترسيب : صخور مجلوبة
Mudrocks	صخور الوحل
Organic rich mudstones	صخور الوحل الغنية بالمواد العضوية
Fault(s)	صدع (صدوع)
Discharge	صرف أو تصريف
Blasting	صفح أو ارتطام
Slab	صفحة : لوح
Polish	صقل
Flint	صَوَان (نوع من صخور السليكا)

## ض

Hydrostatic pressure	ضغط ساكن متميء
Least pressure	ضغط ضئيل
Shearing pressure	ضغط التمزق
River banks	ضفتي النهر

## ط

Cast(s)	طابع (طوابع)
Groove casts	طابع الخطوط
Echinodermata (echinoderms)	طائفة الجلد شوكيات
Bryozoa	طائفة الحزازيات (حيوانات مسلكية)
Molluses	طائفة الرخويات
Crinoids	طائفة الزنبقيات
Foraminifera	طائفة الفورامينيفرا : المُنْخَرَبَات
Bivalves	طائفة المحاريات (أحافير ذات مصراعين) : ثنائية المصراع
Corals	طائفة المرجانيات
Brachiopods	طائفة المسرجانيات : السراجيات

Crinoid beds	طبقات الزنبقيات
Laminated radiolarian cherts	طبقات ظر شعاعية مترققة
Shell beds	طبقات محارية
Flat beds	طبقات مستوية
Bioturbated layers	طبقات حيوية مضطربة
Coral beds	طبقات مرجانية
Nepheloid layers	طبقات النيفيلويد
Bed(s)	طبقة (طبقات)
Layer	طبقة أو طبقية
Chronostratigraphy	الطبقة الزمنية
Substrata	طبقة سفلية أو باطنية
Stratum	طبقة صخر رسوبي كبيرة
Slabby	طبقة صفائحية : طبقة لوحية
Root bed	طبقة غنية بجذور النباتات
Stratigraphic	طبقة : طباقية
Triplets	طبقات ثلاثية
Concentric layers	طبقات دائرية متحدة المركز
Couplets	طفايات زوجية
Thin layers	طبقات ضئيلة السمك : طبقات نحيلة
Bone beds	طبقات العظم : طبقات عظمية (أي طبقات تتكون من العظم)
Shell layers	طبقات محارية
Algae	طحالب
Calcareous algae	طحالب كلسية
Endolithic algae	طحالب دقيقة
Halimeda	طحلب الحلميدا
Encrusting algae	طحالب غشائية
Phylloid algae	طحالب ورقية أو غشائية
Fabric	طراز (أو ترتيب الجسيمات المعدنية في الصخر الرسوبي)
Primary fabric	طراز أولي
Apposition fabric	طراز بناء الإضافة
Geopetal fabric	طراز جيوبتال : طراز التوجيه الأرضي : طراز التوجيه الأرضي

Reef fabric	طراز الشُّعْب
Dewatering = Dehydration	طرد الماء أو استخراجه : استيعاده
Syneresis	طرد الماء (بالتخلل وليس بالتبخير) : تسرب الماء
Deformational fabric	طراز مشوه
Methods of grain size measurements	طرق قياس أحجام الحبيبات
Volcanic tuff	طُفٌّ بركانية
Tuff	طُفٌّ (حجر رملي بركاني)
Floating ice	طفو الثلج
Alluvial	طلمي
Alluvium	طلمي
Braided alluvium	طلمي النهر المتشعب
Load casts	طوابع الثقل أو الحمل
Length	طول
Wage length	طول الموجة
Ripple length	طول النيم
Clay	طين
Biorudmicrite	طين جيرى به بقايا حيوية كبيرة
Oomicrites	طين جيرى به سرثيات
Biopelmicrite	طين جيرى به عقد طينية جيرية وبقايا حيوية
Biorudpelmicrite	طين جيرى به عقد طينية جيرية وبقايا حيوية كبيرة
Biosparimicrudite	طين جيرى كبير الحبيبات به كلسيت نقي متبلور وبقايا حيوية
Biosparimicrite	طين جيرى به كلسيت نقي متبلور وبقايا حيوية
Micrite	طين جيرى دقيق الحبيبات
Dolomicrite	طين جيرى متدلت
Dolobiosparimicrite	طين جيرى متدلت به كلسيت نقي متبلور وبقايا حيوية
Clay matrix	طين راسب الأرضية
Shelly clay	طين صَدْفِي : طين محاري
Average shale	طين صفحي عادي
Oil shale	طين صفحي نفطي
China clay	طين الصين
Recombent fold	طيه مضطجعة



Fire clay

طين ناري

Argillaceous

طيني

ظ

Chert

ظر: صَوَان . تشيرت

Geosyncline cherts

ظر الأحواض الهابطة العملاقة: ظر القعائر العظمى

Radiolarian cherts

ظر شعاعي

Nodular chert

ظر عُقَيْدي

Cratonic cherts

ظر مَجَنِّي: ظر كريتوني (ظر المناطق الراسخة في القشرة الأرضية)

Reducing conditions

ظروف الاختزال

ع

Lubricant

عامل تشحيم

Lens

عدسة

Lenticles

عدسيات

Non-deposition

عدم ترسيب

Amorphous (cryptocrystalline)

عديم التبلر أو الشكل

Breadth (width)

عرض: اتساع

Coal seams

عروق الفحم

Seams (coal seams)

عروق (عروق الفحم)

Holocene

عصر الألوسين (أو الحديث)

Tertiary

عصر ثلاثي

Cretaceous

العصر الطباشيري

Paleozoic

العصر القديم

Cambrian

العصر الكمبري

Geophysics

علم الفيزياء الجيولوجي: علم الجيوفيزياء

Pellet calcilutites

عقد طينية جيرية

Phosphatic pellets

عقد طينية فوسفاتية

Phosphate pellet

عقد الفوسفات

Pellets (Peloids)

عقد أو كرات جيرية

Incipient pellets

عقد مبتدئة التكوين

Nodule(s)	عُقَيْدَة (جمعها عُقَيْدَات): عَجْبَرَة (عَجْبَرَات)
Chert nodules	عُقَيْدَات ظُرْائِيَّة
Phosphatic nodules	عُقَيْدَات فوسفاتِيَّة
Phosphorites nodules	عُقَيْدَات الفوسفورائِيَّة
Sideritic nodules	عُقَيْدَات كربونات الحديد (أو منعقدات السدرِيت)
Pseudonodules	عُقَيْدَات كاذِبَة
Nodular	عُقَيْدِي: عَجْبَرِي
Flute marks	علامات الأبواق
Groove marks	علامات التخطط
Rib-and furrow marks	علامات التمزق والتجمد
Sole marks	علامات القاع
Tool marks	علامات القاع
Ripples	علامات النيم أو نيم
Ripple marks	علامات النيم
Ichnology	علم آثار الأحافير
Paleocology	علم البيئة القديمة
Pedology	علم التربة
Morphology	علم التشكل أو التضاريس: شكل وبنية سطح الأرض
Sedimentologists	علماء الرسوبيات
Lithology	علم الصخور
Biostratigraphy	علم الطبقات الحيوية
Coastal processes	عمليات شاطئية
Premetamorphic processes	عمليات قبل التحول
Diagenesis	عمليات النشأة المابعدية أو المتأخرة
Fluvial processes	عمليات نهريَّة
Process(s)	عملية (عمليات)
Leaching	عملية الإزاحة بالمحاليل
De-dolomitization (Calcitization)	عملية استبعاد الدولوميت وتكوين الكالسيت (كلستة)
Polymorphic transformation	عملية انتقال تحولي
Neomorphism	عملية التبلر المتجددة
Metamorphism	عملية التحول

Grain flow process	عملية تدفق الحبيبات
Polymorphism	عملية تعدد التحول المعدني الذاتي
Calcitization	عملية الكلستة أو تكوين الكلسيت
Burrowing	عملية الحفر (التي تحدثها الديدان في الرواسب)
Compaction	عملية الدموج أو الأحكام: تراص
Early diagenetic	عملية النشوء المابعدية المبكر
Phytoplankton	العوالق النباتية البحرية
Planktonic	عوالقية
Subsurface samples	عينات تحت سطحية
Hand specimen	عينة يدوية



Gases	غازات
Natural gas	الغاز الطبيعي
Bay(s)	غب (أغباب)
Volcanic dust	غبار بركاني
Colloidal	غروانية
Colloidal hydrated silica	غروانية السليكا المتعمئة
Silt	غرين
Dolomitic silt	غرين دولوميتي
Wash	غسل
Winnowing	غسل أو إزاحة
Granite wash	غسل (غسيل) الجرانيت (إشارة إلى حت صخر الجرانيت بالماء)
Non-marine	غير بحري
Unstable = Instable	غير ثابت
Non-carbonate	غير جيرية
Non-fissile	غير صفحي (غير ورقي)
Unmetamorphosed	غير متحول
Non stratified	غير متطبق (عديم التطبيق)
Unconsolidated	غير متماسك (أو غير متصلب)
Non porous	غير مسامي (لا مسامي)

Uncemented	غير ملتحم (غير مسمنت)
Friable (uncemented)	غير ملتحم (مفروط)
Physically immature	غير ناضج فيزيائياً
Chemically immature	غير ناضج كيميائياً
Minerallogically immature (chemically immature)	غير ناضج معدنياً (كيميائياً)
Texturally immature (physically immature)	غير ناضج نسيجياً (فيزيائياً)
Impermeable	غير نافذ (عديم النفاذية)
Non permeable	غير نافذ (غير منفذ)



Joint(s)	فاصل (فواصل)
Volcaniclastic	فتات بركاني
Intraclasts	فتات صخور الكربونات أو (فتات جيرية مكانية النشأة)
Lithoclasts	فتات صخرية
Size interval	فترة حجمية بين مناخل فرز الحبيبات
Coal	فحم (حجم الفحم الطبيعي)
Anthracite coal	فحم الأنثراسيت
Bituminous coal	فحم البيتومين
Phosphorite(s)	فسفوريت (رواسب الفوسفات)
Lobes	فصوص
Francolite	فرانكوليت (معدن)
Algal mat	فرشاة طحلبية
Density difference	فرق الكثافة
Fungi	فطريات
Calcic feldspars	فلسبارات الكالسيوم (معدن الأنورثيت)
Divides	فواصل
Phosphate	فوسفات (صخر)
Bone phosphate	فوسفات العظم
Residual phosphate	فوسفات متخلف أو متبقى
Subaerial	فوق سطح الأرض
Above wave base	فوق مستوى قاعدة الموج

Caldera	فوهة بركان
Up-ward	في الاتجاه العلوي
In situ	في أماكن تواجدها
Vivianite	فيفيانيت (معدن)



Erosional bases	قواعدات تحتية
Sole	قاعدة أو قاع
Mafic	قاعدي (يحتوي على معادن الحديد والمغنسيوم)
Mold (mould)	قالب
Benthonic	قاعية
Delta foot	قدم الدلتا
Sturzstorms	قذف طبيعي للصخور (انهيار صخري)
Oblate	قرص، ورقي - نصلي
River capture	قرصنة النهر
Disc shaped	قرصي أو أسطواني الشكل
Small chip	قشرة صغيرة: شققة صغيرة
Manganese crust	قشرة منجنيز
Shale flake	قشور الطين الصفحي
Short	قصير
Rod (roller or prolate)	قضيب (متطاوّل)
Prolate = Roller = Rod	قضيب أو متطاوّل
Patches	قَطَع (أوصال)
Patch reefs	قَطَع شعابية: شعاب قِطَعِيَّة
Cross cut	قَطَع عرضي
Patchy secondary mossiac	قَطَع موزيك ثانوي
Ripples cross section	قَطاع نيم عرضي
Drill cuttings	قَطاعات مثقّبة
Intermediate diameter	القطر الأوسط
Short diameter	قطر قصير (القطر الأصغر)
Saltation	قفز أو نط

Alkalies	قلويات
Alkaline	قلوي : قَلَوَانِي
Shallow depth	قليل العمق
Shoal	قليل العمق (ضحل)
Anticlinal crests	قمم محدبة
Volcanic bombs	قنابل بركانية
Channel(s)	قناة (قنوات)
Distributary channel	قناة متفرعة
Abandoned channel	قناة معزولة أو مهجورة
Echinoderms	القنفذيات
Meandering channels	قنوات متعرجة : قنوات ملتوية
Tidal channel	قنوات المد
Straight channels	قنوات مستقيمة
Crevasse channels	قنوات منشقة : قنوات كُسرِيَّة
Braided channels	قنوات نهريّة متشعبة
Snails	قواقع
Biomoldic	قوالب حيوية : قالبية حيوية
Shear strength	قوة التمزق
Hydrodynamic	قوى السوائب والموائع

٥

Organisms	كائنات حية : متعضيات
Cations	كاتيون (جميعها كاتيونات)
Chalcopyrite	الكوبيريت
Chamosite	كاموسيت (معدن)
Kaolin	كاولين (أحد معادن الطين)
Stromatoporoids	كائنات بحرية
Rotifers	كائنات حية صغيرة تعيش في أطراف ماء التربة
Sulphates	كبريتات
Iron monosulphides	كبريتيدات الحديد الأحادية
Calcium sulphate	كبريتات الكالسيوم

Native sulphur	كبريت طبيعي (عنصر الكبريت)
Sulphides	كبريتيدات
Iron sulphide	كبريتيد الحديد
Hydrogen sulfide	كبريتيد الهيدروجين
Land masses	كتل الأرض
Blocky	كتلية (كتلي)
Dunes	كثبان
Seif dune	كثبان السيف
Antidunes	كثبان مضادة
Longitudinal dunes	كثبان طويلة
Traverse dunes	كثبان مستعرضة (مستقيمة)
Stellated dunes	كثبان نجمية
Transverse dune	كثبان النيم المنتظم الامتداد
Faecal pellet	كُرَات أو عقد جيرية : كُرَات غائطية
Mud balls	كُرَات الوحل
Lime mud balls	كُرَات وحل جيري
Carbonate	كربونات
Detrital carbonate	كربونات حثائية
Crystalline carbonate	كربونات متبلرة
Authigenic carbonate	كربونات موضعية النشأة
Sphere	كرة
Cruzians	كروزيانا (حيوان)
Spherical (Equant)	كروي
Equant (Spherical)	كروي
Oncolites (oncoliths)	كُرَات طحلبية
Wood fragments	كسر خشبية
Extrabasinal clasts	كسر ذات نشأة خارجية : كسر خارجية النشأة
Rock fragments	كسر صخرية : شظايا صخرية
Lithic rock fragments	كسر صخرية متصخرة : شظايا صخرية متصخرة
Calcareous	كلسي
Calcite (CaCO <sub>3</sub> )	كلسيت (أحد معادن الكربونات)

Microcrystalline calcite	كلسيت دقيق التبلور (مجهرى)
Sparry calcite	كلسيت متبلور نقي ولامع
Skeletal calcite	كلسيت معاري : كلسيت هيكلى
Drusy spar	كلسيت نتوئى متبلور نقي
Bio-oosparite	كلسيت نقي متبلور به سرثيات ويقايا حيوية
Intrasparite	كلسيت نقي متبلور به كسر جيرية
Biopelsparite	كلسيت نقي متبلور به عقد طينية جيرية ويقايا حيوية
Calcitization (De-Dolomitization)	الكلسنة : التكلست (عملية تكوين الكلسايت)
Chalcedony	كلسيدونى (معدن)
Recrystallized calcite	كلسيت معاد تبلرة
Chlorapatite	كلور أباتيت (معدن)
Chlorite	كلوريت
Chliachite	كليكايت (معدن)
Microcrystalline quartz	كوارتز دقيق التبلور
Quartzose	كوارتزوز (رمل نقي)
Quartzite	كوارتزيت (أنقى أنواع أحجار الرمل)
Cosmorhaphe	كوسمورهاف (دودة)
Coccolithiphorids	كوكوليثيفوريدز (نبات يفرز كلسيت)
Coccoliths	كوكوليث
Coquina	كوكينا (حجر جير غني بالأصداف)
Kerogen	كيرجين (مركب هيدروكربوني عضوي)
Biochemical	كيمياء حيوية

## J

Coelenterates	اللاحشويات
Lignite	لجنيت، فحم بني اللون (أحد رتب الفحم)
Pressure welding	لحام الضغط
Lingula	لنجيولا (إحدى أنواع الأحافير)
Flaggy	لوحية (لوحى)
Loess (Loam)	لوس (تربة طفالية)
Laumontite	لومونتيت (معدن)



Lithothamnium	ليثوثامنيوم (أحد أنواع الطحالب الغشائية)
Limonite	ليمونيت (معدن)
Laterite	لاثريت (صخر رسوبي يتكون من تربة حمراء)
Cement	لاحم
Silica cement	لاحم سليكا
Sperry calcite cement	لاحم كلسيت نقي متبلور
Chalcedonic cement	لاحم كلسدوني
Orthochemical cement	لاحم كيميائي نقي
Interstitial mud cement	لاحم وحلي تحلي
Sessile	لا عنقي : لا ذنيبي : جليسي : جليس : مثبت



Epidiagenesis	ما بعد عملية النشأة المابعدية
Hydroscopic water	ماء التبلل
Gravitational water	ماء تجاذبي (أو ماء الجاذبية)
Meteoric water	ماء جوي
Capillary water	ماء الخاصة الشعرية
Combined water	ماء مشترك
Fine matrix	مادة الأرضية الناعمة
Carbonaceous matter	مادة متكرنة
Marcasite	ماركسيت (معدن)
Patch	مبعثرة أو متقطعة (قطعة)
Corroded	متآكل
Evaporites	متبخرات (أو صخور البحر)
Residual	متبقية
Aggregates	متجمعات
Laminated	مترققة
Syndepositional	متزامنة الترسيب
Interformational	متشكلة من داخل حوض الترسيب
Scleractinia	المتصلبات (مستعمرات مرجانية)
Indurated	متصلد، قاس

Polygonal	متضلع
Tabular	متطاول أو مستوٍ أو قرص
Stratified	متطبق
Polygenetic	متعدد النشأة والتشكيل
Polymodal	متعدد النمط
Near-symmetrical	متقارب التماثل
Ephemeral	متقطع (إشارة إلى تصريف الأنهار الفصلي): قصر الأجل: مؤقت
Precambrian iron formation	متكون حديد من قبل العصر الكمبري
Contiguous	متلامس: متجاور: قريب
Heterogenous	متنوع أو متعدد (غير متجانس)
Miscellaneous	متنوعة (متنوع)
Conformable	متوافق
Fissile	متورق
Mean	متوسط
Graphic mean	متوسط بياني (إشارة إلى متوسط حجم الحبيبات)
Solution channels	مجري أو قنوات الذوبان
Rugosa	المجعدات
Population of particles	مجموعات جسيمية
Ophiolitic-suite	مجموعة الأفيوليت: مجموعة إفيوليتية
Bottomset	مجموعة القاع
Foreset	مجموعة المقدمة أو الواجهة
Craton	مَجْنٌ - مَجْنِي
Magnetite	مجنيت (معدن)
Alcyonaria	المحوفات (مرجان ثنائي)
Oysters	محاريات
Conchoidal	محاري
Bounded	محاط
Allochemical component	محتويات أو مواد كيميائية غير نقية
Net maturity	محصلة النضوج
Pressure solution	محلول الضغط
Autochthonous	عملية أو مكانية المنشأ (غير مجلوبة): حوضية المنشأ

Corals	المرجانيات
Locomorph phase	مرحلة السمنتة والالتحام (مرحلة تكوين المادة اللاصقة)
Cone-in-cone	مخروط في مخروط
Striated	مخطط (مقلم)
Weathered residuum	مخلفات التجوية
Deflation lags	مخلفات التخوية
Tide	مد
Histogram	مدرج تكراري
Supported	مدعم
Conglomerates	مُذْمَلَكَات (جمع ذُمْلُوك وهو صخر يشبه صخر الراهص ولكن ذي حصوات مستديرة)
Paraconglomerates	مُذْمَلَكَات تجميعية
Orthoconglomerates	مُذْمَلَكَات الحصى النقية
Intraformational Conglomerates	مُذْمَلَكَات الحصوات الحوضية
Extraformational conglomerates	مُذْمَلَكَات الحصوات المجلوبة
Carbonate conglomerates	مُذْمَلَكَات كربوناتية
Polymictic conglomerates	مُذْمَلَكَات متعددة الحصوات
Oligomictic conglomerates	مُذْمَلَكَات وحيدة الحصوات
Submarine fan	مراوح بحرية
Alluvial fans	مراوح طميية
Chutes	مرتفع منحدرات قاع النهر
Alcyonarians	مرجان الشامي أو المجوفات
Hermatypic corals	مرجانيات شعاعية
Hydrocorallines	مرجانيات متميشة
Phase (stage)	مرحلة
Redoxomorphic phase	مرحلة الأكسدة والاختزال (إحدى مراحل النشأة المَابَعْدِيَّة)
Epidiagenesis phase	مرحلة ما بعد عملية النشأة المَابَعْدِيَّة
Phyllomorphic phase	مرحلة ما قبل التحول مباشرة
Peat stage	مرحلة المواد النباتية (التي ستصبح فحم فيما بعد)
Rough guide	فرشد تقريبي
Ferric iron compounds	مركبات مادة حديدية

Marl	مرل (صخر رسوبي جيري)
Quartz	مرو أو كوارتز (معدن)
Vein quartz	مرو (كوارتز) عرقي
Fan(s)	مروحة (مراوح)
Hydroplastic	مرونة مائية
Liquified	مُسَال
Burrows	مسالك
Animal burrows	مسالك أو أنفاق حيوانات (ديدان)
Well developed burrows	مسالك جيدة التكوين
Porosity (pore space)	مسامية
Primary porosity	مسامية أولية
Intercrystalline porosity	مسامية بين البلورات
Interparticle porosity	مسامية بين الجسيمات
Intergranular porosity	مسامية بين الحبيبات
Secondary porosity	مسامية ثانوية
Fenestral porosity	مسامية ثقبية أو فجوية
Vuggy porosity	مسامية ثقبية
Intraparticle porosity	مسامية داخل الحبيبات (الجسيمات)
Effective porosity	مسامية فعالة أو مؤثرة
Moldic porosity	مسامية القالب (أو قالبية)
Fracture porosity	مسامية المكسر: مسامية مُكسَريَّة
Solution porosity	مسامية المحلول
Marshes	مستنقعات سبخية ضحلة
Swamps	مستنقعات عُشبية
Hydrocarbon reservoirs	مستودعات الهيدروكربونات (النفط والغاز الطبيعي)
Planar	مستوى
Eluvial	مستوى التفتت أو التحات في آفاق التربة
Planes of fissility *	مستويات التصفع أو التورق
Rapid(s)	مسرَّع (جمعها مسارع)
Reef flat	مسطح الشعب
Tabulata	المسطحات (نوع من المرجانيات)

Intertidal	مسطحات الجزر
Supratidal flats	مسطحات فوق منطقة المد
Tidal flats	مسطحات المد والجزر
Old	مُسِن
Hackly	مسنن (أو مشرشر)
Structural traps	مصائد بنيائية
Oil traps	مصائد نفطية
Estuaries	مصبات الأنهار
Source	مصدر
Correlation	مضاهاة أو توافق، مطابقة
Turbulent	مضطرب
Polygon	مضلع (شكل كثير الأضلاع والزوايا)
Wind blow rain	مطر هبوب الريح
Convolute	مطوي أو ملفوف (مشوه)
Stable minerals	معادن ثابتة
Accessory minerals	معادن إضافية
Heavy minerals	معادن ثقيلة
Light minerals	معادن خفيفة
Authigenic minerals	معادن ذات نشأة محلية
Clay minerals	معادن طينية
Gangue minerals	معادن غَنَّة
Labile minerals (Unstable minerals)	معادن غير ثابتة
Carbonate minerals	معادن الكربونات : معادن كربونانية
Inclusive graphic standard deviation ( $\sigma_1$ )	معامل التصفيف البياني الشامل
Graphic kurtosis (KG)	معامل التفرطح البياني
Coefficient of sphericity	معامل التكور
Skewness	معامل الحيود أو الإنحراف
Inclusive graphic skewness ( $SK_1$ )	معامل الحيود البياني الشامل
Index of physical maturity	معامل النضوج الفيزيائي
Index of chemical maturity	معامل النضوج الكيميائي
Parameters	معاملات (مقاييس)

Grain size parameters	معاملات حجمية حبيبية
Depositional features	معالم ترسيبية
Erosional features	معالم (أو بُنيّات) حُتّائِيّة
Packed	معبأ
Paste	معجون
Microcrystalline paste	معجون دقيق التبلور
Geothermal gradient	معدل الحرارة الأرضية
Mineral	معدن
Hematite	معدن حديد : هيماتيت
Light mineral	معدن خفيف
Reef complex	معقد الشُّعْب
Suspension	معلق
Throat passages	ممرات بين المسامات
Sealed	مغلقة
Size parameters	مقاييس أو معاملات حجم الحبيبات
Snouts of glacier	مقدعات الجليد
Delta front	مقدمة الدلتا
Forereef	مقدمة الشُّعْب
Profile(s)	مقطع (مقاطع)
Soil profile	مقطع التربة
Seat earth	مقعد التربة
Probability scale	مقياس الاحتمالات
Grade scale	مقياس تدرج الحبيبات
Wentworth grade scale	مقياس تدرج أحجام الحبيبات للعالم وبتورث
Eye piece micrometer	مقياس مجهرى لقياس قطر الحبيبات تحت المجهر
Sedentary	مقيم ، مستقر ، موضعي
Conchoidal fractures	مكاسر محارية
Stratigraphic traps	مكامن طبقية
Fracture(s)	مكسر (مكاسر)
Hackly fracture	مكسر مسنن أو مشرشر
Terrigenous components	مكونات أرضية المنشأ : مكونات بَرِّيّة

Allochemical	مكونات كيميائية غير نقية
Orthochemical components	مكونات كيميائية نقية
Salt	ملح الطعام
Salt pseudomorph	ملح كاذب
Large throat passages	ممرات كبيرة بين المسام
Tidal inlets	ممرات المد: مداخل مائية
Thalwegs	ممرات منحدرية
Material eroded	مواد حتائية (حتية)
Organic matter	مواد عضوية
Carbonaceous material	مواد كربونية أو فحمية
Allochems	مواد كيميائية صلبة غير نقية
Interstitial material	مواد موجودة بين الفتاتات
Sand waves	موج الرمل
Back-reef	مؤخرة الشعاب أو ظهر الشعاب
Habitat	موطن
Terrestrial origin	من أصل أو نشأة أرضية: أصل أو منشأ بري
Diagenetic origin	من أصل نشأة كيميائية مابعدية
Glacial climate	مناخ مثلجي
Plain(s) (plane)	مناطق سهلية (أو سهول)
Sheltered embayments	مناطق شاطئية معزولة عن نشاط الأمواج أو التيارات
Pediment zones	مناطق منحدرات الجبال: مناطق بطاحية
Tropics	مناطق مدارية
Peneplain (Peneplane)	مناطق مستوية ومسطحة
Neritic zones	مناطق يُمية
Patterns	مناهج أو مناهيج
Montmorillonite	متموريلونيت (أحد أنواع معادن الطين)
Manganese	منجنيز (عنصر كيميائي)
Hydrothermal manganese	منجنيز الحرمائي
Slope	منحدر
Delta slope	منحدر الدلتا
Paleoslope	منحدر قديم

Pediments	منحدرات الجبال: بِطَاح
Frequençy curve	منحنى التواتر
Cumulative curve	منحنى تراكمي
Foraminifera	مُتَحَرِّبَات: فورامينيفرا
Low energy	منخفض النشاط
Circular platforms	منصات طبقية دائرية
Marine platform	منصة بحرية
Breaker zone	منطقة الانكسار (الموجي)
Photic zone	منطقة تتخللها أشعة الشمس
Roll-over zone	منطقة (نطاق) التدحرج المفرط
Piedmont zone	منطقة سفح الجبل: نطاق سفحي: منطقة سفحية
Littoral zone	منطقة شاطئية قليلة العمق: منطقة ساحلية
High energy zone	منطقة عالية الطاقة (أو النشاط)
Vadose zone	منطقة فوق مستوى منسوب المياه الجوفية
Antarctica	منطقة القطب الجنوبي
Catchment area	منطقة الجرى (أو منطقة تجمع المياه): منطقة التشرب: منطقة السيول
Provenance	منطقة المصدر
Plane view	منظار مستو
Jet of sediment-laden water	منفث الماء المحمّل بالراسب
Diagenetic segregation	منفصلات ذات نشأة كيميائية مابعدية
Connate waters	مياه أحفورية متزامنة
Shallow marine water	مياه بحرية قليلة العمق
Oxygenated groundwater	مياه جوفية مشبعة بالأكسجين
Upwelling waters	مياه صاعدة
Deeper waters	مياه عميقة
Shallow waters	مياه قليلة العمق: مياه ضحلة
Mica	ميكَا (معدن)
Microcline	ميكروكلين (معدن)
Alloyclic-mechanisms	ميكانيكيات دورية خارجية
Autocyclic mechanisms	ميكانيكيات دورية مكانية





Mature	ناضج
Chemically mature (minerallogically mature)	ناضج كيميائياً (ناضج معدنياً)
Texturally mature (Physically mature)	ناضج نسيجياً (فيزيائياً)
Physically mature	ناضجة فيزيائياً
Lateral shifting	نزوح جانبي
Accretional	نزوح مهاجر (هجرة نزوحية)
Texture	نسيج
Sandy texture	نسيج رملي
Texture of turbidites	نسيج روابب العكر
Surface texture	نسيج سطحي
Poikilitic texture	نسيج مرقش
Tectonically active	نشاط حركي في القشرة الأرضية (نشط التشكل)
Bioturbation	نشاط حيوي (أو اضطراب حيوي)
Meteorite diagenesis	نشأة ما بعدية جوية
Syn depositional origin	نشأة متزامنة الترسب
Active	نشط
Textural maturation	نضج نسيجي
Maturity	نضوج
Maturation	نضوج (نضج)
Mineral maturation	نضوج معدني
Textural maturity	نضوج نسيجي
Pelagic oozes	نضوحات (زرغات) رسوبية لينة
Ooze	نضوح، رزغ (جري أو سليبي)
Calcareous oozes	نضوح جيري (أو زرغات جيرية)
Siliceous oozes	نضوح سليبي = رزغات سليسية
Bouncing	نط
Zóné	نطاق، منطقة
Low energy zone	نطاق منخفض الطاقة
Lower flow regime	نظام التدفق المنخفض
River regime	نظام النهر

Novaculite	نفاكيوليت (صخر سليسي)
Crude oil	نقط خام أو زيت خام
Endichnia	نقق داخلي (نوع من أنواع أنفاق الديدان التي تحدثها في الرواسب)
Epichnia	نقق سطحي (نوع من أنواع أنفاق الديدان التي تحدثها في الرواسب)
Hypichnia	نقق قاعي (تحدثه بعض الديدان في الطبقات)
Brink point	نقطة الحافة أو نقطة الانكسار
Trough point	نقطة الحوض (أعمق نقطة)
Summit point	نقطة القمة
Transport traction	نقل مسحوب أو مجرور
Truncation point	نقطة الانكسار
Transport	نقل
Pure	نقي
Mode of formation	نمط التشكيل
Coarse mode	نمط خشن
Model	نموذج
Barrier model	نموذج الحاجز
Sedimentary model	نموذج رسوبي
Authigenic overgrowth	نمو موضعي
Grow upward	نمو في الاتجاه العلوي
Termites	نمل
Nontronite	ننترونيت (معدن)
Capillary fringe	نهاية حدود الخاصة الشعرية
Irreversible end	نهاية غير معكوسة
Meandering river	نهر ذو قناة ملتوية (نهر متعرج)
Fluvial	نهرية
Deflation sedimentation windows	نوافذ ترسيب وتغريغ
Nucleus	نواة
Mites	نوع من الحيوانات الدقيقة تعيش في التربة (سوس ، عث)
Mussels	نوع من الرخويات
Springtails	نوع من الكائنات الدقيقة
Nitrates	نترات

Nereites	نيريتز (نوع من أثر الديدان في الرواسب)
Current ripples	نيم التيار
Megacurrent ripples	نيم تيارى كبير
Megaripple	نيم كبير
Giant ripples	نيم عملاق
Asymmetrical ripples	نيم غير متماثل
Oscillation ripple	نيم متأرجح
Catenary ripple	نيم متسلسل
Climbing ripples	نيم متسلق
Symmetric ripple	نيم متماثل
Straight ripple	نيم مستقيم
Wave ripples	نيم الموج
Linguoid ripple	نيم لساني
Sinuuous ripple	نيم ملتوي = نيم ملفف
Starved ripples	نيم ميت
Lunate ripple	نيم هلالى



Gravity slumping	هابط الجاذبية
Gust	هبة ريح
Slumping	هبوط
Sliding and slumping	هبوط وانزلاق
Bipyramidal	هرمى ثنائى
Slumps	هوابط
Hydroxypatite	هيدروكسى أباتيت (معدن)
Oxyhydroxide	هيدروكسيد الأكسجين
Halite	هليليت أو ملح الطعام (معدن)

Prodelta	واجهة الدلتا
Reef front	واجهة (مقدمة) الشعب

Recombent foreset	واجهة مضطجعة
Sharp	واضح
Wackes	واكي (نوع من أنواع الرمل)
Quartz wacke (Greywacke)	واكي الكوارتز (أحد أنواع أحجار الرمل)
Ventifacts	وجهريميات (أثر الريح على أوجه الصخور أو الحصى)
Lee face	وجه معاكس للتيار
Morphological units	وحدات تشكيلة أو تضاريسية
Sedimentary unit	وحدة رسوبية
Centipoise	وحدة قياسية تستخدم في قانون استخراج النفاذية
Mud	وحل
Lime mud	وحل جيرى
Shelf-mud	وحل الرصيف
Pelagic mud	وحل بحري
Unimodal	وحيد النمط
Arithmetic base paper	ورق بياني ذو تقسيم حسابي منتظم
Logarithmic base paper	ورق ذو تقسيم لوغاريتمي
Bladed	ورقي أو نصلي
Pillow lavas	وسائد اللابا
Medium	وسط (أو متوسط)
Median	وسيط
Median grain size	وسيط حجم الحبيبات
Habit	وضع أو هيئة
Attitude	وضع (تستخدم للإشارة إلى وضع الطبقات أو التطبق المتقاطع)



Glide	يتزحلق
Greep	يزحف
Neritic	يمية
Slide	يتزلق

ثانيًا: إنجليزي - عربي

A

Abandoned channel	قناة معزولة أو مهجورة
Above wave base	فوق مستوى قاعدة الموج
Abraided - stream system	أنظمة قنوات الأنهار المتفرعة
Abrasion	تآكل
Abyssal plains	سهول بحرية عميقة
Accretional	نزوح مهاجر (هجرة نزوحية)
Accumulation	تراكم
Acheocyathides	أكويسايتيدز (أحد أنواع المرجان من العصر الكامبري)
Acicular	إبري
Acids	حموض
Active	نشط
Actively subsiding basins	أحواض ترسيب نشطة
Aerobic bacteria	بكتيريا هوائية
Agglomerates	رواهص بركانية
Aggradation	إرساب (تجمع)
Aggregates	متجمعات
Agricultural lime	جير زراعي
Albite (Na-Feldspar)	ألبيت (صوديوم فليسبار - معدن)
Albitization of feldspars	ألبيتة الفليسبارات
Alcyonarians	المجوفات أو المرجان الثاني
Algae	طحالب

Algal biolithite	صخور أحياء طحلبية
Algal mat	فرشات طحلبية
Algal micritization	تجبر طحلي
Algal structures	بنيات طحلبية
Alkalies	قلويات
Alkaline	قلوي
Allochem grains	حببيات كيميائية غير نقية
Allochemical	مكونات كيميائية غير نقية
Allochemical component	محتويات كيميائية غير نقية
Allochemical limestones	أحجار جير كيميائية غير نقية
Allochems	مواد كيميائية صلبة غير نقية
Allochthonous	ذات نشأة خارجية (مجلوبة)
Allochthonous sediments	رواسب ذات نشأة خارجية (مجلوبة)
Allocyclic - mechanisms	ميكانيكيات دورية خارجية
Alluvial	طمي
Alluvial fans	مراوح طمية
Alluvial plains	سهول طمية
Alluvium	طمي
Alumina	ألومينا
Aluminohydrosilicates	سليكات الألومنيوم المتميعة
Aluminosilicates	سليكات الألومنيوم
Ambient fluid	سائب محيط
Ammonite opercula	آمونية غطائية : غطاء آمونيتي
Amorphous (cryptocrystalline)	عديم التبلور أو التشكل
Amorphous silica	سليكا عديمة التبلور أو التشكل
Amphibian	برمائيات
Ancient geosynclines	أحواض ترسيب قديمة
Ancient oolites *	سريثيات صخرية قديمة
Angularity	نزوى
Anhydrite	أنهيدريت (معدن)
Animal burrows	مسالك أو أنفاق حيوانات (ديدان)

Animal tracks	أثر أقدام الحيوانات
Ankerite (Ca (MgFe) (CO <sub>3</sub> ) <sub>2</sub> = Ferroan dolomite	أنكريت : دلويميت حديدي (أحد معادن الكربونات)
Annelids	الحلقيات
Anorthite (Ca - feldspar)	أنورثيت (كالسيوم فليسبار - معدن)
Antarctica	منطقة القطب الجنوبي
Anthracite	أنثراسيت (إحدى رتب الفحم وأجودها)
Anthracite coal	فحم الأنثراسيت
Anticlinal crests	قمم محدبة
Antidunes	كثبان مضادة
Apatite	أباتيت (أحد المعادن الثقيلة)
Apposition fabric	طراز بناء الإضافة
Aquifer	خزانات المياه الطبيعية (مستودعات المياه الجوفية)
Arabian Nubian Shield	الدرع العربي النوبي
Aragonite (CaCO <sub>3</sub> )	أراجونيت (أحد معادن الكربونات)
Aragonite muds	أطيان الأراجونيت
Archeocyathids	أركيوسيايلدز، جنس منقرض من عصر الكامبري ذو هيكل جيري
Arctic and antarctic regions	الأقاليم القطبية الشمالية والجنوبية
Arenaceous deposits	رواسب رملية
Arenite	حجر الأرنيت (أحد أنواع أحجار الرمل : يتكون من نسبة عالية جدًا من المرو)
Argillaceous	طيني
Argillaceous limestone	حجر طين جيري دقيق الحبيبات
Argillaceous matrix	راسب أرضية طيني
Argillaceous sands	رمل طيني دقيق الحبيبات
Argillaceous sandstones	أحجار رمل طينية
Argillaceous sediments	رواسب طينية
Arithmetic base paper	ورق بياني ذو تقسيم حسابي منتظم
Arkose	أركوز (أحد أنواع أحجار الرمل : يتكون من مرو ونسبة كبيرة من الفليسبار)
Arthropods	المفصليات
Ash (Volcanic ash)	رماد بركاني
Ash falls	رماد متساقط

Ash flow	رماد متدفق
Asphalt	أسفلت (أحد أنواع المركبات الهيدروكربونية العضوية)
Asymmetrical ripples	نيم غير متماثل
Atolls	شعاب الجزر المرجانية
Atomic structure	بنية ذرية
Attitude	وضع (تستخدم للإشارة إلى وضع الطبقات أو التطبيق المتقاطع)
Autochthonous	محلية أو مكانية المنشأ (غير مجلوبة)
Autochthonous reef rock	صخور جبر شعابية ذات نشأة مكانية
Autochthonous sediments	رواسب ذات نشأة محلية
Authigenic carbonate	الكربونات الموضعية النشأة
Authigenic minerals	معادن ذات نشأة محلية
Authigenic overgrowth	نمو موضعي
Autocyclic mechanisms	ميكانيكيات دورية مكانية
Avalanches (rock falls)	انتيارات (أو سقوط الصخور)
Average shale	طين صفحي عادي

**B**

Back - reef	مؤخرة الشعب أو ظهر الشعب
Bacterial reduction	اختزال بكتيري
Bands	أحزمة، أشرطة، سيور
Bank	جدار أو حيطه
Barchan (Barkhan)	برخان (أحد أنواع الكثبان الرملية)
Barite	باريت (معدن)
Barrier	حاجز
Barrier coasts	حواجز شاطئية
Barrier islands	جزر عازلة
Barrier model	نموذج الحاجز
Barrier reefs	شعاب حاجزة
Barrier sand	رمل الحاجز
Basal unconformity (surface)	(سطح) عدم التوافق القاعدي أو السفلي
Bauxite	بوكسيت (معدن)



Bay (s)	غَب (أَغْيَاب)
Bear (s)	دُب (دَبَّيَّة)
Bed (s)	طبقة (طبقات)
Bed form	أشكال طبقية (أو تشكيل الطبقات)
Bed load	حمل الطبقة
Belemnoids	السجاريات
Below photic zone	تحت منطقة اختراق أشعة الشمس
Below wave base	تحت مستوى قاعدة الموج
Benthonic fossils	أحافير قاعية (بنتونية)
Benthonic population	توطين قاعي (بنتوني)
Bentonite	بنتونيت (صخر رسوبي من أصل بركاني)
Bimodal	ثنائي النمط (أو ذو نمطين)
Biochemical	كيمياء حيوية
Biogenic	حيوي
Biogenic debris	حطام حيوي
Bioherms	صخور شعاعية متراكمة
Biolithite	صخر حيوي
Biomicrite	حجر طين جيرى به بقايا حيوية
Biomicrudite	حجر جير كبير الحبيبات وبه بقايا حيوية
Biomoldic	قوالب حيوية
Bio-oosparite	كلسيت نقي متبلور به سرثيات وبقايا حيوية
Bio-oosparrudite	كلسيت نقي كبير التبلور به سرثيات وبقايا حيوية
Biopelmicrite	طين جيرى به عقد طينية جيرية وبقايا حيوية
Biopelsparite	كلسيت نقي متبلور به عقد طينية جيرية وبقايا حيوية
Biorudmicrite	طين جيرى به بقايا حيوية كبيرة
Biorudpelmicrite	طين جيرى به عقد طينية جيرية وبقايا حيوية كبيرة
Biosparimicrite	طين جيرى به كلسيت نقي متبلور وبقايا حيوية
Biosparimicrudite	طين جيرى كبير الحبيبات به كلسيت نقي متبلور وبقايا حيوية
Biosparite	حجر جير نقي متبلور وبه بقايا حيوية
Biostratigraphy	علم الطبقات الجيوية
Biostromes	صخور شعاعية صفاحية أو طبقية

Bioturbated layers	طبقات مضطربة
Bioturbation	نشاط حيوي (أو اضطراب حيوي)
Bioturbation - structures	بنيات اضطرابية حيوية
Bipyramidal	هرمي ثنائي
Bituminous	بيتومين (أحد رتب الفحم)
Bituminous coal	فحم البيتومين
Bivalves	طائفة المحاريات (أحافير ذات مصراعين)
Black bands	أحزمة سوداء (طبقات سوداء ضئيلة السمك)
Bladed	ورقي أو نصلي
Blasting	صنع أو ارتطام
Blocky	كتلية (كتلي)
Bog iron ores	خام حديد المستنقع
Bonding	التحام
Bone beds	طبقات العظم (أي طبقات تتكون من العظم)
Bone phosphate	فوسفات العظم
Boring organism	ديدان ثقبية
Borings	ثقوب
Bottomset	مجموعة القاع
Bottomset deposits	رواسب مجموعة القاع
Boulder (s)	جلمود (جلاميد أو كيب)
Bouncing	نط
Bounded	محاط
Boundstone	حجر مترابط حيوي
Brachiopods	عضديات القدم أو الأرجل
Braided alluvium	طمي النهر المتشعب
Braided channels	قنوات نهريّة متشعبة
Braided rivers	أنهار متشعبة
Braided streams	جداول نهريّة متشعبة
Breadth (= width)	عرض
Breaker zone	منطقة الانكسار
Breccia	مُذْمَلَكَات (تشبه الرواهص ولكن ذات حصى مزواة)

Brine	أجاج (ماء فوق مشبع بالملح)
Brink lines	خطوط الحواف أو خطوط الانكسارات
Brink point	نقطة الحافة أو نقطة الانكسار
Bryozoa	طائفة الحزازيات
Bryozoans	الحزازيات (أحافير مسلكية)
Burrowing	عملية الحفر (التي تحدثها الديدان في الرواسب)
Burrows	مسالك

### C

Calcareenite	أحجار جير خشنة (مقاس حبيباتها في مقاس حبات الرمل)
Calcareous	ويطلق عليها أحيانا رمل جيرى كلسي
Calcareous algae	طحالب كلسية
Calcareous oozes	نضوح جيرى (أو ردغات جيرية)
Calcareous sandstones	أحجار رمل جيرية (كلسية)
Calcareous sponges	إسفنجيات كلسية
Calcic feldspars	فلسبارات الكالسيم
Calclutite	أحجار وحل الجير (أحجار الوحل الكلسي)
Calclrudite (Carbonate conglomerates)	رواهص كلسية (رواهص تتكون من حصيات كلسية مستديرة)
Calcite (CaCO <sub>3</sub> )	كلسيت (أحد معادن الكربونات)
Calcitization	عملية تكوين الكلسيت
Calcium sulphate	كبريتات الكالسيم
Caldera	فوهة بركان
Cambrian	العصر الكمبري
Canyon	أخدود بحري
Capillary fringe	نهاية حدود الخاصة الشعرية
Capillary water	ماء الخاصة الشعرية
Carbonaceous material	مواد كربونية أو فحمية
Carbonaceous matter	مادة متكرنة
Carbonaceous rocks	صخور الفحم
Carbonate	كربونات

Carbonate conglomerates	رواهص الكربونات
Carbonate minerals	معادن الكربونات
Carbonate muds	أوحال جيرية (كربوناتية)
Carbonate sands	رمل الجير (أو رمل الكربونات)
Carbonate sedimentation	ترسيب الكربونات
Cast (s)	طابع (طوايع)
Catchment area	منطقة المجرى (أو منطقة تجمع المياه)
Catenary ripple	نيم متسلسل
Cathodoluminescence	استضاءة المهبط
Cations	كاتيون (جميعها كاتيونات)
Cavities	تجاويف (فجوات متآكلة)
Celestite	سليستيت (معدن)
Cement	لاحم
Cemented sandstone	حجر رمل ملتحم الحبيبات
Centipose	وحدة قياسية تستخدم في قانون استخراج النفاذية
Cephalopods	رأسيات الأرجل
Chalcedonic cement	لاحم كلسيدوني
Chalcedony	كلسيدوني (معدن)
Chamosite	كاموسيت (معدن)
Channel (s)	قناة (قنوات)
Channel bars	حواجز قنوية
Channel lag deposits	رواسب القناة المتخلفة
Chemical composition	تكوين معدني كيميائي
Chemical degradation	تفكك كيميائي
Chemical instability	تغير كيميائي
Chemically immature	غير ناضج كيميائياً
Chemically mature	ناضج كيميائياً
Chemical sediments	رواسب كيميائية
Chert	ظر
Chert nodules	منعقدات الظر
Cherty iron	حديد ظري

China clay	طين الصين
Chlorapatite	كلور أباتيت (معدن)
Chlorite	كلوريت
Chutes	مرتفع منحدرات قاع النهر
Circular platforms	منصات طبقية دائرية
Circulating	حركة دائرية (مطاف أو دوران)
Circulating pore fluids	حركة سوائل المسام
Circulation	حركة دائرية (دوران، طواف)
Cirques	دارات ثلجية
Classes	رتب
Classification	تصنيف
Elastic detrital	رواسب كيميائية فتاتية
Elastic sediments	رواسب فتاتية
Elastic terrigenous sediments	رواسب فتاتية أرضية النشأة
Clay	طين
Clay bands	أحزمة طينية
Clay bonding	ارتباط طيني
Clay matrix	طين راسب الأرضية
Clay minerals	معادن طينية
Clay platelets	أطباق طينية صغيرة
Claystone	حجر طين
Cleavage	خاصية الانفصام
Cliff	حائط جبلي
Climbing ripples	نيم متسلق
Climbing ripples lamination	ترقق نيمي متسلق
Coal	فحم (حجر الفحم الطبيعي)
Coalification	تفحم (تكرين المواد النباتية)
Coal seams	عروق الفحم
Coal series	سلسلة الفحم
Coarse mode	نمط خشن
Coarsening upward sequence	تابع سحني تخشن فيه الحبيبات في الاتجاه العلوي

Coarser upward	اختشن في الاتجاه العلوي
Coastal processes	عمليات شاطئية
Coated grains	حبيبات مغلفة
Cobbles	حصى كبير
Coccolithophorids	كوكوليثيفوريدز (نبات يفرز كلسيت)
Coccoliths	الكوكوليث
Coefficient of sphericity	معامل التكور
Coelenterates	اللاحشويات
Coherent surface	سطح متناسك
Cohesion	خاصية الترابط (التناسك)
Colloidal	غروانية
Colloidal hydrated silica	غروانية السليكا المتعمية
Colloidal paraticles	جسيمات غروانية
Collophane	خليط غير مؤكد أنواع مركباته
Combined water	ماء مشترك
Compacted	أحكم أو أدمج
Compaction	عملية الدمج أو الإحكام
Composite grain	حبيبات مركبة
Composition	تكوين معدني
Concave	تقعر
Concavo - convex contacts	تماس محدب مقعر
Concentric	دوائر متحدة المركز
Concentric layered structure	بنيات طبيقية متحدة المركز
Concentric layers	طبقات دائرية متحدة المركز
Concentric structure	بنية دائرية وحيدة المركز
Conchoidal	محاري (مُكسّر)
Conchoidal fractures	مكاسر محارية
Concretion (s)	درة (دزونات)
Cone-in-cone	مخروط في مخروط
Conformable	متوافق
Conglomerate (s)	راهص، رواحص (مدملكات ذات حصوات مستديرة)

Conical aggregates	تجمعات مخروطية
Connate waters	مياه أحفورية متزامنة
Contact	تماس أو اتصال
Continental environment	بيئة قارية
Continental shelves	أرصفت قارية
Convex side	جانب محدب
Convolute	مطوي أو ملفوف (مشوه)
Convolute bedding	تطبق مطوي (ملفوف)
Convolute folding	تطيؤ مطوي
Convolute lamination	ترقق مطوي أو تصفح مطوي
Convolute structures	بنيات مطوية
Coquina	كوكينا (حجر جير غني بالأصداف)
Coquina limestone	حجر جير الكوكينا
Coral atolls	جزر مرجانية
Coral beds	طبقات مرجانية
Coral biolithite	صخور أحياء مرجانية
Coral rocks	صخور مرجانية
Corals	طائفة المرجانيات
Coral sand	رمل المرجانيات
Correlation	مضاهاة أو توافق ، مطابقة
Corroded	متآكل
Coset	أطقم (مفرد طقم)
Cosmorrhaphie	كوسمورهاف (دودة)
Couplets	طبقيات زوجية
Crabs	سرطانيات
Cracks taper	نلاشي الشقوق (أو شقوق متلاشية)
Cratonic cherts	ظفر كريوتوني (ظفر المناطق الراسخة في القشرة الأرضية)
Crawling	زحف (رواسطة الحي)
Creep	يزحف
Creeping	زحف (بواسطة السحب)
Crest lines	خطوط القمم (خطوط قِمَمِيَّة)

Cretaceous	العصر الطباشيري
Crevasse channels	قنوات منشقة
Crevasse Splays	انكسارات أو شقوق
Crinoid beds	طبقات الزنبقيات
Crinoides	طائفة الزنبقيات
Cross-bedding (Cross-stratification)	تطبق متقاطع
Cross cut	قطع عرضي
Cross-laminae	رقائق متقاطعة
Cross-lamination	ترقق متقاطع
Cross strata	تقاطع طبقي
Crude Oil	نפט خام أو زيت خام
Crusts	أغطية أو قشور
Cruzians	كروزيانا (حيوان)
Cryptocrystalline (Amorphous)	عديم التبلور
Cryptoturbation structures	بنيات مشوهة ومضطربة
Crystalline carbonate	كربونات متبلورة
Cubichnia	دودة (أحد أنواع الديدان المستقرة في قاع البحر)
Cumulative curve	منحنى تراكمي
Current lineation	تخطط التيار
Current ripple bedding	تطبق نيم التيار
Current ripples	نيم التيار
Cyclic	دوري
Cyclic sedimentation	ترسيب دوري
Cyclothem	دورة ترسيبية نهريّة كبيرة

**D**

Debris (rock waste)	حطام
Debris flow	تدفق حطامي
Decomposition	تحلل
Deducing Habitate	جلب معيشة أو سكن (موطن)
Deeper waters	مياه عميقة



Deflation	تخوية . تفريغ
Deflation lags	مخلفات التخوية
Deflation lag sediments	رواسب مخلفات التخوية
Deflation-sedimentation windows	نوافذ ترسيب وتفريغ
Deformational fabric	طراز مُشوّه
Delta environment	بيئة دلتاوية
Delta foot	قدم الدلتا
Delta front	مقدمة الدلتا
Delta slope	منحدر الدلتا
Density difference	فرق الكثافة
Denudation	تعرية
Deposition	ترسيب (عملية الترسيب)
Depositional features	معالم ترسيبية
Desert environment	بيئة صحراوية
Desert playas	بحيرات سبخية صحراوية
Desert varnish	دهن صحراوي (طلاء صحراوي)
Desiccation cracks	شقوق الجفاف
Detrital carbonate	كربونات حتاتية
Detrital grains	حبيبات حتاتية
Dewatering	طرد الماء أو استخراج
Diagenesis	عمليات النشأة المتأخرة
Diagenetic	ذات نشأة كيميائية متأخرة
Diagenetic origin	من أصل نشأة كيميائية متأخرة
Diagenetic segregation	منفصلات ذات نشأة كيميائية متأخرة
Diagenetic textures	أنسجة متغيرة (ذات نشأة كيميائية)
Diamictite (Paraconglomerate or pebbly mudstone)	رواسب مجروفة بالجليد (أو رواسب منهرة تحت تأثير الجاذبية)
Diatom	دياتم (نوع من الطحالب يفرز سليكا)
Disc (oblate = tabular)	أسطوانة ، قرص (أحد رتب تكور الحبيبية)
Discharge	صرف أو تصريف
Disc sphaped	قرصي أو أسطواني الشكل

Dismicrite	صخور رزغة الجير المشوة
Distal bar	حاجز مبتعد
Distributary channel	قناة متفرعة
Distributary mouth bar	حاجز فم النهر المتفرع
Divides	فواصل
Dolobiosparmicrite	طين جيرى متدلت به كلسيت نقي متبلر ويقايا حيوية
Dolomicrite	طين جيرى متدلت
Dolomite (CaMg (CO <sub>3</sub> ) <sub>2</sub> )	دولوميت (أحد معادن الكربونات)
Dolomite ooze	نضح الدولوميت
Dolomitic limestone	حجر جيرى متدلت
Dolomitic silt	غرين دولوميتي
Dolomitised fossils	أحافير متدلنة
Dolomitization	تدلت (عملية التلنت). تَلْتَة
Dolostone	حجر الدولوميت
Domichnia	ديدان ساكنة في قاع البحر
Drainage basin	حوض مصرف أو حوض الصرف
Drift deposits	رواسب مجروفة
Drill cuttings	القطاعات المثقبة
Drumlin	حدبة جليدية
Drusy crystallization	تبلور نتوي
Drusy spar	كلسيت نتوي متبلر نقي
Dunes	كشيان
Dwelling	ثابتة ثابتة
Dwelling organisms	أحياء (نباتات وديدان) ثابتة ثابتة

E

Early diagenetic	عملية النشأة المابعدية المبكرة
Early diagenetic dolomitization	تدلت مبكر ذو نشأة مابعدية
Echinodermata (echinoderms)	طائفة الجلد شوكيات
Echinoderms	القنفذيات
Echinoid plates	أطباق القنفذيات

Eddies	دوامات
Effective porosity	مسامية فعالة أو مؤثرة
Elliptical	بيضاوي
Elongated reef	شعاب مستطيلة (أو متطاولة)
Eluvial	مستوى التفتت أو التحات في آفاق التربة
Encrusting algae	طحالب غشائية
Endichnia	نفق داخلي (نوع من أنواع انفاق الديدان التي تحدثها في الرواسب)
Endogenetic	بنيات تتشكل تحت سطح الراسب
Endolithic algae	طحالب دقيقة
Environmental analysis	تحليل بيئي
Eolian deposits	رواسب ريحية (هوائية)
Ephemeral	متقطع (إشارة إلى تصريف الأنهار الفصلي)
Epichnia	نفق سطحي (نوع من أنواع انفاق الديدان التي تحدثها في الرواسب)
Epidiagenesis	ما بعد عملية النشأة المتأخرة
Epidiagenesis phase	مرحلة ما بعد عملية النشأة المتأخرة
Epigenetic concretions	درنات نشأت بعد الترسيب
Equant (Spherical)	كروي
Equilibrium	توازن
Equilibrium deflation	تفريغ متوازن
Eroded	تحاتي أو محتوت
Erosion	حت (أو ما يعرف بعملية التعرية)
Erosional bases	قواعدات تحاتية
Erosional bed forms	تشكيلات طبقية تحاتية
Erosional features	معالم (أو بنيات) حتاتية
Erosional volcanoclastic sands	رمل تحات الفتات البركاني
Erratic blocks	صخور كتلية جلمودية ذات ترسيب ثلجي
Erratic subsidence	انخفاض غير منتظم
Estuaries	مصبات الأنهار
Euhedral faces	أوجه بلورية كاملة
Eustatic	تغيرات متوازنة في مستوى سطح البحر
Eustatic change	تغير منسوب مستوى البحر

Evaporites	متبخرات (أو صخور البخر)
Excrement	إفرازات
Excretes	إخراجات (فضلات)
Exfoliation	تقشر (أو تفسخ) سطح الصخر
Exogenetic	بنيات تتشكل بالقرب من (أو على) سطح الراسب
Extrabasinal clasts	كسرات نشأة خارجية
Extrabasinal rocks	صخور من خارج حوض الترسيب
Extrabasinal sediments	رواسب من خارج حوض الترسيب (رواسب مجلوبة)
Extremely heterogeneous sediments	رواسب متعددة التكوين المعدني
Eye piece micrometer	مقياس مجهري لقياس قطر الحبيبات تحت المجهر

## F

Fabric	طراز (أو ترتيب الجسيمات المعدنية في الصخر الرسوبي)
Facies	سحنة (جمعها سحنات)
Facies analysis	تحليل سحني
Faecal pellet	كرات أو عقد جيرية: كُرَيَات غائطية
Fan (s)	مروحة (مراوح)
Fanglomerate	رواهص مروحية
Fault (s)	صدع (صدوع)
Fault bounded intracratonic basins	أحواض بحرية محاطة بصدوع
Fauna	أحياء حيوانية
Feeding burrows	حيوانات مسلكية متطفلة
Fenestral porosity	مسامية ثقبية
Feroan dolomites	صخور دلويميت حديدية
Ferric iron compounds	مركبات مادة حديدية
Ferric oxides	أكاسيد حديدية
Ferruginous	حديدية
Ferruginous aluminohydrosilicate	سليكات الألومنيوم المتميئة الحديدية
Fine banding	أحزمة رقيقة
Fine calcite ooze	نضج كلسيت دقيق الحبيبات (أو ناعم)
Fine matrix	مادة الأرضية الناعمة

Finer upward	أنعم في الاتجاه العلوي
Fine skewed	حيود ناعم
Fining upward	تنعيم في حجم الحبيبات كلما اتجهنا إلى أعلى القطاع
Fining upward sequence	تتابع سحي تنعم فيه الحبيبات في الاتجاه العلوي
Fire clay	طين ناري
Fissile	متورق
Fissility	تورق ، نصفح
Fjord (Fiord)	بحر شبه مغلق (زقاق بحري تكتنفه الأجراف)
Flaggy	لوحية (لوحى)
Flaser bedded	تطبق نيمي متتابع
Flaser bedding	تطبق متتابع هلالى الشكل
Flat bedding	تطبق مستو
Flat beds	طبقات مستوية
Flat surface	سطح مستو (أو مسطح)
Flint	صوان (نوع من صخور السليكا)
Floating ice	طفو الثلج
Flood basins	حوض الفيضان (جميعها أحواض الفيضان)
Flood plains (overbank)	سهول الفيضان
Flora	أحياء نباتية
Fluid (s)	سائب (سوائب)
Fluids movement	حركة السائب
Flute marks	علامات الأبواق
Flutes	أبواق
Fluvial	نهرى
Fluvial deposits	رواسب نهريّة (رواسب الأنهار)
Fluvial environment (s)	بيئة نهريّة (بيئات نهريّة)
Fluvial processes	عمليات نهريّة
Fluvial sedimentation	ترسيب نهري
Fluvial subenvironment	تحت بيئة نهريّة
Fluxoturbidite	رواسب عكر مختلفة
Fluxoturbidite channel	رواسب مائلة القناة البحرية العكرة المختلفة

Flysch deposits	رواسب الفِلش أو رواسب البحار العميقة العكرة
Flysch facies	سِيَخْنَات الفِلش (سحنات رملية لبيئات بحرية عميقة)
Flysch turbidities	رواسب العكر أو الفِلش
Fodichnia	بَنِيَات مسالك تغذية الديدان
Foraminifera	الْمُنْحَرَبَات (طائفة الفورامينيفرا)
Foraminiferal ooze	رزغ الفورامينيفرا
Foraminiferal sand	رمل الفورامينيفرا (رمل المنحربات)
Foreereef	مقدمة الشُعْب
Foreset	مجموعة المقدمة أو الواجحة
Foreset deposits	رواسب مجموعة المقدمة
Fossil soil	تربة أحفورية
Fracture (s)	مكسر (مكاسر)
Fracture porosity	مسامية المكسر
Francolite	فرانكوليت (معدن)
Frequency curve	منحنى التواتر
Friable (= uncemented)	غير ملتحم (مفروط)
Fringing reefs	شعاب متاخمة
Fungi	فطريات

**G**

Gangue minerals	معادن غثة
Garnet	جارنت (أحد المعادن الثقيلة)
Gases	غازات
Gas heave structures	بنيات تنوءات الغاز
Gastropods	بطنيات الأرجل أو الأقدام
Geodes	جيود (تجويف مبطن بمعدن متبلل)
Geological record	سجل جيولوجي
Geometry	أبعاد حجمية
Geopetal fabric	طراز جيوتال : الطراز التُوْثِي
Geophysics	علم الفيزياء الجيولوجي
Geosynclinal cycle	دورة حوض الترسيب المابط الكبير (دورة قعائرية عظمى)

Geosyncline cherts	ظر الأحواض الهابطة العملاقة
Geosyncline troughs	أحواض ترسيب هابطة عملاقة
Geothermal gradient	معدل الحرارة الأرضية
Giant ripples	نيم عملاق
Glacial climate	مناخ جليدي
Glacial diamictites	صخور مجروقة بالجليد
Glacial sediments	رواسب جليدية
Glacial varves	رقائق الوحل الجليدي
Glaucinite	جلوكينيت (أحد أنواع معادن الطين)
Globigerina	جلو بيجيرينا (أحد أنواع أحفورة الفورامينيفرا)
Goethite	جوتيت (معدن)
Good grain orientation	توجيه حبيبي جيد
Good sorting	تصنيف جيد
Gradation	حت (تفكك)
Grade boundaries	حدود التدرج الحجمي للحبيبات
Graded bedding	تطبق متدرج
Graded turbidites	رواسب عكر متدرجة
Grade scale	مقياس تدرج الحبيبات
Gradual isostatic adjustment	تعديل تدريجي توازني
Grain(s)	حبة (جميعها حبيبات)
Grain flow	تدفق الحبيبات
Grain flow process	عملية تدفق الحبيبات
Grain orientation	توجيه الحبيبة
Grain packing	تعبئة الحبيبة
Grain pitted	حبيبات محفورة
Grain sediments	حبيبات الرساب
Grain size	حجم الحبيبات
Grain size distribution	توزيع حجمي حبيبي
Grain size parameters	معاملات حجمية حبيبية
Grainstone	حجر حبيبي
Grain supported	تدعيم حبيبي

Granite wash	غسل (غسيل) الجرانيت (إشارة إلى حت صخر الجرانيت بالماء)
Granules	حبيبات أو فتاتات حجمها أقل من الحصى وأكبر من الرمل
Grapestone	حجر العنب
Graphic kurtosis (KG)	معامل التفرطح البياني
Graphic mean	متوسط بياني (إشارة إلى متوسط حجم الحبيبات)
Gravels	زلط: جرو ل
Gravitational water	ماء تجاذبي (أو ماء الجاذبية)
Gravity slumping	هابط الجاذبية
Graywacke	جريواكي (أحد أنواع أحجار الرمل يحتوي على نسبة عالية من الطين، وهو من رواسب العكر)
Grazing trails	مجرات الديدان التي ترعى
Greenolite	جرينليت (معدن)
Groove casts	طابع الخطوط
Groove maks	علامات التخطط
Grooves	خطوط أو تخطط
Ground moraine	ركام جليدي سفلي
Grow upward	نمو في الاتجاه العلوي
Guano	راسب فوسفاتي نيتراي
Gust	هبة ريح
Gypsum	جبس

## H

Habit	وضع أو هيئة
Habitat	موطن
Hackly	مستنن (أو مشرشر)
Hackly fracture	مكسر مستنن أو مشرشر
Halimeda	طحلب الحلميذا
Halite *	هليلت أو ملح الطعام (معدن)
Hamada (Rocky desert)	صحراء همادة (صحراء صخرية)
Hand specimen	عينة يدوية
Hard ground	أرض صلبة (قاسية)



Heave	بروز أو نتوء (انتفاخ)
Heavy minerals	معادن ثقيلة
Heavy minerals province	إقليم المعادن الثقيلة
Helical circulation	حركة دائرية حلزونية
Helminthoida	مجرة الدودة الملفطحة
Hematite	معدن حديد
Hemipelagic sediments	رواسب وحلية سوداء ذات بيئة بحرية فائقة العمق
Heterogenous	متنوع أو متعدد (غير متجانس)
Heterogenous sediments	رواسب متنوعة التكوين
High energy environment	بيئة عالية النشاط أو الطاقة
High energy zone	منطقة عالية الطاقة (أو النشاط)
High grade metamorphic rocks	صخور عالية التحول
Histogram	مدرج تكراري
Holocene	عصر الألوسين (أو الحديث)
Horizon (s)	أفق (آفاق)
Horizontal bedding	نطبق أفقي
Horizontal lamination	ترقق أفقي
Humic	دبال (مادة نباتية عفنة)
Hummock	ربوة جليدية
Hydrated oxides	أكاسيد متميئة
Hydrocarbon reservoirs	مستودعات الهيدروكربونات (النفط والغاز الطبيعي)
Hydrocorallines	مرجانيات متميئة
Hydrodynamic	قوى السوائب والموائع
Hydrodynamic environment	بيئة ديناميكية متميئة
Hydrogen sulfide	كبريتيد الهيدروجين
Hydroplastic	مرونة مائية
Hydrostatic pressure	ضغط ساكن متميئ
Hydrothermal manganese	منجنيز الحرمائي
Hydrous aluminosilicates	سليكات الألومنيوم المتميئة
Hydrous silica	سليكا متميئة
Hydroxyapatite	هيدروكسي أباتيت (معدن)

Hydroxyle ions	أيونات الأكسجين المتحمية
Hygroscopic water	ماء التبلل
Hypichnia	نقق قاعي (تحدثه بعض الديدان في الطبقات)

I

Ice bergs	ثلوج طافية
Ice caps	أقية ثلجية
Ichnofacies	سحنة حيوية أثرية
Ichnofossils	أثار الأحافير
Ichnology	علم أثار الأحافير
Idiomorphic crystals	بلورات كاملة الشكل والبنية
Illite	إليت (أحد معادن الطين)
Illuvial	أفق التجمع والتراكم
Impermeable	غير نافذ (عديم النفاذية)
Incipient pellets	عقد مبتدئة التكوين
Incipient schistose textures	بداية تكوين نسيج الشست
Inclusive graphic skewness ( $SK_p$ )	معامل الحيدود البياني الشامل
Inclusive graphic standard deviation ( $\sigma_p$ )	معامل التصنيف البياني الشامل
Index of chemical maturity	معامل النضوج الكيميائي
Index of physical maturity	معامل النضوج الفيزيائي
Indurated sediments	رواسب صلبة ملتصقة
Infiltration	تخلل
Inshore	داخل منطقة الشاطيء
In situ	في أماكن وجودها
Insolation weathering	تجوية بأشعة الشمس
Instable	غير ثابت
Intence bioturbation	اضطرابات حيوية شديدة
Interbed *	بين الطبقات
Interbedded	تطبق متداخل مع بعضه
Interbed structures	بنيات قبل الترسيب متواجدة بين الطبقات
Intercrystalline porosity	مسامية بين البلورات

Interformational	مشكلة من داخل حوض الترسيب
Interformational particles	جسيمات جيرية تتشكل داخل حوض الترسيب
Intergranular porosity	مسامية بين الحبيبات
Interior continental sabkhas	سبخات قارية داخلية
Interlaminated	ترقق متداخل
Intermediate diameter	القطر الأوسط
Intermittent streams	أنهار متقطعة
Internal lamination	ترقق داخلي
Interparticle porosity	مسامية بين الجسيمات
Interstitial material	مواد موجودة بين الفتاتات
Interstitial mud cement	لاحم وحلي تحللي
Intertidal	مسطحات الجزر
Intrabasinal origin	ذو منشأ في داخل حوض الترسيب
Intrabasinal rocks	صخور داخل حوض الترسيب
Intrabed	داخل الطبقة
Intrabed structures	بنيات داخل الطبقات
Intraclaste	فتات صخور الكربونات أو (فتاتات جيرية مكانية النشأة)
Intraformational conglomerates	رواهص متشكلة في داخل حوض الترسيب
Intramicroite	جير دقيق التبلور به كسر جيرية
Intraparticle porosity	مسامية داخل الحبيبات (الجسيمات)
Intrasparite	كلسيت نقي متبلور به كسر جيرية
Intrastratal contortions	تطبق مطوي متواجد داخل الطبقة نفسها
Invertebrates	حيوانات لا فقارية (لا فقاريات)
Iron	حديد
Iron monosulphides	كبريتيدات الحديد الأحادية
Iron sulphide	كبريتيد الحديد
Irreversible end	نهاية غير معكوسة
Isolated reef	شعب منفرد
Isomorphic series	سلسلة وحيدة التشكل والبنية

**J**

Jasper	جاسبر (معدن)
Joint (s)	فاصل (فواصل)
Jointing	انفصال (خاصية الانفصال)

**K**

Kaolin	كاولين (أحد معادن الطين)
Kerogen	كيرجين (مركب هيدروكربوني عضوي)
Kurtosis	تفرطح

**L**

Labile minerals (Unstable minetals)	معادن غير ثابتة
Lacustrine (Lake)	بحيرة
Lacustrine environment	بيئة بحيرية
Lag deposit	راسب متبقي أو متخلف
Lag gravel	زلط متخلف
Lagoon	بركة شاطئية بحرية
Lagoonal deposits	رواسب البرك الشاطئية البحرية
Lagoonal facies	سحن البركة الشاطئية البحرية
Lake (Lacustrine)	بحيرية
Lamellibranchs	خياشيميات (رخويات)
Lamellibranch shells	أصداف الخياشيميات : أصداف الرخويات
Laminae	رقائق
Laminar	رقائقي ، صفحي
Laminar flow	تدفق مترق هاديء
Laminated	مترقة
Laminated bedding	تطبق مترق
Laminated radiolarian cherts	طبقات ظر شعاعية مترقة
Lamination	ترقق
Land masses	كتل الأرض
Large throat passages	عمرات كبيرة

Late diagenetic dolomitization	تدلت مابعدى متأخر. دلته مابعدى متأخرة
Lateral	جانبي
Lateral accretion deposits	رواسب جانبية
Lateral movement	حركة جانبية
Lateral shifting	نزوح جانبي
Laterite	لاتريت (صخر رسوبي يتكون من تربة حمراء)
Laumontite	لومونتيت (معدن)
Lava flow	تدفق الحمم أو اللابة
Layer	طبقة أو طبقة
Leaching	عملية الإزاحة بالمحاليل
Least pressure	ضغط ضئيل
Lee face	وجه معاكس للتيار
Lee side	جانب معاكس للتيار
Lee and stoss side	جانب معاكس ومقابل للتيار
Lee ward sides	جوانب معاكسة لاتجاه التيار
Length	طول
Lens	عدسة
Lenticles	عدسيات
Lenticular bedding	تطبق عدسي
Lenticular laminations	ترقق عدسي
Leptokurtic	تفرطح مرتفع
Less stable	أقل ثباتاً
Levee	شرفة نهريّة
Light mineral	معدن خفيف
Lignite	لجنيت، فحم بني اللون (أحد رتب الفحم)
Lime	جير
Lime mud	وحل جيرى
Lime mud balls	كرات وحل جيرى
Limestone (s)	حجر جير (جمعها أحجار جير)
Limonite	ليمونيت (معدن)
Linear barrier islands	جزر حاجزة خطية

Lingula	لنجيولا (إحدى أنواع الأحافير)
Linguoid ripple	نيم لساني
Liquids	سوائل
Liquified	مسال
Litharenite	أحد أصناف الرمل النقي
Lithic grain	حبة صخرية (جمعها حبيبات صخرية)
Lithic graywacke	أحد أصناف الرمل غير النقي
Lithic rock fragments	كسر صخرية
Lithic wacke	صخر الواكي
Lithification	تصخر
Lithified fossils	أحافير متصخرة
Lithoclasts	فتاتات صخرية
Lithology	علم الصخور
Lithothamnium	ليثوثامنيوم (أحد أنواع الطحالب الغشائية)
Littoral zone	منطقة شاطئية قليلة العمق
Load casts	طوابع الثقل أو الحمل
Load packets	جيوب الحمل
Load structures	بنيات الثقل أو الحمل
Lobes	فصوص
Locomorphic phase	مرحلة السمينة والالتحام (مرحلة تكوين المادة اللاصقة)
Loess (Loam)	لوس (تربة طفالية)
Logarithmic base paper	ورقة ذات تقسيم لوغاريتمي
Long contact	تماس أو اتصال متطاوّل
Longitudinal dunes	كثبان طولية
Loosely packed sand	رمل مفكك التعبئة
Low energy	منخفض النشاط
Low energy conglomerates	مُذْمَلُكَات (رواهص) تكونت في بيئات منخفضة الطاقة
Low energy environment	بيئة منخفضة الطاقة
Low energy zone	نطاق منخفض الطاقة
Lower flow regime	نظام التدفق المنخفض
Low grade metamorphism	تحول منخفض

Lubricant	عامل تشحيم
Lump	حصى طينية جيرية
Lunate ripple	نيم هلالى
Lutites	رواسب ذات حبيبات دقيقة (أوحال أو أطيان)

## M

Mafic	قاعدي (يحتوي على معادن الحديد والمغنسيوم)
Magnetite	مجنيتيت (معدن)
Mammalia	الثدييات
Manganese	منجنيز (عنصر كيميائي)
Manganese crust	قشرة منجنيز
Manganiferous deposits	رواسب المنجنيز
Marcasite	ماركسيت (معدن)
Marginal	حافة
Marine	بحري
Marine deposits	رواسب بحرية
Marine environment	بيئة بحرية
Marine platform	منصة بحرية
Marine shoal environment	بيئة بحرية قليلة العمق
Marine transgressions	تقدمات بحرية
Marl	مرل (صخر رسوبي جيري)
Marlstones	أحجار المرل
Marshes	مستنقعات سبخية ضحلة
Mass flow	تدفق الكتلة
Massive bedding	تطبق مصمت
Mass movements	حركات كتلية
Material eroded	مواد حتائية (حتية)
Matrix	راسب أرضية
Matrix free	خالى من راسب الأرضية
Maturation	نضوج (نضج)
Mature	ناضج

Maturity	نضوج
Mean	متوسط
Meandering	تعرج
Meandering channels	قنوات متعرجة
Meandering river	نهر ذو قناة ملتوية (نهر متعرج)
Meandering streams	أنهار ملتوية (أنهار متعرجة)
Mean size	حجم متوسط الحبيبات
Median	وسيط
Median grain size	وسيط حجم الحبيبات
Median size	حجم وسيط
Medium	وسط (أو متوسط)
Megacurrent ripples	نيم تيارى كبير
Megaripple	نيم كبير
Mesokurtic	تفرطح عادي
Metalliferous deposits	رواسب فلزية
Metamorphism	عملية التحول
Metasediments	رواسب متحولة
Metasomatic	تحول معدني صلب
Metasomatic alteration	تغيرات معدنية ذاتية
Metasomatism	تغير معدني ذاتي
Meteoric basin	حوض جرمي
Meteoric diagenesis	نشأة ما بعدية جوية
Meteoric water	ماء جوي
Methods of grain size measurements	طرق قياس أحجام الحبيبات
Mica	ميكا (معدن)
Micrite	طين جيري دقيق الحبيبات
Micrite matrix	أرضية من الجير دقيق الحبيبات
Micritic limestone	حجر جيرى دقيق الحبيبات
Micritization	تجبر (أو تكوين الجير الدقيق الحبيبات)
Microcline	ميكروكلين (معدن)
Micro cross lamination	ترقق متقاطع صغير (مجهرى)



Microcrystalline	دقيق التبلور (مجهرى التبلر، أي لا يرى إلا بالمجهر)
Microcrystalline aragonite	أرجونيت دقيق التبلور (مجهرى)
Microcrystalline calcite	كلسيت دقيق التبلور (مجهرى)
Microcrystalline matrix	راسب أرضية من جير دقيق التبلور
Microcrystalline ooze	رزغة جيرية دقيقة التبلور
Microcrystalline paste	معجون دقيق التبلور
Microcrystalline quartz	كوارتز دقيق التبلور
Microcrystalline rocks	صخر دقيق التبلور
Micro facies	سحنات دقيقة (مجهرية)
Mineral	معدن
Mineral maturation	نضوج معدني
Miscellaneous	متنوعة (متنوع)
Miscellaneous structures	بنيات متنوعة
Mites	نوع من الحيوانات الدقيقة تعيش في التربة (سوس، عُث)
Mobilization	حركة
Model	نموذج
Mode of formation	نمط التشكيل
Moderately sorted	تصنيف معذل
Modern alluvial deposits	رواسب طميية حديثة
Modern carbonate shelves	أرصفة الكربونات الحديثة
Modern lagoons	برك شاطئية حديثة
Modern sediments	رواسب حديثة
Mold (= mould)	قالب
Moldic porosity	مسامية القالب (أو قالبية)
Molluscs	طائفة الرخويات
Monoclinic	أحادي الميل
Monomineralic	أحادية المعدن
Montmorillonite	متموريلونيت (أحد أنواع معادن الطين)
Moraine	ركام جليدي
More stable	أكثر ثباتا
Morphology	شكل وبنية

Mould (Mold)	قالب
Mount shaped structures	بُنيات (صخرية عضوية) ذات شكل بارز
Mud	وحل
Mud balls	كرات الوحل
Mud cracks	شقوق الوحل
Mud flow	تدفقات الوحل
Mudrocks	صخور الوحل
Mud supported	تدعيم وحلي
Muddy flaser bedding	تطبق متابع (هلالي) وحلي
Mudstone	حجر الوحل
Mussels	نوع من الرخويات

N

Native sulphur	كبريت طبيعي (عنصر الكبريت)
Natural gas	الغاز الطبيعي
Natural levees (or banks)	شرفات طبيعية نهريّة
Near-symmetrical	متقارب التماثل
Nematodes	ديدان
Neomorphism	عملية التبلور المتجددة
Nepheloid layers	طبقات النيفيلويد
Nereites	نيريتز (نوع من أثر الديدان في الرواسب)
Net maturity	محصلة النضوج
Neutralized	أكثر حيادة
Newtonian flow	تدفق نيوتوني
Nitrates	نترات
Nodular	عُقَيْدي
Nodular chert	ظُر عُقَيْدي
Nodule (s)	عُقَيْدة (جمعها عُقَيْدَات)
Nomenclature	تسمية
Non-carbonate	غير جيرية
Non-deposition	عدم ترسيب

Non-fissile	غير صفحي (غير ورقي)
Non-marine	غير بحري
Non permeable	غير نافذ (غير منفذ)
Non porous	غير مسامي (لا مسامي)
Non reef bioherm	تراكمات حيوية غير شعاعية
Non stratified	غير منطبق (عديم التطبق)
Nontronite	ننترونيت (معدن)
Novaculite	نفاكيوليت (صخر سليسي)
Nubian sandstone facies	سحنات حجر الرمل النوبي
Nuclei	أنوية
Nucleus	نواة



Oblate	قرص ، ورقي - نصلي
Oblique bedding	تطبق مائل
Oil shale	طين صفحي نفطي
Old	مُسِن
Older volcanic terrane	أرض بركانية قديمة
Oligomictic conglomerate	راهص وحيد الحبيبات
Oncolites (oncoliths)	كريات طحلبية
Ooids	سرثيات
Oolites (Oolithes)	سرثيات
Oolite sand	رمل سرثي
Ooliticlimestone	حجر جير به سرثيات
Oomicrites	طين جير به سرثيات
Ooze	رزغ (جيرى أو سليسي)
Opal	أوبال (حجر كريم يتكون من محلول السليكا الغير متبلرة)
Opaque iron ore	خامات حديدية معتمة
Ophiolitic - suite	مجموعة الأفيوليت
Ophiomorpha	شبكة ممرات معقدة
Organic claystone	حجر طين عضوي

Organic matter	مواد عضوية
Organic rich mudstones	صخور الوحل الغنية بالمواد العضوية
Organic sediments	رواسب عضوية
Organisms	أحياء
Orientation	توجيه
Orogenesis	حركات بناء الجبال
Orogeny	بناء الجبال
Orthochemical cement	لاحم كيميائي نقي
Orthochemical components	مكونات كيميائية نقية -
Orthoclaystones	أحجار الطين النقية
Orthoconglomerate	راهص الحصى النقية
Orthoquartzite	رمل نقي
Oscillation of the fluid	تأرجح السائب
Oscillation ripple	نيم متأرجح
Oscillatory movement	حركة التآرجح (حركة متأرجحة)
Overbank deposits	رواسب عبر الضفة
Overbank terrain	أرضية عبر القناة
Over flow	تدفق طفحي
Ox-bow lake	بحيرة قوسية معزولة
Oxidation	تأكسد
Oxides	أكسيدات، أكاسيد
Oxygenated groundwater	مياه جوفية مشبعة بالأكسجين
Oxyhydroxide	هيدروكسيد الأكسجين
Oyster reefs	شعاب محارية
Oysters	محاريات
<b>P</b>	
Packed	معبأ
Packing	تعبئة
Packstones	أحجار معبأة
Paleocurrent flow	تدفق التيار القديم

Paleocurrent patterns	سلوك التيارات القديمة
Paleodictyon	حيوان قديم
Paleoecology	علم البيئة القديمة
Paleogeography	الجغرافية القديمة
Paleoslope	منحدر قديم
Paleowind direction	اتجاه الريح القديم
Paleozoic	العصر القديم
Paraconglomerate (Diamictite)	رواهص وحلية
Parallel bedding	تطبق متوازي
Parameters	معاملات (مقاييس)
Particles	جسيمات (حبيبات)
Parting lineation	تفرق خطي سطحي
Paste	معجون
Patch	مبعثرة أو متقطعة (قطعة)
Patches	قطع (أوصال)
Patches of dolomite	أوصال الدولوميت
Patch reefs	قطع شعابية
Patchys secondary mossiac	قطع موزيك ثانوي
Patterns	مناهج أو مناهيج
Peat	خث (نباتات في أولى مراحل تفحمها)
Peat layers	رقائق خث أو طبقات الخث
Peat stage	مرحلة المواد النباتية (التي ستصبح فحم فيما بعد)
Pebbles	حصىات (حصى صغير)
Pebbly mudstone	حجر طين حصوي
Pebble phosphate	حصى الفوسفات
Pediments	منحدرات الجبال
Pediment zones	مناطق منحدرات الجبال
Pedology	علم التربة
Pelagic	(أعمق المناطق البحرية) الجلي أولجة
Pelagic environment	بيئة لجية
Pelagic mud	وحل لجلي

Pelagic oozes	رزغات وسوية لجية
Pelagic sediments	رواسب لجية
Pellet calcilutites	عقد طينية جيرية
Pellets (peloids)	عقد أو كرات جيرية
Peloidal sediment	راسب عقد الطين الجيرية
Penecontemporaneous concretions	درنات معاصرة
Penecontemporaneous deformation	تشوه متزامن
Penecontemporaneous dolomitization	تدللت مصاحب
Peneplain (Peneplane)	مناطق مستوية ومسطحة
Period	دور أو طور
Permeability	خاصية النفاذية
Petrography	دراسة الشرائح الصخرية تحت المجهر
Petrology	دراسة الصخور
Phanerozoic ironstone	أحجار حديد ما بعد الكامبري
Phase (stage)	مرحلة
Phosphate	فوسفات (صخر)
Phosphate pellet	عقد الفوسفات
Phosphate rock	صخر الفوسفات
Phosphatic nodules	منعقدات فوسفاتية
Phosphatic pellets	عقد طينية فوسفاتية
Phosphatized rocks	صخور فوسفاتية
Phosphorite(s)	فسفوريت (رواسب الفوسفات)
Phosphorites nodules	منعقدات الفوسفيت
Photonic zone	منطقة تتخللها أشعة الشمس
Phylloid algae	طحالب ورقية أو غشائية
Phylломorphic phase	مرحلة ما قبل التحول مباشرة
Physically immature	غير ناضج فيزيائياً
Physically mature	ناضجة فيزيائياً
Physical weathering	تجوية فيزيائية
Phytoplankton	أحياء نباتية بلاكتونية
Piedmont	سفح الجبل

Piedmont fanglomerate	رواسب ذات أسطح مخروطية الشكل تتكون من روافض
Piedmont zone	منطقة سفح الجبل
Pillow lavas	وسائد اللابة
Pinnacle reef	شعاب قرنية
Pisolite (- pisolith)	بازلا صخرية جيرية
Pisolitic grains	حببيات بازلية (أي أن حجمها في حجم حبات البازلا)
Pits	حفر
Pitted grains	حببيات محفورة
Planar	مستوى
Planar cross-stratification	تطبق متقاطع مستو
Planes of fissility	مستويات التصفع أو التورق
Plane view	منظار مستو
Plain (s) (plane)	مناطق سهلية (أو سهول)
Planktones	عوائل : بلاكتونات (كائنات حيوانية أو نباتية عالقة في المياه)
Planktonic organism	أحياء عوالقية : أحياء عالقة في المياه
Plasticity	خاصية المرونة
Platelets	أطباق صغيرة
Platykurtic	تفرطح منبسط
Playas	بحيرات سبخية صحراوية
Playas lakes	بحيرات صحراوية
Pleistocene	بلايستوسين (أحد العصور القديمة)
Poikilitic texture	نسيج مبرقش
Point bar	حاجز حرفي أو جانبي
Point bar sands	رمل حاجز الحافة
Polish	صقل
Pollens	حبوب اللقاح
Polycyclic	أكثر من دورة (متعدد الدورات)
Polycyclic sediments	رواسب متعددة الدورات
Polygenetic	متعدد النشأة والتشكيل
Polygenetic origin	ذو نشأة أصلية متعددة
Polygon	مضلع (شكل كثير الأضلاع والزوايا)

Polygonal	متضلع (متعدد الأضلاع)
Polymictic conglomerates	رواهص متنوعة الحصيات
Polymodal	متعدد النمط
Polymorph	ذو تشكيلات وبنيات متعددة
Polymorphic transformation	عملية انتقال تحولي
Polymorphism	عملية التحول المعدني الذاتي المتعدد
Pools	برك أو منخفضات قاع النهر
Poorly sorted	تصنيف رديء
Population of particles	مجموعات جسيمية
Porcellanite	يورسلينيت (صخر)
Pore geometry	أبعاد المسام
Pore volume	الحجم الكمي للمسام
Porosity (pore space)	مسامية
Positively skewed	انحراف موجب
Post-depositional	بعد الترسيب
Post-depositional structures	بنيات بعد الترسيب
Post-pleistocene	بعد عصر البلايستوسين
Precambrian iron formation	متكون حديد من قبل العصر الكمبري
Precipitation	ترسيب أو ترسب
Predepositional structure	بنيات تشكلت قبل الترسيب
Preexisting sediments	رواسب سابقة التواجد
Preferred orientation	توجيهات مميزة
Premetamorphic processes	عمليات قبل التحول
Pressure solution	محلول الضغط
Pressure welding	لحام الضغط
Primary dolomite	دلوميت أولي
Primary fabric	طراز أولي
Primary porosity	مسامية أولية
Primary precipitation	ترسيب بدائي أو أولي
Probability scale	مقياس الاحتمالات
Process (es)	عملية (عمليات)



Prodelta	واجهة الدلتا
Profile (s)	مقطع (مقاطع)
Prolate = Roller = Rod	قضيبي أو متطاوّل
Protoquartzite	رمل أولي
Protozoa	الأوليات (حيوانات وحيدة الخلية)
Provenance	منطقة المصدر
Pseudoconcretions	درنات كاذبة
Pseudonodulites	منعقدات كاذبة
Pteropod ooze	نضج البتروبودا (أو جناحيات الأقدام - نوع من الرخويات)
Pure	نقي
Pure lime	جير نقي
Pure organic mud rocks	أحجار وحية عضوية نقية
Pure quartz sands	رمل مرو نقي
Pyrite	بيريت (معدن)
Pyroclastic rocks	صخور الفتات النارية
Pyroclastic sands	رمل فتاتي ناري
Pyroclastic sediments	رواسب فتاتية نارية

## Q

Quartz	مرو (معدن)
Quartzite	كوارتزيت (أنقى أنواع أحجار الرمل)
Quartzose	كوارتزوز (رمل نقي)
Quartz wacke (Greywacke)	واكي الكوارتز (أحد أنواع أحجار الرمل)
Quasi-equilibrium flows	تدفقات ثابتة السرعة ومتساوية الاتزان
Quaternary period	دورة رباعية

## R

Radiolaria	شعاعيات (رادبولاريا)
Radiolarian cherts	ظّر شعاعي
Radiolarian oozes	رزغات الشعاعيات (نضج الشعاعيات)
Rain prints structures	بنيات آثار المطر

Recent linear shoreline	شاطيء خطي حديث
Recombent fold	طيه مضطجعة
Recombent foreset	واجهة مضطجعة
Recrystallization	إعادة تبلور
Recrystallized calcite	كلسيت معاد تبلوره
Recycle	إعادة دورة
Redoxomorphic phase	مرحلة الأكسدة والاختزال (إحدى مراحل النشأة المتأخرة)
Reducing conditions	ظروف الاختزال
Reduction	اختزال
Reef (s)	شُعب، (شُعَاب)
Reefal limestones	أحجار جير شُعبية
Reef complex	معقد الشُعب
Reef environment	بيئة شعابية
Reef fabric	طراز الشعب
Reef flat	مسطح الشعب
Reef front	واجهة (مقدمة) الشعب
Reef geometry	شكل الشعب الحجمي
Reef talus	ركام شُعابي
Reflux	إعادة
Regression (reliction)	تراجع البحر
Regressive cycles	دورات تراجعية
Regressive sequence	تتابع تراجعى
Relict sediments	رواسب متخلفة
Repichnia	بنيات مسالك زحف الديدان
Replacement	إحلال
Replacement dolomites	دلوميت تكون بالإحلال
Reptalia	طائفة الزواحف
Residua	رواسب متبقية
Residual	متبقية
Residual phosphate	فوسفات متخلف أو متبقى
Residual sediments	رواسب متخلفة (أو متبقية)

Restricted circulation	حركة دائرية محدودة
Restricted marine circulation	حركة دائرية محدودة لمياه البحر
Reworked	إعادة ترسيب
Reworking	إعادة التشكيل والترسيب
Rhomb shaped crystals	بلورات معينة الشكل
Rib-and furrow marks	علامات التمزق والتجعد
Riffles	أجزاء قليلة العمق أو مرتفعات قاع النهر
Ripple bedding	تطبق النيم (أو تطبق نيمي)
Ripples cross section	قطاع نيم عرضي
Ripple drift bedding	تطبق النيم الطافي
Ripple height	ارتفاع النيم
Ripple length	طول النيم
Ripple marks	علامات النيم
Ripples	علامات النيم أو نيم
River banks	ضفتي النهر
River regime	نظام النهر
Rock fall deposits	رواسب تساقط الصخور
Rock falls	تساقط الصخور
Rock fragments	كسر صخرية
Rock salt	صخر ملح الطعام (أو صخر الملح)
Rocky desert (Hamada)	صحراء صخرية (صحراء حمادة)
Rod (roller or prolate)	قضيب (متطاوّل)
Rolling	تدحرج
Roll-over zone	منطقة (نطاق) التدحرج المفرط
Root bed	طبقة غنية بجذور النباتات
Rootlets	مقاطع الجذور
Rotifers	كائنات حية صغيرة تعيش في أطراف ماء التربة
Rough guide	مرشد تقريبي
Roundness	استداره
Rudaceous rocks	صخور الحصى
Rudaceous sediments	رواسب حصوية

Rudistids	روديسيتا (أحد أنواع المحاريات)
Rudite	حصى كبير
Rugosa	المجعدات (نوع من المرجانيات)

**S**

Sabkha (s)	سبخة (سبخات)
Saline deposits	رواسب الملح (أو رواسب ملحية)
Salt	ملح الطعام
Salt precipitations	رواسب ملحية (ترسبات ملحية)
Salt pseudomorph	ملح كاذب
Salt pseudomorph structure	بنية الملح الكاذبة
Saltation	قفز أو نط
Saltation population	حمل الرواسب القافزة
Sand (s)	رمل
Sand bars	حواجز رملية
Sand body trend	امتداد الجسم الرملي
Sand dikes structure	بنية قواطع الرمل
Sand shoals	رمل مياه قليلة العمق
Sand sized	حبيبات في حجم الرمل
Sandstones	أحجار الرمل
Sand waves	موج الرمل
Sandy limestone	حجر جير رملي
Sandy texture	نسيج رملي
Sank	تنغمر أو تغرق
Sapropelite	سبروبليت (صخر طين غني بالواد العضوية)
Schistose	شيستوز (أحد أنسجة الصخور المتحولة)
Scleractinia	المتصلبات (نوع من المرجانيات)
Scolithus	أسطوانيات عمودية بسيطة
Scour	حت أو غرُف
Scour and fill	حت و ملء
Scoured surfaces	أسطح مخدوشة أو مخنونة

Scratch	خدوش
Scree	ركام الانهيار الصخري
Sealed	مغلقة
Sea marginal sabkhas	سبخات متاخمة لشاطئ البحر
Seams (coal seams)	عروق (عروق الفحم)
Seasonal layering	تطبق فصلي
Seat earth	مقعد التربة
Sea ward	نجاه البحر
Secondary dolomite	دلوميت ثانوي
Sedentary invertebrates	أحياء ثابتة لافقارية
Secondary origin	أصل نشأة ثانوي
Secondary porosity	مسامية ثانوية
Sedentary invertebrates	أحياء ثابتة لافقارية
Sedimentary	رسوبي
Sedimentary cycle	دورة رسوبية
Sedimentary environment	بيئة رسوبية
Sedimentary environment of equilibrium	بيئة رسوبية متوازنة
Sedimentary geochemistry	جيوكيمياء الرسوبيات
Sedimentary model	نموذج رسوبي
Sedimentary particles	جسيمات رسوبية
Sedimentary structures	بنيات رسوبية
Sedimentary unit	وحدة رسوبية
Sediment bar	راسب الحاجز
Sedimentologists	علماء الرسوبيات
Sediments	رواسب
Sediments of extrabasinal origin	رواسب من أصل خارج الحوض
Sediments of interbasinal origin	رواسب من أصل داخل الحوض
Sediment-water-interface	التقاء سطحي الراسب مع الماء
Seif dune	كثبان السيف
Septaria	درن شعاعي
Sessile organisms	أحياء متصلة بالقاع (طائفة اللاعقية)

Sets	أطقم
Settling velocity	سرعة الاستقرار
Shales	أطيان صفائحية
Shale flake	قشور الطين الصفحي
Shallow depth	قليل العمق
Shallow environments	بيئات بحرية قليلة العمق
Shallow marine shelves	أرصعة بحرية قليلة العمق
Shallow marine water	مياه بحرية قليلة العمق
Shallow water lagoon	بركة شاطئية بحرية قليلة العمق
Shallow waters	مياه قليلة العمق
Shape (form)	شكل (إشارة إلى تكور واستدارة الحبيبة)
Sharp	واضح
Shear	تمزق
Shearing pressures	ضغوط التمزق
Shear strength	قوة التمزق
Sheetlike accumulation	تراكم صفحي أو غطائي
Shelf-mud	وحل الرصيف
Shelf mud deposits	رواسب وحل الرصيف
Shell beds	طبقات محارية
Shell debris	حطام صديقي (أو محاري)
Shell layers	طبقات محارية
Shell remains	بقايا المحاريات (محارية)
Shells of protozoa	أصداف طائفة البروتوزوا (أو الأوليات)
Shelly clay	طين محاري
Sheltered bays	أغاب محمية
Sheltered embayments	مناطق شاطئية معزولة عن نشاط الأمواج أو التيارات
Shelves	أرصعة
Shoal *	قليل العمق (ضحل)
Shooting flow	تدفق الطلقة
Short	قصير
Short diameter	قطر قصير (القطر الأصغر)

Shrinkage cracks	شقوقي التقلص
Siderite	سدريت (معدن)
Sideritic nodules	منعقدات كربونات الحديد (أو منعقدات السدرت)
Silcrete	سلكريت (راسب سليكا متخلف)
Silica	سليكا (معدن)
Silica cement	لاحم سليكا
Siliceous	سليسي . سليكوني
Siliceous oozes	رزغات سليسية (نضوح سليسي) . رزغات سليكونية
Siliceous rock	صخر سليسي . صخر سليكوني
Siliceous sponge spicules	شوكيات الإسفنج السليسية
Silicification	تسلكن . سلكنة
Silicified fossils	أحافير متسلكنة
Siliclastic sand	رمل فتات السليكا
Siliclastic sediment	راسب فتات السليكا (أو فتات الرمل)
Silt	غرين
Silt grade	أحجام حبيبات الغرين
Siltstone	حجر غرين
Sinuuous ripple	نيم ملتو
Sinuosity	درجة الانعطاف أو الالتواء
Size	حجم
Size interval	فترة حجمية بين مناخل فرز الحبيبات
Size frequency distribution	توزيع تواتري حجمي
Size parameters	مقاييس أو معاملات حجم الحبيبات
Skeletal calcite	كلسيت محاري
Skeletal debris	حطامات هيكلية
Skeletal detritus	فتانات هيكلية
Skeleton grains	حبيبات هيكلية
Skewness	معامل الحيود أو الانحراف
Slab	صفحة
Slabby	طبقة صفائحية
Slate	أردواز (صخر)

Slide	ينزلق
Sliding	انزلاق
Sliding and slumping	هبوط وانزلاق
Slope	منحدر
Slugs	دود الأرض
Slumps	هوابط
Slump bedded	تطبق هابط
Slumping	هبوط
Small & megacurrent ripples	تيارات نيمية صغيرة وكبيرة
Small chip	قشرة صغيرة
Smectite	سمكتيت (أحد أنواع معادن الطين)
Snails	قواقع
Snouts of glacier	مقدمات الجليد
Soil profile	مقطع التربة
Sole	قاعدة أو قاع
Sole marks	علامات القاع
Solubility	ذوبان
Solutes	ذوائب (محاليل معادن الصخور)
Solution porosity	مسامية المحلول
Sorting	تصنيف
Source	مصدر
Source rock	صخر مصدر
Spar (Sparite)	كلسيت متبلور نقي ولامع
Sperry allochemical rocks	صخور الجير المتبلور غير النقي
Sperry calcite	كلسيت متبلور نقي ولامع
Sperry calcite cement	لاحم كلسيت نقي متبلور
Sphere	كرة
Spherical (Equant)	كروي
Sphercity	تكور (شكل الحبيبة)
Spicules	شويكات
Spillites	سبليت (صخر)



Sponge(s)

إسفنج (الإسفنجيات)

Spores

خلايا جرثومية

Spreading

اتساع

Springtails

نوع من الكائنات الدقيقة

Stability

ثبات

Stable

ثابت

Stable deposits

رواسب ثابتة

Stable grains

حبيبات ثابتة

Stable minerals

معادن ثابتة

Stable shelf

رصيف بحري راسخ

Starved ripples

نيم ميت

Static shorelines

خطوط شاطئية ثابتة

Statistical studies

دراسات حسابية أو تعدادية

Steep gradient

شديد الانحدار

Stellated dunes

كثبان نجمية

Stoss side

جانب مواجه للتيار

Straight channels

قنوات مستقيمة

Straight ripple

نيم مستقيم

Stratified

متطبق

Stratiform

بنية طبقية

Stratigraphic

طبقة

Stratigraphic breaks

انكسارات طبقية

Stratigraphic traps

مكامن طبقية

Stratum

طبقة صخر رسوبي كبيرة

Striated

مخطط (مقلم)

Stromatolites

ستروماتوليت (صخر)

Stromatoporoids

كائنات بحرية

Strongly bimodal

ثنائي النمط بشكل واضح

Structural behavior

سلوك بنائي

Structural deformation

تشوه بنائي

Structural traps

مصائد بنائية

Structures	بنيات أو تشكلات
Sturzstorms	قذف طبيعي للصخور (انهيار صخري)
Stylolites	زوائد صخرية
Subaerial	فوق سطح الأرض
Subaerial desiccation cracks	شقوق تقلص فوق سطح الأرض
Subaqueous	تحت سطح الماء
Subaqueous levee	شرفة تحت سطح الماء
Subaqueous syneresis cracks	شقوق وحل تحت سطح الماء
Subdivisions	تحت تقسيمي
Subenvironments	بيئات تحتية
Subfacies	سحنات تحتية
Subgreywacke	تحت جريواكي (أحد أنواع أحجار الرمل)
Submarine canyons	أخاديد بحرية
Submarine fan	مراوح بحرية
Submarine volcanic debris	حطام بركاني بحري
Submerged	انغمس (تحت سطح البحر)
Submergence	انغمار
Submetallic luster	بريق تحت معدني
Subsequent dolomite	دلوميت لاحق
Subsidence	خسف أو انخفاض
Substrata	طبقة سفلية أو باطنية
Subsurface flow	تدفق تحت سطحي
Subsurface samples	عينات تحت سطحية
Subtidal	تحت المد
Subvertical cliff	جدار تحت عمودي
Sulphates	كبريتات
Sulphides	كبريتيدات
Sulphur isotope studies	دراسات نظائر الكبريت
Summit point	نقطة القمة
Sun cracks	شقوق الشمس
Superficial moraine	ركام جليدي سطحي

Supported	مدعم
Supratidal flats	مسطحات المد
Surface creep	زحف أو تدحرج سطحي
Surface texture	نسيج سطحي
Suspended load	حمل معلق
Suspended sediments	رواسب معلقة
Suspension	معلق
Suspension population	حمل الرواسب المعلقة
Sutured contact	تماس أو اتصال متشابك
Swamp deposits	رواسب المستنقعات
Swamps	مستنقعات
Symmetric ripple	نيم متماثل
Syn depositional	متزامنة الترسيب
Syn depositional origin	نشأة متزامنة الترسيب
Syn depositional structures	بنيات متزامنة الترسيب
Syneresis	طرده الماء (بالتخلل وليس بالتبخير)
Syneresis cracks	شقوق طرده الماء
Synsedimentary concretions	درنات متزامنة الترسيب

**T**

Tabular	متطاوّل أو مستوٍ أو قرص
Tabular cross bedding (planar cross bedding)	تطبق متقاطع مستو
Tabulata	المسطحات (نوع من المرجانيات)
Taconite	تاكونيت (معدن)
Talus	راسب ركامي
Tamarisks	أثل (شجر)
Tangential contact	تماس أو اتصال نقطة
Tectonic	تكتوني (يعزى إلى الحركات الأرضية في القشرة الأرضية)
Tectonically active	نشاط حركي في القشرة الأرضية (نشط التشكل)
Tectonic breccia	مدملكات تكتونية
Tectonic shelves	أرصعة تكتونية

Tectonic stability	ثبات حركي تشككي
Termites	نمل
Terrace	شرفة
Terrain	أرضية أو قاع صخري
Terrane	أرض
Terrestrial origin	من أصل أو نشأة أرضية
Terrigenous coasts	شواطئ فتاتية أرضية
Terrigenous components	مكونات أرضية المنشأ
Terrigenous conglomerates	رواهص أرضية المنشأ
Terrigenous rocks	صخور أرضية المنشأ
Terrigenous sediments	رواسب أرضية المنشأ
Tertiary	عصر ثلاثي
Test of radiolaria	أغلفة الشعاعيات
Tests	أغلفة أو أصداف
Tetrahedron	رباعي الأوجه
Tetravalent state	بنية أيونية رباعية التكافؤ
Textural changes	تغيرات نسيجية
Textural composition	تكوين معدني نسيجي
Texturally immature (Physically immature)	غير ناضج نسيجياً (فيزيائياً)
Textural maturation	نضج نسيجي
Textural maturity	نضوج نسيجي
Texturally mature (Physically mature)	ناضج نسيجياً (فيزيائياً)
Textural stratification	تطبق نسيجي
Texture	نسيج
Texture of sediments	أنسجة الرواسب
Texture of turbidites	نسيج رواسب العكر
Thalwegs	ممرات منحدرية
Thickness	سمك
Thin layers	طبقات ضئيلة السمك
Thinner bedded	تطبق ضئيل السمك
Three dimensions	ثلاثة أبعاد

Throat passages	ممرات بين المسامات
Tidal channels	قنوات المد
Tidal current	تيار المد
Tidal deltas	دلت المد والجزر
Tidal flats	مسطحات المد والجزر
Tidal inlets	ممرات المد
Tidal sand bodies	أجسام رمل المد
Tide	مد
Tighter packing	تعبئة أكثر تقارباً
Till	حريث جليدي (راسب مسح الجليد)
Tillite	صخر جرافة الجليد (رواسب جليدية)
Tonsteins	تنستين (صخر طين بركاني)
Tool marks	علامات القاع
Topset deposits	رواسب مجموعة القمة
Tourmaline	تورمالين (أحد المعادن الثقيلة)
Trace fossils	أحافير أثرية (أي تترك أثرها على الصخر الرسوبي)
Tracks	آثار زحف الحيوانات الفقارية
Traction	جر أو سحب
Traction carpet	بساط مجرور أو مسحوب
Traction currents	تيارات السحب أو الزحف (تيارات زاحفة)
Traction deposits	رواسب مجرورة أو مسحوبة
Traction load deposits	رواسب الحمل المسحوب
Trails	جُرُات الحيوانات اللافقارية
Tranquil flow	تدفق هاديء وضعيف
Transgression	تقدم البحر (ارتفاع منسوب مستوى البحر)
Transgressive cycles	دورات تقدمية
Transgressive sequence	تتابع تقدمي
Transitional environment	بيئة انتقالية
Transport	نقل
Transport traction	نقل مسحوب أو مجرور
Transverse component	جزء متعارض (في قناة النهر)

Transverse dune

Trapping

Traverse dunes

Trends

Trilobites

Triplets

Tropical regions

Tropics

Trough cross stratification

Troughlines

Trough point

Truncation point

Tufa

Tuff

Turbidites

Turbidites sands

Turbidity current

Turbulent

Turbulent flow

كسب النيم المنتظم الامتداد

اصطياد

كثبان مستعرضة (مستقيمة)

توجيهات طولية

ترايلوبيت (نوع من الأحافير)

طبقات ثلاثية

أقاليم مدارية

مناطق مدارية

تطبق متقاطع حوضي

خطوط الأحواض

نقطة الحوض (أعمق نقطة)

نقطة الانكسار

توفه الجير

طفه (حجر رملي بركاني)

رواسب العكر (عكارات)

رمل العكر

تيار العكر

مضطرب

تدفق مضطرب

## U

Ultra fine-grained

Uncemented

Uncemented sediments

Unconformity

Unconsolidated

Unconsolidated sediments

Unimodal

Unmetamorphosed

Unstable

Unstable grains

حببيات فائقة النعومة

غير ملتحم (غير مسمنت)

رواسب غير ملتحمة

سطح عدم التوافق

غير متماسك (أو غير متصلب)

رواسب غير متماسكة

وحيد النمط

غير متحول

غير ثابت

حببيات غير ثابتة

Uplift	دفع إلى أعلى
Uplifted	دفعت (أو رفعت) إلى أعلى
Upper flow regime	نظام التدفق العالي
Up-ward	في الاتجاه العلوي
Upward fining cycles	دورات تنعم حبيباتها في الاتجاه العلوي
Upwelling waters	مياه صاعدة

V

Vadose zone	منطقة فوق مستوى منسوب المياه الجوفية
Valley fill deposits	رواسب ملء القناة
Varieties of apatite	أنواع مختلفة من معدن الأباتيت
Varnish	دهن (أو طلاء)
Varves	رقائق حولية
Varved clay	رقائق طين حولي
Vein quartz	مرو (كوارتز) عرقي
Ventifacts	وجهرمحيات (أثر الريح على أوجه الصخور أو الحصى)
Vertebrates	حيوانات فقارية
Vertebrate tracks	أثر أقدام الحيوانات الفقارية
Vertical and horizontal sequences	تتابعات رأسية وأفقية
Vertical variation in grain size	اختلافات عمودية في أحجام الحبيبات
Very poorly sorted	تصنيف رديء جدًا
Vivianite	فيفيانيت (معدن)
Volcanic	بركاني
Volcanic ash	رماد بركاني
Volcanic bombs	قنابل بركانية
Volcanic debris	حطام بركاني
Volcanic dust	غبار بركاني
Volcaniclastic	فتات بركاني
Volcaniclastic conglomerates	رواهص فتاتية بركانية
Volcaniclastic sands	رمل فتاتي بركاني
Volcaniclastic sediments	رواسب فتاتية بركانية

Volcanic tuff	طفة بركانية
Vortices	حركة حلزونية
Vuggy porosity	مسامية ثقبية
Vugs	ثقوب



Wackes	واكي (نوع من أنواع الرمل)
Wackestone	حجر رمل الواكي
Waning currents	تيارات فائرة (شاحبة)
Wash	غسل
Water interface	سطح التقاء الماء بجسم آخر
Water parting (Watersheds)	تمزق مائي
Water table	سطح منسوب الماء
Wave and current ripple bedding	تطبق نيم التيار والموج
Wave length	طول الموجة
Wave ripples	نيم الموج
Wavy bedding	تطبق متموج
Wavy grain boundaries	حدود حبيبية تموجية
Weathered residuum	مخلفات التجوية
Weathering	تجوية
Wedge cross-bedding	تطبق متقاطع سفيني
Welding	تلاحم (التحام)
Well developed burrows	مسالك جيدة التكوين
Well logs	تسجيلات الآبار
Well sorted	تصنيف جيد
Wentworth grade scale	مقياس تدرج أحجام الحبيبات للعالم وننورث
Wind blow rain	مطر هبوب الريح
Wind deflation	تخوية أو نفريغ الريح
Windward side	جانب اتجاه الريح أو جانب مواجه للريح
Winnowed out	أزيع ، أستبعد
Winnowing	غسل أو إزاحة



Wood fragments

كسر خشبية

Worms

ديدان

Y

Yardangs

حزوز الريح

Young

حديث، ناشيء (صغير في العمر)

Z

Zeolite

زبوليت (معدن)

Zircon

زركون (أحد المعادن الثقيلة)

Zone

نطاق، منطقة

Zoophycus

زوفيكس (حيوان)



## كشاف الموضوعات

- نشأة التطبيق المطري ٢٠٣، ٢٠٤  
 نشأة الدرنات ٢٢٦  
 نشأة الشعاب ٥٠٨  
 نشأة القوسفات ٤٠٢  
 أصناف طبقات صخور الفل ٣٩٨  
 محتويات الرواسب ٢٤٤ - ٢٤٦  
 اضطراب الأحياء أو اضطراب حيوي ١٨٠  
 آفاق التربة ١٠٤، ١٠٥  
 انزلاق وانهيار الرواسب الصخرية ١٤٨  
 أنماط نقل الرواسب ١١٧  
 أنواع أثر الأحافير ٢١٤ - ٢١٧  
 أحجار الجير ٣٦٣  
 بنّات الشقوق ٢٠٨  
 أنواع التدرج الحبيبي ١٨٣، ١٨٤  
 التدرج الحبيبي الطبقي ١٣٠، ١٣١  
 الترسيب على الأرصفة القارية ٤٩٨،  
 ٤٩٩  
 التطبيق المتقاطع ١٨٦  
 حبيبات الكربونات ٣٤٦  
 رواسب الأرصفة القارية ٤٩٨، ٤٩٩  
 الرواسب الكيميائية ٣٢٧، ٣٢٩
- L**
- اتصالات الحبيبات المختلفة ٤٧، ٤٨  
 آثار بنّات الأحافير ٢١٤ - ٢١٨  
 إثبات غطاء الأرصفة القارية بالرواسب  
 المختلفة ٤٩٥، ٤٩٦  
 أجزاء وحدات الدلتا ٤٧٩  
 أحجار الدولوميت ٣٧٨  
 أحجار الرمل ٢٥٩  
 الطين النقية ٢٥٨  
 أحياء بانية للشعاب ٥٠٦  
 تفرز أجزاء صلبة ٥٠٦  
 أرصفة - الفتات الأرضي ٥٠٤  
 الكربونات الحديثة ٥٠٤  
 أركوز ٢٦٨  
 استدارة الحبيبات ٣٨ - ٤٠  
 الاستفادة من البّنات الحيوية ٢١٩  
 (أسطح) عدم التوافق ١٦٤  
 أشكال النيم ١٩١ - ١٩٤  
 أصل نشأة بنّات الشقوق ٢٠٨  
 نشأة بنّات طوابع الثقل ١٩٩ - ٢٠٠  
 نشأة التطبيق المتقاطع ١٨٥ - ١٨٩

- الارصفة البحرية (القارية) ٤٩٥  
 إنتقالية ٤٣٣، ٤٧٨  
 الأنهار المتقطعة ٤٣٣، ٤٣٩  
 بحرية ٤٣٣، ٤٩٥  
 بحيرات البلايا ٤٣٣، ٤٤٧  
 بحرية ٤٣٣، ٤٦٩  
 توجد فيها رواسب العكر ٥٢٣  
 ترسيب ٤٢٢  
 مثلجية ٤٣٣، ٤٧٥  
 حت ٤٢٢  
 الدلتا ٤٣٣، ٤٧٨  
 رسوبية توازنية ٤٢٣  
 رواسب العكر ٤٣٣، ٥١٨  
 رواسب لجية ٤٣٣، ٥٢٨  
 ريحية ٤٣٣، ٤٤٢  
 السبخات ٤٣٣، ٤٤٤  
 شعابية ٤٣٣  
 صحراوية ٤٣٣، ٤٣٥  
 قارية ٤٣٣، ٤٣٥  
 الماروح النهرية ٤٣٣، ٤٣٧  
 منحدرات الجبال ٤٣٣، ٤٣٧  
 نهري ٤٣٣، ٤٤٩  
 بيئات يتشكل فيها التطبيق المستوي  
 ١٧٧ - ١٧٥  
 بيان هولسترم لحت ونقل وترسيب الرواسب  
 ١٢١ - ١٢٢
- ٥
- ت
- تأثير التصنيف على المسامية ٥٨  
 حجم الحبيبات على المسامية ٥٧  
 شكل الحبيبة على المسامية ٥٩
- الرواسب المعلقة ١٣٣  
 الرواسب النهرية ٤٥٨، ٤٥٩  
 الأستروماتاكيتس ٦٦، ٦٧  
 الكتيان الرملية ١٣٨  
 المسامية الأولية ٥٦، ٥٧  
 المسامية الثانوية ٦٤ - ٦٩  
 النيم ١٩١، ١٩٣  
 أوضاع تعبئة الحبيبات الكروية ٦٢
- ب
- بازلا صخرية جيرية ٣٤٩  
 بِنِيَات آثار المطر ٢١٠، ٢١٢  
 أثناء الترسيب ١٧٢  
 بعد الترسيب ١٩٧  
 حت وتعرية ١٢٩  
 رسوبية ١٥٣  
 رسوبية أولية ١٦١، ١٦٢  
 رسوبية حيوية ٢١٣  
 شقوق ٢٠٩  
 طوابق الثقل ١٩٩  
 علامات القاع ١٦٧، ١٧٧  
 قبل الترسيب ١٦٤  
 قواطع الرمل ٢٠٩، ٢١٢  
 متنوعة ١٦٢، ٢٠٨  
 ملح كاذبة ٢١٣  
 هوابط وانزلاقات ٢٠٧، ٢٠٨  
 بنية تمزق سطحي ١٧٨  
 تمزق وتجمد ١٧٨  
 صخور الأستروموليت ٤١٤ - ٤١٨  
 بوكسيت ١٠٠، ١٠١  
 بيئات أسطح الصخور المعراة ٤٣٣، ٤٣٥

- عملية الدموج على المسامية الأولية ٦٣  
 الشاة المابعدة على المسامية في صخور الكربونات ٣٧٢  
 تتابع بوما ١٣١ - ١٣٢  
 رسوبي في الحواجز الشاطئية ٤٩٣  
 تجوية بأشعة الشمس ٩١  
 بالصقيع ٨٩  
 بالملح ٩٠  
 حيوية ١٠٢  
 فيزيائية ٨٨  
 كيميائية ٩٣  
 تدريج غائب (مختفي) ١٣٠ - ١٣١  
 مذيل خشن ١٣٠ - ١٣١  
 مركب ١٣٠ - ١٣١  
 معكوس ١٣٠ - ١٣١  
 موزع (منتشر) ١٣٠ - ١٣١  
 تدفق الكتلة أو تدفق الحبيبات مضطرب ١١٤ ، ١١٥  
 هاديء ١١٤ ، ١١٥  
 الوحل ١٤٩  
 ترسيب الفتات الأرضي ٤٩٩  
 الكربونات ٤٩٩  
 ترقق مطوي ٢٠٤ - ٢٠٦  
 تسميات أجزاء القطاع العرضي لبنية النيم ١٩٣  
 تسمية أشكال طبقة النيم ١٩٤  
 أصناف صخور الحصى ٣٢٥  
 دنام لأحجار الجير ٣٥٥ ، ٣٦١  
 الرواسب الطينية ٢٥٧  
 فولك لأحجار الجير ٣٥٢ ، ٣٥٥  
 وتصنيف الرمل ٢٦١  
 تشكل الفوسفات ٤٠٠ - ٤٠٤  
 تشكيل الطبقات وأنظمة التدفق ١٥٩ - ١٦١  
 الطبقات والبنيات الرسوبية وأنظمة التدفق ١٢٦  
 تصنيف أحجار الرمل ٢٦١  
 البنات الرسوبية المشوهة ١٩٨  
 البينات الرسوبية ٤٣١ - ٤٣٣  
 الحبيبات ٢٧ ، ٢٨  
 الدلوميت ٣٧٩  
 الرواسب المنقولة ٢٤٨  
 المذمكات (الرواهص) ٣٢٤  
 الشعاب ٤٩٩ ، ٥٠١  
 الصخور الرسوبية ٢٤١ - ٢٤٤  
 صخور الكربونات ٣٣٧ - ٣٧٥  
 وتسمية أحجار الرمل ٢٦١ - ٢٦٣  
 تطبق عدسي ١٩٥  
 متتابع ١٩٥  
 متدرج ١٨٢  
 مترقق ١٧٩  
 متقاطع ١٨٥  
 متموج ١٩٥  
 مستو ١٧٤  
 مصمت ١٧٣  
 ملفوف أو مطوي ٢٠٠ ، ٢٠٢  
 نيم ميت ١٩٥  
 النيم والترقق المتقاطع ١٩٠  
 تعبئة حبيبات الرواسب ٦١ ، ٦٢  
 تفحم ٣٨٧ ، ٣٨٨  
 تناقص حجوم الحبيبات في الاتجاه إلى أعلى ١٧٥



درنات ٢٢١

كاذبة ٢٠١

درن شعاعي ٢٣٠

دموج وإحكام الرمل ٧٦

وإحكام الطين ٧٣

دورات الترسيب والتتابع الترسبي ٤٣٠

تقدم وتراجع ٤٩٣، ٤٩٤

دورة رسوبية ٨٥، ٨٦

نشأة الجبس والأنهدريت ٣٩٤



راسب أرضية ٣٤٥، ٣٥٠

الزلط المتخلف ٥٠٣

رتب تكور الحبيبة ٣٦-٣٨

الفحم ٣٨٧

رزغ جبري ٥٢٩

سليسي ٥٢٩

رزغات جبيرة ٥٢٩

سليسية ٥٢٩

شعاعية ٥٣٠

رقائق وحلية حولية ١٣٤، ١٥٧، ١٧٦

رقيقة ١٥٦

رواسب أرضية ٢٤٤

تيارات السحب أو الجر ١١٧، ١٢٤

العكر ١٢٨

تيارات الهواء الزاحفة ١٣٦ \*

حوضية النشأة ٢٤٥، ٢٤٦

المثالج أو الركام المجروف ١٤٥،

١٤٦

توزيع جغرافي للسحنات النهرية ٤٦٦

تيارات المد ٥٠٣

تيار العكر ١٢٨، ٥١٨



جربواكي ٢٦٤، ٢٧٠

جيردقيق الحبيبات ٣٥٠، ٣٥١



حاجز الثفر المتفرع ٤٨٣، ٤٨٤

مبتعد ٤٨٣، ٤٨٥

حبيبات حثائية ٣٤٥، ٣٤٦

مغلقة ٣٤٥، ٣٤٩

حت ٨٣

حجر الفحم الطبيعي ٣٨٦

حجم الحبيبة ١٦

متوسط الحبيبات ٢٨

حل طبقي ١١٧

معلق ١١٦، ١١٩

حواجز رملية ٤٨٧، ٤٨٩

خصائص أحجام حبيبات الرواسب

النهرية ٤٦٨

الأنهار المتشعبة ٤٦٥

الأنهار المتعرجة ٤٦٦

بيئة الشعاب ٥١١

طبيعية للحبيبات ١٥

طبيعية للمسامات ٥١

ومميزات البياض البحرية ٤٧٢

ومميزات رواسب البياض الثلجية ٤٧٥

ومميزات رواسب العكر ٥١٩

ومميزات عامة عن الشعاب ٥١٥

صخور أرضية ٢٤٣  
 البحر ٣٩٠  
 الحديد الرسوبية ٤٠٤  
 الحصى ٣٢٣  
 سليكونية ٣٩٧  
 شعابية ٣٨٤  
 الفتات النارية ٣٢٩  
 الفوسفات ٣٩٩  
 الكربونات ٣٤٠  
 الوحل ٢٥٠  
 صَوَان ٢٢١

### ط

طابع ١٥٧، ١٦٤  
 طبقات ١٥٥، ١٥٧  
 طبقة ١٥٥-١٥٧  
 طيقة ١٥٩  
 طراز الرواسب الفتاتية ٤٦  
 طرق تشكل صخور الكربونات ٣٤٠  
 النقل ١٠٩  
 قياس حجم حبيبات الراسب ٢٢  
 طريقة استعمال المناخل ٢١  
 تحديد استدارة الحبيبة ٤٠  
 تكوين الدرنات الكاذبة ٢٠١، ٢٠٢  
 سرعة استقرار الحبيبات ٣٤  
 فصل المعادن الثقيلة ٣٠٥-٣٠٨  
 قياس حجم الحبيبات المباشر ٢٠  
 طين الصين ١٠١

### ظ

ظ ٢٢١، ٢٢٤

فتاتية ٣٣٥  
 فتاتية بحيرية ٤٧٠، ٤٧١  
 الفِلِش ١٢٩  
 كيميائية ٢٤٤، ٣٣٥  
 كيميائية بحيرية ٤٧٢  
 اللوس (أو الطفال) ١٤٤، ١٤٦،  
 ٤٤٢  
 الماء العالقة ١٣٣  
 متخلقة أو متبقية ٨٧، ٢٤٤  
 مجموعة القاع ٤٧٩، ٤٨٥  
 مجموعة القمة ٤٧٩، ٤٨١  
 مجموعة المقدمة ٤٧٩، ٤٨٢  
 منقولة (أو مجلوبة) ٢٤٥  
 الهواء العالقة ١٤٣  
 رواهص وحلية ١٤٦

### س

سائل الضغط ٣٥٤  
 سِخْنَات وبيئات رسوبية ٤٢١، ٤٢٦  
 سِخْنَة ٤٢١، ٤٢٥  
 سرثيات ٣٤٥، ٣٤٦، ٣٤٩  
 سلسلة الفحم ٣٨٧  
 مقاومة المعادن للتجويع ٩٧

### ش

شرفات تحت مائية ٤٨٤  
 شكل بنية النيم ١٩٤  
 الحبيبة ١٦، ٣٥

### ص

صخر الأستروماتوليت ٤١٤-٤١٨

- عملية التجيّر ٣٥١
- النشأة المابعدية في أحجار الرمل ٣١٤
- النشأة المابعدية في صخور الكربونات
- ٣٧٢
- عوامل أصل نشأة الدورات النهرية ٤٦٧
- تتحكم في تشكيل السحنات الحاملة
- لمعادن الحديد ٤٠٧
- شكل الدلتا ٤٧٨
- عمليات الترسيب الفيزيائي
- المائية ١٢٤
- عمليات الترسيب ورواسب
- الدلتا ٤٧٨، ٤٧٩
- تحكم النفاذية ٤٨، ٤٩
- تسبب تشكيل الترقق ١٧٩، ١٨٠
- تشوه الراسب ١٩٨
- تمنع تشكيل البنيات الرسوبية ١٧٣
- تنمية تطوير الدلتا ٤٧٨
- ساعدت على نشأة الجزر الحاجزة ٤٨٩
- النقل ١١٠ - ١١٣
- شعاعي ٥٣١
- ظروف شبه بيئة نهرية ٤٦٠
- مفضلة لتشكيل الدلوميت المصاحب
- لعملية الترسيب ٣٨٠ - ٣٨٢
- ظهر الشعب ٥١٠، ٥١٣، ٥١٤
- ظواهر سطحية وترسيبية واحيائية لحاجز
- شاطيء حديث ٤٩٠
- ع
- عدد رونالدز ١١٤
- فرويد ١١٤، ١٢٦
- عقد طينية جيرية ٣٤٦، ٣٤٧
- عُقَيْدَات الصَّوْأَن ٢٢١
- الظفر ٢٢١
- الفوسفات ٢٢٥
- المنجنيز ٢٢٥، ٤١٠، ٤١١
- العلاقة بين أثر الأحافير وبيئة الترسيب ٢١٧
- الطرّاز والمسامية ٥٩
- المسامية المؤثرة والنفاذية ٥٤
- مقياس ونسورث ومقياس
- فاي ١٨
- علاقة النشأة المابعدية بمسامية حجر
- الرمل ٣١٤
- علامات الأبواق ١٦٩
- الأداة ١٧٠
- التخطيط ١٦٧
- القاع ١٦٧
- عمليات ترسيب الأنهار ٤٥٧
- الدورة الترسيبية ٤٣٠
- الترسيب المائية ١٢٤
- النشأة المابعدية ٣١٤
- ع
- غرف وملء ١٦٧
- ك
- فئات (حتاتات) هيكلية ٣٤٥، ٣٤٦
- فئات بركاني ٣٣٠
- ق
- قالب ١٦٤
- قطاع التربة ١٠٥
- قطر وسيط حجم الحبيبات ٢٨



- قناة متفرعة ٤٨٢، ٤٨٣  
قنوات ١٦٥  
متشعبة ٤٥٢، ٤٥٣  
متعرجة ٤٥٣  
مستقيمة ٤٥٣
- مسامية أولية ٥٦  
ثانوية ٦٤، ٦٥  
ثانوية في أحجار الجير ٧٠  
ثانوية في أحجار الدولوميت ٧٢  
الرواسب ٥٢، ٥٣  
فعالة أو مؤثرة ٥٣  
مسطح الشعب ٥١٠-٥١٤  
مصدر الحديد في الصخور الرسوبية: ٤٠٨ -  
٤١١  
معادن البحر ٣٩١  
إضافية ٣٠٢  
ثقيلة ٣٠٦، ٣٠٧  
الطين ٢٥٩  
الكربونات ٣٤١، ٣٤٢  
معاملات البيئة الرسوبية ٤٢١  
السحنة الرسوبية ٤٢٥  
معامل تصنيف الحبيبات البياني ٢٨  
تفرطح الحبيبات البياني ٣٠  
حيود الحبيبات البياني ٢٩  
النضج الفيزيائي ٢٦٣  
النضج الكيميائي ٢٦٤  
مقطع رأسي لجزيرة حاذجة ٤٨٨  
مقياس استدارة الحبيبات ٣٩  
تدرج الحبيبات ١٦ - ١٩  
الحموضة والقلوية في السوائل ٩٤  
التفادية ٥٠  
مكونات رواسب الرصيف القاري ٤٩٦  
سحنات البيئات اللحية ٥٢٩، ٥٣٠  
الصخور الرسوبية ٢٤١، ٢٤٢  
صخور الكربونات ٣٤٥  
مميزات وأصل نشأة الرواسب النهرية
- كشبان - البارخان أو الكشبان الهلالية ١٣٨  
طولية أو كشبان السيف ١٤٠  
مستعرضة أو مستقيمة ١٤١  
نجمية ١٣٨  
كُرَيَّات طحلبية ٣٥٠  
غاطية ٣٤٨  
كِسْر صخرية ٢٨٠، ٢٩٧  
كلستيت متبلور لامع ٣٥١، ٣٥٣  
معاد تبلوره ٣٥٤  
كوارتز واكي ٢٧٣  
كوارتزيت ٢٦٦، ٢٦٧
- مجاميع أحجار الجير ٣٦٦  
مخروط في مخروط ٢٢٦ - ٢٢٨  
مدرج تكراري ٢٥، ٢٦  
مراحل تكوين الدلتا ٤٨٠  
عملية النشأة المابعدية في أحجار  
الرمل ٣١٤  
مرحلة التأكسد والاختزال ٣١٤  
الحد الفاصل بين النشأة المابعدية  
والتحول المنخفض ٣٢١  
السمنة والالتحام ٣١٧  
ما بعد النشأة المابعدية ٣٢١

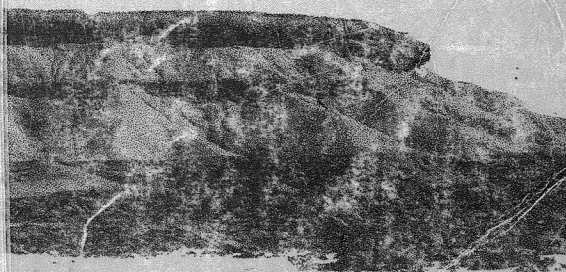
- الدورية ٤٦٧
- يميز بها التطبيق المتقاطع ١٨٥
- مناطق بيئة الرصيف القاري ٥٠١، ٥٠٠
- مستوية ومسطحة ٤٢٣
- منحنيات التوزيع الحجمي الحبيبية ١١٩
- منحنى تراكمي ٢٦، ٢٧
- تواتري ٢٦، ٢٧
- منطقة عالية الطاقة ٥٠١
- مصدر الرواسب ٢٣٨، ٢٦٢
- منخفضة الطاقة ٥٠٠، ٥٠١
- مواد هيدروكربونية ٢٥٥
- ميكانيكية حركة الحبيبة ١١٦، ١١٧
- النقل ١١٦
- وترسيب بالماء ١١٠
- النقل والترسيب الفيزيائي ١١٣
- النقل والترسيب الكيميائي ١١١
- النقل وعلاقة سرعة التيار بحجوم الحبيبات ١٢١
- نمط حجم الحبيبات ٢٦، ٢٧
- نيم غير متماثل ١٩١، ١٩٣
- متماثل ١٩١، ١٩٢، ١٩٣
- هلائي ١٩٤
- هوابط وانزلاقات ٢٠٧
- واجهة الشُعْب ٥١٠، ٥١٣
- واكي ٢٦٥، ٢٧٠
- وجهي أو جانبي النيم ١٩٠، ١٩٣
- وحل جيري ٣٥٠
- كلسي ٣٥٠
- وصف أحجار الرمل ٢٦٦
- البيئات الرسوبية ٤٣١، ٤٣٤
- نسيج سطح الحبيبة ٤٢-٤٦
- نشأة المسامية الأولية ٥٧
- المسامية الثانوية ٧٠
- نشوء المسامية في صخور الكربونات ٣٧٢، ٣٧٥
- نضوج فيزيائي (نسجي) ٢٦٢-٢٦٤
- كيميائي (معدني) ٢٦٢-٢٦٤
- نقل وترسيب بالثلجات ١٤٤
- وترسيب بالجازدية ١٤٧
- وترسيب بالهواء ١٣٤
- لانريت ٩٩
- لاحم ٣٥١

## الحكتور محمد بن عبالغني عثمان مشرف

- ولد عام ١٣٦٣هـ / ١٩٤٣م في المدينة المنورة حيث تلقى فيها تعليمه الابتدائي (المدرسة المحمدية) والمتوسط (مدرسة عمر بن الخطاب) والثانوي (مدرسة طبية).
- حصل على درجة البكالوريوس في العلوم تخصص جيولوجيا من جامعة بيو جيت ساوند بولاية واشنطن بأمریکا عام ١٣٩٠هـ / ١٩٧٠م.
- عمل معيذا بقسم الجيولوجيا - جامعة الملك سعود عام ١٣٩١هـ / ١٩٧١م.
- ابتعث من قبل جامعة الملك سعود إلى بريطانيا حيث حصل على درجة الماجستير في علم الرسوبيات من جامعة ويلز عام ١٣٩٣هـ / ١٩٧٤م ودرجة الدكتوراه في علم الرسوبيات من الجامعة نفسها عام ١٣٩٦هـ / ١٩٧٦م.
- عين مدرسا بجامعة الملك سعود عام ١٣٩٦هـ / ١٩٧٦م ثم رقي إلى درجة أستاذ مساعد عام ١٣٩٨هـ ورقي لدرجة أستاذ مشارك عام ١٤٠٠هـ ثم لدرجة أستاذ عام ١٤١٠هـ.
- أشرف على العديد من أبحاث التخرج لطلاب الجيولوجيا.
- له أبحاث علمية عديدة في مجال تخصصه منشورة في مجلات علمية محلية وعالمية.
- شارك بأبحاثه في كثير من المؤتمرات العلمية العالمية، كما شارك في تقويم العديد من الرسائل العلمية والأبحاث المنشورة محليا وعالميا.
- ألف أربعة كتب في مجال تخصصه: أسس علم الرسوبيات (١٤٠٧هـ / ١٩٧٨م)، قاموس مصطلحات الرسوبيات المصنوعة (١٤٠٠هـ / ١٩٩٠م)، تطبيقات في الجيولوجيا العامة (١٤١٣هـ / ١٩٩٣م)، أساسيات علم الأرض - الجيولوجيا الفيزيائية (تحت الطبع). يقوم حاليا بإعداد موسوعة المصطلحات الجيولوجية المصورة.
- شغل منصب مستشار غير متفرغ لدى مدينة الملك عبدالعزيز للعلوم والتقنية (١٤٠٢ - ١٤٠٥هـ) حيث شارك في إعداد الخطة الوطنية الرابعة الخاصة بالمدينة، كما شغل المنصب نفسه في وزارة التخطيط (١٤٠٨ - ١٤٠٩هـ) حيث شارك في إعداد الخطة الوطنية الخامسة (١٤١٠ - ١٤١٥هـ).
- شغل منصب رئيس قسم الجيولوجيا - جامعة الملك سعود (١٤٠٨ - ١٤١٠هـ).
- عضو هيئة التحرير العلمي بالموسوعة العربية العالمية والتي تشرف عليها مؤسسة الموسوعة.
- راجع ونقح ترجمة كتاب «الأبعاد الجيومورفولوجية لتنمية الأراضي الصحراوية مع التركيز على المملكة العربية السعودية» تأليف: ر. يو. كوك، د. برنسدن، جي. دور نكامب ود. جونز.
- راجع ونقح ترجمة كتاب علم الصخور الرسوبية تأليف: روبرت فولك.
- راجع ونقح ترجمة كتاب الوصف الحقل للصخور الرسوبية تأليف: موريس تاكر.
- راجع وحكم العديد من الأبحاث المنشورة الآن في مجلات علمية، محليا وعالميا.
- قام بتقويم أبحاث العديد من المتقدمين للترقية لدرجة أستاذ مشارك وأستاذ لعدد من الجامعات العربية.
- شارك في العديد من اللجان العلمية المشكلة من قبل الجامعة ومدينة الملك عبدالعزيز للعلوم والتقنية ووزارة المعارف.
- نال جائزة المعرض الحادي عشر للكتاب العربي في الكويت لعام ١٩٨٨م في حفل التأليف عن كتابه: «أسس علم الرسوبيات» والمنوثة له من مؤسسة الكويت للتقدم العلمي.
- كان عضوا ولعدة فترات لكل من: مجلس الكلية، مركز البحوث، لجنة المكتبات بكلية العلوم - جامعة الملك سعود، وكذلك عضو هيئة تحرير مجلة جامعة الملك سعود (١٩٨٧ - ١٩٩٢م).
- عضو مشارك وفعال في كل من: الجمعية العالمية لعلماء الرسوبيات، الجمعية الأمريكية لعلماء البترول، جمعية الاقتصاد والأحافير والمعادن الأمريكية.







5. 10. 6

ردمك: ٩٩١٠-٠٥-٢١٢-٣

ISBN: 9960-05-212-3